



وزارت صنایع و معادن

سازمان زمین‌شناسی و اکتشافات معدنی کشور

معاونت اکتشاف - مدیریت خدمات اکتشاف

گروه اکتشافات ژئوشیمیایی

پروژه اکتشافات ژئوشیمیایی در محور ماکو - اشنویه

اکتشافات ژئوشیمیایی در ورقه ۱:۱۰۰,۰۰۰ دیزج

: توسط

ع. فضائلی، ا. مشکانی، ف. فرجندی، م. علیپور، ا. اکبر پور
ع. مقصودی، م. مستعان، ن. سلطانی

ناظر:

م. ر. علوی نائینی

مرداد ۱۳۸۰

کتابخانه سازمان زمین‌شناسی و
اکتشافات معدنی کشور
تاریخ: ۱۲/۱۲/۸۰
شماره ثبت: ۲۵۹

کتابخانه سازمان زمین‌شناسی و
اکتشافات معدنی کشور

فهرست مطالب

عنوان

سپاسگزاری

بخش اول - کلیات

مقدمه

۱-۱- موقعیت جغرافیایی

۱-۱-۱- جغرافیای طبیعی

۱-۱-۲- جغرافیای انسانی

۱-۱-۳- جغرافیای اقتصادی

۱-۲- زمین‌شناسی

۱-۲-۱- چینه‌شناسی

الف- واحدهای سنگی رسوبی- آتشفسانی

۱-۲-۲- کمپاکس افیولیتی

ج- واحدهای سنگی دگرگونه

د- سنگهای نفوذی

۱-۲-۳- زمین‌شناسی ساختمانی

۱-۲-۴- زمین‌شناسی اقتصادی

۱-۳- شرح مختصر نقشه ژئومغناطیس هوائی

۱-۴- مطالعات انجام شده پیشین

بخش دوم - اکتشافات ژئوشیمیابی

مقدمه

فصل اول : نمونه برداری و آنالیز نمونه‌ها

۱-۱- مقدمه

۱-۲- انتخاب محیط نمونه برداری

۱-۳- طراحی محل نمونه‌ها

۱-۴- عملیات صحرائی نمونه برداری

۱-۵- آماده‌سازی و آنالیز نمونه‌ها

فصل دوم : پردازش داده‌ها

۲-۱- مقدمه

۲-۲- فایل بندی داده‌های خام

۲-۳- داده‌های سنسور د و نحوه جایگزینی آنها

۲-۴- حذف اثر سنگ بستر

۲-۵- مطالعات آماری تک متغیره

۱-۵-۲- مقدمه

۲-۵-۲- محاسبات آماری و رسم هیستوگرام و نمودارهای تجمعی داده‌های خام

۳-۵-۲- جدایش مقادیر خارج از رده

۴-۵-۲- نرمال کردن داده‌های خام و بررسی پارامترهای آماری داده‌های نرمال

۵-۵-۲- محاسبه و رسم ضرایب همبستگی عناصر

۶- مقدمه

شرح ماتریس ضرایب همبستگی

۶-۲- بررسی‌های آماری چند متغیره

۱-۶-۲- مقدمه

۲-۶-۲- مقادیر خارج از رده چند متغیره

۳-۶-۲- شناسائی مقادیر خارج از رده چند متغیره

۴-۶-۲- تجزیه و تحلیل خوش‌های داده‌ها

۵-۶-۲- تجزیه عاملی

فصل سوم : تکنیک رسم نقشه‌ها و شرح ناهنجاریهای ژئوشیمیایی

۱-۳- تکنیک رسم نقشه‌ها

۲-۳- شرح نقشه‌های ناهنجاری ژئوشیمیایی

بخش سوم : اکتشافات کانیهای سنگین

تاریخچه و مقدمه

فصل اول : نمونه برداری، آنالیز و محاسبه گرم در تن کانیها

۱-۱- مقدمه

۱-۲- نمونه برداری

۱-۳- آماده سازی و آنالیز نمونه ها

۱-۴- محاسبه گرم در تن کانیها

فصل دوم : نتایج بدست آمده از مطالعات کانیهای سنگین

۲-۱- مقدمه

۲-۲- شرح ناهنجاریها و نتایج بدست آمده از مطالعات کانی سنگین

بخش چهارم : تعبیر و تفسیر، نتیجه گیری و پیشنهادات

۴-۱- تعبیر و تفسیر

۴-۲- نتیجه گیری

۴-۳- پیشنهادات

منابع و مراجع

فهرست اشکال

عنوان

شکل شماره ۱-۱- موقعیت ورقه ۱:۱۰۰،۰۰۰ دیزج و برگهای توپوگرافی ۱:۵۰،۰۰۰

در نقشه راهنمای ایران.

شکل شماره ۱-۲- نقشه زمین‌شناسی چهارگوش ۱:۱۰۰،۰۰۰ دیزج

شکل شماره ۲-۳- هیستوگرام و نمودارهای تجمعی و بازماند عناصر کروم، نقره و نیکل

شکل شماره ۲-۴- شناخت مقادیر خارج از رده براساس Box Plot عناصر مختلف

شکل شماره ۲-۵- نمودار درختی داده‌های ژئوشیمیابی در ورقه ۱:۱۰۰،۰۰۰ دیزج

شکل شماره ۲-۶- منحنی صخره‌ای (Scree Plot) برای تعیین تعداد مؤلفه‌های معتبر

شکل شماره ۲-۷- نمودارهای سه بعدی ضرایب عاملی (Factor loading) در ورقه دیزج

شکل شماره ۲-۸- نمودار خطی امتیاز مؤلفه‌ها در ورقه دیزج

عنوان

فهرست جداول

جدول شماره ۲-۱- فرمت نتایج آزمایشگاهی به روش XRF پرتابل

جدول شماره ۲-۲- مقادیر سنسورد و مقادیر جایگزین شده سنسورد داده‌های خام

جدول شماره ۲-۳- پارامترهای آماری داده‌های خام ورقه ۱:۱۰۰،۰۰۰ دیزج

جدول شماره ۲-۴- حدود بالا و پائین مقادیر خارج از رده و فوق العاده

جدول شماره ۲-۵- مقادیر خارج از رده و فوق العاده حدود بالا و پائین داده‌ها

جدول شماره ۲-۶- پارامترهای آماری داده‌های نرمال شده با مقادیر خارج از رده

جدول شماره ۲-۷- پارامترهای آماری داده‌های نرمال شده بدون مقادیر خارج از رده

جدول شماره ۲-۸- ماتریس همبستگی و سطح معنی داری ضرایب همبستگی عناصر در ورقه

دیزج

جدول شماره ۲-۹- مقادیر خارج از رده چند متغیره در ورقه دیزج

جدول شماره ۲-۱۰- درصد مشارکت و واریانس عمومی مؤلفه‌ها

جدول شماره ۲-۱۱- مؤلفه‌های خام و چرخش یافته در ورقه ۱:۱۰۰،۰۰۰ دیزج

جدول شماره ۲-۱۲- مقادیر امتیاز مؤلفه‌ها در ورقه دیزج

جدول شماره ۲-۱۳- محاسبه نمونه‌های ناهمنجری بر پایه تجزیه عاملی

جدول شماره ۲-۱۴- مقادیر نرمال و عددی حدود $2.5s - x$ تا $x + 2.5s$ داده‌ها در ورقه دیزج

فهرست ضمایم

عنوان

ضمیمه شماره یک - نتایج آذالیز نمونه‌های ژئوشیمیابی، همراه با مختصات جغرافیائی هر نمونه بصورت UTM.

ضمیمه شماره دو - هیستوگرام و منحنی‌های نرمال داده‌های خام در ورقه دیزج

ضمیمه شماره سه - هیستوگرام و منحنی‌های نرمال داده‌های نرمال شده با مقادیر خارج از رده.

ضمیمه شماره چهار - هیستوگرام و منحنی‌های نرمال داده‌های نرمال شده بدون مقادیر خارج از رده

ضمیمه شماره پنج - محاسبه ضرائب فاکتوری برای چهار عامل اول

ضمیمه شماره شش - نتایج کیفی مطالعه کانیهای سنگین در آزمایشگاه صحرائی

ضمیمه شماره هفت - نتایج گرم در تن کانیهای سنگین در ورقه دیزج

ضمیمه شماره هشت - نقشه‌های نمادین کانیهای کانسسار ساز در ورقه دیزج

سپاسگزاری:

لازمه اجرای یک پروژه اکتشافی و بویژه اکتشافات ژئوشیمیایی، گذر از گامه‌های گوناگونی همچون طرح و برنامه ریزی اولیه در جهت تعیین نواحی اولویت دار اکتشافی، گردآوری اطلاعات پایه، انجام عملیات دفتری، عملیات صحرایی، آماده سازی نمونه‌ها، آنالیز نمونه‌ها، پردازش داده‌ها و در نهایت ارائه گزارش است.

انجام عملیات علمی، فنی و اجرایی توسط کارشناسان و کارکنان که بصورت یک گروه عملیاتی انجام می‌گیرد، بازتابی مشخص و شناخته شده بر روی هر گزارش ژئوشیمیایی داشته و دارد.

بدینه و پر واضح است که ارائه یک گزارش اکتشافی منحصر به عملکرد کارشناسان شرکت کننده در یک طرح اکتشافی نبوده، بلکه همکاری و مساعدت بسیاری از افراد همکار در تهیه و تدوین مطلوب و بهینه یک گزارش نقشی انکار ناپذیر را ایفا می‌نماید. بجاست که در این نوشتار، قدردانی هر چند کوچک از کسانی که به نحوی از دور و نزد یک کوششی بی‌شایه داشته‌اند، بعمل آید. امید است که ایزد منان از عملکرد بندگانش راضی و خشنود باشد.

همکاران عزیzman، آفایان حسین طاووسی، حسین جیروdi و محمد حسن امامیان، کاردان و تکنسین‌های مجبوب و کارکشته گروه اکتشافات ژئوشیمیایی که همواره پشتکار، علاقمندی و حسن انجام وظیفه نامبردگان نقشی خلل ناپذیر در دلگرمی و پشتوانه روحی و روانی کارشناسان بخش ژئوشیمی داشته است.

همکاری خستگی ناپذیر و با پشتوانه آفایان مجید محسنی زاده و جعفر محسنیان، تکنسین‌های بخش اکتشافات ژئوشیمیایی که همواره کمک حال گروههای عملیاتی صحرایی و انجام رتق و فتق امور اداری مالی و اجرایی بوده‌اند.

مشارکت و همراهی گروهی از همکاران شاغل در امور نقلیه و پشتیبانی که همواره تجربیات گرانیهای نامبردگان در بخش عملیات صحرایی نقشی انکار ناپذیر را ایفا نموده است. اشاره‌ای به نام این عزیزان در سطور زیر شاید قدردانی ناچیزی از زحمات نامبردگان بشود.

عطاء... حاج شریغی، محمد پهلوانی، رامین فرزاد، صدق اrest، موسیس کاشانی، از مرکز تهران؛ کاظم زاده، ظریفی، صالحی، نصیری، یوسفی، صدقی واروجی، ... دیگر همکاران این طرح اکتشافی از مرکز تبریز بوده‌اند که همکاری بی حد و حصر نامبردگان در پیشرفت عملیات صحرایی نقشی ویژه و بارز را ایفا نموده است.

نوشتارهای بخش‌های گوناگون گزارش و با خطواره‌های گوناگون با همت و تلاش سرکار خانم افسانه دهقان به زیایی و ظرافت به نظم و تحریر درآمده است. متولیان بخش‌های تکثیر و صحافی که همواره در فکر انجام بهینه و شایسته ارائه گزارشات بوده اند.

مدیریت زمین شناسی و اکتشافات معدنی شمال باختی ایران (مرکز تبریز) که در تمامی امور و بویژه عملیات صحرایی و آزمایشگاهی انجام شده در محدوده جغرافیایی این مرکز تحقیقاتی همواره نقش پشتیبانی و حامی گروههای اکتشافی را بر عهده داشته است.

همکاری مدیریت امور آزمایشگاهها و بویژه سرکار خانم محسنی و همکاران وی در بخش X.R.F پرتابل که سعی وافر در انجام بهینه آنالیزهای آزمایشگاهی داشته اند و همواره در بخش‌های علمی مربوط به روش‌های تجزیه دستگاهی، نتایج آزمایشگاهی با صبر و حوصله وافر و خستگی ناپذیر جوابگوی کارشناسان کنجدکاو و تفحصگر گروه اکتشافات ژئوشیمیایی بوده اند.

نقش مدیریت خدمات اکتشاف در راه اندازی و راهنمایی کارشناسان بخش، بویژه در تهیه گزارشات که نقشی دلسوزانه، برادرانه و با خرد و تدبیر داشته است.

حمایت‌های بی دریغ معاونت معدنی در راه اندازی گروههای صحرایی، تجهیز این گروهها به لوازم و وسائل فنی، علمی و آزمایشگاهی، تشویق و ترغیب این معاونت در بالابدن کیفیت عملیات صحرایی و ارائه گزارشات جای تشرک و تقدیر دارد.

و در نهایت حضور انسانی پاکباخنه و وارسته و عاری از هر گونه غل و غش و حب و بغض در رأس سازمان زمین شناسی و اکتشافات معدنی کشور و بعنوان متولی اول امر اکتشاف در پهنه و گستره ایران زمین، پارامتری بس تعیین کننده در تحرک، تلاش و پویایی افراد شرکت کننده در پروژه فوق داشته است.

در پایان قابل یاد آوریست که قلم نگارندگان از به تصویر کشیدن زحمات این تلاشگران و سایر کسانیکه به نحوی در تهیه این بارگران نقش داشته ولی از قلم افتاده اند، عاجز بوده، و ملتمنه از درگاه ایزد منان خواهان توفیق خدمتگزاران به این مرز و بوم هستیم.

بخش اول : گلیات

مقدمه :

یکی از نواحی با استعداد و پست نخورده پهنه ایران زمین که دارای موهبت‌های خدابادی بیشماری همچون آب و هوای مناسب، انرژی خورشیدی مکفی، بارش‌های به نسبت جالب، جمعیت جوان و کارآمد، نیروی کار ارزان، آثار باستانی گوناگون، چشم اندازهای زیبای طبیعی و ثروتهای پنهان معنی می‌باشد، استان آذربایجان باختری است.

وجود بریاچه زیبا و بل انگیز ارومیه با گسترشی قابل توجه، خود به تنها می‌تواند در جهت جنوب گردشگران داخلی و خارجی و برنتیجه اشتغال زایی و کسب برآمدگاهی ارزی سهمی ارزشمند بر راستای توسعه پایدار ایفا نماید. احداث سد بر روی جریانهای آبی دائم همانند زولاچای، قطور چای، بردہ سور، آق چای، زنگ مار، نازلولوچای، ارس و ... می‌تواند بر زمینه نخیره‌سازی آب، تأمین انرژی، پرورش انواع آبزیان و بویژه ماهیان سردآبی، نقشی ارزشمند و انکارناینیر بر راستای توسعه شاخص‌های انسانی ایفا نماید.

بارش‌های به نسبت مناسب سالیانه منجر به تشکیل سفرهای آبهای زیرزمینی بر محدوده نواحی پست و جلگه‌ای شده که بهره‌برداری از این سفره‌ها، باعث رونق کشاورزی و باغداری بر بخش‌های وسیعی از این استان با برکت شده است.

پوشش گیاهی مناسب بویژه بر سالهای پُربارش، باعث رونق بامداداری، کشت بهم و زنبورداری در این استان می‌شود.

وجود نهادهای اثر باستانی نیز موقعیت ویژه‌ای است که می‌تواند به برآمدگاهی ارزی استان بار فزاینده‌ای را ببخشد.

همجواری با ۴ کشور جمهوری آذربایجان، ارمنستان، ترکیه و عراق از بینگاه ترانزیت

کالا و بازارهای مرزی می‌تواند در جایگاه خود نقش ارزشمندی بر رشد و شکوفایی اقتصاد

منطقه داشته باشد.

با وجود موارد و نعمت‌های الهی بر شمرده شده، عواملی همچون فقر فرهنگی، ازیاد
بی‌رویه نفوس، چالشهای قومی و فرهنگی و بیگر عوامل منفی از جمله دلائلی است که بر بدو
ورود به این استان با خیر و برکت به چشم می‌خورد. افزون بر اینها موارد اسف انگیز بیگری
چون بیکاری، فقر، قاچاق، عدم توسعه، نبود امکانات اولیه زیربنایی و . . . قابل اشاره است،
بطوریکه با تمام پارامترهای شاخص اشاره شده، این استان یکی از استانهای محروم و
عقب‌افتدۀ کثیر بشمار می‌آید.

بر سالهای لخیر متولیان و بولتمردان وقت عملیات عمرانی زیربنایی و اساسی بر جهت
محرومیت زیادی بر این خطه را بر مستورکار قرار داده‌اند که می‌تواند در صورت پی‌گیری،
پشتکار، جلب سرمایه گذاریهای مردمی و ایجاد راهکارهای مناسب به چشم انداز روشن آینده
این استان و خروج از بن بست محرومیت و عقب مانگی امیدوار بود.

ایجاد شبکه راههای اساسی و بویژه تکمیلی و راه اندازی بزرگراه شهید کلانتری (احداث
شده بر روی نریاچه ارومیه) بواقع می‌تواند راه ارتباطی استان را به سایر نواحی و بویژه
آنربایجان خاوری، و برنهایت مرکز ایران سهل تر نماید. حمایت از توسعه طرحهای زیربنایی
همچون کشاورزی و دامداری، مهار آبهای جاری با ایجاد سدهای بزرگ بر جهت نخیره‌سازی و
استفاده بهینه از آبهای سطحی و جلوگیری از وقوع سیلابهای خروشان فصلی، ازیاد و
پرورش آبزیان بر رویخانه‌های جاری و منابع آبی مهار شده به منظور ایجاد اشتغال و تولید
منابع غذایی کافی، ایجاد جنگلهای مصنوعی در نواحی مستعد بدلیل وجود منابع آب و خاک،

روبوت و به نسبت بارش‌های مناسب، تقویت صنایع سنتی روستایی، برپایی طرحهای صنعتی و توسعه کارخانه‌های مولد، مرمت و ترمیم آثار باستانی، ایجاد مهمنپذیرهای مناسب به برای جلب گردشگر و رونق صنعت گردشگری، جلوگیری از رشد بی‌رویه جمعیت و مهاجرت و بیکر عملیات عمرانی عواملی هستند که می‌تواند چهره فقر و محرومیت را از این استان بزرگداشت، افزون بر عوامل مؤثر نامبرده، بر برای پیشرفت و آبادانی این سرزمین زرخیز، یکی از زیربنایی ترین و اصولی‌ترین پارامترهای موجود بر راستای توسعه پایدار، سرمایه‌گذاری بر امر اکتشاف و استخراج منابع معدنی است.

گستره ایران زمین با وسعتی حدود ۱،۶۴۸،۰۰۰ کیلومترمربع به تحقیق شانزدهمین سرزمین پهناور جهان بشمار می‌آید. بدلیل همین گستردگی، وقایع و رخدانهای گوناگون زمین‌شناسی بر این گستره پهناور روی داده است که به تبع آن مناطق مستعدی را به لحاظ دارا بودن نخایر معدنی بوجود آورده که تا حال بخش کوچکی از آن شناسایی و باره بهره‌برداری قرار گرفته است.

بدلیل همین ویژه گیهای شاخص، سرمایه‌گذاری بر زمینه شناخت استعدادهای معدنی می‌تواند کمک شایان توجهی بر امور زیربنایی و بر راستای توسعه پایدار باشد. سرزمین آذربایجان با ختری به لحاظ شناسایی منابع معدنی فلزی و غیرفلزی منطقه‌ای است بکر و نست نخورده که طرحهای اکتشافی واقع بینانه و دلسوزانه می‌تواند زیربنای توسعه پایدار را بر این استان تقویت نماید.

بدون هیچ تردیدی امروزه یکی از بخش‌های زیربنایی اکتشاف را اکتشافات ژئوشیمیایی ناحیه‌ای تشکیل می‌نمد که یکی از اهداف آن جداسازی نواحی بالقوه مستعد معدنی است. پیرو

زمین شناخت و راهکار، طبق دستورالعمل شورایعالی اکتشاف و برپی تقسیم بندی نواحی

۲۰ کانه ایران به منظور پی بردن به استعدادهای معدنی کشور، تهیه نقشه‌های ۱:۱۰۰،۰۰۰

زمین شناسی، ژئوشیمیابی، اکتشاف چکشی، اطلاعات ماموارهای و ژئومغناطیس هوایی بر

دستور کار مدیریتهای گوناگون سازمان زمین شناسی و اکتشافات معدنی کشور قرار گرفت.

تقسیم بندی نواحی بیست کانه بر پایه اولویت هایی همچون گسترش واحدها و رخساره

های سنگی جالب توجه، حضور و شناسایی معان فعال و متروکه، محرومیت زیابی به منظور

توسعه پایدار و بیگر پارامترها انجام شده است برپایه عوامل یاد شده، ۱۴ برگه ۱:۱۰۰،۰۰۰

بر محدوده استان آذربایجان باختصار بر اولویت عملیات اکتشافی قرار گرفت.

گروه اکتشافات ژئوشیمیابی سازمان زمین شناسی و اکتشافات معدنی کشور بعنوان

متولی تعیین آنومالی های ژئوشیمیابی و پراکندگی عناصر بر ۱۲ ورقه فوق، مسئولیت

برداشت نمونه ها، تجزیه و تحلیل داده ها و تدوین گزارشها را بر چهار چوب وظایف محوله

بعهده گرفت.

نقت بر انجام عملیات دفتری و صحرایی بعنوان اصلی انکارناپنیر توسط افراد گروه

اکتشافات ژئوشیمیابی شرکت کننده بر پروژه مراعات شده است. امید است با انجام نقیق

سایر مراحل اجرایی و عملیاتی همچون آنالیز نمونه های ژئوشیمی (که زیربنای اولیه مهم

داده بردازیها و برآورد مناطق مستعد است)، مطالعات کانیهای سنگین، پردازش داده ها و بر

نهایت ارائه گزارشات در راستای معرفی و شناخت نواحی با بتوان نقش تعیین کننده ای را ایجاد

نمود.

۱-۱-۱- موقعیت جغرافیایی

۱-۱-۱- جغرافیای طبیعی

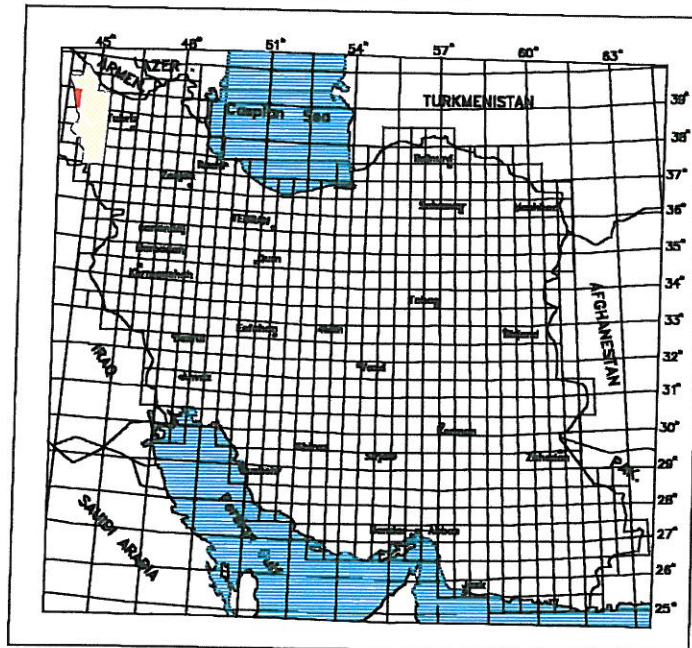
ورقه دیزج که بخش شمال چهارگوش زمین‌شناسی ۱:۲۵۰،۰۰۰ خوی را در بر می‌گیرد در استان آذربایجان باختصاری واقع است و دارای مختصات جغرافیایی '۴۴°، ۳۰' تا '۴۴°، ۳۰' طول شرقی و '۳۰°، ۳۰' تا '۳۰°، ۲۸° عرض شمالی می‌باشد. مرز ایران و ترکیه محدوده غربی نقشه را تشکیل می‌دهد. بیشتر نواحی مورد بررسی کوهستانی است، بلندترین نقطه با ارتفاعی حدود ۲۲۲۴ متر از سطح دریا در قسمت جنوب این ورقه (کوه گیلپوران) و پستترین نقطه با ارتفاعی حدود ۱۸۰۰ متر از سطح دریا در بستر رویخانه آق چای در بخش شمال خاوری ناحیه قرار دارد. رویخانه آق چای و شاخه دیگر آن بنام قره بره در بخش شمال خاوری ناحیه، پس از طی مسیری به سمت خاور جریان داشته و پس از گذر از منطقه چایپاره به رویخانه ارس می‌پیوندد. رویخانه الند نیز از کوههای مرزی ایران و ترکیه (کوههای نظریگ، گوران و کانی زیارت سرچشمہ گرفته و به سمت خاور و حوالی شهر خوی جریان می‌یابد. بخش‌های جنوب خاوری این ورقه نیز در محدوده حوضه آبریز شعبات رویخانه قطرور چای قرار دارند، شاخه اصلی این رویخانه خارج از محدوده چهارگوش دیزج بوده و پس از عبور از کنار شهر خوی به رویخانه آق چای، پیوسته، سپس روانه رود ارس می‌گردد.

آب و هوای ناحیه بعلت کوهستانی بودن منطقه و ارتفاع زیاد آن سرد است و پوشش گیاهی و زمینهای زراعتی محدود به اطراف رویخانه‌ها و چشمه‌ها می‌باشند.

شکل شماره ۱-۱- موقعیت ورقه ۱:۱۰۰،۰۰۰ دیزج و برگه‌های توپوگرافی ۱:۵۰،۰۰۰

را در نقشه راهنمای ایران نشان می‌دهد.

LOCATION MAP



ناور	کردکندی
4867 IV	4867 I
38°30'	44°30'
44°00'	39°00'

موقعیت برگه‌های ۱:۵۰۶۰۰۰ در ورقه ۱:۱۰۰۶۰۰۰ دیزج

۱-۱-۲- جغرافیای انسانی

در چهارگوش دیزج مراکز تجمع انسانی بیشتر محدود به حوالی رویخانه‌های آق چای و الند می‌باشند و برخی از مهمترین آنها عبارتنداز: کردکندي، ملحملو، ناور، شیخ سلو، بلسور، دیزج الند، بالابان و قورشاقلو که در حد روستا و یا مرکز بخش هستند. مردم ناحیه به زبانهای گُردی و ترکی تکلم داشته و دارای بین اسلام هستند.

۱-۱-۳- جغرافیای اقتصادی

دستیابی به مناطق مختلف نقشه از بو مسیر امکان پذیر است یکی از طریق شهر خوی به بخش قطور، و سپس از مسیر راه شوسه مرزی به روستاهای بلجوک، پاسگاه گیلboran، روستای قورشاقلو و بلسور پائین، و مسیر دیگر از طریق شهر خوی به زورآباد و سپس روستاهای بخش شمالی منطقه امکانپذیر است. بخش عمدۀ راهها که روستاهای منطقه را به هم وصل می‌نمایند شوسه و خاکی است. حرفة اصلی مردم این منطقه دامداری، کشاورزی و قالی بافی است، در مناطق مرتفع و بویژه در بخش‌های جنوبی و شمالی چهارگوش دیزج دامپروری از رونق بیشتری برخوردار است.

۲-۱- زمین‌شناسی

۱-۲- چینه‌شناسی

در محدوده مورد بررسی سنگهای رسوبی، آذرین و نگرگونی از پرمین تا عهد حاضر

رخنمون دارند که واحدهای سنگی مختلف به شرح زیر است، شکل شماره ۱-۲- نقشه

زمین‌شناسی چهارگوش ۱:۱۰۰،۰۰۰ نیز ج را نمایش می‌نمد.

الف - واحدهای سنگی رسوبی - آتشفشاری :

واحدهای مذکور، مجموعه رخنمونهای سنگی از پالئوزوئیک تا دوران سوم را در بر

می‌گیرند.

واحد P : این واحد شامل سنگهای آهکی و بولومیتی تا حدودی بلورین برنگ خاکستری همراه با رگچه‌های کلسیتی سفید رنگ بحال توده‌ای و ضخیم لایه با آثار فسیلی فوزولینید است که با ضخامت حدود ۳۰۰ متر در جنوب نقشه رخنمون دارد. بخش زیرین این واحد در امتداد کسل رانکی بر روی سنگهای کنگلومرای پلیو-کواترنری رانده شده است. متاولکانیتهای سبز رنگ واحد mt در امتداد سطح گسله بر روی آنها رانده شده است. در محدوده مورد بررسی رخنمون سنگهای کربناته این واحد بسیار محدود بوده و با توجه به آثار فسیل فوزولینید، سن پرمین برای آنها در نظر گرفته شده است.

کرتاسه

واحد K^s : این واحد شامل تناوب شیل و سیلاتستون همراه با میان لایه‌های ماسه سنگ و کنگلومرا برنگ خاکستری تیره متمایل به سبز و بطور نادر لایه‌های نازک سنگ آهک است که با ضخامت حدود ۲۰۰-۳۰۰ متر در بخش شمالی نقشه گسترش وسیعی دارد و رخنمونهای

پراکنده‌ای از آنها نیز در خاور نقشه وجود دارد. دایکهای آپلیتی برنگ کرم- صورتی و یا بیابازی برنگ سبز تیره آنها را قطع کرده است. فازهای نگرگونی که موجب پدیدار شدن شیسته‌ای سبز و متاولکانیتهای واحد Sch شده‌اند هیچ‌گونه اثری بر روی سنگهای رسوبی این واحد نداشته است و به همین علت می‌توان سن نگرگونی سنگها را قبل از کرتاسه بر نظر گرفت. بر عمق حوضه رسوبی با توجه به وجود میان لایه‌های کنگلومرائی زیاد نبوده است. با توجه به تغییرات شدید رخساره‌ای، از گدازه‌های بالشی که بر محیط دریائی عمیق تشکیل یافته‌اند به سنگهای رسوبی کم عمق این واحد، و همچنین نبود آثار نگرگونی در سنگها می‌توان به وجود نایپیوستگی در قاعده این واحد پی برد. از طرف دیگر بر بخش‌های شمالی ناحیه این واحد با قاعده کنگلومرائی بر روی سنگها واحد K^{rt} نشسته که خود مؤید وجود نایپیوستگی در قاعده این واحد است. سنگ‌های آهکی - کنگلومرائی پالتوسن - ائوسن بصورت نایپیوسته و در برخی موارد با نگرشیبی زاویه دار بر روی سنگهای رسوبی این واحد جای گرفته است. سنگ آهک و یا سنگ آهک ماسه‌ای کرتاسه به مقدار خیلی کم بر لایه‌ای ماسه سنگها و شیلهای این واحد وجود دارد.

در حوالی روستای شیخ سلوی پائین و بالا، نهشته‌های این واحد با قاعده کنگلومرایی بر روی چرت‌های رادیولاریتی آهندار نشسته است و کنگلومرایی بخش قاعده‌ای در بردارنده عدسی‌هایی از آهک هستند.

پالتوسن (پالتوسن - ائوسن)

واحد Pa_{CSI} : این واحد شامل کنگلومرا همراه با شیل، ماسه سنگ و سنگ آهک بر مجموع

برنگ خاکستری و یا خاکستری متمایل به قرمز است. ضخامت آنها به حدود ۲۵۰ متر می‌رسد. قطعات کنگلومرا بیشتر از نوع سنگهای بازالتی کرتاسه پیشین، سنگهای نفوذی گابرویی-بیوریتی و سنگهای اولترامافیک است. جورشیدگی و گردشیدگی آنها ضعیف تا متوسط است و ابعاد آنها متفاوت بوده و حداقل به ۲۰ سانتیمتر می‌رسد این واحد بطور ناپیوسته بر روی سطوح فرسایشی واحدهای قدیمی‌تر از جمله گابرو-بیوریت و سنگهای اولترامافیک قرار گرفته است. عدسی و یا لایه‌های آهکی با رنگ روشن این واحد در حد امکان بصورت واحد Pa^1 ، و بخش‌های زیرین نیز که بیشتر شیلی هستند بصورت واحد Pa^{sc} تفکیک شده‌اند. بعلت تشابه لیتولوژی و سن آن با سازند فجن از منطقه البرز قابل مقایسه است.

واحد Pa^{slc} : این واحد Pa^{slc} شامل شیل، ماسه سنگ‌الوان، سنگ آهک و در برخی موارد کنگلومرا با ضخامت حداقل ۲۰۰ متر است که با واحد Pa^{cs} هم ارز است و ویژگی آن فراوانی شیل و ماسه سنگهای الوان و کمی میزان کنگلومرا است.

واحد PE : این واحد شامل سنگهای آهکی نومولیت دار با لایه‌بندی ضخیم تا توده‌ای برنگ خاکستری روشن و یا متمایل به قرمز رنگ است. ضخامت آنها به حدود ۴۰۰ متر می‌رسد در حوالی روستای بالابان، تودان و قورشاقلو بر روی واحد Pa^{cs} جای گرفته است، ولی بسمت شمال نقشه و حوالی روستای کلیسا، ملحملو و بغلچی پائین مستقیماً بر روی سنگهای رسوبی واحد K^s و یا آتشفسانی واحد K^{bp} کرتاسه پسین قرار گرفته است. هم بری آنها با سنگهای کرتاسه پسین ناپیوسته و هم شبی است. در حالت اخیر قاعده سنگهای آهکی

کنگلومراشی است، این واحد دارای سن پالئوسن تا ائوسن پیشین است.

واحد PE^{71s} : این واحد شامل جریانهای گدازه بازالتی حفره‌دار همراه با سنگ آهک صورتی و یا خاکستری رنگ همراه با شیلهای قرمز و سبز رنگ است که بر حوالی روستای قزلجه با ضخامتی حدود ۵۰۰ متر در بخش شمال خاوری ناحیه گسترش فراوان دارد. نهشته‌های این واحد بطور ناپیوسته و در برخی موارد دگرشیب بر روی بازالت‌های بالشی و یا شیل، ماسه سنگ و کنگلومرای تیره رنگ کرتاسه پسین قرار گرفته است، ولی در برخی نقاط این مجموعه رسوبی بر روی سنگهای آهکی پالئوسن - ائوسن پیشین جای گرفته و هم بری آندو احتمالاً ناپیوسته است.

نحوه

واحد Ng^{an} : شامل جریانهای گدازه و گدازه‌های برشی شده آندزیتی - تراکی آندزیتی بهمراه سنگهای آذرآواری است که با ضخامت حداقل ۲۵۰ متر در بخش‌های خاوری، مرکزی و تا حدودی شمالی نقشه گسترش دارد. سنگهای این واحد بر روی بازالت‌های بالشی تیره رنگ کرتاسه پسین، شیلهای کرتاسه پسین و یا سنگهای اولترامافیک جای گرفته است. سنگها آتشفشاری این واحد در برخی موارد بر اثر خروج محلولهای گرمابی بشدت دگرسان شده و برنگ خاکستری روشن و یا سفید در آمده است. سنگهای دگرسان شده آلونیتی، کائولینیتی، سریسیتی و سیلیسی شده‌اند. گدازه‌های تراکی آندزیتی پرفیری، تراکیتی پورفیری واحد PL^{pt} سنگهای آتشفشاری این واحد را بصورت دایک قطع کرده و یا بر روی آنها نشسته است.

واحد ad^Ng : این واحد شامل جریانهای گدازه آندزیتی - داسیتی همراه با توف برشی با ترکیب ریوداسیتی و توفیت مجموعاً برنگ خاکستری روشن است که با ضخامت حدود ۱۵۰-۱۰۰ متر در بخشهای مرکزی و خاوری نقشهٔ رخنمون دارد این واحد بصورت ناپیوسته بر روی سطوح فرسایش بازالت‌های بالشی کرتاسه پسین و سنگهای آهکی پالئوسن - ائوسن نشسته است. سنگهای آتشفشاری واحد ad^Ng بطور عادی و پیوسته بر روی سنگهای این واحد قرار گرفته، و در مجموع می‌توان سنگهای این واحد را با بخشهای زیرین واحد اخیر هم ارز دانست، بنابراین سن آنها بعداز ائوسن و احتمالاً نئوزن خواهد بود.

کواترنری

واحدهای Q^V , Q_1^t , Q_2^t و Q^{al} : مجموعهٔ واحدهای کواترنری است که شامل گدازه‌های پیروکسن آندزیتی اغلب حفره دار بهمراه اسکوری است که با ضخامت ۴۰-۶۰ متر در شمال خاوری نقشهٔ رخنمون دارد و همچنین خروج گازها و مواد فرار گدازه، سبب ایجاد تخلخل در برخی موارد شده است. واحد Q_1^t شامل نهشته‌های آبرفتی قدیم بصورت پادگانهای آبرفتی است، واحد Q_2^t شامل پادگانهای آبرفتی جدید است که از نهشته‌های تخریبی سخت نشده بصورت قلوه، ماسه و رس تشکیل شده است و واحد Q^{al} نیز شامل ریگ، ماسه و قلوه سنگ سفت نشده می‌باشد که در بستر رودخانه‌های کنونی ایجاد شده است.

ب - کمپلکس افیولیتی

این مجموعه از چندین واحد تشکیل شده است که شامل واحد Ub سنگهای اولترامافیک کم و بیش سرپانتنیزه برنگ سبز - خاکستری تیره است که در بخش‌های جنوب خاوری تا حدودی خاوری و شمال خاوری نقشه رخنمون دارد همچنین واحد Sr شامل سرپانتنیت همراه با سنگهای اولترامافیک سرپانتنی است و سنگهای این واحد با رنگ سبز تیره، سبز روشن و مغز پسته‌ای، رگه‌های سفید رنگ کلسیتی و یا منیزیتی را بر می‌دارند و واحد Ug شامل مجموعه‌ای از سنگهای اولترامافیک، سرپانتنیت، میکروگابرو - گابرو لایه‌ای و دایکهای بیابازی است. واحد Iv نیز شامل سنگهای آهکی پلاژیک برنگ صورتی همراه با جریانهای گدازه بازالتی است که با ضخامتی در حدود ۵۰۰ متر بر روی سنگهای اولترامافیک قرار دارد. واحد K^{bp} نیز شامل گدازه‌های بازالتی با ساختمان بالشی برنگ خاکستری تیره متمایل به سبز تیره است که در برخی موارد حفره‌دار و برشی است دایکهای بیابازی و توده‌های نیم ژرف میکروگابرویی آنها را قطع کرده است.

واحدهای K^{rt} , mg , gd و di و دیگر واحدها در این مجموعه قرار می‌گیرند. جهت کسب اطلاعات بیشتر به شرح چهارگوش ۱:۱۰۰،۰۰۰ زمین‌شناسی بیزج رجوع شود.

ج - واحدهای سنگی دگرگونه

واحد am : این واحد شامل آمفیبولیت و آمفیبول شیست برنگ سبز تیره است که در برخی موارد با میکاشیست همراه است و با همبری غیرعادی در زیرسنگهای متاولکانیکی واحد mt قرار گرفته‌اند. رخسارهای دگرگونی سنگها، آمفیبولیت است.

ب - کمپلکس افیولیتی

این مجموعه از چندین واحد تشکیل شده است که شامل واحد Ua سنگهای اولترامافیک کم و بیش سرپانتنیزه برنگ سبز - خاکستری تیره است که در بخش‌های جنوب خاوری تا حدودی خاوری و شمال خاوری نقشه رخنمون دارد همچنین واحد Sr شامل سرپانتنیت همراه با سنگهای اولترامافیک سرپانتنی است و سنگهای این واحد با برنگ سبز تیره، سبز روشن و مفز پسته ای، رگهای سفید رنگ کلسیتی و یا منیزیتی را بر بردارند واحد Ug شامل مجموعه‌ای از سنگهای اولترامافیک، سرپانتنیت، میکروگابرو - گابرو لایه‌ای و دایکهای بیابازی است. واحد lv نیز شامل سنگهای آهکی پلاژیک برنگ صورتی همراه با جریانهای گدازه بازالتی است که با ضخامتی در حدود ۵۰۰ متر بر روی سنگهای اولترامافیک قرار دارد. واحد bP نیز شامل گدازه‌های بازالتی با ساختمان بالشی برنگ خاکستری تیره متمایل به سبز تیره است که در برخی موارد حفره‌دار و بررشی است دایکهای بیابازی و توده‌های نیم ژرف میکروگابرویی آنها را قطع کرده است.

واحدهای K^{rt} , mg , gd , di و دیگر واحدها در این مجموعه قرار می‌گیرند. جهت کسب اطلاعات بیشتر به شرح چهارگوش ۱۰۰،۰۰۰: زمین‌شناسی دیزج رجوع شود.

ج - واحدهای سنگی دگرگونه

واحد am : این واحد شامل آمفیبولیت و آمفیبول شیست برنگ سبز تیره است که در برخی موارد با میکاشیست همراه است و با همبری غیرعادی در زیرسنگهای متاولکانیکی واحد mt قرار گرفته‌اند. رخسارهای دگرگونی سنگها، آمفیبولیت است.

۵- سنگهای نفوذی

واحد gr: شامل توده‌های نفوذی گرانوپیوریتی آمفیبول دار و بیوریتی است که شیستهای سبز رنگ و متأولکانیت‌های کرتاسه پسین-پالئوسن را قطع کرده و بر شمال خاوری ناحیه مورد بررسی رخنمون محدودی دارند.

واحد mt: این واحد شامل متأولکانیک، همراه با شیست با رخساره نگرگونی شیست سبز از نوع سریسیت، کلریت شیست، آلبیت اپیدوت شیست و آمفیبول شیست، و مرمر و سنگهای آهکی بلورین برنگ کرم خاکستری روشن است. ضخامت این واحد به ۱۵۰۰ متر می‌رسد. دایکهای آپلیتی، رگه‌های سیلیسی و توده‌های بیوریتی-گابروئی و یا میکروگابروئی آنها را قطع کرده است.

واحد mb: این واحد شامل سنگهای مرمر، مرمر کانی دار و سنگهای آهکی بلورین برنگ خاکستری روشن است که بصورت عدسی‌های بزرگ در درون واحد mt جای دارند و ضخامت آنها حداقل به حدود ۲۰۰۰ متر می‌رسد.

واحد ۱ M: این واحد شامل سنگهای آهکی و بولومیتی بلورین است که بصورت بلوکهای بیکانه در درون سنگهای اولترمافیکی سرپانتینی جای دارد. رخنمون بسیار کوچکی از این واحد در حوالی روستای بالابان قابل مشاهده است.

LEGEND

Geological Cross-Section Diagram

Legend:

- Drainage: Blue line
- Road: Black line
- Fault: Red line
- Village: Black diamond
- Active Mine: Red X

Stratigraphy:

CENOZOIC		QUATERNARY	
		TERTIARY	
		PALEOGENE	
		LATE PALEOCENE-EOCENE	
MESOZOIC	CRETACEOUS	Q ^t : Young terraces	
PERMIAN	JURASSIC	Q ^{tr} : Travertine	
		Q ^t : Old terraces	
		Q ^{sc} : Scree	
		Q ^v : Grey pyroxene andesitic lava flows with scoria	
		Ng ^{an} : Andesitic-trachyandesitic lava flows with brecciated lava and tuff breccia	
		Ng ^{ad} : Andesitic-dacitic lava flows with rhyolitic tuff breccia and lithic tuff	
		PE ^{vls} : Vesiculated basaltic lava flows with reddish limestone and coloured shale	
		PE ¹ : Light grey Nummulitic limestone, reddish limestone (Late Paleocene-Eocene)	
		PE ¹ : Light grey Nummulitic limestone (Late Paleocene-Early Eocene)	
		Pa ^{scl} : Coloured shale, sandstone with limestone and minor conglomerates	
		Pa ¹ : Light grey Nummulitic Limestone (Paleocene)	
		Pa ^{sc} : Greenish grey shale, sandstone with intercalations of Conglomerate and lenses of limestone	
		Pa ^{csl} : Red to green Conglomerate with shale, sandstone and lenses of Nummulitic limestone	
		K ^s : Alternation of shale and sandstone with intercalation of conglomerate, and some limestone	
		P: Dark grey, crystallized limestone, dolomitic limestone with crystallized traces of fusulinid	

Ophiolite complex

C R E T A C E O U S	di: Dark green diabasic
gd	gd: Gabbro-diorite, microgabbro-microdiorite
mg	mg : Microgabbro
K ^{lv}	K ^{lv} : Pink plagic limestone, basaltic lava flows partly with radiolarian chert
K ^{bp}	K ^{bp} : Dark greenish grey basaltic pillow lava, partly vesiculated or brecciated with pink plagic limestone and shale
K ^{pl}	K ^{pl} : Pink plagic limestone (Santonian-Campanian)
K ^b	K ^b : Dark greenish grey spilitic basalt
K ^{rt}	K ^{rt} : Reddish brown radiolarian chert
ug	ug : Ultramafic rocks, layered microgabbro-gabbro with diabasic dikes
ub	ub : Partly serpentinized ultramafic rocks (mainly harzburgite and dunite)
sr	sr : Serpentinite

Metamorphosed rock units


 mt : Green meta-volcanics with green schist and crystallized limestone
 sch: Green chlorite, serisite schist, albite, epidote schist with minor meta-volcanics
 and crystallized limestone
 mb: Light grey marble, calc schist, slightly metamorphosed limestone


 am : Dark green amphibolite partly with mica schist

Intrusive rocks

Pl^{pt}: Porphyritic-megaporphyritic trachyte-trachyandesite as domes or dikes (Pliocene?)

Pl^m: Porphyritic microquartz monzonite-micromonzodiorite, microsyenite as domes (Pliocene?)

gr : Granodiorite,diorite

M¹: Light grey, crystallized limestone and dolomite as exotic blocks in ultramafic rocks

واحد PI^m : این واحد شامل توده‌های نفوذی نیمه ژرف با ترکیب میکروکوارتز مونزونیت پرفیری تا میکرومونزوبیوریت کوارتزدار و میکروسیننیت است که با رخنمون محدود و گند مانند، بازالت‌های بالشی و یا شیلهای کرتاسه پسین را قطع کرده‌اند.

واحد PL^t : شامل گدازه تراکیتی - تراکی آندزیتی پرفیری تا مگاپرفیری است که بصورت جریان گدازه بر روی سنگ‌های آندزیتی واحد ^{Ng₂₀} قرار گرفته و یا بصورت دایک آنها را قطع کرده است. ساخت منشوری و گنبدی در آنها بیده می‌شود. رنگ سنگ‌ها خاکستری تیره تا روشن است.

۱-۲-۲ - زمین‌شناسی ساختمانی

ناحیه مورد بررسی در شمال باختری ایران قرار گرفته و با توجه به تقسیمات واحدهای ساختمانی - رسوبی ایران اشتولکلین (۱۹۶۸)، بخشی از کمربند لگرگونی و افیولیتی سنندج - سیرجان، و براساس تقسیمات افتخارنژاد (۱۲۵۹) بخشی از زون آمیزه رنگین و افیولیتی محسوب می‌گردد. قدیمی‌ترین واحد سنگی شناخته شده شامل سنگ‌های لگرگونی از نوع آمفیبولیت (واحد am) با سن احتمالی پرکامبرین و سنگ‌های کربناته با سن پرمین است. مجموعه سنگ‌های افیولیتی شامل سنگ‌های اولترامافیک، بازالت‌های بالشی بهمراه سنگ‌های آهکی پلاژیک با سن کرتاسه پسین دایک‌های دیابازی و توده‌های نفوذی گابریئلی - بیوریتی و میکروگابریئلی است که در مجموع پوسته اقیانوسی را بر کرتاسه پسین تشکیل داده و

بر اساس نتایج ژئوشیمیابی بازالتها از نوع تولئیتی بوده و در امتداد ریفت‌های اقیانوسی تشکیل یافته‌اند. فازهای کوهزایی سیمرین در فاصله زمانی بین سنگهای پرمین و کرتاسه پسین عمل کرده است در اوآخر کرتاسه پسین و اوایل پالئوسن فازهای معامل یا لارامید موجب بسته شدن اقیانوس، چین خوریگی نهشته‌های رسوبی-آتشفشاری گشته است. در حوضه‌های رسوبی پالئوسن-ائوسن نهشته‌های کم عمق کنگلومرا ماسه سنگ، شیل و سنگهای آهکی به همراه سنگهای آتشفشاری تشکیل گردیده و در مراحل بعدی بر اثر عملکرد گسل‌های رانده بالا آمده و بر روی نهشته‌های تخریبی و کربناته پالئوسن و اائوسن رانده شده است. سیستم‌های مختلف گسله بترتیب اهمیت شامل راستای عمومی N30E، N35W، N70W و N30E هستند. در بخش شمال خاوری نقشه تعدادی از گسل‌ها با روند شمال باخته-جنوب خاور و اغلب از نوع راندگی وجود دارد که گسل زورآباد و انبار از جمله آنها محسوب گشته و در حوالی آنها فعالیتهای آتشفشاری کواترنری و نئوژن صورت پنیرفته است. در امتداد گسل نیز الجد بازالتها بالشی بسمت جنوبغرب حرکت کرده و بر روی نهشته‌های پالئوسن، سنگهای اولترامافیک و گایپرو-دیوریتی رانده شده است. اغلب راندگیها شبیه به سمت شمال خاور دارند که خود نشانده‌ند حركات تکتونیکی از نوع همگرا در راستای شمال باخته-جنوب خاور است. در بخش‌های مرکزی و شمال نقشه فعالیتهای وسیع آتشفشاری نئوژن و کواترنری با ترکیب متوسط و اسیدی به چشم می‌خورد که همزمان با فازهای کششی و در امتداد شکستگی‌های قدیمی بوجود آمده‌اند.

براساس نتایج ژئوشیمیایی بازالتها از نوع تولثیتی بوده و در امتداد ریفت‌های اقیانوسی تشکیل یافته‌اند. فازهای کوهزایی سیمرین در فاصله زمانی بین سنگهای پرمین و کرتاسه پسین عمل کرده است در اوآخر کرتاسه پسین و اوایل پالئوسن فازهای معادل یا لارامید موجب بسته شدن اقیانوس، چین خوریگی نهشته‌های رسوبی – آتشفشاری گشته است. در حوضه‌های رسوبی پالئوسن – ائوسن نهشته‌های کم عمق کنگلومرا ماسه سنگ، شیل و سنگهای آهکی به همراه سنگهای آتشفشاری تشکیل گردیده و در مراحل بعدی بر اثر عملکرد گسل‌های رانده بالا آمده و بر روی نهشته‌های تخریبی و کربناته پالئوسن و ائوسن رانده شده است. سیستم‌های مختلف گسله بترتیب اهمیت شامل راستای عمومی N30E، N70W و N35W هستند. در بخش شمال خاوری نقشه تعدادی از گسل‌ها با روند شمال باختر – جنوب خاور و اغلب از نوع راندگی وجود دارد که گسل زورآباد و انبار از جمله آنها محسوب گشته و در حوالی آنها فعالیتهای آتشفشاری کواترنری و نئوژن صورت پذیرفته است. در امتداد گسل بیزج‌الند بازالت‌های بالشی بسمت جنوب‌غرب حرکت کرده و بر روی نهشته‌های پالئوسن، سنگهای اولترامافیک و گابرو-دیوریتی رانده شده است. اغلب راندگیها شبیه به سمت شمال خاور دارند که خود نشانده‌نده حرکات تکتونیکی از نوع همگرا در راستای شمال باختر – جنوب خاور است. در بخش‌های مرکزی و شمال نقشه فعالیتهای وسیع آتشفشاری نئوژن و کواترنری با ترکیب متوسط و اسیدی به چشم می‌خورد که همزمان با فازهای کششی و در امتداد شکستگی‌های قدیمی بوجود آمده‌اند.

۳-۲-۱- زمین‌شناسی اقتصادی

کانی‌سازی فلزی و غیرفلزی در محدوده نقشه به تفکیک زیر می‌باشد:

کروم (Cr): در حوالی روستای تودان در درون سنگهای اولترامافیک کانی کرومیت بصورت عدسیهای کم ضخامت دیده شده است. سنگهای دربرگیرنده از نوع هارزبورژیت و بطور محلی بونیت سرپانتینیزه است.

مس (Cu): کانی‌سازی ضعیفی از مس و آهن در حدود ۲/۵ کیلومتری شمال خاوری جنگه سر بر کنار راه شوسه در درون سنگهای بازالتی بالشی بصورت رگه‌ای وجود دارد که در آنها کانی همانیت، پیریت و کالکوپیریت قابل تشخیص است.

کائولینیت: در بخش‌های مرکزی و تا حدودی خاوری بر اثر خروج محلولهای گرمابی سنگهای آتشفسنی نئوژن با ترکیب متوسط تا اسیدی و همچنین تا حدودی سنگهای بازالتی کرتاسه پسین به شدت کائولینیتی، آلونیتی و سیلیسی شده و برنگ سفید، کرم و زرد آمده است. بخش‌های نگرسانی شده شدید بصورت اندیس کائولینیت مشخص شده است.

منیزیت و آربست: آربست نوع آمفیبول و منیزیت سفید رنگ بصورت رگه‌های کم ضخامت در درون سنگهای اولترامافیک سرپانتینی حوالی روستای بالابان در حد اندیس دیده شده است.

۳-۱- شرح مختصر نقشه ژئومغناطیس هوایی

بکی از پارامترهای ویژه و شاخص در طراحی نقشه‌های نمونه برداری و در طی عملیات نفتی استفاده بهینه از نقشه‌های ژئومغناطیس هوایی می‌باشد. نقشه‌های ژئومغناطیس هوایی بر پارهای از مناطق وجود گسلهای عمیق و توده‌های نفوذی کم عمق را نشان داده است. این نواحی به عنوان مناطق مستعد جهت کانی‌سازی احتمالی مورد توجه می‌باشد.

بر این مطالعات از روش مغناطیس سنجی هوایی استفاده شده است که برگرفته از نقشه ژئوفیزیک هوایی با مقیاس $1:250,000$ خوی می‌باشد این برداشت‌ها بر پایه ارتفاع پرواز بلوکهای این منطقه بر 6500 ، 8000 و 11000 فوت طراحی شده است. مقاطع پروازی بر تمام بلوکها با یک پوشش $7/5$ کیلومتری در مختصات 90 تا 270 درجه انتخاب شده است خطوط گرهای (Tie) با یک پوشش فضایی 4 کیلومتری عمود بر مقاطع تحت پوشش پروازی قرار گرفته است. فوائل کنتوری برای شدت کل مغناطیس برای خطوط فرعی 2 گاما و برای خطوط اصلی 10 گاما محاسبه شده است. تفسیر و پردازش داده‌ها با استفاده از روش تفکیکی و با توجه به نقشه‌های شدت کل مغناطیس صورت گرفته است.

نیچگونه گسل مهمی در نقشه ژئومغناطیس هوایی درج نگردیده است. امتداد محور ناویس ملحملو با راستای شمال باخته - جنوب خاور بر راستای آن در نقشه زمین شناسی مشابه و بر این ساختار زمین‌شناسی منطبق است. از لحاظ اکتشاف بخش نفوذی کم عمق ممکن است دارای پتانسیل معدنی باشد. بخشی از این منطقه نیز با توجه به مرزی بون، تحت پوشش برداشت ژئومغناطیس هوایی قرار نگرفته است. بخش‌های نفوذی کم عمق در منطقه در

بو بخش جنوب دیزج و جنوب و جنوب با ختر آغ راغ قرار گرفته و حائز اهمیت است.

۱-۲ - مطالعات انجام شده پیشین:

توجه به انجام اکتشافات پیشینیان که بر سالیان گذشته توسط بخش دولتی یا خصوصی صورت گرفته است بر اجرای هر گونه پروژه اکتشافی حائز اهمیت است چرا که توجه ویژه به عملیات انجام شده توسط پیشینیان راه گشای اکتشافات نوین و بهینه در زمان حال و آینده خواهد بود.

مطالعه و بررسی بر روی غالب معانی فعل کنونی می‌تواند نشاندهنده آثار و شواهد کار گنشتگان باشد بطوری که هم اکنون بر بیشتر معانی فعال ایران آثار کار قدیمی و شدادی بصورت علایمی همچون سرباره کورمهای قبیمی، تفالهای معدنی نوب شده و غیره مشاهده می‌گریند که می‌تواند ارزش کار اجداد و نیاکان ما را بر زمینه معدنکاری بر این مرز و بوم نشان نهد.

ورقه ۱:۱۰۰،۰۰۰ دیزج یکی از برگهای ۱:۱۰۰،۰۰۰ این محور اکتشافی (ماکو-اشنویه) بوده که بطور چکیده، عنوانین بررسرهای انجام شده توسط گذشتگان در نیل آورده می‌شود.

۱- نقشه ۱:۲۵۰،۰۰۰ خوی که بر سار ۱۹۷۸ توسط آقایان م. قریشی و س. ارشدی تهیه شده است.

۲- نقشه ۱:۱۰۰،۰۰۰ دیزج که توسط نایان ب. امینی و ج. رانفر با همکاری م. خلعتبری و ع. بحروفی تهیه شده است.

بخش دوم : اكتشافات ژئوشيميايى

مقدمه

اکتشافات ژئوشیمیابی امروزه بعنوان یکی از لایه‌های مهم اطلاعاتی بر اکتشاف مواد معدنی بر جهان شناخته شده است. گسترهٔ میدان آنالیزهای ژئوشیمیابی، حد تشخیص و حساسیت مناسب بر سنتگاههای آنالیز کننده و نقطه آنها، امکان آنالیز متغیرهای گوناگون ژئوشیمیابی، روش‌های متتنوع بر پردازش داده‌ها با هدف اخذ نتایج بپینه، نرم افزارهای مناسب و کارآمد ... بعنوان سمت افزارهایی است که ژئوشیمیست‌های توین بر نیل به اهداف اکتشافی به آنها تکیه کرده و بپره می‌برند.

بر حقیقت تحولات سالهای اخیر را می‌توان بعنوان انقلاب بر سیستم‌های اکتشافی قلمداد نمود که بر راستای آن دستاوردهایی شایان توجه بر زمینه اکتشافات ژئوشیمیابی حاصل شده که حاصل تلاش بی‌وقفه اساتید این شاخه و پی‌گیری مستمر رهروان این علم است.

حجم عظیم اطلاعاتی که در جریان داده پردازی‌های ژئوشیمی اکتشافی وارد شده، کارشناسان را بر آن می‌دارد که پس از رقومی (Digitize) کردن آنها به راه حل‌هایی متولّ شوند که نتیجه آن دستیابی به مناطق پرپتانسیل و امید بخش است.

امروزه بر بسیاری از کشورهای پیشرفته و توسعه یافته، تداوم عملیات اکتشافی و استخراجی، تحت تأثیر سیاست‌گذاران زیست محیطی و پیشروان جنبش سوز قرار گرفته است و رویکرد این فعالیتها به کشورهای جهان سوم و در حال توسعه امری طبیعی است. مسلم است که چرخ عظیم صنایع پیشرفته نانیروی مواد خام اعم از فسیلی و غیر فسیلی در حیطه اکتشافات معدنی است و اکتشافات ژئوشیمیابی نقش بسیار این راه بعنه گرفته

کارایی سیستم کلاسیک اکتشافی و تکیه بر پاکت‌های عینی بر صحرا امروزه بر اکتشافات چندان جایگاه مقبولی ندارد، هنر اکتشافات با بر نظر گرفتن قوانین آمار و احتمالات و با بر نظر گرفتن احتمال تمرکز ماده معینی، احتمال کشف و نوسانات قیمت‌ها است که بر یک روند تسلیسل، مسترسی به اهداف اکتشاف را سهولتر و آسانتر می‌نماید.

بخش عمده‌ای از فعالیت‌های ژئوشیمی اکتشافی بر سرلوحة وظایف سازمان زمین‌شناسی و اکتشافات معینی تمرکز یافته است. سیاستگزاران مسائل اکتشافی از بیانگاه کلان، اهمیت اکتشافات ژئوشیمیابی را نیک دریافت و تا آنجا که بر توان است برآورده که جایگاه مناسب و برخور آنرا بر چارچوب تدوین سیاست‌های عالی اکتشافی شکل دهنند. بدین‌گاه از راهکارهای مرکزیت اکتشافی وزارت صنایع و معادن، اولویت‌بندی اکتشافی و تحقق پیش زمینه آن یعنی تهیه نقشه و تدوین گزارشات اکتشافات ژئوشیمیابی بر مقیاس ۱:۱۰۰،۰۰۰ است. براین راستا طرح اکتشافات ژئوشیمیابی سراسری کشور تنظیم شده و بصورت برنامه‌ای بموازات برنامه‌های توسعه (میان مدت و بلند مدت) بر حال انحصار است. در گام نخست ۲۰ زون با منطقه اولویت دار تهیه و تنظیم گردید که منطقه ماکرو-اشتباهی از حمله مناطقی است که اولویت اکتشافی آن بر برنامه سال ۱۳۷۹ و در حیطه وظایف گروه اکتشافات ژئوشیمیابی سازمان زمین‌شناسی و اکتشافات معینی کشور تعریف شد.

فصل اول - نمونه برداری و آنالیز نمونه‌ها

۱-۱- مقدمه

نمونه برداری را بعنوان انتخاب بهینه و برداشت جزء معرف از یک جامعه معرفی کردند.

طبعی است که بر پروژه‌های اکتشافی حقیقت یک پیمده کانسازی را تا برداشت آخرين قطعه

کانساز نمی‌توان با قطعیت کامل ابراز نمود، بنابراین نمونه برداری نیز بعنوان یک پیمده

احتمال پنیره مراد با ضریبی از خطأ و سطحی از اعتبار معرفی می‌شود. تلاش کارشناسان بر

طراحی نمونه برداری و اجرای آن تا آنجا که می‌شود بر پرهیز از بروز خطاهایی است که

چنانچه بر مجموعه خطای کل قرار گیرد، بطور یقین اعتبار داده برداری و نتایج نهایی را مورد

شك و ترجیح قرار می‌نماید.

اختلاف عnde نمونه برداری و سرشماری در آن است که در کار سرشماری همه اعضاء

جامعه مورد مطالعه، تحت سؤال و آنالیز قرار می‌گیرند و بر مجموع می‌توان با قطعیت بر

موردهاین جامعه به بررسی و داوری نشست اما در نمونه برداری که یک امر احتمال پنیر است،

از بینگاه یک نمونه معرف به داوری در مورد یک جامعه متسب به آن پرداخته می‌شود. بنابراین

و با توجه به تراکم و جذالی نه چندان مناسب نمونه های بر پروژه اکتشافی خواهی - اشتباهی،

اهمیت طراحی نمونه های این نظر گرفتن عوامل مؤثر در آن، برداشت نمونه با حداقل رفت،

اعمال نظر کارشناسی بر تغییر محل نمونه در موقع ضروری، اضافه کردن یا حذف یک نمونه

در موارد خاص و نکر نلایل آن، همکی از مواردی مستند که جزء ملزمات یک پروژه اکتشافی

به شمار می‌آید و کل نست اندکاران موظف به اجرای صحیح آنها شود.

عملیات نمونه برداری بعنوان نخستین گام بر راه کسب اطلاعات از پهنه زمین است و کارشناسان مسئول به راههای گوناگون کوشیده‌اند تا بهترین راهها را برای کسب این اطلاعات بر پیش گیرند. این اطلاعات تا زمان انجام آنالیز ژئوشیمیابی بصورت نهان و خام بر دل نمونه‌ها نهفته است. مراحلی گوناگون، از آن شمار مراحل آماده‌سازی صحرایی (انتخاب قطر بھینه نرات، انتخاب وزن بھینه نمونه، خشک کردن احتمالی و ...) و مراحل آماده‌سازی آزمایشگاهی (آسیاب کردن، پویر کردن، همگن کردن، تقسیم کردن، انتخاب نمونه مورد آزمایش و انتخاب نمونه بایگانی و ...) بر روی نمونه‌ها انجام می‌شود تا نمونه از حالت خام به حالت پرورده بر آمده و نتایج آن پس از سیر روند آنالیز بصورت کم رسانیم کمی و گاه کیفی بر اختیار کارشناسان داده پرداز قرار گیرد.

هر کدام از این مراحل نیز بر برگیرنده خطای خطا است که بر مجموعه خطای کلی نقش خواهد داشت. اما نتایج آنالیز با روشهای گوناگونی تحت کنترل در می‌آید و تلاش بر آن است که با تکیه بر توانائی‌ها و محتویات‌های دستگاهی بر انتخاب بهترین روش آنالیز گام برداشت. با توجه به بعضی از مسائل، سمتگاه XRF پرتابل برای آنالیز نمونه‌ها انتخاب و توصیه شد، لیکن تلاش کارشناسان گروه بر زمینه اثبات عدم کارآیی سمتگاه منکور قبل از انجام آنالیز به جایی نرسید و نتایج آنالیز پس از بررسی خطای دستگاهی منجر به ارائه گزارشی گردید که بصورت حدگانه ارائه شده است.

۲-۱- انتخاب محیط نمونه برداری

بصورت کلی بر اکتشافات ژئوشیمیابی ناحیه‌ای با مقیاس ۱:۱۰۰،۰۰۰ نمونه برداری از

رسوبات آبراهه‌ای مدنظر است، اما پیش از عملیات صحرایی برداشت نمونه و ارسال برای آنالیز نخست باید محیط مناسب نمونه‌برداری بررسی و سپس شبکه نمونه‌برداری طراحی و تهیه کرد.

انتخاب محیط مناسب نمونه‌برداری از اهمیت بسزایی برخوردار است و همچنان که می‌دانیم در بررسی‌های ژئوشیمیائی ناحیه‌ای بهترین مکان برای نمونه‌برداری، رسوبات روبخانه‌ای است که آن خود معلول شرایط مختلف آب و هوایی و وضعیت زمین‌شناسی، توپوگرافی، کانی‌سازی و همچنین شبکه آبراهه‌ها و شبکه کلی منطقه است.

میزان بارندگی بر محیط‌های مختلف عامل درجات متفاوتی از انواع فرسایش مکانیکی و شیمیایی و سرانجام میزان انتقال رسوبات است. شدت و نوع فرسایش و انتقال رسوبات حاصل از آن نیز در مناطق با ارتفاع گوناگون ناهمسان است. با بررسی کامل حوضه‌های آبریز، طراحی و برداشت نمونه‌ها، امکان بررسی نهایی و مستیابی به اطلاعات حوضه‌های بالا در فراهم می‌آید و این خود رونمایی برای رسیدن به آنومالی‌های احتمالی است. روشن است که مناطق در بردارنده پتانسیل احتمالی، بر شرایطی موجود می‌آیند که کانی‌سازی (ماله‌های اولیه)، بر محیطی که رسوبات از آن منشاء گرفته‌اند، رخداده باشد. بر غیر اینصورت ممکن است رسوبات حمل شده از مناطق فاقد کانی‌سازی، محیطی را پوشانند که کانی‌سازی در آن صورت گرفته باشد، بر واقع نمونه برداشت شده از رسوبات سطحی جدید فاقد کانی‌سازی است که این امر خود می‌تواند خطای ارزیابی آنومالی را بهمراه داشته باشد. بر ارتباط با این مسئله برای انتقال و حمل رسوبات از یک بخش با محیط حوضه آبریز گسترده به بخش با محیط نیکر، می‌توان چهار حالت را فرض نمود که عارتند از:

۱- انتقال از یک بخش کانی‌سازی شده به بخش بیگر کانی‌سازی شده، در این حالت، هم رسوبات سطحی و هم رسوبات و لایه‌های زیرین همراه با پتانسیل کانی‌سازی است و از خود آنومالی نشان می‌یابند.

۲- انتقال از یک بخش کانی‌سازی شده به بخش بیگر کانی‌سازی نشده، در این صورت فقط لایه رسوبات سطحی برابردارنده پتانسیل و آنومالی است.

۳- انتقال از یک بخش کانی‌سازی نشده به بخش بیگر کانی‌سازی شده، این نقل و انتقال پاعث پوشش سطحی لایه کانی‌سازی شده و بر صورت نمونه‌برداری از سطح، منطقه بر ارزیابی، عقیم متصرّر می‌شود.

۴- انتقال از یک بخش کانی‌سازی نشده به بخش بیگر کانی‌سازی نشده، در این حالت لایه‌های سطحی و زیرین بین پتانسیل و آنومالی است.

بر باره حالت اول و جبارم به تقریب وضعیت روشن و مشخص است، یعنی مستتبایی به بخش برابردارنده پتانسیل و آنومالی (حالت اول) یا شناسایی منطقه‌ای که هیچگونه پتانسیل و آنومالی ندارد (حالت جبارم)، اما در مورد وضعيت نوم و سوم بایستی تمهداتی برای جلوگیری از خطأ و رفع نشواری اندیشید. تشخیص اینکه فقط لایه سطحی برابردارنده پتانسیل و آنومالی است و لایه زیرین بین پتانسیل و آنومالی است و عکس آن، امر مهمی است که بایستی رفت لازم برای شناخت لایه پوششی حوضه آبراهه‌ها بعمل آید.

۱-۳- طراحی محل نمونه‌ها

یکی از مراحل مهم و اساسی هر فاز اکتشافی طراحی نقاط نمونه برداری است که بعنوان

اساس و پایه کار باستی بدن خط او یا با کمترین خط او صورت گیرد. طراحی منکور با بررسی و شناخت حوضه‌های آبریز و شبکه آبراهه‌ها و با هدف نمونه برداری از رسوبات رویخانه‌ای انجام می‌گیرد. البته عوامل مختلفی نیز می‌تواند در طراحی نمونه‌های خیلی باشد، از آنجمله می‌توان به عدم گستردگی رخمنون سنگی، محبوب‌های وسیع از پوشش گیاهی، وجود بریا یا بریاچه (همچون برگ ارومیه)، مزارع گسترده و مناطق کشاورزی اشاره کرد.

بر هر حال نخست با بررسی نقشه توپوگرافی ۱:۵۰،۰۰۰ منطقه، محبوب‌های حوضه‌های آبریز بررسی و سیستم آبراهه‌ها تکمیل می‌شود. سپس با استفاده از نقشه زمین‌شناسی منطقه، با مر نظر گرفتن واحدهای سنگی مستعد کانی سازی، توده‌های نفوذی، همیریهای مهم، سیستم‌های گسلی، معان قبیمی و فعال و ... و همچنین با استفاده از نقشه ژئومغناطیسی هواپی و بررسی شواهد موجود در آن از جمله گسلهای پنهان و وضعیت توده‌های نفوذی نیمه عمیق (Shallow Magnetic Bodies) و سرانجام بررسی وضعیت جغرافیای منطقه، راههای سترسی و با توجه به زمان و بوجه پروژه، امر طراحی نمونه‌های دار ورقه انجام می‌شود برای طراحی بھینه نمونه‌ها و انتخاب مناسبترین نقاط علاوه بر زمان و بوجه معیارهای زیر بایستی مدنظر قرار گیرند.

- بستیابی به بیشترین توزیع یکنواخت نمونه‌های کل نقشه

- رعایت چگالی نمونه برداری ژئوشیمیایی و کانی سنگین براساس استاندارهای جهانی

و ویژگیهای هر نقشه

- توزیع همگون و حتی الامکان یکنواخت نمونه‌ها متناسب با سطح حوضه آبریز و تعداد

انشعابات آن

- اولویت به رسوبات رویخانه‌ای که سنگ بستر خود را قطع می‌کنند.

- بررسی امکانات حاده‌ای و در نظر گرفتن شرایط اسکان موقت در مراکز روستایی و

نزدیکترین محل به نقشه.

- واکناری اختیار به کارشناسان نمونه‌بردار در بارهٔ حنف با اضافه کردن نمونه‌های دیگر.

نقاط مورد نظر (این امر باید به گونه‌ای مستدل در گزارش صحرایی قید گردد).

تعداد نمونه‌های طراحی شده برای برگه‌های ۱:۱۰۰،۰۰۰ در این پروژه با استاندارد

چهانی فاصله زیادی ندارد، اما بنا به رعایت بعضی از موارد و با توجه به مطالب بالا و فمچنین

با طراحی نمونه‌های کالی سنگین، مرحله طراحی نمونه‌ها به انجام رسید. پس از مرحله طراحی

نمونه‌ها به انجام رسید. نقشه‌های توپوگرافی مربوطه، برای رقومی شدن محل نمونه‌ها و

بیش زمینه رقومی کردن آبراهه‌ها، جاده‌ها، روستاهای ۰۰۰ اسکن (Scan) شدند و با کمک از

نرم‌افزارهای AutoCAD و Excel لیست نمونه‌ها همراه با مختصات آنها بر سیستم (1909)

Hayford (utm) تهیی و ساخته شد. احتیار گروههای صحرایی (نمونه بردازی) قرار گرفت. مختصات

دقیق هر نمونه همراه با نقشه‌های نمونه‌برداری و مستگاه GPS کنک شایانی را در برای

تبیل امر نمونه‌برداری می‌کنند.

بطور کلی چگالی نمونه‌های تراویه به وضعیت شاخص برگه دیزج در خمنون سنگی آن به

تقریب یک نمونه ژئوتیپیکی برای هر ۲ کیلومتر مربع (در کل ۷۷ نمونه) و یک نمونه کانی

سنگین برای هر ۶ کیلومتر مربع (در کل ۵۷ نمونه) است.

۴-۱- عملیات صحرایی نمونه برداری

بطور کلی مراحل مختلف اکتشافات ژئوشیمیایی همچون طراحی نمونه‌ها، نمونه‌برداری، آنالیز نمونه‌ها، داده‌پردازی، بررسی و تدوین گزارش همانند دانه‌های زنجیر بهم‌پیوسته می‌باشد و از آنجا که داده‌های حاصل از آنالیز نمونه‌ها بر مرحله داده‌پردازی و تعیین نواحی آنومالی نقش اساسی را بر عهده دارند لذا نقطت بر نمونه‌برداری همچون بیگر مراحل بسیار مهم است.

پس از طراحی محل نمونه‌ها، گروههای کاری با ترکیب مسئول برگه، کارشناس همراه و تکنیسین شکل می‌گیرد. گروههای مختلف بر بوره‌های متعدد کار نمونه برداری از ۱۲ برگه پروژه ماکو-اشنویه را سازمان دارند. (گزارش پیشرفت فیزیکی پروژه ماکو-اشنویه). مرحله نمونه برداری با توجه سرپرستان اکیپها بر اهمیت این مرحله و راهکردهای کنترلی و نظارت کارشناس ارشد بخثر اکتشافات ژئوشیمیایی بر عملکرد گروهها به انجام رسید. اهمیت این مرحله را می‌توان به زیرینای یک سازه تشبيه کرد که بایستی بر تکه گعنی مستحکم و استوار قرار گیرد و گروههای مسئول بر این پروژه براین واقعیت معتبرفند که خطای نمونه‌برداری به تقریب جبران ناپذیر است و باعث اتلاف وقت و هزینه و برنهایت احتیاج نادرست خواهد شد.

گروههای نمونه بردار با استفاده از نقشه توپوگرافی و مختصات نقاط تثبیت شده بر سنتگاه موقعیت یاب جبانی (GPS)، نمونه‌ها را برداشت کردند. نمونه‌ها پس از مرحله آماده‌سازی صحرایی بر کیسه‌های مناسب و بولایه ریخته و شماره آنها بصورت برچسب و همچنین بصورت اتیکیت درون نمونه هاثبت می‌شود. لیست نمونه‌های برداشت شده بر پایان

هر روز بر محل کمپ صحرائی کنترل و با تبدیل شماره ها به شماره های نهایی و انتقال شماره نهایی به نقشه های اصلی پیشرفت کار ادامه می یابد.

نمونه های ژئوشیمی از بستر آبراهه ها و با استفاده از جزء زیر الک ۸۰ مش برداشت شده است که خود بر واقعی نوعی آماده سازی مقilmاتی نیز تلقی می شود. وزن نمونه برداشت شده حدود ۱۵۰ گرم است. شماره گذاری بر برگه **نیز** بصورت شماره گذ ۲۹ است که ۷۹ معرف سال برداشت و ۵ حرف اول کلمه لاتین **ZnA** و ۱ شروع شماره سری نمونه هاست. نمونه های کانی سنگین به میزان ۴-۵ لیتر و از جزء زیر الک ۲۰ مش برداشته شده است. بر صورت خیس بون محیط نمونه برداری، نمونه ها بصورت الک نشده برداشته شده تا پس از خشک شدن بر محل کمپ، آماده سازی شوند. شایان نکر است که برای نمونه های کانی سنگین حرف پسوند **A** نیز به گذاشته می شود.

رخدانهای قابل توجه بر صحراء، از حمله بگرسانی، کانی سازی، گسله های بزرگ، معانن فنیمی و فعال که بر بقایه های زمین شناسی ثبت نشده اند، نیز مم نظر گرفته شده و به صورت شرح مختصری یادداشت می گردند. شماره نمونه ها بصورت رنگ اسپری، بر محاذ مشخص می شوند تا در مراحل کنترل آنومالی و بازبینی های بعدی، محل نمونه ها مشخص باشد.

۵-۱- آماده سازی و آنالیز نمونه ها

در حقیقت بخشی از مرحله آماده سازی نمونه ها با انتخاب قطر بھینه ذرات بوسیله الک ۸۰ مش بر صحراء انجام می گیرد که با توجه به موارد پرشماری که بر نمونه برداری مورد نظر است یکی از بهترین اندازه های برای نمونه ژئوشیمی است، مگر بر موارد و اهداف خاص که از

الکهای با درجات مختلف و بیوژه ۲۰ مش استفاده می‌شود.

نمونه‌ها پس از کنترل نهایی شماره همراه با لیست مربوطه برای آنالیز به آزمایشگاه ارسال می‌شود.

با توجه به زمان اجرای پروژه و با هدف تسريع در عملیات آماده‌سازی و آنالیز نمونه‌ها و با هماهنگی مای لازم گروهی از کارشناسان و تکنیسین‌های آزمایشگاه XRF سازمان با تجهیزاتی منجمله واحد (set) آزمایشگاهی XRF پرتابل (Mini mate)، نستگاه خردابش و آسیاب نمونه‌ها بر شهرستان ارومیه مستقر شدند. همه نمونه‌ها همراه با لیست‌های مربوطه به این واحد آزمایشگاهی تحويل ناده می‌شد.

سیر آماده‌سازی نمونه‌ها با خردابش آغاز و با پور کردن نمونه‌ها با قطر ۲۰۰ مثوا ادامه می‌یافتد، نمونه‌ها پس از همگنس‌سازی اولیه بر حجمی بر حدود ۲۵ سانتی‌متر مکعب تا حد ۲۰۰ مش پور شده و ماقنی آنها بصورت بایکانی نخیره می‌شده، پرهیز از هرگونه آلودگی برای کاهش خطای آماده‌سازی به مسئولین آزمایشگاه یادآوری شده و بر این راستا، کارشناسان گروه اکتشافات ژئوشیمیایی به نقط و کارایی همکاران آزمایشگاه اطمینان کرده‌اند.

بر راستای انتخاب روش آنالیز، گروه کارشناسان با احاطه نسبی بر قابلیت‌های نستگاه‌های آنالیز کننده و با توجه به امکانات بالقوه معنی و پتانسیلهای قابل توجه بر این پروژه از ابتدا خواستار آنالیز نمونه‌ها با چندین روش بودند اما با توجه به زمان بر نظر گرفته شده برای این پروژه و سایر مواردی که بر حیطه اختیارات گروه نبود، سرانجام نستگاه XRF پرتابل برای اینکار بر نظر گرفته شد. هر چند تنها عامل مثبت این نستگاه، سرعت آن بود، ولی نستگاه منکور از نقط لازم برخوردار نبوده است. توجه و نقط بر عنایوین گزارش بررسی

خطای آنالیز سستگامی XRF پرتابل گویای این امر است. با توجه به قابلیتهای معنی بر استان آذربایجان باختری (محل جغرافیایی اجرای پروژه ماکو - اشنوریه) تکیه بر آنالیز عناصر قلع، تنگستان، جیوه، آنتیموان، ارسنیک، بیسموت و طلا بود، بر صورتیکه مقدار خطای اندازه گیری اکثریت عناصر منکور بیشتر از حد مجاز (۱۰ برصد) بوده است. (لیست آنالیز عناصر همراه با مختصات نمونه ها بر ضمیمه شماره ۱ آمده است).

فصل دوم: پردازش داده ها

۱-۲- مقدمه :

با توجه به گسترش روزافزون علوم مختلف، روش های کمی و کیفی مرتبط با آنها نیز گسترش می یابد. یکی از روش هایی که با علم زمین شناسی در ارتباط است، ژئوشیمی است، ژئوشیمی بر روی ترکیب شیمیایی و نحوه پراکندگی عناصر و همچنین ارتباط آنها مطالعه می کند. حال با گسترش بیشتر ژئوشیمی، تعبیر و تفسیر دقیق اطلاعات حاصله می تواند در افزایش کارایی آن اثر بسزایی داشته باشد.

آمار و ریاضی یکی از مهمترین و بهترین روش ها جهت تعبیر و تفسیر اطلاعات می باشد به این طریق که نتایج به صورت جدول، نمودار شکل و ... ارائه می شود که درک و فهم آن بسیار راحت است اما قبل از استفاده از روش های آماری لازم است که از صحت و سقمه اطلاعات، اطمینان حاصل شود (صحت اطلاعات به معنی پایین بودن درصد خطاست) از طرف بیگر این گونه از داده ها می بایستی فاقد مقابیری نمایه ای کوچکتر و بزرگتر باشد. بنابراین داده های ورودی از آزمایشگاه که دارای فرم خاصی است در یک محیط ویرایشی مناسب، آماده پردازش می گردند. نرم افزار آماری مورد استفاده در این مطالعه، spss می باشد، اما باید دقت شود که هیچ کدام از روش ها به تنهایی کارساز نیست و می بایستی از روش های کنترلی استفاده نمود. یکی از روش های کنترلی کانی سنگین است که بر تأیید نتایج حاصل از داده پردازی آماری بسیار مؤثر است.

۲-۲- فایل بندی داده های خام :

داده های ورودی از آزمایشگاه دارای فرصت خاصی است که توسط نرم افزار مورد

استفاده بر کارهای آماری یعنی spss قابل استفاده نیست. بنابراین لازم است در آن تغییراتی صورت پنپرد. در فرمت نکر شده برای هر نمونه به طور معمول ۴ سطر در نظر گرفته شده است (جدول ۲-۱).

سطر اول: در این سطر شماره نمونه، تاریخ و ساعت تجزیه شیمیابی نکر شده است.

سطر دوم: در این سطر لیست عناصر نکر شده است

سطر سوم: واحد اندازه‌گیری عناصر نکر شده است که عموماً برحسب ppm است

سطر چهارم: در این سط می‌توان عیار عناصر را ملاحظه نمود.

علاوه بر موارد فوق می‌توان سطروسلول‌های اضافی را نیز مشاهده نمود که این امر موجب شده است عیار هر عنصر مستقیماً در زیر آن قرار نگرفته باشد. به منظور آماده سازی این فایل لازم است که سلول‌های اضافی به همراه تمام سطور دوم و سوم به استثناء نمونه اول حذف شود و در نتیجه فایل حاصل شامل شماره نمونه، عیار عناصر به همراه نام عناصر در سطر اول است. این فایل به صورت xls. نخیره و توسط spss پردازش خواهد شد.

لازم به نکر است موقعیت هر نمونه برحسب UTM نیز در کنار آن آورده می‌شود زیرا در مراحل بعدی و برای ترسیم نقشه می‌بایستی مختصات هر نمونه موجود باشد نتایج حاصله بر ضمیمه شماره ۱ آورده شده است.

۳-۲-۳- داده‌های سنسورد و نحوه جایگزینی آنها

داده‌های سنسورد به داده‌هایی اطلاق می‌گردد که دارای نماد کوچکتر (<) و بزرگتر (>) است. این داده‌ها معرف عدم قدرت تشخیص دستگاه‌های ما به عبارت بیگر حساسیت دستگاه

Table 2-1 :Analytical Results of Portable XRF in LOG .Format(Disaj 1:100000 sheet)

Name	Analyte	Zn	Pb	Date	DB1	12/6/00 Time	Cr	Ni	Bi	724.27	Sc	Cu	As	Sb	Cd	Cd	Sn	Y	Ba	V	Sr	Hg	W	PPM	ppm	Au	ppm	
Unit	Concent	24.478	15.085	1.617	56.726	90.393	0.097	4.492	32.662	11.325	1.146	0.123	56.306	5.957	14.142	459.394	38.218	554.264	0.231	3.777	0.001							
Name	Analyte	Zn	Pb	Date	DB2	12/6/00 Time	Cr	Ni	Bi	7.3141	Sc	Cu	As	Sb	Cd	Cd	Sn	Y	Ba	V	Sr	Hg	W	PPM	ppm	Au	ppm	
Unit	Concent	21.594	13.949	1.61	29.801	72.745	0.096	3.265	28.197	11.301	1.153	0.125	53.03	5.924	14.206	469.815	6.95	495.613	0.251	1.991	0.001							
Name	Analyte	Zn	Pb	Date	DB3	12/6/00 Time	Cr	Ni	Bi	7.3844	Sc	Cu	As	Sb	Cd	Cd	Sn	Y	Ba	V	Sr	Hg	W	PPM	ppm	Au	ppm	
Unit	Concent	14.015	13.137	1.713	13.682	63.805	0.094	2.873	27.541	11.857	1.178	0.121	51.389	6.138	13.93	4.94.914	<5	511.328	0.273	0.344	0.001							
Name	Analyte	Zn	Pb	Date	DB4	12/6/00 Time	Cr	Ni	Bi	7.4639	Sc	Cu	As	Sb	Cd	Cd	Sn	Y	Ba	V	Sr	Hg	W	PPM	ppm	Au	ppm	
Unit	Concent	11.995	10.431	1.678	78.201	112.6	0.101	5.117	37.732	12.181	1.278	0.117	65.699	6.694	13.666	385.543	70.507	□	821.281	0.297	0.881	0.001						
Name	Analyte	Zn	Pb	Date	DB5	12/6/00 Time	Cr	Ni	Bi	7.5405	Sc	Cu	As	Sb	Cd	Cd	Sn	Y	Ba	V	Sr	Hg	W	PPM	ppm	Au	ppm	
Unit	Concent	20.753	12.513	1.637	74.363	103.549	0.104	5.529	27.789	12.06	1.224	0.116	62.527	6.736	13.646	400.398	67.569	795.932	0.265	3.89	0.001							
Name	Analyte	Zn	Pb	Date	DB6	12/6/00 Time	Cr	Ni	Bi	8.0113	Sc	Cu	As	Sb	Cd	Cd	Sn	Y	Ba	V	Sr	Hg	W	PPM	ppm	Au	ppm	
Unit	Concent	6.761	10.285	1.585	91.79	124.023	0.086	6.058	45.261	11.188	1.279	0.13	67.076	5.703	14.384	360.601	71.903	620.112	0.292	<0.2	0.001							
Name	Analyte	Zn	Pb	Date	DB7	12/6/00 Time	Cr	Ni	Bi	8.0850	Sc	Cu	As	Sb	Cd	Cd	Sn	Y	Ba	V	Sr	Hg	W	PPM	ppm	Au	ppm	
Unit	Concent	22.926	12.172	1.582	40.029	99.104	0.105	4.451	31.178	10.347	1.231	0.129	63.755	6.053	14.455	403.407	41.034	586.937	0.263	1.541	0.001							
Name	Analyte	Zn	Pb	Date	DB8	12/6/00 Time	Cr	Ni	Bi	8.1601	Sc	Cu	As	Sb	Cd	Cd	Sn	Y	Ba	V	Sr	Hg	W	PPM	ppm	Au	ppm	
Unit	Concent	15.379	9.843	1.634	65.185	105.372	0.106	5.059	35.801	11.955	1.285	0.121	66.984	6.538	13.941	359.035	56.542	776.079	0.301	<0.2	0.001							
Name	Analyte	Zn	Pb	Date	DB9	12/6/00 Time	Cr	Ni	Bi	8.2312	Sc	Cu	As	Sb	Cd	Cd	Sn	Y	Ba	V	Sr	Hg	W	PPM	ppm	Au	ppm	
Unit	Concent	18.237	15.93	1.724	42.276	74.676	0.092	4.28	30.141	11.953	1.137	0.119	52.66	6.034	13.866	478.797	30.58	545.303	0.233	1.364	0.001							
Name	Analyte	Zn	Pb	Date	DB10	12/6/00 Time	Cr	Ni	Bi	8.3016	Sc	Cu	As	Sb	Cd	Cd	Sn	Y	Ba	V	Sr	Hg	W	PPM	ppm	Au	ppm	
Unit	Concent	16.516	13.396	1.605	69.03	105.307	0.092	5.341	41.457	11.018	1.293	0.13	61.304	5.595	14.494	420.188	56.982	549.047	0.253	<0.2	0.001							
Name	Analyte	Zn	Pb	Date	DB11	12/6/00 Time	Cr	Ni	Bi	8.3306	Sc	Cu	As	Sb	Cd	Cd	Sn	Y	Ba	V	Sr	Hg	W	PPM	ppm	Au	ppm	
Unit	Concent	49.919	16.665	1.288	27.362	73.254	0.116	3.645	23.43	10.213	1.102	0.126	55.747	6.424	14.353	431.047	26.184	547.715	0.179	1.342	0.001							
Name	Analyte	Zn	Pb	Date	DB12	12/6/00 Time	Cr	Ni	Bi	8.4506	Sc	Cu	As	Sb	Cd	Cd	Sn	Y	Ba	V	Sr	Hg	W	PPM	ppm	Au	ppm	
Unit	Concent	14.944	13.289	1.642	86.826	97.721	0.045	5.177	40.89	11.472	1.212	0.128	58.712	5.813	14.375	41.4521	54.169	587.736	0.26	<0.2	0.001							

مورد استفاده (XRF پرتابل) است به این معنی که مقادیر کمتر از مقدار حساسیت دستگاه قابل اندازه‌گیری نیست و در نتیجه با نماد کوچکتر بیان می‌شود و بالعکس اگر مقدار اندازه‌گیری شده از حساسیت دستگاه بیشتر باشد مقدار مربوطه با نماد بزرگتر بیان می‌شود. لازم به ذکر است این‌گونه مقادیر در داده پردازی معنی دار نیستند و می‌باشند به طرق مختلف جایگزین گردید که این روش‌ها عبارتنداز:

- الف - بیشترین درست نمایی کوهن (Cohen Maximum likelihood)
- ب - نصف مقدار سنسورد برای داده‌های با نماد کوچکتر و $1/5$ برابر برای داده‌های با نماد بزرگتر
- ج - $\frac{3}{4}$ مقدار سنسورد برای داده‌های با نماد کوچکتر و $\frac{4}{3}$ برای داده‌های با نماد بزرگتر
- متداول‌ترین روش در جایگزینی مقادیر سنسورد که توسط کارشناسان سازمان زمین‌شناسی امریکا مورد استفاده قرار می‌گیرد. روش سوم می‌باشد. باید به این نکته اشاره نمود که معمولاً مقادیر سنسورد بیشتر از 50% حنف می‌گردند البته این امر در صورتی انجام خواهد شد که تعداد کل نمونه‌ها زیاد باشد در غیر این صورت جایگزینی صورت خواهد گرفت. علت این امر تأثیر مقادیر سنسورد بر روی مقدار زمینه است و در نتیجه مقدار آنومالی نسبت به حد آستانه‌ای کمتر گذشت و خود را به خوبی نشان نمی‌نمد. همان‌گونه که در جدول ضمیمه (۱) ملاحظه می‌شود برای عناصر Zn و W به ترتیب 51% و 42% داده سنسورد معرفی شده است که دارای بیشترین درصد می‌باشد در صورتی که مقادیر سنسورد نیز برای عناصر Ag، V، Cr، Cu، Pb که دارای حد سنسورد $0.2 <$ می‌باشند می‌توان مقادیر عددی کوچکتر از آن را مشاهده نمود و نیز برای

عنصر Zn بر حد تشخیص ۱۰ > و ۵ < معرفی شده است که هر دو مورد می‌توانند ناشی از مشکلات XRF و خطای سستگاهی باشد (جدول ۲-۲) و نیز برای عنصر W تعداد ۳۶ مقدار عددی صفر بیان شده است.

۴-۲- حذف اثر سنگ بتر

بر پروژه های اکتشافی و نقشه برداریهای ژئوشیمیائی از محیط های زمین‌شناسی بسیار ناهمگنی نموده برداری می شود. تغییرات راحدهای زمین‌شناسی، هوازنگر و تنوع آب رهایی به گونه‌ای پیوست مقدار زمینه ژئوشیمیائی متغیرهای گوناگون را تغییر می‌هد. بر مطالعات انجام شده براساس نتایج آنالیز رسوبات آبراهه‌ای، اطلاعات راحدهای سنگی و کانی سازیها بطور معمول بوسیله اثرات حمل و نقل و هوازنگر پوشیده می‌مانند. بنابراین بکی از اساسی ترین مسائل بر پردازش داده‌های ژئوشیمیائی و رسم نقشه‌ها، تعیین مقادیر زمینه ژئوشیمیائی عناصر گوناگون، حدود آستانه‌ای و تعیین حد بین مقادیر زمینه و آنومالی است. بر بیشتر موارد امکان استخراج اطلاعات مناسب بر رابطه با سنگ درونگیر و کانی سازیها از داده‌های آنالیز تک عنصری امکان پنیر نیست. روش‌های آنالیز چند متغیره نیز، برای استفاده کامل از مزایا و قدرت آنها، نیازمند حامعه همکن و داده‌های با توزیع نرمال چند متغیره دارند. برای توصیف ضرایب همستگی و سیاری از تکنیکپاشی که براساس ماتریس همستگی کار می‌کند، پیروی کامل از اصول یاد شده در بالا الزامی است. آزمون مجموعه داده‌ها برای انحراف از نرمال بین بطور معمول بوسیله هیستوگرامها، منحنی‌های فراوانتر تجمعی و آنالیز مؤلفه‌های اصلی و آنالیز فاکتوری صورت می‌گیرد. اگر جامعه به دلیل چند می‌بین و مقادیر خارج از رده به چند بخش تقسیم شده باشد، این امر کار تکراری خسته کننده‌ای خواهد بود. فیجنین مقادیر زمینه جیبانی (کلارک) عناصر گوناگون بر محیط های سنگی گوناگون، متفاوت است و برای برک صحیح مقادیر زمینه و حد آستانه‌ای و آنومالیها، باید اثر سنگ بستر را بر مقدار زمینه تخمینی بوسیله داده‌های حاصل از رسوبات آبراهه‌ای، حرف نمود. با

ترجمه به دلائل بالا و به منظور تعیین تأثیرات پارامترهای آماری مرتبط با مقابله زمینه و آنومالیها، حذف اثر سنگ بستر (بر صورت نیاز) الزامی و اجتناب ناپنیز است. روش‌هایی که ناگون برای خنثی ساختن اثر سنگ بستر بر داده‌ها وجود دارد که می‌توان از حذف اثر سنگ بوسیله نقشه زمین‌شناسی و نیز آنالیز کلاستر فازی نام برد که بر بخش ژئوشیمی روش نخست مورد استفاده قرار می‌گیرد.

بر پروژه اکتشافات ژئوشیمیاژی محور ماکو - اشنویه حذف اثر سنگ بستر به دلائل زیر

صورت نگرفت:

۱- نبود تنوع شبد سنگی بر برگه‌های مختلف.

۲- نبود نقشه فایی زمین‌شناسی با مقیاس مناسب (حداقل ۱:۱۰۰،۰۰۰) برای حذف این

اتر.

نتایج به بررسی‌های انجام شده بر برگه‌های گوناگون این محور و با استفاده از آزمون F، نمونه‌های گوناگون در محیط‌های سنگی گوناگون و برای عناصر گوناگون مورد آنالیز قرار گرفتند که نتیجه اختلاف مقدار عناصر در محیط‌های سنگی گوناگون بی معنی بوده است. این بدان معناست که نتایج به پتانسیل موجود به لحاظ بر استرس نسوزن نقشه‌های زمین‌شناسی با مقیاس مناسب برای حذف اثر سنگ بستر، براساس این نقشه‌ها حذف اثر سنگ بستر الزامی نبوده و می‌توان بطور مستقیم از این داده‌ها برای انحصار آنالیزهای آماری تک متغیره و چند متغیره استفاده نمود. عملیات یاد شده بر بالا (آزمون F) برای همه برگه‌ها و برای یکسری از نمونه‌های محیط‌های گوناگون صورت پذیرفته است و نتیجه به تقریب همان جیزی است که گفته شد.

۵-۲- مطالعات آماری تک متغیره

۱- مقدمه :

امروزه علمی وجود ندارد که به نحوی با آمار بر ارتباط نباشد چرا که انتقال و درک بهتر علوم به وسیله نمودار، شکل و ... بهتر صورت می‌گیرد و خوبی خود این امر در حیطه علومی که با مقادیر عددی فراوان و طیف وسیع سروکار دارد، ملموس‌تر و گستردگر است. در علوم اکتشافی و بخصوص اکتشافات ژئوشیمیایی که بر پایه داده‌های عددی حاصل از تجزیه شیمیایی نمونه‌ها استوار است این امر اجتناب ناپذیر است اولین گام در این بررسی‌ها، مطالعات آماری تک متغیر ما است و شرط اساسی بر این حالت عدم وابستگی متغیر ما با یکدیگر است به این معنی که هر متغیر به طور جداگانه و مستقل تغییر می‌کند اما باید توجه نمود که این امکان پذیر نیست. بر صورتی که ارتباط متغیرها مدنظر باشد مبحث مطالعات آماری چند متغیره پیش می‌آید که بر فصل‌های بعدی تشریح خواهد شد.

۲-۵-۲- محاسبات آماری و رسم هیستوگرام و نمودارهای تجمعی داده‌های خام

الف - پارامترهای آماری

اولین و مهمترین گام بر پردازش داده‌ها، به دست آوردن پارامترهای آماری و نحوه توزیع

TABLE 2-2 :SUMMARY OF CENCORED DATA REPLACED VALUE IN RAW DATA DIZAJ 1:100,000 SHEET

Element	TOTAL NO.	Det. Lim.	Cencored. No.	Percent%	Repl. value	Less.than. lim.
Zn	448	<10	253	51	7.5	0
Pb	448	<5	26	5.3	3.75	0
Cu	448	<5	8	1.6	3.75	6
Cr	448	<5	9	1.84	3.75	1
V	448	<5	32	6.56	3.75	7
W	448	<0.2	211	43	0.15	40
Ag	448	<0.1	1	0.2	0.075	0

74

آنها لست بنابراین جدول پارامترهای آماری داده‌های خام برای ۳۴۸ نمونه ترسیم شد (جدول ۲-۲). در جدول پارامتر آماری سه گروه آماره قابل تشخیص است.

گروه اول: براین گروه مقادیر میانه، مد و میانگین حضور داشته که می‌توان چگونگی تمایل داده‌ها به سمت مرکز آنها و میزان این تمایل را به دست آورد.

گروه دوم: انحراف معیار و واریانس براین گروه قرار می‌گیرد و معرف میزان پراکندگی داده‌ها بر حول مقدار میانگین است.

گروه سوم: شامل چولگی و کشیدگی است و انحراف داده‌ها را از حالت نرمال بیان می‌کند. با نقت به جدول پارامتر آماری ترسیم شده ملاحظه می‌شود:

۱- به دلیل اینکه نتایج مربوط به طلا پکسان و برابر 0.001 ppm می‌باشد در محاسبات منظور نشده است. و از جریان داده پردازی حذف گردیده است.

۲- چولگی تمام عناصر بین کمترین مقدار برای عنصر نقره (2.761) و بیشترین مقدار برای عنصر تنگستان (9.744) در تغییر است.

۳- کشیدگی تمامی عناصر بین مقدار حداقل ۱۲۵.۲۶۶ برای عنصر تنگستان و مقدار حداقل ۰.۶۰۵ برای عنصر مس در نوسان است.

۴- ماکریزم داده‌ها بین ۰.۱۲۹ (برای عنصر Ba) و ۰.۲۲۶۷.۹۸۴ (برای عنصر Bi) در نوسان است.

TABLE 2-3 : STATISTICAL PARAMETERS OF VARIOUS ELEMENTS RAW DATA IN DIAJ1:100,000 SHEET

	AG	AS	BA	BI	CD	Co	Cr	Cu	Hg	Ni	Pb	Sb	Sc	Sn	Sr	V	W	Y	Zn
N	418	448	448	448	448	448	448	448	448	448	448	448	448	448	448	448	448	448	448
Mean	1 636	11 958	430 472	0 088	0 119	66 940	70 298	29 499	0 304	122 294	10 539	1 245	5 533	6 289	600 106	60 117	3 294	13 716	12 48
Median	1 694	12 054	406 188	0 088	0 120	67 521	66 094	29 984	0 301	123 489	10 521	1 261	5 232	6 190	575 968	54 670	0 162	13 753	7 673
Mode	1 647	12 063	94 196	0 092	0 118	63 840	3 750	3 750	0 304	127 159	3 750	1 246	4 304	5 699	419 391	3 750	0 150	14 313	7 500
Std Dev.	0 208	1 368	138 387	0 014	0 013	11 055	42 751	11 650	0 062	28 655	3 974	0 110	2 009	0 665	109 026	46 400	9 992	0 802	9 728
Variance	0 043	1 872	19150 919	0 000	0 000	122 206	1827 690	135 728	0 004	821 098	15 793	0 012	4 036	0 442	11886 750	2152 948	99 836	0 644	94 62
Skewness	2 761	-1 488	5 857	0 610	-0 118	-0 324	0 989	-0 210	3 872	-0 167	0 392	-1 211	1 322	3 439	2 256	1 428	9 744	-0 216	4 563
CV%	12 460	11 443	32 148	16 223	10 616	16 514	60 815	39 493	20 237	23 431	37 709	6 815	36 309	10 567	18 168	77 182	303 309	5 850	78 08
Kurtosis	15 086	9 185	70 226	1 895	-0 170	0 126	1 586	-0 605	41 907	0 171	0 088	3 147	2 870	31 283	6 665	3 097	127 266	0 378	34 32
Minimum	6 675	1 261	94 196	0 025	0 082	32 512	1 458	0 195	0 141	26 669	2 210	0 611	2 306	5 065	419 391	0 610	0 001	10 408	1 268
Maximum	2 01	15 732	2267 984	0 129	0 159	95 695	240 952	56 489	1 024	196 960	24 905	1 491	14 396	13 527	1195 602	267 323	154 600	16 166	115 322

۵- میانگین داده‌ها بین مقدار 419.391 برای عنصر Sr و 0.001 برای عنصر W در تغییر است.

۶- ضریب تغییرات ($CV = \frac{S}{X} \times 100$) عناصر بین 303.309 (عنصر تنگستن) و 5.850 (عنصر ایتریم) متغیر است.

۷- میانگین داده‌ها بین 0.088 (عنصر Bi) و 600.106 (عنصر Sr) تغییر می‌کند.

۸- میانه داده‌ها بین 0.088 (عنصر Bi) و 575.968 (عنصر Sr) در تغییر است.

۹- مقدار مُد یا نما برای عنصر Bi برابر 0.092 و برای عنصر Sr برابر 419.391 است.

رسم هیستوگرام و نمودارها:

جهت مشخص نمونه تابع توزیع مربوط به یک عنصر می‌توان از هیستوگرام استفاده نمود، بر هر هیستوگرام در محور افقی تعداد کلاس‌ها منظور شده است و در محور عمودی تعداد نمونه‌های موجود در هر کلاس مشخص شده است. در این نمودار می‌توان موارد زیر را تعیین نمود:

موقعیت (location): این ویژگی که با محاسبه میانگین حسابی جامعه و میانگین هندسی جامعه، میانه و عیار مُد محاسبه می‌شود قابل است موقعیت هر نمونه را در کلاس مربوطه نشان دهد.

پراکندگی (dispersion): این ویژگی معرف پراکندگی نمونه‌ها در کلاس‌هایی است که در

اطراف میانگین تغییر می‌کنند و می‌تواند به وسیله انحراف معیار، واریانس و حدود رون چارکی محاسبه شود.

شكل (shape) : در این ویژگی می‌توان به فرم کلیتابع توزیع پی برد و به وسیله چولگی و کشیدگی محاسبه می‌گردد.

آنچه می‌تواند در تغییر هر کدام از پارامترهای فوق مؤثر باشد عبارت است از تعداد نمونه‌های اخذ شده، به این معنی که نمونه برداری‌های گوناگون بر یک جامعه می‌تواند در تغییر آماره‌های گوناگون اثر داشته باشد و نتوان به راحتی جامعه واقعی را به دست آورد اما با استفاده از روش‌های مختلف این نتایج به جامعه کل منتبه می‌گردد. در مرحله بعد با توجه به اطلاعات حاصله هیستوگرام، $p-p$ نرمال بر سطح صفر و $p-p$ بدون روند بر سطح صفر ترسیم شد و به عنوان نمونه هیستوگرام $p-p$ نرمال بر سطح صفر و $p-p$ بدون روند بر سطح صفر برای سه عنصر Ni، Cr و Ag ترسیم گردید شکل (۲-۳) شرح این عناصر بصورت نیل آورده شده است.

عنصر Ni :

همانگونه که در جدول پارامترهای آماری و هیستوگرام مربوط به Ni ملاحظه می‌شود توزیع تقریباً نرمال است و تعداد گروههای هیستوگرام مربوطه ۳۲ و با فاصله 10 ppm می‌باشد. باید رفت نمود که در تعدادی از کلاس‌ها با مقابیر کم هیچ‌گونه نمونه‌ای وجود ندارد و در نتیجه همین موضوع در انحراف از حالت نرمال می‌تواند مؤثر باشد. در منحنی $p-p$ نرمال

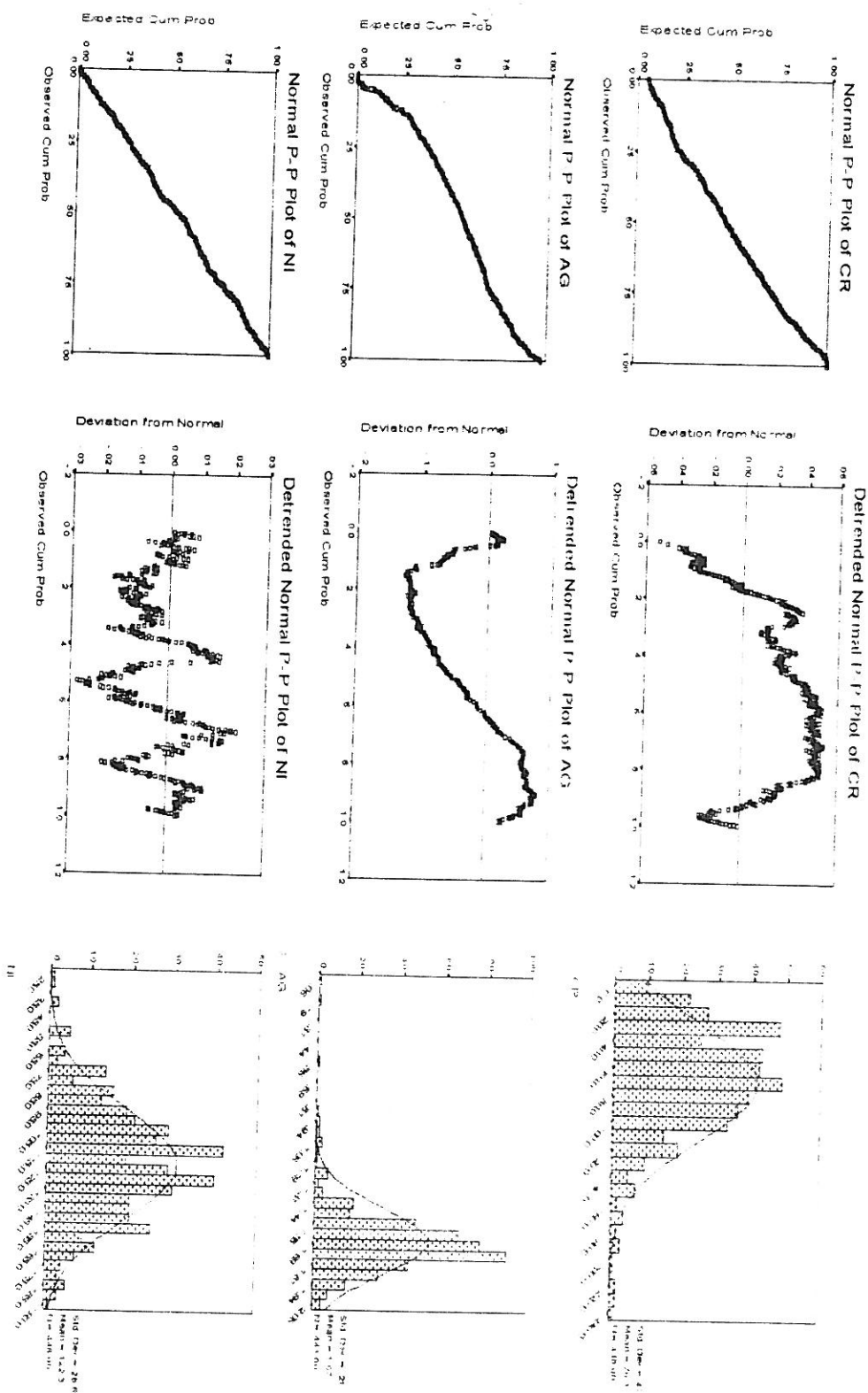


fig 2-3 :Normal p-p plot and Detrended normal p-p plot of Element Raw Data in Dizaj 1:100,000 sheet

بر سطح صفر این عنصر تقریباً اطمایقی بین نمونه‌ها و خط صفر می‌توان مشاهده نمود در حالی که در منحنی p-p بدون روند در سطح صفر چنین چیزی وجود ندارد و می‌توان خانواده‌ای را که در جامعه برداشت شده وجود دارد تشخیص داد. در این جامعه تعداد K خانواده فرعی قابل تشخیص است. ضریب تغییرات مربوطه برابر 23.431 است که عدد بالایی است و معرف تغییرپذیری شدید عیار عنصر Ni در حول مقدار میانگین است.

عنصر Ag :

مقدار میانه، میانگین و مُد مربوطه به این عنصر در جدول پارامترهای آماری به ترتیب 1.694، 1.666 و 1.647 است بنابراین در مقایسه این اعداد ملاحظه می‌شود که یک منحنی توزیع غیر نرمال وجود خواهد داشت چون مُد < میانگین < میانه بنابراین دارای چولگی منفی است و این امر به وسیله چولگی (2.761) تأیید می‌گردد، در هیستوگرام مربوط به این عنصر تعداد ۲۴ کلاس با فواصل متغیر است. در این شکل سه کلاس ابتدایی به طور کلی از جامعه کل جدا هستند. در منحنی p-p نرمال در سطح صفر عدم انطباق بین جامعه و خط صفر را نشان می‌نماید و در منحنی p-p بدون روند در سطح صفر می‌توان تعداد ۴ خانواده فرعی تشخیص داد. ضریب تغییرات این عنصر 12.460 و کشیدگی آن 15.086 است.

عنصر Cr :

در هیستوگرام مربوط به این عنصر ملاحظه می‌شود که توزیع به سمت چولگی با مقاییر مثبت میل می‌کند. فواصل گروهها ppm ۲۰ و تعداد آنها ۲۵ کلاس است، مقایسه بین مقدار

میانه (66.094) مُد (3.750) و میانگین (70.298) و نیز مقدار چولگی و کشیدگی این موضوع را نشان می دهد.

منحنی p -p نرمال در سطح صفر مقداری انحراف به سمت مقدارهای پائین را نشان می دهد و بر منحنی p -p بدون روند در سطح صفر می توان تعداد 7 خانواده تشخیص داد که در یکی از خانوادهها تعداد بیشتری از خانوادههای کوچکتر حضور دارد.

۳-۵-۲- جدایش مقادیر خارج از رده (outliers)

مقادیر خارج از رده به مقادیری اطلاق می شود که خارج از جامعه عمومی نمونه ها قرار می گیرد و می توانند دارای مقادیر بسیار کم و یا مقادیر بسیار بالائی باشند و عوامل مختلفی را در ایجاد آن دخیل می دانند. بنابراین می بایستی به نحوی عوامل به وجود آورنده آن و نحوه جدایش آنها شناخته شود و تأثیر آن برای پردازش داده ها مشخص گردد یا بد توجه داشت که مقادیر آنومالی عموماً بر مقادیر خارج از رده با مقادیر بالا و مثبت (positive outlier) قرار می گیرد اما گاهی در قسمت های پایین و منفی (Negative outlier) نیز دیده می شوند.

یکی از مهمترین عوامل ایجاد کننده نمونه های خارج از رده، خطای نمونه برداری و خطای آماده سازی است به این مفهوم که آلوگی نمونه ها در محل کمپ و حین خردایش و پور کردن نمونه ها در ایجاد آن عامل مؤثری است. از عوامل دیگر می توان به خطای سستگاهی اشاره نمود که در این مورد می توان عوامل کنترلی را استفاده و از بروز آن جلوگیری نمود. برای جدا نمودن داده های خارج از رده می توان از روش معمول Box and whisker استفاده نمود. این روش که به طور مختصر Box plot نامیده می شود بر اساس محاسبه مقادیر چارکها و میانه عمل

می‌کند. در Box plot مقادیر میانه و ۲۵٪ و ۷۵٪ داده‌ها مشخص است.

در صورتی که نمونه‌ای بین ۱/۵ برابر عرض مستطیل و پایین مقادیر ۷۵٪ و یا ۲۵٪ قرار گیرد به عنوان خارج از رده اطلاق می‌گردد اما اگر نمونه‌ای بالاتر از ۱/۵ برابر عرض مستطیل بعلاوه ۷۵٪ و یا پایین‌تر از ۱/۵ برابر عرض مستطیل منحنی ۲۵٪ قرار گیرد خارج از رده فوق العاده (extreme) نامیده می‌شود. معمولاً مقادیر خارج از رده عادی با نماد نیاره و مقادیر خارج از رده فوق العاده با نماد ستاره مشخص می‌شود. به منظور پیدا نمودن مقادیر خارج از رده در برگه‌های دیزج اطلاعات ۴۴۸ نمونه در نرم افزار spss پردازش و نمودار جعبه‌ای (plot) آنها ترسیم شد شکل (۴-۲). در مرحله بعد تمام داده‌های extreme همراه با مقادیر خارج از رده حدود بالا و حدود پایین در جدول (۲-۴) مرتب گردید. جهت درک بهتر این موضوع که در هر نمونه چه تعداد خارج از رده عادی و فوق العاده حضور دارد جدولی ترسیم گردید (جدول ۲-۵). در این جدول بر ریفهای افقی عناصر و بر ریفهای عمودی شماره نمونه‌هایی که حاوی مقادیر خارج از رده هستند مشخص گردید. همانطور که ملاحظه می‌شود مقادیر خارج از رده با یک ستاره و خارج از رده فوق العاده با ۲ ستاره مشخص است. هدف از جدا نمودن اینگونه مقادیر، خارج کردن تعدادی از آنها به منظور نزدیک نمودن تابع توزیع به تابع توزیع نرمال است. اما یکی از اشکالات حذف اینگونه مقادیر عدم تشخیص در نوع نمونه‌ها است به

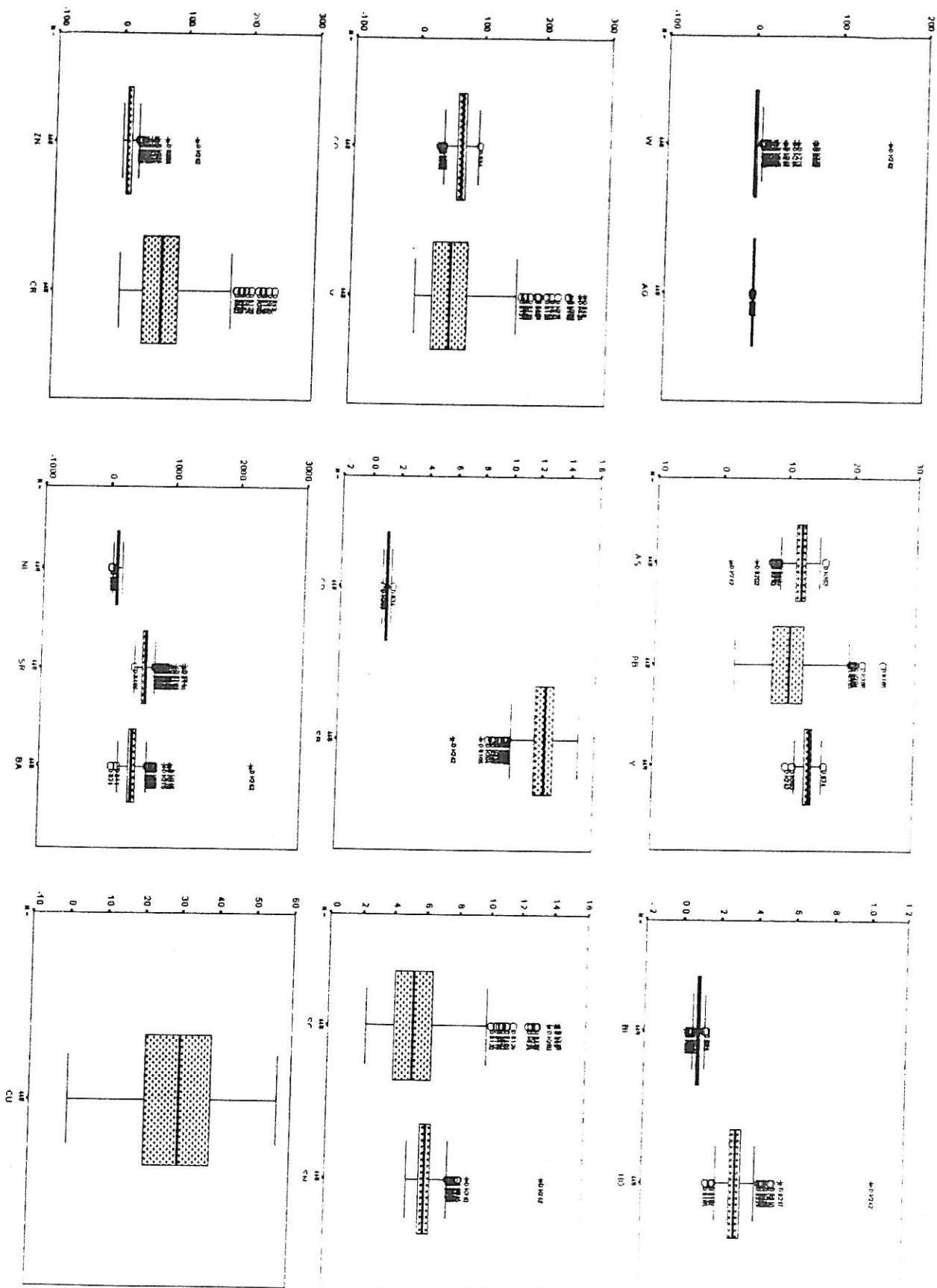


fig 2-4 :Box Plot of Raw Data in Dizaj 1:100,000 sheet

TABLE 2.4 :OUTLIER SAMPLES NO AND CONTENT OF DIAJ 1:100,000 SHEET

	outlier(+)	outlier(-)
Pb	[E:16](24,9(5),DK388,DK204,DK207,DK237,DK435,DK436,DK237,DK315(19,824)]	
As	[3k,36,3]	
Y	[4,5,24(16,16)],R(116,0,2)	[Dk,24,2*(1,26,1)],R(115,20(8),DB202(5,21),DK310,DK34,
Sb		[DB38,DK41,DK228,DK5,DK249,5,DK42]
Cd	[45,34]	[DK,24,2*(10,40(5),R5,F4,DK383,11,362)]
Sn		[DK,24,2*(0,61),LRB15,(0,812),DK,204,DK167,DK,245,DK310,R3,
Sc	[Dk,4,25*(14,386),DE48*(14,205),DK280*(13,79),DB132,DB117,	[DB,24,2*(0,25),(0,35),DK,232,DK,4,26,DK,235,DK257,
Bi	[Dk,23,7,(DK4,74,DK128,DE128,DE129,DK45,DR50,DK422,DK435,DK119,LRB,130,	[3k,4,2*,DK,280,(0,408(0,040))]
Hg	[Dk,24,2*(1,1),4],R(217*(0,542),DB216,0,1B,?24]	[DB,16,5,(26,66,9),DK,204,DE,203,DE16,7(39,479),
Ni		DB34(94,196),DB41(189,486)
Ba	[Dk,24,2*(1,26,1,984),DK24*(1025,457),DK3*(1002,312),DK,275*(923,333),	
Sr	[DK,34*(115,6,02),DK155*(1165,089),	
Zn	[DB,24,2*(106,9,634),DB154*(1069,545),DB153*(1041,463),DB116*(1003,036),	
Cr	[DK,24,2*(115,322),(DB202*(7,322),DK310*(70,311)),DK275*(55,25),	
Ag	[DB,16,7*(5,2,791),DB11*(79,919),DK245*(46,048),DB165*(41,873),DB38*(40,837),	
W	[DB49,240(95,2),DK425,DK117,DK132,DK280,DK128,DK424,DK45,DE1129,DK237,	[DB,202*(0,218),(0,572),(0,572),DK,24,2*(0,75),DK,249*(0,873),
Co	[Dk,34]	[DB34*(0,9,22),Lfb338*(0,96),DK341*(0,978),DB42*(1,02),DB28*(1,038),DK,275*(1,039),DK351*(1,042),
V	[DB79*(267,32),DK4,257*(29,79),DK290*(246,55),DB132,DK117,DK237,DK424,DK129,DK50,DK119,	[DB,16,5,(32,512),DK,204,DK,380,DK,237,DE49,DK435,

* :**Extreme Outlier**

Table 2-5 :Positive and Negative Outlier(*) and Extreme(**) Samples in Dizaj 1:100,000 Sheet

Outlier(+) Sample in the Raw Data Dizaj 1:100,000 sheet

SAMPID	Zn	Pb	Ag	Cr	Bi	Sc	As	Cd	Y	Ba	Sr	W	V
DK310	**								**		**		
DK275	**								**	**	*		
DK245	**								**	**			
DK242	**								**	**	*		
DK237	*	*	*	*							*		
DB202	**									**			
DB165	**	*											
DK425		*	**									**	
DK424		*	**										
DK422		*	**									*	
DK280		*	**									*	
DB132		*	*									*	
DB129		*	*									*	
DB128		*	*										
DB117		*	*									*	
DB50		*	*									*	
DB49		*	*										
DB45		*	*									*	
DB84		*								**			
DB34							*	*					
DK435		*		**								*	
DB119			*						*		*		
DK204	*								*				
DB130				*								*	
DB167	**	*											
DB155									**				
DB154									*				
DB153									**				
DB116									**				
DB72									**				
DK249										**			
DB11	*												
DB38	*												
DK388	*												
DN315	*												
DK448		*											
DK430		*											
DK335		*											
DB81			*										
DB73			*										
DK383			*										
DB121			*										

Outlier(-) Sample in the Raw Data Dizaj 1:100,000 sheet

SAMPID	Ag	Ni	Bi	As	Sb	Cd	Co	Y	Ba
DK242	*			**	**				*
DB34	**				*				*
DB41	**				*				*
DB165		*				*		*	*
DK204		*	**		*				*
DB202	**				**				
DK249	**					*			
DB38	**				*				
DB42	**				*				
DB28	**				*				
DB51	**				*				
DK310	**				*				
DK383			*	*					
DB167		*						*	
DK232			*						
DB45		*							
DK426		*							
DK236		*							
DK257		*							
DK425		*							
DK406		*							
DK245			*					*	
DK388			*					*	
DK237			*					*	
DB49			*					*	
DK435			*					*	
DB203			*						
DK275	**								
DB26	*								
DK248	*								
DB33	*								
DB31	*								
DB30	*								
DK264	*								
DK244	*								
DB25	*								
DK380			*						
DB11	*								

Table 2-5 :Common Outlier(+,-) Samples in Dizaj 1:100.000 Sheet

Outlier(+) and Outlier(-) Sample Common in the Raw Data Dizaj 1:100,000 Sheet

SAMPID	Pb	Cr	Br	Sc	As	Cd	Y	Ba	Sr	W	Ag	Nb	Pt	As	Sd	Cd	Co	V	Ba
DK310	**						**	**	**	**	*								
DK275	**						**	**	**	*									
DK249								*	*										
DB11	*																		
DB38	*																		
DK388	*																		
DK237	*																		
DK383			*																
DK245	**							*	*										
DK242	**							*	*										
DB167	**	*																	
DB202	**																		
DK204	*																		
DK425	*																		
DB45	*																		

(*) :Outlier

(**) :Extreme

طوری که اگر نمونه‌ای واقعاً جزو آنومالی باشد در کنار نمونه‌ای که به واسطه آلوگی به عنوان خارج از رده شناخته شود حذف خواهد شد.

۴-۵-۲- نرمال کردن داده‌های خام و بررسی پارامترهای آماری داده‌های نرمال

پردازش داده‌های آماری بروی داده‌های به نحو احسن جواب خواهد داد که حتی الامکان به جامعه نرمال نزدیک باشد، به عبارت دیگر منحنی توزیع آنها دارای چولگی و کشیدگی به ترتیب صفر و سه باشد. اما آنچه در طبیعت وجود دارد تفاوت هایی را با جامعه نرمال نشان می‌دهد بنابراین لازم است از روش‌هایی جهت نزدیک نمونین اینگونه داده‌ها به توزیع نرمال استفاده نمود. مهمترین این روش‌ها عبارتنداز:

الف - تبدیل لگاریتمی :

نرمال‌سازی داده‌های لاغ نرمال (داده‌هایی که در حالت طبیعی غیرنرمال، در صورتی که لگاریتم داده‌ها نرمال است) به وسیله تبدیل لگاریتم به طور مناسبی انجام خواهد شد و اساس آن مقادیر میانگین و انحراف معیار بوده که با توجه به فرمول زیر محاسبه خواهد شد.

$$-\frac{\ln x - \alpha}{\beta}^2$$

$$f(x) = \frac{1}{x_B \sqrt{2\pi}}$$

ب - تبدیل لگاریتمی سه پارامتری :

برخلاف حالت قبل، در صورتی که به کلیه مقادیر داده‌ها مقدار ثابت کم و یا اضافه شود

(پارامتر سوم) و سپس نرمال سازی صورت گیرد معادله حاصله به صورت زیر خواهد بود.

$$f(x) = \frac{1}{(bx + a)\beta \sqrt{2\pi}} e^{-\frac{1}{2} \left(\frac{\ln(bx + a) - \alpha}{\beta}\right)^2}$$

بر این معادله α و β به ترتیب مقدار میانگین و انحراف معیار داده های نرمال شده است. از ویژگی های مهم این نوع نرمال سازی کاربرد گسترده آن برای تمام توزیع ها است به این معنی که برخلاف حالت الف که بیشتر برای داده های لاغ نرمال کاربرد دارد. این نوع برای تمام داده ها مورد استفاده قرار می گیرد.

ج - تبدیل کاکس و باکس Cox and Box

این نوع از نرمال سازی که برای بیشتر توابع کاربرد دارد به شکل زیر عمل می کند.

$$Z = \begin{cases} \frac{x^\lambda - 1}{\lambda} & \lambda \neq 0 \quad x > 0 \\ \ln(x) & \lambda = 0 \quad x > 0 \end{cases} \quad (1)$$

x: مقدار واقعی داده ها

x: یک مقدار حقیقی

Z: مقدار نرمال شده

همانگونه که ملاحظه می‌شود مقادیر عددی داده‌های نرمال شونده می‌باشند از صفر بزرگتر باشند در غیر این صورت نرمال‌سازی انجام نخواهد شد. حال اگر مقدار عددی λ برای صفر باشد. مقدار حاصل از نرمال‌سازی بالکاریتم طبیعی برابر خواهد بود. در غیر این صورت می‌باشند از رابطه شماره یک استفاده نمود برای محاسبه مقدار عددی می‌توان از روش محاسباتی حداقل چولگی و یا از منحنی‌های استاندارد استفاده نمود. از ویژگی‌های مهم این روش می‌توان به تبدیل معکوس آن اشاره نمود به این معنی که از مقادیر نرمال می‌توان به مقادیر غیرنرمال رسید. در مورد داده‌های بیزج از روش Cox and Box استفاده شده است. لازم به نظر است نرمال‌سازی در طی ۲ مرحله انجام شده است:

مرحله اول : نرمال‌سازی کل داده‌های خام.

مرحله دوم : نرمال‌سازی داده‌های خام با حذف تعدادی از نمونه با مقادیر خارج از رده بالای داده‌ها

به منظور جدا نمودن مقادیر خارج از رده، جدولی تهیه شد که به طور تفکیک شده می‌توان نمونه‌های دارای مقادیر خارج از رده عادی و فوق العاده را به ترتیب تعداد این داده‌ها با یک و دو ستاره مشخص نمود. در یکی از جداول می‌توان ملاحظه نمود که فقط مقادیر خارج از رده مثبت و در جدول دیگر مقادیر خارج از رده منفی نمایش داده شده است. از تلفیق این در جدول می‌توان نمونه‌هایی را پیدا نمود که در تعدادی از عناصر دارای خارج از رده و فوق العاده مثبت و در بعضی از عناصر خارج از رده فوق العاده منفی است. به این ترتیب در نمونه‌های شماره

DB202، DB167، DK242، DK245، DK275، DK310 می‌توان ملاحظه نمود که مقادیر خارج از رده و فوق العاده برای عنصر Zn وجود دارد بنابراین می‌توان بر این اساس تعداد نمونه‌هایی که بیشترین مقادیر خارج از رده را دارند شناسایی نمود.

پس از طی مراحل فوق نمونه‌هایی با شماره‌های DB38، DB11، DK242، DK275، DK310 باشند گرفت نکته مهم است که تعداد کل نمونه‌های حذف شده می‌باشد متناسب با تعداد کل نمونه‌ها باشد برای مثال برای تعداد ۳۵۰ نمونه، حذف تعداد ۱۵-۲۰ نمونه اخلاقی بر داده پردازی ایجاد نمی‌کند اما حذف همین تعداد نمونه برای تعداد کل داده‌هایی که ۱۰۰ نمونه می‌باشد مسلماً ایجاد مشکل خواهد نمود.

در طی نرمال‌سازی کل داده‌های خام می‌توان ملاحظه نمود که مقدار چولگی در مورد عناصر Pb، Cr، Ba، Y، Sb، Sc و W برابر ۰.۰۰۰ می‌باشد در حالی که مقدار چولگی در مورد عناصر Zn و Sn و Sr مثبت و بین دو مقدار حدکثر ۱.۳۵۳ (عنصر Sr) و ۰.۵۶۷ (عنصر Zn) تغییر می‌کند و در مورد بقیه عناصر چولگی منفی است مقادیر محاسبه شده در جدول (۲-۶) آورده شده است. لازم به ذکر است خصوصیات نکر شده هیستوگرام این مقادیر در ضمیمه شماره ۲ آورده شده است.

در صورتی که نرمال‌سازی با داده‌های بدون مقادیر خارج از رده انجام شود ملاحظه شود که چولگی مربوط به عناصر Pb، Cr، Ba، Y، Sb، As، Sc، Ag و Hg برابر صفر بوده و کشیدگی آنها بین ۰.۲۳۰- تا ۱.۷۷۳ تغییر می‌کند در حالی که عناصر Zn و Sn و Sr دارای چولگی منفی بوده و بقیه عناصر دارای چولگی مثبت هستند. مقادیر محاسبه شده در جدول (۲-۷) آورده شده

TABLE 2-6 : STATISTICAL PARAMETERS OF VARIOUS ELEMENTS IN DIZAJ 1:100,000 SHEET*(NORMALIZED WITH OUTLIER)

Parameter	Zn	Pb	Ag	Cr	Ni	Bi	Sc	Cu	As	Sb	Cd	Co	Sn	Y	Ba	V	Sr	Hg	W
N	448	448	448	448	448	448	448	448	448	448	448	448	448	448	448	448	448	448	
Mean	1.863	5.359	0.796	12.843	4.775	-1.369	1.466	3.263	2.472	0.401	-1.046	4.189	1.014	11.853	4.272	10.063	3.241	-1.489	-0.580
Median	1.657	5.472	0.823	13.135	4.816	-1.365	1.475	3.401	2.490	0.403	-1.045	4.212	1.012	11.864	4.263	10.586	3.236	-1.471	-1.747
Mode	1.657	2.076	0.759	1.832	4.845	-1.353	1.319	1.322	2.490	0.372	-1.048	4.156	0.989	12.475	3.493	1.776	3.222	-1.456	-1.747
Std. Dev.	0.310	1.719	0.246	4.789	0.266	0.047	0.271	0.595	0.155	0.210	0.021	0.177	0.024	0.855	0.123	4.617	0.033	0.268	2.221
Variance	0.096	2.953	0.060	22.930	0.071	0.002	0.074	0.354	0.024	0.044	0.000	0.031	0.001	0.731	0.015	21.315	0.001	0.071	4.931
Skewness	0.567	0.000	-1.495	0.000	-1.372	-1.162	0.000	-2.763	-7.299	0.000	-0.213	-0.894	0.944	0.000	0.000	1.353	-0.113	0.000	
Kurtosis	2.050	-0.143	5.444	0.285	4.281	3.911	-0.074	14.052	98.761	0.101	-0.131	1.152	4.002	0.336	6.511	-0.100	2.724	3.508	-0.129
Minimum	0.232	1.032	-0.682	0.413	3.284	-1.624	0.788	-1.635	0.232	-0.206	-1.112	3.482	0.954	8.630	3.493	-0.446	3.165	-2.745	-5.174
Maximum	3.061	10.650	1.364	27.636	5.283	-1.249	2.221	4.034	2.756	1.096	-0.983	4.561	1.174	14.764	5.012	23.541	3.380	0.024	6.346

TABLE 2-7 : STATISTICAL PARAMETERS OF VARIOUS ELEMENTS IN DIZAJ 1:100,000 SHEET*(NORMALIZED WITHOUT OUTLIER)

Element	Zn	Pb	Ag	Cr	Ni	Bi	Sc	Cu	As	Sb	Cd	Co	Sn	Y	Ba	V	Sr	Hg	W
N	433.000	433.000	433.000	433.000	433.000	433.000	433.000	433.000	433.000	433.000	433.000	433.000	433.000	433.000	433.000	433.000	433.000	433.000	
Mean	2.382	5.583	1.360	13.106	4.782	-1.320	1.557	3.294	10.543	0.382	-1.055	4.197	0.934	9.529	20.201	10.516	3.243	-0.993	-0.892
Median	2.053	5.699	1.360	13.393	4.817	-1.318	1.568	3.408	10.555	0.388	-1.054	4.216	0.943	9.542	20.018	11.083	3.237	-0.991	-1.897
Mode	2.053	2.121	1.215	1.841	4.845	-1.307	1.391	1.322	10.558	0.349	-1.058	4.156	0.915	9.904	10.974	1.798	3.223	-0.984	-1.897
Std. Devl.	0.486	1.754	0.458	4.797	0.252	0.040	0.299	0.536	1.215	0.180	0.021	0.165	0.018	0.506	1.807	4.813	0.032	0.107	2.413
X+S	2.539	7.453	1.818	18.190	5.069	-1.278	1.867	3.944	11.769	0.567	-1.034	4.381	0.951	10.048	21.825	15.896	3.270	-0.884	0.516
X+2S	3.024	9.207	2.276	22.987	5.321	-1.239	2.166	4.480	12.984	0.747	-1.013	4.546	0.969	10.555	23.632	20.709	3.302	-0.778	2.930
X+3S	3.510	10.961	2.735	27.785	5.572	-1.199	2.465	5.016	14.199	0.927	-0.992	4.711	0.986	11.061	25.439	25.522	3.335	-0.671	5.343
Variance	0.236	3.076	0.210	23.014	0.063	0.002	0.089	0.287	1.476	0.032	0.000	0.027	0.000	0.257	3.265	23.165	0.001	0.011	5.824
Skewness	0.632	0.000	0.000	-1.167	-0.768	0.000	-2.821	0.000	0.000	-0.158	-0.804	0.245	0.000	0.000	0.000	1.426	0.000	-0.751	
Kurtosis	0.519	-0.053	0.849	0.335	3.583	2.383	-0.022	17.609	0.281	0.052	-0.230	1.074	0.124	-0.163	1.773	-0.012	2.891	1.343	0.687
Minimum	0.238	1.045	-0.072	1.841	3.284	-1.502	0.813	-1.635	6.510	-0.142	-1.107	3.482	0.886	8.242	10.974	-0.444	3.167	-1.441	-6.908
Maximum	3.867	11.330	2.870	28.809	5.283	-1.211	2.431	4.034	13.667	0.965	-0.991	4.561	0.991	11.162	25.680	25.581	3.381	-0.554	3.521

است. همچنین هیستوگرام و نمودارهای تجمعی این داده‌ها بر ضمیمه شماره ۳ آورده شده است. در مقایسه‌ای که بین نرمال‌سازی کل داده‌ها و داده‌هایی که مقابیر خارج از رده آنها حذف شده است صورت گرفته است نتایج زیر حاصل شد:

الف - نرمال‌سازی برای عناصر W , Hg , Y , Sn , Zn در صورتی که مقابیر خارج از رده وجود داشته باشد، نتیجه بهتری حاصل خواهد شد.

ب - در مورد عناصر Ba , As , Ni , Cr , Ag در صورتی که از کل داده‌های موجود مقابیر خارج از رده حذف گردد بهترین نتیجه حاصل می‌شود.

ج - نرمال‌سازی برای عناصر Sr , V , CO , Cd , Sb , Cu , Sc , Bi , Pb در حالت کل داده‌های نرمال شده و یا نرمال مقابیر کل بدون خارج از رده تفاوت چندانی نمی‌کند.

۵-۵-۲- محاسبه و رسم ضرایب همبستگی عناصر

مقدمه :

همانطور که در قسمت‌های قبل تشریح گردید در مطالعات تک متغیره و بررسی‌های آماری مربوط به آنها، عدم وابستگی متغیرها ملاک اصلی است اما عملاً چنین چیزی را نمی‌توان بر طبیعت مشاهده نمود چرا که عوامل مختلفی از قبیل عوامل ژنتیکی و غیره می‌توانند در ارتباط و وابستگی متغیرها به یکدیگر مؤثر باشد. بنابراین مقدار این وابستگی را می‌توان به صورت یک عدد بیان نمود. بر صورتی که ارتباطی خطی بین دو متغیر وجود داشته باشد. به نحوی که با افزایش یک متغیر، مقدار متغیر دیگر نیز افزایش می‌یابد، این همبستگی را به صورت مستقیم و مثبت معرفی می‌کنند و بر صورتی که ارتباط خطی بین دو متغیر به نحوی باشد که با افزایش یک متغیر، مقدار متغیر دیگر کاهش یابد همبستگی دو متغیر غیرمستقیم خواهد بود. همچنین این ارتباط را می‌توان به صورت مثبت و منفی نیز معرفی نمود. لازم به ذکر است مقدار ضریب همبستگی می‌تواند بین $+1$ و -1 تغییر کند. به نحوی که مقدار ضریب همبستگی $+1$ مؤید همبستگی کامل و مستقیم متغیرها است در حالی که ضریب همبستگی -1 نشانگر همبستگی غیرمستقیم و کامل در متغیر است و ضریب همبستگی صفر، عدم ارتباط بین دو متغیر را نشان می‌دهد. بیان این نکته ضروری است که دو برابر بودن مقدار عددی ضریب همبستگی متغیرهای $y-x$ و $x-z$ از نظر مفهومی چنین معنایی را نمی‌رساند بلکه نشان می‌دهد که ضریب بین $y-x$ بزرگتر از ضریب $x-z$ است. در کنار تعاریف فوق می‌بایستی سطح اعتماد (سطح اعتبار) نیز لحاظ شود، سطح اعتماد، معنی دار بودن مقادیر عددی همبستگی را نشان می‌دهد و می‌تواند با تغییر در تعداد نمونه‌ها تغییر کند برای مثال اگر ضریب همبستگی دو

متغیر ۰/۲ پاشد با توجه به تعداد نمونه، سطح اعتماد تغییر می‌کند به طوری که اگر تعداد نمونه‌ها ۲۰۰ عدد باشد سطح اعتماد ۷۵٪ خواهد بود ولی اگر تعداد نمونه‌ها ۸۰۰ عدد باشد سطح اعتماد ۹۹٪ خواهد بود. حال برای محاسبه این مقدار عددی، روش‌های گوناگونی وجود دارد اما بهترین روش، روشی است که به نوع تابع توزیع بستگی دارد چرا که مقادیر خارج از رده بالا و پایین می‌توانند این مقدار را تحت تأثیر قرار دهند. بنابراین می‌توان از رابطه زیر استفاده نمود.

$$rsp = \text{ضریب همبستگی اسپیرمن}$$

$$Ri = \text{رتبه متناظر}_x$$

$$y = \text{رتبه متناظر}_z$$

بر نرم افزار spss مقادیر ضرایب همبستگی براساس روش اسپیرمن محاسبه می‌شود و به طور همزمان می‌توان سطح معنیدار روبون (سطح اعتماد) را نیز محاسبه نمود. بر قسمت بعدی این ضرایب برای تعداد ۴۴۸ نمونه محاسبه شده است و نتایج حاصل در جدول (۲-۸) آورده شده است.

شرح ماتریس ضرایب همبستگی

عنصر روی: این عنصر در سطح اعتماد ۹۹٪ با عنصر Sc, V, Sb, Ni, Cu, Cr, As, CO, Ag می‌تواند تأثیر مثبتی داشته باشد و مقدار آن از (Zn-Ag) -0.7023 تا (Zn-V) -0.1281 تغییر می‌کند در

Table 2-8: Spearman's Correlation Coefficient of Raw Data in Dizaj 1:100,000 sheet

حالی که بین عنصر Zn و عناصر Ba, Hg, Bi, Sn و W ضرایب همبستگی مثبت است و مقدار آن بین 0.1746 (Zn-Hg) و 0.765 (Zn-W) می‌کند و هیچگونه ارتباطی بین روی و عناصر Cd, Sr, Pb و Y دیده نمی‌شود. نکته حائز اهمیت در این مورد می‌توان به عدم ارتباط بین سرب و روی اشاره نمود. با توجه به اینکه دو عنصر مزبور با هم پاراژنز می‌باشند باید ضریب همبستگی قابل قبولی را از خود بروز نهند که در این مورد خاص می‌توان به خطای آزمایشگاهی اشاره نمود.

عنصر نقره : این عنصر با عناصر Ba, Cu, Sb, Sn و Sr در سطح اعتماد ۹۹٪ هیچگونه ارتباطی را بروز نمی‌دهد در صورتی که در همین سطح اعتماد می‌توان رابطه‌ای مثبت و معنی‌داری بین عنصر نقره و عناصر As, V, Sc, Pb و Cr مشاهده نمود که بین دو مقدار 0.9386 (Ag-As) و 0.1368 (Ag-Cr) تغییر می‌کند که رابطه مستقیم و مثبت بین Ag-As بسیار حائز اهمیت است و ضریب همبستگی بین نقره و بقیه عناصر منفی است و بین 0.2453 (Ag-Zn) - 0.7023 (Ag-Ni) تغییر می‌کند که با توجه به رابطه ژنتیکی آنها یک امر طبیعی خواهد بود.

عنصر آرسنیک : این عنصر با Ba در سطح اعتماد ۹۹٪ هیچگونه ارتباطی را نشان نمی‌دهد در صورتی که با عناصر Bi, Cd, Cu, Zn, W, Sb, Ni, Hg, CO دارای ضریب همبستگی منفی است و بین دو مقدار حداقل 0.0130 (As-Ba) و حداکثر 0.7673 (As-Cd) تغییر می‌کند و بالعکس این عنصر با عناصر دیگر دارای ضرایب همبستگی مثبت است که مقادیر مثبت می‌تواند بین دو مقدار 0.1473 (As-Sr) و 0.9386 (As-Ag) تغییر کند، همانگونه که در مورد عنصر آرسنیک

ملاحظه می شود رابطه مثبت Pb-As می تواند ناشی از ارتباط ژنتیکی آنها باشد.

عنصر باریم : رابطه عنصر باریم با عناصر Sr, Sb, Ni, Cu, CO, Cd, Bi و Y منفی است و بین ضرایب همبستگی -0.1868 (Ba-Bi) و 0.8058 (Ba-Sa) تغییر می کند. همانطور که در جدول ضرایب همبستگی ملاحظه می شود با توجه به سطح اعتماد ۹۹٪ رابطه ای بین باریم و عناصر Sc, Cr, Ag, As و V وجود ندارد و ارتباط باریم با عناصر Hg, Sn, Pb و Zn مثبت است و بین دو مقدار 0.2381 (Ba-Hg) و 0.8184 (Ba-W) تغییر می کند.

عنصر بیسموت : با توجه به سطح اعتماد ۹۹٪ هیچگونه ارتباطی بین بیسموت و Cu و Hg و W وجود ندارد در صورتی که در همین سطح اعتماد ضریب همبستگی بیسموت با Sb, Co, Cd, Sn, Y و Zn مثبت می باشد و بین دو مقدار 0.1721 (Bi-Sb) و 0.5315 (Bi-Sr) تغییر می کند و بالعکس ضریب همبستگی بیسموت با عناصر Sc, Ni, Cr, Ba, As, Ag و V منفی است و می تواند بین مقادیر -0.445 (Bi-Sc) و 0.1375 (Bi-Pb) تغییر کند.

عنصر کادمیم : این عنصر در سطح اعتماد ۹۹٪ با عناصر Cr, Sr, Zn, دارای ارتباطی بی معنی است در عوض با عناصر Bi, CO, Cd, Hg, Cu, Ni, Sb و Y دارای ارتباط مثبت و معنی دار می باشد و بین دو مقدار 0.2132 (Cd-Hg) و 0.9776 (Cd-Y) تغییر می کند و همین عنصر با عناصر Sc, Pb, As, Ag, W, V, Sn و Ba دارای ارتباط منفی است و می تواند بین -0.6696 (Cd-Sn) و -0.2024 (Cd-W) تغییر کند.

عنصر کبات: ضریب همبستگی عنصر کبات با عناصر As، Ag، Cr، Pb، Sc، Sn، V، W، Zn و Ba منفی و معنی دار می‌باشد و بین دو مقدار 0.1415 (Co-Pb) و 0.8536 (CO-Zn) تغییر می‌کند و ضریب همبستگی این عنصر با بقیه عناصر مثبت و معنی دار می‌باشد که بین دو مقدار 0.1702 (CO-Sr) و 0.1232 (Cr-Hg) تغییر می‌کند.

عنصر کروم: ضریب همبستگی عنصر کروم با عناصر Y، W، Sr، Sb، Cd، Ba، Sc، Pb، Ni، Cu، Ag، As و V دارای ضریب همبستگی مثبت است و می‌تواند بین دو مقدار 0.1368 (Cr-Ag) و 0.9662 (Cr-V) تغییر کند و ضریب همبستگی کروم با بقیه عناصر منفی است که بین حداقل 0.3400 (Cr-Bi) و حداکثر 0.1232 (Cr-Hg) تغییر می‌کند.

عنصر مس: ضریب همبستگی این عنصر با عناصر Bi، Hg، Ag، Sr و در سطح اعتماد ۹۹٪ بی معنی است در صورتی که با عناصر Co، Cd، Cr، Sc، Sb، Y، V دارای همبستگی مثبت است و بین دو ضریب همبستگی 0.6150 (Cu-Cr) و 0.2551 (Cu-Co) تغییر می‌کند در ضمن عنصر مس با عناصر As، Ba، Pb، Sn، W و Zn همبستگی منفی بروز می‌دهد و می‌تواند بین دو مقدار -0.5751 (Cu-As) و -0.1372 (Cu-Sn) تغییر کند.

عنصر جیوه: این عنصر در سطح اعتماد ۹۹٪ با عناصر Cu، Bi، Sr و Y دارای همبستگی

بی معنی است در حالی که ضریب همبستگی این عنصر با Zn و W، Sn، Sb، Ni، Ba، Co، Cd مثبت و معنی دار است و می تواند بین دو مقدار 0.5711 (Hg-Zn) و 0.1752 (Hg-Co) تغییر کند اما ضریب همبستگی این عنصر با عنصر Cr، As، Pb، Ag، As، Sc و V منفی است و بین دو مقدار (Hg-Cr) و (Hg-Pb) تغییر می کند.

عنصر نیکل : ارتباط این عنصر با عنصر Sn، As، Ba، Bi، W، Sn، Pb، Zn، Ag منفی است که بین دو مقدار 0.5652 (Ni-Sr) و 0.0047 (Ni-pb) تغییر می کند در صورتی که ضریب همبستگی در سطح اعتماد ۹۵٪ نیز بی معنی است و در همین سطح اعتماد ارتباط مثبتی بین نیکل و باقیه عناصر وجود دارد و بین 0.4014 (Ni-Co) و 0.6615 (Ni-Y) تغییر می کند.

عنصر سرب : ارتباط بین سرب و عناصر Zn، Sr، W، Sn پا توجه به سطح اعتماد ۹۹٪ بی معنی است در حالی که ارتباط بین سرب و Hg، Cu، Co، Sb، Y، Cd، Bi، Ni منفی و باقیه عناصر ضریب همبستگی مثبت بروز می دهد. و مقدار حداقل ضریب همبستگی مربوط به Pb-As با مقدار 0.5359 و حداقل آن مربوط به Pb-Co با مقدار 0.8536 می باشد.

عنصر آنتیموان :
در سطح اعتماد ۹۹٪ ضریب همبستگی عنصر آنتیموان با عناصر نقره و کروم بی معنی است در صورتی که این ارتباط برای عنصر آنتیموان و Zn، Pb، Sc، Sn، W، V، Ba، As منفی

است و برای سایر عناصر ارتباط مثبت وجود دارد. بیشترین مقدار ضریب همبستگی مربوط به Sb-Co با مقدار 0.8729 و حداقل آن مربوط به Sb-Ba با مقدار 0.8058- می‌باشد.

عنصر اسکاندیم: ضریب همبستگی اسکاندیم و Ba، Sn، Sr، W در سطح اعتماد ۹۹٪ بی معنی است در حالی که این ضریب برای اسکاندیم و Ag، As، Cr، Cu، Ni، Pb، V مثبت و باقیه عناصر ضریب همبستگی منفی بروز می‌دهد. بیشترین مقدار ضریب همبستگی مربوط به Sc-V با مقدار 0.9904 و کمترین مقدار ضریب همبستگی مربوط به Sc-Bi با مقدار 0.4459- می‌باشد.

عنصر قلع: ضریب همبستگی این عنصر با عناصر V، Pb، Ag، Sc و Sb در سطح اعتماد ۹۹٪ بی معنی است در صورتی که همبستگی قلع با عناصر Cd، Co، Cr، Cu، Ni، Sc و Y منفی و باقیه عناصر مثبت است بیشترین مقدار ضریب همبستگی مربوط به Sn-Ba با مقدار 0.7350 و کمترین ضریب همبستگی مربوط به Sn-Y با مقدار 0.7172- می‌باشد.

عنصر استرانسیم: ضریب همبستگی استرانسیم با عناصر Sc، Pb، Hg، Cu، Ni، Ag، Cr، V، W، Zn و Bi در سطح اعتماد ۹۹٪ بی معنی است در صورتی که استرانسیم با عناصر As، Co، Sn، Sb دارای ضریب همبستگی مثبت بوده و باقیه عناصر ضریب همبستگی منفی از خود بروز می‌دهد. بیشترین مقدار ضریب همبستگی مربوط به Sr-Bi با مقدار 0.5315 و کمترین مقدار ضریب همبستگی مربوط به Sr-Ba با مقدار 0.2394- می‌باشد.

عنصر وانادیوم : ضریب همبستگی وانادیوم با Sr , Ba , Sn , W در سطح اعتماد ۹۹٪ بی معنی است در صورتی که ضریب همبستگی وانادیوم و عناصر Zn , Y , Sb , Cd , Co , Hg و Bi منفی و ماقیه عناصر ضریب همبستگی مثبت بروز می دهد. بیشترین مقدار ضریب همبستگی مربوط به V-Sc با مقدار ۰.۳۳۰۰ و کمترین مقدار ضریب همبستگی مربوط به V-Bi با مقدار ۰.۹۹۰۴ می باشد.

عنصر تنگستن : ضریب همبستگی تنگستن با عناصر Cr , Bi , Pb , Sc , Sr , V در سطح اعتماد ۹۹٪ بی معنی است در صورتی که ضریب همبستگی این عنصر با Ag , As , Cd , Co , Cu , Ni , Sb منفی است و ماقیه عناصر دارای ضریب همبستگی مثبت است. بیشترین مقدار ضریب همبستگی مربوط به W-Ba با مقدار ۰.۸۱۸۴ و کمترین ضریب همبستگی مربوط به W-Ag با مقدار ۰.۵۸۳۷ است.

عنصر ایتریم : ضریب همبستگی عنصر ایتریم با عناصر Hg , Sr , Zn در سطح اعتماد ۹۹٪ بی معنی است در صورتی که ضریب همبستگی ایتریم و W , V , Sn , Sc , Pb , Cr , Ba , As , Ag منفی است و با بقیه عناصر ضریب همبستگی مثبت بروز می دهد. بیشترین مقدار ضریب همبستگی مربوط به Y-Cd با مقدار ۰.۹۷۷۸ و کمترین ضریب همبستگی مربوط به Y-Zn با مقدار ۰.۷۱۷۲ است.

۴-۶-۲- تجهیز و تحلیل خوشای داده‌ها :

همچنانکه بر بخش محاسبات خطای آنالیز سستگاه XRF پرتاپل و پیوست شماره (۱)

عنوان شده است، مقادیر خطای اندازه‌گیری شده برای بسیاری از عناصر، از مقدار ۱۰ درصد فراتر بوده است. بنابراین، اگر بر تفسیر ساختار درختی داده‌ها، موارد غیرعادی مشاهده گردد، به احتمال زیاد در ارتباط با خطای اصلی است که بر تجزیه نمونه‌ها اعمال شده است.

بر ساختار درختی داده‌ها دو گروه اصلی A و B مشاهده می‌شود (شکل شماره ۲-۵).

گروه A شامل دو زیر گروه A_1 و A_2 ، و گروه B نیز زیر گروههای B_1 و B_2 را در بر می‌گیرد.

زیر گروه A_1 به درجه ۱۱ A و ۱۲ A و زیر گروه A_2 به درجه ۲۱ A و ۲۲ A قابل تقسیم است.

با توجه به همبودهای ژئوشیمیائی عناصر، هر گروه یا زیر گروه متعلق به یک تیپ کانی‌سازی یا به یک گروه سنگی، و یا متأثر از عوامل زمین‌شناسی و سنگ‌شناسی خاص است، بنابراین هر گروه و زیر گروه را باید با هم‌بندیگر تعبیر و تفسیر نمود. البته بر مواردی ممکن است بخاطر خطای آنالیز نمونه‌ها، روش انتخابی آنالیز خوشای و عوامل دیگر، ساختار درختی هیچگونه، ابسطه خاصی را بین عناصر نشان ندهد.

با توجه به ساختار داده‌ها و همبودهای ژئوشیمیائی نتایج زیر بدست آمده است:

گروه A: این گروه عناصر Cu، V، Sc، Cr، As، Ag، Pb، Sr، Bi، Hg، W، Ba، Sn، Zn و می‌گیرد بیشتر عناصر این گروه بصورت هاله‌های ژئوشیمیائی در کانی‌سازی‌های برونزاد و

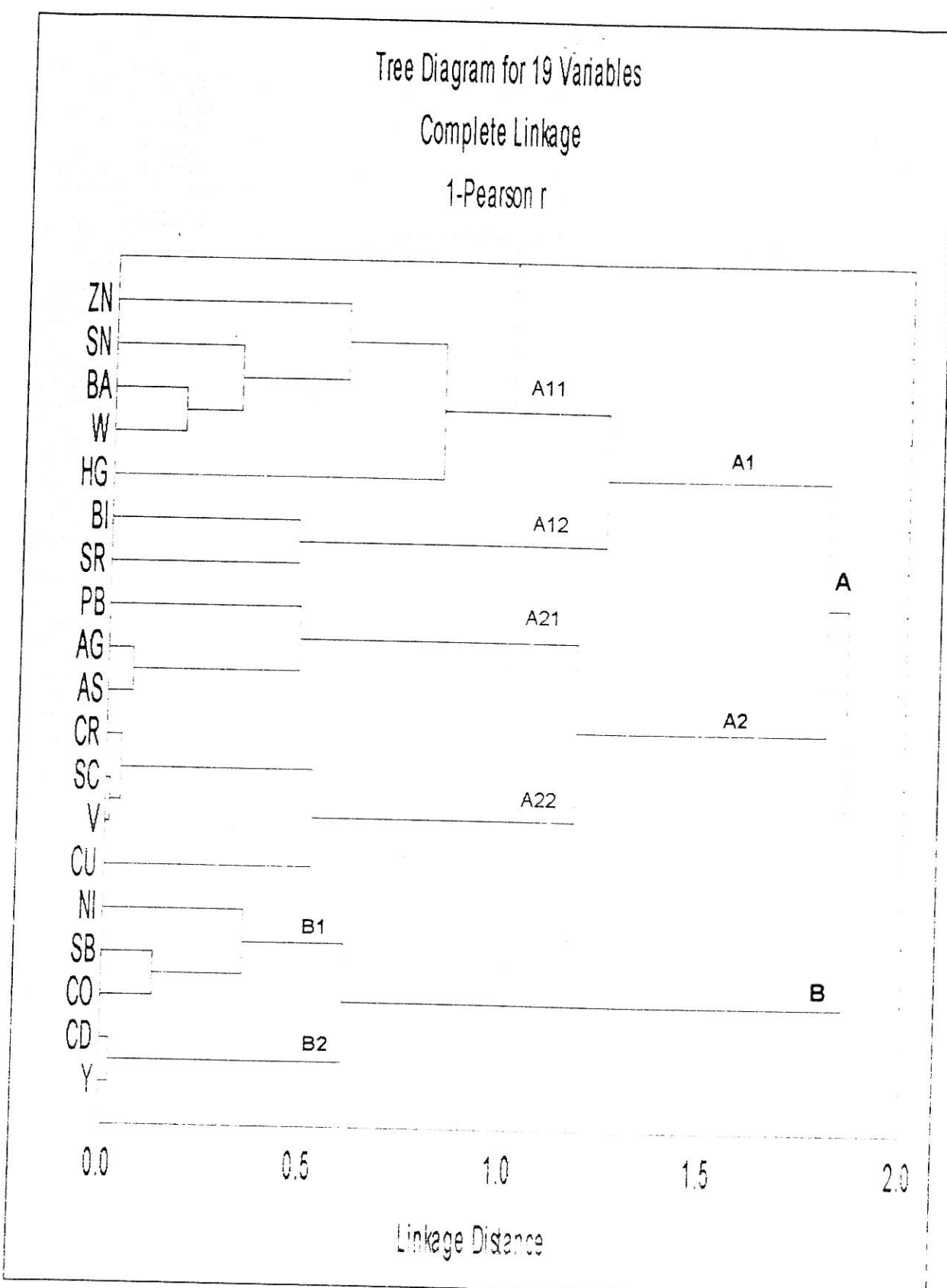


Fig. 2-5 :Dendrogram of Cluster Analysis Based on Portable XRF Results in DIZAJ 1:100,000 SHEET

برونزاد گرمابی، اسکارنها، ماسیوسولفایدها و تیپهای لیستونیتی مشاهده می‌شوند. عناصر این گروه در دو زیر گروه جداگانه قرار گرفته‌اند.

زیر گروه A₁: این زیر گروه شامل عناصر Sr، Bi، Hg، W، Ba، Sn، Zn است، که در رده جداگانه A₁₁ و A₁₂ قرار گرفته‌اند.

رده A₁₁: این رده عناصر W، Ba، Sn، Zn و Hg را برابر می‌گیرد. در رده پاد شده، عناصر روی، قلع، پاریم و تنگستن نزدیکی و همبود خیلی خوبی با همیگر دارند و با همبود خوب به عنصر جیوه وصل شده‌اند. مجموعه عناصر این رده با همبود نسبی، به بیسموت و استرانیسیم نزدیک شده‌اند. بیشتر عناصر این رده، بصورت هالهای ژئوشیمیایی در کانسارهای قلع-تنگستن اسکارنی، قلع-تنگستن رگه‌ای، پلی متالیک جانشینی، سرب و روی رسوبی اگزالاتیو، سرب و روی با میزبان ماسه سنگی، ماسیوسولفایدها (بویژه تیپ قبرس)، طلا و نقره با میزبان کربناته، جیوه سیلیسی-کربناتی، رگه‌ای اپی ترمال، مس‌های پورفیری-اسکارنی و غیره مشاهده می‌شوند. با توجه به شواهد صحرائی، ویژگی سنگ شناختی-تکتونیکی و داده‌های ژئوشیمیایی ورقه ۱۰۰،۰۰۰ دیزج، رخداد کانی سازی‌های نوع لیستونیتی، برونزاد و برونزاد گرمابی و ماسیوسولفاید دور از انتظار نیست. البته این مدل‌های فرضی با مطالعات دقیق‌تر و تفصیلی‌تر بهتر مشخص خواهند شد.

برونزاد گرمابی، اسکارنها، ماسیوسولفایدها و تیپهای لیستونیتی مشاهده می‌شوند. عناصر این گروه بر روی زیر گروه جداگانه قرار گرفته‌اند.

زیر گروه A₁: این زیر گروه شامل عناصر Sr، Bi، Hg، W، Ba، Sn، Zn است، که بر روی رده جداگانه A₁₁ و A₁₂ قرار گرفته‌اند.

رده A₁₁: این رده عناصر W، Ba، Sn، Zn و Hg را برابر می‌گیرد. بر روی پاد شده، عناصر روی، قلع، باریم و تنگستان نزدیکی و همبود خیلی خوبی با همیگر دارند و با همبود خوب به عنصر جیوه وصل شده‌اند. مجموعه عناصر این رده با همبود نسبی، به بیسموت و استرانیسیم نزدیک شده‌اند. بیشتر عناصر این رده، بصورت هاله‌های ژئوشیمیایی بر کانسارهای قلع-تنگستان اسکارنی، قلع-تنگستان رگه‌ای، پلی متالیک جانشینی، سرب و روی رسوبی اگزالاتیو، سرب و روی با میزبان ماسه سنگی، ماسیوسولفایدها (بویژه تیپ قبرس)، طلا و نقره با میزبان کربناته، جیوه سیلیسی-کربناتی، رگه‌ای اپی ترمال، مس‌های پورفیری-اسکارنی و غیره مشاهده می‌شوند. با توجه به شواهد صحرائی، ویژگی سنگ شناختی-تکتونیکی و داده‌های ژئوشیمیایی ورقه ۱۰۰،۰۰۰،۰۰۰ نیزج، رخداد کانی سازی‌های نوع لیستونیتی، درونزاد و برونزاد گرمابی و ماسیوسولفاید دور از انتظار نیست. البته این مدل‌های فرضی با مطالعات دقیق‌تر و تفصیلی‌تر بهتر مشخص خواهند شد.

رده ۱۲ A : این رده عناصر Bi و Sr را شامل می‌شود. در رده پاد شده، بیسموت و استرانیسم نزدیکی و همبود خیلی خوبی با همدیگر دارد. و با همبود نسبی به مجموعه عناصر رده ۱۱ A نزدیک شده‌اند. ایندو عنصر بصورت هاله‌های ژئوشیمیائی در اسکارنهای قلع، تنگستن و مس، قلع-تنگستن رگه‌ای، پلی متالیک جانشینی، سرب و روی رسوبی اگزالاتیو و ماسیو سولفایدها مشاهده می‌شوند. با توجه به شواهد موجود، در ورقهٔ نیزج احتمال کانی سازی‌های پلی متالیک رگه‌ای و ماسیو سولفایدها وجود دارد. حالت دومی که می‌توان در نظر گرفت که این دو عنصر همبود خوب نشان داده‌اند. خطای دستگاهی داده‌ها می‌باشد.

زیر گروه A₂ : این زیر گروه، مجموعه عناصر Pb، V، Sc، Cr، As، Ag، Pb را برابر می‌کند، که در دو ردهٔ جداگانه قرار گرفته‌اند.

رده ۲۱ A : این رده شامل عناصر Pb، Ag و As است. در رده پاد شده، نقره و آرسنیک نزدیکی و همبود خیلی خوبی با همدیگر دارند، و با همبود و نزدیکی خوب به عنصر سرب وصل شده‌اند.

مجموعهٔ سرب، نقره و آرسنیک با همبود نسبی به عناصر رده ۲۲ A (کروم، اسکاندیم، وانادیوم و مس) نزدیک شده‌اند. عناصر سرب، نقره و آرسنیک بصورت هاله‌های ژئوشیمیائی بر کانسارهای قلع اسکارنی، قلع جانشینی، تنگستن رگه‌ای، مس پورفیری-اسکارنی، سرب-روی اسکارنی، پلی متالیک جانشینی، قلع پلی متالیک رگه‌ای، طلا-نقره و تلور رگه‌ای،

پلی متالیک رگهای، رگهای اپی ترمال، ماسیوسولفاید ها، سرب و روی رسوبی اگزالاتیو، سرب روی تیپ مس سی سی پی، طلا-کوارتز رگهای کم سولفید و طلا-نقره با میزبان کربناتی مشاهده می شوند. در ورقه بیزج احتمال کانی سازی های رگهای چندفلزی، رگهای اپی ترمال، طلا-کوارتز رگهای کم سولفید و ماسیوسولفاید ها وجود دارد.

رده A₂₂: این رده مجموعه ائی از عناصر Cr، Sc، V و Cu را برابر می گیرد. در رده یاد شده، کروم، اسکاندیم و وانادیم نزدیکی و همبود خیلی خوبی با همدیگر دارند و با تشابه و نزدیکی خوب به عنصر مس وصل شده اند. مجموعه عناصر کروم، اسکاندیم، وانادیم مس با همسانی نسبی به عناصر رده A₂₁ نزدیک شده اند. بیشتر عناصر این رده بصورت هاله های ژئوشیمیایی در کانسارهای نیکل-مس دونیتی، کرومیت انبانی، ماسیوسولفید بشی، جیوه سیلیسی-کربناتی، آهن-تیتانیوم و وانادیوم بوشولد منیتیت با میزبان ولکانیکی، کربناتیت مس با میزبان رؤیت می شوند. با توجه به ویژگی سنگ شناختی و تکتونیکی در ورقه بیزج، احتمال رخداد کانی زائی های کرومیت انبانی، ماسیوسولفاید و جیوه سیلیسی-کربناتی دور از واقعیت نیست.

گروه B₂: گروه B عناصر Ni، Co، Sb و Y را برابر می گیرد، که در زیر گروه های B₁ و B₂ جای گرفته اند.

زیر گروه B₁: زیر گروه B₁ در بردارنده عناصر Ni، Sb و Co است، در این زیر گروه عناصر

پاد شده، تشابه و همانندی خیلی خوبی با همدیگر دارند و با نزدیکی خوب به عناصر کامیوم و ایتریوم نزدیک شده است. بیشتر عناصر این زیر گروه بصورت هالهای ژئوشیمیایی در کانسارهای پلی متالیک جانشینی نیکل - مس دونیتی، نیکل - مس استیل واتر، قلع پلی متالیک رگه‌ای، مس - آرسنیک و آنتیموان با میزبان ولکانیکی، پلی متالیک رگه‌ای، رگه‌ای ابی ترمال، طلا - نقره با میزبان کربناتی، جیوه سیلیسی - کربناتی، سرب و روی رسوبی اگزالاتیو، سرب و روی می‌سی سی پی و سرب و روی با میزبان ماسه سنگی و ماسیوسولفاید - تیپ بی شی رؤیت می‌شوند. در ورقه دیزج احتمال رخداد کانی سازیهای جیوه سیلیسی - کربناتی، پلی متالیک رگه‌ای، رگه‌ای ابی ترمال و ماسیوسولفید وجود دارد.

زیر گروه ۲B : زیر گروه ۲B عناصر Cd و Y را در بر می‌گیرد. در این زیر گروه، کامیوم و ایتریوم نزدیکی و همانندی خیلی خوبی با همدیگر دارند و با همانندی خوب به مجموعه عناصر زیر گروه ۱B نزدیک شده‌اند. عنصر کامیوم در بیشتر موارد با عناصر سرب، روی و نقره همانند است و بصورت هالهای ژئوشیمیائی در کانسارهای سرب - روی با سنگ میزبان کربناتی - رسوبی مشاهده می‌شود. در ورقه دیزج عنصر کامیم از عناصر سرب و نقره جدا شده است و دلیل آن، به احتمال زیاد در ارتباط با خطای است که در اندازه‌گیری عناصر با XRF پرتابل در این پروژه وجود داشته است.

۵-۶- تجزیه عاملی :

تجزیه عاملی، نامی عمومی است که به گروهی از روش‌های آماری چند متغیره اطلاق می‌شود، و هدف اولیه آن تفسیر ساختار ماتریس واریانس - کواریانس مجموعه‌ای از داده‌های چند متغیره است. تجزیه عاملی بین مجموعه‌ای متشکل از متغیرهای گوناگون که به ظاهر بی‌ارتباط هستند، رابطه خاصی را تحت یک مدل فرضی برقرار می‌کند. فرق میان این تکنیک و رگرسیون چندگانه در اینست: ۱- متغیرها بطور مستقیم بر ساختار مدل ارتباطی ظاهر نمی‌شوند. ۲- شمار عاملها (ترکیبی خطی از متغیرهای اصلی که ویژگی خاصی از ارتباط میان متغیرها را بیان می‌نمایند) به مراتب کمتر از شمار متغیرهای اصلی هستند. بنابراین، یکی از اهداف اصلی تجزیه عاملی، کاهش ابعاد داده هاست. فرض اساسی بر بکارگیری این تکنیک، وجود الگوئی زیر بنائی یا مدلی خاص در تعیین مفاهیم پیچیده ارتباطی بین متغیرهای است. این ارتباط در قالب یک عامل در این مدل فرضی ظاهر می‌شود.

بطور کلی، هدف از تجزیه عاملی عبارت است از:

۱- تعیین متغیرهای کنترل کننده اصلی در میان یکسری داده ژئوشیمیایی است، یا به عبارت دیگر یافتن کمترین تعداد متغیرهایی که بیشترین تغییرات مشاهده شده را در بین سری داده نشان بدهد.

۲- تعیین سهم نسبی هر یک از متغیرها در بوجود آمدن تغییرات توزیع عناصر.

بطور کلی در داده پردازیهای ژئوشیمیایی و تجزیه عاملی به دو روش محاسبه و صورت

می‌گیرد:

تجزیه و تحلیل نوع R-Mode : هدف از این تجزیه و تحلیل، مقایسه روابط و تعیین بستگی

بین پارامترهای متغیرها (غلظت عناصر) بر نمونه‌های مورد نظر است، از این‌رو روش یاد شده،

می‌تواند بر تشخیص عناصر اصلی موجود بر یک مجموعه ژئوشیمیائی بکار برده شود.

تجزیه و تحلیل نوع Q-Mode : هدف از این تجزیه و تحلیل، تعیین و ارزیابی همبستگی‌های

موجود میان نمونه‌های گوناگون، بر حسب تغییر متغیرهای چون ترکیب شیمیائی سنگهاست.

بر این مرحله از داده پردازی پس از نرمال‌سازی داده‌ها، فایل داده‌ها به نرم افزارهای spss و

Statistica منتقل، و تکنیک تجزیه عاملی بر روی داده‌های نرمال و بدون مقاییر خارج از رده

اجراء شده است، که نتایج آن بر زیر آورده شده است:

الف - برای مشخص نمون صحت و تأیید تجزیه عاملی، ضریب KMO همراه با آزمون

مربع کای (خی) محاسبه گردیده است. مقاییر بزرگ KMO دلالت بر تأیید تجزیه عاملی و

مقاییر کوچک آن دلالت بر عدم تأیید تجزیه عاملی دارد. مقادیر حدود ۰/۹، این کمیت تجزیه

عاملی را بسیار مناسب، مقادیر حدود ۰/۸، تجزیه عاملی را مناسب، مقادیر حدود ۰/۷، تجزیه

عاملی را متعادل، مقادیر حدود ۰/۶، تجزیه عاملی را متوسط، مقادیر ۰/۵، تجزیه عاملی را ناچیز

و کمتر از آن نامناسب جلوه می‌دهد. تمامی این مقاییر بر صورتیکه آزمون مربع کای (خی) در

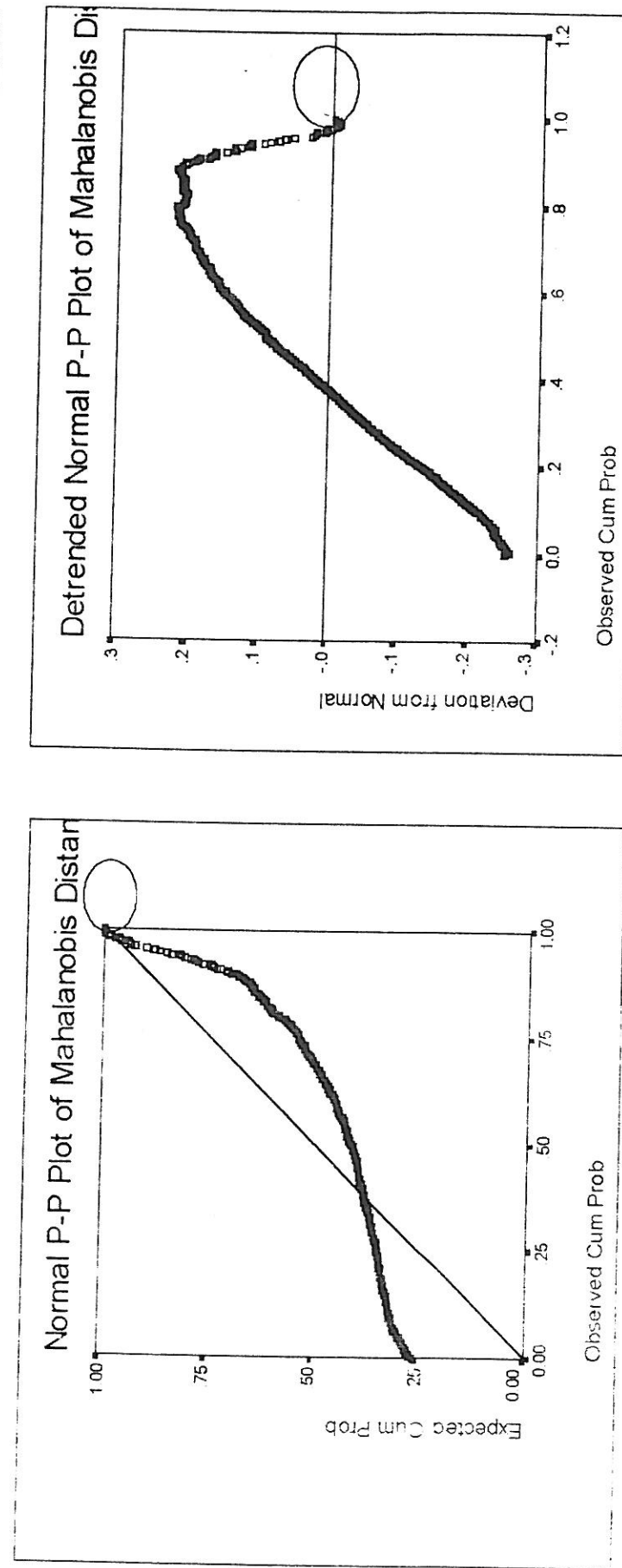
سطح اعتماد ۹۵ درصد معتبر باشد، صحیح تلقی می‌گردند. با توجه به جدول شماره (۱۰-۲)

مقادیر محاسبه شده، چنین تفسیر می‌شود:

مقدار KMO برابر با ۰/۷، با توجه به اعتبار آزمون مربع کای (خی) که سطح اعتماد آن

Table 2-9 Measurement of Mult outlier Samples Based on Mahalanobis Distance in DZAJ 1:100,000 SHEET

Sample No.	Zn	Pb	Ag	Cr	Ni	Bi	Sc	Cu	As	Sb	Cd	Co	Sn	Y	Ba	V	Sr	Hg	W	mah
D1746	115.322	3.5	0.05	98.159	154.787	0.101	8.805	3.75	1.261	0.611	0.1	61.386	13.527	10.408	2267.984	147.438	580.635	1.024	154.6	372.7577
D1746	70.322	3.5	0.28	29.136	145.766	0.096	3.217	0.693	5.21	1.144	0.131	88.983	7.799	13.811	726.005	6.04	645.736	0.439	67.43	127.9909
D1746	7.5	20.66	1.979	32.052	30.72	0.025	3.965	17.197	13.839	0.861	0.091	34.481	6.128	11.639	766.083	3.75	430.777	0.206	14.046	95.87287
D1746	55.25	3.75	1.039	3.75	76.704	0.095	3.435	3.75	9.336	0.939	0.105	55.397	7.948	12.595	923.333	10.702	484.332	0.391	50.26	94.13522
D1746	46.048	3.75	1.379	29.481	75.729	0.089	4.78	3.75	10.053	0.896	0.103	48.305	8.302	12.269	1025.457	41.506	497.026	0.403	45.086	93.99484
D1746	70.311	3.5	0.572	69.46	91.369	0.097	6.392	4.233	7.683	0.915	0.105	49.284	8.886	12.195	1007.312	83.052	479.078	0.493	70.805	90.45403



کاملاً معتبر و درجه آزادی آن برایر با ۱۷۱ است تجزیه عاملی فوق را بر رده متعادل قرار می نهد.

ب - درصد مشارکت (Communalities)، برای هر عنصر بطور جداگانه محاسبه شده است. با توجه به جدول شماره (۲-۱۰) بیشترین درصد مشارکت با ضریب ۹۸/۰ به عناصر کروم، اسکاندیم، کالمیوم، ایتریم، و انابیوم و تنگستن تعلق می گیرد. پس از این عناصر، رده بوم عناصر دارای مشارکت بالا در بردارنده آرسنیک و آنتیموان و قلع است. عناصر نیکل، کبات و باریم از نظر درصد مشارکت در رده سوم، و عناصر روی و سرب، نقره، استرانسیم و جیوه در رده چهارم جای می گیرند. و کمترین درصد مشارکت به عناصر مس و بیسموت تعلق می گیرد. لازم به یادآوری است که هرچه درصد مشارکت یک عنصر بالا باشد، دلالت بر مشارکت بالای این عنصر در تحلیل واریانس عمومی داده هاست.

ج - مقاییر ویژه، درصد واریانس و درصد تجمعی واریانس هر مؤلفه بطور جداگانه محاسبه شده است، با توجه به جدول شماره ۲-۱۰ و نمودار صخره‌ای شکل ۲-۶ پنج مؤلفه انتخاب شده است، علت انتخاب این پنج مؤلفه به دو پارامتر بستگی دارد:

پارامتر اول : با بررسی های انجام شده بر زمینه اکتشافات ژئوشیمیایی این نتیجه حاصل شده است که درصد تجمعی واریانس بالای ۷۵ درصد از یک جامعه ژئوشیمیایی می تواند معرف تقریبی جامعه باشد. حال با بر نظر رگفتن پنج مؤلفه، به تقریب ۹۴/۴۱ درصد واریانس تجمعی جامعه پوشش داده می شود که برای تجزیه و تحلیل مؤلفه ها بسیار مناسب به نظر می رسد.

پارامتر دوم: در بررسیهای آماری ژئوشیمیایی از نمودار صخره‌ای (scree plot) استفاده می‌شود که مقادیر ویژه بر حسب اهمیت آنها از بزرگترین تا کوچکترین مقدار رangif می‌شوند. با توجه به نمودار شکل شماره ۲-۶ مقادیر ویژه بالای دومین شکست معابر (مقادیر ویژه بالای یک)، برای انتخاب مؤلفه‌ها مورد استفاده قرار می‌گیرد.

حال با توجه به جدول شماره ۱۰-۲ مقادیر ویژه خام مؤلفه اول ۲۳/۶، مؤلفه دوم ۷۴/۴، مؤلفه سوم ۲۲/۳، مؤلفه چهارم ۹۹/۱، و مؤلفه پنجم ۶۴/۱، و مقادیر چرخشی یافته مؤلفه اول ۹۴/۴، مؤلفه دوم ۸۱/۲، مؤلفه سوم ۷۱/۳، مؤلفه چهارم ۶۵/۲ و مؤلفه پنجم ۸۱/۱ است. درصد واریانس مؤلفه اول ۳۲/۲، مؤلفه دوم ۹۶/۲۴، مؤلفه سوم ۰۲/۱۷، مؤلفه چهارم ۴۶/۱۰ و مؤلفه پنجم ۶۴/۸، و درصد واریانس چرخش یافته مؤلفه اول ۹۸/۲۵، مؤلفه دوم ۹۸/۲۵، مؤلفه سوم ۵۶/۱۹ و مؤلفه چهارم ۵۴/۹ است. پس از این پنج مؤلفه، مقادیر ویژه واریانس بشدت نزول پیدا می‌کند، از اینرو پنج مؤلفه برای تجزیه عاملی انتخاب می‌شود.

د- پس از اینکه مؤلفه‌ها انتخاب شدند، باید در نظر داشت که مؤلفه‌های خام (فیبر چرخشی) نمی‌توانند تمامی تغییر پذیری واقعی جامعه را نشان دهد، چون در بسیاری از موارد تعدادی از متغیرهای یک عامل ویژه، یا حتی به تعدادی از عاملها بستگی دارند و این، تعبیر عوامل را با مشکل روپرتو خواهد کرد. از اینرو روشهایی بوجود آمده است که بدون تغییر میزان اشتراک، باعث تعبیر ساده عوامل می‌شوند، این روشهای همان دوران عاملها هستند. بنابراین، مؤلفه‌های خام بایستی تحت تابع مشخصی چرخش داده شوند تا بهترین واریانس

Table 2-10 : Total Variance Explained and Communalities of Component in DIZAJ 1:100,000 SHEET

Initial Eigenvalues	Extraction Sums of Squared Loadings				Rotation Sums of Squared Loadings			
	Total	% of Var	Cum %	Total	% of Var	Cum %	Total	% of Var
Component	Total	% of Var	Cum %	Total	% of Var	Cum %	Total	% of Var
1	6.328519	33.08	33.08	6.328519	33.308	33.308	4.936954	25.98397
2	4.74326	24.9453	58.27252	4.74326	24.96453	58.27252	3.812765	20.06718
3	3.241046	17.02598	75.7981	3.234936	17.02598	75.2985	3.718264	19.56981
4	1.988684	10.46676	85.76526	1.988684	10.46676	85.76526	3.657835	19.25176
5	1.642544	8.64497	94.41023	1.642544	8.64497	94.41023	1.812127	9.537509
6	0.395379	2.080418	96.49065					
7	0.219568	1.157211	97.64785					
8	0.14635	0.770265	98.41812					
9	0.122293	0.643673	99.06179					
10	0.063917	0.336405	99.39819					
11	0.04692	0.246946	99.64514					
12	0.024796	0.130505	99.77565					
13	0.017441	0.091796	99.86744					
14	0.011539	0.060733	99.92818					
15	0.007045	0.03708	99.96526					
16	0.003917	0.020617	99.98587					
17	0.001493	0.007859	99.99373					
18	0.00104	0.005473	99.9992					
19	0.000151	0.000796	100					
							W	0.982650619

KMO	0.70225
Bartlett's Test	22604.86
df	171
Sig.	0

جامعه عمومی بدست آید. در بررسیهای ژئوشیمیایی بیشتر از تابع وریمکس (Varimax) استفاده می‌شود. با انتخاب تابع وریمکس، دورانی متعادل بر روی ضرایب عاملها انجام می‌گیرد. با این دوران تغییرات مربوط عناصر ستونی، برآورد ضرایب عاملها را به بیشترین مقدار می‌رساند. این روش مقادیری به نسبت بزرگ (از نظر قدر مطلق) یا صفر به ستونهای ماتریس ضرایب عاملها اختصاص می‌دهد، در نتیجه عواملی ایجاد می‌شود که پا شدید با متغیرها وابسته‌اند و یا مستقل از آنها هستند، این کار سبب ساده‌تر شدن تعبیر عاملها خواهد شد. مؤلفه‌های چرخش یافته جدیدی که بدین ترتیب بدست می‌آیند، مؤلفه‌های اصلی برای محاسبه امتیازات (Scores) هستند. مؤلفه‌های خام و چرخش یافته در جدول شماره ۲-۱۱ آورده شده است.

با استفاده از جدول عاملی مقادیر چرخش یافته، مقدار ضریب چرخش یافته $+0/5$ ، اساس انتخاب هر متغیر در هر عامل است. لازم به یادآوری است که اعداد مثبت رابطه معکوسی با اعداد منفی خواهند داشت. با توجه به مطالب یاد شده، پنج عامل برگزیده در بردارنده عناصر زیر است:

عامل یک: این عامل در بردارنده عناصر Sn، Ba، Cd، Cu و Sb با امتیاز مثبت، و عناصر Y، W با امتیاز منفی است.

در عامل یک، عناصر قلع، باریم و تنگستن غنی شدگی دارند، در صورتیکه عناصر ایتریم، کالمیم، مس و آنتیموان تهی شدگی نشان می‌دهند. بیشتر عناصر یاد شده، بصورت هاله‌های ژئوشیمیایی در کانسارهای تیپ اسکارنی، رگه‌ای اپی ترمال، رگه‌ای چند فلزی و ماسیوسولفاید

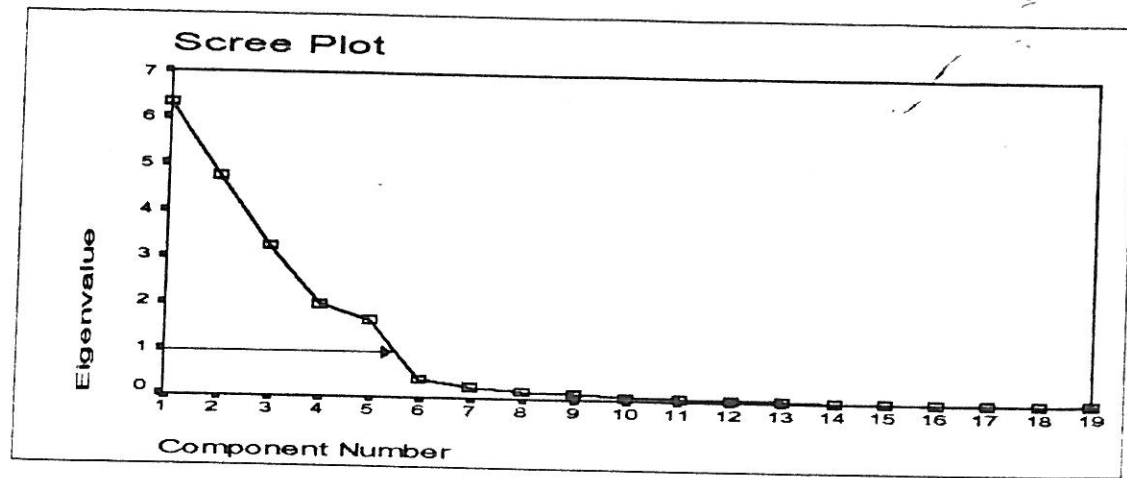


Fig 2-6 : Scree Plot Used to Determine Number of Optimum Factors

Table 2-11 : Component Matrix and Rotated Component Matrix Values in DIZAJ 1:100,000 SHEET

Component	Component Matrix				
	1	2	3	4	5
CD	0.925	-0.089	0.027	-0.340	0.016
CO	0.900	-0.113	-0.006	0.346	-0.102
Y	0.896	-0.023	-0.113	-0.390	0.129
SB	0.857	0.232	-0.176	0.390	0.042
PB	-0.761	0.281	-0.198	-0.440	0.202
BA	-0.703	-0.472	0.429	-0.006	-0.215
NI	0.645	0.432	0.526	0.230	-0.117
AS	-0.619	0.555	-0.402	0.353	-0.012
SN	-0.607	-0.517	0.242	0.483	0.222
ZN	-0.100	-0.723	0.409	-0.351	0.300
CR	-0.070	0.722	0.635	-0.017	0.228
SC	-0.222	0.695	0.661	-0.015	0.125
W	-0.295	-0.693	0.641	0.016	-0.069
V	-0.202	0.667	0.662	-0.019	0.235
AG	-0.496	0.609	-0.489	0.254	-0.089
CU	0.499	0.602	0.310	-0.202	0.110
HG	0.370	-0.441	0.463	0.558	-0.285
SR	0.057	-0.042	-0.101	0.551	0.776
BI	0.265	-0.471	-0.234	-0.029	0.738

Component	Rotated Component Matrix				
	1	2	3	4	5
SN	0.912	-0.092	0.024	-0.105	0.354
Y	-0.376	-0.106	0.220	0.391	0.067
BA	0.364	-0.013	-0.184	0.309	-0.265
CD	-0.794	-0.077	0.352	0.467	-0.023
W	0.708	0.002	0.124	0.676	-0.098
CR	-0.039	0.985	-0.053	-0.084	0.001
V	0.089	0.976	-0.122	-0.065	-0.002
SC	0.104	0.970	-0.102	-0.111	-0.104
CU	-0.585	0.621	0.129	0.027	-0.060
PB	0.191	0.127	-0.911	-0.214	-0.047
HG	0.308	-0.044	0.871	0.284	-0.040
CO	-0.475	-0.146	0.824	0.101	0.126
SB	-0.625	-0.007	0.699	-0.208	0.253
NI	-0.361	0.603	0.662	0.031	-0.105
AG	0.094	0.051	-0.326	-0.900	-0.024
AS	0.271	0.101	-0.327	-0.886	0.064
ZN	0.305	-0.108	-0.171	0.869	0.156
SR	0.098	0.069	-0.147	-0.138	0.930
BI	-0.192	-0.323	-0.076	0.387	0.773

مشاهده می‌شوند. در ورقه نیزج، بر پایه شواهد صحرائی و نتایج حاصله، احتمال رخداد کانی سانیهای تیپ رگه‌ای و ماسیوسولفاید وجود دارد. با توجه به پاراژنز عنصری عامل یک، این امکان هست که قلع، باریم و تنگستن عناصر حرارت بالا و ایتریم، کالمیم، مس و آنتیموان انواع حرارت پائین این تیپ کانی سازیها باشند.

عامل دو : عامل دو برابردارنده عناصر Ni، Cr، V، Sc و Cu با امتیاز مثبت است. در این عامل، عناصر پاد شده غنی شدگی دارند. مجموعه این عناصر، بصورت هاله‌های ژئوشیمیای در کانی سازیهای نیکل-مس دونیتی، کرومیت انبانی، ماسیوسولفاید، مس-نیکل کوماتیتی، نیکل-مس استیل و اتر رؤیت می‌شوند. بر پایه ویژگیهای زمین شناختی و زمین ساختی ورقه نیزج احتمال رخداد کانی زائیهای مس-نیکل دونیتی، کرومیت انبانی و ماسیوسولفاید به دور از واقعیت نیست.

عامل سه : عامل سه برابردارنده عناصر Hg، Co، Sb و Ni با امتیاز نسبت، و عنصر سرب با امتیاز منفی است. این عامل مثبت به مجموعه جیوه، کبات، آنتیموان و نیکل غنی شدگی، و به سرب تهی شدگی نشان می‌دهد. بیشتر این عناصر بصورت هاله‌های ژئوشیمیایی در کانسارهای طلا-نقره با میزبان کربناتی، طلا-نقره-تلور رگه‌ای، طلا-نقره چشم، آبگرم، رگه‌ای اپی ترمال، جیوه سیلیسی-کربناتی و رگه‌ای چندفلزی مشاهده می‌شوند. برپایه شواهد صحرائی و داده‌های موجود، در ورقه نیزج احتمال رخداد کانی سازیهای طلا-نقره-تلور رگه‌ای، جیوه سیلیتی-کربناتی، طلا-نقره چشم آبگرم و رگه‌ای چندفلزی

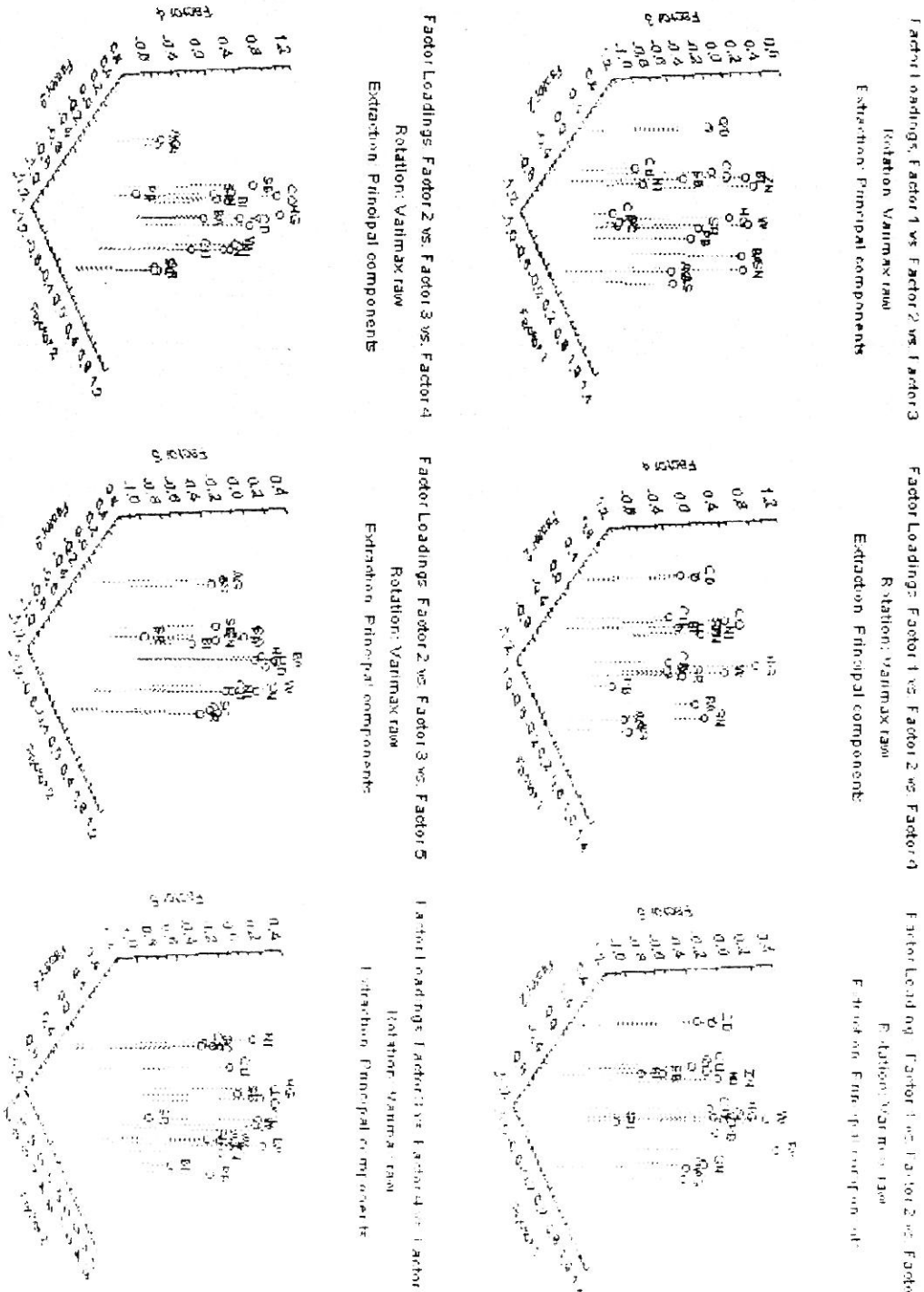


Fig 2-7 : 3D. Factor Loading Plots in DIZAJ 1:100,000 SHEET

منعکس نمایند، از طریق بکارگیری روش تجزیه عاملی و رسم موقعیت متغیرهای بر مختصات عاملی معرفی می‌شوند. در چنین مختصاتی، متغیرهایی که با فاکتورهای آنها نزدیک به صفر است، بی‌اهمیت هستند و هرچه فاصله آنها از مبداء مختصات بیشتر باشد، پتانسیل آن عنصر از نظر کانی‌سازی می‌تواند با اهمیت باشد، البته بشرطی که خطای سنجاقی و اثرات سنگی زیاد بارز نباشد. در اینصورت چنانچه مجموعه‌ای از متغیرهای بر امتداد معینی از مبداء دور شده باشند می‌توانند بعنوان متغیرهایی که ارتباط پاراژنزی با یکدیگر دارند، به حساب آیند. بنابراین، با استفاده از این روش می‌توان با تغییر محورهای مختصات (عاملهای مختلف) موقعیت عناصر را واضح‌تر مورد مطالعه قرار داد.

با توجه به موارد یاد شده، نمودارهای بصورت سه بعدی (معرف سه عامل) تهیه شده (نمودارهای شکل شماره (۲-۷))

- نمودار F_3 و F_2 و F_1 : در این نمودار که براساس عاملهای یک، دو و سه ترسیم شده است عناصر تنگستن، باریم و قلع در یک گروه، نیکل، کروم، وانادیم، اسکاندیم و مس در یک گروه و آنتیموان، کبالت و جیوه در گروه دیگر جای گرفته اند. گروههای اول و سوم به احتمال بیانگر کانی‌سازی‌های رگه‌ای چند فلزی و جیوه سیلیسی-کربناتی در منطقه باشد، و گروه دوم نیز به احتمال حکایت از کانی‌سازی کرومیت انبانی در منطقه دارد.

- نمودار F_4 ، F_2 و F_1 : در این نمودار که بر پایه عاملهای یک، دو و چهار ترسیم شده است عناصر تنگستن، باریم و قلع در گروه اول، نیکل، کروم، وانادیم، اسکاندیم و مس در گروه دوم

و کامیم، روی، نقره و آرسنیک در گروه سوم جای گرفته‌اند. گروه‌های اول و سوم بیانگر کانی‌سازی‌های تیپهای رگه‌ای و ماسیوسولفاید و جیوه سیلیسی کربناتی و گروه دوم بیانگر کانی‌سازی کرومیت انبانی در منطقه دارد.

- نمودار F_5 ، F_2 و F_1 : در این نمودار که بر پایه عاملهای یک، دو و پنج ترسیم شده است. عناصر تنگستن، باریم، قلع، ایتریم، کامیم، مس و آنتیموان در گروه اول، نیکل، کروم، وانادیم، اسکاندیم و مس در گروه دوم و بیسموت و استرانسیم در گروه سوم قرار گرفته‌اند. گروه‌های اول و سوم به احتمال بیانگر کانی‌سازی رگه‌ای چندفلزی و ماسیوسولفاید، و گروه دوم بیانگر کانی‌سازی کرومیت انبانی در منطقه است.

- نمودار F_4 ، F_2 و F_3 : در این نمودار که بر پایه عاملهای دو، سه و چهار ترسیم شده است، عناصر نیکل، کروم، وانادیوم، اسکاندیم و مس در گروه اول، آنتیموان، کبات، جیوه و سرب در گروه دوم و کامیوم، تنگستن، روی، نقره و آرسنیک در گروه سوم جای گرفته‌اند، گروه‌های دوم و سوم بیانگر کانی‌سازی‌های تیپهای رگه‌ای چندفلزی، ماسیوسولفاید، جیوه سیلیسی-کربناتی، و گروه اول حکایت از کانی‌سازی کرومیت انبانی در منطقه دارد.

- نمودار F_5 ، F_3 و F_2 : در این نمودار که بر پایه عاملهای دو، سه و پنج ترسیم شده است، عناصر نیکل، کروم، وانادیم، اسکاندیم و مس در گروه اول، آنتیموان، کبات، جیوه و سرب در گروه دوم و بیسموت و استرانسیم در گروه سوم جای گرفته‌اند. گروه اول بیانگر کانی‌سازی

Table 2-12 : Component Score Coefficient Matrix

Component	1	2	3	4	5
ZN	0.019	0.034	-0.126	0.278	0.097
PB	-0.059	0.030	-0.283	0.032	0.021
AG	0.019	-0.033	-0.006	-0.251	0.000
CR	-0.001	0.273	-0.023	0.035	0.070
NI	-0.001	0.155	0.192	-0.016	-0.050
BI	-0.068	-0.017	-0.125	0.125	0.427
SC	0.028	0.262	-0.015	0.025	0.012
CU	-0.123	0.164	-0.033	0.052	-0.002
AS	0.064	-0.010	0.011	-0.251	0.056
SB	-0.057	-0.009	0.184	-0.117	0.109
CD	-0.173	-0.010	-0.023	0.138	-0.041
CO	-0.018	-0.039	0.224	-0.048	0.024
SN	0.227	0.015	0.099	-0.010	0.205
Y	-0.206	-0.016	-0.077	0.130	0.016
BA	0.176	0.005	0.020	0.082	-0.137
V	0.021	0.273	-0.033	0.043	0.072
SR	0.058	0.076	0.041	-0.056	0.536
HG	0.175	-0.003	0.327	-0.022	-0.059
W	0.163	0.038	0.064	0.172	-0.053

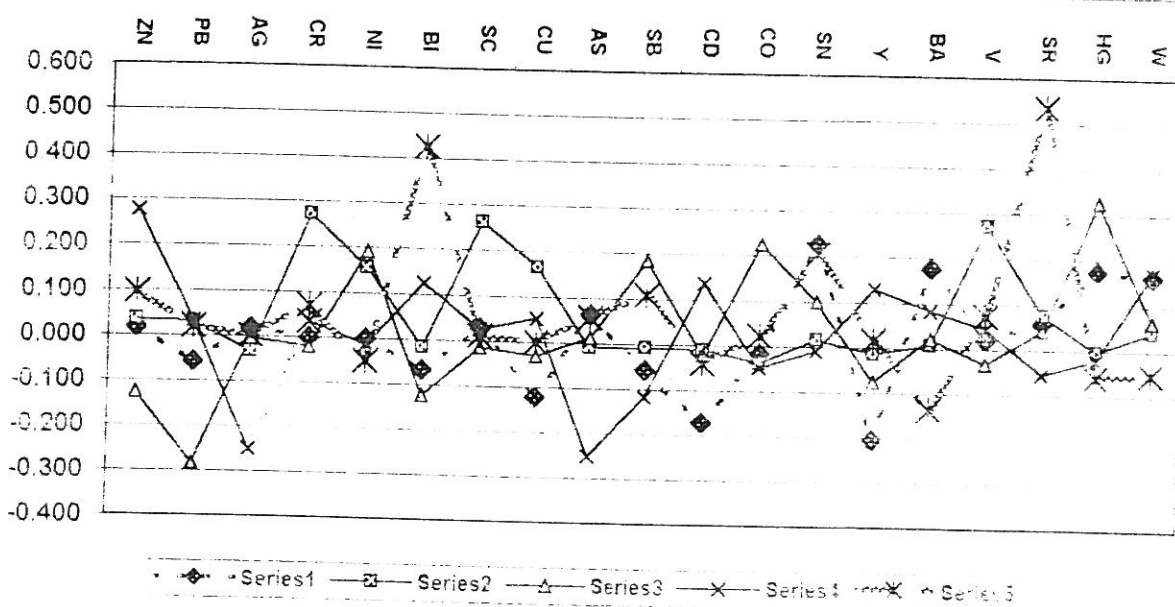


Fig 2-8 : Comparison of Three Factor Scores in DIZAJ 1:100,000 SHEET

تیپ کرومیت انبانی، و گروههای دوم و سوم حکایت از کانی سازیهای رگه‌ای چندفلزی، ماسیو سولفاید و جیوه سیلیسی-کربناتی در منطقه دارد.

- نمودار F_5 و F_4 : در این نمودار که بر پایه عاملهای سه، چهار و پنج ترسیم شده است، عناصر نیکل، آنتیموان، کبالت، جیوه و سرب در گروه اول، کادمیوم، تنگستن، روی، نقره و آرسنیک در گروه دوم و بیسموت و استرانسیم در گروه سوم جای گرفته‌اند. گروههای پاد شده، به احتمال بیانگر کانی سازیهای تیپهای رگه‌ای چندفلزی، جیوه سیلیسی-کربناتی و ماسیو سولفاید و رگه کوارتز طلادار کم سولفید در منطقه می‌باشد.

د- پس از محاسبه مقادیر مؤلفه‌ها، امتیاز هر مؤلفه در جدول شماره (۲-۱۲) آورده شده است. برای محاسبه مقادیر امتیازات از روش رگرسیون استفاده شده است. این روش ماتریس ضرائب عاملهای متغیرهای استاندارد شده را براساس ماتریس همبستگی R محاسبه می‌نماید. مقادیر امتیازات برای هر عامل بصورت گرافیکی در نمودار شکل شماره (۲-۸) آورده شده است.

در خاتمه تمامی ضرائب امتیازات در مقادیر استاندارد شده هر نمونه ضرب شده است و مجموع امتیاز هر نمونه بدست می‌آید. مقادیر امتیازات هر عامل برای همه داده‌های ورقه دیزج در ضمیمه شماره ۴ آورده شده است.

معرفی ناهنجاریهای فاکتور:

پس از مشخص نمودن هر عامل، مقادیر عاملی هر نمونه محاسبه می‌شود. بنابراین برای

هر نمونه پنج مقدار عاملی برآورده می‌شود که بر ضمیمه شماره ۴ آورده شده‌اند. حال همانند یکسری داده، مقادیر میانگین و انحراف معیار عاملها بر نرم افزار spss محاسبه شده است، سپس مقادیر $\bar{x} + s$, $\bar{x} + 2s$, $\bar{x} + 3s$ مشخص می‌گردد. مقدار میانگین هر سه عامل به تقریب صفر و انحراف معیار هر عامل یک است. بنابراین، مقادیر بالای ۱، ۲ و ۳ به ترتیب جزء آنومالیهای درجه سه، دو و یک تلقی می‌شوند. این مقادیر بر جدول شماره (۲-۱۳) آورده شده‌اند.

Table 2-13 : Measurement of Anomalous Samples Based on Factor Analysis Method

Sam. No.	Fac1	Sam. No.	Fac2	Sam. No.	Fac3	Sam. No.	Fac4	Sam. No.	Fac5
X+3S	>3	X+3S	>3	X+3S	>3	X+3S	>3	X+3S	>3
X+2S	>2	X+2S	>2	X+2S	>2	X+2S	>2	X+2S	>2
X+S	>1	X+S	>1	X+S	>1	X+S	>1	X+S	>1
DK242	10.71954	DB49	4.06166	DK242	4.48448	DK242	10.18037	DB54	5.05289
DK310	4.15983	DK425	3.92322	DB217	2.76116	DB202	5.74331	DB155	4.42898
DK245	3.48082	DB132	3.61884	DB216	2.54844	DK310	5.15885	DB153	3.71199
DK275	3.00062	DB117	3.56802	DK258	2.18855	DK275	3.3948	DB73	3.68352
DK244	2.29566	DK240	3.55055	DK250	2.13574	DB38	2.86592	DB154	3.68126
DB202	2.15296	DK424	3.15184	DK410	2.13532	DK249	2.76485	DB116	3.57669
DK219	2.14844	DK337	2.92973	DN339	2.04129	DB11	2.68495	DB72	3.53669
DK313	2.11827	DB128	2.92741	DB225	1.89974	DK245	2.56021	DB81	3.4596
DK380	1.87898	DB129	2.72526	DA446	1.88004	DB28	2.40667	DB74	3.40829
DK230	1.70031	DB59	2.63156	DK263	1.85709	DB51	2.35448	DB152	3.14726
DK204	1.69168	DB45	2.62898	DK401	1.85559	DB41	2.34947	DB87	2.88605
DK308	1.68365	DK422	2.59745	DK235	1.83384	DB42	2.30189	DB95	2.66098
DK249	1.65916	DK242	2.4683	DK248	1.81433	DB34	2.25122	DB79	2.55848
DB84	1.652	DB119	2.3476	DK260	1.78075	DB30	2.1214	DK31	2.55557
DK381	1.58291	DB130	2.29858	DK259	1.78063	DB167	1.93342	DB148	2.44198
DK248	1.56076	DB121	2.13613	DB226	1.67661	DB26	1.92568	DK389	2.44064
DK377	1.53864	DK435	2.12897	DK255	1.67443	DE244	1.74479	DE64	2.26211
DB224	1.53134	DB60	1.91049	DB208	1.65963	DB52	1.70082	DB96	2.2188
DB153	1.47656	DK436	1.85274	DK287	1.65325	DB25	1.69878	DB93	2.11703
DK378	1.4609	DB59	1.84742	DK257	1.62889	DB33	1.5849	DB115	2.06471
DK385	1.46057	DB61	1.81669	DB202	1.62242	DB91	1.57092	DE78	2.03979
DK307	1.41618	DK282	1.81439	DK290	1.62173	DE18	1.53049	DB63	1.98336
DK435	1.38259	DB95	1.77976	DK409	1.5801	DB26	1.5205	DB85	1.94049
DB95	1.37429	DB123	1.76685	DK349	1.53685	DB19	1.49968	DB5	1.78655
DB175	1.37253	DB120	1.71816	DK411	1.53225	DB39	1.46229	DB4	1.76642
DK384	1.36898	DB115	1.62622	DK256	1.5102	DK244	1.42399	DB94	1.68675
DK388	1.35034	DB150	1.53634	DK192	1.49797	DB78	1.35853	DB8	1.66132
DK379	1.33438	DB131	1.52284	DK397	1.46681	DB43	1.35552	DB120	1.60579
DK392	1.31844	DK377	1.50656	DK229	1.43424	DB28	1.32564	DK383	1.59326
DK441	1.31322	DB147	1.48822	DK415	1.4155	DE31	1.26814	DB89	1.58767
DB116	1.31289	DB57	1.47034	DK406	1.40108	DE59	1.26079	DB82	1.57623
DB225	1.30245	DB127	1.46649	DK417	1.39852	DK248	1.23801	DB92	1.56823
DB203	1.29744	DK437	1.43115	DK407	1.365	DB44	1.2366	DB83	1.45196
DK253	1.28418	DK420	1.42968	DK396	1.33339	DB135	1.19175	DB135	1.43326
DK436	1.24832	DB47	1.40597	DK398	1.32164	DB48	1.186	DK384	1.32779
DN312	1.22421	DB188	1.35371	DB214	1.28939	DB37	1.1754	DK385	1.32312
DK337	1.19854	DK241	1.34645	DK366	1.2716	DK398	1.1453	DK379	1.32267
DK306	1.19169	DB122	1.30132	DK254	1.26541	DB46	1.1341	DK392	1.31924
DK438	1.17992	DK236	1.29609	DK293	1.2529	DB90	1.07689	DK376	1.29759
DB154	1.17141	DK405	1.26455	DB224	1.23695	DB24	1.05242	DB183	1.2547
DB217	1.16975	DK423	1.24609	DK396	1.2313	DB114	1.03528	DB133	1.21491
DK425	1.16358	DK432	1.2458	DK284	1.21656	DK185	1.03496	DB75	1.20856
DK375	1.15735	DK383	1.22986	DK416	1.21	DB192	1.03383	DE411	1.17327
DK276	1.13221	DK433	1.22485	DB135	1.19738	DB21	1.00744	DB71	1.16974
DB165	1.08181	DK434	1.2028	DK294	1.19695	DB23	1.00489	DB121	1.16898
DB72	1.07727	DB53	1.17147	DK184	1.19016	DB32	0.98864	DB67	1.15745
DK382	1.04885	DK264	1.16799	DB155	1.17571	DB46	0.98854	DB134	1.11087
DB153	1.04814	DK438	1.10071	DB197	1.16847	DB27	0.9845	DB131	1.10609
DK443	1.04473	DB63	1.09974	DB218	1.16645	DB58	0.98321	DB42	1.1041
DK448	1.02353	DK388	1.08706	DB137	1.14182	DB156	0.97644	DB66	1.10312
DB188	1.02348	DK407	1.08687	DB186	1.13677	DB1	0.96493	DE168	0.99976
DK376	1.02146	DB161	1.08075	DK286	1.13611	DB35	0.96157	DB41	0.98734
DK249	1.02099	DB62	1.07579	DK447	1.11364	DR	0.94776	DB68	0.98552
DB74	1.01175	DK255	1.06036	DK305	1.10976	DE77	0.94193	DE74	0.97046
DK433	1.01096	DB126	1.01227	DK325	1.10752	DE145	0.94031	DE174	0.9847
DK430	1.00359	DK256	1.00568	DB34	1.10644	DB76	0.93727	DE61	0.9537
DK232	0.97395	DB125	0.98913	DK419	1.08959	DE67	0.92802	DE73	0.92212
DB167	0.97201	DK319	0.98842	DA368	1.08878	DE49	0.90835	DB52	0.92153
DK387	0.97066	DK431	0.96185	DB211	1.06929	DE17	0.9027	DB25	0.87074

Table 2-14 Value of X-2.5S ... X+2.5S Based on Numerical and Normalized Data in DlZAJ 1:100,000 Sheet

	Zn	Pb	Ag	Cr	Bi	Cu	As	Sb	Sn	Ba	Hg	W
X	1.863	5.359	0.796	12.843	-1.369	3.263	2.472	0.401	1.014	4.272	-1.489	-0.590
S	0.310	1.719	0.246	4.789	0.047	0.595	0.155	0.210	0.024	0.123	0.266	2.221
X-2.5S	1.089051	1.062107	0.180807	0.871593	-1.485594	1.776022	2.084841	-0.123719	0.953677	3.964337	-2.15319	-6.141498
X-1.5S	1.398675	2.780678	0.426708	5.6601	-1.438813	2.370976	2.239826	0.086364	0.977894	4.087548	-1.887505	-3.920829
X-0.5S	1.708299	4.49925	0.672609	10.44861	-1.392032	2.96593	2.394811	0.296447	1.002111	4.210759	-1.62182	-1.70016
X+0.5S	2.017922	6.217822	0.918511	15.23711	-1.345251	3.560884	2.549796	0.50653	1.026328	4.333971	-1.356135	0.520509
X+1.5S	2.327546	7.936393	1.164412	20.02562	-1.29847	4.155838	2.704782	0.716613	1.050545	4.457182	-1.09045	2.741178
X+2.5S	2.63717	9.654965	1.410314	24.81413	-1.251689	4.750792	2.859767	0.926695	1.074763	4.580393	-0.824765	4.961847

	Zn	Pb	Ag	Cr	Bi	Cu	As	Sb	Sn	Ba	Hg	W
X-2.5S	2.678	2.250	1.172	2.076	0.054	5.906	8.043	0.836	5.053	223.305	0.196	0.000
X-1.5S	3.431	4.947	1.386	15.812	0.066	10.708	9.392	1.076	5.477	284.219	0.230	0.008
X-0.5S	4.344	8.336	1.582	43.838	0.080	19.413	10.966	1.209	5.966	364.393	0.272	0.159
X+0.5S	5.443	12.320	1.765	87.093	0.095	35.194	12.804	1.305	6.536	470.813	0.326	1.664
X+1.5S	6.753	16.838	1.937	146.229	0.111	63.805	14.951	1.381	7.206	613.341	0.394	11.650
X+2.5S	8.303	21.846	2.101	221.751	0.128	115.676	17.457	1.446	8.005	806.062	0.482	61.332

بخش سوم : اکتشافات کانی سنگین

فصل سوم : تکنیک رسم نقشه ها و شرح ناهنجاری های ژئوشیمیابی

۱-۳- تکنیک رسم نقشه ها

بر زمینه اکتشافات ژئوشیمیابی، اهمیت تغییرات فضائی دادهای بر راستای تشخیص الگوهای غیرمعمول که ممکن است در ارتباط با پتانسیلهای کانی سازی باشند، بر کسی پوشیده نیست، توزیع فضائی مقامی غلظت عناصر بصورت نقشه توصیف می شود که طبیعت و مقیاس این نقشه به هدف مورد نظر بستگی ندارد. نقشه های ژئوشیمیابی را می توان

به نو گروه بخش کرد:

۱- نقشه هایی که غلظت عناصر را در محل نمونه هایشان نشان می بخند (نقشه های نمایین با map symbol).

۲- نقشه هایی که تأکید بر الگوی توزیع عناصر بر مقیاس ناحیه ای و محلی دارند (نقشه های کنترولی و طبقی).

تکنیک رسم نقشه های نوع سوم بطور مرسوم و گسترده در بسیاری از نرم افزارهای کامپیوتری مورد استفاده قرار می گیرد. اساس این روش درون یابی (Interpolation) مقامی برای نقاط فاقد اطلاعات یک شبکه منظم (نقاط گره) از روی داده های موجود است. بینیال آن کنتورها از بین نقاط شبکه عبور دانه می شود و رشتیه ای از مختصات که بیانگر سطحی بان نقاط هم مقدار بر روی آن است، پیدا می آورد. نظم شبکه لزوم نخیر مسازی جهت مختصات هارا برای هر نقطه گره در شکه مرتفع ساخته و موجب تسهیلات بعدی بر پردازش داده ها می گردد.

عوامل مؤثر بر تغییر سطح پردازش شده نهائی عبارتند از:

الف - شمار نمونه‌ها : هرچه سطح برازش شده دارای پیچیدگی بیشتری باشد، شمار دامنه‌ای بیشتری برای توصیف آن مورد نیاز است. این شمار دامنه‌ای از پیش شناخته شده نیستند و بر اکتشافات ژئوشیمیائی، چگالی نمونه برداری از پیش و برپایه مفهوم اولیه ابعاد هدف مورد نظر، تعیین می‌شود. کمترین شماره نمونه‌های طراحی شده بر مقیاس ناحیه‌ای بر بسیاری از کشورهای بین‌المللی توجه به کلیه موارد به مراتب بیشتر از نمونه‌های طراحی شده بر این پروژه است.

ب - توزیع فضائی نمونه‌ها : وضعیت نقاط نمونه برداری برپایه سرشت جستجو و محیط نمونه برداری تغییر می‌کند. دامنه‌ای توزیع فضائی نامنظم بر نمونه برداری رسوبات آبراهه‌ای امری عادی است چونکه طراحی شبکه نمونه برداری برپایه الگری حوضه آبریز انجام می‌گیرد.

ج - ابعاد شبکه : هرچه شبکه تخییز بکاررفته بر اینترپولاسیون داده‌ها چگالتر باشد، مقابله نمایش داده شده به حقیقت نزدیکتر خواهد بود. این بدلیل آنست که احتمال قرار گرفتن هر منطقه داده منفرد بر کنار گرهای شبکه بیشتر خواهد شد. هنچنین یک محدودیت عملی که بطور عام با آن مواجه هستیم، شمار کل نقاط شبکه است که در نرم افزارهای موجود با محدودیت رو برو است. چنین می‌نماید که شبکه‌های با چگالی تخییز از 2^2 تا 10^1 برابر چگالی نمونه‌ها منطقی باشد. این را همواره باید به یاد سپرده که اعتبار سطح برازش شده نهائی همیشه تحت تأثیر شرایط و سرشت داده‌های اولیه خواهد بود.

د - شمار داده‌های شرکت کننده در تخمین نقاط بدون اطلاعات: اگر پک‌گره شبکه منطبق بر یک نقطه، بارای ناگفته باشد، آنگاه مقدار آن باید از نقاط همچو را آن تخمین زده شود. بطور مشخص ممکن است این تخمین از روی 3×16 داده همچو نقطه مجہول صورت پذیرد. تصمیم بر باره ترکیبیهای گوناگون ابعاد شبکه و شمار داده‌های همچو را تعیین شاع جستجو را جهت آن) کاری سه نشوار است، بر هر منطقه بستگی به سرشت داده‌های میان منطقه دارد. بعبارت بیگر اگر پک شبکه باز انتخاب شود و شاع جستجوی کوچکی بر این باره بکار برید شود، شماری از داده‌ها ممکن است هیچ‌گاه بر تخمین، مورد استفاده قرار نگیرند.

از اینرو بایستی حالات گوناگون تخمین را مورد بررسی قرار داد و لز میان آنها بهترین انتخاب را که بیشترین تطابق را با مشاهدات صحرائی داشته باشد، انجام ناد.

آنچه که در بالا به آن اشاره شد خلاصه‌ای از الگوریتم تکنیک رسم نقشه‌ها بر پروژه سکو - ستونی است. نرم افزار بکار رفته برای رسم نقشه‌ها Surfer 7.0 است که تحت سیستم عامل ویندوز کار می‌کند. فایل داده‌های اولیه با فرمت XLS (ساخته شده بر نرم افزار Excel) به نرم افزار Surfer منتقل و برای هر متغیر مورد نظر، فایل تخمین مربوطه با پسوند GRD، ساخته می‌شود. در این فایل مختصات چهارگوش منطقه مورد مطالعه (برگ) $(1:100,000)$ ، تکنیک تخمین بکار رفته (که بر اینجا روش عکس فاصله با مرتبه 2^{nd} بوده است)، ابعاد سلول‌پایی مورد تخمین (200×200 متر) و شاع جستجو برای یافتن نقاط بیگر و تخمین برپایه همه داده‌های موجود بر همسایگی تعریف شده، انتخاب و برپایه همه این داده‌ها، برای تک

و معرفی حدود غلظتی رنگها، نقشه نهائی بصورت پلاس فایل برای چاپ آمده می‌شوند. در این پروژه ۱۲ نقشه تک متغیره شامل عناصر Cu، W، Hg، Ba، Sn، Cr، Sb، As، Bi، Ag، Pb، Zn و رسم شده است. همچنین بر قسمت سمت راست پائین هر نقشه تک متغیره، نقشه دامنه‌های خام همان عنصر نیز به منظور مقایسه رسم شده است که می‌توان در یک نگاه متوجه موارد تشابه و تفاوت نقشه‌های حاصل از دامنه‌های نرمال شده و دامنه‌های خام، شده.

بر بخش راهنمای نقشه‌ها موارد زیر به چشم می‌خورد:

۱- حدود رنگها (Color scale) و دامنه مقابله.

۲- دامنه‌ای بکاررفته بر نقشه‌ها اعم از رام، آبادی، محل نقاط نمونه‌های ژئوشیمی و کانی سنگین، آبراهه، اندیسیهای معنی، معانن فعال و متروکه.

۳- نام عنصر

۴- محدوده پروژه ماکرو - اشنویه و موقعیت نقشه ۰۰،۰۰۰،۰۰۰:۱ مربوطه بر روی نقشه ایران.

۵- شماره نقشه

۶- تاریخ تهیه نقشه

۷- مقیاس عددی و خطی

۸- سیستم مورد استفاده در تبدیل مختصات (UTM, Hayford 1909)

تک عناصر تخمین لنجام میگیرد. فایل حاصل از این بخش با پسوند GRD به بخش رسم نقشه نرم افزار منتقل و نوع نقشه انتخاب میشود، بر این پروژه از تکنیک رسم نقشهای بصورت طیفی (Spectral) بهره مجوئی شده است. رنگها مرز مشخصی تدارد و بصورت طیفی، از یک رنگ به رنگ بیگر تغییر میپابند که پکی از روش‌های نوین بر ارائه نقشهایها به شمار میآید.

بر این تکنیک حدود رنگها بوسیله مقادیر نرمال شده عناصر مورد نظر $\bar{X} - 2.5S$ تا $\bar{X} + 2.5S$

- و بر هفت رنگ به شرح زیر تعریف شده اند:

دامنه مقادیر	رنگ
$>\bar{X} + 2.5S$	قرمز
$\bar{X} - 1.5S - \bar{X} + 2.5S$	نارنجی
$\bar{X} - 0.5S - \bar{X} + 1.5S$	زرد
$\bar{X} - 0.5S - \bar{X} + 0.5S$	آبریز رمادی
$\bar{X} - 1.5S - \bar{X} - 0.5S$	آبریز روشن
$\bar{X} - 2.5S - \bar{X} - 1.5S$	آبر سیاه
$<\bar{X} - 2.5S$	آبر نیمه

این نقشهایها سپس از محیط نرم افزار Surfer به نرم افزار AutoCAD منتقل میشود و تصحیحات نهائی بر محیط این نرم افزار بر روی آن اعمال میگرد. بر این نرم افزار فایل آبراهه‌ها بپراه نمونه‌ها بر روی نقشه تخمین، منعکس میشود و پس از تنظیم راهنمایی آن

۲-۳- شرح نقشه‌های ناهنجاری (آنومالی) ژئوشیمیایی:

مقدمه

اکتشافات ژئوشیمیایی در مقیاس ۱:۱۰۰۰۰۰ تحت عنوان اکتشافات ناحیه‌ای، سرانجام به هدف دارترین بخش یک گزارش اکشافی منجر می‌شود که به نام نقشه ناهنجاریها، مهمترین و کارآمدترین بخش یک پروژه ژئوشیمیایی است و نقش ویژه و ارزشی را در تعیین مناطق امیدبخش ایفاء می‌نماید. در تعیین مناطق امیدبخش، پارامترهای همچون طراحی مناسب و منطقی، نمونه برداری دقیق، آماده سازی و روش آنالیز مفید و کارساز با حد خطای معجاز و سرانجام داده پردازی‌های مناسب انجام شده بر روی تابع آنالیز‌ها و نقش اساسی و پایه‌ای را به عهده دارند.

در راستای صحت و درستی نواحی ناهنجار معرفی شده برای هر عنصر، مرحله بررسی و کنترل آنومالیها نقش انکار ناپذیری را ایفاء می‌کند، در این مرحله از عملیات صحرایی، مشاهدات اکشافگران در هموسوی با پدیده هلی زمین شناسی، زمین ساختی، کانه زلی، دگرسانی و ... در تعبیر و تفسیر نواحی ناهنجار، روشنگر بسیاری از رفتارهای غیر عادی ژئوشیمیایی خواهد بود. برداشت نمونه‌های کانی سنگین از آبرفت‌های موجود در محدوده آنومالیها، آماده سازی و مطالعه آنها می‌تواند نقش بسیار راهگشا در تحلیل نواحی معرفی شده داشته باشد. برداشت نمونه‌های لیتوژئوشیمیایی از نواحی دگرسان شده و کانی ساز، سرانجام به تأثیر و درستی آن خواهد انجامید، بطورکلی در تعریف یک ناحیه نامتعارف ژئوشیمیایی به پارامترهایی همچون مقدار نمونه‌های غیر عادی با انتشار ناهمگین از هر عنصر، روند گشتش رخساره‌های سنگی پوشش دهنده محیط ناهنجار و سرانجام برابری مقدار انتشار عنصر مورد نظر با مقدار انتشار در حد زمینه آن عنصر در محیط‌های گوناگون اولیه و ثانویه مد نظر است.

در محدوده ورقه ۱:۱۰۰۰۰ در زیر پس از داده پردازی‌های انجام شده، شمار ۱۲ برگ نقشه ژئوشیمیایی تک متغیره بدست آمده است. عناصر مورد پردازش و قابل قبول در عملیات دفتری یاد شده به ترتیب عبارتند از:

۱- نقره Ag ۲- آرسنیک AS ۳- باریم Ba ۴- بیسموت Bi

۵- کروم Cr ۶- مس Cu ۷- جیوه Hg ۸- سرب Pb ۹- آنتیمون Sb ۱۰- قلع W ۱۱- تنگsten ۱۲- روی Cu

در نقشه ناهنجارها سعی شد تا شرح به نسبت کاملی از مقدار و عیار هر عنصر، روند، ابعاد تقریبی و مساحت آنها، نشانی دقیق آنومالیها، شماره و جای نمونه‌ها، انطباق آنومالی‌های ژئوشیمیایی بر آنومالی‌های مغناطیسی همایی، زونهای شکننده با گسله، واحدهای سنگ شناختی و ساختار زمین شناختی منطقه ارائه شود. شرح ناهنجاری‌های ژئوشیمیایی عناصر یاد شده به ترتیب در زیر آورده شده است:

نقره (Ag):

عنصر نقره در این برگه از مقدار حداقل ۰.۰۷۵ گرم در تن تا حداکثر مقدار ۲.۰۷۱ گرم در تن در نوسان سات ناهنجاریهای این عنصر تماماً در برگه‌های ۱:۵۰۰۰ کردکندی و ناور قرار دارد و فقط پنج منطقه ناهنجاری درجه ۳ با مساحت خیلی کم در برگه بلسور سفلی قرار دارد.

آنومالی شماره ۱: در شمال غرب برگه ناور بصورت یک بیضی نیمه کامل مشرف به مرز ترکیه به عنوان ناهنجاری درجه ۲ معرفی می‌شود کشیدگی این آنومالی شرقی غربی است. این آنومالی محدود به روستاهای شیخ سلوی سفلی از شمال و ناور از جنوب است و احدهای سنگی این محدوده سنگ آهک، تراکیت و تراکی آندزیت، ماسه سنگ، سنگ آهک و شیل آلتره شده؛ چرت‌های قهوه‌ای رنگ و گابرو می‌باشد مساحت این محدوده تقریباً ۲/۳ کیلومترمربع است.

آنومالی شماره ۲: این آنومالی در شمال غرب برگه کردکندی به شکل بوزنقه که قاعده آن شمالی جنوبی و دارای چهار محدوده جدا از هم می‌باشد. ناهنجاریهای این منطقه به عنوان ناهنجاریهای درجه ۲ و ۳ معرفی می‌شوند. این آنومالی در شمال غرب مشرف به روستای تقنت و سط و از جنوب غرب مشرف به روستاهای ملحملوپائین و بالا و از شرق نیز مشرف به مرز شرقی برگه می‌باشد سنگهای این منطقه شامل گردانوپیوریت و دیوریت، شیستهای سبز همراه با سنگ آهک بلورین، سنگهای اولترامافیک و گابرو عموماً سرپانتینیزه شده (بونیت)، شیل و جریان گدازهای بازالتی می‌باشد.

مساحت این آنومالی حدود 150^2 کیلومتر مربع می‌باشد.

آنومالی شماره ۳: این آنومالی بصورت یک بیضی با محور شمال غربی - جنوب شرقی در جنوب برگه کردکندي قرار داشته و به عنوان ناهنجاری درجه ۳ معرفی میشود. در ۲ یا ۲ کیلومتری جنوب شرقی این آنومالی روستای جنگه سر در شمال برگه بلسون سقلی قرار دارد این آنومالی با مساحت $2/5 \text{ Km}^2$ و از شمال شرق مشرف به کوه حاجی بیگ است سنگهای این محدوده و بیشتر شامل آندزیت و تراکی آندزیت، جریان گدازهای آندزیتی و گدازهای برشی، گابرو و بیوریت می‌باشد.

آرسنیک (As):

مقدار این عنصر در این برگه از حداقل (ppm) 1.261 تا حداکثر (ppm) 15.732 در نوسان است. به طور کلی سه آنومالی در این برگه معرفی می‌شود که در هر کدام از برگه‌های بلورسفلی، ناور و کربکندی یک آنومالی وجود دارد. در ضمن دو آنومالی کم اهمیت با مساحت کم نیز در بلسور سفلی و مرز کربکندی و ناور وجود دارد. یکی در روستای مصطفی آباد و برگه بلسور سفلی و دیگری در روستای یکماله بالا در برگه ناور است.

آنومالی شماره ۱: این آنومالی در محدوده‌ای با مساحت ۱۱۲/۱ کیلومتر مربع در منتهی‌الیه شمال برگه کربکندی شروع و تا مرکز کشیده شده است شامل ناهنجاریهای درجه ۱ و ۲ و ۳ است. از شمال و شرق به مرز شمالی و شرقی برگه محدود است. ناهنجاری درجه ۱ در روستای کربکندی واقع است. در شمال شرق به روستای تقنت وسط و در جنوب غربی به روستای خان‌کندي مشرف است.

سنگهای این منطقه گرانودیوریت و دیوریت، شیست و سنگ آهک بلورین؛ سنگهای الترامافیک و گابرو؛ دونیت، آندزیت پیروکسنسی، گدازهای بازالتی حفره دار؛ شیل، ماسه سنگ و کنگلومرا است. این محدوده شامل ۶ منطقه تقریباً مجزا از ناهنجاریها است. ۳ گسل با روند شمال غربی جنوب شرقی در این محدوده وجود دارد.

آنومالی شماره ۲: تقریباً در مرکز برگه بلسور سفلی با کشیدگی شرقی غربی با مساحت ۲۵/۲۲ کیلومتر مربع شامل ناهنجاریهای درجه ۲ است. از شرق به روستای مفردان از جنوب

به روستای بالابان (با فاصله ۱/۵ کیلومتر) و از شمال به روستای الند (با فاصله ۲ کیلومتر) محدود است. سنگهای این منطقه شامل سرپانتینیت گدازهای بازالتی، با سنگ آهک صورتی، شیل و ماسه سنگ و کنگلومرا می‌باشد. در محدوده این آنومالی ۳ یا ۴ گسل وجود دارد.

آنومالی شماره ۳: در شمال شرقی برگه ناور به شکل یک دایره یا بیضی با مساحت ۱۹/۰۱ کیلومتر مربع قرار دارد. این آنومالی در شمال روستای ناور و جنوب روستای شیخ سلوی سفلی است. در این منطقه فقط یک گسل با روند شمال شرقی جنوب غربی وجود دارد. واحدهای سنگی این منطقه گدازهای بازالتی حفره دار و سنگ آهک پلاژیک صورتی، گابرو، چرت، شیل و ماسه سنگ و کنگلومرا می‌باشد.

باریم (Ba):

مقدار این عنصر از حداقل ۹۴.۱۹ ppm تا حداکثر ۲۲۶۷.۹۸ ppm تغییر می‌کند. بر این برگه چهار منطقه آنومالی اصلی و چند منطقه فرعی معرفی خواهند شد که عمدتاً بر برگه کردکندي قرار دارند. و شامل ناهنجاریهای درجه ۱ و ۲ و ۳ هستند.

آنومالی شماره ۱: این آنومالی به شکل دو مستطیل چسبیده بهم در غرب و جنوب غربی برگه کردکندي تا مرکز آن امتداد دارد. مساحت آن بالغ بر $۱۰\frac{۴}{۳}$ کیلومتر مربع می‌شود. از جنوب غرب به روستای طوره و از غرب به مرز ترکیه، از شرق به خان کندي، از شمال شرق به روستای بغلچی پائین از شمال غرب به روستای منه لیغ، از غرب به روستای یکماله برگه ناور مشرف می‌شود.

سنگهای این منطقه سنگهای الترامافیک سرپائینیزه شده، آندزیت، تراکی آندزیت، توف برشی، چرت، گدازه‌های بازالتی سنگ آهک صورتی (پلاژیک)، تراکی آندزیت و تراکیت (گاهی پروفیری)؛ سنگ آهک و شیل، ماسه سنگ و کنگلومرا یک‌گسل بزرگ با روند تقریباً شمالی-جنوبی از بین دو روستای بغلچی بالا و پائین می‌گذرد.

آنومالی شماره ۲: به شکل یک مثلث با روند کشیدگی شمال-جنوب دارای ناهنجاریهای درجه ۱ و ۲ و ۳ دارای مساحتی حدود $۸۰\frac{۸}{۰}$ کیلومتر مربع می‌باشد. از شرق مشرف به کوه حاجی بیگ، از شمال شرق مشرف به روستای کاپوت و کلیسا، از شمال غرب مشرف به روستای نادر آباد از جنوب غرب مشرف به روستای یاریاگلو و از جنوب مشرف به مصطفی

آباد می‌باشد که مصطفی آباد و پاریاگلو از روستاهای برگه بلسور سفلی می‌باشند. سنگهای این محدوده شامل میکروشیست و میکرومونزونیت، گدازهای بازالتی حفره دار، گابرو و نیوریت، جریان گدازه آندزیتی گدازهای برشی شده و توف برشی، تراکیت، تراکی آندزیت پرفیری می‌باشد. هیچ گسلی در این منطقه نیده نمی‌شود.

آنومالی شماره ۳: یک محدوده تقریباً دایره‌ای شکل با مساحت حدود ۱۸/۹۵ کیلومتر مربع شامل ناهنجاری درجه ۲ است که در شرق متمایل به مرکز برگه کردکندي واقع است. از شمال بر روستای ملحملو پائین، از جنوب به روستاهای گاپوت و کلیسا محدود است. سنگهای این محدوده عبارتنداز: سنگ آهک نومولیت دار خاکستری و شیل؛ گدازهای بازالتی همراه با چرت یک گسل بزرگ با روند شمال غربی - جنوب شرقی در شرق محدوده و چند گسل کوچک در محدوده وجود دارد.

آنومالی شماره ۴: یک محدوده با ناهنجاری درجه ۳ با مساحت ۱۰۴/۳ کیلومتر مربع در شمال شرقی برگه ناور به عنوان آنومالی شماره ۴ معرفی می‌شود. از غرب مشرف به مرز ترکیه، از جنوب تا روستای ناور و از شرق مشرف به مرز شرقی برگه است. سنگهای موجود در این منطقه سنگهای گدازه آندزیتی، گدازهای برشی شده بهمراه توف برشی شده؛ تراکیت، تراکی آندزیت پرفیری میکروگابرو، گدازهای بازالتی خاکستری حفره دار، سنگ آهک پلاژیک صورتی و شیل می‌باشد. یک گسل با روند شمال شرقی - جنوب غربی از بالای روستای ناور گذشته است.

بیسموت : (Bi)

این عنصر از مقدار حداقل (ppm) 0.025 تا مقدار حداکثر (ppm) 0.129 در نوسان است. در این برگه ۴ محدوده آنومالی موجود است که شماره‌های ۱، ۲ و ۳ در برگه بلور سفلی و شماره ۴ در برگه کربکندي قرار دارند. اين آنوماليها شامل ناهنجاريهاي درجه ۱ و ۲ و ۳ مي باشند.

آنومالی شماره ۱: اين آنومالی داراي وسعت ۱۸۴/۱۵ کيلومتر مربع بوده و تمام قسمتهاي مرکزي تا جنوب برگه بلسور سفلی را مي پوشاند. شامل ناهنجاريهاي درجه ۱ و ۲ و ۳ مي باشد. از شمال به روستاي اللند و برزوک، از غرب به مرز تركيه از شرق به مرز شرقی برگه از جنوب به روستاي بلجوك و جنوب كوه كانى زيارت مشرف است. سنگهاي موجود در اين منطقه، شيست سبز و سنگ آهک بلوري، بازالتهاي حفره دار و شيل، سنگهاي الترامافيك سريپانتينزه، سنگ آهک نوموليت دار، گابرو - ديوريت، ماسه سنگ و كنگلومرا و سريپانتينيت مي باشد. گسل راندگي بالaban از وسط محدوده از شمال كوه كانى زيارت با روند شرقی - غربي مي گذرد.

آنومالی شماره ۲: اين محدوده به شكل يك بيضي كشیده با روند شمال غربي - جنوب شرقی با مساحت ۲۶/۳۲ کيلومتر مربع در شمال شرقی برگه بلسور سفلی قرار دارد. شامل ناهنجاريهاي درجه ۲ بوده، از روستاهای قزل آغل در شرق تا روستاي بربرش علیا در غرب و از كوه قارن در جنوب تا ۲ کيلومتری روستاي جنگه سر در شمال امتداد دارد. داراي سنگهاي

بازالتی حفره دار، سنگ آهک پلاژیک، صورتی و شیل، میکروشیست و میکرو کواتزمونزونیت است و هیچ گسلی در منطقه وجود ندارد.

آنومالی شماره ۳: محدوده‌ای مستطیل شکل با مساحت ۴۰/۲۲ کیلومترمربع در جنوب برگه بل سور سفلی شامل ناهنجاریهای درجه ۲ و ۳ است. در شرق روستای بلجوك و غرب کوه شیخ همزه قرار دارد. از جنوب به مرز جنوبی برگه و از شمال به بو کیلومتر بالاتر از کوه حلب محدود است. سنگهای این محدوده بیشتر به شرح زیر است:

شیست سبز و سنگ آهک بلوری، گابرو-دیوریت، آمفیبولیت سبز تیره و میکاشیت، سنگهای الترامافیک سرپانتینیزه شده (دونیت) سنگ آهک نگرگون شده. ۵ گسل با روند مختلف در منطقه وجود دارد.

آنومالی شماره ۴: یک آنومالی کوچک با مساحت (km^2) ۷.۰۷ در جنوب غربی برگه کردکندي مشرف به مرز ترکیه به عنوان آنومالی شماره ۴ معرفی می‌شود. از جنوب مشرف به پاسگاه مرزی و روستای طور از شمال شرقی مشرف به روستای بابانور می‌باشد. این آنومالی معرف ناهنجاریهای درجه ۲ و ۳ است. این محدوده دارای سنگهای آندزیتی، گدازه‌های برخشی شده همراه با توف برخشی شده، سنگهای الترامافیک سرپانتینیزه شده (دونیت) است. این منطقه بدون گسل است.

کروم (Cr):

مقدار کروم از (ppm) 1.45 تا 240.95 (ppm) نوسان می‌کند. در این برگه چهار آنومالی کروم معرفی خواهد شد که شامل ناهنجاریهای درجه ۱ و ۲ هستند سه آنومالی در برگه بلسور سفلی و یک آنومالی در برگه کردکندي قرار دارد.

آنومالی شماره ۱: این آنومالی به شکل یک مثلث در گوشه پائین برگه بلور سفلی با مساحت ۲۰/۸ کیلومتر مربع شامل ناهنجاریهای درجه ۱ و ۲ است که از شرق به مرز شرقی برگه بلسور سفلی محدود است و اینکی این محدوده شامل شیست سبز و سنگ آهک، گدازهای بازالتی، شیل و سنگ آهک خاکستری، ماسه سنگ، کنگلومرا است.

آنومالی شماره ۲: این آنومالی تقریباً به شکل یک مستطیل ناقص با روند شرقی غربی در برگه کردکندي و دارای سه محدوده مجزا با ناهنجاریهای درجه ۱ می‌باشد که از شمال به روستاهای کردکندي و میرزا خان (با فاصله ۲ کیلومتر)، از غرب به روستاهای بغلچی بالا و پائین، از شرق به ضلع شرقی برگه و از جنوب به روستاهای گاپوت و کلیسا مشرف است. دارای واحدهای سنگی زیر است: گدازهای بازالتی سنگ آهک و شیل، آذریت پیروکسن، ماسه سنگ و کنگلومرا، در ضمن مساحت این محدوده ۷۹/۷۷ کیلومترمربع است.

آنومالی شماره ۳: به شکل مثلث و در شرق متمایل به مرکز برگه بلسور سفلی قرار دارد. این آنومالی شامل دو ناهنجاری درجه ۱ می‌باشد که در شمال و جنوب این محدوده قرار دارد.

مساحت این محدوده ۴۰/۷ کیلومتر مربع است. از شمال غرب به روستای الند، و از شرق و جنوب شرق به روستای تودان مشرف است. واحدهای سنگی الترامافیک سرپاپانتینیزه (دونیت)، شیل و ماسه سنگ و کنگلومرا و سنگ آهک، گابرو و دیوریت، سرپاپانتینیت می‌باشد.

آنومالی شماره ۴: یک محدوده با مساحت ۴/۷۹ کیلومتر مربع با ناهنجاریهای درجه ۳ در مرکز متمایل به غرب برگه بل سور سفلی به عنوان آنومالی شماره ۴ معرفی می‌شود. این آنومالی در جنوب روستای چکمه رز (خانه بهداشت) قرار دارد. آنومالی این منطقه سنگ آهک، شیل، ماسه سنگ و کنگلومرا است.

آنومالی شماره ۵: این آنومالی با وسعت کم حدود ۲ کیلومتر مربع در منتهی الیه شمال شرقی برگه کردکندی قرار دارد. این آنومالی شامل ناهنجاریهای درجه ۳ می‌باشد. از جنوب با فاصله ۲ کیلومتر به روستای انبار وسط و از شرق به مرز برگه و از غرب به روستای قره چه وران بالا (مزروعه) و از جنوب غربی به روستای اینجہ بالا محدود است. در سنگهای گرانو دیوریت و دیوریت، سنگ آهک بلورین خاکستری و کالک شیست و سنگ آهک دگرگون شده و شیست سبز در این محدوده بیشتر هستند. گسلی نیز در این محدوده دیده نمی‌شود.

چند آنومالی کم اهمیت با وسعت بسیار کم در نزدیکی روستاهای کردکندی، قرچه بلاغ، و جنوب تات کندی نیز وجود دارد این آنومالیها روی یک خط با روند شمال غربی - جنوب شرقی در شمال شرق برگه قرار دارد.

مس (Cu) :

مقدار عنصر مس در این برگه از ۰.۱۹۵ گرم در تن تا حداقل ۵۶.۴۸۹ گرم در تن تغییر می‌کند آنومالی‌ها عمدتاً در برگه بلسور سفلی قرار دارند که شامل ناهنجاری‌های درجه ۲ هستند کلاً سه آنومالی معرفی خواهد شد.

آنومالی شماره ۱: این آنومالی به شکل نوزنقه و در شمال (متقابل به مرکز) برگه کریکندي قرار دارد. روند این آنومالی بصورت شمال غربی-جنوب شرقی (قاعده نوزنقه) است. از جنوب به تعلچی پائین، از جنوب شرقی به بو روستای ملحملو پائین و بالا و از شمال به روستای میرزا خان از غرب به روستای طور و از شرق به روستای کریکندي (با فاصله ۲ کیلومتر از روستا) مشرف است.

واحدهای سنگی این محدوده گدازهای بازالتی خاکستری، شیل و ماسه سنگ و سنگ آهک می‌باشد. مساحت این محدوده ۷۲/۴۵۱ کیلومتر مربع است.

آنومالی شماره ۲: به شکل یک بیضی با روند شمال غربی-جنوب شرقی با مساحت ۱۷/۷ کیلومتر مربع است و شامل ناهنجاری‌های درجه ۲ است. از شمال غربی مشرف به روستای الند و از جنوب شرقی با فاصله ۲/۵ کیلومتر مشرف به روستای تودان می‌باشد. واحدهای سنگی این منطقه گابرو و دیوریت - سرپاتینیت - گدازهای بازالتی حفره دار گاهی برشی شده همراه با سنگ آهک می‌باشد.

آنومالی شماره ۳: این محدوده به شکل لوزی در جنوب و جنوب شرق برگه بلور سفلی قرار دارد. مساحت این محدوده که شامل آنومالی‌های درجه ۲ است حدود ۱۲۶ کیلومترمربع است از جنوب به مرز برگه بلسور سفلی و از شرق به مرز شرقی از غرب به روستای بلجوک و از شمال مشرف به کوه کانی زیارت است.

واحدهای سنگی این محدوده شیست و سنگ آهک، گدازهای بازالتی حفره‌دار، سنگ آهک و شیل، آمفیبولیت سبز تیره و میکاشیست، کابرو دیوریت، سنگ آهک خاکستری و سنگ آهک نگرگون شده می‌باشد.

این محدوده شامل بو منطقه جدا از هم یکی در منتهی الیه جنوب شرقی برگه و بیگری در شرق روستای بلجوک است.

جیوه (Hg) :

با بررسی نقشه ناهنجاری‌ها می‌بینیم که آنومالی‌های جیوه عمدتاً بر برگه ۱:۵۰،۰۰۰ کردکندي و گوشه شمال خاور برگه ۱:۵۰،۰۰۰ بلسور سفلی از ورقه ۱:۱۰۰،۰۰۰ دیزج قرار گرفته‌اند. از روی جدول داده‌ها حداکثر مقدار جیوه ۱/۰۲۴ گرم بر تن و حداقل مقدار آن ۰/۱۴۱ گرم بر تن بدست آمده است. ناهنجاری‌های جیوه را کلّاً بر ۳ محدوده زیر مورد مطالعه قرار می‌دهیم.

آنومالی شماره ۱: این آنومالی که مهمترین و بزرگترین آنومالی جیوه می‌باشد منطقه وسیعی از برگه ۱:۵۰،۰۰۰ کردکندي را از جنوب باخترا شمال باخترا بر می‌گیرد که می‌توان آن را بر رو محدوده زیر مورد بررسی قرار داد که محدوده اول از نظر شدت نسبت به محدوده دوم از اولویت برخوردار است. محدوده اول از فاصله هوايی حدود ۴ کيلومتری خاور روستاي بابانور شروع و در راستاي شمال تا روستاي بغلچي بالا و پس در امتداد شمال باخترا روستاي خان ادامه پيدا می‌کند. ناهنجاری در اين جا بيشتر از نوع درجه اول می‌باشد. محدوده دوم نيز با شدت كمتر در داخل چهارگوش متشكل از روستاهای بغلچي بالا، خان، ميرزا خان و جنوب خاور کوه گل داغ واقع شده که از لحاظ درجه بندی در درجه دوم اهميت قرار دارد و در بعضی از مناطق از جمله اطراف روستاي صدر و جنوب کوه مندلیج واقع در چهارگوش مناطقی عقیم از نظر کاني سازی داريم.

در اين محدوده با مساحت کلي ۱۶۱ کيلومترمربع در اكثرا موارد ناهنجاری‌ها با ساختهای زمین‌شناسی تطابق ندارد که بنظر می‌رسد ناشی از خطای آنالیز توسط دستگاه

XRF پرتابل باشد. از نظر سنگشناسی واحدهای زیر را داریم:
سنگ آهک پلاژیک و جریان گدازهای بازالتی با سن کرتاسه، تناوب شیل و ماسه سنگ با
میان لایه‌های کنگلومرای کرتاسه پسین، سنگ آهک نومولیت دار پالئوسن- ائوسن، و
پارگانهای آبرفتی قدیم و جدید متعلق به دوران کواترنر.

آنومالی شماره ۲: محدوده‌ای متشكل از شمال خاور برگه ۱:۵۰،۰۰۰ بلسور سفلی و جنوب
خاور برگه ۱:۵۰،۰۰۰ کردکندی با وسعتی بر حدود ۳۲/۵ کیلومترمربع این ناهنجاری درجه
اول را برابر می‌گیرد. روند ناهنجاری در برگه بلسور شمال باخته - جنوب خاور و در برگه
کردکندی شمال خاور - جنوب باخته است. واحدهای سنگی میکروکوارتز مونزونیت -
میکرومونزونوپیوریت، دایکهای دیاباز سنگهای آهکی پلاژیک و گدازهای بازالتی کرتاسه در
منطقه دیده می‌شود.

آنومالی شماره ۳: این ناهنجاری درجه دوم با روندی تقریباً شمالی - جنوبی در شمال خاور
برگه ۱:۵۰،۰۰۰ کردکندی در اطراف روستای قره چه و ران بالا قرار دارد. واحدهای سنگی
بگرگونه شامل متاولکانیک سبز همراه شیست سبز و سنگ آهک بلورین و کالک شیست در
محدوده‌ای حدود ۹ کیلومترمربع رخمنون دارند.

سرب (Pb) :

عنصر سرب که مقدار آن از حداقل ۲/۲۱ گرم در تن تا حداکثر ۲۴/۹۱ گرم در تن متغیر

است ناهنجاری‌هایی را بصورت بسیار پراکنده در نواحی مختلف ورقه پدید می‌آورد. در زیر به

شرح حدود ۱۰ آنومالی از این عنصر می‌پردازیم:

آنومالی شماره ۱: (محور طور-گرگوش) این ناهنجاری که مهمترین آنومالی سرب در برگه ۱:۱۰۰،۰۰۰ بیزج می‌باشد با مساحتی در حدود ۳۰ کیلومترمربع جنوب باخته برگه ۱:۵۰،۰۰۰ کردکندی و شمال باخته برگه ۱:۵۰،۰۰۰ بل سور سفلی را بر برمی‌گیرد، که بر روی یک زون آلتره کانی‌سازی شده و گسل تراستی واقع شده است. واحدهای سنگی این ناهنجاری درجه اول عمدتاً از سنگهای رسوبی، شیل، ماسه سنگ، آهک و گذازهای بازالتی تشکیل شده است. که در بین آن در قسمت جنوبی برگه کردکندی یک منطقه عقیم از نظر کانی‌سازی داریم.

آنومالی شماره ۲- (محور کردکندی - علی پسند - تقنيت وسط) این ناهنجاری را که با روندی تقریباً شمال باخته - جنوب خاور از روستای کردکندی شروع و در راستای شمال باخته پس از عبور از علی پسند تا روستای تقنيت وسط ادامه دارد می‌توان در دو محدوده جدا کرد که حداقل شدت ناهنجاری آن در بالای روستای کردکندی و مابین روستاهای تقنيت بالا و تقنيت وسط دیده می‌شود این دو محدوده در منطقه‌ای با وسعت کلی ۲۷/۵ کیلومترمربع واقع شده‌اند. واحدهای سنگی دارای رخنمون در این ناهنجاری درجه اول عبارتنداز: جریان گذازهای بازالتی و پیروکسن آندزیتی و رسوبات عهد حاضر. این ناهنجاری انطباق نسبتاً خوبی با گسل عبوری از منطقه دارد.

آنومالی شماره ۳ - این ناهنجاری درجه اول از شمال با ختر رستای جنگه سر برگه

۱:۵۰،۰۰۰ بلسور سفلی شروع و در حدود ۲ کیلومتر در راستای شمال با ختر در برگه

۱:۵۰،۰۰۰ کریکندی امتداد می‌یابد که مساحتی در حدود ۱۹ کیلومترمربع را در بر می‌گیرد و

بر روی واحدهای سنگی گدازهای بازالتی بالشی، گابر- بیوریت، گرانیت، تراکی آندزیت و
جریان گدازهای آندزیتی تراکیتی واقع شده است.

آنومالی شماره ۴ - این ناهنجاری درجه بوم را می‌توان در ۳ محدوده تقریباً جدا از هم مورد

مطالعه قرار دارد. محدوده اول با مساحت تقریبی ۱۷/۵ کیلومترمربع بر شمال خاور کوه

قوردقجه قرار دارد. محدوده بوم نیز که وسعت آن حدود ۶ کیلومترمربع است در خاور

روستای نم و محدوده سوم در شمال با ختر این محدوده در جنوب رستای کریکندی

تشکیل شده که مساحتی در حدود ۵ کیلومترمربع را در بر می‌گیرد. در این آنومالی که

همخوانی نسبتاً خوبی با گسلها و شکستگیهای منطقه از خود نشان می‌نمد و واحدهای سنگی

زیر قابل مشاهده است: جریان گدازهای بازالتی و سنگ آهک نومولیت دار ائوسن پیشین و

پادگانهای آبرفتی قدیم و جدید.

آنومالی شماره ۵: منطقه‌ای با وسعت ۶ کیلومترمربع بر جنوب خاور رستای بغلچی پائین

(مرکز برگه ۱:۵۰،۰۰۰ کریکندی) آنومالی شماره ۵ را تشکیل می‌دهد که ناشی از سنگهای

آهکی نومولیت دار همراه با شیل پالئوسن - ائوسن و رسوبات کواترنر می‌باشد.

آنومالی شماره ۶: خاور برگه ۱:۵۰،۰۰۰ ناور (جنوب روستای یکماله بالا) و قسمت کوچکی

از باخته برگه ۱:۵۰،۰۰۰ کریکندي (شمال روستای مخور) با وسعتی در حدود ۱۱ کیلومترمربع تشکیل دهنده این آنومالی درجه دوم در راستای شمال جنوب می باشد، که با گسل موجود در منطقه همخوانی نسبتاً خوبی داشته و بر روی سنگهایی از تناب شیل و ماسه سنگ همراه کنگلومرا و آبرفت‌های رویخانه‌ای جدید قرار دارد.

آنومالی شماره ۷: (محور ناور - شیخ سلوی بالا): این آنومالی درجه دوم با روندی تقریباً

شمالي - جنوبی از روستای ناور در جنوب تار روستای شیخ سلوی بالا (شمال خاور برگه ۱:۵۰،۰۰۰ ناور) را در بر می گيرد. اين محدوده ۳۵ کیلومتر مربعی از واحدهای سنگی زیر تشکیل شده است: تراکیت، تراکی آندزیت با بافت پورفیری متعلق به ائوسن، گدازهای بازالتی و چرت‌های رادیولاریت بوران کرتاسه، تناب شیل و ماسه سنگ همراه کنگلومراي کرتاسه پائين و جريان گدازهای آندزیتی - تراکی آندزیتی همراه توف برشی با سن نئوژن و رسوبات کواترنر.

آنومالی شماره ۸: جنوب خاور برگه ۱:۵۰،۰۰۰ بل سور سفلی، باخته کوه سنگ سفید با

مساحتی در حدود ۱۲/۵ کیلومترمربع اين ناهنجاري درجه دوم را با روند شمال - جنوب بوجود می آورد که در ارتباط با واحدهای سنگی دگرگونه، جريان گدازه های بازالتی و سنگ آهک نومولیت دار همراه با شیل و کنگلومرا همراه با شیل می باشد.

آنومالی شماره ۹: گوشه شمال خاور برگه ۱:۵۰،۰۰۰ کردکندي که از گرانو دیوریت - دیوریت و سنگهای رگرگونی متأولکانیک و سنگ آهک بلورین کالک شیست تشکیل شده و وسعتی در حدود ۷ کیلومترمربع را در بر می‌گیرد، آنومالی شماره ۹ را تشکیل می‌دهد که بر راستای شمال - جنوب قرار دارد و از نوع درجه بوم بحساب می‌آید.

آنومالی شماره ۱۰ - آخرین ناهنجاری در هرقه ۱:۱۰۰،۰۰۰ بیزج در منطقه‌ای در حوالی روستای تودان تا روستای بیزج الند در برگه ۱:۵۰۰۰۰ بلسور سفلی قرار گرفته است که بر راستای شمال باخته - جنوب خاور گسترش داشته و از نوع درجه بوم محسوب می‌شود. از نظر سنگشناسی واحدهای سنگی دارای رخنمون عبارتنداز: سنگهای اولترامافیکی، گدازهای بازالتی، گابر - دیوریت با سن کرتاسه، سنگهای رسوبی پالئوسن - ائوسن و رسوبات کواترنر - وسعت این ناهنجاری تقریباً ۲۱/۵ کیلومترمربع است.

آنتیموان (Sb):

با نگاهی به تفسیر ناهنجاری‌ها و نتایج حاصل از داده‌های می‌باید که آنومالی‌های این عنصر از نوع درجه دوم و سوم می‌باشند که عمدتاً در برگه $1:50,000$ کردکنده و به صورت پراکنده در برگه $1:50,000$ بلسور سفلی و در یک منطقه کم وسعت در برگه $1:50,000$ ناور $1:50,000$ قرار گرفته است. در اینجا مقدار عنصر آنتیموان از حداقل $41/0$ تا حداً کثر $1/49$ گرم در تن در حال نوسان می‌باشد. شرح ناهنجاری‌ها در زیر می‌آید.

آنومالی شماره ۱: این ناهنجاری درجه دوم با روندی تقریباً شمال باخته-جنوب خاور، در جنوب خاور برگه $1:50,000$ بلسور سفلی مابین کوههای کانی زیارت در شمال و کوه حلب در جنوب واقع شده است. در این محدوده که عمدتاً واحدهای سنگی دگرگونه متداول کانیک همراه شیست سبز و سنگ آهک بلورین رخمنون دارند زون‌های برشی و رگه‌های سیلیسی مس دار درون اسلیتها به چشم می‌خورد. وسعت تقریبی این ناهنجاری در حدود 22 کیلومترمربع است.

آنومالی شماره ۲: محدوده‌ای وسیع مابین روستاهای میرزاخان در شمال، صدر در باخته و ملحملو در خاور (شمال باخته برگه $1:50,000$ کردکنده) آنومالی شماره ۲ را تشکیل می‌دهد که از نوع درجه دوم محسوب شده و می‌توان برای آن روندی تقریباً شمال-جنوب در نظر گرفت. مساحت کلی این ناهنجاری در حدود 91 کیلومترمربع است، اما یک منطقه تقریباً 10 کیلومترمربعی مابین روستاهای صدر و ملحملو در جنوب باخته کوه گل داغ که از نظر کانی‌سازی عقیم می‌باشد داریم. این ناهنجاری در منطقه‌ای که عمدتاً از گدازه‌های بازالتی

کرتاسه و تناوب شیل و ماسه سنگ همراه میان لایه های کنگلومرا متعلق به بوران کرتاسه پسین تشکیل شده، بوجود آمده است. از نظر زمین ساختی پدیده خاصی به چشم نمی خورد.

آنومالی شماره ۳: محدوده ای در مجاورت شمالی آنومالی شماره ۲ که وسعت آن تقریباً ۱۸ کیلومترمربع است، ناهنجاری شماره ۳ را تشکیل می بند. این ناهنجاری نشات گرفته از واحدهای سنگی شامل تناوبی از شیل و ماسه سنگ متعلق به کرتاسه پسین و رسوبات عهد حاضر می باشد.

آنومالی شماره ۴ : ناهنجاری شماره ۴ که از نوع درجه دوم می باشد در شمال خاور برگه ۱:۵۰،۰۰۰ کردکندي قرار گرفته است. واحدهای سنگی بگرگون شده از جمله متاولکانیک و سنگ آهک بلورین و کالک شیست این محدوده تقریباً ۱۱ کیلومترمربع را می پوشاند.

آنومالی شماره ۵ : این ناهنجاری درجه دوم با مساحتی در حدود ۲/۷ کیلومترمربع در شمال خاور روستای کلت سفید (جنوب خاور برگه ۱:۵۰،۰۰۰ بلسور سفلی) واقع شده است. از نظر سنگ شناسی گدازه های بازالتی در این محدوده مشاهده می شود.

آنومالی شماره ۶ : منطقه ای واقع شده در بین روستاهای قزل آغل و مصطفی آباد در خاور، روستای بارباقلو در باخته و روستای جنگه سر در شمال (شمال خاور برگه ۱:۵۰۰۰ بلسور سفلی) این ناهنجاری درجه دوم را می سازد که مساحت آن در حدود ۴۲ کیلومترمربع است و

واحدهای سنگی زیر در آن وجود دارد: میکروکرارتزمونزونیت - میکرومونزونیوریت با سن پلیوسن، گدازهای بازالتی و دایکهای دیاباز دوران کرتاسه و تنابی از شیل و ماسه سنگ همراه با میان لایه‌های کنگلومرا متعلق به کرتاسه پسین.

آنومالی شماره ۷: جنوب روستای تودان (جنوب خاور برگه ۱:۵۰،۰۰۰ پلسور سفلی)، محدوده‌ای با وسعت تقریبی ۱۲/۵ کیلومترمربع و در راستای تقریبی شمال-جنوب ناهنجاری درجه سوم شماره ۷ را می‌سازد که بر روی واحدهای سنگی شامل سنگهای اولترامافیکی شیل و ماسه سنگ و رسوبات عهد حاضر قرار دارد.

قلع (Sn) :

این عنصر که مقابیر حداقل و حداکثر آن بین ۱۲/۵۳ تا ۵/۰۶ گرم در تن در نوسان می‌باشد ناهنجاری‌هایی را بصورت پراکنده در برگه ۰۰،۰۰۰،۱:۱ بیزج بوجود می‌آورد. در کل ۵ ناهنجاری در منطقه داریم که در زیر به شرح آنها می‌پردازیم.

آنومالی شماره ۱: این ناهنجاری را می‌توان در ۳ محدوده تقریباً جدا از هم مورد بررسی قرار داد. مساحت کلی این محدوده که در منطقه‌ای از باختر تا جنوب باختر برگه ۰۰،۰۵:۱ کریکندی واقع شده در حدود ۱۱۴ کیلومترمربع است. محدوده اول با روندی تقریباً شمالی-جنوبی از روستای بغلچی پائین در شمال شروع و پس از عبور از روستاهای بغلچی بالا و نادرآباد تا جنوب روستای بابانور ادامه پیدا می‌کند، سپس با یک انقطع که از نظر کانی‌سازی عقیم می‌باشد در شرق این محور و در جنوب باختر دره امیری محدوده نوم را داریم و در شمال باختر محدوده اول در جنوب باختر روستای خان (باختر برگه ۰۰،۰۵:۱ کریکندی) محدوده سوم را در بر می‌گیرد. این محدوده‌ها روی واحدهای سنگی زیر واقع شده‌اند: سنگهای آهکی پلاژیک همراه با جریان گدازه‌های بازالتی دوران کرتاسه، جریانهای گدازه آندزیتی، سنگهای آهکی جریانهای گدازه بازالتی با سن ترشیری و رسوبات دوران کواترنر.

آنومالی شماره ۲: (محور مصطفی آباد - جنگه سر) شمال خاور برگه ۰۰،۰۵:۱ بل سور سفلی در برگیرنده این آنومالی است که دارای روندی تقریباً شمالی-جنوبی است. در این محدوده سنگهای نفوذی تراکیت - تراکی آندزیت، گدازه‌های بازالتی کرتاسه و رسوبات

عهنجاپر داریم که این ناهنجاری درجه ۱ را بوجود آورده است. مساحت این محدوده در حدود ۲۶ کیلومترمربع است.

آنومالی شماره ۳: این ناهنجاری که بر روی زون گسلی و تراستی منطقه و بر روی واحدهای سنگی گدازهای بازالتی، سرپانتینیت، سنگهای اولترامافیکی کرتاسه و سنگهای رسوبی پالئوسن و رسوبات عهد حاضر واقع شده تقریباً در مرکز برگه ۰۰،۵۰،۰۰۰:۱ بل سور سفلی قرار گرفته است. این آنومالی نیز در دو محدوده قرار گرفته است که بین آنها از نظر کانی‌سازی یک گستگی وجود دارد. محدوده اول بین روستاهای بیزج‌الند در شمال تا روستای بالابان در جنوب و محدوده دوم در شمال و شمال خاور کوه مخین و در باختر محدوده اول واقع شده است که وسعت کلی آن در حدود ۵/۷ کیلومترمربع است.

آنومالی شماره ۴: در حوالی روستای برژوک و رویخانه‌الند (خاور برگه ۰۰،۵۰،۰۰۰:۱ بل سور سفلی) محدوده‌ای با وسعت تقریبی ۵/۸ کیلومترمربع که در آن گدازه‌های بازالتی، سرپانتینیت کرتاسه و سنگهای آهکی نومولیت دار متعلق به ائوسن-پالئوسن پیشین رخمنون دارند، در برگیرنده است این ناهنجاری درجه اول می‌باشد که با روندی تقریباً شمال-جنوب قرار گرفته است.

آنومالی شماره ۵: (محور گردکندی-قره‌چهبلاغ تقنيت داردارسي) منطقه‌ای با وسعت تقریبی ۷۷ کیلومتر مربع در شمال خاور برگه ۰۰،۵۰،۰۰۰:۱ کردکندی که از جنوب روستای

کردکنی شروع و در یک امتداد به تقریب شمال-باختر پس از روستای قره‌چه بлаг تا روستای تقنیت داردارسی ادامه داشته، این ناهنجاری درجه دوم را در برمی‌گیرد. از نظر لیتوولوژیکی بطور عمد سنگهای اولترامافیکی و جریانهای گدازه پیروکسن آندزیتی و رسوبات آبرفتی کواترنر در منطقه رخنمون دارند.

تنگستان (W):

کمترین مقدار تنگستان $1/000$ گرم در تن و بیشترین مقدار آن به $154/6$ گرم در تن می‌رسد. ناهنجاری‌های این عنصر بطور عمده در شمال خاور برگه $0,000,50:1$ بلسور سفلی و در مرکز به سمت جنوب تا جنوب باخته برگه $0,000,50:1$ کردکندی از برگه $0,000,100:1$ نیز جقرار گرفته است. با وجود آنومالی‌های پراکنده در مناطق دیگر بدلیل اینکه از اهمیت چندانی برخوردار نمی‌باشد، ناهنجاری‌های تنگستان را تنها بر یک محدوده مورد مطالعه قرار می‌دهیم که شرح آن در زیر می‌آید.

آنومالی شماره ۱: مساحت کلی در حدود 252 کیلومترمربع که در برگیرنده قسمتی از شمال خاور برگه $0,000,50:1$ بلسور سفلی و محدوده‌ای از مرکز تا جنوب برگه $0,000,50:1$ کردکندی است این ناهنجاری را شامل می‌شود. حداقل مقدار ناهنجاری در 2 محدوده زیر واقع می‌شود. بقیه مناطق (شرق محور نادر آباد - بابانور، شمال باخته و جنوب خاور روستای ملحملو) این محدوده یا از نظر کانی‌سازی عقیم و یا از نظر درجه اهمیت در راههای پائین تری واقع هستند.

- محدوده اول با روندی تقریباً شمالی - جنوبی و با محور بغلچی پائین - بغلچی بالا - ببابانور از برگه $0,000,50:1$ کردکندی.

- محدوده دوم در جنوب باخته دره امیری از برگه $0,000,50:1$ کردکندی

- محدوده سوم با روندی تقریباً شمال باخته - جنوب خاور در اطراف روستای جنگه سر از برگه $0,000,50:1$ بلسور سفلی.

واحدهای سنگی دارای رخنمون در این محدوده که پدیده زمین ساختی چندان مهمی در آن

به چشم نمی خورد عبارتنداز:

سنگهای نفوذی تراکیت و تراکی آندزیت، سنگهای آهکی و گدازهای بازالتی، گابرو دیوریت و
دایکهای دیاباز متعلق به دوران ائوسن، جریانهای گدازه آندزیتی و بازالتی همراه توفهای برشی
با سن ترشیری و رسوبات عهد حاضر.

روی (Zn) :

در برگه ۱:۱۰۰،۰۰۰ نیزج مقدار عنصر روی از حداقل ۱/۲۶ گرم در تن تا حداقل ۱۱۵/۲۲ گرم در تن تغییر می‌کند. ناهنجاری‌های این عنصر عمده‌تر جنوب با ختر برگه ۱:۵۰،۰۰۰ کریکندی و جنوب برگه ۱:۵،۰۰۰ بلسور سفلی از ورقه ۱:۱۰۰،۰۰۰ نیزج بدست آمده است. هر چند بطور پراکنده و در وسعت کم آنومالی‌های زیادی از روی نیده می‌شود اما در اینجا آنها را در ۲ محدوده زیر مورد مطالعه قرار می‌دهیم.

آنومالی شماره ۱: این ناهنجاری درجه اول که در جنوب با ختر برگه ۱:۵۰،۰۰۰ کریکندی از ورقه ۱:۱۰۰،۰۰۰ نیزج واقع شده است را می‌توان در دو محدوده جدا از هم مورد بررسی قرار داد. برای هر دو محدوده می‌توان روندی تقریباً شمالی - جنوبی در نظر گرفت برای در محدوده اول می‌توان محور روستاهای صدر - بغلچی بالا - بابانور - حلوره در نظر گرفت محدوده دوم نیز به موازات محدوده اول از جنوب با ختر دره امیری شروع و بسمت جنوب تا حدود انتهای برگه ۱:۵۰،۰۰۰ ۱:۵۰،۰۰۰ امتداد می‌یابد. مساحت کلی این ناهنجاری در حدود ۱۵۶/۵ کیلومترمربع می‌باشد که با احتساب یک منطقه عقیم از نظر کانه‌سازی که در بین این محدوده واقع شده و مساحت تقریبی آن به ۵۴ کیلومترمربع می‌رسد، وسعت تقریبی دو محدوده را می‌توان به ترتیب حدود ۶۹ و ۲۲/۵ کیلومترمربع تخمین زد.

واحدهای سنگی این ناهنجاری عبارتنداز: سنگهای نفوذی تراکی آندزیت و تراکیت با بافت پورفیری با سن پلیوسن، کمپلکس‌های افیولیتی کرتاسه شامل سنگهای آهکی و گدازه‌ای بازالتی خاکستری و سنگهای اولترامافیک که سرپانتینیزه شده‌اند، سنگهای آهکی و

جريان گدازهای بازالتی ائوسن-پلیوسن پیشین، جريانهای گدازه آندزیتی همراه با گدازه و توفهای برشی متعلق به نئوژن و مخروط افکنهای و پارگانهای آبرفتی جدید که دارای سن کواترنر می‌باشند. همچنین در جنوب محدوده اول یک ناحیه دگرسان شده شدید آلونیتی و کائولینیتی به چشم می‌خورد.

آنومالی شماره ۲: این ناهنجاری روی نیز که از نوع درجه اول محسوب می‌شود در شمال خاور برگه ۱:۵۰،۰۰۰ بل سور سفلی و در محور رستاهای جنگه سر-پارپاقلو با روند تقریباً شمال خاور-جنوب با ختر مساحتی در حدود ۱۷/۵ کیلومترمربع را در بر می‌گیرد. سنگهای نفوذی میکرو کوارتزمونزونیتی و میکروبیوریت، گدازهای بازالتی دوران کرتاسه و آبرفتها و واریزهای جدید کواترنر در این محدوده رخنمون دارند.

آنومالی شماره ۳: با توجه به نقشه ناهنجاری می‌بینیم که محدوده‌ای وسیع با مساحتی در حدود ۲۵۴ کیلومترمربع که از مرکز به سمت جنوب برگه ۱:۵۰،۰۰۰ بل سور سفلی را شامل می‌شود، آنومالی شماره ۳ را در بر می‌گیرد که خود از نوع درجه دوم می‌باشد. در این محدوده می‌توان به ۳ منطقه عقیم از نظر کانی‌سازی اشاره نمود که منطقه اول در شمال خاور، منطقه دوم در جنوب خاور و منطقه سوم در جنوب با ختر محدوده ناهنجار واقع شده است.

در منطقه واحدهای سنگی زیر رخنمون دارند. سنگهای دگرگون شده، کمپلکس‌های افیولیتی مثل سنگهای اولترامافیکی، سرپانتینیت، سنگهای آهکی پلاژیک و گدازهای بازالتی

و سنگهای گابرو-بیوریت که متعلق به دوران کرتاسه می‌باشند، سنگهای رسوبی دوران ترشیری و رسوبات عهد حاضر. این ناهنجاری در بیشتر مناطق همخوانی نسبتاً خوبی با زون‌های گسلی دارد و انطباق نسبتاً خوبی با آلتراسیون‌های مشاهده شده در منطقه از خود نشان می‌دهد.

بخش چهارم : تعبیر و تفسیر؛ نتیجه گیری و پیشنهاد

تاریخچه و مقدمه :

بشر از بیرباز در راستای تأمین بخشی از منابع اقتصادی خود دست به شناسایی منابع معنی زده است، یکی از راههای تأمین مواد معنی گران به‌ها همچون طلا، جستجو و کاوش بوسیله تغليظ رسوبات آبرفتی در مسیر آبراهه‌ها و رویخانه‌ها بوده است. اکتشاف و استخراج کانه طلا با این روش با آغاز شکل‌گیری نخستین تمدن‌های بشری آغاز شده است و با به عارضی می‌توان باور داشت که کاوش طلا بوسیله شستن رسوبات رویخانه‌ها به همان اندازه قدرت دارد که بشریت وجود داشته است. اگر چه در رسوبات رویخانه‌ها مقدار انتشار طلا قابل توجه نبوده است ولی با این حال جستجو و کاوش آن توسعه بسیار وسیع داشته و می‌توانسته بر پیشرفت اقتصادی نقش بسزایی را ایفا نمایند و بر موقعیت نیز یافتن فلزات گران‌پار آبرفتبا منجر به نیازمندی به منابع اصلی آنها شده است.

کتوف و پری حوتی کانسٹرکتیوی فلزی به روش فوق در قرون نوزده و بیستم میلادی توسعه و گسترش بسیار زیادی پیدا کرد. در رفته‌های اخیر افزون بر اکتشاف و استخراج کانه طلا پری حوتی پلاتین، الماس، قلع و نیکلر کانه‌های نادر و کمیاب نیز رواج و توسعه یافت.

روش‌های حدیث اکتشاف کانی سنگین این امکان را بوجود آورده که کانی‌های با ارزش در رسوبات گوناگون آبرفتی به گونه‌ای ساده و مطمئن شناسایی کرده و بر جهت مخالف جریان آبراهه‌ها به منبع اصلی آنها دست یافت.

برای نخستین بار پس از حنگ جهانی اول دانشمندان شوروی سابق به ارزش اکتشاف به

روش کانی سنگین پی بریند و بر پی آن سازمانها و ارگانهای متعددی ایجاد شد که فقط با

روشهای اکتشافی کانی سنگین به فعالیت پرداختند و به نتایج بسیار مفیدی نیز نسبت یافتند.

اکتشافات کانی سنگین بر این اوآخر بر آبرفت حوضه‌های آبریز و سواحل بریاها منجر

به کشف نخایر عظیمی از کانی مونازیت بر ماسه‌های سواحل برزیل و هندوستان شد.

مطالعات کانی سنگین بر سواحل اقیانوس کبیر منجر به کشف کانسارهای بزرگی از

طلاء، پلاتین، کرومیت، روتنیل و الماس شد.

با پیشرفت علم اکتشاف و بویژه اکتشافات ژئوشیمیایی بر کشف کانسارهای ناشناخته

و پنهان، روش پی جوشی کانی سنگین نیز عنوان یکی از کارآمدترین روش‌های اکتشافی مطرح

است.

بر پنجه و گستره ایران زمین، بدلیل وجود دشت‌های وسیع آبرفتی و سیلابی، مخروط

افکنهای سواحل گسترده، ماسه‌های بادی، حوضه‌های آبریز وسیع و ...، با استفاده از این

روش می‌توان به منابع معدنی ارزشمندی نر راستای توسعه پایدار دست یافت.

بر این‌پایی اخیر بزرگ‌ترین روش فوق منجر به کشف نخایر ارزشمندی از کانیهای

پلاسربی همچون تیتانیوم که‌نوچ، تیتانوم‌گنتیت سواحل گیلان، مونازیت مرست و

شناسایی چندین نخیره پلاسربی طلدار شده است.

پیرو اهمیت و ارزش این روش به عنوان یکی از راهکارهای مؤثر بر تعیین نواحی امین‌بخش

معدنی، کریستالسان بخش اکتشافات ژئوشیمیایی، بر طرح اکتشافات ژئوشیمیایی محور ماکو

- اشنویه همگام با بررسی ژئوشیمی آبراهه‌ای اقدام به طراحی و نمونه‌برداری از شبکه‌های

آبریز این محور به روش کانی سنگین نمودند. امید می‌رود که اجرای این روش سبب شناخت

نواحی امین‌بخش معدنی جدید شود تا بر جای محرومیت‌زدایی، گام ارزشمندی برداشته شود.

فصل اول : نمونه برداری، آنالیز و محاسبه گرم در تن کانیها:

۱-۱- مقدمه :

بر یک پروژه اکتشافی به روش کانی سنگین طراحی ایستگاههای نمونه برداری و تعیین محل نمونه برداری نقشی انکارناپذیر را بر هدایت اکتشاف کانسارها با این روش ایفا می نماید. توجه به رخنمون رخسارهای سنگی، نمونهای تکتونیکی، بررسی نقشه های ژئو مغناطیس هوا ایی، گسترش پلاسرها، نوع لگر سانیها و دیگر پدیدهای جالب می تواند به نحو بارزی روش اکتشافی فوق را هفتمند نماید.

بر راستای طراحی و نمونه برداری از رسوبات آبرفتی آبراهه ها و به منظور مستیابی به نتایج توصیه می شود، ایستگاههای نمونه برداری بگونه ای طراحی شوند که دارای جریان سریع و با بیشترین انرژی جنبشی همراه باشند. بر این محل ها، جریان سریع آبریزهای دائمی یا موقتی بصورت جریانهای سیلابی مواد تخریبی را حمل می کند و بر مسیر خود بصورت نهشتہ هایی بر جای می گذارد. بترین محل انتخاب برای آغاز نمونه برداری مرز جدایش ارتفاعات ب نقاط پست است. بر این محل ها بعلت کم شدن سرعت آب بیشترین مقدار کانی سنگیز ته نشین می شود. هم چنین ضروری است بر ایستگاههای تعیین شده، نمونه از تجمعهای کنگلومراتیک و غیرهمگن برداشته شود. بر بعضی موارد مشاهده شده که به این موضوع مهم توجه ویژه ای نشده و نمونه برداری از رسوبات جور شده و همگن برداشته شود. با توجه به اینکه کانیهای اقتصادی، لرزشمند و کانسار سازی همچون طلا، پلاتین، کاسیتیریت، ایلمنیت، روتبیل، زیرکن، ولفرامیت و ... بدليل وزن مخصوص بالا با رسوبات درشت دانه تر

از خود ته نشین می‌شوند، لذا شایسته است که نمونه‌ها از نقاط غیرهمگن و برداشت دانه برداشته شوند.

بر اکتشافات کانیهای سنگین انجام گرفته بر محور ماکو - اشنویه سعی است، تا حد امکان موارد اشاره شده بر هنگام نمونه برداری رعایت شود. هدف نهایی از برداشته نمونه‌های کانی سنگین، کنترل نتایج بدست آمده از آنالیز نمونه‌های ژئوشیمی است که این کنترل بوجانبه است.

۱-۲ - نمونه برداری

تجربیات بدست آمده بر مرحله اکتشافات ژئوشیمیابی ناحیه‌ای و بر برداشته نقشه‌های ۱:۱۰۰،۰۰۰، مناسبترین مقدار برداشته شده از رسوبات آبرفتی را بر حد ۲ لیتر نمونه الک شده بدست آورده است. نمونه‌های برای استگاههای نمونه برداری از عمق ۱۰ سانتی متر به پائین، با الک ۲۰ مش (کمتر از ۲ میلیمتر) و در حجم ۲ لیتر برداشته می‌شود. بر مواردی که محل نمونه برداری خیس باشد و امکان الک کردن وجود نداشته است، نمونه‌ها بصورت درهم و بر حجمی حدود ۷ تا ۱۰ لیتر و از رسوبات برداشت دانه برداشت می‌گردند. توجه به پارامترهایی همچون غیرهمگن بین نزدات، محل پیچش آبراهه‌ها (Meander)، آبشارکما (Rapids). محل اتصال آبراهه‌ها (Junction)، مرکز تغذیه آبریزها، و ... ضروری است.

بر مواردی که عرض بسترها عریض می‌باشد، سعی شده است که بر عرض بستر آبراهه و از چندین محل، نمونه برداشته شود. شماره نمونه برداشته شده پس از ثبت بر روی کارت ویژه درون کیسه‌های مخصوص قرار داده می‌شود و محل نمونه برداری با رنگ ثبت و درج

می‌شود.

بکی از موارد رعایت شده بر مرحله اکتشافات ناحیه‌ای به روش کانی سنگین توجه به رنگ رسوب آبراهه‌ها است، برداشته نمونه‌ها از محل تجمع رسوبات سیاهرنگ (Black sand)، قهوه‌ای و قرمز مایل به قهوه‌ای نتایج بهتری را بدست می‌یابد. از جمله مکان‌های جالب توجه برای نمونه‌برداری جاهابی است. که جریان آب به تقریب عمود بر جهت سنگهای مسیر واقع است، در این جاها، بهترین مکان نمونه‌برداری گودال‌هاست، بر مسیر آبراهه‌ها پیش با پس از سنگهای بزرگ نیز بطور معمول عمل تغليظ رسوب بخوبی انجام می‌گردد، در این نقاط شست حریان آب بر بخورد با مواد طبیعی و یا مصنوعی کاسته شده موجب ته نشین شدن کانی‌های سنگین می‌شود، که پس از عمل برداشت و شستشو می‌توان به کانی‌های سنگین قدر توجهی داشت یافت

بر محوه ورقه ۱۰۰۰۰ درجه ماتوجه به گسترش رخنمونه‌ای سنگی، اطلاعات کلی زمین‌شناسی، تکتونیک، سنگشناسی و چربی‌شناسی، شناسایی نمونه از آبرفت‌های گسترش پائمه بر محوه این رخسارهای سنگی به روش کانی سنگی برداشته شد

بر این روش نمونه‌برداری، شبکه آبریزهای موجود بر رخنمونه‌ای سنگی زیر پوشش این روش اکتشافی قرار گرفته است.

ترکم نمونه‌های کانی سنگین، یک نمونه بر ۵ کیلومتر مربع است و این تراکم مربوط به

مساحت توانی برگه است

۱-۳- آماده‌سازی و آنالیز نمونه‌ها:

بر بخش آنالیز نمونه‌های کانی سنگین نخستین مرحله از این بخش را تغلیظ نمونه‌های آبرفتی برداشته شده تشکیل می‌دهد. بر عملیات صحرایی اکتشافات ژئوشیمیابی بر محور ماکرو- اشنویه، این گامه از آماده‌سازی نمونه‌ها، بر صحراء انجام شده است که بر روند این عملیات ۱۲۲۸ نمونه توسط تکنسیزها و کاردان‌های ورزیده بخش اکتشافات ژئوشیمیابی انجام شده است.

نمونه‌های کانی سنگین برداشته شده، نخست گل شویی می‌شود که هدف از این عمل جداسازی رس، سیلت و نزات معلق است. پس از انجام عمل گل شویی نمونه به ظروف ویژه‌ای منتقل شده و برپایه خاصیت اختلاف وزن مخصوص کانیها و غوطه ور نمونه نمونه‌ها بر آب و انجام حرکات بورانی و اصل قانون نیروی گریز از مرکز، ذرات سبک جداسازی می‌شود و این عمل آنقدر ادامه می‌یابد. تا به حجم دلخواه و معینی از نمونه تغلیظ شده است یا بیم.

مرحله بعدی آماده‌سازی، بر پایه آزمایشگاه کانی سنگین صحرایی است، با توجه به شمار بالای نمونه‌های برداشته شده و ناتوانایی آزمایشگاه مرکزی سازمان زمین‌شناسی کشور بر دستیابی سریع به نتایج، تصمیم به برپایی آزمایشگاه صحرایی کانی سنگین شد. در این مرحله، نمونه‌ها با محلول مایع سنگین (برموفرم) مورد جدایش قرار گرفته و سپس جدایش با آهنرباهای دستی با سارهای مغناطیسی معین انجام می‌شود، بر پایان این مرحله نمونه‌ها به ۲ بخش کانیهای دارای خاصیت مغناطیسی شدید (AA)، کانیهای دارای

خاصیت متوسط (۸۷) و کانیهای فاقد خاصیت مغناطیسی (NM) تقسیم بندی می‌شوند، سپس با استفاده از میکروسکوپ بو چشمی (بینوکولر)، مطالعات بخشهای سه گانه نمونه‌های آماده‌سازی شده، انجام می‌شود.

کانیهای مطالعه شده بطور عمده به بوگروه کانیهای سنگ‌ساز و کانسار ساز تقسیم‌بندی می‌شوند. از شاخص‌ترین کانیهای سنگ‌ساز می‌توان کانیهای پیروکلسن، امفیبول، اپیدوت، گارنت و هماتیت و . . . را نام برد، از کانیهای کانسار ساز بجز معنودی از آنها همچون منیتیت، ایلمنیت، کرومیت، آندالوزیت و هماتیت، همگی برگروه کانیهای غیرمغناطیسی‌اند و از مهمترین آنها می‌توان به کانیهای، طلا، نقره، سینابر، استی‌بنیت، زیرکن، روتیل، رثالکار، اورپیمان، باریت، سلسیتین و کانیهای خانواره عناصر مس، سرب و روی اشاره کرد. بر مطالعات کانیهای سنگین اندازه دانه‌های مطالعه شده و نوع گریشندگی نیز می‌تواند به شناخت کانسارها، و موقعیت آنها نسبت به محل نمونه‌برداری کمک شایان توجهی نماید.

روش‌هایی کمکی نیز برای شناسایی کانیها وجود دارد که از شاخص‌ترین آنها می‌توان به لامپ اشعه ماراء بنفش، میکروسکوپ پلاریزان جهت شناسایی خواص نوری کانیها و روش‌های میکروشیمی اشاره کرد.

تا کنون بر حدود بیست کانی کشف شده است که بر اثر تابش لامپ ماراء بنفش با طول موج کوتاه (طول موج 2520 \AA آنگستروم) دارای خاصیت فلوئورسانس هستند، ولی برای کارهای عملی و اکتشاف بر حدود بیست تاسی کانی مختلف مورد استفاده قرار می‌گیرد. یکی از کانیهای شاخص دارای خاصیت فلوئورسانس، کانی شیلیت است، واکنش بلور شیلیت بر

برابر نور لامپ ماوراء بنفش به رنگ آبی آسمانی است. از کانیهای شاخص بیکر که به راحتی می‌توان از خاصیت فلوئورسانس بر راستای شناخت و شناسایی آنها استفاده نمود، می‌توان از کانیهای زیرکن، فلوریت، کلسیت و ... نام برد.

به تقریب بیش از نیمی از کانیهای اورانیوم که تا کنون شناخته شده‌اند دارای خاصیت فلوئورسانس هستند، یکی از کانیهای بیکری که بر هر حال خاصیت فلوئورسانس از خود نشان می‌نماید هیدروزینکیت است. این کانی بر مقابل نور اشعه ماوراء بنفش از خود رنگ سفید مایل به آبی و یا آبی مایل به سفید نشان می‌نماید، اکتشاف روی بوسیله خاصیت فلوئورسانس به دلیل وجود هیدروزینکیت بسیار سریع‌تر و حساس‌تر از کشف آن به روش ژئوشیمی است. بر مواردی و بویژه بر مورد کانیهای سیلیکات، که شناخت آنها بطور مستقیم دشوار است، می‌توان از میکروسکوپ پلاریزان استفاده کرد. خواص نوری گوناگون کانیها همچون زاویه خاموشی، کلیژن، بیرفرنژانس، جداشتنگی، شکل بلور، بر جستگی و ... کمک شایان توجهی به شناخت این نوع کانیها می‌تعابد.

بکارگیری از معرفه‌ای شیمیایی بر شناخت کانیها نقش ویژه و کارسازی را ایفا می‌نماید، بر مواردی که شناسایی برخی از کانیها بطور مستقیم مقدور نیست، می‌توان از روش میکروشیمی که مماناً کاربرد انواع اسینتها و محلول‌های شیمیایی است، استفاده نمود، واکنش‌های بدست آمده راهنمای مناسی بر شناخت کانیهای ناشناخته است.

از ویژگیهای فیزیکی کانیها پارامترهایی همچون رنگ، سیستم تبلور، سختی، خاکه، نوع شکستگی، چکش خواری و جلاء در شناخت کانیها می‌توان استفاده نمود.

۴-۱- محاسبه گرم در تن کانیها:

نتایج بدست آمده از مطالعات کانیهای سنگین بر محور ماکو-اشنوبه بصورت کیفی^۵ بوده است (ضمیمه شماره ۱). در نتیجه برای بدست آوردن مقابله کمی کانیها بر راستای تجزیه و تحلیل پارامترهای آماری همچون توزیع هر کانی، برصد فراوانی، همبستگی کانیها با یکدیگر و ... از فرمول بدست آمده توسط کارشناسان بخش اکتشافات ژئوشیمیایی سازمان زمین‌شناسی و اکتشافات معنی کشور استفاده شده است. (معرفی فرمولی برای تبدیل به ppm کانیها، ا. تین، ف. آزم).

پارامترهای موجود و تأثیر گذار بر کیفی کردن نتایج بدست آمده، شامل حجم یا وزن کل نمونه نمونه برداشته شده، حجم یا وزن پس از شستشو، حجم یا وزن مقدار انتخابی برای جدایش با محلول سنگین، حجم یا وزن نمونه پس از جدایش با محلول سنگین جهت مطالعه برصد کانی مطالعه شده بر هر بخش مغناطیسی و میانگین وزن مخصوص محیط نمونه برداری و کانی هستند.

در عملیات آماده‌سازی نمونه‌های کانی سنگین بر محور ماکو-اشنوبه بتلیل عدم دسترسی به ترازوهای نسبتی و بر قی دقیق آزمایشگاهی جهت توزین پارامترهای موحد بر صحراء و آزمایشگاه صحراء از روش حجم سنجی استفاده شده است.

هدف از کمی کردن نتایج بدست آمده از مطالعات کانیهای سنگین تجزیه و تحلیل‌های آماری موسوم بر مطالعات ژئوشیمیایی است، داده‌های کیفی بر مورد کانی‌های همچون طلا، نقره، پلاتین، سینایر، استین‌بنتیت و ... و بطور کلی کانیهای، کانسارساز اقتصادی می‌تواند مفید واقع شود. ولی بر مورد توزیع کانیهای سنگ‌ساز و کانیهایی که از برصد اقتصادی

فراوانی برخوردار هستند، روش کیفی کارساز نیست و بهتر است که نتایج بصورت کمی ارائه گریند. شرح فرمول معرفی شده برای تبییل مقابله کیفی کانیها به ppm به قرار زیر است:

$$ppm = \frac{X \times Y \times B \times 1000 \times D}{A \times C \times D'}$$

X = برصد کانی محاسبه شده

Y = حجم نمونه پس از جدایش با محلول سنگین

B = حجم پس از تخلیط

A = حجم کل نمونه

C = حجم انتخابی برای جدایش با محلول سنگین

D = وزن مخصوص کانی مطالعه شده

D' = میانگین وزن مخصوص رسوب

۲-۲- شرح ناهنجاریها و نتایج بدست آمده از مطالعات کانی سنگین

ورقه ۱۰۰،۰۰۰: دیزج از نظر موقعیت جغرافیایی در بین مختصات "۴۴°، ۳۰' تا ۴۴°، ۳۰'

طول خاوری و " ۲۸°، ۳۰' تا ۲۹° عرض شمالی قرار دارد. این ورقه با وسعت به تقریب ۱۲۰۰

کیلومترمربع در چهارگوش ۱:۲۵۰،۰۰۰ خوی و هم مرز با کشور ترکیه قرار داشته و بیش از

نیمی از آن در خاک ترکیه واقع می‌باشد.

ورقه دیزج دارای سه برگ ۱:۵۰،۰۰۰ به نامهای کردکندی، بلسور سفلی و ناور است. از

این برگ‌ها تعداد ۹۷ نمونه کانی سنگین برداشت گردیده که از این تعداد ۲۴ نمونه در برگ

کردکندی، ۶۲ نمونه در برگ بلسور سفلی و ۱ نمونه در برگ ناور قرار دارد.

برپایه مطالعه به روش کانی سنگین، ورقه دیزج از مهمترین ورقه‌های کار شده در محور

ماکو-اشنویه بوده و از نظر اکتشافی می‌تواند بسیار حائز اهمیت باشد. از ناهنجاری‌های مهم

در این ورقه می‌توان به ناهنجاری طلا، نقره، سینابر، شلیت کانی‌های گروه سرب و روی،

مس، کرومیت، ایلمنیت و ... اشاره کرد که در این گزارش به شرح مختصری از آنها قبل از

عملیات کنترل ناهنجاری‌ها پرداخته می‌شود.

ناهنجاری‌های طلا

بر ورقه ۱:۱۰۰،۰۰۰ بیزج از ۹۷ نمونه کانی سنگین برداشت شده، ۲۲ نمونه (حدود ۲۳

برصد کل نمونه‌ها) حاوی عنصر طلا می‌باشد. بر پایه مطالعه به روش کانی‌های سنگین، بیشترین مقدار طلای مشاهده شده بر ناحیه مورد مطالعه از نظر تعداد نرخ طلا، ۳ نرخ در نمونه‌های DB24 و DB40 است.

از ۲۱ نمونه حاوی طلا، ۱۵ نمونه بر برگه ۱:۵۰،۰۰۰ بلسور سفلی و ۷ نمونه بر برگه ۱:۵۰،۰۰۰ کربکنندی قرار دارد. بر زیر به توصیف مختصری از ناهنجاری‌های طلا پرداخته می‌شود.

ناهنجاری شماره ۱ طلا

ناهنجاری شماره ۱ طلا از نظر موقعیت در برگه ۱:۵۰،۰۰۰ بلسور سفلی و به تقریب در پیرامون روستای بالابان قرار دارد. از این محدوده، ۱۱ نمونه کانی سنگین برداشت گردید که ۸ نمونه حاوی عنصر طلا بوده و وسعتی به تقریب ۷۵ کیلومترمربع را در برمی‌گیرد. کانی‌های مهم همراه آن در این محدوده شامل شیلیت، کانی‌های گروه سرب و روی، کرومیت و سینابر به همراه کانه نقره است که هر یک از آنها می‌تواند راهنمای اکتشافی خامی را در اختیار بگذارد.

نمونه‌های ناهنجار در این محدوده شامل نمونه‌های با شماره‌های DB24، DB25، DB26، DB27، DB37، DB5، DB11، DB12، هر یک از این نمونه‌ها به دلیل داشتن اهمیت اکتشافی، به طور مختصر مورد بررسی قرار می‌گیرند.

نمونه DB24 : این نمونه حاوی ۲ نرخ طلا به شکل فیلمی نیمه گرد شده با اندازه ۶۲ تا ۸۸

میکرون است کانی های همراه آن شامل گالن (بر حد ۳ نرخ)، سینابر (بر حد ۱ نرخ)، باریت (بر حد ۱ نرخ)، کرومیت (۱۲۲۹/۵۲ گرم در تن)، هماتیت (۱۳/۷۸ گرم در تن)، اپیدوت (۸۸/۴ گرم در تن)، گارنت (بر حد ۱ نرخ)، مگنتیت (۲۲۲/۶ گرم در تن) و پیریت (۱/۵۶ گرم در تن) می گرم در تن)، گارنت (بر حد ۱ نرخ)، مگنتیت (۲۲۲/۶ گرم در تن) و پیریت (۱/۵۶ گرم در تن) می باشد.

نمونه DB25 : این نمونه حاوی ۱ نرخ طلا، اندازه نرخ ۶۲ تا ۸۸ میکرون و از نظر شکل به

صورت فیلمی نیمه گرد شده است. کانی های همراه آن شامل گالن (بر حد ۷ نرخ)، سروزیت (۱ نرخ) سینابر (۲ نرخ)، کرومیت (۶۴۴ گرم در تن)، باریت (۱ نرخ)، هماتیت (۱۲۲/۵ گرم در تن)، اپیدوت (۴۷۶ گرم در تن)، مگنتیت (۲۴۴۴ گرم در تن) و پیریت اکسیده (۱۲۲ گرم در تن) می باشد.

نمونه DB26 : این نمونه حاوی ۲ نرخ طلا، یکی از نرخها از نظر اندازه به تقریب ۱۰۰ الی ۱۲۵

میکرون و به شکل لامپی و نیمه گرد شده است و نرخ دیگر ریز دانه می باشد. کانی های همراه آن شامل نقره (بر حد ۲ نرخ)، شیلیت (۲ نرخ)، گالن (۲ نرخ)، سینابر (۳ نرخ)، کرومیت (۸۵۰/۸ گرم در تن) باریت (۱/۱۹ گرم در تن)، هماتیت (۱۲۹/۹۲ گرم در تن)، لیمونیت (۱۰/۰۲ گرم در تن)، مگنتیت (۱۷۳۸/۸۸ گرم در تن) و آپاتیت (۷/۰۴ گرم در تن) است.

نمونه DB27: این نمونه حاوی ۲ ذره طلا، یکی از ذره‌ها به شکل فیلمی و نیمه گرد شده بوده و از نظر اندازه در حد ۱۰۰ تا ۳۰۰ میکرون است و ذره دیگر به شکل لامپی نیمه گرد شده بوده و از نظر اندازه ۱۲۵ الی ۱۵۰ میکرون است. کانی‌های همراه آن شامل نقره (در حد ۲ ذره)، سینابر (۴ ذره)، کرومیت (۸۴۶/۴ گرم در تن)، لیمونیت (۸۸/۰ گرم در تن)، پیریت اکسیده (۱۷۲۲/۲۴ گرم در تن)، باریت (بر حد ۱ ذره)، آپاتیت (۸۸/۰ گرم در تن) و مگنتیت (۱۱/۵ گرم در تن) است. در بالادست این نمونه چشمۀ سولفوره وجود دارد که می‌تواند از نظر اکتشافی بسیار حائز اهمیت باشد.

نمونه DB37: این نمونه حاوی ۱ ذره طلا، اندازه ذره ۸۸ تا ۱۲۵ میکرون و به شکل فیلمی نیمه گرد شده است. کانی‌های همراه آن شامل سینابر (در حد ۲ ذره)، اپیدوت (۱۲۳/۱۶ گرم در تن)، هماتیت (۱۹۷۹/۸۰ گرم در تن)، پیریت اکسیده (۱۶/۹۸ گرم در تن)، مگنتیت (۲۰۰ ۱/۳۸ گرم در تن) آپاتیت (۱/۰۹ گرم در تن) و باریت (بر حد ۱ ذره) است.

نمونه DB5: این نمونه حاوی ۱ ذره طلا به شکل لامپی نیمه گرد شده با اندازه ۱۲۵ تا ۲۵۰ میکرون است. کانی‌های همراه آن شامل باریت (۱/۲۱ گرم در تن)، هماتیت (۲۲/۱۸ گرم در تن)، پیریت اکسیده (۷/۲۱۸ گرم در تن)، اپیدوت (۱۶۵۲/۴ گرم در تن)، کلریت (بر حد ۱ ذره)، مگنتیت (۳۰۲/۲ گرم در تن)، آپاتیت (بر حد ۱ ذره) و زیرکن (بر حد ۱ ذره) است.

نمونه DB11: این نمونه حاوی ۱ ذره طلای بسیار ریزدانه است. کانی‌های همراه آن شامل

هماتیت (۸۴/۶۷ گرم بر تن)، اپیدوت (۸/۶۵ گرم بر تن)، مگنتیت (۹۶/۲۲ گرم بر تن)، پیریت (۲۴ گرم بر تن)، زیرکن و آپاتیت (بر حد ۱ نره) است.

نمونه DB12: این نمونه حاوی ۱ نره طلا بوده و به نظر می‌رسد به صورت محلول جامد با کانه نقره (کانی الکتروم؟) تشکیل شده است. کانی‌های همراه آن شامل پیریت (۲/۲۱ گرم بر تن)، مگنتیت (۸۵/۴۶ گرم بر تن)، هماتیت (۹۹/۸۰ گرم بر تن)، پیریت‌اکسیده (۷/۴۷ گرم بر تن)، اپیدوت (۷۲/۶۴ گرم بر تن) و لیمونیت و گوتیت (بر حد ۱ نره) است.

از ویژگی‌های مهم این محدوده که از جنبه اکتشافی می‌تواند قابل توجه باشد می‌توان به وجود آلتراسیون لیمونیتی (به خصوص در پیرامون نمونه DB10)، رگه سیلیسی مس دار (بر حدود ۵/۲ کیلومتری پائین دست نمونه DB12 و DB11) و به تقریب در پیرامون نمونه DB13، آثار ملاکیت در نمونه کانی سنگین (نمونه DB13)، زون سیلیس اکسید آهن دار و سولفوره برشی شده (در پیرامون نمونه DB5)، وجود چشمہ سولفوره (در بالادست نمونه DB27) و ... اشاره کرد.

واحدهای بالادست و پیرامون ناهنجاری شماره ۱ طلا بر اساس نقشه زمین‌شناسی دیزج به مقیاس ۱:۱۰۰،۰۰۰ شامل واحدهای زیر است:

واحد Ub: این واحد شامل سنگهای اولترامافیک کم و بیش سرپانتینیتی به رنگ سبز - خاکستری تیره است.

واحد Sr : این واحد شامل سرپانتینیت همراه با سنگهای اولترامافیک سرپانتینتی است.

واحد bpK : این واحد شامل گدازه‌های بازالتی با ساختمان بالشی به رنگ خاکستری تیره متمایل به سبز تیره است که در برخی موارد حفره دار و برشی است. این واحد در پیرامون نمونه DB24 قرار دارد.

واحد mg : شامل میکروگابرو است که سنگهای اولترامافیک، بازالت‌های بالشی و شیل‌های کرتاسه پسین را قطع کرده است. این واحد به طور محدود در شمال روستای قورشاقلو رخنمون دارد.

واحد gd : شامل توده‌های نفوذی - نیمه نفوذی گابرو دیوریتی و میکرو دیورتیک گابرو است که اغلب سنگهای اولترامافیک، بازالت‌های بالشی و یا سنگهای دگرگونی کرتاسه پسین را قطع کرده است. در این محدوده، این واحد در شمال - شمال باخته روستای قورشاقلو رخنمون دارد.

واحد Pa CSI : شامل کنگلومرا همراه با شیل، ماسه سنگ و سنگ آهک است. قطعات کنگلومرا بیشتر از نوع سنگهای بازالتی کرتاسه پسین سنگهای نفوذی گابرو - دیوریتی و سنگهای اولترامافیک است. گسترش عمدۀ این واحد در این محدوده در پیرامون روستای بالابان است.

واحد Pa: شامل سنگ آهک نومولیت دار به رنگ خاکستری روشن است. در این محدوده این واحد به طور محدود در شمال خاوری روستای قورشاقلو رخنمون دارد.

واحد Pa_{SIC}: شامل شیل، ماسه سنگ، سنگ آهک و در برخی موارد کنگلومرا است. این واحد در کوه کانی زیارت رخنمون دارد.

واحد mt: شامل متاولکانیک‌های سبز رنگ همراه با شیست سبز و سنگ آهک بلورین است. در بالادست نمونه DB5 تنها این واحد رخنمون دارد.

واحد PE_{VIS}: شامل جریان‌های گدازه بازالتی حفره دار همراه با سنگ آهک و شیل است. این واحد تنها در بالادست نمونه‌های DB11 و DB12 رخنمون دارد.

واحد Q2^t: شامل پارگانه‌های آبرفتی جدید است.
لازم به ذکر است ۵ واحد نخست به عنوان بخش‌هایی از سری افیولیتی محسوب می‌گردد.

از نظر زمین‌شناسی ساختمانی از مهمترین رخداد تکتونیک در این محدوده می‌توان به راندگی بالابان با راستای عمومی شمال باخته - جنوب خاور و گسله امتداد لغز با راستای شمال خاور - جنوب باخته که امتداد آن از مرز ایران - ترکیه (شمال روستای قورشاقلو) تا

روستای دیزج الند است، اشاره کرد. گسله‌های بیکر با راستای شمال خاور-جنوب باخترا و شمال باخترا-جنوب خاور نیز بر این محدوده بیده می‌شود.

گسله رانگی بالابان سنگهای اولترامافیک و گابرو-دیوریتی را بر روی سنگهای رسوبی پالتوسن-ائوسن رانده است.

بطور کلی، وجود ناهنجاری مهم کانسار ساز، گسله‌ها، لیتولوژی، چشم‌ه سولفوره و آلتراسیون شدید لیمونیتی، اهمیت اکتشافی این محدوده را به اثبات می‌رساند.

ناهنجاری شماره ۲ طلا

ناهنجاری شماره ۲ طلا از نظر موقعیت در بخش شمالی برگه ۱:۵۰،۰۰۰ کردکندی و در پیرامون روستای میرزا خان قرار دارد. این ناهنجاری وسعتی به تقریب ۲۷ کیلومترمربع داشته و شامل نمونه‌های با شماره DK90، DK83، DK82 است. شرح مختصراً از این نمونه‌ها به قرار زیر می‌باشد.

نمونه DK82: این نمونه حاوی ۱ نره طلا به شکل لامپی نیمه گرد شده با اندازه ۱۰۰ تا ۱۲۵ میکرون است. و کانی‌های همراه آن شامل سینابر (بیش از ۲۰۰ نره در بخش NM کانی سنگین)، باریت (۱/۱ گرم در تن) کوولیت (۱ نره)، نقره (۱ نره)، منیتیت (۲/۷۸ گرم در تن) و کرومیت (۴/۷۴ گرم در تن) می‌باشد.

سنگهای بالادست و پیرامون این ناهنجاری شامل تناوب شیل و سیلاتستون همراه با میان لایه‌های ماسه سنگ و کنگلومرا و بطور نادر لایه‌های نازک سنگ آهک (واحد K⁵) است.

دایکهای آپلیتی به رنگ کرم- صورتی و یا دیابازی به رنگ سبز تیره آنها را قطع کرده است.

نمونه DK83 : این نمونه حاوی ۱ نرخ طلا به شکل لامپی نیمه گرد شده با اندازه ۱۲۵ تا ۱۵۰ میکرون است. کانی همراه آن شامل سینابر (بیش از ۱۰ نرخ)، پیریت (۲/۲۲ گرم در تن)، منیتیت (۲۲۱۹ گرم در تن)، هماتیت (۱۴۱/۸۲ گرم در تن) و لیمونیت (۲/۳۹ گرم در تن) می باشد.

سنگهای بالاست و پیرامون این نمونه شامل گذارهای بازالتی با ساختمان بالشی به رنگ خاکستری تیره متمایل به سبز تیره است که در برخی موارد حفره دارو برشی است. دایکهای دیابازی و تودههای نیمه ژرف میکروگابروئی آنها را قطع کرده است.

نمونه DK90 : این نمونه از آبراهه اصلی با جهت آبریز به سمت جنوب خاوری برداشت گردیده و حاوی ۱ نرخ طلا به شکل لامپی نیمه گرد شده با اندازه ۸۸ تا ۱۲۵ میکرون است. از کانیهای همراه آن میتوان به سینابر (بیش از ۱۰۰ نرخ)، باریت (در حد ۱ نرخ)، سرب خالص (۱ نرخ)، منیتیت (۸۰۵/۹ گرم در تن)، هماتیت (۱۶۹/۴۹ گرم در تن)، کرومیت (۱۴۷/۱۱ گرم در ۳ن)، کلریت (در حد ۱ نرخ)، اپیدوت (۵۴/۳۷ گرم در تن) و لیمونیت (در حد ۱ نرخ) اشاره کرد. سنگهای بالاست و پیرامون این نمونه شامل واحدهای K^{bp} و K^s است که پیشتر به شرح آنها پرداخته شد.

ناهنجاری شماره ۳ طلا

ناهنجاری شماره ۲ طلا از نظر موقعیت در برگه ۰۰۰۵۱ بلسور سفلی و در پیرامون روستای قزل آغل و جنوب خاوری روستای جنگه سر قرار دارد. این ناهنجاری وسعتی به تقریب ۱۸ کیلومترمربع را در برگرفته و شامل نمونه‌های با شماره‌های DB58 و DB61 می‌باشد. فاصله بین این دو ایستگاه نمونه برداری به تقریب ۲/۵ کیلومتر بوده و از شاخه اصلی آبراهه‌ای با جهت آبریز به تقریب جنوب خاوری برداشت گردیده است. شرح مختصری از این نمونه‌ها به قرار زیر است:

نمونه DB58 : این نمونه حاوی ۲ نرخ طلا، به شکل لامپی نیمه گرد شده با اندازه ۱۲۵ تا ۱۸۰ میکرون است. دیگر کانی‌های همراه آن شامل گالن (بر حد ۲ نرخ)، سروزیت (۱ نرخ)، سینابر (بر حد ۱ نرخ)، فلوریت (۱ نرخ)، کرومیت (۴/۲۵ گرم بر تن)، مگنتیت (۶۵۶ گرم بر تن) هماتیت (۲۷/۲۵ گرم بر تن) و اپیدوت (۵۱/۱۴۴ گرم بر تن) می‌باشد. سنگ‌های بالادست و پیرامون این نمونه شامل گذازهای بازالتی با ساختمان بالشی است که در برخی موارد حفره دار یا برخشی شده است (واحد K^{bp}). دایک‌های دیابازی و توده‌های نیمه ژرف میکروگابروئی آنها را قطع کرده است. این واحد (K^{bp}) بخشی از سری افیولیتی محسوب می‌گردد.

نمونه DB61 : این نمونه حاوی ۱ نرخ طلا به شکل فیلمی نیمه گرد شده با اندازه ۸۰ تا ۱۲۵ میکرون است. کانی‌های همراه آن شامل باریت (۰/۵۴ گرم بر تن)، فلوریت (بر حد ۱ نرخ)،

مگنتیت (۱۲۴۸ گرم در تن)، هماتیت (۵۴۰ گرم در تن) می‌باشد.

سنگ‌های بالادست و پیرامون این نمونه شامل واحدهای زیر است:

واحد K^{bp}: به توصیف این واحد در نمونه DB58 پرداخته شد. این واحد در بالادست نمونه DB61 بیشترین گسترش را دارد.

واحد K^s: این واحد شامل تناوب شیل و سیلتستون همراه با میان لایه‌های ماسه سنگ و کنگلومرا است. دایک‌های آپیتی به رنگ کرم - صورتی و یا دیابازی به رنگ سبز تیره آنها را قطع کرده است. این واحد در خاور آبراهه و روستای جنگه سر قرار دارد.

واحد Al: شامل دایک‌های دیابازی به رنگ خاکستری تیره متمایل به سبز است که بازالت‌های بالشی شیل‌ها و آهک‌های پلاژیک کرتاسه پسین را قطع کرده است. این واحد نیز از نظر موقعیت در خاور آبراهه و روستای جنگه سر قرار دارد.

واحد K^{Pt}: این واحد شامل سنگ آهک صورتی رنگ پلاژیک با سن سانتونین - کامپانین است. این واحد از نظر گسترش در این محدوده حجم محدودتری را در بر گرفته است.

واحد Pt^m: این واحد شامل توده‌های نفوذی نیمه ژرف با ترکیب میکروکوارتز-مونزونیت پورفیری تا میکرو مونزوندیوریت کوارتز دار و میکروسینیت است که با رخنمون محدود و

گنبد مانند (درباختر آبراهه) بازالت‌های بالشی و یا شیل‌های کرتاسه پسین راقطع کردند.
لازم به نظر است واحدهای K^{bp} , Ji و P^l بخش‌هایی از سری افیولیتی محسوب می‌گردند.

ناهنجاری شماره ۴ طلا

ناهنجاری شماره ۴ طلا از نظر موقعیت در برگه ۰۰۰۵:۱ بلسور سفلی قرار دارد. این نمونه از ناهنجاری وسعتی به تقریب ۵ کیلومترمربع داشته و دارای شماره DB40 است. این نمونه از آبراهه اصلی روآند با جهت آبریز به تقریب خاوری برداشت گردیده و حاوی ۲ نرخ طلا به شکل صفحه‌ای نیمه گرد شده با اندازه بیش از ۵۰۰ میکرون است. از کانی‌های مهم و همراه عنصر طلا در این نمونه می‌توان به سینابر (۱۰ نرخ)، گالن (۱ نرخ)، سروزیت (۱ نرخ)، باریت (۱ نرخ) مگنتیت (۹۴۹/۲ گرم در تن)، هماتیت (۶۲۲۴/۶ گرم در تن)، کرومیت (۱۰۴/۹۷) و لیمونیت (در حد ۱ نرخ) اشاره کرد.

از قسمت بالادست این نمونه تاروستای الند ۴ نمونه کانی سنگین با شماره‌های DB41، DB39، DB38 و DB37 برداشت گردید که حاوی کانی‌های مهمی از جمله شئلیت (۲۵ نرخ در نمونه DB41)، سینابر (۲ نرخ در نمونه‌های DB41 و DB37 و ۸ نرخ در نمونه DB38)، باریت، کرومیت و ۰۰۰ بوده و تنها نمونه DB37 حاوی ۱ نرخ طلا در بخش غیرمغناطیسی کانی سنگین است. وجود ۲ نرخ طلایی به نسبت به بزرگ (بیش از ۵۰۰ میکرون) در نمونه DB40 و کانی‌های مهم و پاراژنز با آن در این نمونه و نمونه‌های بالادست آن لزوم برداشت دیگر نمونه‌های کانی سنگین در پیرامون آن را ایجاب می‌کند.

سنگهای بالادست و پیرامون این ناهنجاری شامل گدازه‌های بازالتی با ساختمان بالشی

به رنگ خاکستری تیره متمایل به سبز تیره است که بر بخشی موارد حفره دار و برشی است (واحد K^{bp}). در بعضی از محدوده‌ها دایک‌های بیابانی و توده‌های نیمه ژرف میکروگابروئی آنها را قطع کرده است. این واحد بخشی از سری افیولیتی محسوب می‌گردد.

از نظر زمین‌شناسی ساختمانی در بخش جنوبی این ناهنجاری گسله نیزج‌الند مشخص گردیده است که بازالت بالشی را بر روی نهشته‌های پالئوسن، سنگ‌های اولترامافیک و گابرو‌بیوریتی رانده است.

ناهنجاری شماره ۵ طلا

ناهنجاری شماره ۵ طلا از نظر موقعیت در برگه ۱:۵۰،۰۰۰ بلسسورسفلی، در جنوب-جنوب خاوری روستای تودان قرار دارد. این ناهنجاری وسعتی به تقریب ۱۰ کیلومتر مربع داشته و با شماره DB22 روی برگه مشخص شده است. این نمونه حاوی ۱ نرخ طلا به شکل لامپی نیمه گرد شده با اندازه ۱۲۵ تا ۲۵۰ میکرون است. از دیگر کانی‌های مهم و همراه آن می‌توان به شیلیت (۴۹/۶۸ گرم در تن)، سینابر (در حد ۱۰ نرخ)، کرومیت (۳۸۰/۸۸ هماتیت (۱۰/۹/۷۱)، باریت، کلریت و فلوگوپیت (در حد ۱ نرخ) اشاره کرد.

در پیرامون این نمونه آلتراسیون شدید لیمونیتی، نمونه‌های حاوی ذره طلا و دیگر کانی‌های مهم قابل مشاهده است که اهمیت اکتشافی این محدوده از به مانند حوضه‌های دیگر به اثبات می‌رساند.

لازم به نظر است این نمونه حاوی بیشترین مقدار شیلیت (حدود ۱ درصد در بخش NM)

در ناحیه مورد مطالعه است. سنگ‌های بالادست و پیرامون این ناهنجاری شامل واحدهای زیر

است:

واحد Ub : این واحد شامل سنگ‌های اولترامافیک کم و بیش سرپا تینیتی به رنگ سبز -

خاکستری تیره است. این واحد بیشترین گسترش را در محدوده ناهنجار دارد.

واحد gd : شامل توده‌های نفوذی و نیمه نفوذی گابرو - دیوریتی و میکرو دیوریتیک گابرو

است که در این محدوده سنگ‌های اولترامافیک (واحد ub) را قطع کرده است. این واحد و واحد

Ub بخش‌هایی از سری افیولیتی محسوب می‌گردد.

واحد pa_{csI} : این واحد شامل کنگلومرا همراه با شیل، ماسه سنگ و سنگ آهک پالئوژن

است. قطعات کنگلومرا بیشتر از نوع سنگ‌های بازالتی کرتاسه پسین و سنگ‌های نفوذی

گابروئی - دیوریتی و سنگ‌های اولترامافیک است. این نوع واحد نسبت به واحدهای Ub و gd در

فاصله بیشتری از نمونه برداشت شده قرار دارد.

از نظر زمین‌شناسی ساختمانی این محدوده ناهنجار در بین دو گسله رانگی بالابان (در

بخش جنوبی محدوده) و اللند (بر بخش شمالی محدوده) قرار دارد. گسله‌های دیگری نیز در

این محدوده با راستای شمال باخته - جنوب خاور و شمال خاور - جنوب باخته قابل مشاهده

است. نمونه برداشت شده در روی یکی از گسله‌های با راستای شمال باخته - جنوب خاور

قرار دارد.

ناهنجاری شماره ۶ طلا

ناهنجاری شماره ۶ طلا از نظر موقعیت در برگه ۰۰۰۵۱ کریکنده و در پیرامون

روستای مخور قرار دارد.

این ناهنجاری وسعتی در حدود ۱۰ کیلومترمربع داشته و با شماره DK91 روی برگه مشخص است. این نمونه حاوی ۲ نرخ طلای ریزدانه و کانی‌های سیناپر (۵ نرخ)، گالن (۲ نرخ) اسمیت زونیت (۱ نرخ) مگنتیت (۵۶۱/۶ گرم در تن)، هماتیت (۴۰/۶۸ گرم در تن)، لیمونیت (۹/۵۸ گرم در تن) و اپیدوت (۷۶/۵۹ گرم در تن) است. سنگ‌های بالاست و پیرامون این ناهنجاری شامل واحدهای زیر است.

واحد K^{bp} : شامل گدازهای بازالتی با ساختمان بالشی است. این واحد بیشترین گسترش را در محدوده ناهنجار دارد.

واحد K^s : این واحد شامل تناوب شیل و سیلتستون همراه با میان لایه‌های ماسه سنگ و کنگلومرا است.

واحد Q_2^t : شامل پادگانهای آبرفتی جدید است. لازم به نکر است این نمونه به تقریب در نزدیک (حدود ۵۰ متری) محل برخورد آبراهه (با جهت آبریز خاوری) با گسله با راستای شمال باخته - جنوب خاور برداشت گردیده است.

ناهنجاری شماره ۷ طلا

ناهنجاری شماره ۷ طلا از نظر موقعیت در برگه ۱:۵۰،۰۰۰ کردکندي و پيرامون روستاي خان قرار دارد. اين ناهنجاری وسعتی به تقریب ۱۶ کيلومترمربع داشته و با شماره DK73 روی برگه مشخص می‌باشد. اين نمونه حاوی ۱ نره طلا به شکل فيلمی نیمه گرد شده با اندازه ۶۲ تا ۸۸ میکرون است. از عنصر مهم و پاراژنز با طلا در اين نمونه می‌توان به وجود نقره در حد ۲ نره اشاره کرد که می‌تواند اين محدوده را از نظر اكتشافی برای هر دو عنصر با اهمیت کند. از دیگر کانی همراه می‌توان به باریت (در حد ۱ نره)، هماتیت (۵۲/۲۶ گرم در تن)، مگنتیت (۲۲/۸ گرم در تن)، لیمونیت (بر حد ۱ نره) و کرومیت (۹/۰ گرم در تن) اشاره کرد. سنگ‌های بالادست و پيرامون اين ناهنجاری به مانند ناهنجاری شماره ۶ است با اين تفاوت که در اين محدوده واحد K^{bp} گسترش کمتری نسبت به واحد K^S داشته و در پيرامون ايستگاه نمونه برداری قرار دارد. لازم به ذکر است مرز اين دو واحد گسله است.

ناهنجاری شماره ۸ طلا

ناهنجاری شماره ۸ طلا از نظر موقعیت در برگه ۱:۵۰،۰۰۰ کردکندي و در جنوب-جنوب خاوری روستای بغلچی بالا (۲ کيلومتری روستا) قرار دارد. اين ناهنجاری وسعتی به تقریب ۱۶ کيلومترمربع را در برگرفته و شامل نمونه با شماره DK66 می‌باشد. اين نمونه حاوی ۱ نره طلا به شکل لامپی نیمه گرد شده با اندازه ۱۲۵ تا ۱۵۰ میکرون است از دیگر عناصر و کانی‌های مهم همراه طلا می‌توان به نقره (در حد ۱ نره)، گالن (بیش از ۵۰ نره در

بخش NM کانی سنگین)، سروزیت (۷۸/۰ گرم در تن)، سیناپر (بیش از ۵۰ نره)، باریت (۲/۶ نره)، اسماپت زونیت (۵۲/۰ گرم در تن)، اسفالریت (بر حد ۱ نره)، همی مورفیت (بر حد ۱ نره)، هماتیت (۸۲۶/۸ گرم در تن)، لیمونیت (۴۲/۵۶ گرم در تن)، کرومیت (بر حد ۵۱/۵۲ گرم در تن) و ... اشاره کرد که از نظر اکتشافی می‌تواند حائز اهمیت باشند. به عنوان مثال جیوه بدلیل رابطه زایشی باطلاء معرف خوبی است و ممکن است به عنوان ریباب استفاده شود. فلزات پایه نیز ممکن است برای برخی از انواع کانسارها مفید باشند و یا از نسبت نقره به طلا بر اکتشاف کانسارهای طلا از نوع اسیدسولفات و آدولاریا - سرسیت استفاده کرد. وجود آلتراسیون کائولینیتی به همراه آلونیت در بالادست این نمونه بسیار حائز اهمیت می‌باشد زیرا از خصوصیات مشخص کانسارهای نوع اسیدسولفات ارتباط آلتراسیون آرژیلیتی پیشرفتہ با کانی زایی طلا است.

لازم به ذکر است واحد آلتراسیون در حدود ۴ کیلومتری بالادست ایستگاه نمونه برداری قرار دارد. در نتیجه با توجه به اهمیت اکتشافی آن و کانی همراه طلا، برداشت نمونه‌های کانی سنگین بیشتر از این محدوده، به ویژه پیرامون آلتراسیون ضروری به نظر می‌رسد. سنگهای بالادست و پیرامون این ناهنجاری شامل واحدهای زیر است:

واحد **K^{bp}** : پیشتر به شرح این واحد پرداخته شد. در بالادست نمونه، این واحد گسترش کمتری داشته و در نزدیکی ایستگاه نمونه برداری قرار دارد.

واحد **Ng^{ad}** :

واحد Ng^{ad} : شامل جریان‌های گدازه آندزیتی - داسیتی همراه با توف برشی با ترکیب ریوداسیتی و لیتیک توف و توفیت است این واحد از گسترش قابل توجهی بروخوردار بوده و در نزدیکی ایستگاه نمونه برداری قرار دارد.

واحد PE^{vls} : این واحد شامل جریان‌های گدازه بازالتی حفره‌دار همراه با سنگ‌های آهک و شیل است به سن بین این واحد ائوسن پیشین - میانی مشخص گردیده است.

واحد Ng^{an} : شامل جریان گدازه و گدازه‌های برشی شده آندزیتی - تراکی آندزیتی به همراه سنگ‌های آذرآواری است. سنگ‌های این واحد بر روی بازالت‌های بالشی تیره رنگ کرتاسه پسین و یا سنگ‌های اولترامافیک جای گرفته است. سنگ‌های آتشفشانی این واحد در برخی موارد بر اثر خروج محلول‌های گرمابی به شدت دگرسان شده و به رنگ خاکستری روشن و یا سفید در آمده است. سنگ‌های دگرسان شده آلونیتی، کائولینیتی سرسیتی و سیلیسی شده‌اند. گدازه‌های تراکی آندزیتی پورفیری، تراکیتی پورفیری واحد P1^{pt} سنگ‌های آتشفشانی این واحد را به صورت دایک قطع کرده و یا بر روی آنها نشسته است.

Q1^t : شامل پارگانه آبرفتی قدیم است.

ناهنجاری شماره ۹ طلا

ناهنجاری شماره ۹ طلا از نظر موقعیت در برگه ۱:۵۰۰۰۰ کردکندي و در پيرامون

روستای کردکندي (حدود ۱ کیلومتری شمال روستا) و قرچه بلاغ قرار دارد. این ناهنجاری با شماره DK87 روی برگه مشخص بوده و حاوی ۱ نرخ طلامی باشد. طلا در این نمونه به شکل لامپی نیمه گرد شده با اندازه ۶۲ تا ۸۸ میکرون است. از کانی های همراه و مهم در این نمونه می توان به سینابر (در حد ۲ نرخ)، هماتیت (۰.۵۲ گرم در تن)، مگنتیت (۱۶/۱۶ گرم در تن)، لیمونیت (در حد ۱ نرخ)، کلریت (۱ نرخ) و کرومیت (۱ نرخ) اشاره کرد.

سنگهای بالادست و پیرامون این ناهنجاری شامل سنگهای اولترامافیک کمی سرپانتینیزه (واحد Ub) و سنگهای اولترامافیک، میکروگابرو - گابرو لاپایه ای همراه با دایکهای بیابازی (واحد Vg) مربوط به سری افیولیتی است.

ناهنجاری شماره ۱۰ طلا :

ناهنجای شماره ۱۰ طلا از نظر موقعیت در برگه ۰۰۰، ۵۰:۱ کردکندي و به تقریب در ۱ کیلومتری جنوب خاوری روستای دوشان تپه قرار دارد. این ناهنجاری وسعتی در حدود ۱۶ کیلومترمربع را در بر گرفته و شامل نمونه با شماره DK78 است. این نمونه حاوی یک نرخ طلا ریز دانه می باشد. از کانی های همراه آن می توان به سینابر (۵ نرخ)، هماتیت $94/40$ گرم در تن)، مگنتیت ($96/40$ گرم در تن)، لیمونیت (در حد ۱ نرخ)، کرومیت (۲۶۴/۹۶ گرم در تن) اشاره کرد.

سنگهای بالادست و پیرامون این ناهنجاری شامل واحدهای زیر است:

واحد K : این واحد شامل تناوب شیل و سیلتستون همراه با میان لایه های ماسه سنگ و

کنگلومرا است. دایکهای آپلیتی و یا بیابازی در بعضی نقاط این واحد را قطع کرده‌اند.

واحد K^{rt} : شامل چرت‌های رادیولر و آهن دار به رنگ بنفش - قهوه‌ای سوخته است. موقعیت چینه‌ای آن در زیر شیل‌های کرتاسه پسین است. این واحد بخشی از سری افیولیتی محسوب می‌گردد.

واحد mg : شامل میکروگابرو است که سنگ‌های اولترامافیک، بازالت‌های بالشی و شیل‌های کرتاسه پسین را قطع کرده است. این واحد نیز بخشی از سری افیولیتی محسوب می‌گردد.

واحدهای Q_1^t و K^{bp} و Ng^{an} : پیشتر به توصیف این واحدها پرداخته شد. لازم به نکر است واحدهای K^s و K^{rt} نسبت به واحدهای دیگر گسترش بیشتری داشته و در نزدیک ایستگاه نمونه برداری قرار دارند.

از نظر زمین‌شناسی ساختمانی در این محدوده بوگسله باراستای به تقریب شمال خاوری - جنوب باختری و یک‌گسله باراستای شمال باختر - جنوب خاور واقع است.

ناهنجاری شماره ۱۱ طلا :

ناهنجاری شماره ۱۱ طلا از نظر موقعیت در برگه ۱:۵۰،۰۰۰ بل سور سفلی و در ۲ کیلومتری باختر روستای بل سور سفلی در مرز ایران - ترکیه قرار دارد. این ناهنجاری وسعتی به تقریب ۱۰ کیلومترمربع داشته و شامل نمونه با شماره DB36 می‌باشد. این نمونه

حاوی یک نره طلا به شکل فیلمی نیمه گرد شده با اندازه ۱۲۵ تا ۲۵۰ میکرون است. از کانی های همراه این عنصر می توان به سینابر (۵ نره)، کالن (۱ نره)، سروزیت (۱ نره) هماتیت (۶۹۶/۴۲ گرم در تن)، مگنتیت (۱/۱ گرم در تن)، کرومیت (۱ نره)، پیریت (۴۴/۰ گرم در تن) آپاتیت (۷/۲ گرم در تن) و پیریت اکسیده (۷/۶۵ گرم در تن) اشاره کرد.

سنگ های بالادست و پیرامون این ناهنجاری شامل آهک پلاژیک صورتی رنگ با گدازه های بازالتی و به طور محلی همراه با چرت رادیولاریت دار (واحد IV^K) و سنگ آهک صورتی رنگ پلاژیک با سن سانتونین - کامپانین (واحد IV^P) مربوط به کمپاکس افیولیتی است.

لازم به ذکر است واحد IV^K نسبت به واحد IV^P از گسترش خیلی کمتری برخوردار بوده و در فاصله دورتری از ایستگاه نمونه برداری قرار دارد.

از نظر زمین شناسی ساختمانی در پیرامون محدوده ناهنجار بو گسله وجود دارد. یک گسله با راستای شمال باختری - جنوب خاوری که از نظر موقعیت در آبراهه اصلی و به تقریب ۵۰ الی ۱۰۰ متری ایستگاه نمونه برداری قرار دارد. گسله دیگر به تقریب در مرز شمالی محدوده ناهنجار مشخص گردیده است.

ناهنجاری شماره ۱۲ طلا

ناهنجاری شماره ۱۲ طلا از نظر موقعیت در برگه ۰۰۰،۵۱: سلسیو سفلی (جنوب خاوری برگه) و به تقریب در جنوب - جنوب باختری روستای کلت سفلی (حدود ۴ کیلومتری روستا) قرار دارد. این ناهنجاری وسعتی به تقریب ۸ کیلومتر مربع داشته و شامل نمونه با شماره DB19 می باشد. این نمونه حاوی یک نره طلا ریز دانه به شکل لامپی نیمه گرد شده

است. کانی‌های همراه آن شامل باریت (در حد ۱ نره)، پیریت (۰/۵۶ گرم در تن)، هماتیت (۰/۴۷ گرم در تن)، مگنتیت (۰/۴۷۷ گرم در تن)، گوتیت (در حد ۱ نره)، اپیدوت (۲/۱۶ گرم در تن) پیریت اکسیده (۱۸۶ گرم در تن) و کرومیت (۸۵/۵۶ گرم در تن) است.

سنگهای بالادست و پیرامون این ناهنجاری شامل متاولکانیک (واحد mt) که در بعضی نقاط همراه با شیست با رخساره نگرگونی شیست سبز (واحد Sch) و مرمر و سنگهای آهکی بلورین به رنگ خاکستری روشن (واحد mb) است. دایکهای آپلیتی، رگه‌های سیلیسی و تورده‌های دیوریتی - گابروئی و یا میکروگابروئی آنها را قطع کرده است.

از نظر زمین‌شناسی ساختمانی در محدوده ناهنجار بوگسله وجود دارد. یک گسله با راستای شمال خاوری - جنوب باختری و به موازات آبراهه (در حدود ۲۰۰ متری بخش باختری آبراهه) قرار دارد. گسله دیگر با راستای شمال باختری - جنوب خاوری که به تقریب در بخش شمالی محدوده ناهنجار مشخص گردیده است.

ناهنجاری‌های نقره

بر ورقه ۱:۱۰۰،۰۰۰ دیزج از ۹۷ نمونه کانی سنگین پرداشت شده، ۱۴ نمونه (حدود ۱۴

برصد کل نمونه‌ها) حاوی عنصر نقره بوده و در ۸ محدوده از ناحیه مورد مطالعه توزیع شده‌اند. شرح مختصری از آنها به قرار زیر است.

ناهنجاری شماره ۱ نقره

ناهنجاری شماره ۱ نقره از نظر موقعیت در برگه ۱:۵۰،۰۰۰ بلسور سفلی و به تقریب بر پیرامون و شمال خاوری روستای قورشاقلو در مرز ایران-ترکیه قرار دارد. این ناهنجاری وسعتی به تقریب ۱۶ کیلومترمربع داشته و شامل نمونه‌های با شماره‌های DB26، DB27 و DB29 است. با توجه به اهمیت هر یک از نمونه‌ها به شرح آنها پرداخته می‌شود.

نمونه DB26: نمونه DB26 از نظر موقعیت بر حدفاصل بین روستای اللد (به تقریب بر ۲/۵ کیلومتری جنوب باختری روستا) و قورشاقلو قرار دارد. این نمونه از نظر اکتشافی بسیار مهم بوده و حاوی عناصر نقره (در حد ۳ نزه) و طلا (در حد ۲ نزه) و کانی‌های کانسار ساز سینابر (۳ نزه)، گالن (۲ نزه)، شلیت (۲ نزه)، کرومیت (۰/۰۸) و باریت (۱/۱۹ گرم در تن) است. بیکر کانی‌ها شامل مگنتیت (۱۷۲۸/۸۸ گرم در تن)، هماتیت (۱۲۹/۹۲ گرم در تن)، آپاتیت (۰/۰۷ گرم در تن)، لیمونیت (۰/۱۰ گرم در تن) و پیریت اکسید (۱۲۲ گرم در تن) است.

سنگ‌های بالادست و پیرامون این ناهنجاری بطور عمده شامل واحدهای زیر است:

واحد Ub : این واحد شامل سنگهای اولترامافیک کم و بیش سرپانتینیتی به رنگ سبز - خاکستری تیره است. در برخی موارد توده‌های نفوذی دیوریتی - گابروئی و میکرو دیوریتیک گابروئی آنها را قطع کرده است. در این محدوده این واحد (Ub) از گسترش قابل توجهی برخوردار است.

واحد Sr : شامل سرپانتینیت همراه با سنگهای اولترامافیک سرپانتینیتی است. این واحد و واحد Ub بخش‌های از سری افیولیتی محسوب می‌گردد.
از نظر زمین‌شناسی ساختمانی در پیرامون ایستگاه نمونه برداری گسله‌هایی با راستای شمال باخترا - جنوب خاور و گسله امتداد لغز با راستای عمومی شمال خاور - جنوب باخترا قرار دارد. گسله امتداد لغز از نظر موقعیت از مرز ایران - ترکیه تا روستای بیزج اللند امتداد دارد. لازم به ذکر است ایستگاه نمونه برداری در روی این گسله واقع است.

نمونه DB27 : نمونه DB27 از نظر موقعیت در یکی از آبراهه‌های فرعی بین روستای اللند و قورشاقلو (حدود ۲/۵ کیلومتری شمال خاوری روستا) قرار دارد. این نمونه نیز از نظر اکتشافی مهم بوده و در برگیرنده عناصر نقره (در حد ۲ نزه) و طلا (در حد ۲ نزه) در بخش غیرمغناطیسی کانی سنگین است. از کانی‌های مهم آن می‌توان به سیناپر (در حد ۴ نزه)، باریت (در حد ۱ نزه)، پیریت اکسیده (۱۲/۸ گرم در تن)، پیریت (۱۱/۵ گرم در تن)، کرومیت (۸۴۶/۴) گرم در تن)، مگنتیت (۱۷۲۲/۲۴ گرم در تن)، هماتیت (۱۴۶/۲۸ گرم در تن)، زیرکن (۱۰/۸۱

گرم بر تن) اشاره کرد.

وجود عناصر مهم طلا و نقره به همراه کانی‌های سینایر، باریت و ... و همچنین وجود چشمی سولفوره در قسمت بالادست این نمونه، اهمیت اکتشافی این محدوده را به اثبات می‌رساند.

سنگ‌های بالادست این نمونه شامل واحدهای زیر است:

واحد Ub : به توصیف این واحد در نمونه DB26 پرداخته شد.

واحد gd : شامل توده‌های نفوذی - نیمه نفوذی گابرو بیوریتی و میکروبیوریتیک گابرو است که سنگ‌های اولترامافیک (واحد Ub) را قطع کرده است. این واحد و واحد Ub بخش‌های از سری افیولیتی محسوب می‌گردند.

واحد PE1 : شامل سنگ آهکنومولیت دار خاکستری روشن همراه با شیل پالئوسن - ائوسن پیشین است.

واحد Pa csl : این واحد شامل کنگلومرا همراه با شیل، ماسه سنگ و سنگ آهک است. قطعات کنگلومرا بیشتر از نوع سنگ‌های بازالتی کرتاسه پسین، سنگ‌های نفوذی گابروئی - بیوریتی و سنگ‌های اولترامافیک است.

از نظر زمین‌شناسی ساختمانی آبراهه‌های نمونه کانی سنگین گسله بوده و ایستگاه نمونه برداری به تقریب در برخورد گسله قورشاقلو با گسله امتداد لغز واقع است.

نمونه DB29 : نمونه DB29 از نظر موقعیت در حدود ۲۵۰ متری شمال باختری روستای

كورشاقلو در مرز ایران-ترکیه قرار دارد. این نمونه حاوی ۵ ذره نقره است که می‌تواند از نظر تعداد ذره قابل توجه باشد. از کانی‌های همراه آن می‌توان به مگنتیت ($792/48$ گرم در تن)، کرومیت ($7/52$ گرم در تن)، هماتیت ($269/24$ گرم در تن)، لیمونیت (در حد ۱ ذره)، آپاتیت ($40/6$ گرم در تن) و زیرکن ($5/97$ گرم در تن) اشاره کرد.

سنگ‌های بالاست و پیرامون ناهنجاری شامل واحدهای زیر است:

واحدهای Pa^{csl} و Pa^I : بیشتر به توصیف این واحدها پرداخته شده.

واحد mt : شامل متاورلکانیک‌های سیزرنگ همراه شیست سیز و سنگ آهک بلورین است. این واحد نسبت به واحدهای Pa^{csl} و Pa^I از گسترش بیشتری برخوردار بوده اما در فاصله دورتری نسبت به ایستگاه نمونه برداری (در حد 500 متری آن) قرار دارد. از نظر زمین‌شناسی ساختمانی در شمال ایستگاه نمونه برداری (در حدود 200 متری آن) گسله راندگی قورشاقلو قابل مشاهده است. در این محدوده، این گسله با راستای به تقریب خاوری-باختری واحد Ub را بر روی واحدهای Pa^{csl} و Pa^I رانده است.

ناهنجاری شماره ۲ نقره

ناهنجاری شماره ۲ نقره از نظر موقعیت در برگه $1:50,000$ کردکنی و در پیرامون روستای خان قرار دارد. این ناهنجاری وسعتی به تقریب 40 کیلومترمربع را در بر گرفته و شامل نمونه‌های شماره DK73 و DK74 است.

شرح مختصری از این نمونه‌ها به قرار زیر است:

نمونه DK73: نمونه DK73 از نظر موقعیت به تقریب بر ۱۰۰ متری روستای خان قرار دارد.

این نمونه حاوی ۲ ذره نقره و ۱ ذره طلا در بخش غیر مغناطیسی کانی سنگین (بخش NM) است. از کانی همراه در این نمونه می‌توان به باریت (در حد ۱ ذره)، اپیدوت (۶۷٪ گرم در تن)، هماتیت (۵۲٪ گرم در تن)، گوتیت (۲۶٪ گرم در تن)، کرومیت (درصد ۱ ذره) زیرکن (۰٪ گرم در تن)، گارنت (در حد ۱ ذره) و آپاتیت (۲٪ گرم در تن) اشاره کرد.

بر بالا دست این نمونه، آبراهه‌های فرعی به نسبت بزرگی وجود دارد که وسعتی به تقریب ۱۶ کیلومتر مربع را در بر می‌گیرند. از این آبراهه‌ها هیچ نمونه کانی سنگینی برداشت نگردیده است. وجود طلا و نقره و بیگر کانی‌های همراه آنها (نمونه DB73) در پایین دست این آبراهه‌ها باعث شده این محدوده نیز اهمیت اکتشافی پیدا کرده و لزوم برداشت تعداد بیشتر نمونه‌های کانی سنگین را به اثبات برساند.

سنگ‌های بالا دست و پیرامون این ناهنجاری شامل واحدهای زیر است:

واحد K^{bp} : شامل گدازه‌ای بازالتی با ساختمان بالشی به رنگ خاکستری تیره متمایل به سبز تیره است که در برخی موارد حفره‌ای و برشی است. این واحد در پیرامون ایستگاه نمونه برداری قرار دارد.

واحد K^s : شامل تناوب شیل و سیلتستون همراه با میان لایه‌های ماسه سنگ و کنگلومرا است. این واحد نسبت به واحد K^{bp} گسترش بیشتری داشته و در فاصله دورتری از ایستگاه

نمونه برداری قرار دارد.

از نظر زمین شناسی ساختمانی در محدوده ناهنجار بو گسله وجود دارد. یک گسله ای که در حد فاصل بین روستای خان و مندلیج و در مرز بو واحد^s K و bp قرار دارد و دیگری گسله با راستای شمال باختری - جنوب خاوری که به تقریب در خاور روستای خان - مندلیج واقع است.

نمونه DK74: نمونه DK74 از نظر موقعیت به تقریب در ۱ کیلومتری جنوب باختری روستای خان قرار دارد. این نمونه حاوی ۱ نرخ نقره در بخش غیر مغناطیسی کانی سنگین است. از کانی های همراه آن می توان به فلوریت (در حد ۱ نرخ)، هماتیت (۲۲۱/۳۷ گرم در تن)، باریت (در حد ۱ نرخ)، گوتیت (۲۱۲/۷۸ گرم در تن)، لیمونیت (۴۶/۴۵ گرم در تن)، اپیدوت (۴/۰ گرم در تن)، کرومیت (۲۲/۲۵ گرم در تن) و بیوتیت، کلریت و گارنت (در حد ۱ نرخ) اشاره کرد. سنگهای بالا دست و پیرامون این نمونه شامل واحدهای زیر است:

واحد K^s: به توصیف این واحد در نمونه DB73 پرداخته شد.

واحد PI^t: این واحد شامل تراکیت - تراکیت آندزیت با بافت پورفیری - مگاپورفیری بصورت دایک یا گنبد با سن پلیوسن(?) است.

واحد IV^K: شامل آهک پلاژیک، جریان های گدازه بازالتی و به طور محلی همراه با چرت

رادیولاریت است.

واحد Ng^{ad} : شامل جریان‌های گدازه آندزیتی - داسیتی همراه با توف برشی ریولیتی است.

واحدهای Q^{t1} و Q^{t2} : شامل پارگانه‌های آبرفتی قدیم و جدید است.

ناهنجری شماره ۳ نقره

ناهنجری شماره ۳ نقره از نظر موقعیت در برگه ۱:۵۰،۰۰۰ کردکندي و در پیرامون روستای میرزا خان قرار دارد. این ناهنجاری وسعتی به تقریب ۱۲ کیلومتر مربع داشته و شامل نمونه شماره DK82 است. این نمونه حاوی ۱ نرخ عنصر نقره و طلا در بخش غیر مغناطیسی کانی سنگین (بخش NM) است. از کانی‌های کانسارساز در این نمونه می‌توان به کوولیت (۱ نرخ)، سیناپر (بیش از ۲۰۰ نرخ)، کرومیت (۸۲۱/۷۴ گرم در تن) اشاره کرد. دیگر کانی‌های همراه شامل مگنتیت (۲۲/۷۸ گرم در تن)، هماتیت (۷/۲۶ گرم در تن)، لیمونیت (در حد ۱ نرخ)، پیریت اکسیده (۱۱۲/۶۸ گرم در تن) بیوتویت (در حد ۱ نرخ) و مارتیت (۹۴/۰ گرم در تن) است.

وجود کانی‌های نقره و طلا و مجموعه کانی‌های همراه آن می‌توانند از نظر اکتشافی مهم تلقی شوند.

سنگهای بالا دست و پیرامون این نمونه شامل واحد K^5 است که به توصیف آن پیشتر پرداخته شد.

ناهنجری شماره ۴ نقره

ناهنجری شماره ۴ نقره از نظر موقعیت در برگه ۱:۵۰،۰۰۰ کریکندی و در حدود ۲ کیلومتری جنوب روستای بغلچی بالا قرار دارد. این ناهنجاری وسعتی به تقریب ۱۶ کیلومتر مربع داشته و شامل نمونه با شماره DK66 است. این نمونه حاوی ۱ نره نقره و طلا در بخش NM کانی سنگین بوده و از نظر کانی شناسی متنوع می‌باشد. از کانی‌های مهم کانسارساز که می‌تواند از نظر اکتشافی بسیار حائز اهمیت باشند می‌توان به گالن (بیش از ۵۰ نره)، سروزیت (۷۸٪ گرم در تن)، سیناپر (بیش از ۵۰ نره)، باریت (۶٪ گرم در تن)، اسفالریت (در حد ۱ نره)، همی مورفیت (در حد ۱ نره) و کرومیت (۵۱٪ ۵۲ گرم در تن) اشاره کرد. به عنوان مثال گالن علاوه بر اینکه می‌تواند جهت اکتشاف سرب بکار رود می‌تواند یکی از منابع مهم تهیه نقره نیز باشد. دیگر کانی‌های همراه شامل هماتیت (۸٪ ۸۲۶ گرم در تن)، لیمونیت (۴۲٪ ۵۶ گرم در تن)، پیریت اکسید (۵۶٪ ۴٪ ۷ گرم در تن)، زیرکن (۴٪ ۲٪ ۲ گرم در تن)، آپاتیت (۲٪ ۲ گرم در تن) و اپیدوت (۷۴٪ ۸ گرم در تن) است.

در حدود ۴ کیلومتری بالا دست ایستگاه نمونه برداری آثار دگرسانی کائولینیتی، آلونیتی، سیلیسی قابل مشاهده است که می‌تواند یک هاله وسیع اکتشافی را معرفی کرده و نشان دهنده منطقه بسیار امید بخشی باشد.

سنگهای بالا دست و پیرامون این ناهنجاری شامل واحد واحدهای زیر است:

K bp واحد: شامل گدازهای بازالتی با ساختمان بالشی به رنگ خاکستری تیره متمایل به

سبز تیره است این واحد گسترش کمتری داشته و در نزدیک ایستگاه نمونه برداری قرار دارد.

واحد Ng^{ad}: شامل جریان‌های گدازه آندزیتی- داسیتی همراه با توف برش با ترکیب ریوداسیتی و لتیک توف و توفیت مجموعاً به رنگ خاکستری روشن است. این واحد از گسترش قابل توجهی برخوردار بوده و در نزدیک ایستگاه نمونه برداری قرار دارد.

واحد Ng^{an}: شامل جریان‌های گدازه و گدازه‌های برشی شده آندزیتی- تراکی آندزیتی به همراه سنگ‌های آذر آواری است. سنگ‌های این واحد بر روی بازالت‌های بالشی تیره رنگ کرتاسه پسین، جای گرفته است. سنگ‌های آتش‌فشاری این واحد نگرسانی آلونیتی، کائولینیتی، سرسیتی و سیلیسی شده‌اند.

واحد Q1^t: شامل پارگانه آبرفتی قدیم است.

ناهنجری شماره ۵ نقره

ناهنجری شماره ۵ نقره از نظر موقعیت در برگه ۱:۵۰،۰۰۰ کردکندي و به تقریب در ۱/۵ کیلومتری خاور روستای بوشان تپه قرار دارد. این ناهنجاری وسعتی به تقریب ۶۰ کیلومتر مربع داشته و شامل نمونه با شماره DK79 است. این نمونه حاوی ۲ نزه نقره است. از کانی‌های مهم و همراه آن می‌توان به گالن (در حد ۲ نزه)، سینابر (بیش از ۶۰ نزه)، مگنتیت (۸۹۷/۷۳ گرم در تن)، آپاتیت (۲/۶۶ گرم در تن)، هماتیت (۱۱۹/۶۵ گرم در تن)، پیریت اکسید

($25/27$ گرم در تن)، اپیدوت ($55/27$ گرم در تن) و 000 اشاره کرد.

سنگهای بالا دست و پیرامون این ناهنجاری شامل واحدهای زیر است:

واحد K^s : شامل تناوب شیل و سیلتستون همراه با میان لایه‌های ماسه سنگ و کنگلومرا و بطور نادر لایه‌های نازک سنگ آهک است. بر این محدوده، این واحد از گسترش قابل توجه و بیشتری برخوردار است.

واحد an^{Ng} : شامل جریان‌های گدازه و گدازه‌های برشی شده آندزیتی - تراکیتی آندزیتی به همراه سنگهای آذر آواری است این واحد از گسترش کمتری برخوردار بوده و نسبت به ایستگاه نمونه برداری در فاصله دورتری قرار دارد.

واحد $Q1^t$: شامل پادگانه‌های آبرفتی قدیم کواترنری است.

ناهنجاری شماره ۶ نقره

ناهنجاری شماره ۶ نقره از نظر موقعیت در برگه $1:50,000$ بلسور سفلی و در پیرامون روستای بردرش علیا قرار دارد. این ناهنجاری وسعتی به تقریب 15 کیلومتر مربع داشته و شامل نمونه با شماره DB57 است. این نمونه حاوی 5 ذره نقره در بخش غیر مغناطیسی کانی سنگین است. دیگر کانی‌ها شامل اپیدوت ($4/88$ گرم در تن) هماتیت ($8/127$ گرم در تن)، مگنتیت ($8/20$ گرم در تن) لیمونیت ($28/2$ گرم در تن)، زیرکن ($5/07$ گرم در تن)، کرومیت (در

حد ۱ نره)، آپاتیت (۸ گرم در تن) و بیوپیت (۱۵ گرم در تن) است از موارد مهم اکتشافی در قسمت بالا دست این نمونه می‌توان به زون سیلیسی سولفوره و اکسید آهن دار اشاره کرد. از این حالت در مراحل پی جویی واکتشاف نخایر گرمابی بخصوص آنها یکی که در سنگ‌های آتشفسانی تشکیل می‌شود می‌توان کمک گرفت. لازم به نظر است این زون در حدود ۴ کیلومتری بالا دست نمونه ویر داخل واحد $bp\ K$ واقع است.

سنگ‌های بالا دست و پیرامون این ناهنجاری شامل واحدهای زیر است:

واحد $bp\ K$: شامل گدازهای بازالتی با ساختمان بالشی به رنگ خاکستری تیره متمایل به سبز تیره است که در برخی موارد حفره دار و برشی است در محدوده ناهنجار، این واحد نسبت به واحدهای دیگر گسترش بیشتری دارد. زون سیلیسی سولفوره و اکسید آهن دار در این واحد واقع است.

واحد gd : شامل توده‌های نفوذی - نیمه نفوذی گابرو - دیوریتی و میکرودیوریتیک گابرو است که بازالت‌های بالشی (واحد $bp\ K$) را قطع کرده است.

واحد di : شامل دایک‌های دیابازی به رنگ خاکستری تیره متمایل به سبز است که بازالت بالشی (واحد $bp\ K$) را قطع کرده است.

این واحد و واحدهای $bp\ K$ و di بخش‌هایی از سری افیولیتی محسوب می‌گردند.

واحد ad^{Ng}: این واحد شامل جریان‌های گدازه آندزیتی - داسیتی همراه با توف برش تا ترکیب ریوداسیتی و لتیک توف و توفیت مجموعاً به رنگ خاکستری روشن است. این واحد بصورت ناپیوسته بر روی سطوح فرسایشی بازالت‌های بالشی کرتاسه پسین قرار دارد.

واحد an^{Ng}: شامل جریان‌های گدازه و گدازه‌های برشی شده آندزیتی - تراکی آندزیتی به همراه سنگ‌های آذر آواری است. سنگ‌های این واحد بر روی بازالت‌های بالشی تیره رنگ کرتاسه پسین جای گرفته است. سنگ‌های آتشفشاری این واحد در برخی موارد بر اثر خروج محلول‌های گرمابی به شدت دگرسانی (آلونیتی، کائولینیتی، سرسیتی و سیلیسی) شده‌اند. این واحد و واحد ad^{Ng} نسبت به واحدهای دیگر در فاصله دورتری نسبت به ایستگاه نمونه برداری جای گرفته است.

ناهنجری شماره ۷ نقره

ناهنجری شماره ۷ نقره از نظر موقعیت در برگه ۰۰۰۵۱: بلوار سفلی (در جنوب - جنوب باختری برگه) و در نزدیک مرز ایران - ترکیه قرار دارد. این ناهنجاری وسعتی به تقریب ۱۰ کیلومتر مربع داشته و شامل نمونه با شماره DB7 می‌باشد. این نمونه حاوی ۲ نرخ نقره در بخش NM کانی سنگین است. از کانی‌های همراه و مهم آن می‌توان به شئلیت (در حد ۴ نرخ)، پاریت (۱ نرخ)، پیریت اکسید (۱۰.۸ گرم در تن)، گارنت (در حد ۱ نرخ)، اپیدوت (۸۹۷/۶ گرم در تن)، مگنتیت (۲۹۹/۵۲ گرم در تن)، هماتیت (۱۱۴/۴۸ گرم در تن) و آپاتیت (۲/۸۴ گرم در تن) اشاره کرد.

سنگهای بالا دست و پیرامون این ناهنجاری شامل متاولکانیک (واحد mt) همراه با مرمر و سنگهای آهکی بلورین به رنگ خاکستری روشن (واحد mb) است. از نظر زمین شناسی ساختمانی در محدوده ناهنجار گسله با راستای شمال باختری - جنوب خاوری مشخص گردیده است.

ناهنجاری شماره ۸ نقره

ناهنجاری شماره ۸ نقره از نظر موقعیت در برگه ۰۰۰، ۵۱: ناور و به تقریب در ۲ کیلومتری جنوب خاوری روستای شیخ سلوی سفلی و در مرز ایران - ترکیه قرار دارد. این ناهنجاری وسعتی به تقریب ۱۶ کیلومتر مربع داشته و شامل نمونه با شماره DB77 می‌باشد. این نمونه حاوی ۱ نزه نقره و کانی‌های گالن (در حد ۱ نزه)، پیریت ($1/10$ گرم در تن)، هماتیت (۶۴/۶۲۲ گرم در تن)، مگنتیت ($27/115$ گرم در تن)، اپیدوت ($72/199$ گرم در تن)، لیمونیت ($64/112$ گرم در تن) و زیرکن ($1/25$ گرم در تن) است. در این نمونه وجود گالن حتی در حد ۲ نزه نیز می‌تواند جهت اکتشاف نقره مفید تلقی گردد.

سنگهای بالا دست و پیرامون این ناهنجاری شامل واحدهای زیر است:

واحد Kt : شامل چرت‌های رادیولر و آهن دار به رنگ بنفش - قهوه‌ای سوخته است. میزان سیلیس و اکسید آهن سنگ زیاد است و موقعیت چینه‌ای آنها در زیر شیل‌های کرتاسه پسین است. در محدوده ناهنجار این واحد از گسترش قابل توجهی برخوردار بوده و بیشتر در بخش

با ختری آبراهه قرار دارد.

واحد K^s: این واحد شامل تناوب شیل و سیلتستون همراه با میان لایه‌های ماسه سنگ و کنکلومرا و بطور نادر لایه‌های نازک سنگ آهک است این واحد نیز از گسترش قابل توجهی برخوردار بوده و در بخش خاوری آبراهه قرار دارد.

واحد Ng^{an}: شامل جریان‌های گدازه و گدازه برشی شده آندزیتی - تراکی آندزیتی به همراه سنگ‌های آزر آواری است که در برخی موارد دگرسان شده‌اند.

واحد Pt^t PI: شامل گدازه تراکیت - تراکی آندزیتی پورفیری تامگاپورفیری که بصورت جریان گدازه بر روی سنگ‌های آندزیتی واحد Ng^{an} قرار گرفته و یا بصورت دایک آنها را قطع کرده است. این واحد و واحد Ng^{an} در فاصله به نسبت بورتری از ایستگاه نمونه برداری قرار دارند.

واحد Q2^t و Q2^t Q2^t: شامل پادگان‌های آبرفتی قدیم و جدید با سن کواترنر می‌باشند.

ناهنجاری شماره ۹ نقره

ناهنجاری شماره ۹ نقره از نظر موقعیت در برگه ۱:۵۰،۰۰۰ کردکندي، حد فاصل روستای صدر و ملحملو پایین از آبراهه قریره برداشت گردیده است. این نمونه دارای شماره DK67 بوده و حاوی ۱ نزه نقره در بخش غیر مغناطیسی کانی سنگین است. از دیگر کانی‌های

همراه آن می‌توان به اپیدوت (۲۲۴/۸ گرم در تن)، مکنتیت (۴۹۹/۲ گرم در تن)، هماتیت (۱/۲۶ گرم در تن)، زیرکن (۵/۶۴ گرم در تن)، آپاتیت، (۷/۶۸ گرم در تن)، کرومیت (در حد ۱ نره) اشاره کرد. نمونه بالا دست آن (شماره DK72) که در روستای صدر واقع است حدود ۶ کیلومتر با آن فاصله داشته و فاقد نره نقره دیگر کانی‌های پاراژنز با آن است.

سنگ‌های بالا دست و پیرامون این ناهنجاری شامل گدازه‌های بازالتی با ساختمان بالشی به رنگ خاکستری تیره متمایل به سبز تیره (واحد K^{bp}) است که در برخی موارد حفره دار و برخشی است. در محدوده ناهنجاری و حوالی آبراهه قرده این واحد از گسترش قابل توجهی برخوردار است. لازم به ذکر است آبراهه قرده از خاک ترکیه تا باخته برگه کردنی امتداد داشته و در باخته نقشه به آبراهه آق چای می‌پیوندد. این آبراهه به تقریب در مرکز برگه با جهت آبریز به سمت خاور قرار دارد.

ناهنجاری‌های کانی سیناپر

در ورقه ۱:۱۰۰،۰۰۰ نیزج از ۹۷ نمونه کانی سنگین پرداشت شده، ۴۹ نمونه (حدود ۵۰

برصد کل نمونه‌ها) حاوی کانی سیناپر هستند. بیشترین مقدار آن در ناحیه مورد مطالعه ۲۲/۲ گرم در تن بوده که بعد از بروموفرم گیری این مقدار به بیش از ۵۰۰ نزد در بخش غیر مغناطیسی کانی سنگین رسیده است که می‌تواند قابل توجه باشد. در ورقه نیزج مهمترین ناهنجاری‌های کانی سیناپر بر برگه ۱:۵۰،۰۰۰ کریکنندی قرار دارد. شرح مختصری از ناهنجاری مهم سیناپر در ناحیه مورد مطالعه به قرار زیر است:

ناهنجاری شماره ۱ سیناپر

ناهنجاری شماره ۱ سیناپر از نظر موقعیت در بخش شمالی برگه ۱:۵۰،۰۰۰ کریکنندی و بر پیرامون روستاهای تغذیت داردارسی و تغذیت وسط قرار دارد. این ناهنجاری وسعتی به تقریب ۴۵ کیلومتر مربع داشته و دارای شماره‌های DK84، DK85 و DK86 می‌باشد. به شرح مختصر این نمونه پرداخته می‌شود.

نمونه KD84: نمونه DK84 از نظر موقعیت در شمالی‌ترین بخش برگه ۱:۵۰،۰۰۰ کریکنندی به تقریب در ۱/۵ کیلومتری با ختر روستای تغذیت وسط قرار دارد. این نمونه حاوی ۱۵/۸۶ گرم در تن سیناپر بوده که بعد از بروموفرم گیری این مقدار به بیش از ۵۰۰ نزد در بخش غیر مغناطیسی کانی سنگین رسیده است که می‌تواند از نظر اکتشافی حائز اهمیت باشد. از دیگر کانی‌های همراه آن می‌توان به کرومیت (۴۵/۵۴ گرم در تن)، اپیدوت (۲۹/۱۷ گرم در تن)،

آپاتیت (۱/۰۶ گرم در تن)، مگنتیت (۱/۷۲ گرم در تن) پیریت (۸/۵۸ گرم در تن)، اولیوین (۰/۵۹ گرم در تن) و هماتیت (۲۴/۹۸ گرم در تن) اشاره کرد.

سنگهای بالا دست و پیرامون این نمونه شامل تناوب شیل و سیلتستون همراه با میان لایه‌های ماسه سنگ و کنگلومرا و بطور نادر لایه‌های نازک سنگ آهک (واحد^۸ K) است زمینهای کشاورزی و یا پوشش گیاهی قسمتی از بالا دست نمونه را تشکیل می‌دهند.

نمونه DK85: نمونه DK85 از نظر موقعیت در شمالی‌ترین بخش برگه ۱:۵۰،۰۰۰ کردکندي بر پیرامون روستای تغنیت داردارسی (به تقریب ۲۰۰ متری باختر روستا) قرار دارد این نمونه حاوی ۲۲/۱۶ گرم در تن سینابر بوده که این مقدار نیز بعد از بروموفرم گیری به بیش از ۵۰۰ نره بر بخش NM کانی سنگین رسیده است. دیگر کانی‌ها شامل کرومیت (۹۲/۴۶ گرم در تن) اپیدیوت (۶۳/۲۴ گرم در تن)، باریت (۰/۲۶ گرم در تن) مگنتیت (۲/۴۸ گرم در تن)، لیمونیت (۱/۳۲ گرم در تن)، هماتیت (۰/۰۲ گرم در تن)، اولیوین (۱/۳ گرم در تن) و پیریت ۴۲۷ گرم بر تن است.

سنگهای بالا دست و پیرامون این ناهنجاری شامل واحدهای زیر است:

واحد PE^{7ls}: شامل جریان‌های گدازه بازالتی حفره دار همراه با سنگ آهک متمایل به قرمزو شیل الوان مربوط به ائوسن است.

واحد Q⁷: شامل گدازه پیروکسن آندزیت به رنگ خاکستری همراه با اسکوری با سن

کواترنری است.

لازم به ذکر است پیرامون ایستگاه نمونه برداری به وسیله زمین‌های کشاورزی و یا پوشش گیاهی پوشیده شده است.

واحد DK86: نمونه DK86 از نظر موقعیت در بین روستایی تغذیت داردارسی (به تقریب ۱ کیلومتری خاور روستا) و تات‌کندي (به تقریب ۱ کیلومتری باختر روستا) قرار دارد. این نمونه حاوی بیش از ۵۰ نره سینابر در بخش غیر مغناطیسی کانی سنگین (بخش NM) است. نیگر کانی‌های همراه آن شامل کرومیت (۱۷۱/۵۸ گرم در تن)، پیریت اکسیده (۸/۹۵ گرم در تن)، باریت (بر حد ۱ نره) مگنتیت (۴۹۶۵/۲۸ گرم در تن)، ایلمنیت (۸/۴۱ گرم در تن)، هماتیت (۱۱۶/۲ گرم در تن)، گوتیت (۷/۸۸ گرم در تن) و آپاتیت (۱/۴۲ گرم در تن) می‌باشد. سنگ‌های بالا دست و پیرامون این نمونه شامل واحدهای زیر است:

واحد Q^۷: به توصیف این واحد در نمونه DK85 پرداخته شد.

واحد Ua: شامل مجموعه‌ای از سنگ‌های اولترامافیک، سرپانتینیت میکروگابرو-گابرو لایه‌ای و دایک‌های دیابازی است. این واحد بخشی از سری افیولیتی محسوب می‌گردد. از نظر زمین‌شناسی ساختمانی در این محدوده می‌توان بخشی از گسله انبار را با راستای عمومی شمال باختر-جنوب خاور مشاهده کرد.

ناهنگاری شماره ۲ سیناپر

ناهنگاری شماره ۲ سیناپر از نظر موقعیت در برگه ۱:۵۰،۰۰۰ کردکنده و در پیرامون

روستای بغلچی بالا قرار دارد. این ناهنگاری با راستای شمال باختر - جنوب خاور با وسعتی

به تقریب ۸۰ کیلومتر مربع داشته و شامل نمونه‌های با شماره DK65, DK66, DK68, DK69, DK70

است شرح مختصری از آنها به قرار زیر است:

نمونه DK65: نمونه DK65 از نظر موقعیت به تقریب در ۱ کیلومتری شمال خاوری روستای

بغلچی بالا قرار دارد این نمونه حاوی ۱۸۰ گرم در تن سیناپر بوده که بعد از بروموفرم گیری

این مقدار به بیش از ۲۰۰ نرخ در بخش NM کانی سنگین رسیده است. از دیگر کانی‌های

کاسار ساز و هم می‌توان به گالن (۱۵/۹۷ گرم در تن)، اسفالریت (در حد ۱ نرخ)، سروزیت

(۸/۲۱ گرم در تن) مالاکیت (در حد نرخ) اسمیت زونیت (۱/۱۲ گرم در تن)، همی مورفیت،

پیرومورفیت و دیابولیت (در حد نرخ) و کرومیت اشاره کرد که هر یک از آنها می‌تواند راهنمای

اکتشافی خاصی را در اختیار بگذارد. دیگر کانی‌ها شامل باریت (۷۶/۶۸ گرم در تن)، فلوریت

(در حد ۱ نرخ)، آپاتیت (۱۲/۶۳ گرم در تن)، اپیدوت (۱۸۸/۲۹ گرم در تن)، هماتیت (۱۷۶/۰۸)

گرم در تن)، مگنتیت (۶/۶۲ ۱۲۶۲ گرم در تن) است.

سنگ‌های بالا دست و پیرامون این نمونه شامل واحدهای زیر است:

واحد bpK: شامل گدازهای بازالتی بالشی همراه با سنگ آهک و شیل است. این واحد که

بخشی از سری افیولیتی محسوب می‌گردد. این واحد گسترش به نسبت بیشتری داشته و در

پیرامون ایستگاه نمونه برداری قرار دارد.

واحد PE^{vis}: شامل جریان‌های گدازه بازالتی حفره دار همراه با سنگ آهک متمایل به قرمز و شیل‌الوان است.

واحد Ng^{ad}: شامل جریان‌های گدازه آندزیتی- داسیتی همراه با توف برش با ترکیب ریوداسیتی و لیتیک توف و توفیت است. این واحد بصورت ناپیوسته بر روی سطوح فرسایشی بازالت‌های بالشی کرتاسه پسین و سنگ‌های آهکی پالئوسن - ائوسن قرار گرفته است. این واحد نیز گسترش قابل توجهی داشته و به تقریب در ۲ کیلومتری بالا دست این نمونه و در پیرامون نمونه DK66 قرار دارد.

واحد Ng^{an}: شامل جریان گدازه و گدازه‌های برشی شده آندزیتی - تراکی آندزیتی به همراه سنگ‌های آذر آواری است سنگ‌های این واحد بر روی بازالت بالشی کرتاسه‌پسین جای گرفته است و در برخی موارد سنگ‌های آتش‌فشنای این واحد بر اثر خروج محلول‌های گرمابی باشدت به آلونیت، کائولنیت، سرسیت و سیلیس دگرسان شده‌اند. این واحد در بالا دست نمونه OK66 قرار دارد.

واحد K^{IV}: شامل سنگ‌های آهکی پلازیک همراه با جریان‌های گدازه بازالتی است. این واحد و واحد K^{bP} بخش‌هایی از سری افیولیتی محسوب می‌گردند.

واحد ۱ PE: شامل سنگ آهک نومولیت دار همراه با شیل پالئوسن پسین - ائوسن پیشین است.

واحد ۲ PE: شامل پانگانه های آبرفتی قدیم است.
از نظر زمین ساختی در بخش خاوری ایستگاه نمونه برداری گسله امتداد لغز با راستای شمال
شمال باختر - جنوب جنوب خاور و گسله با راستای شمال خاور - جنوب باختر قابل مشاهده
است.

واحد DK66: نمونه DK66 از نظر موقعیت به تقریب بر ۲ کیلومتری جنوب روستای بغلچی
بالا قرار دارد این نمونه حاوی $1/6$ گرم در تن سینابر بوده که بعد از بروموفرم گیری این مقدار
به بیش از 50 ذره در بخش NM کانی سنگین رسیده است. عناصر و کانی مهم کانسار ساز در
این نمونه شامل نقره و طلا (در حد 1 ذره) کالن (بیش از 50 ذره)، سروزیت (78 ٪ گرم در تن)
اسمیت زونیت (53 ٪ درصد)، اسفالریت، همی مورفیت (در حد 1 ذره) و کرومیت ($51/52$ گرم در
تن) است از دیگر کانی های همراه آن می توان به باریت ($2/6$ گرم در تن)، آپاتیت ($2/2$ گرم در
تن)، مگنتیت ($40/79$ گرم در تن) هماتیت (826 گرم در تن)، اپیدوت ($74/8$ گرم در تن)،
گارنت ($4/48$ گرم در تن) و لیمونیت ($42/56$ گرم در تن) اشاره کرد.

سنگ های بالا دست و پیرامون این نمونه شامل واحدهای PE^{vls}, Ng^{ad} و Ng^{an} است که در
نمونه DK65 به شرح آنها پرداخته شد.

نمونه DK68: نمونه DK68 از نظر موقعیت به تقریب در ۲/۵ کیلومتری جنوب خاوری

روستای خان قرار دارد. این نمونه حاوی ۲/۹۹ گرم در تن سیناپر بوده که بعد از بروموفرم گیری این مقدار به بیش از ۴۰ نزه در بخش غیر مغناطیسی کانی سنگین رسیده است. از دیگر کانی های مهم در این نمونه می توان به گالن (در حد ۲ نزه)، باریت (در حد ۱ نزه) پیریت (۱۱۱ ۲۴۲۰۱) گرم در تن)، آپاتیت (۱/۲ گرم در تن)، مگنتیت (۱۲۸۲/۵۷ گرم در تن)، هماتیت (۹/۲۲ گرم در تن)، کرومیت (۹۶/۳۴ گرم در تن)، اپیدوت (۲۵۰/۹۶ گرم در تن) و گوتیت (۱/۲ گرم در تن) اشاره کرد.

سنگهای بالا دست و پیرامون این ناهنجاری شامل واحدهای K^{bp} , PE^1 , Ng^ad است که در نمونه DK65 به شرح آنها پرداخته شد.

نمونه DK69: نمونه DK69 از نظر موقعیت به تقریب در ۲/۵ کیلومتری شمال باختری

روستای گاپوت قرار دارد. این نمونه حاوی ۹۶/۰ گرم در تن سیناپر بوده که بعد از بروموفرم گیری این مقدار به بیش از ۴۰ نزه در بخش غیر مغناطیسی کانی سنگین رسیده است. از دیگر ذاهنجاریهای کانسار ساز در این محدوده می توان به گالن (۷/۵ گرم در تن)، سروزیت (۶/۲ گرم در تن)، کوولیت (در حد ۲ نزه)، اسفالریت (۸/۰ گرم در تن)، اسمیت زونیت (۱/۷۶ گرم در تن) همی مورفیت (در حد ۱ نزه) اشاره کرد. دیگر کانی ها شامل آپاتیت (۲۹/۴۴ گرم در تن)، زیرکن (۴/۷ گرم در تن)، مگنتیت (۴/۷۹ گرم در تن)، هماتیت (۸/۹۲ گرم در تن)، گوتیت (۱/۴۹ گرم در تن)، اپیدوت (۸/۲ گرم در تن)، لیمونیت (۵۶/۴۲ گرم در تن)، گارنت (در حد ۱

نره) است.

سنگهای بالا دست و پیرامون این ناهنجاری شامل واحدهای زیر است:

واحد PE^{vls} : شامل جریان‌های گدازه بازالتی حفره دار همراه با سنگ آهک متمایل به قرمز و شیل الوان با سن ائوسن پیشین - میانی است. این واحد در پیرامون ایستگاه نمونه برداری قرار دارد.

واحد Ng^{an} : شامل جریان‌های گدازه و گدازه‌های برشی شده آندزیتی - تراکی آندزیتی به همراه سنگ‌های آذر آواری است سنگهای آتشفسانی این واحد در اثر دگرسانی، آلونیتی، کائولینیتی، سرسیتی و سیلیسی شده‌اند. این واحد از گسترش به نسبت زیادی برخوردار است.

واحد PE^{b} : شامل گدازه‌های بازالتی اسپلیتی به رنگ خاکستری تیره متمایل به سبز است. این واحد بخشی از سری افیولیتی محسوب می‌گردد.

واحد Pl^{pt} : شامل تراکیت - تراکی آندزیت با بافت پورفیری تا مگاپورفیری است که بصورت جریان گدازه بر روی سنگ‌های آندزیتی واحد Ng^{an} قرار گرفته و یا بصورت دایک آذهاراً قطع کرده است. این واحد نسبت به واحدهای دیگر از گسترش محدودتری برخوردار است.

نمونه DK70: نمونه DK70 به تقریب در ۲ کیلومتری باختر نمونه Dk69 قرار دارد. این نمونه حاوی ۱ نرخ سیناپر، ۱ نرخ اسمیت زونیت، ۱ نرخ گالن و سروزیت و ... است. سنگهای بالا دست این نمونه به مانند نمونه DK69 می‌باشد.

ناهنجاری شماره ۳ سیناپر

ناهنجاری شماره ۳ سیناپر از نظر موقعیت در برگه ۰۰۵۱:۰۰۰۰ کردکندي و در پیرامون روستای میرزا خان قرار دارد. این ناهنجاری وسعتی به تقریب ۲ کیلومتر مربع داشته و شامل نمونه‌های با شماره‌ها DK82 و DK83 می‌باشد. شرح مختصری از آنها به قرار زیر است.

نمونه DK82: نمونه DK82 از نظر موقعیت در حدود ۱۰۰ متری روستای میرزا خان و در آبراهه آق چای قرار دارد. این نمونه حاوی ۶.۵ گرم در تن سیناپر بوده که بعد از بروموفرم گیری این مقدار به بیش از ۲۰۰ نرخ در بخش NM کانی سنگین رسیده است. از دیگر ناهنجاری مهم در این نمونه که می‌توانند از نظر اکتشافی حائز اهمیت باشند می‌توان به طلا و نقره (در حد ۱ نرخ) کوولیت (در حد ۱ نرخ) کرومیت (۸۲۱/۷۴ گرم در تن) و باریت (۱/۱ گرم در تن) اشاره کرد که هر یک می‌تواند راهنمای اکتشافی خاصی را در اختیار بگذارند. دیگر کانی های همراه آن شامل هماتیت (۷/۲۶ گرم در تن)، آپاتیت (۷۹/۲۰ گرم در تن)، مگنتیت (۷۹/۲۲)، گرم در تن)، زیرکن (۶۸/۶۹ گرم در تن)، اپیدوت (۴۷/۲۴ گرم در تن) و پیریت اکسیده (۶۸/۱۳ گرم در تن) است.

سنگهای بالا دست و پیرامون این ناهنجاری شامل تناوب شیل و سیلتستون همراه با میان

لایه‌های ماسه سنگ و کنکلومرا است.

نمونه DK83: نمونه DK83 از نظر موقعیت از یکی از آبراهه‌های فرعی رود آق چای در حدود ۱۰۰ متری روستای میرزاخان پرداشت گردیده است. این نمونه حاوی ۱۰ نرخ سیناپر و ۱ نرخ طلا در بخش NM کانی سنگین است. بیگر کانی‌ها شامل پیریت (۲/۲۲ گرم در تن) هماتیت (۱۴۱/۸۲ گرم در تن) لیمونیت (۳/۴ گرم در تن)، اپیدوت (۳۰/۳۲ گرم در تن)، زیرکن (در حد ۱ نرخ)، آپاتیت (۱۴/۲۷ گرم در تن) و مگنتیت (۲۲۱۹ گرم در تن) است. سنگ‌های بالا دست این نمونه نیز شامل واحد ^۵K که به توصیف آن در نمونه DK82 پرداخته شد.

از نظر زمین‌شناسی ساختمانی در بالا دست این نمونه دو گسله با راستای شمال خاور – جنوب باخته و با درازای به تقریب ۱ کیلومتر دیده می‌شود.

ناهنجری شماره ۴ سیناپر

ناهنجری شماره ۴ سیناپر از نظر موقعیت در برگه ۰۰۰، ۵۱: کردکنده و به تقریب در ۱/۵ کیلومتری خاور روستای دوشان تپه قرار دارد. این ناهنجاری وسعتی به تقریب ۱۸ کیلومتر مربع داشته و شامل نمونه با شماره DK79 است این نمونه حاوی ۳/۹۸ گرم در تن سیناپر بوده که بعد از بروموفرم گیری این مقدار به ۶۰ نرخ در بخش غیر مغناطیسی کانی سنگین رسیده است. از بیگر ناهنجاری مهم و کانسار ساز می‌توان به نقره (در حد ۲ نرخ)، گالن (۲ نرخ)، کرومیت (۱۷/۲۰ گرم در تن) و ایلمنیت (۱۲/۲۵ گرم در تن) اشاره کرد. بیگر

کانی‌ها شامل آپاتیت (۶/۲۶ گرم در تن)، اپیدوت (۵۵/۱۲۷ گرم در تن)، مگنتیت (۷۳/۸۹۷ گرم در تن)، هماتیت (۵/۱۱۹ گرم در تن)، کلریت (۸/۲۹۸ گرم در تن)، جاروسیت (۲/۲۵ گرم در تن)، زیرکن (۰/۰۳۶ گرم در تن) و اولیوین (۲/۸۲ گرم در تن) است. سنگ‌های بالا دست و پیرامون این ناهنجاری شامل واحدهای زیر است.

واحد K^s: پیشتر به این واحد پرداخته شد. این واحد بر این محدوده از گسترش قابل توجه و بیشتری برخوردار بوده و در پیرامون ایستگاه نمونه برداری واقع است.

واحد Ng^a: شامل جریان‌های گدازه و گدازه‌های برشی شده آندزیتی-تراکیتی آندزیتی به همراه سنگ‌های آذر آواری است. این واحد از گسترش کمتری برخوردار بوده و نسبت به ایستگاه نمونه برداری در فاصله دورتر قرار دارد.

واحد Q^t: شامل پادگان‌های آبرفتی قدیم کواترنری است.

ناهنجاری شماره ۵ سینابر ناهنجاری مشاره ۵ سینابر از نظر موقعیت در برگه ۰۰۰:۵۱ کردکنندی و به تقریب در ۱ کیلومتری شمال-شمال خاوری روستای کردکنندی قرار دارد. این ناهنجاری وسعتی به تقریب ۱۸ کیلومتر مربع داشته و شامل نمونه با شماره DK87 است. این نمونه حاوی ۲ نزه سینابر و طلا (در حد ۱ نزه) در بخش NM کانی سنگین است. دیگر کانی‌ها شامل کرومیت (در

حد ۱ نره)، هماتیت (۵۲/۶ گرم در تن)، مگنتیت (۱۶/۱۶ گرم در تن)، اپیبوت (۴/۱۹ گرم در تن)، کلریت و آپاتیت و بیوتویت (در حد ۱ نره) می‌باشد.

سنگهای بالا دست و پیرامون این ناهنجاری شامل واحدهای زیر است:

واحد Ub: شامل سنگهای اولترامافیک کم و بیش سرپانتینی است. این واحد بخشی از سری افیولیتی محسوب می‌گردد.

واحد Q⁷: شامل گدازهای پیروکسن آندزیتی اغلب حفره دار به همراه اسکوری است. خروج گازها و مواد فرار گدازه، سبب ایجاد تخلخل در برخی موارد شده است.

واحد Q^t₂: شامل پادگانهای آبرفتی جدید است. از نظر زمین‌شناسی ساختمانی بر محدوده ناهنجار گسلهای انبار و زور آباد با راستای شمال باختر - جنوب خاور مشخص گردیده است.

۶-۳-۳- دیگر ناهنجاری‌های سیناپر

دیگر ناهنجاری‌های کانی سیناپر در ورقه ۱:۱۰،۰۰۰ دیزج پراکنده بوده و شامل نمونه‌های با شماره DB58, DB35, DB22, DB38, DK34, DK64, DK89 و ... است. از نظر موقعیت این نمونه‌ها در روی نقشه ناهنجاری‌های کانی سنگین با علائم مشخص گردیده‌اند.

ناهنجاری‌های شنلیت

در ورقه ۱۰۰،۰۰۰: ۹۷ نمونه برداشت شده، ۱۲ نمونه (به تقریب ۱۲ درصد کل نمونه‌ها) حاوی کانی شنلیت است. بیشترین مقدار آن ۴۹/۶۸ گرم بر تن (حدود ۱ درصد در بخش غیر مغناطیسی کانی سنگین) و مربوط به نمونه با شماره DB22 می‌باشد. حجم عمده نمونه‌های حاوی شنلیت (۱۱ نمونه) در برگه ۵۰،۰۰۰: ۱ بلسور سفلی قرار دارد. شرح مختصری از ناهنجاری‌های آن به قرار زیر است:

ناهنجاری‌های ۱ شنلیت

ناهنجاری شنلیت از نظر موقعیت در برگه ۵۰،۰۰۰: ۱ بلسور سفلی و در پیرامون روستای توران قرار دارد. این ناهنجاری وسعتی به تقریب ۴۵ کیلومتر مربع داشته و شامل نمونه‌های با شماره‌های DB21, DB22, DB23, DB41, DB42 کیلومتر محدوده ۵ نمونه کانی سنگین برداشت گردید که تمام نمونه‌ها حاوی شنلیت بوده واز پیوستگی فضایی خوبی برخوردار هستند. علاوه بر شنلیت، کانی‌زایی سیناپر، طلا و کرومیت و نیز آلتراسیون لیموئیتی در این محدوده قابل مشاهده است. این عوامل در کنار هم باعث شده است تا این محدوده از نظر اکتشافی شنلیت و دیگر کانه‌ها قابل توجه باشد. شرح مختصری از نمونه‌های ناهنجار به قرار زیر است:

DB22: نمونه DB22 از نظر موقعیت در حدود ۱/۵ کیلومتری جنوب خاوری روستای تودان قرار دارد. همانطور که اشاره شد این نمونه حاوی ۴۹/۶۸ گرم بر تن شنلیت بوده و بیشترین

مقدار را بر ناحیه مورد مطالعه به خود اختصاص داده است. وجود طلا (در حد ۱ نره و کانی‌های سینابر (۱۰ نره در بخش NM)، باریت (در حد ۱ نره)، کرومیت (۲۸۰/۸۸ گرم در تن)، هماتیت (۱۰۹/۷۱ گرم در تن)، مگنتیت (۵۷/۱۲۰ گرم در تن)، پیروکسن (۷۲۴/۵ گرم در تن) و اپیدوت (۷۹/۳۸ گرم در تن) می‌توانند از نظر اکتشافی مهم تلقی شوند.

نمونه DK23: نمونه DB23 از نظر موقعیت به تقریب در ۵۰۰ متری روستای تودان قرار دارد. مقدار شلیت در این نمونه ۱۵/۹۶ گرم در تن بوده که بعد از بروموفرم گیری این مقدار به ۰/۵ برصد در بخش غیر مغناطیسی کانی سنگین رسیده است از کانی‌های مهم در این نمونه می‌توان به مگنتیت (۷۴/۵۹ گرم در تن)، باریت (در حد ۱ نره)، هماتیت (۸/۴۶ گرم در تن)، پیروکسن (۵۲۲ گرم در تن)، اپیدوت (۵/۴۲ گرم در تن)، اولیوین (در حد ۱ نره) و کرومیت (۲۹۲/۶۹ گرم در تن) اشاره کرد. لازم به ذکر است نمونه DB22 از حدود ۱/۵ کیلومتری بالا دست این نمونه برداشت گردیده است که به شرح آن پرداخته شد.

نمونه DB41: این نمونه از نظر موقعیت به تقریب در ۳ کیلومتری شمال روستای تودان (حد فاصل روستا و رووالند) قرار دارد. حاوی ۰/۷۱ گرم در تن شلیت بوده که بعد از بروموفرم گیری این مقدار به ۰/۰۳ نره (درصد) در بخش غیر مغناطیسی کانی سنگین رسیده است. از کانی‌های با اهمیت همراه شلیت می‌توان به سینابر (در حد ۲ نره)، باریت (۱ نره)، هماتیت (۵۸/۴۲۹ گرم در تن)، اپیدوت (۲۸۲ گرم در تن)، مگنتیت (۲۱/۵۰۹ گرم در

تن)، بیوتیت (۱۲/۵۷ گرم در تن) و پیروکسن (۱۴۱۲/۷۵ گرم در تن) اشاره کرد.

نمونه DB42: نمونه DB42 از نظر موقعیت در پیرامون و به تقریب در ۳۰۰ متری روستای تودان قرار دارد. این نمونه حاوی ۱/۳۹ گرم در تن شلیت بوده که بعد از بروموفرم گیری این مقدار به ۲۵ نزد (۰/۰۲ درصد) در بخش غیر مغناطیسی کانی سنگین رسیده است. کانی همراه آن شامل مگنتیت (۶۴۲/۲ گرم در تن)، کلریت (در حد ۱ نزد)، پیریت (۶۷/۵۵ گرم در تن)، هماتیت (۱۶۲/۶ گرم در تن)، کرومیت (۲۶۶/۳۲ گرم در تن)، پیروکسن (۱۱۸۲/۱۲ گرم در تن) و اپیدوت (۱۰۵ گرم در تن) است.

نمونه DB21: نمونه DB21 از نظر موقعیت در نزدیک روستای کلت علیا قرار دارد. این نمونه حاوی ۷/۰ گرم در تن شلیت بوده که این مقدار بعد از بروموفرم گیری به ۰/۲۵ درصد در بخش غیر مغناطیسی کانی سنگین رسیده است. بیگر کانی های همراه شلیت شامل مگنتیت (۴/۳ گرم در تن)، پیروکسن (۵۸۵ گرم در تن) گارنٹ و اپیدوت (در حد ۱ نزد)، کرومیت (۵/۳۸ گرم در تن) و هماتیت (۲/۶ گرم در تن) است.

علاوه بر موارد فوق، بر اساس شواهد صحرایی، آلتراسیون به نسبت شدیدی در پیرامون این نمونه قابل مشاهده است که از نظر اکتشافی می تواند حائز اهمیت باشد.

لازم به نکر است جهت آبریز آبراهه حاوی نمونه DB21 به تقریب جنوب خاوری بوده اما جهت آبریز اصلی آبراهه ای که نمونه های DB41, DB22, DB23 و DB42 قرار گرفته است شمال - شمال پاختنی می باشد.

سنگهای بالا دست و پیرامون ناهنجاری شماره ۱ شئتیت شامل واحدهای زیر است:

واحد Ub: شامل سنگهای اولترامافیک کم و بیش سرپانتینی است. این واحد، بالا دست و پیرامون تمام ناهنجاری‌های شماره ۱ را در بر گرفته و نسبت به واحدهای دیگر گسترش بیشتری دارد.

واحد gd: شامل توده‌های نفوذی و نیمه نفوذی گابرو-دیوریتی و میکرودیوریتیک گابرو است که اغلب سنگهای اولترامافیک بازالت‌های بالشی و یا سنگهای نگرگونی کرتاسه پسین را قطع کرده‌اند. این واحد به غیر از نمونه DB42 در بالا دست و پیرامون دیگر نمونه‌های ناهنجار نیز قرار دارد.

واحد Sr: شامل سرپانتنیت به همراه سنگهای اولترامافیک سرپانتینی بوده و در بالا دست نمونه‌های DB41 و DB42 قرار دارد.

واحد K_{bp}: شامل گدازه‌های بازالتی بالشی به رنگ خاکستری تیره متمایل به سبز کمی حفره دار یا برشی شده همراه با سنگ آهک، آهک پلاژیک صورتی رنگ و شیل بوده و در پیرامون نمونه DB41 قرار دارد. این واحد و واحدهای Sr, gd, Ub بخش‌هایی از سری افیولیتی محسوب می‌گردند.

سنگهای بالا دست و پیرامون ناهنجاری شماره ۱ شامل واحدهای زیر است:

واحد Ub: شامل سنگهای اولترامافیک کم و بیش سرپانتینی است. این واحد، بالا دست و پیرامون تمام ناهنجاری‌های شماره ۱ را برابر گرفته و نسبت به واحدهای دیگر گسترش بیشتری دارد.

واحد gd: شامل توده‌های نفوذی و نیمه نفوذی گابرو-دیوریتی و میکرودیوریتیک گابرو است که اغلب سنگهای اولترامافیک بازالت‌های بالشی و یا سنگهای لگرگونی کرتاسه پسین را قطع کرده‌اند. این واحد به غیر از نمونه DB42 در بالا دست و پیرامون دیگر نمونه‌های ناهنجار نیز قرار دارد.

واحد Sr: شامل سرپانتنیت به همراه سنگهای اولترامافیک سرپانتینی بوده و در بالا دست نمونه‌های DB41 و DB42 قرار دارد.

واحد bpK: شامل گدازهای بازالتی بالشی به رنگ خاکستری تیره متمایل به سبز کمی حفره دار یا برشی شده همراه با سنگ آهک، آهک پلاژیک صورتی رنگ و شیل بوده و در پیرامون نمونه DB41 قرار دارد. این واحد و واحدهای Ub, gd, Sr بخش‌هایی از سری افیولیتی محسوب می‌گردند.

واحد Pa CS1: شامل کنگلومرای قرمز تا سبز رنگ همراه با شیل و عدسی‌های سنگ آهک

نمولیت دار با سن پالتوژن است قطعات کنگلومرا بیشتر از نوع سنگ‌های بازالتی کرتاسه پسین، سنگ‌های نفوذی گابرویی-دیوریتی و سنگ‌های بازالتی کرتاسه پسین، سنگ‌های نفوذی گابرویی-دیوریتی و سنگ‌های اولترامافیک است. این واحد در بالا دست نمونه‌های DB41, DB21, DB42 قرار دارد.

واحد Pa SC: شامل شیل، ماسه سنگ همراه با میان لایه‌های کنگلومرایی و عدسی‌های آهکی

است. بخش زیرین این واحد در امتداد گسل راندگی بر زیر سنگ‌های اولتراپازیک جای گرفته است. این واحد از گسترش کمتری برخوردار بوده و بر بالا دست نمونه DB21 قرار دارد.

از نظر زمین شناسی ساختمانی محدوده ناهنجار به تقریب در بین دو گسله راندگی بالابان (در جنوب ناهنجاری) والند (بر بخش شمالی ناهنجاری) قرار دارد. در امتداد گسل دیزج الند بازالت‌های بالشی به سمت جنوب با ختر حرکت کرده و بر روی نهشته‌های پالتوسن، سنگ‌های اولترامافیک و گابرو-دیوریتی رانده شده است. گسل راندگی بالابان سنگ‌های اولترامافیک و گابرو دیوریتی را بر روی سنگ‌های رسوبی پالتوسن-ائوسن رانده است. گسله‌های دیگری در بین این دو راندگی با راستای به تقریب شمال باختری-جنوب خاوری و شمال خاوری-جنوب باختری در روی نقشه ۱:۱۰۰،۰۰۰ زمین شناسی دیزج مشخص گردیده است.

ناهنجاری شماره ۲ شنیلت

ناهنجاری شماره ۲ شنیلت از نظر موقعیت بر برگه ۱:۵۰،۰۰۰ بلسور سفلی و در

خاوری پرگه قرار دارد. این ناهنجاری وسعتی به تقریب ۸ کیلومتر مربع داشته و با شماره DB46 روی پرگه مشخص است. این نمونه حاوی ۹۶٪ گرم در تن شیلیت بوده که بعد از بروموفرم کیری این مقدار به ۱۰٪ (درصد) در بخش غیر مغناطیسی کانی سنگین رسیده است. سنگهای بالا دست این ناهنجاری شامل گدازهای بازالتی بالشی است (واحد K^{bp}) که باتودهای نیمه نفوذی و نفوذی میکروگابرویی و گابرو دیوریت (واحد g^d) قطع شده است.

از نظر زمین‌شناسی ساختمانی به تقریب در بخش جنوبی محدوده ناهنجاری گسلهای با راستای شمالی-جنوبی و شمال خاور-جنوب باختر قابل مشاهده است. لازم به ذکر است محل ایستگاه نمونه برداری در رویالند و روی گسله با راستای شمال خاور-جنوب باختر قرار دارد.

ناهنجاری شماره ۴ شئلیت

ناهنجاری شماره ۴ شئلیت از نظر موقعیت در برگه ۱:۵۰،۰۰۰ بلسور سفلی و به تقریب در ۵۰۰ متری خاور روستای چکمه زر قرار دارد. این ناهنجاری مربوط به نمونه با شماره DB55 بوده و حاوی ۱۰ نرخ شئلیت در بخش غیر مغناطیسی کانی سنگین (NM) است. بیگر کانی های همراه شامل سیناپر (۵ نرخ)، پیروکسن (۵۲۵ گرم در تن)، زیرکن (۵/۴۶ گرم در تن)، مگنتیت (۱۰۸۱/۶ گرم در تن)، اپیدوت (۸۷/۰۴ گرم در تن)، کلریت (در حد ۱ نرخ)، هماتیت (۱۶۵۳/۶ گرم در تن)، کرومیت (۲۳۹/۲ گرم در تن) و شاموزیت (در حد ۱ نرخ) است. از حدود ۱ کیلومتر بالاتر از این نمونه، نمونه بیگری با شماره DB56 برداشت گردید که فاقد شئلیت می باشد. سنگهای بالا دست و پیرامون این ناهنجاری شامل تناوب شیل و ماسه سنگ همراه با میان لایه های کنگلومرا و به طور همراه با سنگ آهک (واحد K^s)، گدازه های بازالتی بالشی همراه با سنگ آهک پلاژیک صورتی رنگ و شیل (واحد K^{bp}) و دایکه های دیابازی سبر تیره (واحد di) است. این واحدها بخشی هایی از سری افیولیتی محسوب می گردند از نظر زمین شناسی ساختمانی در این محدوده یک گسله با روند شمال خاوری - جنوب باختری واحدهای K^s و K^{bp} را قطع کرده است.

ناهنجاری شماره ۵ شئلیت

ناهنجاری شماره ۵ شئلیت از نظر موقعیت در برگه ۱:۵۰،۰۰۰ بلسور سفلی و به تقریب در جنوب برگه قرار دارد. این ناهنجاری وسعتی به تقریب ۱۰ کیلومتر مربع داشته و مربوط به نمونه با شماره DB7 می باشد. این نمونه حاوی ۴ نرخ شئلیت در بخش غیر

مغناطیسی کانی سنگین است. دیگر کانی‌ها شامل باریت (در حد ۱ نره)، مگنتیت (۲۹۹/۵۲) گرم در تن)، هماتیت (۱۱۴/۴۸ گرم در تن)، اپیدوت (۸۹۷/۶ گرم در تن)، گارنٹ (در حد ۱ نره)، آپاتیت (۲/۴۸ گرم در تن)، زیرکن (۵/۶۴ گرم در تن) و عنصر نقره (در حد ۲ نره) است. وجود نقره در حد ۲ نره به همراه کانی شئلیت و دیگر کانی‌ها به اهمیت اکتشافی این محدوده افزوده است.

سنگ‌های بالا دست و پیرامون این ناهنجاری شامل متاولکانیک‌های سبز رنگ (واحد Mt) به همراه سنگ آهک بلورین خاکستری، کالک‌شیست و سنگ آهک نگرگون نشده (واحد Mb) است.

از نظر زمین‌شناسی ساختمانی در این محدوده گسله با راستای شمال باختری-جنوب خاوری که هر دو واحد را قطع کرده است قابل مشاهده می‌باشد.

ناهنجاری شماره ۶ شئلیت

ناهنجاری شماره ۶ شئلیت از نظر موقعیت در برگه ۱:۵۰،۰۰۰ کردکندي و در بخش شمال خاوری برگه قرار دارد. این ناهنجاری وسعتی به تقریب ۸ کیلومتر مربع داشته و شامل نمونه با شماره DK97 است. این نمونه حاوی ۸ نره شئلیت در بخش غیر مغناطیسی کانی سنگین است. دیگر کانی‌های همراه آن شامل مولیبدنیت (در حد ۱ نره)، سینابر (۲ نره)، مگنتیت (۲۰۶۲/۲۶ گرم در تن)، اپیدوت (۲/۹۲ گرم در تن)، گارنٹ (۵۸۸/۸ گرم در تن)، کرومیت (در حد ۱ نره)، آپاتیت (۵/۱۲ گرم در تن) و کلریت و اپیدوت (در حد ۱ نره) است. وجود شئلیت همراه با مولیبدنیت، سینابر و دیگر کانی‌ها می‌توانند از نظر اکتشافی قابل توجه

باشد.

سنگ‌های بالا دست و پیرامون این ناهنجاری شامل واحد gr و Mb و Mt است. واحد gr شامل توده‌های نفوذی گرانودیوریتی آمفیبول دار و دیوریتی است که شیسته‌های سبزرنگ و متاولکانیک‌های کرتاسه پسین-پالئوسن را قطع کرده است. در ناحیه مورد مطالعه این واحد تنها در این محدوده رخنمون محدودی دارد.

ناهنجاری شماره ۷ شئیلت

ناهنجاری شماره ۷ شئیلت از نظر موقعیت در برگه ۱:۵۰,۰۰۰ کریکندی و در نزدیک روستای ملحملو پایین (حدود ۱۵۰ متری روستا) قرار دارد. این ناهنجاری دارای شماره DK96 بوده و حاوی ۸ نرخه در بخش NM است. از دیگر کانی‌های همراه آن می‌توان به مگنتیت (۴۱۲/۷۱ گرم در تن)، هماتیت (۱۶۵۴/۲۴ گرم در تن)، هماتیت، گوتیت، پیریت، اپیدوت و کرومیت (در حد ۱ نرخه) اشاره کرد.

سنگ‌های بالا دست این ناهنجاری شامل واحدهای K^t , K^s , Q_2^{bp} است که به شرح آنها پیشتر پرداخته شد.

ناهنجاری کانی‌های مس

بر ورقه ۱:۱۰۰،۰۰۰ نیزج از ۹۷ نمونه برداشت شده، ۵ نمونه (به تقریب ۵ برصد کل نمونه‌ها) حاوی کانی‌های مس است. کانی‌های مس، شامل مالاکیت، کوولیت و بیابولیت بوده و در سه محدوده از ناحیه مورد مطالعه گسترش دارد. شرح مختصری از آنها به قرار زیر است:

ناهنجاری شماره ۱ کانی‌های مس :

ناهنجاری شماره ۱ کانی‌های مس، از نظر موقعیت در برگه ۱:۵۰،۰۰۰ بلسور سفلی و کردکنی قرار دارد. این ناهنجاری وسعتی به تقریب ۵ کیلومتر مربع داشته و شامل نمونه با شماره‌های DB62، DB63 و DK69 است. شرح مختصری از آنها به قرار زیر است.

: نمونه DB63

نمونه DB63 از نظر موقعیت در برگه ۱:۵۰،۰۰۰ بلسور سفلی و به تقریب در حدود ۲۵۰ متری باختر روستای جنگه سر قرار دارد. کانی مس دار در این نمونه مالاکیت (در حد ۲ ذره) و بیابولیت (در حد ۱ ذره) می‌باشد. از کانی‌های مهم کانسار ساز در این نمونه می‌توان به گالن (۷/۷۲ گرم در تن)، سروزیت (۴۰/۲ گرم در تن)، شئلیت (در حد ۲ ذره) اسمیت زونیت (۱/۸۱) گرم در تن)، همی مورفیت (۰/۴۲ گرم در تن)، پیرومorfیت و اسفالریت (در حد ۱ ذره) اشاره کرد که از نظر اکتشافی (به عنوان مثال اکتشاف کانسارهای ماسیو سولفاید) حائز اهمیت باشند. بیگر کانی‌های همراه شامل باریت (۸۱/۲۷ گرم در تن)، هماتیت (۴۷/۱۱۲۵ گرم در تن)، مگنتیت (۰/۴۸۲ گرم در تن)، پیریت اکسیده (۲۸/۷۸ گرم در تن)، لیمونیت (در حد ۱ ذره)، و

کرومیت (۷/۵۹ گرم در تن) است.

لازم به نظر است فرمول کانی دیابولیت $Pb_2Cl_2(OH)_2$ ، همی مورفیت H_2O و پیرومورفیت $Si_4Zn_4Cl_3(PO_4)_5Pb_5$ است.

نمونه DB62: نمونه DB62 از نظر موقعیت در برگه ۱:۵،۰۰۰ بلسور سفلی و در حدود ۲۰۰ متری شمال باختری روستای جنگه سرقرار دارد. کانی مس دار در این نمونه مالاکیت بوده و در حد ۱ ذره است. دیگر کانی‌های همراه و مهم در این نمونه می‌توان به کالن (در حد ۵ ذره)، سروزیت (در حد ۱ ذره)، باریت (۱۰/۳ گرم در تن)، پیریت (۱۴۴ گرم در تن)، هماتیت (۵۸۵/۱۲ گرم در تن)، مگنتیت (۴۹۹/۲ گرم در تن)، پیریت اکسیده (۷۲۰ گرم در تن)، آپاتیت (۵۲/۷۶ گرم در تن) و گوتیت (۸۰/۲۶ گرم در تن) اشاره کرد.

سنگ‌های بالا دست و پیرامون نمونه‌های DB63 و DB62 به قرار زیر می‌باشد:

واحد bp K: شامل گدازه‌های بازالتی با ساختمان بالشی به رنگ خاکستری تیره متمایل به سبز تیره است که در برخی موارد حفره دار و برشی است. در این محدوده، این واحد از گسترش قابل توجهی برخودار بوده و نسبت به واحدهای دیگر و نزدیک‌تر به ایستگاه نمونه برداری است:

واحد gd: شامل توده‌های گابرو - دیوریتی و میکرو‌دیوریتیک گابرو است که بازالت بالشی را قطع کرده است.

واحد K^d : شامل گدازه‌های اسپیلیتی به رنگ خاکستری تیره متمایل به سبز است. این واحد و واحدهای K^{bp} و gd بخش‌هایی از سری افیولیتی محسوب می‌گردند.

واحد PI^m : این واحد شامل توده‌های نفوذی نیمه ژرف با ترکیب میکروکوارتز مونزونیت پورفیری تا میکرومونزودیوریت کوارتز دار و میکرولینیت است که با رخنمون محدود و گند مانند، بازالت‌های بالشی و یا شیل‌های کرتاسه پسین را قطع کرده است.

واحد Ng^{an} : شامل گدازه‌های برشی شده آندزیتی - تراکی آندزیتی به همراه سنگ‌های آذر آواری است. سنگ‌های آتشفسانی در برخی موارد دگرسانی آلونیتی، کائولینیتی، سرسیتی و سیلیسی شده است. در محدوده ناهنجار این واحد نیز از گسترش قابل توجهی برخوردار بوده اما نسبت به ایستگامهای نمونه برداری در فاصله دورتری نسبت به واحدهای دیگر قرار دارد.

واحد PI^{pt} : شامل گدازه تراکیتی - تراکی آندزیتی پورفیری تا مگاپورفیری است که بصورت جریان گدازه بر روی سنگ‌های آندزینی واحد Ng^{an} قرار گرفته و یا بصورت دایک آنها را قطع کرده است.

نمونه DK69: نمونه DK69 از نظر موقعیت در برگه ۱:۵۰،۰۰۰ کردکندي و در حدود ۲/۵ کیلومتری جنوب باختری روستای گاپوت قرار دارد. کانی مس دار در این نمونه کوولیت با

فرمول CUS بوده و در حد ۲ نرخ در بخش غیر مغناطیسی کانی سنگین (NM) است. از دیگر کانی‌های کانسار ساز در این محدوده که می‌تواند از جنبه اکتشافی مفید باشند می‌توان به گالن (۷/۵ گرم بر تن)، سروزیت (۲/۶ گرم بر تن)، سیناپر (۴۰ گرم در تن)، NM، اسمیت زونیت (۱/۷۶ گرم بر تن)، اسفالریت (۸/۰ گرم بر تن)، همی مورفیت و کرومیت (در حد ۱ نرخ) اشاره کرد. دیگر کانی‌های همراه شامل باریت (در حد ۱ نرخ)، آپاتیت (۲۹/۴ گرم بر تن)، زیرکن (۴/۷ گرم بر تن)، مگنتیت (۷۹/۰ گرم بر تن)، هماتیت (۹۲۲/۸ گرم بر تن)، اپیدوت (۲/۸۱ گرم بر تن) و لیمونیت (۴۲/۵۶ گرم بر تن) اشاره کرد.

سنگ‌های بالا دست این ناهنجاری شامل واحدهای PE^{vls}, PI Pt Ng^b an, K^b نخست پیشتر (در نمونه‌های DB63, DB62) اشاره شد و در اینجا تنها به توصیف مختصر واحد PE^{vls} پرداخته می‌شود.

واحد PE^{vls}: این واحد شامل جریان‌های گدازه بازالتی حفره دار همراه با سنگ آهک، شیل است. سن این واحد ائوسن پیشین - ائوسن میانی مشخص گردیده است.

ناهنجاری شماره ۲ کانی‌های مس
ناهنجاری شماره ۲ کانی‌های مس، از نظر موقعیت در برگه ۱:۵۰,۰۰۰ کردکنده و به تقریب در ۱ کیلومتری شمال خاوری روستای بغلچی بالا قرار دارد. این ناهنجاری وسعتی به تقریب ۲۱ کیلومتر مربع داشته، شامل نمونه با شماره DK65 است. کانی مس دار در این نمونه مالاکیت (در حد ۱ نرخ) و دیابولیت (در حد ۱ نرخ) است. از کانی‌های مهم کانسار ساز در این

نمونه می‌توان به گالن (۱۵/۹۷ گرم در تن)، سروزیت (۸/۳۱ گرم در تن)، اسمیت زونیت (۱/۱۲ گرم در تن) سیناپر (بیش از ۲۰۰ نره در بخش NM کانی سنگین)، همی مورفیت، اسفالریت و پیرومورفیت (بر حد ۱ نره) اشاره کرد. دیگر کانی‌ها شامل پاریت (۷۶/۶۸ گرم در تن)، فلوریت (بر حد ۱ نره)، مگنتیت (۱۲۶۲/۶۶ گرم در تن)، هماتیت (۱۷۶۱/۰۸ گرم در تن)، اپیدوت (۱۸۸/۲۹ گرم در تن)، زیرکن (۲۰/۰۱ گرم در تن)، پیریت اکسیده (۲۷۶/۹ گرم در تن) و ... است.

سنگ‌های بالا دست و پیرامون این ناهنجاری شامل واحدهای K^{bp} , PE_1^{vlS} , $Q1^t$, $Q2^t$ می‌باشد. شرح مختصری از آنها به قرار زیر است:

واحدهای K^{bp} و PE^{vlS} : به شرح این واحد پیشتر پرداخته شد.

واحد PE_1 : شامل سنگ آهک نومولیت دار خاکستری روشن همراه با شیل پالئوسن پسین - ائوسن پیشین است. بر محدوده ناهنجار این واحد و واحد K^{bp} از گسترش قابل توجهی برخودار هستند.

واحد K^{lv} : این واحد شامل سنگ‌های آهک پلازیک به رنگ صورتی همراه با جریان‌های گدازه بازالتی است. این واحد و واحد K^{bp} بخشی از سری افیولیتی محسوب می‌گردد.

واحدهای $Q1^t$ و $Q2^t$: شامل پارگانه‌های آبرفتی قدیم و جدید است.

از نظر زمین شناسی ساختمانی در این محدوده گسله امتداد لغز با راستای به تقریب شمال باختر - جنوب خاور و گسلهای با راستای به تقریب شمال خاور - جنوب باختر قابل مشاهده است. این گسلهای از نظر موقعیت در باختر روستای خان کندی قرار دارد.

ناهنجری شماره ۳ کانی‌های مس:

ناهنجری شماره ۳ کانی‌های مس، از نظر موقعیت در برگه ۱:۵۰،۰۰۰ بلسور سفلی (به تقریب در بخش جنوبی برگه) قرار دارد. این ناهنجاری وسعتی به تقریب ۸ کیلومتر مربع داشته و شامل نمونه با شماره DB13 است. کانی مس دار در این نمونه مالاکیت در حد ۲ نره است. بیکر کانی‌های همراه آن شامل پیریت ($114/8$ گرم در تن)، مگنتیت ($527/26$ گرم تن)، هماتیت ($1024/25$ گرم در تن)، اپیدوت ($2068/7$ گرم در تن) و پیریت اکسیده (۲۲/۹۶ گرم در تن) و ... است.

از موارد مهم در این محدوده می‌توان به وجود رگه سیلیسی مس دار (بیشتر به صورت مالاکیت و کالکوپیریت به همراه پیریت)، آلتراسیون لیمونیتی، طلا در دو نمونه کانی سنگین (نمونه‌های با شماره DB12، DB11) در بالا درست آن اشاره کرد. لازم به ذکر است نمونه‌های (نمونه‌های طلا به تقریب در حدود ۱ کیلومتری بالا دست نمونه DB13) قرار دارند.

سنگ بالا دست و پیرامون این ناهنجاری شامل متاولکانیک سبز رنگ همراه شیست سبز و سنگ آهک بلورین (واحد Mt) است.

ناهنجاری‌های کانی‌های سرب و روی

بر ورقه ۱:۱۰۰،۰۰۰ بیزج کانی‌های سرب و روی شامل کانی‌های گالن (Pbs)، سروزیت (PbS)، سرب خالص (Pb)، دیابولیت (Pb₂CuCl₂(OH)₃Cl₅)، پیرومورفیت (PbCO₃·Si₂O₇(OH)₂·H₂O)، اسفالریت (ZnS)، اسمیت زونیت (ZnCO₃) و همی مورفیت (Pb) است. این کانی‌ها به طور عمده در سه محدوده از ناحیه مورد مطالعه متمرکز شده‌اند که از Zn مهمترین آنها می‌توان به ناهنجاری پیرامون روستای بغلچی بالا اشاره کرد. شرح مختصراً از آنها به قرار زیر است:

ناهنجاری شماره ۱ کانی‌های سرب و روی

ناهنجاری شماره ۱ کانی‌های سرب و روی از نظر موقعیت در برگه ۱:۵۰،۰۰۰ کردکندي قرار دارد. این ناهنجاری از پیرامون روستای جنگه سر با راستای شمال باختر - جنوب خاور تا جنوب خاوری روستای خان کشیده شده است وسعت آن به تقریب ۱۱۰ کیلومترمربع بوده و شامل نمونه‌های با شماره‌های DK63، DK65، DK66، DK68، DK69، DK70 و DB62 است. در اینجا به دلیل حائز اهمیت بودن آنها مورد بررسی قرار می‌گیرند.

نمونه DK65: نمونه DK65 از نظر موقعیت به تقریب در ۱ کیلومتری شمال خاوری روستای بغلچی بالا قرار دارد. کانی‌های سرب و روی در این نمونه شامل گالن (۱۵/۹۷ گرم در تن)، سروزیت (۸/۳۱ گرم در تن)، اسمیت زونیت (۱/۱۲ گرم در تن)، اسفالریت، همی مورفیت، دیابولیت و پیرومورفیت (در حد ۱ ذره) می‌باشند. مقادیر کانی‌های گالن، سروزیت و اسمیت

زونیت بعد از بروموفرم گیری به ترتیب به ۱۲/۰، ۱۵/۰ و ۲۵/۰ نر صدیر بخش غیر مغناطیسی کانی سنگین (بخش NM) رسیده است. دیگر کانی های با اهمیت شامل سیناپر (بیش از ۲۰۰ نر در بخش NM)، مالاکیت (در حد ۱ نر)، کرومیت (۵۰/۹۵ گرم در تن)، باریت (۷۶/۶۸ گرم در تن)، فلوریت (در حد ۱ نر)، اپیدوت (۱۸۸/۲۹ گرم در تن)، هماتیت (۱۷۶۱/۰۸ گرم در تن)، منیتیت (۱۲۶۲/۶۶ گرم در تن)، بیوتیت (در حد ۱ نر)، پیریت اکسیده (۲۷۶/۹ گرم در تن) و زیرکن (۲۰/۰۲ گرم در تن) است. این مجموعه کانی های فوق از نظر اکتشافی حائز اهمیت بوده و هر یک از آنها می تواند راهنمای اکتشافی خاصی را بر اختیار بگذارد. سنگ های بالادست و پیرامون ناهنجاری شامل واحد های زیر است:

K^{bp}: شامل گدازه های بازالتی با ساختمان بالشی به رنگ خاکستری تیره متمایل به سبز تیره است که در برخی موارد حفره دار و برشی است این واحد از گسترش به نسبت بیشتری برخوردار بوده و در پیرامون ایستگاه نمونه برداری قرار دارد.

PE^{Vls}: شامل جریان های گدازه بازالتی حفره دار همراه با سنگ آهک متمایل به قرمز و شیل الوان است.

Ng^{ad}: شامل جریان های گدازه آندزیتی - داسیتی همراه با توف برشی با ترکیب ریوداسیتی و لتیک توف و توفیت است این واحد بصورت ناپیوسته بر روی سطوح فرسایشی بازالت های بالشی کرتاسه پسین و سنگ های آهکی پالئوسن - ائوسن قرار گرفته است. این

واحد و واحد PE^{vls} به تقریب در فاصله ۲ کیلومتری نمونه قرار گرفته و بیشتر در پیرامون نمونه DK66 واقع است.

واحد Ng^{an} : شامل جریان گدازه و گدازه برشی شده آندزیتی - تراکی آندزیتی به همراه سنگهای آنر آواری است. سنگهای این واحد بر روی واحد K^{bp} جای گرفته است. بر برخی موارد سنگهای آتشفسانی این واحد به آلوویت، کائولینیت، سریسیت و سیلیس دگرسان شده اند. این واحد، نسبت به واحدهای بیگر در فاصله دورتر از ایستگاه نمونه برداری قرار دارد.

واحد PE_1^1 : شامل سنگ آهک نومولیت دار همراه با شیل پالئوسن پسین - ائوسن پیشین است.

واحد K^{lv} : شامل سنگهای آهکی پلازیک همراه با جریان‌های گدازه بازالتی است. این واحد و واحد K^{bp} بخش‌هایی از سری افیولیتی محسوب می‌شوند.

واحد Q_1^t : شامل پادگانهای آبرفتی قدیم کواترنری است. از نظر زمین‌شناسی ساختمانی در بخش خاور ایستگاه نمونه برداری گسله امتداد لغز با راستای شمال باختر - جنوب، جنوب خاور و گسله با راستای عمومی شمال خاور - جنوب باختر قابل مشاهده است.

نمونه DK66 : نمونه DK66 از نظر موقعیت به تقریب در ۲ کیلومتری جنوب روستای بغلچی بالا قرار دارد. این نمونه نیز حاوی کانی مهم کانسار ساز و با اهمیت سرب و روی است. این کانی ها شامل کانی های گالن (۵/۷ گرم در تن)، سروزیت (۰/۷۸ گرم در تن) و اسمنیت زوئیت (۰/۵۳ گرم در تن) بوده که بعد از بروموفرم گیری این مقادیر به ترتیب به بیش از ۵۰ نرخه، ۰/۰۳ درصد و ۰/۰۳ درصد در بخش غیر مغناطیسی کانی سنگین رسیده است که می تواند قابل توجه باشد. البته کانی های سینابر و همی مورفیت نیز در حد ۱ نرخه در بخش NM مشاهده شده است. از دیگر عناصر و کانی مهم در آن می توان به وجود طلا و نقره (در حد ۱ نرخه)، سینابر (بیش از ۵۰ نرخه)، باریت (۶/۳ گرم در تن)، پیریت اکسیده (۵۶ گرم در تن)، اپیدوت (۸/۴ گرم در تن)، لیمونیت (۵۶/۴۲ گرم در تن)، هماتیت (۸۲۶/۸ گرم در تن)، آپاتیت (۲/۲ گرم در تن)، منیتیت (۴/۷۹ گرم در تن) و گارنت (۴/۴۸ گرم در تن) اشاره کرده. سنگهای بالا دست، پیرامون این نمونه شامل واحدهای Ng^{at} , PE^{vls} , Ng^{ad} است که در نمونه DK65 به شرح آنها پرداخته شد.

نمونه DK68 : نمونه DK68 از نظر موقعیت به تقریب در ۵/۲ کیلومتری جنوب خاوری روستای خان قرار دارد کانی سرب در این نمونه گالن و در حد ۲ نرخه در بخش NM کانی سنگین است. از دیگر کانی های همراه آن می توان به سینابر (بیش از ۴۰ نرخه)، باریت (در حد ۱ نرخه) پیریت (۱/۲۴ گرم در تن)، هماتیت (۱۱ گرم در تن)، کرومیت (۴/۹۶ گرم در تن)، اپیدوت (۹/۲۵ گرم در تن) و گوتیت (۹/۲۲ گرم در تن) اشاره کرد. سنگهای بالا دست و پیرامون این نمونه شامل واحد PE_1 , K^{bp} , Ng^{ad} است که در نمونه

نمونه DK65 به شرح آنها پرداخته شد.

نمونه DK70: نمونه DK70 از نظر موقعیت به تقریب در ۶ کیلومتری جنوب باختری روستای کاپوت قرار دارد. این نمونه حاوی کانی‌های با اهمیت گالن (در حد ۱ نره)، اسمیت زونیت (در حد ۱ نره)، سروزیت (در حد ۱ نره)، سینابیر (بیش از ۱۰ نره)، باریت (۱ نره)، مگنتیت (۲۹۵۲ گرم بر تن)، لیمونیت (۲۲/۸ گرم بر تن)، اپیدوت (۲۰۴ گرم بر تن)، هماتیت (۴۴۵۲ گرم بر تن)، پیریت اکسید (۲۰۰ گرم بر تن) و زیرکن (۱۶۹/۲ گرم بر تن) است.

سنگهای بالا دست و پیرامون آن شامل واحدهای PE^{vls} و Ng^{an} است که پیشتر به آنها پرداخته شد.

سنگهای بالا دست و پیرامون آن شامل واحدهای PE^2 و Ng^{an} است که پیشتر به آنها پرداخته شد.

نمونه DB62: نمونه DB62 از نظر موقعیت در برگه ۰۰۰۵۱:۱ بلسور سفلی قرار دارد. این نمونه حاوی کانی‌های گالن (در حد ۵ نره) سروزیت و مالاکیت (در حد ۱ نره)، باریت (۱۰/۳ گرم بر تن)، هماتیت (۱۲/۵۸۵ گرم بر تن)، مگنتیت (۲/۴۹۹ گرم بر تن)، پیریت اکسید (۷۲۰ گرم بر تن)، گوتیت (۲۶/۸۰ گرم بر تن) و آپاتیت (۷۶/۵۲ گرم بر تن) است.

نمونه DB63: نمونه DB63 از نظر موقعیت در برگه ۰۰۰۵۰:۱ بلسور سفلی و در حدود ۲۵۰ متری باختر روستای جنگه سر قرار دارد. این نمونه از نظر کانی زایی سرب و روی، مس و

تنگستن حائز اهمیت بوده و شامل کانی‌های گالن (۷/۷۲ گرم در تن)، سروزیت (۴/۰ گرم در تن)، اسمیت زونیت (۱/۸۱ گرم در تن)، همی مورفیت (۴/۰ گرم در تن)، اسفالریت (در حد ۱ نره)، پیرومورفیت و دیابولیت (در حد ۱ نره)، شئلیت (۲ نره) و مالاکیت (۲ نره) است. مقادیر چهار کانی نخست بعد از بروموفرم گیری به ترتیب به ۲۵، ۱۵، ۱ و ۳٪ درصد در بخش NM کانی سنگین رسیده است که می‌تواند قابل توجه و مهم تلقی شوند.

نمونه DK69: نمونه DK69 از نظر موقعیت در برگه ۱:۵۰،۰۰۰ کردکندی و در حدود ۲/۵ کیلومتری جنوب باختری روستای گاپوت قرار دارد. این نمونه از نظر کانی زایی سرب و روی حائز اهمیت بوده و شامل کانی‌های گالن (۷/۵ گرم در تن)، سروزیت (۲/۶ گرم در تن)، اسمیت زونیت (۱/۷۶ گرم در تن) اسفالریت ۸٪ گرم در تن است که این مقادیر بعد از بروموفرم گیری به ترتیب به ۲۵، ۱۰، ۰ و ۰/۰۵٪ درصد در بخش غیر مغناطیسی کانی سنگین رسیده است. از دیگر کانی‌های مهم می‌توان به کوولیت (۲ نره) سینابر بیش از (۴۰ نره)، همی مورفیت، کرومیت و باریت (۱ نره)، زیرکن (۴/۷ گرم در تن)، مگنتیت (۷۹۰/۴ گرم در تن)، هماتیت (۹۳۲/۹ گرم در تن)، اپیدو (۲/۸۱ گرم در تن) و لیمونیت (۴۲/۵۶ گرم در تن) اشاره کرد.

سنگهای بالا رست و پیرامون نمونه‌های DK69، DB62 و DB63 شامل واحدهای gd , PI^{m} , K^{bp} و PI^{pt} است که پیشتر در بخش ناهنجاری شماره ۱ مس به آنها پرداخته شد.

لازم به ذکر است وجود کانه‌های با اهمیت روی، سرب و مس، طلا و نقره و قابل توجه بودن

مقاییر سیناپر، باریت، لیموزیت و ... و در برخی موارد آلتراسیون‌های کائولینیتی، آلونیتی، سیلیسی و سربیتی و نیز لیتوولوژی مناسب نشان دهنده منطقه بسیار امید بخش از نظر کانسازی‌ای (به عنوان مثال کانسارهای ماسیو سولفاید و ...) است.

ناهنجاری شماره ۲ کانی‌های سرب و روی

ناهنجاری شماره ۲ کانی‌های سرب از نظر موقعیت در برگه ۱:۵۰۰۰۰ بلسور سفلی و به تقریب در پیرامون روستای بالابان قرار دارد این ناهنجاری وسعتی به تقریب ۱۷ کیلومتر مربع داشته و شامل نمونه‌های با شماره‌های DB24، DB25 و DB26 است. این ناهنجاری با توجه به اینکه با ناهنجاری شماره ۱ طلا انطباق و همپوشانی دارد و پیشتر به شرح آن پرداخته شد. در نتیجه در اینجا تنها به کانی‌های مهم و با اهمیت در نمونه‌ها اشاره می‌شود.

نمونه DB24: شامل گالن (در حد ۳ نره)، طلا (در حد ۲ نره)، سیناپر (۱ نره)، کرومیت (۱۲۲۹/۵۲) گرم در تن)، منیتیت (۲۴۲۲/۶ گرم در تن)، باریت (در حد ۱ نره)، هماتیت (۱۲/۷۸) گرم در تن)، پیریت اکسیده (۱/۵۶ گرم در تن)، اپیدوت (۸۸/۴ گرم در تن) و کارنت (در حد ۱ نره) است.

نمونه DB25: شامل گالن (در حد ۷ نره)، سروزیت (۱ نره)، طلا (۱ نره)، کرومیت (۶۴۴ گرم در تن)، هماتیت (۱۲۲/۵ گرم در تن)، سیناپر (۱ نره)، منیتیت (۲۴۴۴ گرم در تن)، باریت (۱ نره)، اپیدوت (۴۷۶ گرم در تن)، پیریت اکسیده (۱۵ گرم در تن) و کلریت (در حد ۱ نره) است.

نمونه DB26 : شامل گالن (در حد ۲ نرہ)، نقره (۳ نرہ)، طلا (۲ نرہ)، شئلیت (۳ نرہ)، کرومیت (۸۵۰/۰۸) گرم در تن، منیتیت (۱۷۳۸/۸۸ گرم در تن)، باریت (۱/۱۹ گرم در تن)، آپاتیت (۷/۰۴ گرم در تن)، لیمونیت (۱۰/۲ گرم در تن)، اولیوین (۹/۷۷ گرم در تن) است.

لازم به ذکر است که کانی‌های حاوی روی در این ناهنجاری دیده نشده و کانی‌های سرب دار شامل گالن (در هر ۲ نمونه) و سروزیت (نمونه DB25) است.

بطور کلی این محدوده از نظر وجود عناصر نقره و طلا و کانی‌های شئلیت، گالن، سینابر و کرومیت بسیار حائز اهمیت است. دیگر کانی‌ها می‌توانند به عنوان راهنمای اکتشافی مفید واقع گردند.

ناهنجاری شماره ۳ کانی‌های سرب و روی

ناهنجاری شماره ۲ کانی‌های سرب و روی از نظر موقعیت در برگه ۱:۵۰،۰۰۰ کردکندي و به تقریب بر ۱/۵ کیلومتری خاور-جنوب خاور روستای دوشان تپه قرار دارد. این ناهنجاری وسعتی به تقریب ۱۸ کیلومتر مربع داشته و شامل نمونه با شماره DK79 است. این نمونه حاوی ۲ نرہ گالن در بخش NW کانی «سنگین بوده و دیگر کانی‌های حاوی سرب و روی در آن دیده نشده است. کانی با اهمیت در آن به همراه عنصر نقره (در حد ۲ نرہ) شامل سینابر (بیش از ۶۰ نرہ)، مگنتیت (۸۹۷/۷۲ گرم در تن)، آپاتیت (۲/۶۶ گرم در تن)، پیریت اکسیده (۲۷/۲۵ گرم در تن)، اپیدوت (۱۲۷/۵۵ گرم در تن)، هماتیت (۱۱۹/۶۵ گرم در تن)، زیرکن (۹/۳۶ گرم در تن) و لیمونیت (در حد ۱ نرہ) است.

وجود نقره در حد ۲ نزهه با توجه به پاراژنز بوین آن با گالن و نیز با توجه به اینکه می‌تواند به صورت محلول جامد با آن باشد از نظر اکتشافی بسیار اهمیت پیدا می‌کند.

سنگ‌های بالا دست و پیرامون ناهنجاری شامل K^s , Ng^{an} و Q_1^t است که پیشتر به شرح آنها پرداخته شد. واحد K^s در این محدوده از گسترش قابل توجه و بیشتری برخوردار بوده و در پیرامون ایستگاه نمونه برداری قرار دارد.

ناهنجاری شماره ۴ کانی‌های سرب و روی

ناهنجاری شماره ۴ کانی‌های سرب و روی از نظر موقعیت در برگه ۱:۵۰،۰۰۰ ناور و به تقریب در ۲ کیلومتری جنوب خاوری روستای شیخ سلوی علیا در نزدیک مرز ایران - ترکیه قرار دارد. این ناهنجاری وسعتی به تقریب ۱۶ کیلومتر مربع داشته و شامل نمونه با شماره DK77 است. این نمونه حاوی گالن (۲ نزهه)، نقره (۱ نزهه)، لیمونیت (۱۲/۶۴ گرم در تن)، اپیdot (۱۹۹/۷۲ گرم در تن)، بیوتیت (۸۹/۷ گرم در تن)، پیریت اکسیده (۱۴۹/۵۲ گرم در تن)، مگنتیت (۲۱۱۰/۳۷ گرم در تن)، آپاتیت (۸/۵۴ گرم در تن) و زیرکن (۲۵/۱ گرم در تن) است.

سنگ‌های بالا دست و پیرامون این ناهنجاری شامل واحدهای زیر است:

واحد K^t : شامل چرت رادیولر و آهن دار به رنگ بنفش و قهوه‌ای سوخته است. در محدوده ناهنجار این واحد از گسترش قابل توجهی برخوردار بوده و بیشتر در بخش باختری آبراهه قرار دارد.

واحد K^S : شامل تناوب شیل و سیلتستون همراه با میان لایه‌های ماسه سنگ و کنگلومرا است. این واحد نیز گسترش قابل توجهی داشته و در بخش خاوری آبراهه قرار دارد.

واحد Ng^{an} : شامل جریان‌های گدازه و گدازه برپشی شده آندزیت - تراکی آندزیت به همراه سنگ‌های آذر آواری است که در برخی موارد دگرسان شده‌اند.

واحد pt^{pl} : شامل گدازه تراکیتی - تراکی آندزیت پورفیری تامکاپورفیری که بصورت جریان گدازه بر روی سنگ‌های آندزیتی واحد Ng^{an} قرار گرفته و یا بصورت دایک آنها راقطع کرده است. این واحد گسترش محدودتری داشته و در فاصله به نسبت دوری از ایستگاه نمونه‌برداری قرار دارد.

واحدهای Q_1^t, Q_2^t : شامل پادگان‌های آبرفتی قدیم و جدید است.

ناهنجاری شماره ۵ کانی‌های سرب و روی
ناهنجاری شماره ۵ کانی‌های سرب و روی از نظر موقعیت در برگه ۱:۵۰،۰۰۰ بلسرور سفلی و به تقریب در پیرامون روستای قزل آغل قرار دارد. این ناهنجاری شامل نمونه‌های با شماره‌های DB58 و DB60 می‌باشد. شرح مختصری از آنها به قرار زیر است:

نمونه DB58 : نمونه DB58 از نظر موقعیت به تقریب در ۷۰۰ متری جنوب خاوری روستای قزل آغل قرار دارد. این نمونه حاوی گالن (۲ نره)، سروزیت (۱ نره)، طلا (۲ نره)، سیناپر (۱۰ نره)، فلوریت (۱ نره)، کرومیت (۴/۲۵ گرم در تن)، منیتیت (۶۵۶/۶۴ گرم در تن)، هماتیت (۱۰ نره)، پیریت اکسیده (۱۲۶/۹۲ گرم در تن)، بیوتیت (بر حد ۱ نره) و گارنت (۲۲۵/۲۷ گرم در تن) است. بدین جهت هر یک از آنها می‌تواند راهنمای اکتشافی خاصی را در (۲۶/۹۶ گرم در تن) داشته باشد. بگذارد.

سنگهای بالا دست و پیرامون این نمونه شامل واحد K^{bp} است که پیشتر به شرح آن پرداخته شده است.

نمونه DB60 : نمونه DB60 از نظر موقعیت به تقریب در ۱ کیلومتری شمال باختری روستای قزل آغل قرار دارد. این نمونه حاوی مجموعه کانی‌های گالن (۲ نره)، آپاتیت (۴۱/۴۷ گرم در تن)، اپیدوت (۳۶۷/۲ گرم در تن)، هماتیت (۸۸/۶۴ گرم در تن)، کرومیت (بر حد ۱ نره)، پیریت اکسید (۱۰/۸ گرم در تن)، گارنت (۸۶/۴ گرم در تن) و مگنتیت (۵۹۹/۰ گرم در تن) می‌باشد که می‌توانند به عنوان راهنمای اکتشافی مفید واقع شوند.

سنگهای بالا دست و پیرامون این نمونه شامل K^{bp} و gd (به طور محدودیت) است که پیشتر به شرح آن پرداخته شده است.

دیگر ناهنجاری‌های کانی‌های سرب و روی
دیگر ناهنجاری‌های کانی‌های سرب و روی شامل نمونه‌های با شماره DB40, DB36, DK91,

DB45 و DB49 می باشد. شرح مختصری از آنها به قرار زیر است:

نمونه DK91: نمونه DK91 از نظر موقعیت در برگه ۱:۵۰،۰۰۰ کریکندی و در پیرامون روستای محرز قرار دارد. این ناهنجاری وسعتی به تقریب ۱۰ کیلومتر مربع داشته و حاوی عنصر طلا (۲ نرخ) کانی های گالن (۲ نرخ)، اسمیت زوئیت (۱ نرخ)، سیناپر (۵ نرخ)، مگنتیت (۶/۵۶ گرم در تن)، هماتیت (۸/۴۰ گرم در تن)، لیمونیت (۹/۵۸ گرم در تن)، گوتیت (۹/۱۱ گرم در تن)، زیرکن (۸/۴۱ گرم در تن)، آپاتیت (۲/۱۸ گرم در تن) و اپیدوت (۶/۷۶ گرم در تن) است. سنگهای بالا دست و پیرامون این ناهنجاری شامل واحدهای زیر است.

واحد K^{bp} : شامل گدازهای بازالتی با ساختمان بالشی است. این واحد بخشی از سری افیولیتی محسوب می گردد.

واحد K^s : شامل تناوب شیل و سیلاتستون همراه با میان لایه های ماسه سنگ و کنگلومرا است. گسترش این واحد نسبت به واحد K^{bp} محدودتر بوده و در نزدیک و پیرامون ایستگاه نمونه برداری قرار دارد.

واحد Q_2^t : شامل پارگانه های آبرفتی جدید کواترنری است. لازم به ذکر است این نمونه به تقریب در نزدیک (حدود ۵۰ متری) محل برخورد آبراهه (با جهت

آبریز خاوری) با گسله با راستای شمال باختر - جنوب خاور برداشت گردیده است.

نمونه DB36: نمونه DB36 از نظر موقعیت در برگه ۱:۵۰،۰۰۰ بلسور سفلی و به تقریب در ۲ کیلومتری باختر روستای بلسور سفلی در مرز ایران - ترکیه قرار دارد. این ناهنجاری وسعتی به تقریب ۱۰ کیلومتر مربع داشته و حاوی کانی های گالن (۱ نره)، سروزیت (۱ نره)، سیناپر (۵ نره)، هماتیت (۶۹۶/۴۲ گرم در تن)، مگنتیت (۹۱/۱ گرم در تن)، پیریت اکسیده (۷/۶۵ گرم در تن)، اولیژیست (۱۹/۶ گرم در تن)، آپاتیت (۷/۲۲ گرم در تن) است.

سنگهای بالا است این نمونه شامل آهک پلاژیک صورتی رنگ (واحد P^I) با گدازه های بازالتی K^{IV} و به طور محلی همراه با چرت رادیولاریت دار (واحد K^{IV}) است. واحد P^I نسبت به واحد K^{IV} گسترش خیلی کمتری داشته و در فاصله دورتری از ایستگاه نمونه برداری قرار دارد. از نظر زمین شناسی ساختمانی در پیرامون این نمونه بو گسله وجود دارد، یک گسله با راستای شمال باختری - جنوب خاوری که به تقریب در ۵۰ الی ۱۰۰ متری ایستگاه نمونه برداری قرار دارد. و گسله دیگر به تقریب در مرز شمالی محدوده ناهنجار مشخص گردیده است.

نمونه DB40: نمونه DB40 از نظر موقعیت در برگه ۱:۵۰،۰۰۰ بلسور سفلی و به تقریب در ۱ قسمت خاوری برگه قرار دارد. این نمونه حاوی عنصر طلا (در حد ۳ نره)، گالن (در حد ۱ نره)، سروزیت (در حد ۱ نره)، سیناپر (۱۰ نره)، کرومیت (۹۷/۱۰ گرم در تن)، هماتیت (۶/۲۴ گرم در تن)، مگنتیت (۲/۹۴ گرم در تن)، باریت (در حد ۱ نره)، کارنت (۴/۰۱ گرم

در تن)، اپیتوت (۷۷/۵۹ گرم در تن)، زیرکن (۱۵/۲۲ گرم در تن) و آپاتیت (۲۱/۲ گرم در تن) است.

سنگهای بالا دست و پیرامون این نمونه شامل واحد K^{bp} است که پیشتر به شرح آن پرداخته شد.

نمونه DB45: نمونه DB45 از نظر موقعیت در برگه ۰۰۰۱:۵۰ بلسور سفلی و به تقریب در ۱/۵ کیلومتری شمال خاوری روستای اللد قرار دارد. این نمونه حاوی کانی سرب گالن (در حد ۱ نره) و پیرومورفیت (در حد ۲ نره) است. از دیگر کانی‌های همراه آن می‌توان به مگنتیت (۶۶۶۲/۸ گرم در تن)، پیروکسن (۹۹۰/۲۵ گرم در تن)، هماتیت (۱۶۷۹/۴ گرم در تن)، گوتیت (۱۶۴/۰۳ گرم در تن)، اپیتوت (۱۲۶/۷۵ گرم در تن)، آپاتیت (۱۰۴/۲۸ گرم در تن) اشاره کرد.

سنگهای بالا دست این نمونه شامل واحدهای K^{bp} , gd , di , Ks است. لازم به ذکر است از قسمت بالا دست این نمونه (به تقریب ۲/۵ کیلومتری آن) ۲ نمونه کانی سنگین (از دو آبراهه) با شماره‌های DB44 و DB42 برداشت گردید. که در نمونه DB43 کانی‌های سرب دار دیده نشده و شامل ناهنجاری کرومیت (۱۰۷/۱۸ گرم در تن) است و لی نمونه DB44 حاوی کانی‌های گالن (در حد ۲ نره)، پیرومورفیت (۳ نره) و سروزیت (در حد ۱ نره) در بخش غیر مغناطیسی کانی‌های سنگین می‌باشد.

سنگهای بالا دست و پیرامون این نمونه شامل واحدهای زیر است:

واحد K^{bp} : شامل گدازه‌های بازالتی با ساختمان بالشی است. این واحد از نظر گسترش

مهمترین واحد در بالا دست نمونه DB45 به شمار می‌رود.

واحد di: این واحد شامل دایکهای دیابازی است که بازالت‌های بالشی را قطع کرده است. در این محدوده رخنمون این در خاور روستای ایپراقلو قرار دارد.

واحد gd: شامل توده‌های گابرو دیوریتی و میکرودیوریتیک گابرو است که بازالت بالشی را قطع کرده است. گسترش این واحد محدودتر بوده و به تقریب در پیرامون ایستگاه نمونه برداری DB45 و DB44 قرار دارد. این واحد واحدهای di و bp بخش‌هایی از سری افیولیتی محسوب می‌گردد.

واحد K^s: شامل تناوب شیل و ماسه سنگ همراه با میان لایه‌های کنگلومرا است. این واحد از نظر گسترش به طور جزئی در بالا دست نمونه DB40 قرار گرفته و در پیرامون و بالا دست نمونه‌های DB44 و DB43 قابل مشاهده نیست.

نمونه DB49: نمونه DB49 از نظر موقعیت در برگه ۰۰۰،۵:۱ بلسور سفلی و به تقریب در خاور برگه قرار دارد این ناهنجاری وسعتی به تقریب ۵ کیلومتر مربع داشته و شامل کانی‌های سرب دار گالن (در حد ۲ نرخ) و سروزیت (در حد ۱ نرخ) می‌باشد. از دیگر کانی‌های همراه آن می‌توان به وجود کرومیت (در حد ۱ نرخ)، اپیدوت (۷۲/۷۲ گرم در تن)، پیریت اکسید (۵/۱۹٪)، گرم در تن)، هماتیت (۲۱/۶۷ گرم در تن)، گوتیت (۵/۵۹ گرم در تن) مارکاسیت (در حد ۱ نرخ)

و مگنتیت (۵۲۸/۲۲ گرم در تن) اشاره کرد.

سنگهای بالا دست این نمونه شامل واحدهای K^{bP} , PE_1 , Sr , Ub است که به توصیف آنها پیشتر پرداخته شد.

از نظر زمین‌شناسی ساختمانی در این محدوده گسلهای با راستای عمومی شمالی-جنوب، شمال خاور-جنوب باخته و شمال باخته-جنوب خاور قابل مشاهده است که از مهمترین آنها می‌توان به گسله راندگی اللد اشاره کرد. نمونه برداشت شده از نظر موقعیت در روی گسله با راستای شمالی-جنوبی که به تقریب در بین گسله رودالند و گسله راندگی بالابان واقع است، قرار گرفته است.

نمونه DB52: نمونه DB52 از نظر موقعیت در برگه ۱:۵۰،۰۰۰ بلسور سفلی و به تقریب بر ۱۰۰ متری روستای بلسور سفلی قرار دارد. این نمونه حاوی کانی گالن و سروزیت در حد ۱ نره می‌باشد. دیگر کانی‌ها در آن شامل سینابر (۷/۵۷ گرم در تن) کرومیت، (۲۹۱/۶۴ گرم در تن)، زیرکن (۱۲/۲۴ گرم در تن)، آپاتیت (۰/۰۵ گرم در تن)، هماتیت (۷/۵۲۴ گرم در تن)، اپیدوت (۲/۱۶ گرم در تن)، اولیوین (۱/۲۱ گرم در تن) و کارنث (در حد ۱ نره) است.

سنگهای بالا دست این نمونه شامل واحدهای زیر است:

واحد K^{bP}: شامل آهک پلاژیک صورتی رنگ، جریان‌های گدازه بازالتی و بطور محلی همراه با چرت رادیولاریت دار است. این واحد از گسترش به نسبت بیشتری برخوردار بوده و در بخش باخته‌ی آبراهه و پیرامون ایستگاه نمونه برداری قرار دارد.

واحد Ub: شامل سنگهای اولترامافیک کم و بیش سرپا نتیجتی شده است.

واحد Sr: شامل سرپانتیت همراه با سنگهای اولترامافیک سرپانتیتی است. این واحد نسبت به واحدهای بیگر گسترش کمتری دارد.

واحد bpK: شامل گدازهای بازالتی با ساختمان بالشی است. این واحد و واحدهای Sr , Ub , K^{IV} بخش‌هایی از سری افیولیتی محسوب می‌گردند.
از نظر زمین‌شناسی ساختمانی در این محدوده گسله‌های با راستای عمومی شمال باخترا-
جنوب خاور مشخص گردیده است که از جمله آنها می‌توان به گسله راندگی طوره اشاره کرد.
گسله امتداد لغزی نیز به تقریب در باخترا محدوده ناهنجار قابل مشاهده است.

ناهنجاری های کرومیت

بر ورقه ۰۰،۱۰۰،۰۰۰ بیزج از ۹۷ نمونه کانی سنگین برداشت شده، ۷۹ نمونه (۸۱)

برصد کل نمونه ها) حاوی کانی کرومیت است این امر می تواند ناشی از گسترش به نسبت وسیع رخنمون سنگهای اولترامافیک و مافیک مربوط به مجموعه افیولیتی باشد. بیشترین مقدار کانی کرومیت در ناحیه مورد مطالعه، ۱۳۲۹/۵۲ گرم در تن (۲۸) برصد در بخش AV کانی سنگین) و مربوط به نمونه با شماره DB24 است. دیگر ناهنجاری های مهم آن در هر دو برگه ۰۰،۱۰۰،۰۰۰ کردکندی و بلسور سفلی توزیع شده اند. شرح مختصراً از آنها به قرار زیر می باشد.

ناهنجاری شماره ۱ کرومیت

ناهنجاری شماره ۱ کرومیت از نظر موقعیت در برگه ۰۰،۱۰۰،۰۰۰ بلسور سفلی و در پیرامون روستای الند، بالا بان و قورشاقلو قرار دارد. این ناهنجاری وسعتی به تقریب ۷۰ کیلومتر مربع داشته و شامل نمونه های با شماره های DB24, DB25, DB26, DB27, DB28, DB29, DB30 و DB31 است. این نمونه ها به ترتیب حاوی ۱۳۲۹/۵۲، ۸۴۶/۴، ۸۵۰/۰۸، ۶۴۴، ۱۲۲/۴۸، ۲۲۲/۶۸، ۶۸۸/۱۶ و ۸۴۲/۳۵ گرم در تن کرومیت هستند. این محدوده از نظر اکتشافی وجود عناصر طلا و نقره و کانی های شئلیت، گروه سرب، ایلمنیت و ۰۰۰ و همچنین وجود چشمی سولفوره و آلتراسیون لیمونیتی بسیار قابل توجه بوده و می توانند هر یک از آنها را هنمای اکتشافی خاصی را در اختیار بگذارند. لازم به ذکر است نمونه های حاوی کرومیت در این محدوده از پیوستگی فضایی به نسبت خوبی برخوردار بوده و با کانی های

اولیوین و پیروکسن انطباق و همپوشانی نشان می‌دهند، که از نظر پاراژنز و همبود می‌تواند حائز اهمیت باشد.

سنگ‌های بالا دست و پیرامون این ناهنجاری که از نظر کرومیت زایی می‌توانند حائز اهمیت باشند شامل واحدهای **Ub** و **Sr** است با توجه به اهمیت آنها جهت اکتشاف کرومیت، به طور مختصر مورد بررسی قرار می‌دهیم.

واحد Ub : این واحد شامل سنگ‌های اولترامافیک کم و بیش سرپانتینتی به رنگ سبز- خاکستری تیره است. توده‌های نفوذی نیوریتی- گابرویی و میکرودیبوریتیک گابرویی آنها را قطع کرده است. در حوالی روستای بالابان قطعات آهکی بیگانه (exotic blocks) در آنها جای گرفته است.

واحد Sr : شامل سرپانتینتی همراه با سنگ‌های اولترامافیک سرپانتینتی است. از نظر زمین‌شناسی ساختمانی از مهمترین رخداد تکتونیکی نمی‌توان به گسله‌های راندگی در پیرامون روستای بالابان و قورشاقلو اشاره کرد که سنگ‌های اولترامافیک و گابرودیبوریتی را بر روی سنگ‌های رسوبی پالئوسن- ائوسن رانده است. و نیز گسله امتداد لغزی که از مرز ایران- ترکیه با راستای به تقریب شمال خاور- جنوب باختر تا روستای بیزج‌الند امتداد دارد، قابل مشاهده است. راستای عمومی گسله راندگی در پیرامون روستای بالابان شمال باختر- جنوب خاور و قورشاقلو خاوری- باختری است.

ناهنجاری شماره ۲ کرومیت

ناهنجاری شماره ۲ کرومیت از نظر موقعیت در برگه ۱:۵۰،۰۰۰ بلسور سفلی و در پیرامون روستای تودان قرار دارد. این ناهنجاری وسعتی به تقریب ۴۲ کیلومتر مربع داشته و شامل نمونه‌های با شماره‌های DB22, DB23, DB41 و DB42 می‌باشد. این نمونه‌ها به ترتیب دارای مقادیر کرومیت ۸۸/۸۰، ۳۸۰، ۲۹۳/۶۶، ۲۹۳/۷۶ و ۲۶۶/۲۴ گرم در تن است. در این محدوده از دیگر ناهنجاری‌های مهم می‌توان به سیناپر و طلا (در نمونه DB22) و شلیت (در هر ۴ نمونه) اشاره کرد که می‌تواند راهنمای اکتشافی خاصی را در اختیار بگذارند. دیگر کانی‌ها شامل مگنتیت، هماتیت، ایلمنیت، اپیدوت و کلریت است.

سنگ‌های بالا دست و پیرامون این ناهنجاری شامل سنگ‌های اولترامافیک کم و بیش سرپانتنینیتی (واحد Ub) است که توده‌های نفوذی دیوریتی - گابرویی و میکروبیوریتیک گابرویی (واحد gd) آنها را قطع کرده است.

بر پایه شرح نقشه زمین‌شناسی دیزج (مقیاس ۱:۱۰۰،۰۰۰)، در حوالی روستای تودان کانی زایی کرومیت بصورت عدسی‌های کم ضخامت در داخل سنگ‌های اولترامافیک گزارش شده است.

از نظر زمین‌شناسی ساختمانی از مهمترین رخدادهای تکتونیکی در این محدوده و پیرامون آن می‌توان به گسله راندگی بالابان و دیزج‌الند اشاره کرد. گسله راندگی بالابان سنگ‌های اولترامافیک و گابرو- دیوریتی را بر روی سنگ‌های رسوبی پالئوسن - ائوسن رانده است و در امتداد گسله دیزج‌الند بازالت‌های بالشی به سمت جنوب با ختر حرکت و بر روی نهشته‌های پالئوسن، سنگ‌های اولترامافیک و گابرو- دیوریتی رانده شده است. گسله‌های دیگری نیز در این

محبوده با راستای به تقریب شمالی-جنوبی، شمال باختر-جنوب خاور و شمال خاور-جنوب باختر بیده شده است.

ناهنجری شماره ۳ کرومیت

ناهنجری شماره ۲ کرومیت از نظر موقعیت در بخش شمالی برگه ۱:۵۰،۰۰۰ کردکندي و به تقریب در حد فاصل روستای دوشان تپه - تات کندی قرار دارد. این ناهنجاری وسعتی به تقریب ۴۵ کیلومتر مربع داشته و شامل نمونه های با شماره های DK81, DK80, DK79, DK85, DK84, DK86, DK82, DK83 و DK83 می باشند. این نمونه های ترتیب حاوی ۲۶۴/۹۶, ۱۵/۴۶, ۱۵/۴۵, ۱۷۱/۵۸, ۸۲۱/۷۴, ۱۳۷/۴۵ و ۹۲/۴۶ گرم بر تن و نمونه DK83 در حد ۱ نرخ کرومیت هستند. از دیگر ناهنجاری ها و کانی های مهم در این محدوده که باعث قابل توجه بودن آن از نظر اکتشافی شده می توان به سینابر، طلا، نقره، ایلمنیت و اولیوین اشاره کرد.

لازم به ذکر است در محدوده ناهنجار از ۹ نمونه حاوی کانی کرومیت، ۷ نمونه حاوی کانی سینابر، ۳ نمونه حاوی طلا و ۲ نمونه حاوی نقره است.

سنگ های بالا دست و پیرامون این ناهنجاری شامل واحدهای Q_2^t , Ug , K^s , PE^{vls} , Q^v است که پیشتر به توصیف آنها پرداخته شد.

ناهنجری شماره ۴ کرومیت

ناهنجری شماره ۴ کرومیت از نظر موقعیت در برگه ۱:۵۰،۰۰۰ کردکندي و در پیرامون

روستای خان، خان کندی و بغلچی بالا قرار دارد. این ناهنجاری وسعتی به تقریب ۱۴۰ کیلومتر مربع داشته و از روستای مندلیج در جهت جنوب خاوری تا ۷ کیلومتری جنوب خاوری روستای خان کندی کشیده شده است. این ناهنجاری درازایی در حدود ۲۰ و پهنای ۷ کیلومتری دارد. نمونه‌های ناهنجار در این محدوده شامل DK74, DK73, DK68, DK66, DK65 و DK70 بوده و به ترتیب حاوی ۵۰/۹۵, ۵۱/۵۲, ۵۰/۹۶, ۹۶/۲۴ و ۲۲/۲۵ گرم در تن و دو نمونه آخر در حد ۱ نرخ کرومیت می‌باشند. دیگر ناهنجاری مهم در این محدوده شامل طلا، نقره، سینابر، کانی‌های گروه سرب و مس، شلایت و ... است که پیشتر به شرح آنها پرداخته شد.

سنگ‌های بالا دست و پیرامون این ناهنجاری شامل واحدهای K^{IV} , PE_1^1 , K^{bp} , PE^{vls} , Ng^{an} و Q_1^t Ng^{ad} است.

از نظر زمین‌شناسی ساختمانی در این محدوده گسلهای با راستای شمال باختری-جنوب خاوری و شمال خاوری-جنوب باختری دیده شده است.

دیگر ناهنجاری‌های کرومیت

در ورقه ۱:۱۰۰,۰۰۰,۰۰۰,۰۰۰ دیگر ناهنجاری‌های کرومیت، در هر دو برگه ۱:۵۰,۰۰۰ کردکندی و بل سور سفلی پراکنده بوده و از نظر موقعیت در روی نقشه ناهنجاری‌های کانی سنگین مشخص شده‌اند، به شرح بیشتر آنها پرداخته نمی‌شود.

ناهنجاری های ایلمنیت

در ورقه ۱:۱۰۰،۰۰۰ نیزج از ۹۷ نمونه کانی سنگین برداشت شده، ۴۰ نمونه (در حدود ۴۱ درصد کل نمونه) حاوی کانی ایلمنیت می باشند. بیشترین مقدار آن ۲۱۵/۵۶ گرم در تن بوده و مربوط به نمونه با شماره DK97 است. مهمترین ناهنجاری های ایلمنیت در سه محدوده متمرکز بوده که شرح مختصراً از آنها به قرار زیر است.

ناهنجاری شماره ۱ ایلمنیت

ناهنجاری شماره ۱ ایلمنیت از نظر موقعیت در برگه ۰۰۵:۱ بلوسر سفلی و به تقریب در بخش شمال - شمال باختری روستای بالابان قرار دارد. این ناهنجاری وسعتی به تقریب ۱۸ کیلومتر مربع داشته و شامل نمونه های با شماره DB24، DB26 و DB27 است. توصیف مختصراً از آنها به قرار زیر است:

نمونه DB26: نمونه DB26 از نظر موقعیت به تقریب در ۲ کیلومتری جنوب باختری روستای اللد قرار دارد. این نمونه حاوی ۱۲۴/۰۸ گرم در تن ایلمنیت بوده که بعد از بروموفرم گیری این مقدار به ۳ درصد در بخش AV رسیده است. این نمونه به طور کلی از نظر کانی زایی بسیار با اهمیت بوده و شامل عناصر طلا (۲ ذره)، نقره (۳ ذره) و کانی کرومیت (۸۵۰/۸ گرم در تن)، کالن (۲ ذره)، سیناپر (۳ ذره) و آپاتیت (۷/۰۴ گرم در تن) است از دیگر کانی های همراه آن می توان به آناتاز، روتیل و نیگرین (در حد ۱ ذره)، پیروکسن (۲۸۵ گرم در تن)، اولیوین

($9/77$ گرم در تن)، مگنتیت ($1728/88$ گرم در تن)، هماتیت ($129/92$ گرم در تن) و زیرکن ($10/81$ گرم در تن) اشاره کرد.

نمونه DB27: نمونه DB27 از نظر موقعیت به تقریب در $2/5$ کیلومتری شمال خاوری روستای قورشاقلو قرار دارد. کانی‌های تیتانیوم دار در این نمونه شامل ایلمنیت ($129/72$ گرم در تن)، روتیل، آناتاز و نیگرین (در حد 1 نره) است.

این نمونه نیز از نظر وجود عناصر طلا (در حد 2 نره)، نقره (2 نره) و کانی‌های سیناپر (4 نره) و کرومیت ($4/846$ گرم در تن) حائز اهمیت است. دیگر کانی‌های همراه آن شامل آپاتیت ($4/24$ گرم در تن)، پیروکسن ($4/260$ گرم در تن)، زیرکن ($10/88$ گرم در تن) اولیوین ($10/21$ گرم در تن) و لیمونیت ($10/49$ گرم در تن) می‌باشد.

نمونه DB24 : نمونه DB24 از نظر موقعیت به تقریب در 2 کیلومتری جنوب باختری روستای اللد قرار دارد. کانی‌های تیتانیوم دار در این نمونه شامل ایلمنیت ($2/122$ گرم در تن)، آناتاز و نیگرین (در حد 1 نره) و روتیل ($1/21$ گرم در تن) است وجود طلا (3 نره) و کانی‌های گالن (2 نره)، کرومیت ($5/1239$ گرم در تن) و سیناپر (در حد 1 نره) به اهمیت اکتشافی این محدوده افزوده است. دیگر کانی‌های همراه آن شامل آپاتیت (1 گرم در تن)، مگنتیت ($6/2422$ گرم در تن)، زیرکن (در حد 1 نره)، هماتیت ($77/12$ گرم در تن) و اولیوین (در حد 1 نره) است.

سنگ‌های بالا دست و پیرامون این ناهنجاری شامل سنگ‌های اولترامافیک کم و بیش سرپانتینی (واحد U_{b}) است که در برخی موارد توده‌های نفوذی دیوریتی - گابرویی و

میکروبیوریتیک گالریوی آنها را قطع کرده است. در این محدوده واحد ۵۲ (سرپاانتینیت) نیز با گسترش محدودتری قابل مشاهده است.

از نظر زمین شناسی ساختمانی در این محدوده گسله رانگی بالابان با راستای عمومی شمال باختر - جنوب خاور و گسله امتداد لغز با راستای شمال خاور - جنوب باختر مشخص گردیده است.

ناهنجری شماره ۲ ایلمنیت

ناهنجری شماره ۲ ایلمنیت از نظر موقعیت به تقریب در بخش شمالی برگه ۱:۵۰،۰۰۰ کریکندی و در پیرامون روستای میرزا خان قرار دارد. این ناهنجری وسعتی به تقریب ۱۲ کیلومتر مربع داشته و شامل نمونه‌های با شماره‌های DK82 و DK85 می‌باشد. شرح مختصراً از آنها به قرار زیر است:

نمونه DK82: نمونه DK82 حاوی کانی‌های تیتانیوم دار ایلمنیت (۱۰۶/۸۶ گرم در تن)، روتیل، نیگرین و اسفن (در حد ۱ نرخ) می‌باشند که از نظر مقدار قابل توجه نمی‌باشند. اما از نظر وجود عناصر با ارزش طلا و نقره (در حد ۱ نرخ) و کانی‌های سینابر (بیش از ۲۰۰ نرخ) و کرومیت (۷۴/۸۱ گرم در تن) بسیار حائز اهمیت می‌باشد. از بیگر کانی‌های همراه آن می‌توان به باریت (۱/۱ گرم در تن)، اپیبوت (۴۷/۲۴ گرم در تن)، لیمونیت (در حد ۱ نرخ)، هماتیت (۷/۲۶ گرم در تن)، مگنتیت (۷۸/۲۷ گرم در تن) اشاره کرد.

نمونه DK85: نمونه DK85 حاوی کانی‌های تیتانیوم دار ایلمنیت (۱/۶۴ گرم در تن)، نیگرین، روتیل و اسفن (در حد ۱ نره) بوده و از نظر مقدار قابل توجه نمی‌باشد. وجود کانی‌های سیناپر (بیش از ۵۰۰ نره)، کرومیت (۹۲/۴۶ گرم در تن) و باریت (۰/۱۸ گرم در تن) به این محدوده اهمیت اکتشافی داده است. دیگر کانی‌های همراه آن شامل زیرکن (۲/۶ گرم در تن)، آپاتیت (۲/۱۴ گرم در تن)، مگنتیت (۲/۴۸ گرم در تن)، هماتیت (۰/۷۱ گرم در تن) و لیمونیت (۱/۳۲ گرم در تن) است.

سنگ‌های بالا دست این ناهنجاری شامل واحد K^5 است که پیشتر به آن پرداخته شد.

ناهنجاری شماره ۳ ایلمنیت

ناهنجاری شماره ۳ ایلمنیت از نظر موقعیت در برگه ۱:۵۰،۰۰۰ کردکندی و به تقریب در ۲/۵ کیلومتری جنوب خاوری روستای دوشان تپه قرار دارد. این ناهنجاری وسعتی به تقریب ۳۰ کیلومترمربع داشته و شامل نمونه‌های با شماره‌های DK78 و DK79 می‌باشد. شرح مختصری از آنها به قرار زیر است:

نمونه DK79: نمونه DK79 حاوی کانی‌های تیتانیوم دار ایلمنیت (۲۵/۱۱۲ گرم در تن)، نیگرین، روتیل و اسفن (در حد ۱ نره) است. این نمونه حاوی عنصر با ارزش طلا (در حد ۲ نره) و کانی گالن (۲ نره)، سیناپر (بیش از ۶۰ نره)، کرومیت (۷/۲۰ گرم در تن) است. از دیگر کانی‌های همراه آن می‌توان به مگنتیت (۷۲/۸۹۷ گرم در تن)، زیرکن (۹/۳۶ گرم در تن)، پیروکسن (۵۵/۰۷ گرم در تن) اولیوین (۳/۸۲ گرم در تن)، اپیدوت (۵۵/۱۲۷ گرم در تن)،

گوتیت (بر حد ۱ ذره)، پیریت اکسید (۲۷/۲۵ گرم در تن) و آپاتیت (۲/۶۶ گرم در تن) اشاره کرد.

نمونه DK78: نمونه DK78 حاوی کانی‌های تیتانیوم دار، ایلمنیت (۹۳/۰۶ گرم در تن)، نیگرین، اسفن و روتیل (بر حد ۱ ذره) می‌باشد. این نمونه نیز حاوی عنصر طلا (بر حد ۱ ذره)، کانی سیناپر (۵ ذره)، زیرکن (۲۵/۲۸ گرم در تن)، مگنتیت (۸۰۴/۹۶ گرم در تن)، آپاتیت (۲/۸۸ گرم در تن)، پیروکسن (۱۵/۱۰ گرم در تن)، مارتیت (۴۰/۳۲ گرم در تن) و اپیدوت (۱۲۴/۶۴ گرم در تن) است.

سنگ‌های بالا دست این ناهنجاری شامل واحدهای K^{bp} , Ng^{an} , K^{rt} , K^s است که پیشتر به شرح آنها پرداخته شد.

لازم به نکر است این ناهنجاری نیز از نظر مقدار کانی‌های تیتانیوم به مانند بیگر ناهنجاری‌های قابل توجه نمی‌باشد.

ناهنجاری مولیبدنیت

در ورقه ۱۰۰،۰۰۰: ۱ دیزج تنها یک نمونه حاوی کانی مولیبدنیت (MoS_2) بوده و مربوط

به نمونه با شماره DK97 است.

نمونه DK97 از نظر موقعیت در برگه ۱:۵۰،۰۰۰ گردکندی و در بخش شمال خاوری برگه قرار دارد. این ناهنجاری وسعتی به تقریب ۶ کیلومتر مربع داشته و حاوی ۱ نرخه مولیبدنیت در بخش غیر مغناطیسی کانی سنگین است. دیگر کانی‌های مهم در این نمونه شامل شتلیت (در حد ۸ نرخه)، لزنوتیم (در حد ۱ نرخه)، سیناپر (۲ نرخه)، اپیدوت (۲/۹۲ گرم در تن)، گارنت (۵۸۸/۸ گرم در تن)، آپاتیت (۱۵/۱۲ گرم در تن)، زیرکن (۴/۵۱ گرم در تن) است: سنگ‌های بالا بست و پیرامون این ناهنجاری شامل واحدهای زیر است.

واحد **mt**: شامل متاولکانیک به همراه شیستهای سبز است.

واحد **mb**: شامل سنگ‌های مرمر، مرمر کانی دار و سنگ‌های آهکی بلورین به رنگ خاکستری روشن است که بصورت عدسی‌های بزرگ در دورن واحد **mt** جای دارند.

واحد **gr**: شامل توده‌های نفوذی گرانودیوریتی آمفیبول دار و دیوریتی است که شیستهای سبز رنگ و متاولکانیک‌های کرتاسه پسین - پالئوسن را قطع کرده است. در ناحیه مورد مطالعه این واحد تنها در این محدوده رخنمون دارد.

۱-۴- تعبیر و تفسیر

مقدمه: بخش تعبیر و تفسیر یک گزارش ژئوشیمیایی که به عنوان یک بخش تعیین کننده در معرفی نواحی امید بخش معدنی می‌باشد مستلزم تلفیق با احتیاط همه داده‌ها همراه با درک خوبی از فرایندهای فعال و اثرات احتمالی آنها است اما متأسفانه بر این گزارش نیز به مانند دیگر گزارش‌های محور ماکو-اشنویه داده‌های بدست آمده از نمونه‌های ژئوشیمی رسوب آبراهه‌ای با نتایج حاصل از مطالعه به روش کانی‌های سنگین هماهنگی و انطباق ندارد. و این عدم انطباق با توجه به داده پردازی و خطاكيرى‌های انجام شده و همچنین مشاهدات صحرابی بیشتر مرивوط به خطای آنالیز دستگاهی XRF پرتاپل است. و این مسئله به عنوان یک چالش بزرگ در ارائه این بخش نمایانگر است.

چالش بعدی در ارائه این بخش از گزارش عدم کنترل ناهنجاری‌ها است. که به دلیل ارائه سریعتر گزارش‌های محور ماکو-اشنویه، این گزارش نیز قبل از انجام عملیات کنترل ناهنجاری‌ها مورد نقد و بررسی قرار می‌گیرد. امید است تعبیر و تفسیر نهایی بعد از اتمام کنترل نواحی امید بخش معدنی به ویژه به روش کانی‌های سنگین راهکاری مناسب در شناخت نواحی معدنی و کانه ساز در محور ماکو-اشنویه باشد.

تعبیر و تفسیر و بررسی هر یک از عناصر با اهمیت در ورقه ۱:۱۰۰،۰۰۰ دیزج، بیشتر، برپایه نتایج بدست آمده از مطالعه به روش کانی‌های سنگین به قرار زیر است:

۱-۴-۱- طلا

در ورقه ۱:۱۰۰،۰۰۰ دیزج، آنالیز دستگاهی به روش XRF پرتاپل قادر به اندازه گیری

طلا نبوده و این عنصر ارزشمند تنها به روش کانی های سنگین شناسایی و بررسی شده است. بر این اساس، از ۹۷ نمونه کانی سنگین مطالعه شده، ۲۱ نمونه (حدود ۲۲ درصد کل نمونه ها) حاوی طلا است که این تعداد قابل توجه بوده و می تواند ناحیه مورد مطالعه را از این نظر بسیار امید بخش معرفی کند.

در ناحیه مورد مطالعه، کانی زایی طلا در هر بروگه ۱:۵۰،۰۰۰ بلسور سفلی و کردکندي رخ داده است بطوریکه از ۲۱ نمونه حاوی طلا، ۱۴ نمونه در بروگه بلسور سفلی و ۷ نمونه در بروگه کردکندي قرار دارد.

در بروگه ۱:۵۰،۰۰۰ بلسور سفلی مهمترین ناهنجاری طلا به تقریب در پیرامون روستای بالابان واقع است. عنصر طلا در این محدوده در ۸ نمونه کانی سنگین که از پیوستگی فضایی بسیار خوبی برخوردار هستند بیده شده و شامل نمونه های با شماره های DB24،DB26 (در حد ۲ ذره طلا)، DB25،DB11،DB5،DB37,DB27 و DB12 (در حد ۱ ذره طلا) می باشد. این نمونه ها حاوی کانه نقره و کانی های سرب دار، شیلیت و ۰۰۰ نیز بوده و از نظر اکتشاف می توانند حائز اهمیت باشند. به عنوان مثال از نسبت نقره به طلا می توان در اکتشاف کانسارهای طلای اپیترمال (نوع آدولاریا - سریسیت و اسید سولفات) و در بعضی از سیستم های اسکارن طلا دار استفاده کرد. علاوه بر این در این محدوده می توان به وجود چشمچه سولفوره (در بالا دست نمونه DB27)، آثار آلتراسیون شدید لیمونیتی (در جنوب روستای بالابان) و وجود گسله های راندگی، امتداد لغز و عادی اشاره کرد که می توانند به عنوان راهنمای اکتشافی اهمیت این محدوده را به اثبات برسانند.

در بروگه ۱:۵۰،۰۰۰ کردکندي مهمترین ناهنجاری طلا به تقریب در پیرامون روستای

میرزا خان واقع است. طلا در این محدوده بر ۳ نمونه با شمارهای DK90, DK83, DK82 (بر حد ۱ نره) مشاهده شده و با عنصر نقره و کانی‌های سیناپر، کوولیت و ... همراه است.

در ناحیه مورد مطالعه، در برخی مناطق وجود آلتراسیون‌های آلونیتی، کائولینیتی، سرسیتی و سیلیسی در داخل گدازه و گدازه‌های برشی شده آندزیتی-تراکی آندزیتی می‌تواند از نظر اکتشاف طلا از اهمیت خاصی برخوردار باشد. چنین موردی را می‌توان در بالا دست نمونه DB66 (پیرامون و جنوب روستای بابانور) مشاهده کرد. این نمونه به تقریب محدوده ای به وسعت ۱۶ کیلومتر مربع را پوشش داده و شامل عناصر مهم طلا و نقره (بر حد ۱ نره) و کانی‌های مهم و کانسارساز گالن (بیش از ۵۰ نره در بخش NM کانی سنگین)، سروزیت (۲۲۶ گرم بر تن)، اسفالریت و همی مورفیت (بر حد ۱ نره)، باریت (۳۲۶ گرم بر تن) و ... است. آلتراسیون آلونیتی-کائولینیتی از خصوصیات مشخص کانساری طلای نوع اسید سولفات است. در این کانسار بطور معمول کائولینیت به همراه آلونیت در نزدیکی رگه وجود دارد و اغلب سیلیسی فیکاسیون توسعه می‌یابد. گاهی اوقات با دور شدن از رگه، آلتراسیون آرژیلیتی با آلتراسیون سرسیتی مخلوط شده زون آرژیلیتی پیشرفت‌ه را محاصره می‌کند. بطور کلی آثار دگرسانی ظیدروترمالی که عموماً کانی سازی اپی ترمال را در بر می‌گیرد می‌تواند یک‌هاله وسیع اکتشافی را معرفی کند و نشان دهنده منطقه بسیار امید بخشی باشد.

در ورقه دیزج بطور کلی عنصر طلا را نقره (در ۵ نمونه) و کانی‌های با ارزش گالن و سروزیت (در ۷ نمونه)، سیناپر (در ۱۵ نمونه)، شئلیت (در ۲ نمونه)، اسفالریت (در ۱ نمونه) همراهی کرده است. در این ناحیه طلا از نظر اندازه از حد ریزدانه تا بیش از ۵۰۰ میکرون (در نمونه DB40) و از نظر تعداد نره از ۱ تا ۲ نره (در نمونه‌های DB24 و DB40) در تغییر است.

شناسایی و مطالعه طلا در حد ذره و کانی‌ها و عناصر همراه آن، آثار آلتراسیون و ... می‌توانند ردیاب مناسبی جهت دسترسی به یک کانسار به نسبت ارزشمند از زایش طلا باشد. به عنوان مثال آرسنیک، آنتیموان و جیوه به دلیل رابطه زایشی با طلا، معرفه‌های خوبی هستند و ممکن است به عنوان ردیاب‌های اضافی استفاده شوند. فلزات پایه نیز ممکن است برای انواع کانسارهای طلا مفید باشند، ولی متأسفانه به دلیل مشکلات آنالیز سستگاهی از آنها استفاده نشده است. امید است بررسی دقیق در مرحله کنترل ناهنجاری بدرستی از میزان انتشار طلا در ناحیه مورد مطالعه خبر نهد.

در این بخش از گزارش به دلیل اهمیت وجود عنصر طلا در ناحیه مورد مطالعه، خصوصیات آن به طور مختصر و کلی مورد بررسی قرار می‌گیرد.

بشر از مدت‌ها قبل، طلا را به دلیل زیبایی، کمیاب بودن و دوام و پایداری آن با ارزش شمرده است. تولید طلا به منظور استفاده از آن به عنوان یک کالای تزیین شروع شد ولی امروزه طلا به عنوان یک کالای تجاری مهم و تعیین‌کننده مطرح است.

شتات چشمگیر تولید طلا از یک طرف در نتیجه توسعه تکنیک‌های اکتشاف، استخراج و بهبود فن آوری استحصال این عنصر بوده و از طرف دیگر معرف نیاز جوامع و ملل مختلف بر سرمایه برای توسعه می‌باشد. در این میان شناخت دقیق‌تر و عمیق‌تر محیط‌های زمینی شناسی کانسارهای طلا، اکتشاف آنها را قرین موفقیت نموده است بدین لحاظ مطالعه در این زمینه بسیار با اهمیت است.

طلا بر طبیعت غالباً به صورت خالص یا به صورت محلول جامد با فلزاتی چون نقره، مس یا پلاتینوئیدی در غالب کانسارهای ماقمایی، رسوب، هیدروترمالی و نگرگونی یافت می‌شود.

۳- ذخایر طلا در ارتباط با سنگ‌های رسوبی تخریبی: شامل تیپ طلا - اورانیم کنگلومرات کوارتزی با محصول اصلی طلا و با محصول فرعی اورانیم و تیپ مس - اورانیم - طلای المپیک دم که در آن مس و اورانیم محصول اصلی و طلا محصول فرعی است.

۴- ذخایر طلا در ارتباط با سنگ‌های دگرگونی: شامل تیپ کوارتز رگه‌ای کم سولفید یا تیپ رگه کوارتز مزوتزمال) و ذخایر تیپ هومستیک با محصول طلا و نقره و نخیره اورانیم- طلای دگرشیبی با محصول اصلی اورانیم و محصول فرعی طلا و طلای مرتبط با گسله‌های کم شیب (تراستی) با محصول اصلی طلا در این رده قرار دارند.

۵- ذخایر طلا در محیط پلاسری: شامل ذخایر طلا PGE که مرتبط با توده‌های نفوذی فلزیک تا متوسط می‌باشند و در آنها محصول اصلی طلا و نقره است ولی امکان دارد PGE و محصول فرعی آنها باشد. ذخایر PGE طلای پلاسری که در آنها PGE محصول اصلی است و طلا نقش محصول فرعی را دارد. در ارتباط با فرسایش توده‌های نفوذی مافیک و اولترامافیک تشکیل می‌شوند.

۴-۱-۲- نقره

عنصر نقره در ورقه ۱:۱۰۰،۰۰۰ دیزج به دوش آنالیز دستگاهی XRF پرتابل و مطالعه بروش کانی های سنگین شناسایی و مورد بررسی قرار گرفته است.

بر پایه نتایج حاصل از آنالیز دستگاهی و نقشه انتشار آن با ناهنجاریهای عنصر نقره در سه محدوده بارزتر است که مهمترین آن در شمال خاوری ورقه و در پیرامون روستای کریکندی قرار دارد. این ناهنجاری ها تا حدودی با ناهنجاری های عناصر آرسنیک، قلع و سرب همپوشانی نشان می دهند.

بر پایه مطالعه به روش کانی های سنگین، از ۹۷ نمونه برداشت شده ۱۴ نمونه حاوی عنصر نقره بوده و در برگه های ۱:۵۰،۰۰۰ بلسور سفلی (۶ نمونه)، کریکندی (۷ نمونه) و ناور (۱ نمونه) واقع هستند. مهمترین ناهنجاری بدست آمده از این روش مطالعاتی، به تقریب در بین روستای قورشاقلو و الند واقع است. در این محدوده عنصر نقره در ۳ نمونه کانی سنگین که از پیوستگی فضایی خوبی برخوردار هستند دیده شده و شامل نمونه های با شماره های DB26 (در حد ۲ نرخ نقره)، DB27 (در حد ۲ نرخ نقره) و DB29 (۵ نرخ نقره) می باشد.

در اینجا محدوده وجود عناصر نقره و طلا و کانی های شیلیت، سرب دار و ۰۰۰۰، گسله ها وجود چشمئ سولفوره (در بالا نست نمونه DB27) اهمیت اکتشافی این محدوده را به اثبات می رساند.

در ناحیه مورد مطالعه بر پایه مطالعه به روش کانی های سنگین عنصر نقره از نظر تعداد نرخ شامل ۱ نرخ (در ۶ نمونه)، ۲ نرخ (در ۴ نمونه)، ۳ نرخ (در ۲ نمونه) و ۵ نرخ (در ۲ نمونه) در تغییر است. در این ناحیه عنصر نقره را عنصر طلا (در ۵ نمونه) و کانی های گالن

(در ۴ نمونه)، شیلیت (در ۲ نمونه)، اسمیت زونیت، سروزیت و اسفالریت (در ۱ نمونه) و باریت (در ۶ نمونه) همراهی کرده است که هر یک می‌تواند راهنمایی اکتشافی خاصی را در اختیار بگذارد. به عنوان مثال کانی‌های نقره مانند آکانتیت و تتراهریت معمولاً همراه با کانی‌گالن بیده می‌شود و نیز نقره بصورت محلول جامد در آن وجود دارد در نتیجه کالن می‌تواند به عنوان راهنمای سنگ معدن نقره بکار رود.

لازم به ذکر است ناهنجاری‌های بدست آمده از روش تجزیه سنتگامی XRF پرتابل با ناهنجاری‌های مطالعه به روش کانی‌های سنگین هیچگونه انطباق و همپوشانی نشان نمی‌دهد. نقره دارای مصارف فنی و صنعتی بیشماری است که مهمترین آنها بر تهیه فیلم‌های عکاسی، آبکاری، ساخت آلیاژهای نقره و وسایل الکتریکی است. مصارف بیگر آن شامل ضرب سکه، ساخت ظروف نقره‌ای، جواهرات و باطری است. نخایر نقره به بوگروه شامل نخایر با محصول اصلی نقره و نخایری با محصول فرعی نقره تقسیم می‌شوند. در گروه اول نخایری قرار می‌گیرند که در آنها تولید نقره محصول اصلی نخیره را تشکیل می‌دهد و چندان هم فراوان نیستند و سهم اساسی و عمده در تولید نقره جهان ندارند. در گروه دوم نخایر مس و نخایر سرب قرار می‌گیرند که در آنها نقره (به صورت محصول فرعی) در حد قابل ملاحظه‌ای یافت می‌شود. اگر چه تولید نقره از این نخایر سهم عمده‌ای در میزان تولید جهانی آن دارد ولی به عنوان یک تولید مستقل به طور معمول مورد ملاحظه قرار نمی‌گیرد. زیرا اگر به دلایل محیط‌زیستی تولید سرب کاهش یابد، تولید نقره وابسته به آن نیز کاهش خواهد یافت. سهم نخایر گروه اول در تولید جهانی نقره ۲۵ درصد و سهم نخایر گروه دوم ۷۵ درصد است. دو کانی عمده نقره دار در نخایر آن عبارتند از آکانتیت (Ag_2S) و تتراهریت [$\text{Cu}_{12}\text{Sb}_4\text{S}_{13}$].

۳-۱-۴- جیوه

در ورقه ۱۰۰،۰۰۰: ۱ دیزج عنصر جیوه به دو روش آنالیز دستگاهی XRF پرتابل و روش

مطالعه کانی‌های سنگین مورد شناسایی و ارزیابی قرار گرفته است.

بر پایه نتایج بدست آمده از آنالیز دستگاهی و نقشه انتشار آن، عنصر جیوه در بخش محدودی

از ناحیه مورد مطالعه پراکنده بوده و مهمترین ناهنجاری آن در پیرامون روستای بغلچی بالا در

برگه ۱:۵۰،۰۰۰ کردکنی قرار دارد. این ناهنجاری تا حدودی با ناهنجاری‌های عناصر

تنگستان، باریم، آنتیموان و قلع همپوشانی و انطباق دارد.

بر پایه مطالعه به روش کانی‌های سنگین از ۹۷ نمونه برداشت شده، ۴۹ نمونه حاوی کانی

سیناپر می‌باشد که بر خلاف ناهنجاری‌های بدست آمده از آنالیز دستگاهی که به تقریب در بو

محفوظه مرکز می‌باشد، در کل ورقه دیزج پراکنده است بر این اساس مهمترین ناهنجاری‌های

آن در برگه ۱:۵۰،۰۰۰ کردکنی و در پیرامون روستای تغنیت دادرسی و تغنیت وسط

(وسعتی به تقریب ۴۵ کیلومتر مربع) و پیرامون روستای بغلچی بالا (وسعتی به تقریب ۸۰

کیلومتر مربع) قرار دارد. در این محدوده‌ها، کانی سیناپر در بخش غیر مغناطیسی کانی

سنگین تا بیش از ۵۰۰ نزه نیز مشاهده شده و با کانی‌های کرومیت، سرب و روی، طلا و

هرماه است.

در ناحیه مورد مطالعه کانی سیناپر به طور غالب، کانی کرومیت را همراهی کرده است با توجه

به اینکه مناسب‌ترین محیط برای نخایر کرومیت، کمپلکس افیولیتی است. در نتیجه به نظر

می‌رسد کانی سازی‌های جیوه شبیه به المعدن جیوه باشد. کانسار المعدن جدید در کالیفرنیا

۴-۱-۴- تنگستن

عنصر تنگستن در ورقه ۱:۱۰۰،۰۰۰ دیزج به دو روش آنالیز دستگاهی XRF پرتابل و مطالعه به روش کانی‌های سنگین (به صورت شئلیت) شناسایی و ارزیابی قرار گرفته است. بر پایه نتایج حاصل از آنالیز دستگاهی و نقشه انتشار آن، بیشترین و مهمترین تمرکز آن به تقریب بر نیمه جنوبی برگه ۱:۵۰،۰۰۰ کردکندی قرار دارد. ناهنجاری تنگستن در این محدوده با ناهنجاری‌های عناصر قلع، باریم، جیوه و روی انطباق و همپوشانی نشان می‌دهد. در صورت معنی دار بودن این همبستگی‌ها با توجه به پاراژنز با عنصر تنگستن، این محدوده ها می‌توانند با اهمیت تلقی شوند.

بر پایه مطالعه به روش کانی‌های سنگین از ۹۷ نمونه برداشت شده، ۱۲ نمونه حاوی کانی شئلیت می‌باشند. مقدار شئلیت در این نمونه‌ها از ۲ نره (در نمونه DB63) تا ۴۹/۶۸ گرم در تن (در نمونه DB22) در تغییر است. مقدار شئلیت در نمونه DB22 بعد از بروموفرم گیری به ۱ درصد در بخش غیر مغناطیسی کانی سنگین رسیده است که می‌توان مهم تلقی شود. حجم عمده نمونه‌های حاوی شئلیت (۱۱ نمونه) بر برگه ۱:۵۰،۰۰۰ بلسور سفلی قرار دارد.

بر پایه مطالعه به روش کانی‌های سنگین، در ناحیه مورد مطالعه مهمترین ناهنجاری شئلیت در پیرامون روستای تودان قرار گرفته و شامل نمونه‌های با شماره‌های DB21, DB23, DB41 و DB42 است. این نمونه‌ها از پیوستگی فضایی خوبی برخوردار بوده و از نظر اکتشافی می‌تواند حائز اهمیت باشد.

ناهنجاری‌های بدست آمده از روش تجزیه دستگاهی XRF پرتابل (تنگستن) با ناهنجاری‌های مطالعه به روش کانی سنگین (شئلیت) هیچگونه انطباق و همپوشانی نشان

نمی دهد.

تنگستن با تولید سالانه ۴۰،۰۰۰ تن و ارزش کمتر از ۵۰۰ میلیون دلار، معمولاً یک فلز آliaz آهن به شمار می‌رود، اگر چه فقط نزدیک به ۶ درصد آن بر تولید فولاد مصرف می‌شود (کسلر، ۱۹۹۲). کاربرد اصلی تنگستن تولید کاربید تنگستن یعنی یکی از سخت‌ترین مواد مصنوعی مورد مصرف در صنعت است. دومین بازار بزرگ تنگستن قطعات آسیاب شناخته شده از فلز خالص است. تنگستن خالص در صنایع الکتریک و الکترونیکی نیز مصرف دارد. سیم نازک تنگستن به عنوان فیلامنت چراغ‌های برقی و کاتد لوله‌های الکترونیکی مصرف می‌شود. فلز تنگستن همچنین در ساخت ابر آلیاژها همراه با مس یا نقره و نیز صنایع شیمیایی کاربرد دارد. از تنگستن همچنین برای ساخت زره و ضد زره و وسایل نظامی استفاده می‌شود، اگر چه بخشی از این آخرین کاربرد آن به وسیله اورانیوم فقیر شده جایگزین شده است. منابع اصلی تنگستن کانی‌های شیلیت (CaWO_4) و ولفرامیت (Fe_4WO_9) است که توسط محلول‌های گرمابی نهشته می‌شود. بیشتر نخایر تنگستن رابطه نزدیکی با توده‌های نفوذی گرانیتی داشته و محلول‌های گرمابی تنگستن دار نیز احتمالاً از همین توده‌ها ناشی شده‌اند. دو نوع اصلی نخایر گرمابی تنگستن عبارت است: از اسکارن‌های شیلیت دار و رگهای کوارتز و ولفرامیت دار. اسکارن‌های شیلیت دار در جایی یافت می‌شود که توده نفوذی در تماس با سنگ آهک قرار دارد. محتوی فلزی این نخایر پیچیده بوده و شامل مولیبدن، مس، سرب، آهن و حتی بیسموت می‌شود. تنگستن محصول جانبی مهمی را در نخیره مولیبدن پورفیری کلایمکس در کلرادو و نخایر قلع بولیوی تشکیل می‌دهد.

۴-۱-۵- مس

عنصر مس در ورقه ۱:۱۰۰،۰۰۰ دیزج به دو روش آنالیز سستگاهی XRF پرتابل و مطالعه

به روش کانی‌های سنگین مورد شناسایی قرار گرفته است.

بر پایه نتایج بدست آمده از آنالیز به روش XRF پرتابل و نقشه انتشار آن، ناهنجاری‌های مس

به طور کلی در ۵ محلوده از ناحیه مورد مطالعه گسترش دارد. این ناهنجاری تا حدودی با

ناهنجاری عناصر روی (در برگه ۱:۵۰،۰۰۰ بلسور سفلی) و آنتیموان و جیوه (در برگه

۱:۵۰،۰۰۰ کربکندي) همپوشانی و انبطاق نشان می‌دهد.

بنابر اظهار نظر ادوار دز واتکینسون (۱۹۸۵) ارزیابی ژئوشیمیایی رسوبات رویخانه،

مفیدترین روش برای شناسایی کانه زایی مس است. با این روش پراکندگی کانه زایی مس تا ۲۰

کیلومتر نسبت به مس پورفیری در جهت پایین رویخانه ردگیری شده است. اما متاسفانه در

ناحیه مورد مطالعه این ارزیابی بدليل پایین بودن صحت آنالیز سستگاهی نتوانسته مفید واقع

گردد. بر پایه مطالعه به روش کانی‌های سنگین در ناحیه مورد مطالعه از ۹۷ نمونه برداشت

شده، ۵ نمونه حاوی کانی‌های مس دار می‌باشند. کانی‌های مس دار شامل مالاکیت، کوولیت و

دیابولیت ($Pb_2 CuCl_4(OH)_2$) است. نمونه‌های ناهنجار حاوی ۱ الی ۲ ذره کانی‌های مس

دارد هستند. بر پایه این روش مطالعاتی، مهمترین ناهنجاری کانی‌های مس دار در شمال شمال

با ختر روستای جنگه سر قرار دارد. این ناهنجاری وسعتی به تقریب ۵۰ کیلومتر مربع داشته

و با ۳ نمونه کانی سنگین (DK69, DB63, DB62) پوشش داده شده است که در هر ۳ نمونه کانی

های مس دار مشاهده شده است. از دیگر کانی‌های همراه آن می‌توان به گالن، سروزیت،

شٹلیت، اسمیت زونیت، پیرومorfیت، باریت، لیمونیت، هماتیت و ... اشاره کرد که از نظر

اکتشافی می‌تواند بسیار حائز اهمیت باشند.

بر اساس شواهد صحرایی نیز، آثار کانی‌های مس دار (مالاکیت و کالکوپیریت) و پیریت در رگه‌های سیلیسی و نیز آلتراسیون لیمونیتی در ناحیه مورد مطالعه مشاهده شده است که از مهمترین آن می‌توان به پیرامون نمونه DB13 اشاره کرد در این محدوده نتایج بدست آمده از آنالیز دستگاهی XRF پرتابل نیز ناهنجاری از عنصر مس را نشان داده است اما بر بقیه موارد با نتایج حاصل از مطالعه به روش کانی‌های سنگین انطباق و همپوشانی نشان نمی‌دهد.

امروزه سولفیدهای مس منابع اصلی تولید مس هستند. موارد مصرف مهم مس در صنایع الکتریکی و به ویژه ساخت سیم‌های برق است و همچنین عنصر مس در تهیه آلیاژهای آن مانند برنج (مس - روی) و مفرغ (مس - قلع - روی) و ورشو (مس - روی - نیکل) بکار می‌رود. این موارد و سایر موارد دیگر باعث شده است که مس پس از آهن به عنوان دومین فلز با اهمیت در زندگی مدرن و متمدن شناخته شود.

کانسارهای مهم مس عبارتند از: مس پورفیری، اسکارن‌های مس‌دار، ماسیو سولفیدها، کانسارهای مس رسوبی استراتیاباند و ذخایر مس رگه‌ای. به دلیل اهمیت اقتصادی فوق العاده زیاد، بررسی‌های زمین‌شناسی شایان توجه‌ی چه به شکل آزمایشگاهی و چه در صحراروی این کانسارها انجام شده است.

۶-۱-۴- سرب و روی

در ورقه ۱۰۰،۰۰۰: ۱ دیزج عنصر سرب و روی به دو روش آنالیز دستگاهی XRF پرتابل و مطالعه و کانی سنگین شناسایی و بررسی شده است.

بر پایه نتایج بدست آمده از آنالیز دستگاهی، ناهنجاری های سرب به طور عمدۀ در بیش از ۱۰ محدوده متمرکز می باشد و به تقریب در چند محدوده با عنصر نقره و باریم همبستگی نشان می دهد. بر این اساس عنصر روی به طور عمدۀ در ۲ محدوده بیشترین ناهنجاری را نشان داده و انطباق زیادی با عنصر سرب ندارد اما تا حدودی با عناظر تنگستن، باریم (در پیرامون روستای بغلچی بالا) و بیسموت و تا حدودی مس در جنوب برگه ۱:۵۰،۰۰۰ پلسور سفلی همبستگی نشان می دهد.

بر پایه مطالعه به روش کانی سنگین، کانی های سرب و روی در ناحیه مورد مطالعه شامل گالن، سروزیت، سرب خالص، بیابولیت، پیرومورفیت، اسفالریت، اسمیت زونیت و همی مورفیت می باشد. از مهمترین ناهنجاری های آن می توان به حد فاصل بین نمونه DK72 (برگه ۱:۵۰،۰۰۰ کرد کندي) و روستای جنگه سر (برگه ۱:۵۰،۰۰۰ پلسور سفلی) اشاره کرد. این ناهنجاری راستای شمال باختری - جنوب خاوری داشته و وسعتی به تقریب ۱۱۰ کیلومتر مربع را در بر می گیرد. دیگر ناهنجاری های مهم در این محدوده شامل کانه طلا و نقره و کانی های سینابر، گروه مس و کرومیت می باشد. وجود چنین پاراژنز و لیتولوزی مناسب، اهمیت اکتشافی این محدوده را جهت اکتشاف کانسارهایی مثل ماسیوسولفید به اثبات می رساند.

سرب کاربرد فراوانی در آلیاژ سازی، صنایع نظامی، پوشش کابل ها، باطری اتومبیل، صنعت

چاپ، صنایع شیمیایی و غیره دارد. فلز روی نیز کاربرد فراوانی دارد که مهمترین آن در ورقه‌های گالوانیزه و صنایع شیمیایی می‌باشد. در نهادهای اخیر کاربرد سرب محدودتر شده ولی کاربرد و تقاضای جهانی روی افزایش یافته است.

تاکنون به تقریب ۱۲۰ نوع کانه سرب شناخته شده است که در میان آنها گالن مهمترین واقعیت‌داری ترین نوع آنهاست و ۹۰ درصد از تولید فلز سرب از این ماده است. دیگر کانه‌های با اهمیت شامل سرووزیت (Pb_3SO_4), آنگلزیت ($PbCO_3$) و لفنتیت ($PbMoO_4$) است. همچنین نزدیک به ۶۰ کانه روی شناخته شده که در میان آنها اسفالریت (ZnS) مهمترین کانی است. از دیگر کانه‌های با اهمیت روی می‌توان به اسمیت زونیت ($ZnCO_3$), همی مورفیت $Zn_4Si_2O_7(OH)$ و زنگیت (ZnO) اشاره کرد.

از نظر تیپ کانی سازی کانسارهای سرب و روی را می‌توان به انواع زیر تقسیم نمود
(اسمیرنوف و همکاران ۱۹۸۱):

۱- اسکارن

۲- هیدروترمال پلوتوژنیک

۳- هیدروترمال ولکانوژنیک

۴- ماسیو سولفید

۵- استراتی فورم

۶- متامورفیسم.

۴-۱-۷ آنتیموان

در ورقه ۱۰۰،۰۰۰: نیزج آنتیموان تنها به روش آنالیز دستگاهی XRF پرتابل اندازه

گیری شده و کانی آنتیموان دار (بیشتر استیبنیت) در مطالعه به روش کانی‌های سنگین مشاهده نشده است.

در ناحیه مورد مطالعه، بر پایه نتایج بدست آمده از آنالیز دستگاهی، ناهنجاری‌های آنتیموان به طور عمده در ۵ محدوده مرکزی باشد و مهمترین آن در بروگه ۱:۵۰،۰۰۰ کردکندی و به تقریب در باخته روستای مخور قرار دارد. این ناهنجاری به تقریب با ناهنجاری‌های عنصر جیوه همپوشانی و انطباق نشان می‌دهد. در مورد معنی دار بودن این همبستگی و همپوشانی‌ها با توجه به عدم اطمینان از صحت آنالیز دستگاهی نمی‌توان اظهار نظر کرد.

مهمترین کاربرد آنتیموان در مواد شیمیایی ضد آتش برای افزودن به مواد پلاستیک و مواد نساجی شده و به ویژه پوشاش کوکان است. حدود یک و ده پیش، آنتیموان به طور گسترده‌ای با سرب آلیاژ شده و در تولید باطری اتومبیل‌ها به کار می‌رفت، اما با پیدا شدن جایگزین، این بازار اکنون به شدت متزلزل شده است.

از دیدکلی و با توجه به خاستگاه کانسارهای آنتیموان می‌توان آنها را به سه گروه اصلی دسته بندی کرد:

۱- کانسارهای نوع گرمابی آذرین درونی. در این گونه کانسارها آنتیموان به دو صورت کمپاکس از کانه‌های Sb، Hg، As و ... و یا به صورت کانی آنتیموان دار با یک فلز دیگر (گاهی با طلا) با کانی کوارتز یافته می‌شود.

۲- کانسارهای گرمابی ولکانیکی: این نوع کانسارها در نواحی آتشفشانی جوان و گاهی

همراه با سنگهای آندزیتی تا ریولیتی و مناطقی که چشممهای آب گرم فراوان دارند، پدید می‌آیند. ماده معدنی در این کانسارها به صورت آنتیموان، آنتیموان- آرسنیک و آنتیموان- نقره است.

۲- کانسارهای استراتی فورم: در این کانسارها، ماده معدنی حالت لایه‌ای و یا عدسی‌های نازک و پهن منفرد داشته و همراه با سنگهای فراگیر جایگزین شده است.

۴-۱-۸ - گروم

بر ورقه ۱:۱۰۰،۰۰۰ بیزج عنصر کروم به دو روش آنالیز دستگاهی XRF پرتابل و مطالعه کانی سنگین مورد شناسایی و ارزیابی قرار گرفته است.

بر پایه نتایج بدست آمده از آنالیز دستگاهی ناهنجاری های کروم بطور عمدہ در ۳ محدوده کربکندی (۱:۵۰،۰۰۰ کربکندی) تودان و کلت سفلی (۱:۵۰،۰۰۰ بلسور سفلی) متمرکز می باشند. این ناهنجاری تا حدودی با ناهنجاری عنصر سرب همپوشانی نشان می دهد.

بر پایه نتایج بدست آمده از مطالعه به روش کانی های سنگین از ۹۷ نمونه برداشت شده، ۷۹ نمونه حاوی کانی کرومیت می باشد. این امر می تواند ناشی از گسترش مجموعه افیولیتی در ناحیه مورد مطالعه باشد. بر این اساس مهمترین ناهنجاری کرومیت بر ورقه بیزج در پیرامون روستای بالابان (بخش شمالی روستا) قرار دارد. لیتولوژی مناسب در این محدوده که می تواند به عنوان راهنمای اکتشافی، سودمند باشد شامل سنگهای اولترامافیک و سرپانتینیت است. از دیگر موارد مهم در این محدوده می توان به ناهنجاری های عناصر طلا و نقره و کانی های شیلیت، گروه سرب، ایلمنیت و ... و نیز گسله های از نوع راندگی، امتداد لغز و عادی اشاره کرد که هر یک می تواند راهنمایی اکتشافی خاصی را در اختیار بگذارد.

لازم به ذکر است ناهنجاری های بدست آمده از آنالیز دستگاهی (کروم) با ناهنجاری کانی سنگین (کرومیت) تنها بر یک محدوده (پیرامون روستای تودان) انطباق و هماهنگی نشان می دهد.

کرومیت تنها کانه کروم است. بخش بیشتر کرومیت به فروکروم تبدیل شده که نزدیک به ۷۰ درصد آن بر تولید فولاد ضد رنگ مصرف می شود. کاربردهای دیگر کرومیت در دیرگذازها

و مواد شیمیایی است. هیچ جانشینی برای کرومیت در تولید فرودکروم وجود ندارد که این عامل همراه با توزیع جغرافیایی بسیار محدود منابع کرومیت، آن را در شمار کانی‌های راهبردی قرار داده است.

تمام کانسارهای اقتصادی کرومیت در سنگ‌های آذرین اولترامافیک، مافیک و آنورتوزیتی قرار دارند. کانسارهای کرومیت به دو نوع اصلی تقسیم می‌شوند: چینه سان و انبانی شکل (که اغلب به ترتیب به عنوان نوع بوشولد و نوع آلپی شناخته شده‌اند).

لازم به نکر است کرومیت در ایران از نوع انباشتی می‌باشد. در این کانسارها سودمندترین راهنمای اکتشافی که به نظر می‌رسد کاربرد جهانی هم دارد، هم‌جواری کرومیت انبانی‌ای با منطقه اولترامافیک کمپلکس‌های افیولیتی است.

۹-۱-۴- تیتانیوم

در ورقه ۱۰۰،۰۰۰ دیزج، تیتانیوم بنابه روش مطالعه کانی‌های سنگین (ایلمنیت، روتیل و ...) شناسایی و ارزیابی شده است. بر این اساس، در ناحیه مورد مطالعه از ۹۷ نمونه کانی سنگین برداشت شده، ۴۰ نمونه حاوی کانی ایلمنیت بوده و بیشترین مقدار آن ۲۱۰/۵۶ گرم در تن است. این مقدار از نظر اقتصادی زیاد نمی‌تواند قابل توجه باشد اما پیوستگی فضایی مناسب در برخی محدوده‌ها مقادیر کم را نیز از نظر اکتشاف و دستیابی به کانسال در قسمت‌های بالا دست با اهمیت می‌سازد.

مهمترین ناهنجاری ایلمنیت در برگه ۱:۵۰،۰۰۰ بلسور سفلی و به تقریب در بخش شمال - شمال باختری روستای بالابان قرار دارد در این محدوده کانی ایلمنیت بیشتر با کانی‌های مگنتیت، پیروکسن، هماتیت، آمفیبول، زیرکن، کرومیت، اولیوین و آپاتیت همبستگی نشان می‌دهد. دیگر کانی‌های تیتانیوم دار در این محدوده و ناحیه مورد مطالعه شامل روتیل، آناتاز، نیگرین و اسفن می‌باشد که از نظر وجود و مقدار قابل توجه نمی‌باشند.

کانی ایلمنیت مهمترین منبع تهیه تیتانیوم است که تیتانیوم عمدتاً برای تهیه دی‌اکسید تیتان که در صنعت رنگ‌سازی به عنوان رنگدانه به کار می‌رود. تیتانیوم به دلیل داشتن استحکام زیاد و مقاومت در مقابل خوردگی در ساختن بدنه موتور سفینه‌های فضایی نیز کاربرد دارد. ایلمنیت یکی از کانی‌های فرعی و فراوان در سنگ‌های آذرین است و ممکن است بصورت توده‌های بزرگ در سنگ‌های گابرویی، دیوریتی و آنورتوزیتی دیده شود. همچنین به صورت پلاسربی همراه با مگنتیت، روتیل، زیرکن و مونازیت و در برخی موارد در بعضی از پکماتیت‌ها نیز دیده می‌شود.

۴-۲- نتیجه گیری

ورقه ۱:۱۰۰،۰۰۰ دیزج بر پایه مطالعات کانی‌های سنگین و مشاهدات صحرایی یکی از مهمترین نواحی مورد مطالعه در محور ماکو-اشنویه است. در این راستا مجموع نتایج بدست آمده از این پارامترها منجر به دستیابی به دستاوردهای با اهمیتی شده که به چکیده و اهم آنها پرداخته می‌شود.

۱- آنالیز نمونه‌های ژئوشیمی رسوب آبراهه ای به روش XRF پرتاپل بر اکثر موارد رابطه معنی دار و منطقی با نتایج بدست آمده از مطالعه به روش کانی‌های سنگین را بازگو نمی‌کند. این امر می‌تواند در کنترل نواحی ناهنجار بیشتر مشخص گردد.

۲- یافته‌های بسیار مثبت از مطالعه به روش کانی‌های سنگین در ناحیه دیزج و نواحی بیگر، اهمیت اکتشافی این روش را به اثبات می‌رساند امید است در ادامه پژوهش‌های اکتشافات ژئوشیمیایی به این امر بیشتر توجه شود.

۳- در ورقه دیزج از ناهنجاری‌های مهم بدست آمده از مطالعه به روش کانی‌سنگین می‌توان به ناهنجاری‌های طلا (۲۲ نمونه)، نقره (۱۴ نمونه)، سیناپر (۴۹ نمونه)، شئلیت (۱۲ نمونه)، کانی‌های حاوی سرب (۲۲ نمونه)، کانی‌های حاوی روی (۶ نمونه)، کرومیت (۷۹ نمونه)، ایلمنیت (۴۰ نمونه) و ... اشاره کرد.

۴- در ورقه دیزج بر پایه مطالعه به روش کانی‌های سنگین مهمترین ناهنجاری طلا و نقره در پیرامون روستای بالابان (برگه ۱:۵۰،۰۰۰ ۱:۵۰،۰۰۰ بلسور سفلی) و میرزا خان (برگه ۱:۵۰،۰۰۰ کردکندي)، سیناپر در پیرامون روستای تغذیت داردارسی و تغذیت وسط و نیز حدفاصل نمونه‌های DK72 و DK69 با درازای به تقریب ۱۲ کیلومتر با راستای شمال باختر-جنوب خاور (برگه ۱:۵۰،۰۰۰ کردکندي)، کانی‌های سرب و روی در حدفاصل نمونه DK72 (برگه ۱:۵۰،۰۰۰ کردکندي) و روستای جنگه سر (برگه ۱:۵۰،۰۰۰ بلسور سفلی)، شئلیت در

پیرامون روستای تودان (برگه ۰۰۰۰۱:۵ بلسور سفلی)، کانی‌های مس دار بر حدفاصل روستای بغلچی بالا و جنگه سر (برگه‌های ۰۰۰۱:۵ کردکندی و بلسور سفلی)، کرومیت و ایلمنیت حدفاصل روستاهای قورشاقلو والد (برگه ۰۰۰۱:۵ بلسور سفلی) قرار دارند.

۵- مشاهدات صحرایی آثاری از آلتراسیون لیمونیتی شدید، وجود رگه‌های سیلیسی مس دار، چشم‌هه سولفوره (بر یک محدوده) زون سولفوره پیریتی برشی شده و سیلیسی اکسید آهن دار، گسله‌ها و رادر ناحیه مورد مطالعه نشان می‌دهد که از نظر اکتشافی می‌توانند حائز اهمیت باشد.

۶- وجود آلتراسیون آلونیتی - کائولینیتی، سیلیسی و سرسیتی که در برخی موارد در داخل سنگ‌های آندزیتی - تراکی آندزیتی (واحد Ng^{an}) دیده می‌شود می‌توانند از نظر اکتشاف طلا، نقره و ۰۰۰ مهم تلقی شود.

۷- بر اساس تجربیات کارشناسان بخش اکتشافات ژئوشیمیایی، روش کانی سنگین در اکتشاف طلا، تنگستان، جیوه بسیار موفقیت آمیزتر از روش‌های آنالیز دستگاهی بوده است. علاوه بر آن در این روش از پاراژنز کانی‌های نیز می‌توان در اکتشاف کمک گرفت.

۸- در گزارش نقشه زمین‌شناسی بامقیاس ۰۰۰۰۱:۱۰۰ دیزج نوشته شده «میزان کانی سازی فلزی در محدوده مورد مطالعه (ورقه دیزج) بسیار کم است» این امر نشان می‌دهد که مشاهدات صحرایی و اکتشافات چکشی قبل از اکتشافات ژئوشیمیایی برای اکثر کانسارها نمی‌تواند چندان جوابگو باشد.

۹- بطور کلی اکتشاف موفق مستلزم تلفیق با احتیاط همه داده‌ها همراه با برک خوبی از فرایندهای مؤثر در کانه زایی و ۰۰۰۰۰ می‌باشد که متأسفانه در این ورقه و بیگر نواحی محور ماکو - اشنویه با توجه به نتایج بدست آمده از آنالیز دستگاهی این امر تحقق نیافته است.

۴-۳- پیشنهادات

بخش نهایی و پایانی یک گزارش ژئوشیمیایی که در برگیرنده معرفی نواحی امید بخش معدنی است می‌تواند به عنوان یک الگو و راهکار در جهت سرمایه‌گذاری آتی در راستای عملیات اکتشافی قرار گیرد. بر این اساس و بر پایه نتایج بدست آمده در ورقه ۱:۱۰۰،۰۰۰ بیزج که بیشتر متکی بر مطالعه کانی‌های سنگین است مناطق زیر جهت بررسی‌های بیشتر پیشنهاد می‌شود.

۱- پیرامون روستای بالابان واقع در برگه ۱:۵۰،۰۰۰ بلسور سفلی جهت اکتشاف عناصر طلا، نقره، تنگستان، سرب، روی و کروم. لازم به ذکر است در این محدوده می‌توان به وجود چشمی سولفوره، آلتراسیون لیمونیتی شدید، گسله‌ها (عادی، امتداد لغز و رانگکی) نیز اشاره کرد که اهمیت اکتشافی این محدوده را به اثبات می‌رسانند.

۲- پیرامون روستای میرزاخان و روستای دوشان تپه واقع در برگه ۱:۵۰،۰۰۰ کردکندي جهت اکتشاف عناصر طلا، نقره، جیوه و کروم.

۳- حد فاصل نمونه DK72 واقع در برگه ۱:۵۰،۰۰۰ کردکندي و روستای جنگه سر واقع در برگه ۱:۵۰،۰۰۰ بلسور سفلی جهت اکتشاف طلا و نقره، سرب، مس، جیوه و کروم. وجود چنین پاراژنزی و نیز لیتولوژی مناسب، احتمال اکتشاف کانسارهای ماسیو سولفید را ممکن می‌سازد. لازم به ذکر است این محدوده وسعتی به تقریب ۱۱۰ کیلومتر مربع داشته و راستای شمال باختری - جنوب خاوری دارد.

۴- پیرامون روستای تودان واقع در برگه ۱:۵۰،۰۰۰ بلسور سفلی جهت اکتشاف

تنگستان.

۵- پیرامون روستای تغنیت دار دارسی و تغنیت و سط واقع در برگه ۱:۵۰،۰۰۰ بلسور سفلی جهت اکتشاف جیوه و کروم.

۶- پیرامون روستای خان- مندلیج واقع در برگه ۱:۵۰،۰۰۰ کردکندی، جهت اکتشاف طلا و نقره.

۷- پیرامون روستای قزل آغل واقع در برگه ۱:۵۰،۰۰۰ بلسور سفلی جهت اکتشاف طلا.

۸- پیرامون روستای کردکندی واقع در برگه ۱:۵۰،۰۰۰ کردکندی جهت اکتشاف طلا و جیوه.

۹- پیرامون روستای بردرش علیا واقع در برگه ۱:۵۰،۰۰۰ بلسور سفلی جهت اکتشاف نقره. در این محدوده زون سیلیسی سولفوره و اکسید آهن دار دیده می شود.

۱۰- پیرامون روستای بلسور سفلی واقع در برگه ۱:۵۰،۰۰۰ بلسور سفلی جهت اکتشاف طلا.

۱۱- جنوب باختری روستای کلت سفلی واقع در برگه ۱:۵۰،۰۰۰ بلسور سفلی جهت اکتشاف طلا.

۱۲- پیرامون نمونه DK97 واقع در شمال خاوری برگه ۱:۵۰،۰۰۰ کردکندی جهت اکتشاف مولیبدن، تنگستان و لیزنتیم.

منابع فارسی

- ۱- راهنمای کاربران(۱۳۷۷)، شرکت آمارپردازان، مرکزفرهنگی انتشاراتی حامی.
- ۲- پرنده. سیمین(۱۳۷۵)، روشهای ژئوشیمیایی ذخایر معدنی، گزارش شماره ۶۲.
- ۳- گزارش و نقشه ۱:۲۵۰۰۰ خوی، قریشی.م، ارشدی.س، ۱۹۷۸.
- ۴- نقشه ۱:۱۰۰۰۰ دیزج ، امینی.ب، رادفر.ج، شماره ۴۸۶۷.
- ۵- حسنی پاک. علی اصغر(۱۳۷۰)، اصول اکتشافات ژئوشیمیایی، انتشارات دانشگاه تهران.

منابع خارجی

- 1- Richard F. Sanford. Charles T. Pierson and Robert A. Crovelli (1993): An Objective replacement method for Censored geochemical data. Mathematical Geology, Vol. 25. No. 10, PP.59-80.
- 2- R.Mccab, M. Sandilands and A.R.H. S. wan (1975): Introduction to geological data analysis.
- 3- Howarth, R.J. and Earle, S.A.M (1979) : Application of a generalized power transformation to geochemical data. Mathematical Geology. Vol. II , No. 1, PP. 45-48.
- 4- Govett.G.J.S. (1986): Hand book of exploration geochemistry. vol. 2. Elsevier.

ضمیمه شماره یک

**نتایج آنالیز نمونه های ژئوشیمیایی ، همراه با مختصات
جغرافیایی هر نمونه بصورت UMT**

APPX. 1-ANALYTICAL RESULTS OF DIZAJ 1:100,000 SHEET SAMPLES/Portable XRF results in ppm)

V	Zn	Pb	Ag	Cr	Ni	Bi	Sc	Cu	As	Sb	Cd	Co	Sn	Y	Ba	V	Hg	W	Al				
D1	4281790	24.478	16.085	1.617	66.726	90.393	0.097	4.492	32.662	1.148	0.123	66.306	6.067	14.142	469.304	38.21B	654.284	0.231	3.777	0.00			
D1 <i>1</i>	4282990	21.694	13.949	1.61	29.801	72.746	0.098	3.265	28.197	11.301	1.163	0.125	63.303	5.824	14.206	469.816	6.96	498.613	0.281	1.981	0.00		
D1 <i>2</i>	4263290	14.005	13.137	1.713	13.682	63.806	0.094	2.873	21.641	11.887	1.178	0.121	61.389	6.138	11.83	464.914	<5	511.326	0.273	0.344	0.00		
D1 <i>3</i>	4264630	11.986	10.431	1.678	78.201	112.6	0.101	5.717	37.732	12.181	1.278	0.117	66.689	6.684	13.066	385.543	70.807	821.261	0.297	0.881	0.00		
D1 <i>4</i>	4264630	11.986	10.431	1.678	74.363	103.849	0.104	8.829	27.789	12.06	1.224	0.118	62.527	6.738	13.546	400.388	67.969	798.932	0.266	3.88	0.00		
D1 <i>5</i>	4266010	20.763	12.513	1.637	10.285	10.285	0.098	6.008	46.261	11.188	0.13	67.076	5.703	14.384	360.801	71.903	620.112	0.282	40.2	0.00			
D1 <i>6</i>	4264460	6.781	10.285	1.685	91.79	12.023	0.092	6.008	46.261	11.188	0.13	67.076	5.703	14.384	360.801	71.903	620.112	0.282	40.2	0.00			
D1 <i>7</i>	4264660	22.926	12.172	1.582	40.029	98.404	0.106	4.481	31.178	10.947	0.129	63.766	6.063	14.455	403.407	41.034	638.597	0.283	1.841	0.00			
D1 <i>8</i>	4265270	15.379	9.843	1.634	65.185	105.372	0.108	5.059	36.801	11.926	0.125	66.884	6.538	13.941	56.342	56.342	778.798	0.231	0.2	0.00			
D1 <i>9</i>	4265630	18.237	15.93	1.724	42.276	74.676	0.082	4.28	30.141	11.963	0.119	62.88	6.034	13.886	478.797	30.58	846.303	0.233	1.384	0.00			
D1 <i>10</i>	4267080	16.596	1.805	69.03	105.207	10.287	0.092	6.341	41.457	11.018	1.203	0.13	61.304	6.595	14.494	420.188	56.962	849.047	0.283	40.2	0.00		
D1 <i>11</i>	4268320	49.919	16.668	1.288	27.362	73.254	0.118	3.846	23.43	10.293	0.126	66.747	6.424	14.345	431.047	26.184	547.716	0.178	13.842	0.00			
D1 <i>12</i>	4268430	14.944	13.259	1.642	66.826	97.727	0.095	6.176	40.88	11.372	1.212	0.128	68.712	6.813	14.375	414.621	54.168	667.736	0.28	40.2	0.00		
D1 <i>13</i>	4265560	11.088	9.269	1.616	89.341	132.336	0.083	6.273	47.102	10.398	1.287	0.14	69.618	6.261	16.075	224.824	80.424	887.281	0.288	40.2	0.00		
D1 <i>14</i>	4265630	14.056	1.724	6.276	9.344	1.634	0.124	6.683	64.383	10.782	1.31	0.14	70.059	6.428	16.004	341.619	66.985	604.846	0.231	40.2	0.00		
D1 <i>15</i>	4267080	10.786	8.631	1.637	60.777	122.113	0.097	4.705	44.612	10.487	1.32	0.139	70.844	6.688	14.971	333.148	44.356	614.082	0.308	40.2	0.00		
D1 <i>16</i>	4267260	14.739	12.492	1.549	92.81	11.083	0.093	6.637	36.629	10.708	1.242	0.134	62.723	6.477	14.728	361.367	62.164	563.107	0.28	40.2	0.00		
D1 <i>17</i>	4267247	14.334	10.825	1.493	81.621	126.135	0.089	6.002	42.649	10.384	1.268	0.136	66.874	6.451	14.776	361.678	606.904	606.904	0.276	40.2	0.00		
D1 <i>18</i>	4268940	24.098	10.496	1.431	83.786	120.66	0.1	6.613	45.871	9.988	1.247	0.14	69.871	6.485	15.958	302.4	67.403	606.967	0.271	40.2	0.00		
D1 <i>19</i>	4261640	32.958	15.939	1.574	23.935	69.837	0.108	3.146	26.696	10.943	1.194	0.125	62.317	6.182	14.283	486.889	9.926	629.907	0.216	6.424	0.00		
D1 <i>20</i>	4262780	27.131	11.242	1.424	59.89	104.891	0.106	4.506	36.862	10.286	1.244	0.133	64.479	5.97	14.698	384.574	42.934	659.277	0.262	40.2	0.00		
D1 <i>21</i>	4263716	10.688	11.513	1.568	93.115	92.389	0.107	3.732	32.673	10.683	1.291	0.135	61.887	6.898	14.743	411.648	23.853	673.515	0.274	40.2	0.00		
D1 <i>22</i>	4261720	13.527	10.541	1.647	31.682	88.057	0.099	2.747	36.431	11.34	1.247	0.129	69.812	6.873	14.46	389.966	<5	561.884	0.287	40.2	0.00		
D1 <i>23</i>	4261710	27.187	17.377	1.866	49.306	73.354	0.1	5.646	29.871	11.712	1.104	0.118	48.616	6.206	13.898	512.011	40.869	633.34	0.209	40.2	0.00		
D1 <i>24</i>	4268333	4263280	20.987	9.355	1.466	6.193	108.957	0.104	3.773	40.11	10.482	1.283	0.134	69.58	6.38	14.776	23.449	341.812	422.853	602.856	0.20	0.184	0.00
D1 <i>25</i>	426292	4261960	28.977	10.846	1.272	45.136	104.765	0.11	4.285	33.445	10.266	1.28	0.132	66.822	6.928	14.777	307.888	39.368	618.189	0.289	6.821	0.00	
D1 <i>26</i>	4261336	4262720	10.688	11.513	1.568	93.115	92.389	0.101	4.613	46.696	9.988	1.35	0.145	83.384	6.441	16.382	226.682	40.333	664.302	0.297	3.81	0.00	
D1 <i>27</i>	4268320	29.956	10.497	1.647	71.898	71.898	0.107	5.065	46.428	10.08	1.371	0.142	78.324	6.647	15.22	269.348	60.981	650.886	0.325	40.2	0.00		
D1 <i>28</i>	4268700	30.669	6.789	1.038	49.255	138.526	0.102	4.133	37.967	8.359	1.343	0.16	80.375	5.275	16.522	224.174	31.876	622.018	0.279	6.823	0.00		
D1 <i>29</i>	4268740	15.295	13.369	1.671	80.236	109.883	0.096	6.688	42.3	11.695	1.209	0.125	69.327	6.046	14.186	422.368	72.389	650.384	0.261	40.2	0.00		
D1 <i>30</i>	4268290	33.122	6.441	1.261	31.328	127.159	0.116	2.805	38.863	9.001	1.322	0.149	81.54	6.614	16.676	424.669	7.816	658.902	0.303	40.2	0.00		
D1 <i>31</i>	4267760	15.246	5.774	1.248	14.315	14.393	0.096	4.903	47.181	9.584	1.374	0.144	78.892	6.415	16.227	241.148	47.857	606.342	0.317	40.2	0.00		
D1 <i>32</i>	4267020	14.885	7.717	1.466	67.858	131.745	0.098	4.989	47.787	10.16	1.319	0.141	76.484	6.886	16.058	286.6	40.981	653.829	0.31	40.2	0.00		
D1 <i>33</i>	4269230	14.707	6.482	1.461	69.156	142.565	0.107	4.605	46.428	10.08	1.371	0.142	78.326	6.647	15.22	269.348	60.981	650.886	0.325	40.2	0.00		
D1 <i>34</i>	4267450	21.691	9.458	1.238	78.053	132.826	0.094	4.926	45.679	9.644	1.301	0.139	74.523	6.527	14.944	38.066	8.066	652.853	0.268	3.805	0.001		
D1 <i>35</i>	4269097	4267320	25.731	<5	0.922	22.656	151.978	0.111	2.306	41.078	7.866	1.481	0.169	96.895	6.307	16.168	44.196	48.848	643.906	0.268	3.805	0.001	
D1 <i>36</i>	4266600	16.613	9.108	1.512	46.957	116.057	0.104	3.912	43.694	10.418	1.304	0.139	71.887	6.86	16.044	323.252	27.034	680.776	0.286	40.2	0.001		
D1 <i>37</i>	4267420	10.369	12.28	1.613	118.226	126.4	0.086	6.619	49.338	11.334	1.218	0.120	80.476	6.73	14.203	406.063	80.891	653.841	0.28	40.2	0.001		
D1 <i>38</i>	4267420	26.088	13.122	1.545	64.522	105.982	0.104	4.86	36.748	9.054	1.304	0.142	70.163	6.491	15.24	313.267	41.976	675.331	0.261	40.2	0.001		
D1 <i>39</i>	4266330	40.837	6.778	0.965	23.176	136.777	0.112	2.958	29.44	9.068	1.325	0.161	87.731	6.667	14.944	38.066	8.066	652.037	0.268	3.805	0.001		
D1 <i>40</i>	4265900	13.81	13.643	1.691	71.636	100.898	0.098	6.747	36.798	11.619	1.21	0.127	68.469	6.776	14.886	390.066	56.39	653.846	0.261	40.2	0.001		
D1 <i>41</i>	4266320	31.117	5.288	0.878	21.862	139.311	0.111	3.677	32.954	8.368	1.406	0.16	88.639	6.693	16.634	189.486	48.848	640.306	0.267	40.2	0.001		
D1 <i>42</i>	4266320	32.663	6.922	1.02	29.826	132.103	0.114	3.228	34.673	8.808	1.377	0.146	83.019	6.58	15.863	203.814	14.936	653.841	0.28	40.2	0.001		
D1 <i>43</i>	4262266	4263620	18.783	8.656	1.417	51.716	128.521	0.104	4.623	37.306	9.913	1.325	0.142	70.163	6.491	15.24	313.267	42.488	612.848	0.296	40.2	0.001	
D1 <i>44</i>	4263997	4263630	<10	17.509	1.731	192.067	0.035	11.146	48.101	12.799	1.987	0.169	87.731	6.402	14.342	42.488	5.218	6.423</td					

APPX. 1-ANALYTICAL RESULTS OF DIZAJ 1:100,000 SHEET SAMPLES(Portable XRF results in ppm)

APPX. 1-ANALYTICAL RESULTS OF DIZAJ 1:100,000 SHEET SAMPLES(Portable XRF results in ppm)

	Zn	Pb	Ag	Cr	Ni	Sc	Bi	Co	Sn	Y	Ba	V	Sr	Hg	W	Au						
D6109	443620	4280470	16.206	13.431	1.667	70.146	115.433	0.085	5.611	33.278	1.208	0.127	80.84	6.818	14.384	437.215	65.169	544.375	0.259	40.2	0.001	
D6109	441618	4279890	16.747	12.249	1.636	64.89	117.081	0.1	4.83	34.476	11.14	1.236	0.13	65.561	6.831	14.827	404.7	48.082	577.704	0.27	40.2	0.001
D6109	441428	4279860	17.469	11.81	1.619	49.897	123.421	0.099	4.619	26.482	10.646	0.136	67.603	6.666	14.778	403.69	42.411	670.313	0.271	40.2	0.001	
D6109 ²	440883	4279200	19.788	11.704	1.866	23.599	119.414	0.102	3.211	26.816	10.199	1.246	0.134	71.982	6.645	15.069	380.844	8.685	569.616	0.287	40.2	0.001
D6109 ³	440605	4279200	13.201	11.031	1.618	64.553	114.816	0.096	4.779	31.816	10.963	1.268	0.134	69.588	6.734	14.774	374.102	44.930	650.714	0.285	40.2	0.001
D6109	439720	4278670	<10	11.678	1.627	60.223	112.154	0.06	5.203	32.287	11.218	1.246	0.13	62.092	6.144	14.23	388.868	37.639	653.264	0.279	40.2	0.001
D6109 ⁵	439640	4279490	<10	7.776	1.641	83.892	142.633	0.084	6.311	45.286	11.191	1.347	0.135	74.828	6.687	14.718	330.369	6.925	627.99	0.352	40.2	0.001
D6109 ⁶	439711	4279560	<10	12.599	1.761	83.302	124.131	0.082	6.831	36.531	12.322	1.246	0.12	63.296	6.016	13.777	434.429	64.214	666.781	0.284	0	0.001
D6109 ⁷	443619	4280740	<10	12.037	1.71	40.243	113.631	0.086	4.889	19.307	11.775	1.263	0.123	44.277	6.937	13.98	438.988	42.69	572.483	0.282	0	0.001
D6109 ⁸	442894	4282390	<10	11.671	1.734	78.789	131.921	0.086	6.046	33.091	12.143	1.248	0.122	66.639	6.001	14.819	413.408	50.748	561.505	0.292	0	0.001
D6109 ⁹	442090	4283840	<10	13.568	1.836	86.282	115.327	0.082	6.381	33.104	13.083	1.206	0.112	68.028	6.185	13.356	482.369	77.887	666.414	0.281	0	0.001
D6109 ¹⁰	440489	4284240	15.568	13.29	1.626	71.65	127.879	0.09	6.376	33.164	11.428	1.197	0.122	67.01	6.018	13.978	443.616	56.482	543.316	0.256	3.545	0.001
D6109 ¹¹	440060	4283940	<10	7.284	1.621	73.48	142.681	0.088	4.773	44.087	11.381	1.317	0.129	77.654	5.817	14.313	344.135	40.751	685.637	0.333	0	0.001
D6109 ¹²	439568	4283210	<10	10.837	1.607	86.432	136.531	0.093	4.736	36.396	10.888	1.268	0.134	72.469	6.086	14.479	382.286	27.604	565.244	0.286	0	0.001
D6109 ¹³	439353	4283280	<10	9.766	1.687	116.379	141.691	0.093	6.704	48.738	11.977	1.286	0.126	67.38	6.028	14.131	373.888	51.418	608.666	0.313	0	0.001
D6109 ¹⁴	440587	4285450	23.136	12.307	1.669	83.372	128.587	0.097	6.62	37.120	10.916	1.191	0.128	66.107	6.902	14.348	413.936	66.13	582.982	0.289	3.229	0.001
D6109 ¹⁵	448266	4279400	41.403	12.76	1.811	149.377	133.786	0.106	8.515	33.184	13.212	1.248	0.108	60.982	6.891	13.276	422.1	142.758	784.381	0.283	0	0.001
D6109 ¹⁶	4417336	4277060	17.969	11.291	1.812	72.779	95.379	0.116	6.887	30.306	13.842	1.247	0.129	60.68	7.889	12.693	419.198	74.723	1.003.036	0.299	5.413	0.001
D6109 ¹⁷	448454	4278840	<10	16.217	1.838	225.809	152.78	0.081	13.012	47.292	13.616	1.109	0.103	45.123	6.582	12.806	482.659	242.567	596.134	0.246	1.345	0.001
D6109 ¹⁸	449498	4278320	15.663	10.87	1.638	91.364	127.816	0.104	6.418	20.334	11.338	1.268	0.113	69.859	5.937	14.564	353.142	64.641	683.676	0.281	0	0.001
D6109 ¹⁹	460261	4277890	<10	14.382	1.886	173.483	139.527	0.088	10.907	42.183	13.238	1.208	0.112	63.621	6.266	13.377	443.398	183.352	630.211	0.271	0	0.001
D6109 ²⁰	449229	4276600	16.184	17.012	1.613	66.266	117.937	0.086	8.32	17.466	13.402	1.147	0.104	60.694	6.818	12.928	477.34	187.941	788.063	0.229	3.44	0.001
D6109 ²¹	441426	4276630/0	13.432	15.730	1.792	172.54	129.986	0.082	9.821	33.974	13.244	1.184	0.104	63.52	6.882	12.984	476.625	168.194	702.478	0.243	4.754	0.001
D6109 ²²	460789	4278420	<10	6.038	1.647	129.946	162.079	0.09	7.392	56.489	11.588	1.352	0.13	71.4	6.864	14.382	312.166	106.749	579.369	0.345	0	0.001
D6109 ²³	461353	4277870	<10	11.265	1.649	139.668	136.319	0.077	9.471	47.586	11.881	1.257	0.124	67.98	5.613	13.098	386.726	182.251	623.211	0.28	0	0.001
D6109 ²⁴	462497	4278320	10.008	8.824	1.587	101.408	131.103	0.099	6.276	38.391	11.864	1.282	0.125	67.872	6.026	14.2026	341.918	83.62	637.634	0.317	0	0.001
D6109 ²⁵	451796	4278110	<10	11.487	1.73	17.582	136.399	0.084	7.342	36.446	11.973	1.293	0.123	68.187	6.168	14.0239	393.54	107.685	685.005	0.28	0	0.001
D6109 ²⁶	462264	4276640	<10	11.008	1.646	121.442	134.31	0.086	7.51	30.379	11.721	1.274	0.123	66.968	6.122	13.326	376.988	107.873	681.803	0.287	0	0.001
D6109 ²⁷	453224	4275810	11.181	15.739	1.768	137.116	112.98	0.087	8.82	31.064	13.209	1.149	0.106	49.658	6.7	12.83	468.76	140.778	664.386	0.243	3.686	0.001
D6109 ²⁸	452498	4275360	<10	16.504	1.647	139.646	138.554	0.086	11.593	43.673	13.564	1.13	0.104	48.484	6.509	12.963	480.003	209.769	622.93	0.242	0.63	0.001
D6109 ²⁹	451680	4274740	11.201	16.956	1.821	189.864	130.492	0.082	11.179	46.76	13.213	1.114	0.105	47.24	6.435	12.957	491.115	197.451	997.854	0.23	3.611	0.001
D6109 ³⁰	451796	4274630	<10	15.959	1.862	173.271	135.7	0.088	10.162	44.779	13.129	1.178	0.11	64.268	6.62	13.216	485.295	174.504	685.005	0.249	0	0.001
D6109 ³¹	450374	4273980	<10	14.686	1.868	130.623	117.366	0.097	8.612	42.173	13.32	1.189	0.108	64.183	6.762	13.158	488.052	140.688	686.088	0.284	0	0.001
D6109 ³²	451286	4273440	12.561	17.661	1.803	223.621	153.728	0.081	13.025	50.161	13.138	1.091	0.106	46.92	6.376	13.002	498.565	242.765	572.549	0.221	3.538	0.001
D6109 ³³	448511	4285730	16.589	6.9	1.553	61.542	120.741	0.109	4.131	31.634	11.033	1.322	0.13	74.717	6.398	14.451	348.244	34.851	685.603	0.331	0	0.001
D6109 ³⁴	448949	4284470	13.932	7.958	1.569	65.378	130.948	0.107	4.126	27.747	10.792	1.33	0.133	77.369	6.187	14.641	367.234	33.796	708.242	0.319	0	0.001
D6109 ³⁵	449557	4284980	<5	1.316	26.014	131.826	0.116	2.727	22.762	10.041	1.386	0.132	84.067	6.571	14.577	370.8	32.4	722.145	0.384	7.844	0.001	
D6109 ³⁶	449432	4283400	20.569	11.824	1.711	5.5978	11.116	0.098	8.612	17.704	11.766	1.243	0.125	64.945	6.535	14.313	416.231	0.76	610.463	0.285	0	0.001
D6109 ³⁷	449610	4283430	9.763	<5	1.474	46.401	129.034	0.1	3.841	33.202	10.836	1.368	0.134	78.269	6.177	14.596	343.897	18.591	639.111	0.374	0	0.001
D6109 ³⁸	449619	4281700	<10	9.559	1.636	66.628	131.894	0.098	6.128	37.977	10.885	1.301	0.134	72.008	6.772	14.451	361.567	63.886	696.984	0.304	0	0.001
D6109 ³⁹	448817	4280720	<10	9.067	1.731	10.684	139.306	0.098	6.344	52.388	11.86	1.298	0.129	70.758	6.503	14.438	347.809	89.183	686.765	0.325	0	0.001
D6109 ⁴⁰	448497	4280490	18.028	8.261	1.736	88.397	138.467	0.101	6.221	49.287	11.982	1.336	0.128	71.198	6.967	14.398	348.682	82.952	639.183	0.336	0	0.001
D6109 ⁴¹	448059	4280190	<10	10.65	1.739	79.177	124.271	0.098	8.612	38.62	11.862	1.279	0.									

APPX. 1-ANALYTICAL RESULTS OF DIZAJ 1:100,000 SHEET SAMPLES(Portable XRF results in ppm)

	Zn	Pb	Ag	Cr	Sc	Cu	As	Sb	Cd	Co	Sn	Y	Ba	V	Sr	Hg	W	Au	
	Ni	Bi																	
Df143	42774380	<10	10.171	1.796	83.598	113.750	0.103	6.506	17.249	13.068	1.329	0.112	69.456	7.114	13.321	367.437	66.19	906.396	
Df149	4279680	<10	11.642	1.659	97.531	147.162	0.084	7.163	39.04	10.74	1.266	0.133	69.874	6.876	14.483	574.829	0.314	0	
Df150	4279560	<10	11.285	1.663	130.637	162.256	0.087	8.541	46.046	11.084	1.263	0.129	66.279	6.821	14.316	372.616	98.108	0.001	
Df151	466190	<10	10.28	1.628	101.959	135.422	0.09	6.672	32.063	11.363	1.277	0.128	67.832	6.876	14.313	368.072	133.927	0.001	
Df152	4556565	<10	11.632	1.686	58.287	104.243	0.119	6.058	28.718	12.55	1.266	0.111	67.554	7.853	13.272	400.827	88.829	0	
Df153	4277880	17.365	11.118	1.75	34.416	56.47	0.118	4.019	7.906	13.069	1.297	0.107	68.985	7.725	13.983	821.412	618.21	0.001	
Df154	4283240	10.443	10.392	1.833	57.497	100.173	0.112	4.76	22.027	13.663	1.302	0.103	69.766	7.773	12.759	368.562	63.878	6.235	
Df155	4283464	<10	7.249	1.839	57.151	102.129	0.116	4.318	14.504	14.002	1.371	0.101	73.376	8.086	12.851	334.783	43.135	1041.463	
Df156	4285060	14.346	8.435	1.495	73.528	147.259	0.098	6.766	31.466	10.046	1.308	0.14	76.886	6.743	14.89	349.904	70.178	574.829	
Df157	455591	<10	6.281	1.6	84.527	150.774	0.087	6.432	11.357	37.947	11.43	1.307	65.184	14.314	14.686	626.979	863.72	0.001	
Df158	4285530	15.183	15.423	1.396	96.546	116.023	0.083	7.082	30.84	12.138	1.14	0.117	65.184	6.038	13.812	468.609	96.022	0.001	
Df159	439813	16.693	17.879	1.774	30.825	80.065	0.09	4.401	16.926	12.236	1.128	0.114	62.688	6.286	13.536	460.718	32.492	2.354	
Df160	438739	<10	18.866	1.775	58.774	87.849	0.066	6.082	17.871	12.561	1.114	0.112	47.958	6.8	13.118	849.969	67.008	504.166	
Df161	438864	4287300	<10	11.868	1.738	149.016	17.979	0.07	7.67	38.886	12.084	1.241	0.123	65.487	6.789	13.939	417.366	108.211	0.001
Df162	439517	4287480	<10	17.618	1.876	53.314	87.478	0.083	5.805	21.518	12.949	1.148	0.111	48.344	6.233	13.302	649.08	65.154	0.001
Df163	441927	4304680	10.688	14.489	1.708	60.65	100.716	0.087	6.783	20.804	12.285	1.181	0.116	54.569	6.153	12.581	625.818	0.232	40.2
Df164	439043	4286600	16.958	12.086	1.571	86.181	134.811	0.082	6.446	29.939	11.125	1.16	0.127	65.988	6.701	14.202	428.819	79.617	2.767
Df165	438950	4291930	14.866	9.305	58.669	0.096	3.506	7.949	13.564	0.812	0.097	32.512	7.033	12.669	534.778	32.492	1.162		
Df166	439833	4292680	18.234	13.768	61.334	97.454	0.087	6.786	27.874	11.423	1.133	0.124	61.86	6.854	14.073	461.757	65.165	0.001	
Df167	439994	4293960	62.791	20.326	1.605	1.458	39.479	0.109	3.166	9.81	12.229	0.89	0.103	60.126	7.102	13.016	626.654	866.82	0.001
Df168	439217	4290770	<10	11.872	1.72	23.446	97.806	0.098	3.382	<5	12.285	0.266	0.117	67.591	6.156	14.644	342.118	10.655	17.846
Df169	440436	4291310	17.371	11.319	1.545	67.836	122.584	0.082	4.836	22.647	11.381	1.159	0.12	70.678	6.037	13.779	442.819	738.952	0.001
Df170	441079	4292390	23.241	16.863	1.762	60.878	76.938	0.082	4.818	22.676	12.624	0.993	0.108	49.518	6.235	13.134	673.688	12.892	5.845
Df171	4428688	4284010	<10	8.970	1.717	27.628	118.829	0.092	4.984	37.537	12.315	1.263	0.118	69.536	6.287	13.204	419.391	14.141	0.001
Df172	443524	4286510	<10	10.749	1.628	26.104	107.981	0.082	3.876	24.044	11.65	1.268	0.123	70.826	6.171	13.969	392.882	20.273	513.919
Df173	443461	4286280	<10	7.294	1.55	66.215	135.249	0.079	4.834	22.448	10.98	1.308	0.122	76.294	6.692	13.895	390.859	37.918	0.001
Df174	443373	4287040	<10	11.76	1.732	61.749	58.463	0.086	4.842	6.646	12.924	1.214	0.108	63.832	6.749	13.206	419.755	39.399	6.566
Df175	443757	4289790	10.04	14.308	1.854	62.613	58.503	0.084	4.852	14.007	13.788	1.132	0.097	54.487	7.191	12.353	452.901	38.76	0.001
Df176	443489	4287610	<10	11.275	1.768	43.89	89.859	0.086	4.595	27.616	12.423	1.187	0.117	59.681	6.184	13.635	461.757	14.044	0.001
Df177	443649	4288670	<10	13.34	1.83	67.029	92.564	0.091	4.298	19.739	13.016	1.199	0.11	62.016	6.628	13.224	463.175	60.638	0.001
Df178	443006	4290230	10.176	11.336	1.642	49.416	109.093	0.089	4.973	23.24	11.722	1.237	0.121	68.096	6.169	13.885	423.065	46.164	0.001
Df179	442833	4291270	<10	9.206	1.702	63.611	112.285	0.083	5.116	33.681	12.377	1.279	0.118	67.277	6.277	13.965	419.755	69.795	0.001
Df180	443167	4289140	<10	5.094	1.67	39.012	65.189	0.09	3.949	15.861	12.095	1.244	0.118	65.399	6.428	13.663	402.905	33.405	3.271
Df181	442042	4289400	<10	10.385	1.7	7.115	10.041	0.101	2.62	16.773	11.97	1.268	0.122	71.548	6.422	13.967	47.73	34.78	0.001
Df182	443864	4286620	<10	9.442	1.618	138.713	0.084	6.126	37.186	11.073	1.274	0.122	74.202	7.519	13.438	376.069	20.168	687.503	
Df183	444948	4289410	<10	7.425	1.55	64.779	147.364	0.085	4.864	36.104	10.985	1.309	0.122	78.871	5.801	14.426	462.917	46.164	0.001
Df184	443408	4291100	<10	4.758	1.696	79.072	155.149	0.083	6.645	39.86	11.326	1.367	0.134	77.387	6.689	14.614	305.988	60.108	6.325
Df185	444547	4292820	27.027	10.536	1.816	64.461	114.551	0.089	6.24	25.261	11.386	1.081	0.119	63.011	6.193	13.747	498.902	62.865	0.324
Df186	445063	4289250	<10	6.121	1.569	71.113	156.703	0.083	6.264	39.128	10.504	1.366	0.14	86.106	6.429	14.373	50.007	50.317	8.615
Df187	446408	4290320	16.23	12.693	1.683	63.45	103.449	0.083	4.35	25.485	12.262	1.232	0.118	63.465	6.999	13.885	462.784	56.027	0.344
Df188	445892	4276310	<10	13.614	1.785	131.917	130.517	0.083	8.077	31.288	13.565	1.204	0.101	60.179	7.098	12.541	483.216	47.73	0.001
Df189	446408	4280740	<10	12.724	1.761	50.401	102.81	0.083	4.516	28.869	12.027	1.181	0.12	62.817	6.13	13.742	482.289	31.688	0.001
Df190	445417	4281860	<10	12.764	1.832	38.554	90.766	0.089	3.811	24.706	12.748	1.206	0.116	62.33	6.362	13.568	458.307	17.364	0.001
Df191	445748	4282670	<10	12.588	1.772	53.916	105.015	0.083	4.32	25.485	12.262	1.232	0.118	64.428	6.145	14.373	50.007	50.317	8.615
Df192	446933	42835670	<14.17	14.38	1.841	38.798	83.156	0.089	3.703	19.054	12.785	1.114	0.112	67.734	6.443	13.363	490.915	47.73	0.001
Df193	445256	4282720	<10	9.35	1.686	69.78	127.673	0.086	6.024	36.686	11.771	1.277	0.125	71.692	6.869	14.026	484.462	46.164	0.001
Df194	445452	4283470	<10	9.387	1.703	48.143	115.644	0.084	4.306	28.831	12.219	1.296	0.119	71.248	6.498	13.721	374.636	30.827	40.2
Df195	445756	4283900	<10	7.934	1.6	61.851	130.681	0.083	4.372	26.104	11.237	1.304	0.128	64.143	6.143	14.226	382.361	33.147	614.613
Df196	445630	4286210	<10	10.534	1.756	105.353	105.989	0.083	4.366	30.827	12.166	1.226	0.119	63.84	6.148	13.708	470.64	27.87	615.989

APPX. 1-ANALYTICAL RESULTS OF DIZAJ 1:100,000 SHEET SAMPLES(Portable XRF results in ppm)

	Zn	Pb	Ag	Cr	Ni	Bi	Sc	Cu	As	Sb	Co	Sn	Y	Ba	V	Sr	Hg	W	Au					
DJ-07	4286430	<10	5.704	1.86	79.311	161.752	0.081	6.359	44.32	11.548	1.37	0.13	78.928	5.73	14.314	333.661	51.747	559.443	0.361	<0.2	0.00			
DE-01	4287490	13.026	11.494	1.731	60.604	96.184	0.082	4.078	31.036	12.168	1.132	0.117	62.058	6.167	13.068	469.472	512.37	0.293	1.691	0.00				
DB-00	4287940	13.462	11.779	1.741	38.254	97.403	0.088	3.772	26.721	12.038	1.164	0.118	63.837	6.331	13.656	489.785	16.782	519.982	0.29	1.651	0.00			
DK-00	42856020	13.179	12.17	1.845	31.130	92.483	0.084	4.039	22.509	11.871	1.169	0.118	62.521	6.209	13.629	446.823	20.375	518.686	0.274	3.867	0.00			
DK-01	42868020	22.1	14	13.567	1.614	14.559	66.016	0.08	3.108	16.517	12.134	1.082	0.111	62.651	6.372	13.137	634.408	<5	468.366	0.268	11.262	0.00		
DK-02	4288460	70.3	<5	0.218	29.136	145.745	0.096	3.217	0.683	6.21	1.144	0.131	88.983	7.799	13.811	228.005	6.04	645.736	0.439	67.43	0.00			
DK-03	4289020	12.295	16.409	1.837	17.125	38.624	0.07	3.602	19.098	13.863	0.963	0.097	38.731	6.723	12.348	688.858	2.858	431.241	0.234	8.089	0.00			
DK-04	4289820	<10	20.65	1.828	32.052	30.72	0.026	3.965	17.197	13.838	0.861	0.081	34.481	6.128	11.639	768.083	<5	430.777	0.206	14.048	0.001			
DK-05	428950	18.951	1.888	28.767	54.031	0.077	5.596	21.054	13.013	0.976	0.102	49.979	6.849	12.706	700.891	5.807	464.332	0.219	10.045	0.001				
DK-06	4280620	22.576	18.288	<5	54.639	0.086	2.617	12.659	0.99	0.106	50.054	6.859	12.958	492.786	<5	492.786	0.22	8.816	0.001					
DK-07	4291189	19.826	17.801	1.889	22.983	56.745	0.074	3.606	16.808	13.114	0.966	0.103	46.122	6.5	12.773	666.224	7.003	462.917	0.233	8.201	0.001			
DK-08	4291060	<10	3.67	1.649	68.344	168.67	0.079	6.323	37.92	11.681	1.377	0.128	81.036	6.847	14.008	382.609	49.036	698.073	0.309	4.921	0.001			
DK-09	4285950	4.283170	6.992	8.299	1.619	80.094	143.615	0.091	6.324	33.98	11.603	1.307	0.127	77.383	6.202	14.136	343.419	66.824	666.043	0.32	4.92	0.001		
DK-10	4283620	<10	7.648	1.676	86.967	161.867	0.079	6.336	40.868	11.582	1.36	0.113	78.69	6.782	14.262	339.335	75.406	556.123	0.336	<0.2	0.001			
DK-11	4284030	<10	7.159	1.663	84.823	149.997	0.077	6.348	40.257	11.496	1.382	0.129	79.187	6.76	14.204	348.871	74.488	551.572	0.34	<0.2	0.001			
DK-12	4286260	<10	8.818	1.585	82.229	166.759	0.075	5.843	36.74	11.386	1.317	0.127	79.743	6.791	14.065	368.686	61.029	563.72	0.31	4.92	0.001			
DK-13	4284100	<10	6.617	1.687	86.812	154.966	0.08	6.27	42.027	11.681	1.382	0.129	76.439	6.774	14.229	350.031	73.84	524.242	0.352	<0.2	0.001			
DK-14	4284970	<10	5.864	1.644	93.378	157.09	0.089	4.64	35.914	10.844	1.374	0.133	86.64	6.865	14.487	336.764	38.277	578.908	0.348	0.2	0.001			
DK-15	4285580	<10	9.069	1.72	96.14	153.869	0.074	6.887	40.356	12.186	1.312	0.122	72.556	6.859	13.773	372.554	85.87	563.061	0.323	<0.2	0.001			
DK-16	4285620	<10	4.5	1.532	38.396	147.686	0.091	3.641	32.382	10.974	1.388	0.126	87.56	6.893	13.885	470.738	13.946	633.789	0.501	4.117	0.001			
DK-17	4285620	4.267	<5	1.463	7.473	136.002	0.092	2.761	18.408	9.648	1.349	0.131	85.134	6.817	13.913	648.477	<5	678.909	0.542	14.244	0.001			
DK-18	4285289	<10	5.437	1.633	43.086	136.888	0.081	4.37	27.117	11.416	1.298	0.125	76.75	6.176	13.923	446.833	27.321	552.969	0.368	0	0.001			
DK-19	4286940	<10	10.73	1.723	46.616	127.374	0.078	6.046	24.684	12.226	1.286	0.119	70.138	6.071	13.636	412.444	42.513	538.439	0.301	<0.2	0.001			
DK-20	4287160	<10	9.936	1.728	11.404	0.082	6.887	40.356	12.088	1.373	0.122	71.319	6.064	13.822	423.674	7.924	619.42	0.316	<0.2	0.001				
DK-21	4287470	<10	8.96	1.697	76.326	152.759	0.078	6.882	34.161	11.72	1.316	0.126	77.32	6.842	14.051	316.775	63.246	539.753	0.32	<0.2	0.001			
DK-22	4288750	<10	8.698	1.692	91.283	157.162	0.07	6.486	38.891	11.844	1.331	0.126	76.87	6.859	13.944	368.886	74.487	548.166	0.324	<0.2	0.001			
DK-23	4288020	<10	8.188	1.617	29.053	134.261	0.083	4.304	21.141	11.492	1.342	0.127	76.432	6.611	14.096	363.933	26.649	534.325	0.326	<0.2	0.001			
DK-24	4288320	16.764	<5	1.52	5.144	94.684	0.086	3.006	16.034	11.261	1.189	0.114	67.882	7.385	13.621	635.247	0.61	549.845	0.428	16.661	0.001			
DK-25	4288400	12.218	<5	1.528	23.93	123.567	0.091	3.387	18.005	10.376	1.244	0.122	78.413	7.224	13.563	688.048	7.721	577.66	0.484	16.273	0.001			
DK-26	4286600	<10	2.21	1.479	30.747	143.328	0.084	4.348	16.003	10.1	1.287	0.131	79.824	6.469	14.1	563.074	28.214	625.805	0.396	9.169	0.001			
DK-27	4290890	4.292	4.501	1.583	35.406	114.298	0.069	3.931	22.739	11.545	1.249	0.118	68.813	6.369	13.364	540.063	34.466	540.063	0.346	7.719	0.001			
DK-28	4292322	4.290810	<10	8.216	1.658	88.823	154.568	0.074	6.788	32.112	12.284	1.329	0.12	74.859	6.046	13.655	561.138	84.293	598.575	0.332	7.976	0.001		
DK-29	4291400	<10	3.779	1.593	26.918	125.319	0.081	3.051	19.713	11.238	1.304	0.125	78.194	6.218	13.899	471.238	<5	548.4	0.386	2.329	0.001			
DK-30	4291710	<10	10.823	1.827	20.826	72.73	0.065	3.216	12.868	1.066	1	0.104	61.327	6.111	12.566	782.707	<5	461.346	0.331	11.886	0.001			
DK-31	4291790	10.461	15.016	1.793	30.306	9.966	0.078	3.605	17.486	12.021	1.112	0.112	62.769	6.85	13.104	625.108	8.478	616.443	0.301	10.087	0.001			
DK-32	4292950	<10	10.982	1.76	28.649	16.046	0.035	4.086	18.646	12.812	1.16	0.108	66.622	6.856	12.623	601.323	<5	496.061	0.311	7.976	0.001			
DK-33	4293956	4.303990	<10	1.52	93.676	160.426	0.072	2.077	27.231	10.836	1.278	0.127	74.742	6.044	13.909	562.398	75.541	571.631	0.343	6.316	0.001			
DK-34	4293630	<10	8.144	1.788	67.268	135.497	0.08	5.098	30.91	12.491	1.346	0.112	68.937	6.891	13.726	481.625	44.891	544.266	0.342	<0.2	0.001			
DK-35	4290430	13.526	4.573	1.457	49.235	120.784	0.078	7.066	38.321	11.51	1.347	0.126	80.028	6.111	13.854	384.056	9.132	560.626	0.398	<0.2	0.001			
DK-36	4302800	<10	16.351	1.669	127.179	135.347	0.076	8.832	22.258	12.219	1.078	0.111	66.727	6.367	13.098	545.898	135.784	545.898	0.219	9.817	0.001			
DK-37	4292499	115.322	<10	16.014	1.793	120.248	132.127	0.041	9.614	20.228	13.186	1.162	0.106	60.714	6.799	12.655	51.639	10.408	226.784	147.438	580.636	1.024	164.8	0.001
DK-38	429169	115.322	<10	16.119	1.911	189.656	138.882	0.101	8.805	12.774	10.883	1.024	0.104	61.386	6.839	12.627	56.831	225.706	572.041	74.818	384.508	0.314	1.856	0.001
DK-39	4299830	<10	8.1	1.635	173.345	165.203	0.086	6.176	10.892	10.892	1.171	0.129	76.806	6.998	12.422	74.767	7.977	74.818	14.225	544.066	0.397	33.826	0.001	
DK-40	4297940	4.297940	4.297940	<5	1.457	49.235	120.784	0.078	7.066	38.321	11.51	1.347	0.126	80.028	6.111	13.854	384.056	9.132	560.626	0.398	16.792	0.001		
DK-41	429165	4.29165	4.29165	<5	1.457	49.235	120.784	0.078	7.066	38.321	11.51	1.347	0.126	80.028	6.111	13.854	384.056	9.132	560.626	0.398	16.792	0.001		
DK-42	4292																							

APPX. 1 ANALYTICAL RESULTS OF DIZAJ 1:100,000 SHEET SAMPLES/Portable XRF results in ppm)

	Zn	Pb	Ag	Cr	Ni	Bi	Sc	Cu	As	Sb	Cd	Co	Sn	Y	Ba	V	Sr	Hg	W	Au
D _{A-16}	4297800	6.482	56.332	0.084	6.416	20.298	11.679	12.131	1.245	0.117	66.05	6.668	13.428	488.93	678.905	0.348	7.447	0.001		
D _{A-17}	4297200	<10	9.789	1.744	96.465	156.751	0.078	7.424	30.666	12.244	0.122	1.333	0.118	71.893	7.156	59.74	13.813	408.822	101.659	
D _{A-18}	4296850	17.315	<5	1.165	58.618	133.751	0.084	5.33	14.855	10.042	1.282	0.118	71.893	7.156	13.284	605.702	52.649	590.824	25.982	
D _{A-19}	429806	4295490	38.43	<5	0.873	24.358	123.98	0.094	3.966	4.927	8.823	1.202	0.123	74.08	7.337	13.804	607.849	23.451	569.083	0.485
D _{A-20}	4294740	<10	8.617	1.615	111.638	156.86	0.081	4.28	26.583	10.73	1.371	0.127	85.614	6.718	13.974	443.851	31.51	627.267	0.448	
D _{A-21}	4296830	<10	8.617	1.615	111.638	156.86	0.081	6.988	36.236	11.887	1.27	0.122	74.93	6.177	13.806	403.482	92.62	671.826	0.318	
D _{A-22}	4291040	<10	7.616	1.658	94.916	142.878	0.082	6.021	38.051	12.089	1.302	0.121	73.864	6.303	13.893	781.111	68.008	671.498	0.338	
D _{A-23}	4295300	15.15	8.392	1.681	37.178	88.195	0.09	4.141	24.889	12.1	1.138	0.128	98.091	7.987	12.99	632.349	25.845	508.94	0.386	
D _{A-24}	4294120	<10	4.828	1.643	92.855	154.307	0.08	6.128	45.897	11.775	1.386	0.128	76.845	6.959	14.131	238.714	70.584	528.191	0.373	
D _{A-25}	4294270	<10	4.382	1.537	111.671	187.464	0.081	6.806	61.596	10.998	1.408	0.136	89.264	6.702	14.828	264.806	87.694	580.129	0.363	
D _{A-26}	4304380	<10	5.841	1.637	111.107	186.641	0.083	6.55	52.047	11.182	1.389	0.133	88.572	6.833	14.407	328.399	82.506	688.776	0.362	
D _{A-27}	4305580	<10	4.774	1.608	101.659	172.336	0.044	6.825	50.291	11.454	1.382	0.132	80.806	6.065	14.097	281.163	70.069	627.982	0.367	
D _{A-28}	4304220	<10	4.45	1.568	101.674	196.957	0.077	6.314	50.116	10.913	1.481	0.114	97.112	6.028	14.776	236.144	73.688	572.909	0.404	
D _{A-29}	4304340	<10	4.586	1.586	98.405	181.859	0.078	6.389	46.707	11.331	1.414	0.134	87.112	6.731	14.419	262.456	76.722	676	0.374	
D _{A-30}	4313990	<10	4.9	1.569	79.751	192.045	0.08	6.785	44.16	10.718	1.419	0.137	89.67	6.805	14.854	291.864	62.038	559.965	0.37	
D _{A-31}	42864	4296590	<10	7.664	1.767	91.885	143.103	0.077	6.354	41.739	12.857	1.326	0.119	70.76	6.16	13.804	394.39	74.467	546.68	0.348
D _{A-32}	429289	4304100	<10	7.281	1.639	99.118	156.155	0.081	6.482	43.436	11.655	1.323	0.127	76.526	6.882	14.05	238.131	79.867	537.418	0.336
D _{A-33}	4304280	<10	4.5	1.543	99.915	186.935	0.086	6.222	47.837	10.887	1.431	0.136	91.724	6.726	14.776	236.144	73.688	572.909	0.404	
D _{A-34}	4302800	<10	4.5	1.266	115.556	148.71	0.082	7.819	31.721	10.306	1.199	0.118	67.414	6.685	15.493	624.074	113.424	516.908	0.364	
D _{A-35}	4304400	21.222	<5	1.637	91.554	162.909	0.08	6.225	44.849	11.604	1.346	0.126	79.948	6.834	14.041	338.286	73.019	584.028	0.357	
D _{A-36}	4306210	<10	7.056	1.621	55.58	146.804	0.095	4.563	36.068	11.497	1.329	0.127	82.323	6.241	14.182	310.307	38.559	603.305	0.343	
D _{A-37}	4297740	10.493	<10	1.807	141.188	124.318	0.083	6.832	24.886	11.428	1.205	0.126	69.358	6.982	13.889	427.049	39.642	607.974	0.287	
D _{A-38}	429620	4296930	<10	13.821	1.734	53.9	12.124	0.074	4.599	29.109	12.753	1.124	0.107	64.063	6.372	12.941	546.738	26.315	658.721	0.321
D _{A-39}	4296480	<10	11.681	1.702	37.851	102.79	0.084	4.586	24.807	12.301	1.211	0.114	62.451	6.37	13.402	486.116	34.17	631.713	0.364	
D _{A-40}	4297380	14.136	10.018	1.746	30.137	67.24	0.083	3.973	18.627	12.850	1.079	0.106	48.799	6.736	12.854	684.18	18.284	471.889	0.286	
D _{A-41}	450303	4297960	<10	11.518	1.813	30.972	85.769	0.09	4.164	23.459	13.071	1.185	0.108	66.521	6.68	13.119	620.978	26.068	617.896	0.368
D _{A-42}	450263	4296290	<10	10.172	1.681	125.706	0.083	6.231	4.054	28.777	12.864	1.244	0.111	85.486	6.546	13.198	416.072	74.659	638.232	3.41
D _{A-43}	4299484	4299720	<10	11.396	1.759	64.16	113.878	0.082	6.178	12.731	1.123	0.113	64.863	6.372	12.921	546.780	26.315	658.721	0.321	
D _{A-44}	429774	4295720	<10	9.482	1.767	100.479	146.144	0.072	7.236	37.864	12.711	1.289	0.116	65.904	6.602	15.442	422.016	84.189	647.786	0.286
D _{A-45}	447451	4295260	65.25	<5	1.039	<5	76.704	0.085	3.435	<5	9.336	0.106	65.397	7.948	12.985	823.353	10.702	484.332	0.381	
D _{A-46}	447022	4296450	24.056	11.777	1.673	9.416	75.559	0.091	3.554	8.385	12.306	1.054	0.107	54.347	6.385	13.012	604.379	11.631	520.87	0.292
D _{A-47}	447237	4297960	18.852	1.712	1.456	17.165	11.938	0.092	3.603	14.46	11.138	1.224	0.121	70.968	6.549	13.761	440.628	11.228	576.005	0.325
D _{A-48}	429870	<10	1.609	4.28	130.111	0.081	5.87	26.476	11.962	1.276	0.119	67.714	6.189	13.862	443.279	6.372	548.387	0.34		
D _{A-49}	449046	4299750	<5	12.11	1.668	34.696	127.698	0.085	5.466	11.767	11.761	1.246	0.112	67.467	6.114	13.748	468.112	6.255	568.825	0.278
D _{A-50}	449727	4306520	<10	19.581	1.822	217.096	155.569	0.05	13.79	38.459	13.963	1.04	0.087	39.779	6.289	12.182	658.926	24.645	444.033	0.21
D _{A-51}	448469	4299720	10.205	1.656	47.115	133.823	0.088	4.462	24.272	11.281	1.271	0.124	75.847	6.142	13.939	392.676	33.012	675.001	0.289	
D _{A-52}	449756	4304580	<10	15.288	1.977	149.134	134.339	0.071	9.914	32.659	14.007	1.197	0.103	61.067	6.616	12.887	639.781	160.397	654.876	0.277
D _{A-53}	449406	4299870	<10	11.186	1.755	6.742	127.921	0.082	4.584	26.911	12.354	1.282	0.118	68.288	6.325	13.856	443.221	6.325	67.783	0.3
D _{A-54}	449274	4308440	<10	8.276	1.687	92.629	157.963	0.075	6.821	40.211	12.132	1.353	0.127	77.184	6.1363	13.969	356.653	14.069	578.877	0.363
D _{A-55}	449266	4306880	<10	3.626	1.518	8.187	157.963	0.075	6.174	43.847	10.991	1.41	0.138	87.561	5.686	14.643	250.426	61.225	671.866	0.371
D _{A-56}	449113	4305050	<10	6.099	1.76	108.372	161.986	0.076	7.209	40.781	12.427	1.328	0.12	70.288	6.198	13.891	443.168	36.084	86.181	0.336
D _{A-57}	440270	4306120	<10	5.067	1.676	97.383	180.687	0.081	6.844	46.994	11.693	1.419	0.131	86.188	5.824	14.329	298.036	88.985	593.974	0.371
D _{A-58}	447506	4304520	<10	5.932	1.755	121.738	0.089	4.558	32.8	12.745	1.342	0.118	70.777	6.335	13.856	363.221	36.611	562.179	0.371	
D _{A-59}	440953	4306520	<10	8.276	1.687	88.094	152.308	0.082	6.634	38.753	11.813	1.363	0.127	77.184	6.1363	13.969	356.653	14.069	578.877	0.363
D _{A-60}	440626	4306880	<10	3.626	1.518	77.266	171.389	0.089	6.174	43.847	10.991	1.41	0.138	87.561	5.686	14.643	250.426	61.225	671.866	0.371
D _{A-61}	440725	4306990	<10	7.884	1.687	103.087	168.661	0.078	6.788	46.688	11.779	1.422	0.127	78.319	6.731	14.146	356.884	36.084	645.947	0.381
D _{A-62}	439866	4304970	<10	4.049	1.596	87.889	148.603	0.089	4.528	38.887	11.391	1.386	0.13	81.886	6.819	14.273	313.406	36.01	573.447	0.383
D _{A-63}	439279	4305330	<10	4.948	1.604	63.958	148.603	0.089	4.476	39.746	150.085	1.								

APPX. 1-ANALYTICAL RESULTS OF DIZAJ 1:100,000 SHEET SAMPLES(Portable XRF results in ppm)

	Zn	Pb	Ag	Cr	Ni	Sc	Bi	Cu	As	Sb	Cd	Co	Sn	V	Hg	W	Ba	Sr	V	Hg	W	Au	
DK-93	4305600	10.213	8.494	1.647	33.48	99.43	0.085	3.419	28.96	12.149	1.286	0.118	67.462	6.486	13.708	373.166	10.412	584.963	0.323	<0.2	0.001		
DK-96	437967	11.406	6.262	1.473	40.561	131.159	0.083	3.332	17.875	10.908	1.325	0.129	81.454	6.123	14.264	326.668	7.313	592.16	0.331	1.988	0.001		
DK-49*	4307890	<10	8.308	1.703	31.543	115.163	0.092	3.327	26.27	12.098	1.316	0.122	76.276	6.329	13.888	590.422	6.069	590.422	0.331	<0.2	0.001		
DK-98	4308820	<10	10.348	1.804	11.978	101.001	0.084	2.709	25.485	12.683	1.291	0.118	71.062	6.462	13.888	376.437	6.069	694.969	0.318	<0.2	0.001		
DK-100	437150	12.867	12.142	1.714	26.986	84.104	0.092	3.88	12.869	12.487	1.193	0.11	67.368	6.781	13.188	496.428	20.585	636.036	0.304	6.822	0.001		
DK-100*	4308050	11.393	9.189	1.618	23.188	96.632	0.097	3.463	19.348	12.382	1.259	0.113	65.233	6.806	13.37	431.536	12.415	680.61	0.316	4.744	0.001		
DK-101	437110	14.295	12.325	1.763	18.905	87.763	0.1	3.152	20.096	12.507	1.206	0.113	63.1	6.72	13.448	468.042	6.06	673.718	0.283	2.416	0.001		
DK-102*	4308910	10.565	10.361	1.698	5.136	96.398	0.095	2.797	12.938	11.968	1.249	0.103	67.759	6.846	13.877	446.491	<5	583.387	0.302	2.361	0.001		
DK-103	437284	12.853	9.59	1.669	20.812	103.731	0.1	2.819	17.092	12.04	1.272	0.119	71.225	6.566	13.76	608.843	13.76	608.843	0.308	0.968	0.001		
DK-104	437379	30.8620	14.542	1.635	11.836	108.126	0.103	2.674	20.218	11.75	1.272	0.123	73.699	6.383	14.069	372.105	<5	684.19	0.304	40.2	0.001		
DK-105	437679	4.305130	<10	5.102	1.707	42.629	0.096	3.674	37.748	12.071	1.349	0.126	79.212	6.103	14.191	320.918	17.223	577.446	0.374	<0.2	0.001		
DK-106	437612	4304870	13.32	<5	1.41	26.027	101.688	0.093	3.751	20.93	10.824	1.28	0.118	65.488	7.083	13.424	694.74	17.463	635.198	0.441	16.77	0.001	
DK-107	437366	4304850	11.938	<5	1.741	52.537	94.455	0.09	5.027	24.064	12.382	1.166	0.103	66.992	7.181	12.966	617.591	47.896	628.789	0.384	9.163	0.001	
DK-108	436253	26.88	<5	1.435	31.626	100.566	0.096	3.706	17.208	10.884	1.14	0.113	66.306	7.536	13.074	683.746	6.069	690.901	0.387	22.802	0.001		
DK-109	436400	43033380	<10	13.62	1.844	107.41	0.089	3.706	17.208	10.884	1.14	0.113	66.306	7.536	13.074	683.746	6.069	690.901	0.387	22.802	0.001		
DK-110	440163	4302750	70.311	<5	0.672	69.46	91.369	0.092	6.392	4.233	7.683	0.106	54.107	6.413	12.802	498.725	94.819	619.959	0.28	1.576	0.001		
DK-111	439078	4301440	14.279	11.748	1.665	20.263	98.368	0.099	3.608	22.784	11.91	1.234	0.119	65.242	8.886	12.195	1002.312	83.052	479.018	0.483	70.806	0.001	
DK-112	434785	4303830	<10	19.135	1.877	99.962	108.201	0.08	7.669	<5	13.915	1.074	0.095	48.786	6.51	13.766	448.487	14.802	565.327	0.283	2.442	0.001	
DK-113	433816	4304490	19.041	17.097	1.853	26.623	72.696	0.089	3.916	19.124	12.76	1.108	0.111	63.846	6.62	13.402	620.906	24.714	614.333	0.232	7.788	0.001	
DK-114	434026	4305040	<10	11.041	1.757	17.486	101.512	0.088	3.305	27.126	12.26	1.268	0.12	68.691	6.463	13.833	418.677	8.106	662.468	0.299	<0.2	0.001	
DK-115	434321	4305610	22.052	19.824	1.908	29.966	36.404	0.086	3.99	14.235	13.347	0.986	0.101	46.319	6.776	12.724	603.629	20.366	478.276	0.202	7.039	0.001	
DK-116	434458	4305610	11.427	11.172	1.76	41.686	111.686	0.1	4.144	27.878	12.289	1.281	0.118	67.528	13.754	414.782	30.973	592.568	0.295	<0.2	0.001		
DK-117	433720	4306360	<10	9.546	1.675	14.606	107.446	0.094	2.37	12.008	11.532	1.289	0.128	74.384	6.023	12.382	570.261	106.195	529.037	0.211	7.788	0.001	
DK-118	455232	4290240	<10	10.207	1.668	13.912	0.079	6.289	32.031	12.063	1.27	0.119	68.563	6.131	13.655	395.308	73.217	567.308	0.302	1.44	0.001		
DK-119	456468	4289930	<10	9.713	1.764	11.661	142.759	0.079	7.682	26.842	12.843	1.286	0.115	66.965	6.236	13.414	593.624	3.322	593.624	0.299	<0.2	0.001	
DK-120	454402	4292030	17.751	8.055	1.447	35.766	59.561	0.097	3.473	28.48	11.121	1.282	0.124	60.924	6.776	12.724	603.629	20.366	478.276	0.202	7.039	0.001	
DK-121	455986	4291650	10.877	11.465	1.544	59.759	131.61	0.084	6.639	24.932	11.671	1.235	0.119	68.838	6.298	13.641	407.297	88.301	590.329	0.274	5.187	0.001	
DK-122	456414	4292090	<10	10.636	1.757	89.641	130.94	0.056	7.195	14.036	13.319	1.224	0.108	63.436	6.036	12.856	388.348	<5	540.638	0.312	<0.2	0.001	
DK-123	456388	4293710	<10	12.068	1.731	98.941	145.46	0.072	8.036	22.141	12.853	1.256	0.112	64.365	6.205	13.181	442.674	14.797	569.586	0.31	4.005	0.001	
DK-124	456469	4295640	<10	12.178	1.767	67.437	134.438	0.078	6.282	18.723	12.573	1.286	0.116	68.805	6.236	13.414	430.416	73.174	600.153	0.289	4.268	0.001	
DK-125	456509	4296460	<10	7.685	1.721	38.501	150.019	0.087	4.881	22.609	12.146	1.367	0.125	80.894	6.083	14.017	392.223	42.954	607.201	0.243	<0.2	0.001	
DK-126	456565	4297050	<10	9.48	1.811	93.392	137.048	0.072	6.458	35.98	13.368	1.242	0.109	67.951	6.256	13.066	409.521	74.992	590.667	0.331	<0.2	0.001	
DK-127	456364	4294340	<10	11.751	1.814	21.37	91.165	0.078	3.298	22.108	12.509	1.16	0.108	62.449	6.036	12.856	384.047	85.094	566.586	0.31	4.005	0.001	
DK-128	430954	4315000	<10	5.871	1.666	4.589	0.087	10.459	2.669	21.146	11.938	1.3	0.118	70.843	6.032	13.062	518.963	<5	521.122	0.301	3.005	0.001	
DK-129	431070	4315370	14.96	1.866	39.923	84.234	0.08	4.213	18.337	12.889	1.034	0.108	65.074	6.342	13.076	680.964	22.606	593.762	0.364	3.084	0.001		
DK-130	431197	4313930	19.139	18.601	1.798	20.826	75.662	0.076	4.198	9.918	12.508	1.001	0.108	61.498	6.439	13.076	593.762	0.291	593.762	0.364	<0.2	0.001	
DK-131	431344	4313640	16.625	11.91	1.682	<5	84.047	0.093	2.899	0.195	12.157	1.18	0.116	62.333	6.44	13.822	449.134	<5	643.889	0.28	4.605	0.001	
DK-132	431471	4313130	23.865	19.114	1.828	8.81	64.572	0.087	3.824	6.15	13.139	0.992	0.103	48.292	6.687	12.898	568.787	16.364	487.814	0.205	8.542	0.001	
DK-133	4313020	4312320	<10	11.705	1.805	36.486	97.055	0.079	3.954	25.049	13.212	1.188	0.112	63.502	6.702	13.223	478.187	15.89	596.407	0.312	4.005	0.001	
DK-134	431109	4312060	<10	17.34	9.84	1.786	35.488	106.919	0.087	3.781	26.23	12.688	1.226	0.117	67.939	6.122	13.671	473.434	15.391	616.862	0.323	<0.2	0.001
DK-135	433140	4311870	<10	18.439	2.071	21.896	53.355	0.086	3.75	20.886	14.322	1.046	0.088	45.514	6.819	12.989	602.944	14.271	474.903	0.242	<0.2	0.001	
DK-136	432624	4310620	<10	16.183	1.963	18.795	68.844	0.079	3.603	17.379	13.46	1.138	0.107	52.242	6.401	12.893	605.137	7.284	472.96	0.272	4.005	0.001	
DK-137	433467	4312320	<10	12.296	1.83	22.733	103.435	0.082	3.813	21.002	12.787	1.224	0.112	62.108	6.202	13.262	465.009	18.796	678.737	0.29	4.005	0.001	
DK-138	434079	4312360	<10	1.43	<5	4.476	8.032	18.503	0.082	5.98	10.897	1.417	0.134	94.354	6.867	13.039	67.824	6.036</					

APPX. 1-ANALYTICAL RESULTS OF DIZAJ 1:100,000 SHEET SAMPLES(Portable XRF results in ppm)

	Zn	Pb	Ag	Cr	Ni	Bi	Sc	Cu	As	Sb	Cd	Co	Sn	Y	Ba	V	Si	Hg	W	Au		
DK14	4.65919	4314000	8.496	1.764	11.982	0.087	2.913	17.807	12.44	1.323	0.118	76.384	6.632	13.645	401.294	<6	646.16	0.333	<0.2	0.001		
DK15	437401	4313400	13.181	1.888	10.193	0.092	79.822	18.455	13.144	1.173	0.107	69.043	6.762	13.076	658.585	<6	639.383	0.288	1.774	0.001		
DK16	437351	4313640	9.053	1.699	106.818	0.057	4.245	22.346	12.884	1.284	0.115	67.29	6.741	13.275	394.792	12.18	573.203	0.325	<0.2	0.001		
DK17	437018	4313990	9.10	9.05	1.696	98.23	127.199	0.086	6.193	23.129	1.302	0.117	72.314	6.35	13.673	401.613	49.867	613.271	0.318	<0.2	0.001	
DK18	437593	4314990	10.47	1.735	74.832	0.087	5.479	28.785	12.71	1.289	0.114	71.477	6.483	13.376	389.885	57.923	626.102	0.324	<0.2	0.001		
DK19	435142	4315420	10.10	9.816	1.763	35.325	104.144	0.102	3.684	21.947	12.629	0.116	70.267	6.483	13.585	389.034	20.31	607.574	0.316	<0.2	0.001	
DK20	436274	43155620	10.443	1.389	1.696	33.786	106.526	0.085	4.016	21.327	12.184	0.105	66.19	6.25	13.498	434.588	20.189	646.211	0.286	3.98	0.001	
DK21	437767	4313840	<10	8.488	1.741	26.182	113.221	0.088	3.449	24.696	12.364	1.33	0.12	74.038	6.37	13.728	378.681	7.874	682.991	0.302	<0.2	0.001
DK22	438197	4313361	<10	9.627	1.801	9.846	104.824	0.086	2.689	14.024	12.876	1.316	0.117	72.728	6.688	13.027	421.083	<6	681.878	0.328	<0.2	0.001
DK23	437312	4312100	<10	10.333	1.76	99.988	0.082	2.381	7.481	12.323	1.287	0.117	70.861	6.45	13.032	427.398	<6	679.58	0.308	<0.2	0.001	
DK24	4311040	4311040	<10	8.683	1.695	<6	101.079	0.096	2.671	12.642	12.284	1.281	0.117	71.136	6.897	13.61	396.846	<6	676.885	0.324	0.983	0.001
DK25	437646	4310940	<10	10.206	1.746	<5	110.076	0.1	2.611	13.191	12.124	1.276	0.118	74.738	6.876	13.686	428.887	<6	601.632	0.306	0.46	0.001
DK26	438684	4313490	<10	9.748	1.722	26.582	119.898	0.089	3.786	21.372	12.101	1.318	0.121	76.393	6.362	13.77	393.186	15.882	684.102	0.312	<0.2	0.001
DK27	440914	4313200	16.716	14.205	1.721	90.191	0.088	3.889	16.336	12.821	1.146	0.11	60.884	6.857	13.204	478.744	18.809	624.69	0.264	6.778	0.001	
DK28	441114	4313310	<10	6.982	30.768	0.092	3.85	20.032	12.28	1.386	0.112	78.404	6.298	13.78	337.387	19.418	624.839	0.346	<0.2	0.001		
DK29	441141	4314660	<10	8.467	1.683	60.284	128.232	0.086	4.408	24.904	11.981	1.327	0.123	76.815	6.087	13.934	368.739	30.728	662.644	0.326	<0.2	0.001
DK30	441851	4313230	<10	8.633	1.773	41.626	127.88	0.092	3.988	19.765	12.816	1.346	0.118	77.226	6.337	13.719	368.138	23.456	608.792	0.333	<0.2	0.001
DK31	443190	4313030	<10	10.867	1.659	115.279	0.089	3.255	11.81	11.612	1.273	0.122	73.946	6.135	13.826	403.292	3.434	546.61	0.29	1.386	0.001	
DK32	443824	4312870	<10	13.245	1.747	24.168	91.327	0.078	4.029	16.222	12.637	1.19	0.111	60.716	6.474	13.14	488.677	17.333	615.895	0.273	3.84	0.001
DK33	443897	4312620	<10	9.4	1.748	82.403	153.962	0.071	6.326	35.731	12.196	1.322	0.121	76.977	6.886	13.706	363.412	10.797	664.161	0.32	<0.2	0.001
DK34	443303	4315630	<10	9.129	1.764	123.323	154.368	0.084	3.878	16.953	12.491	1.336	0.119	74.963	6.329	13.622	368.076	16.264	683.061	0.327	<0.2	0.001
DK35	443370	4316090	<10	8.461	1.696	26.666	129.983	0.084	4.374	18.676	12.004	1.326	0.123	75.572	6.111	13.914	360.811	28.527	632.378	0.327	<0.2	0.001
DK36	444090	4316090	<10	6.117	1.78	32.009	131.134	0.088	4.089	24.901	12.595	1.409	0.123	77.636	6.222	13.884	338.678	23.83	662.254	0.371	<0.2	0.001
DK37	4456687	4316610	<10	8.602	1.799	52.04	133.21	0.087	4.889	23.484	12.892	1.354	0.116	76.776	6.519	13.443	384.809	46.829	618.621	0.34	<0.2	0.001
DK38	445499	4316640	<10	7.933	1.765	31.7	134.966	0.083	4.304	19.074	12.52	1.37	0.118	79.88	6.587	13.632	386.816	31.877	652.21	0.342	<0.2	0.001
DK39	445392	4316980	<10	7.432	1.708	23.894	126.343	0.089	4.46	19.644	12.502	1.344	0.118	74.776	6.512	13.606	367.349	33.552	616.268	0.344	<0.2	0.001
DK40	446142	4315840	<10	14.888	1.888	27.347	80.667	0.084	4.304	18.983	13.516	1.176	0.106	55.846	6.777	12.838	469.361	57.043	627.043	0.327	<0.2	0.001
DK41	447361	4315710	<10	12.84	1.972	50.201	102.987	0.083	4.943	27.476	13.91	1.26	0.106	62.902	6.733	12.822	460.444	42.526	674.044	0.304	<0.2	0.001
DK42	447722	4315120	<10	14.552	1.861	60.272	101.002	0.085	5.688	16.45	13.476	1.171	0.103	60.315	6.763	12.809	480.869	48.137	677.276	0.286	<0.2	0.001
DK43	448533	4312980	<10	13.451	1.949	65.56	108.533	0.086	5.941	24.671	13.961	1.234	0.102	60.32	6.881	12.703	468.336	60.826	653.869	0.227	6.32	0.001
DK44	449103	4316980	<10	14.638	1.811	68.334	101.819	0.089	6.636	20.066	12.507	1.181	0.107	68.479	6.762	13.008	490.931	62.488	667.892	0.26	3.357	0.001
DK45	449108	4316860	<10	12.194	1.917	63.619	10H.022	0.084	5.8	9.687	14.086	1.237	0.1	62.237	6.981	12.078	708.666	30.04	821.435	0.281	4.985	0.001
DK46	449738	4316200	<10	11.338	1.783	116.442	0.091	4.923	11.041	13.421	1.289	0.104	69.768	7.108	12.775	429.975	46.123	579.787	0.29	3.321	0.001	
DK47	449765	4315610	<10	19.043	1.997	132.904	113.599	0.071	5.357	24.972	14.686	1.072	0.09	46.226	7.071	11.889	688.774	147.315	653.869	0.227	6.32	0.001
DK48	451371	4313040	<10	11.433	1.861	54.235	117.18	0.088	6.049	45	13.919	1.288	0.099	70.817	7.376	12.432	452.078	41.363	926.181	0.304	2.789	0.001
DK49	451929	4312280	<10	13.111	1.893	39.035	105.988	0.087	5.6	13.862	1.229	0.1	66.855	7.225	12.515	473.44	30.514	821.435	0.281	4.985	0.001	
DK50	453067	4310530	<10	9.009	1.832	56.191	109.719	0.082	5.071	16.381	1.284	1.284	0.092	68.374	7.504	12.039	452.686	50.117	965.68	0.336	4.985	0.001
DK51	453286	4310620	<10	11.156	1.874	82.79	114.433	0.1	4.978	45	14.007	1.283	0.097	74.723	7.572	12.14	444.435	51.559	943.449	0.307	4.985	0.001
DK52	452692	4309910	<10	17.185	1.98	86.084	97.824	0.069	6.846	29.446	14.307	1.086	0.097	48.285	6.703	12.293	468.035	82.78	516.182	0.25	1.312	0.001
DK53	453649	4309460	<10	12.475	2.034	123.183	108.849	0.076	7.887	36.963	16.732	1.22	0.082	54.098	7.781	11.362	605.356	111.647	848.695	0.318	2.861	0.001
DK54	453468	4309040	<10	11.303	1.952	86.35	116.303	0.084	6.478	30.029	14.692	1.283	0.094	62.923	7.296	12.189	449.714	81.194	821.435	0.281	4.985	0.001
DK55	453213	4308740	<10	10.864	1.93	71.989	106.823	0.083	5.819	28.566	14.489	1.261	0.094	61.384	7.376	12.151	459.065	64.139	805.867	0.322	1.97	0.001
DK56	453268	4308160	<10	12.713	1.808	108.986	0.075	6.072	24.832	13.413	1.207	0.104	69.172	6.899	12.899	467.044	66.677	833.798	0.285	3.102	0.001	
DK57	450697	4309750	<10	11.831	1.861	92.339	0.081	6.831	22.372	13.882	1.111	0.099	63.305	6.813	12.628	611.046	63.781	680.992	0.283	3.774	0.001	
DK58	452166	4308450	<10	21.751	2.027	120.268	87.157	0.063	8.6													

APPX. 1-ANALYTICAL RESULTS OF DIZAJ 1:100,000 SHEET SAMPLES(Portable XRF results in ppm)

	Zn	Pb	Ag	Cr	Ni	Bi	Sc	Cu	As	Sb	Cd	Co	Sn	Y	Ba	V	Si	Hg	W	Al			
DK-91	440837	4312020	<10	7.903	1.738	127.722	114.146	0.062	2.960	24.696	12.204	1.348	0.122	76.146	6.298	13.897	368.601	<5	563.61	<0.2	0.001		
DK-91	440910	4311810	<10	10.204	1.757	111.222	105.504	0.095	2.968	22.509	12.277	1.293	0.119	73.367	6.349	10.795	407.789	<5	563.632	<0.2	0.001		
DK-91	440494	4310840	<10	8.966	1.865	17.038	105.504	0.095	2.968	22.286	13.09	1.322	0.116	71.916	6.473	11.564	388.214	<5	563.101	<0.2	0.001		
DK-91	440217	4311010	<10	5.698	1.695	9.028	127.136	0.091	3.183	18.82	12.045	1.386	0.124	79.814	6.114	14.061	327.924	2.784	576.974	0.363	<0.2	0.001	
DK-91	442976	4311450	<10	5.719	1.667	77.55	164.831	0.076	6.67	39.935	11.796	1.394	0.128	82.576	5.778	14.093	318.826	56.884	576.485	0.361	<0.2	0.001	
DK-91	442439	4310960	<10	5.713	1.695	86.784	162.730	0.077	6.298	41.162	11.938	1.383	0.128	80.562	6.938	14.178	305.36	72.304	547.887	0.363	<0.2	0.001	
DK-91	444536	4312600	<10	8.896	1.761	28.364	112.515	0.092	3.961	19.737	12.652	1.316	0.117	71.845	6.417	13.84	381.224	11.973	584.126	0.328	<0.2	0.001	
DK-91	4414945	4312224	<10	10.629	1.768	32.163	114.7	0.075	3.965	23.792	12.5	1.279	0.116	71.496	6.448	13.071	420.661	23.047	676.068	0.304	<0.2	0.001	
DK-91	4465412	4311730	<10	4.447	1.721	84.377	175.866	0.069	6.682	44.147	12.176	1.446	0.128	82.886	6.899	14.038	300.96	78.459	674.197	0.386	<0.2	0.001	
DK-91	445953	4311966	<10	10.748	1.708	87.547	162.730	0.082	6.672	35.222	12.234	1.236	0.116	67.831	6.253	13.527	423.759	86.247	524.144	0.298	1.346	0.001	
DK-91	447047	4310760	<10	10.94	1.622	58.429	126.224	0.082	6.047	24.908	11.505	1.234	0.123	71.451	6.832	13.985	418.023	44.863	514.006	0.285	2.113	0.001	
DK-91	4438175	4309680	<10	10.057	1.808	81.306	181.444	0.078	6.359	36.184	12.768	1.305	0.117	69.816	6.087	13.648	413.213	76.133	546.15	0.322	<0.2	0.001	
DK-91	449541	4308380	<10	8.519	1.751	127.741	153.295	0.075	7.939	44.956	12.684	1.282	0.116	69.249	6.303	13.461	379.323	113.012	528.371	0.303	<0.2	0.001	
DK-91	448310	4306950	<10	6.321	1.731	81.181	153.041	0.05	6.042	42.024	12.428	1.381	0.124	76.978	6.516	13.735	320.407	65.468	642.763	0.364	<0.2	0.001	
DK-91	447921	4307350	<10	6.495	1.75	115.567	172.831	0.077	7.027	60.966	12.301	1.381	0.123	81.427	6.908	13.38	342.708	91.204	682.013	0.359	<0.2	0.001	
DK-91	446962	4307470	<10	9.371	1.728	81.038	150.953	0.076	6.365	36.368	12.038	1.311	0.123	73.927	6.842	13.885	382.732	74.445	541.771	0.318	<0.2	0.001	
DK-91	445743	4306820	<10	5.753	1.617	90.634	182.843	0.073	6.471	42.438	11.326	1.406	0.131	86.529	6.681	14.272	369.752	75.832	564.783	0.363	<0.2	0.001	
DK-91	444592	4307000	<10	3.694	1.691	191.882	0.073	6.575	48.781	11.892	1.469	0.119	89.323	6.863	14.228	289.623	78.437	598.262	0.392	<0.2	0.001		
DK-91	443136	4307560	<10	5.607	1.602	63.633	173.281	0.079	6.652	34.902	11.2	1.402	0.132	87.318	6.728	13.825	341.922	83.648	537.349	0.357	<0.2	0.001	
DK-91	447639	4307690	<10	7.608	1.66	103.486	163.383	0.069	6.878	42.194	11.949	1.335	0.124	76.445	6.788	13.825	342.002	80.28	668.37	0.397	<0.2	0.001	
DK-91	446788	4308640	<10	8.225	1.739	96.185	158.773	0.077	6.587	41.978	12.242	1.325	0.122	78.686	6.587	13.807	371.88	74.445	541.771	0.318	<0.2	0.001	
DK-91	446748	4308660	<10	7.566	1.672	194.844	162.822	0.073	6.928	42.207	11.884	1.337	0.125	77.911	6.73	13.983	356.646	86.99	534.374	0.337	<0.2	0.001	
DK-91	446949	4308950	<10	6.108	1.722	86.883	162.518	0.055	6.311	40.761	12.181	1.381	0.126	77.282	6.36	13.901	318.731	62.818	532.866	0.364	<0.2	0.001	
DK-91	446828	4308900	<10	6.911	1.72	100.226	169.188	0.076	7.027	41.94	12.128	1.386	0.124	78.312	6.386	13.828	344.482	80.327	559.38	0.356	<0.2	0.001	
DK-91	445603	4309560	<10	6.889	1.724	96.228	174.892	0.077	6.008	43.13	11.889	1.399	0.128	83.658	6.76	14.169	342.002	76.463	564.539	0.365	<0.2	0.001	
DK-91	456107	4297150	<10	12.025	1.7	82.431	137.532	0.074	6.401	28.656	12.061	1.182	0.118	86.559	5.988	13.591	445.655	74.479	502.247	0.282	1.283	0.001	
DK-91	454441	4296660	<10	7.262	1.704	63.375	149.822	0.084	5.184	31.866	11.946	1.383	0.125	80.286	6.048	13.983	368.476	48.737	568.306	0.346	<0.2	0.001	
DK-91	456509	4300700	<10	12.078	1.828	12.229	1.746	0.061	8.516	40.285	13.201	1.213	0.11	63.082	6.035	13.039	448.672	120.626	617.176	0.289	<0.2	0.001	
DK-91	455070	4300380	<10	4.448	1.72	10.14	10.547	0.065	4.048	32.896	12.063	1.22	0.118	69.77	6.197	13.695	421.25	21.26	505.072	0.284	0.317	<0.2	0.001
DK-91	456428	4301200	<10	11.428	1.746	182.172	184.134	0.065	10.862	46.703	12.886	1.267	0.114	65.988	6.832	13.205	412.859	176.368	603.429	0.313	<0.2	0.001	
DK-91	456549	4302690	<10	13.152	1.781	123.214	160.68	0.065	8.402	39.066	12.83	1.224	0.113	62.131	6.93	13.266	465.608	120.861	491.642	0.28	<0.2	0.001	
DK-91	454027	430610	<10	16.788	1.914	47.623	96.249	0.074	6.657	16.807	13.784	1.142	0.101	64.926	6.688	12.986	634.168	62.633	584.863	0.244	2.81	0.001	
DK-91	4563424	4303980	<10	16.437	1.807	198.806	169.848	0.052	12.542	37.984	13.668	1.12	0.096	62.336	6.345	12.296	624.924	216.767	543.166	0.241	6.3	0.001	
DK-91	455674	4304360	<10	17.759	1.875	22.817	14.338	0.046	14.386	41.761	14.426	1.138	0.097	60.007	6.376	11.985	541.283	6.237	40.093	0.237	4.093	0.001	
DK-91	454673	4304940	<10	11.428	1.711	17.652	138.512	0.038	6.665	19.927	12.107	1.246	0.118	64.673	6.242	11.423	448.626	63.014	529.084	0.284	0.001	<0.2	0.001
DK-91	454469	4305230	<10	9.163	1.782	65.982	164.574	0.076	6.343	21.746	12.137	1.338	0.122	77.162	6.908	13.226	436.265	73.778	583.381	0.33	<0.2	0.001	
DK-91	454219	430610	<10	16.788	1.914	47.623	96.249	0.074	6.657	16.807	13.784	1.142	0.101	64.926	6.688	12.986	634.168	62.633	584.863	0.244	2.81	0.001	
DK-91	454027	4306270	<10	17.237	1.839	117.014	0.061	8.416	24.43	13.644	1.096	0.1	49.289	6.278	12.491	627.163	118.033	489.801	0.233	4.94	0.001		
DK-91	453446	4307020	<10	17.087	2.057	50.316	84.049	0.083	10.699	22.602	12.308	1.138	0.097	60.007	6.847	12.472	671.24	6.247	561.773	0.266	1.686	0.001	
DK-91	453866	4305080	<10	8.192	1.72	16.723	1.711	0.037	7.323	36.997	12.34	1.312	0.118	76.224	6.142	12.462	437.704	96.442	541.462	0.349	0.001	5.04	0.001
DK-91	452634	4304860	<10	10.231	1.857	123.845	184.26	0.065	8.024	40.867	13.631	1.261	0.106	66.134	6.11	12.042	440.423	110.422	563.192	0.327	<0.2	0.001	
DK-91	453443	4304940	<10	13.421	1.868	146.425	135.49	0.078	8.292	18.988	13.893	1.222	0.1	62.114	6.797	12.545	458.783	123.326	587.783	0.282	1.894	0.001	
DK-91	451095	4304460	<10	11.261	1.843	136.329	131.94	0.061	8.482	36.149	13.569	1.176	0.105	56.328	6.188	12.728	487.154	119.769	569.989	0.314	0.123	0.001	
DK-91	450744	4303610	<10	20.224	1.949																		

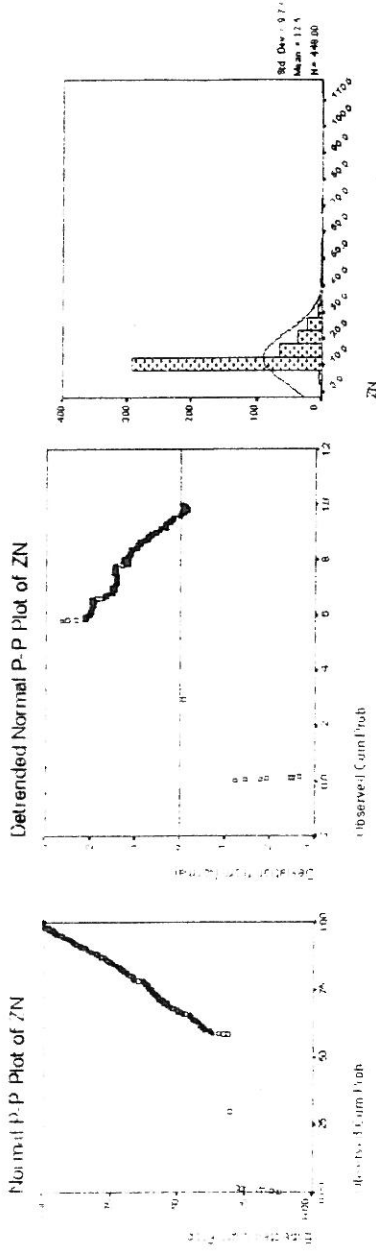
APPX. 1-ANALYTICAL RESULTS OF DIZAJ 1:100,000 SHEET SAMPLES(Portable XRF results in ppm)

	Zn	Pb	Ag	Cr	Ni	Bi	Sc	Cu	As	Sb	Cd	Co	Sn	Y	Ba	V	Sr	Hg	W	Au
DK112	456370	4310950	<10	1.906	106.146	130.048	0.073	7.121	13.975	1.276	0.102	64.296	6.701	12.573	443.424	91.592	700.294	0.314	<0.2	0.00
DK413	455196	4310980	<10	9.196	1.8	101.072	134.751	0.073	6.642	27.682	13.732	1.307	0.102	70.023	6.898	12.616	402.869	0.33	1.876	0.00
DK111	456439	4313210	7.741	14.114	1.770	66.481	110.409	0.083	6.791	26.782	13.284	1.174	0.104	61.21	6.841	12.784	482.866	63.749	637.18	0.282
DK115	452847	4316970	<10	8.983	1.757	63.223	127.386	0.076	5	23.444	12.559	1.319	0.118	70.347	6.092	13.487	401.683	40.506	579.966	0.328
DK416	463006	4315970	<10	5.161	1.722	74.223	158.729	0.072	4.908	25.982	12.703	1.406	0.119	84.771	6.191	13.488	311.046	36.265	768.428	<0.2
DK417	453112	4315140	<10	7.91	1.814	63.356	134.326	0.084	4.643	30.346	13.14	1.343	0.111	76.566	6.699	13.163	400.978	36.306	712.232	<0.2
DK118	456403	4316120	<10	18.078	2.05	76.031	80.786	0.066	6.206	28.706	14.5	1.085	0.095	43.003	6.542	12.23	598.386	86.816	482.838	0.246
																		1.488	0.00	

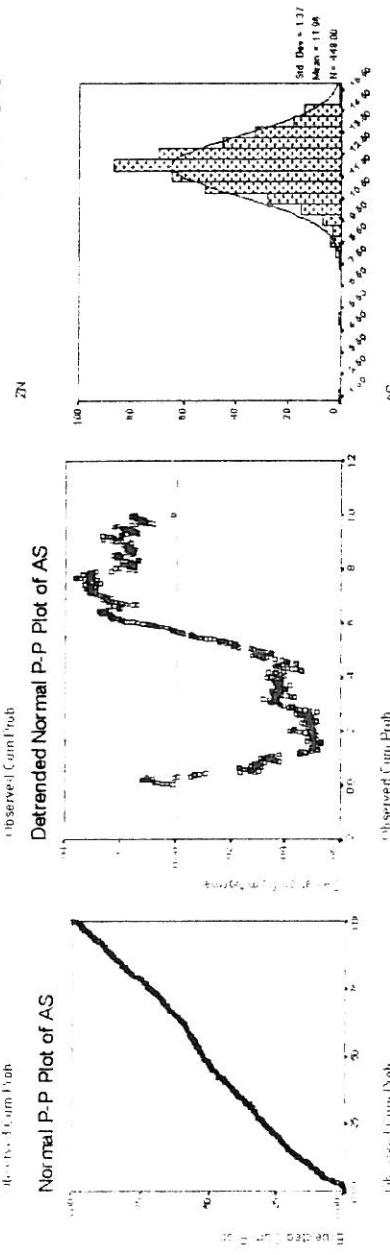
ضمیمه شماره دو

**هیستوگرام و منحنی های نرمال داده های
خام در ورقه دیزج**

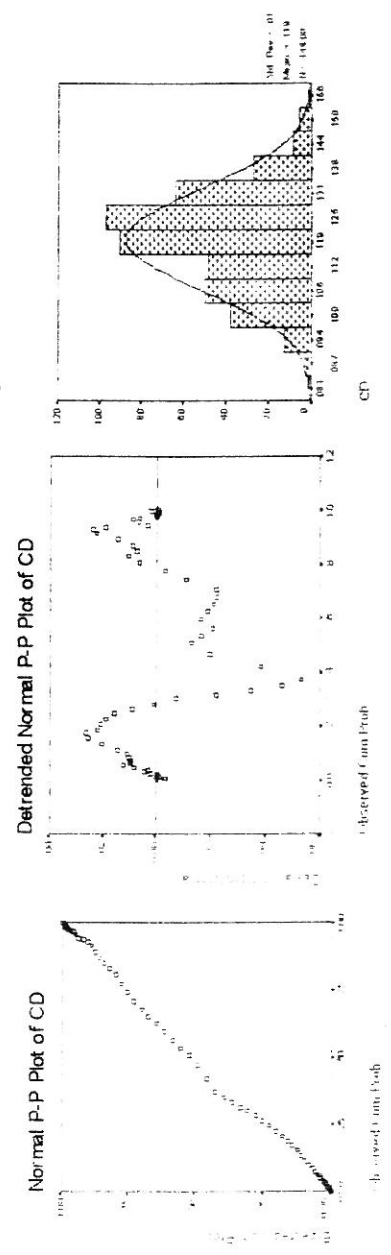
Detrended Normal P-P Plot of ZN



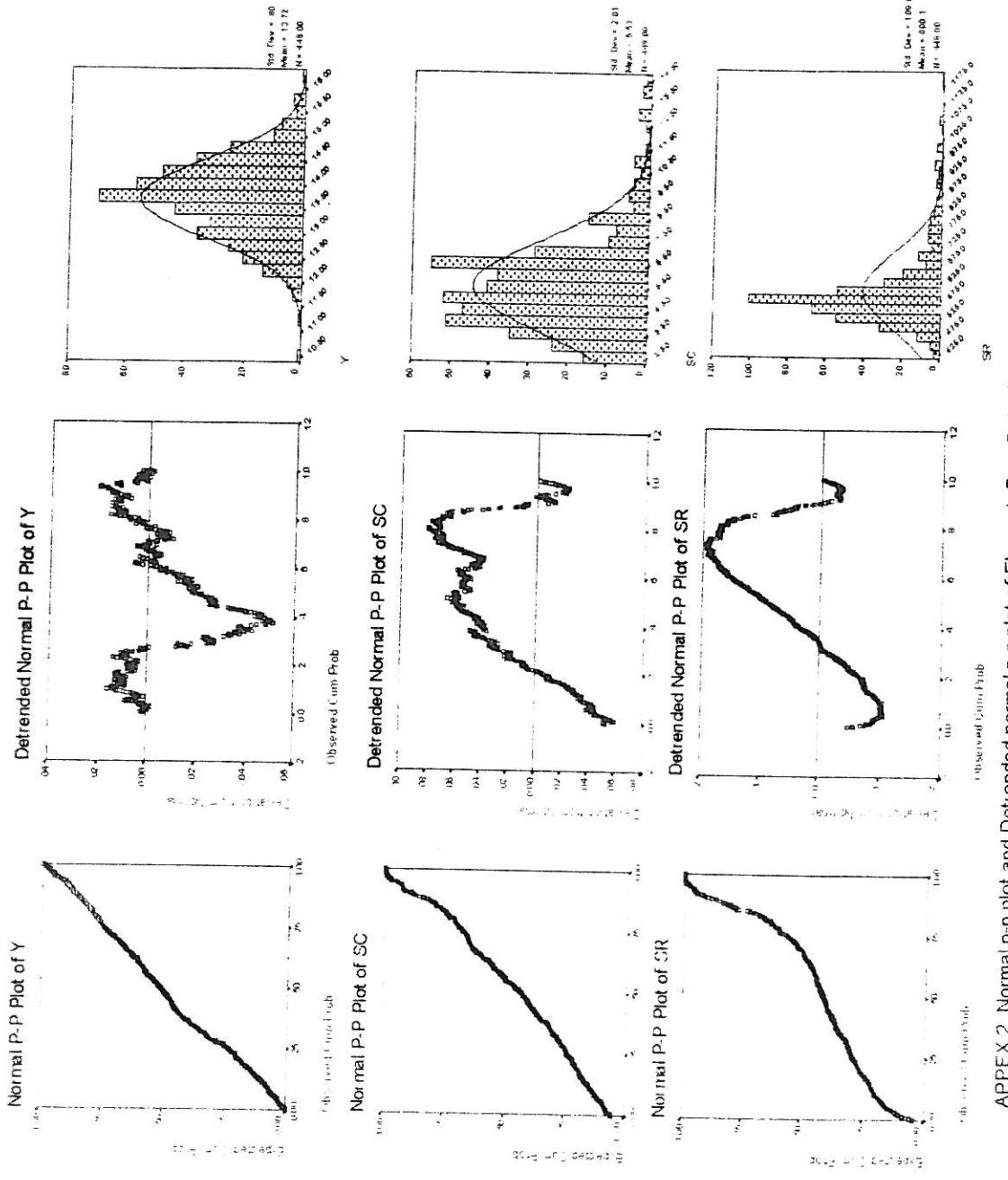
Detrended Normal P-P Plot of AS



Detrended Normal P-P Plot of CD

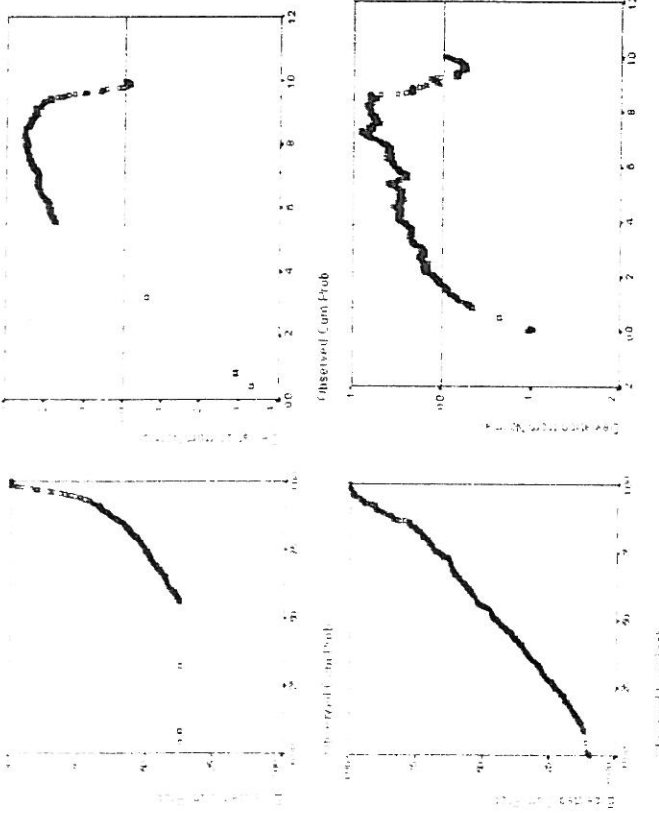


APPENDIX 2 : Normal p-p plot and Detrended normal p-p plot of Element Raw Data in Dizaj 1:100,000 sheet

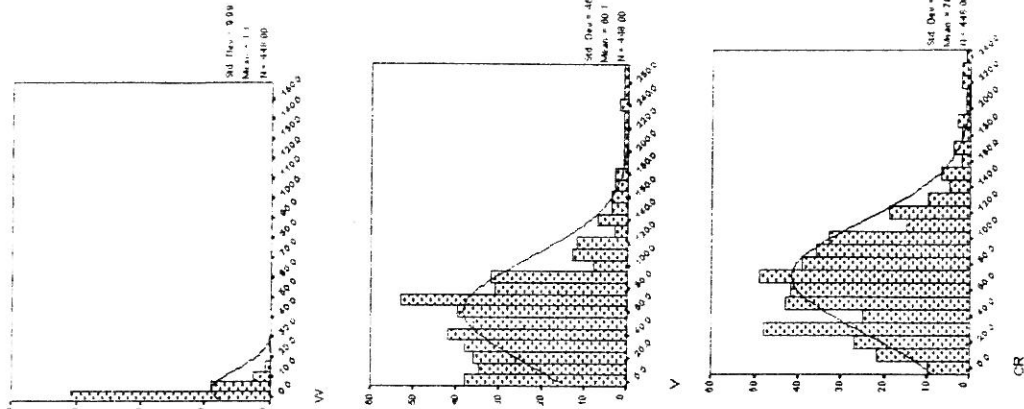
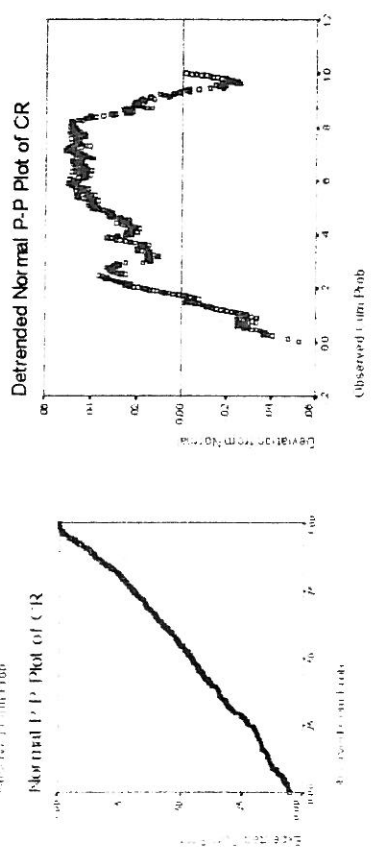


APPENDIX 2 Normal p-p plot and Detrended normal p-p plot of Element Raw Data in Dizaj 1:100,000 sheet

Detrended Normal P-P Plot of W

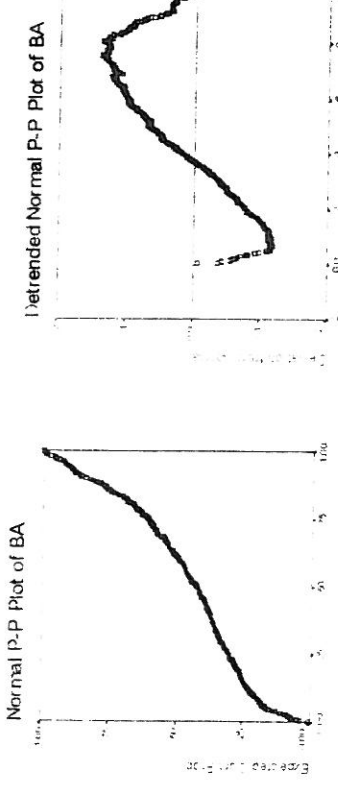


Detrended Normal P-P Plot of CR

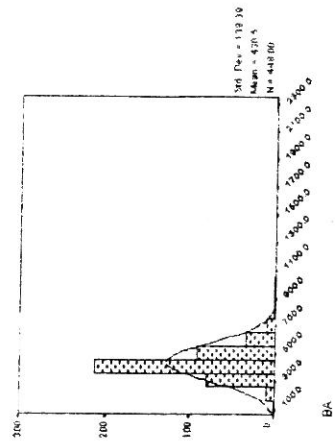


APPENDIX 2 :Normal p-p plot and Detrended normal p-p plot of Element Raw Data in Dizaj 1:100,000 sheet

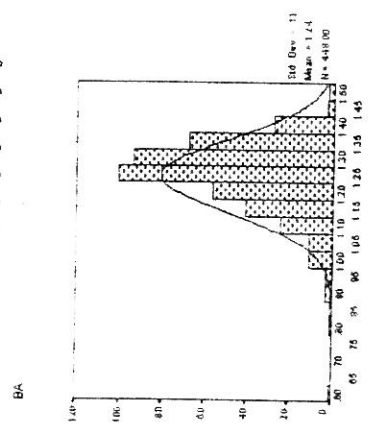
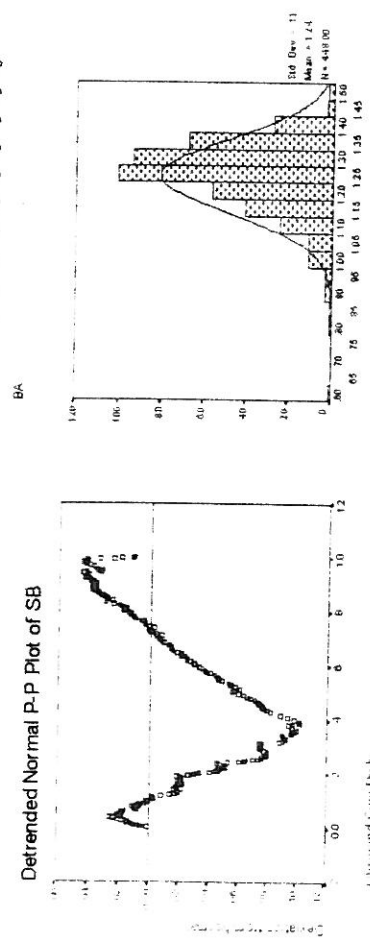
Normal P-P Plot of BA



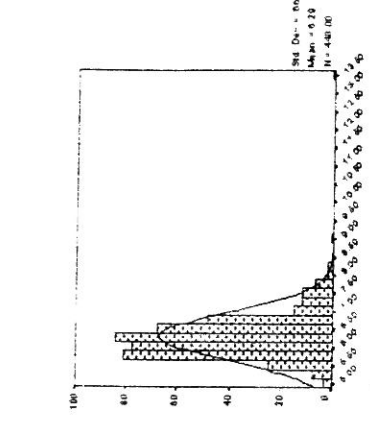
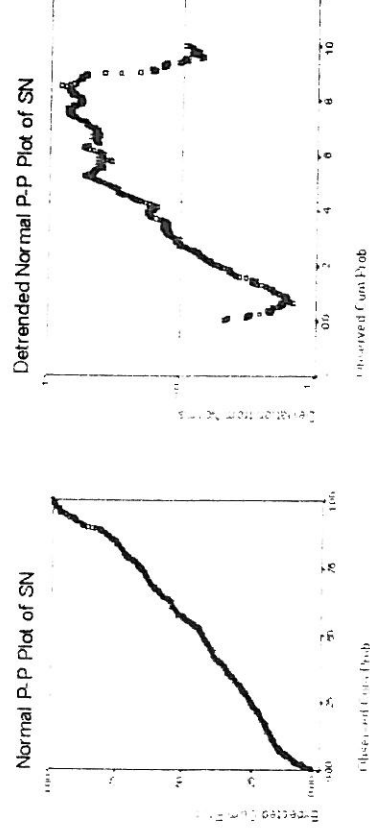
Detrended Normal P-P Plot of BA



Normal P-P Plot of SB

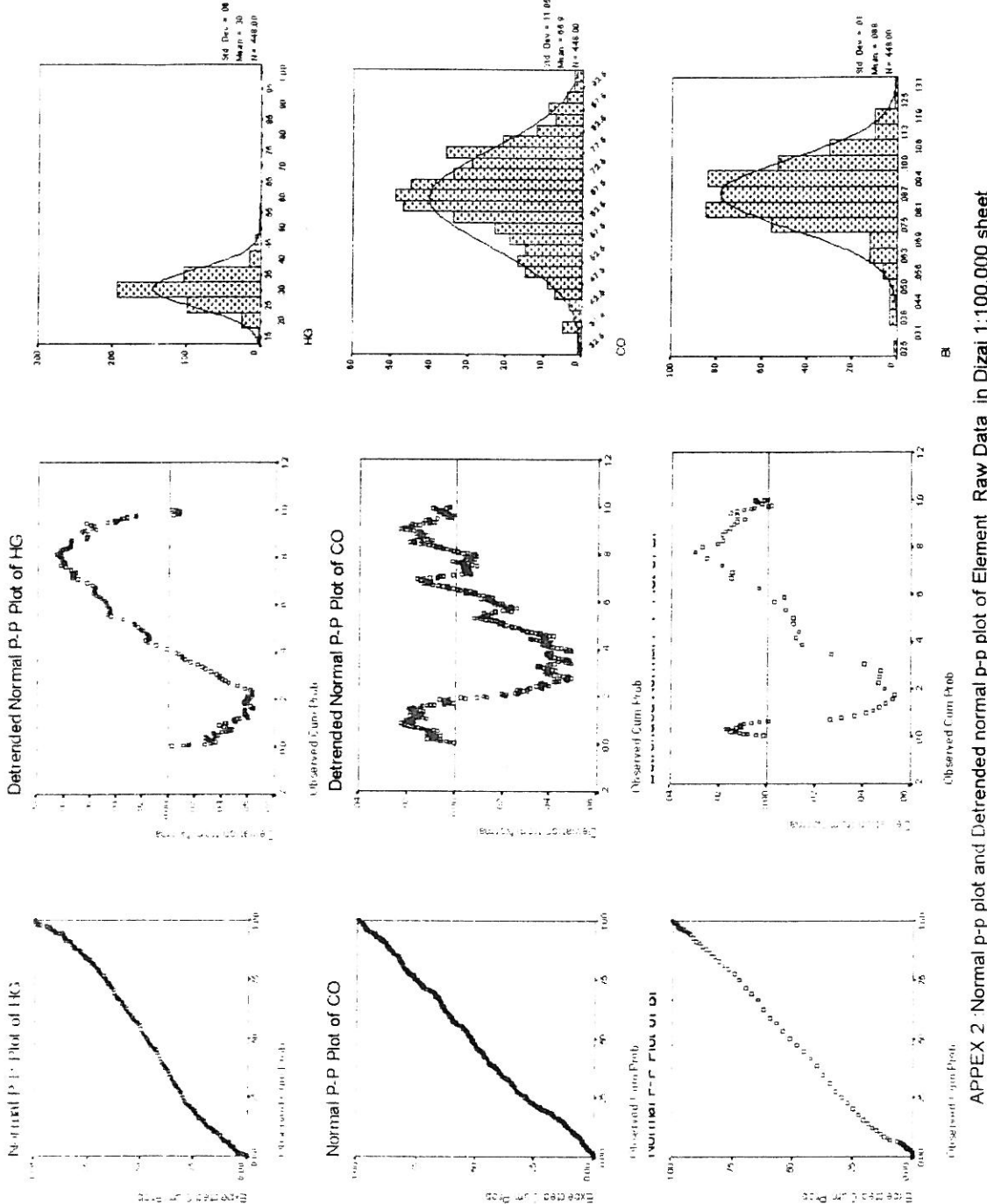


Normal P-P Plot of SN



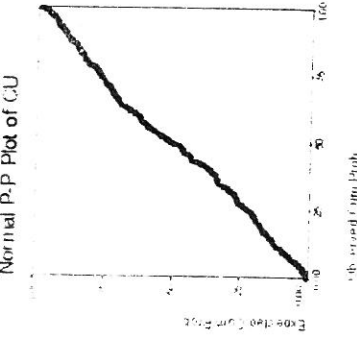
APPENDIX 2 Normal p-p plot and Detrended normal p-p plot of Element Raw Data in Dizai 1:100,000 sheet

SN

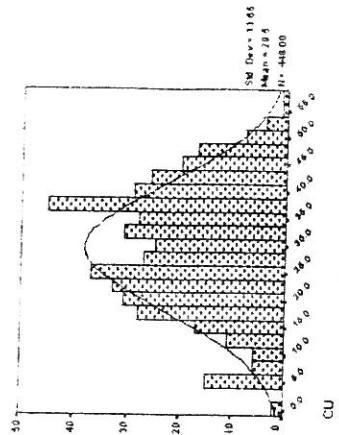
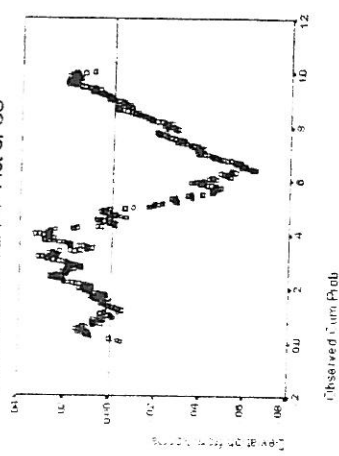


APPENDIX 2: Normal p-p plot and Detrended normal p-p plot of Element Raw Data in Dizaj 1:100,000 sheet

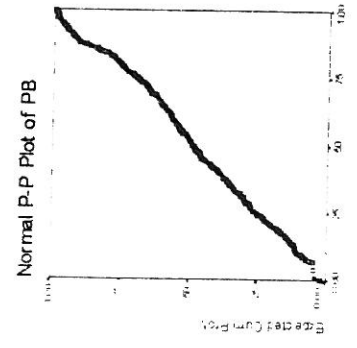
Normal P-P Plot of CU



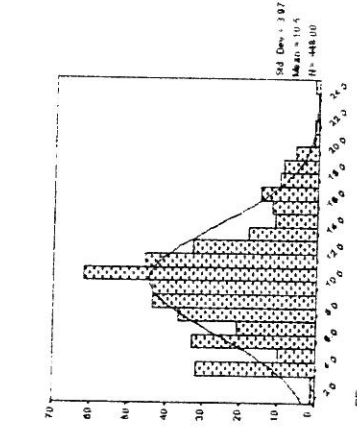
Detrended Normal P-P Plot of CU



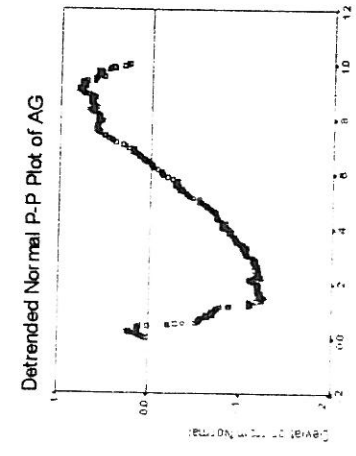
Normal P-P Plot of PB



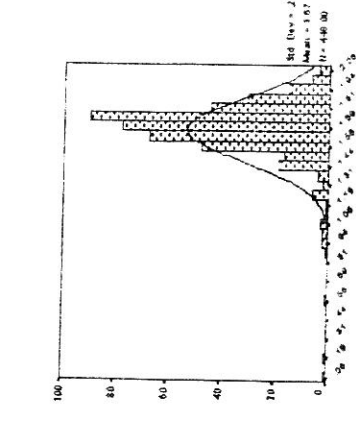
Detrended Normal P-P Plot of PB



Normal P-P Plot of AG

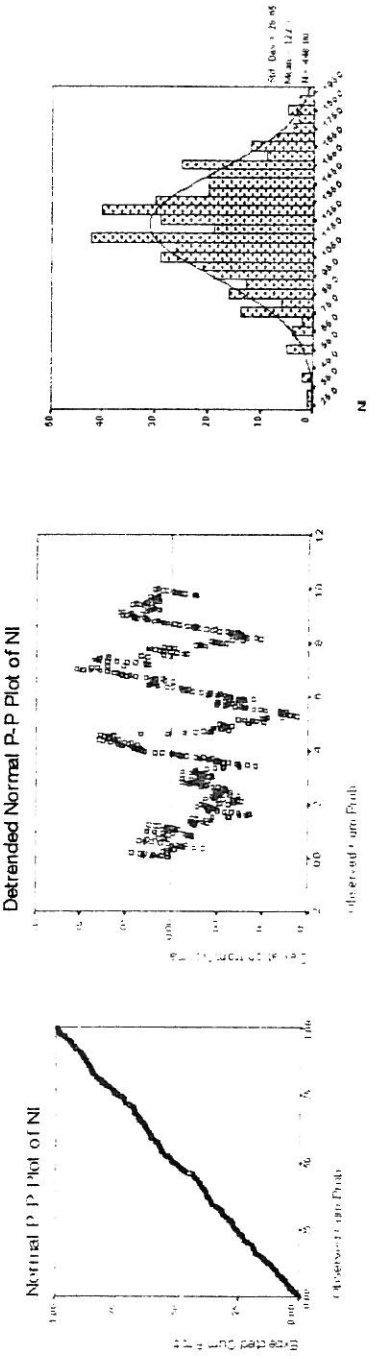


Detrended Normal P-P Plot of AG



APPENDIX 2. Normal p-p plot and Detrended normal p-p plot of Element Raw Data in Dizaj 1:100,000 sheet

A3

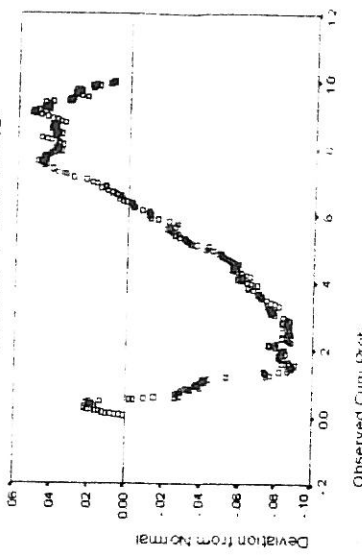


APPENDIX 2 Normal p-p plot and Detrended normal p-p plot of Element Raw Data in Dizaj 1:100,000 sheet

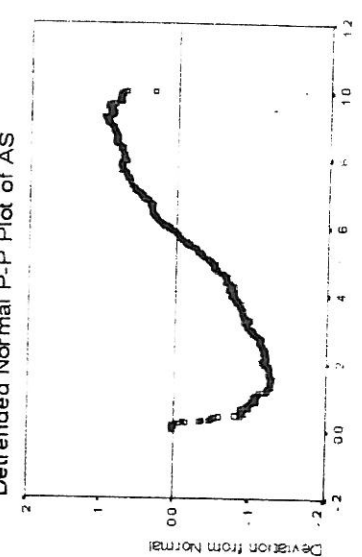
ضمیمه شماره سه

**هیستوگرام و منحنی های نرمال داده های نرمال شده با
مقادیر خارج از رده**

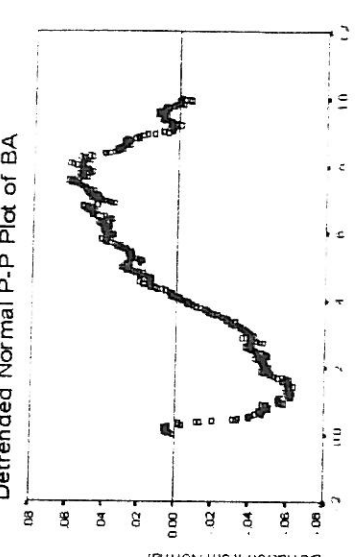
Detrended Normal P-P Plot of AG



Detrended Normal P-P Plot of AS

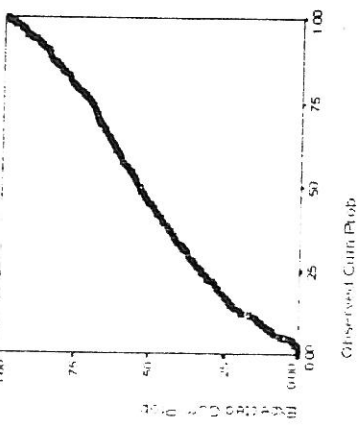


Detrended Normal P-P Plot of BA

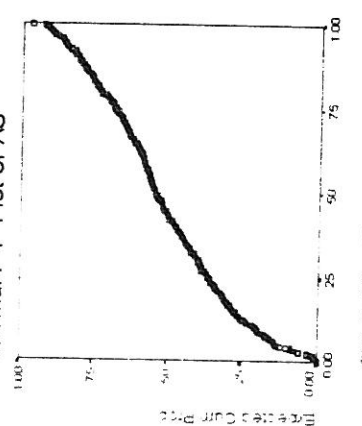


APPENDIX.3 :Histogram,Normal p-p plot and Detrended normal p-p plot of Element in Dizaj 1:100,000 sheet(with outlier)

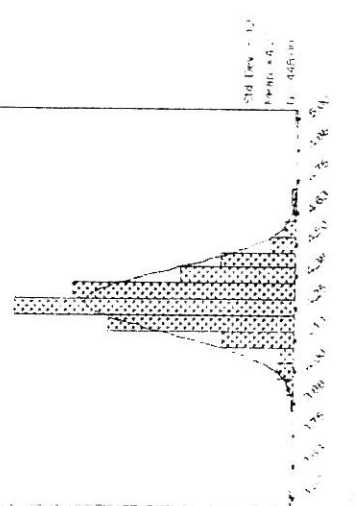
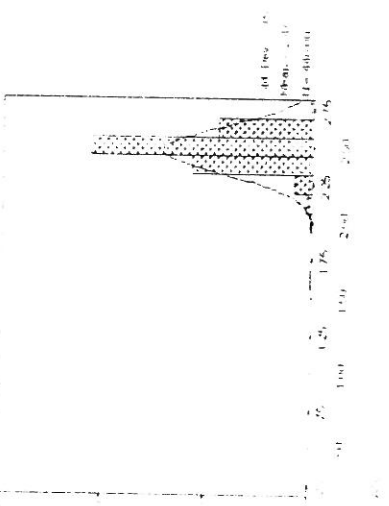
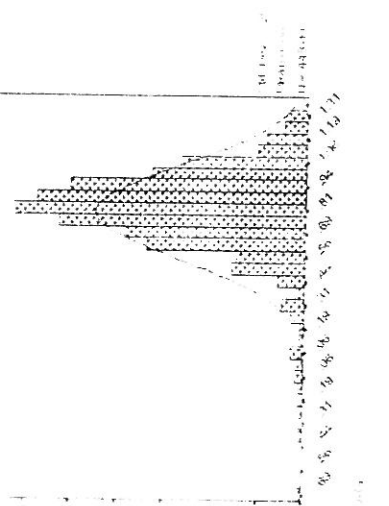
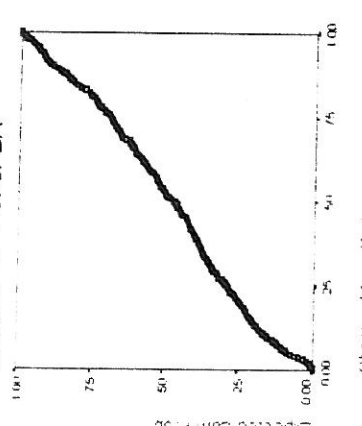
Normal P-P Plot of AG



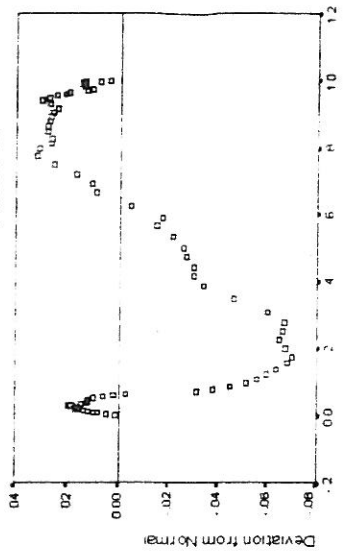
Normal P-P Plot of AS



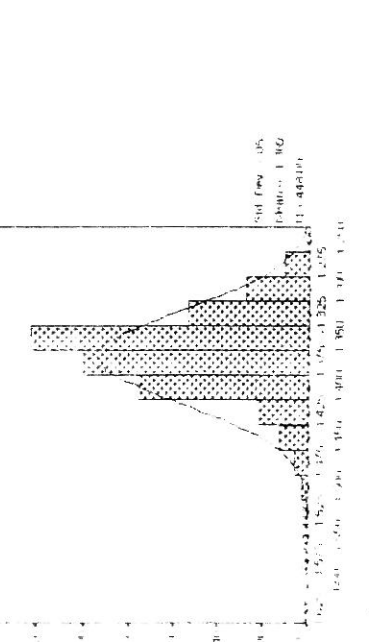
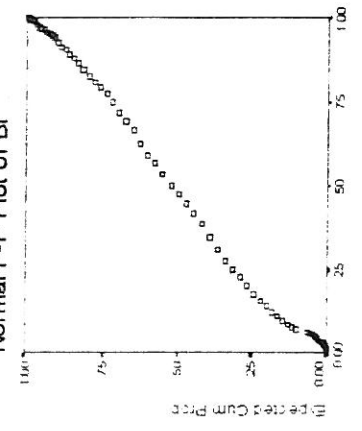
Normal P-P Plot of BA



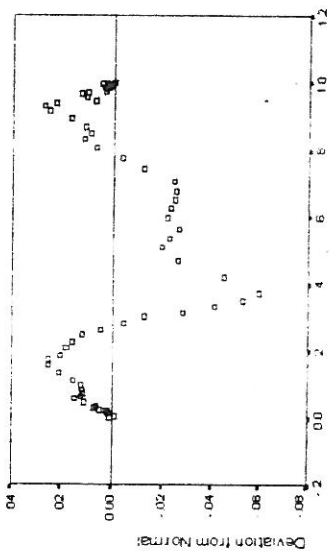
Detrended Normal P-P Plot of BI



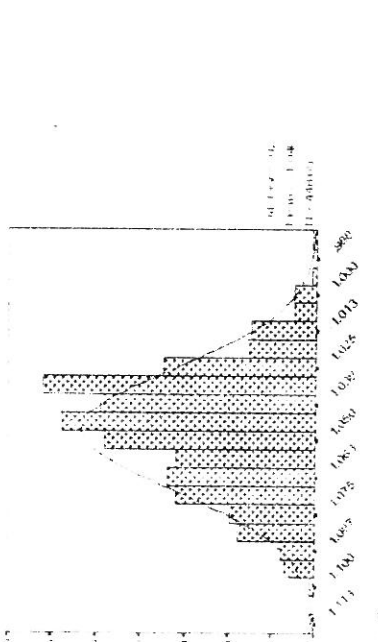
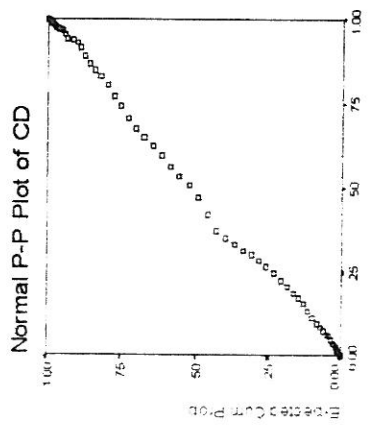
Normal P-P Plot of BI



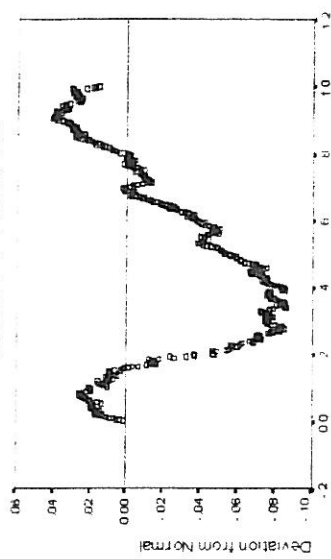
Detrended Normal P-P Plot of CD



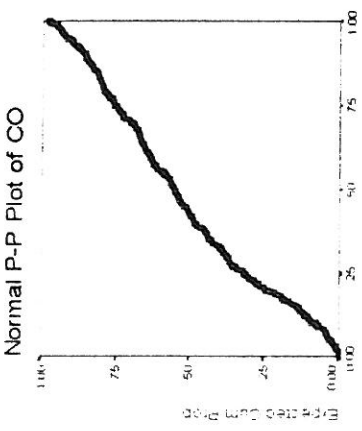
Normal P-P Plot of CD



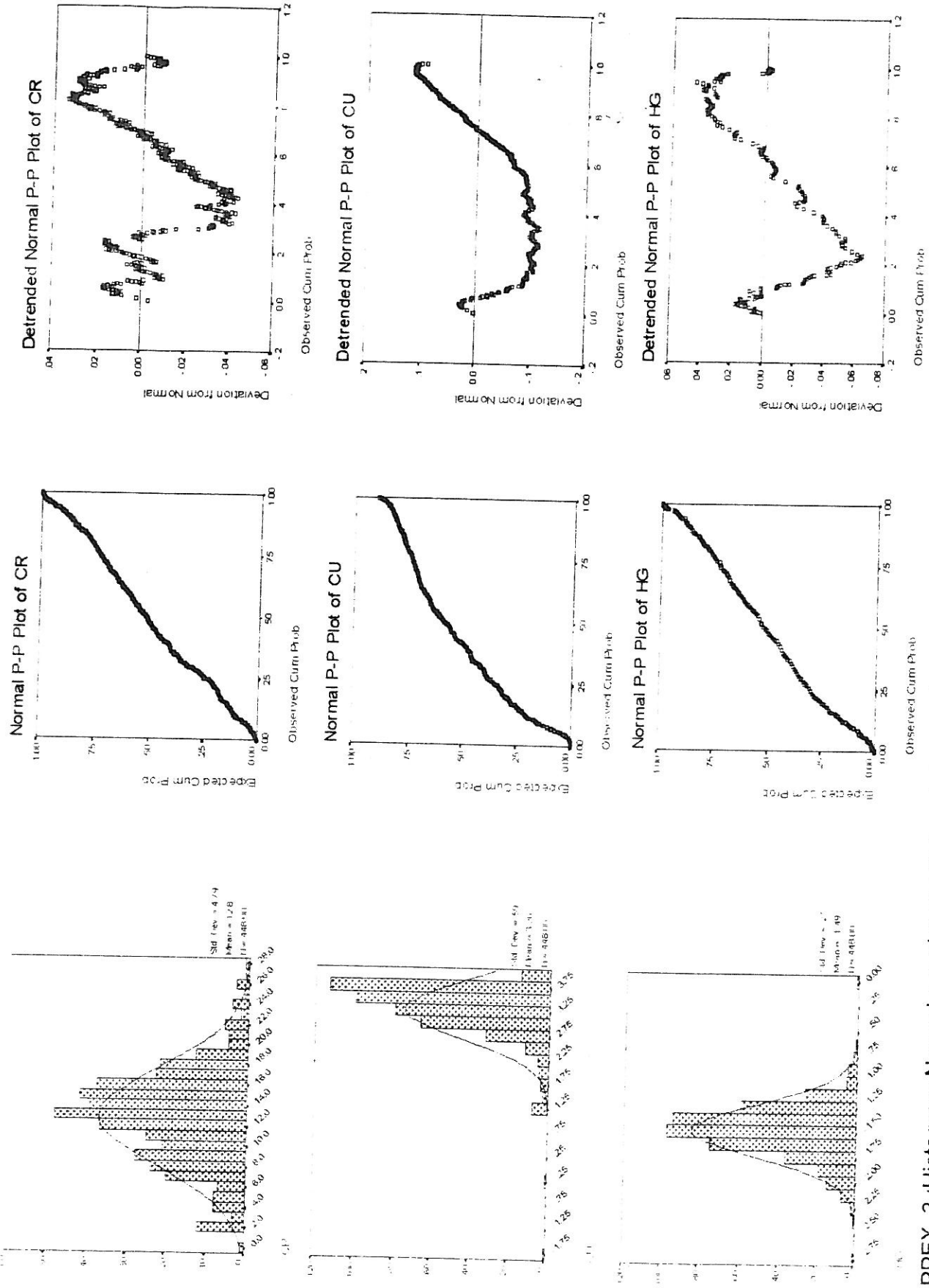
Detrended Normal P-P Plot of CO



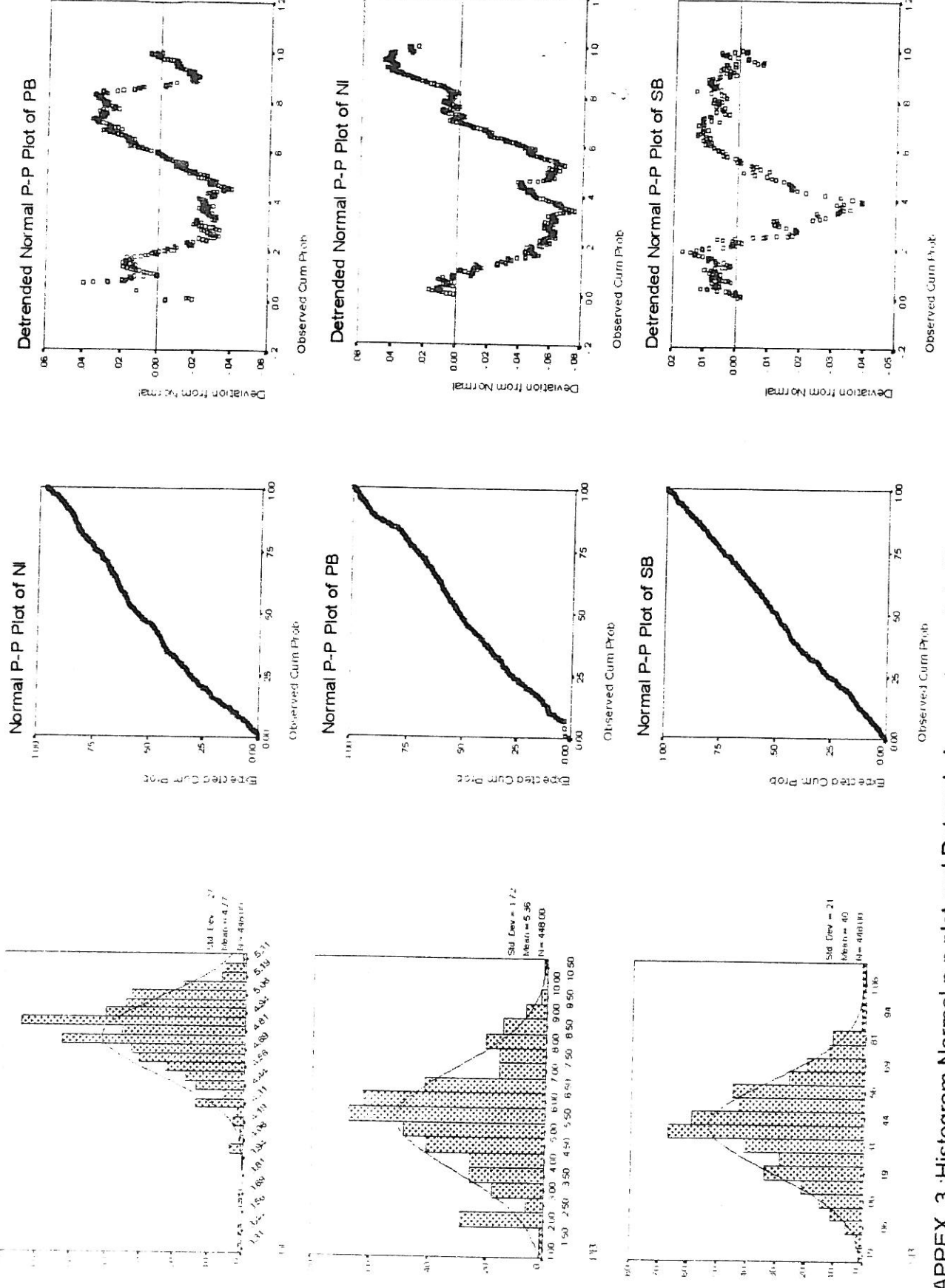
Normal P-P Plot of CO



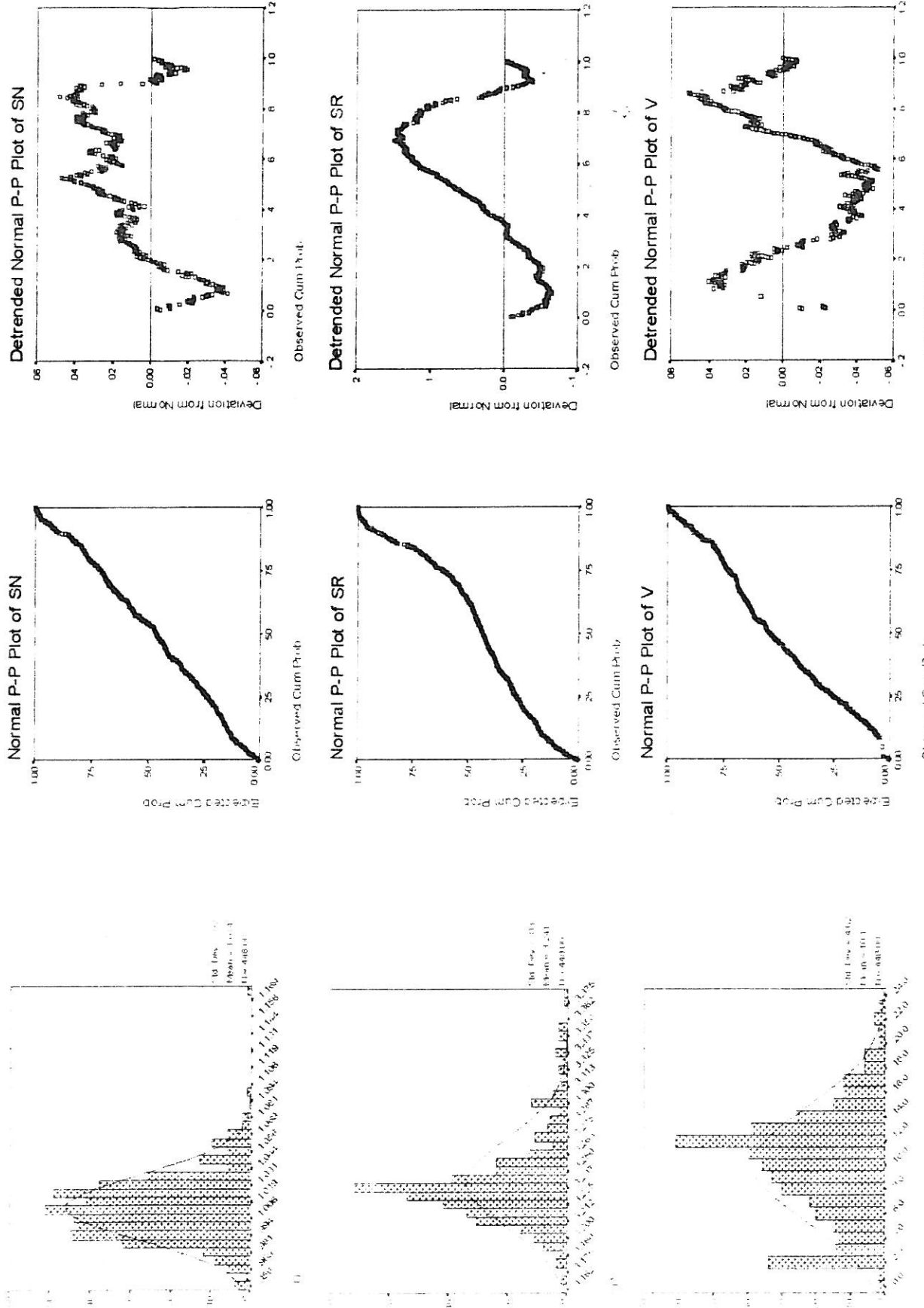
APPENDIX. 3 :Histogram,Normal p-p plot and Detrended normal p-p plot of Element in Dizaj 1:100,000 sheet(with outlier)



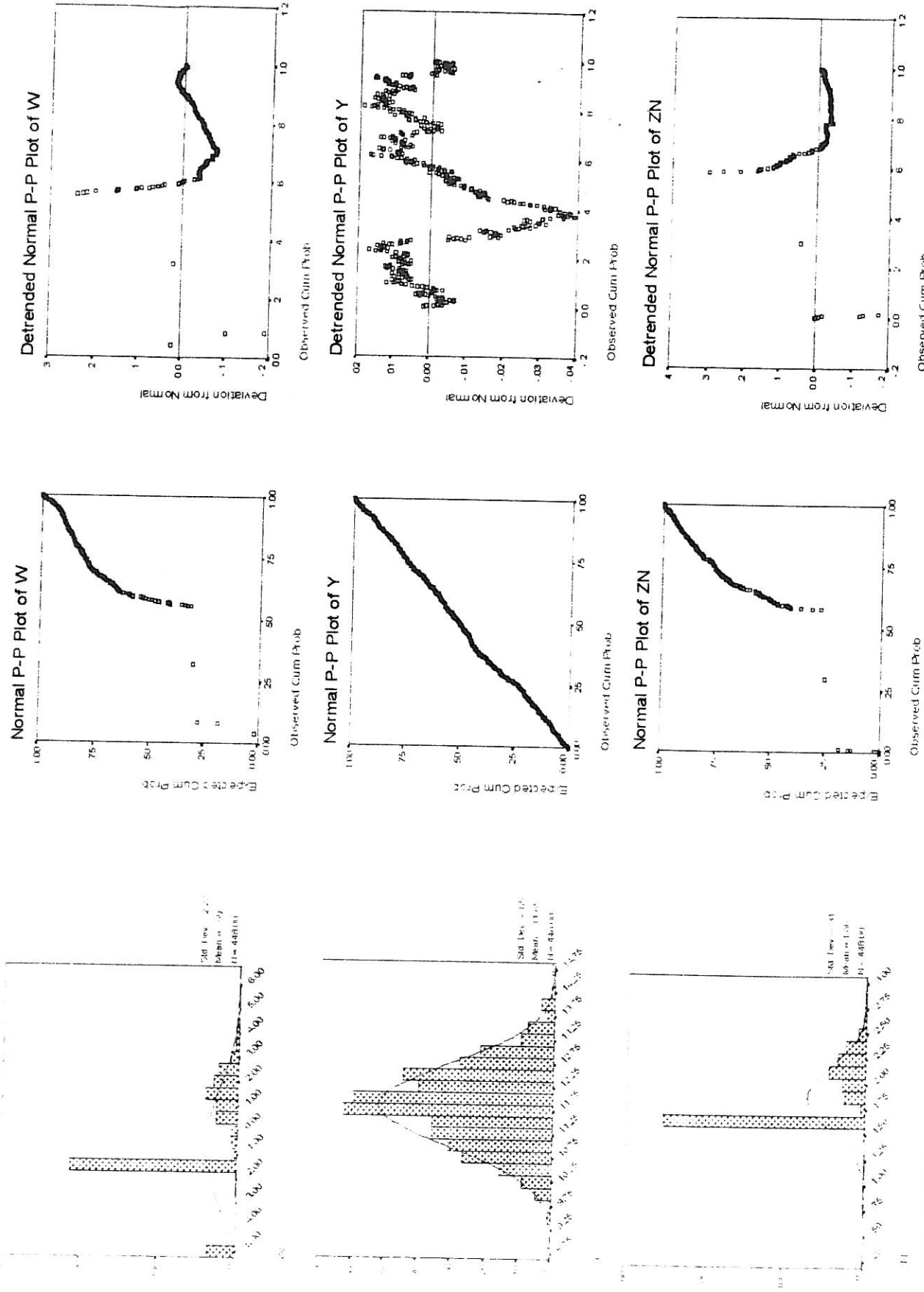
APPENDIX 3 : Histogram, Normal p-p plot and Detrended normal p-p plot of Element in Dizaj 1:100,000 sheet (with outlier)



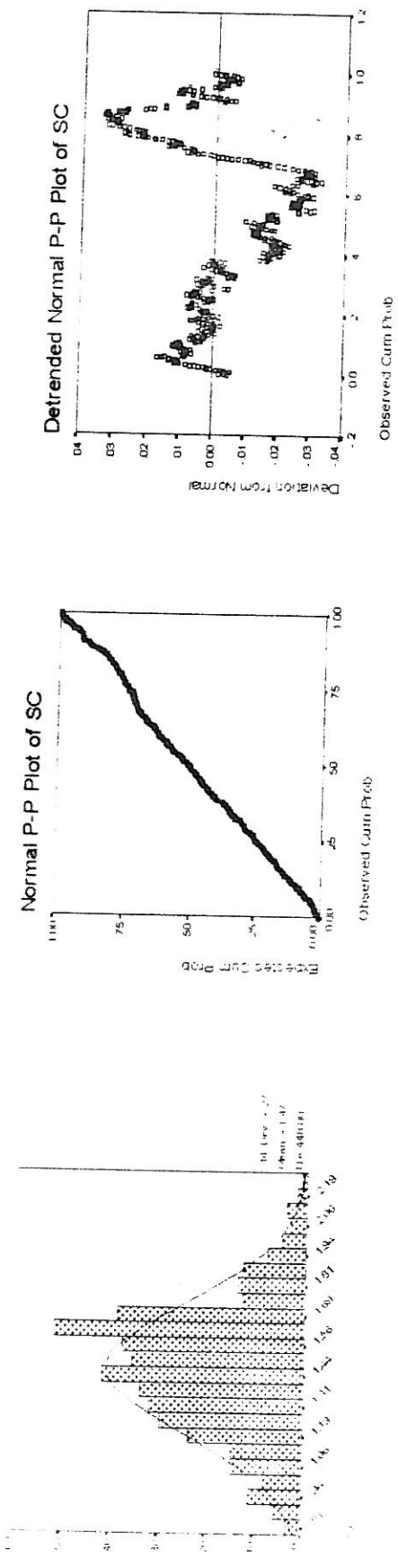
APPENDIX. 3 :Histogram,Normal p-p plot and Detrended normal p-p plot of Element in Dizaj 1:100,000 sheet(with outlier)



append. 3 :Histogram,Normal p-p plot and Detrended normal p-p plot of Element in Dizaj 1:100,000 sheet(with outlier)



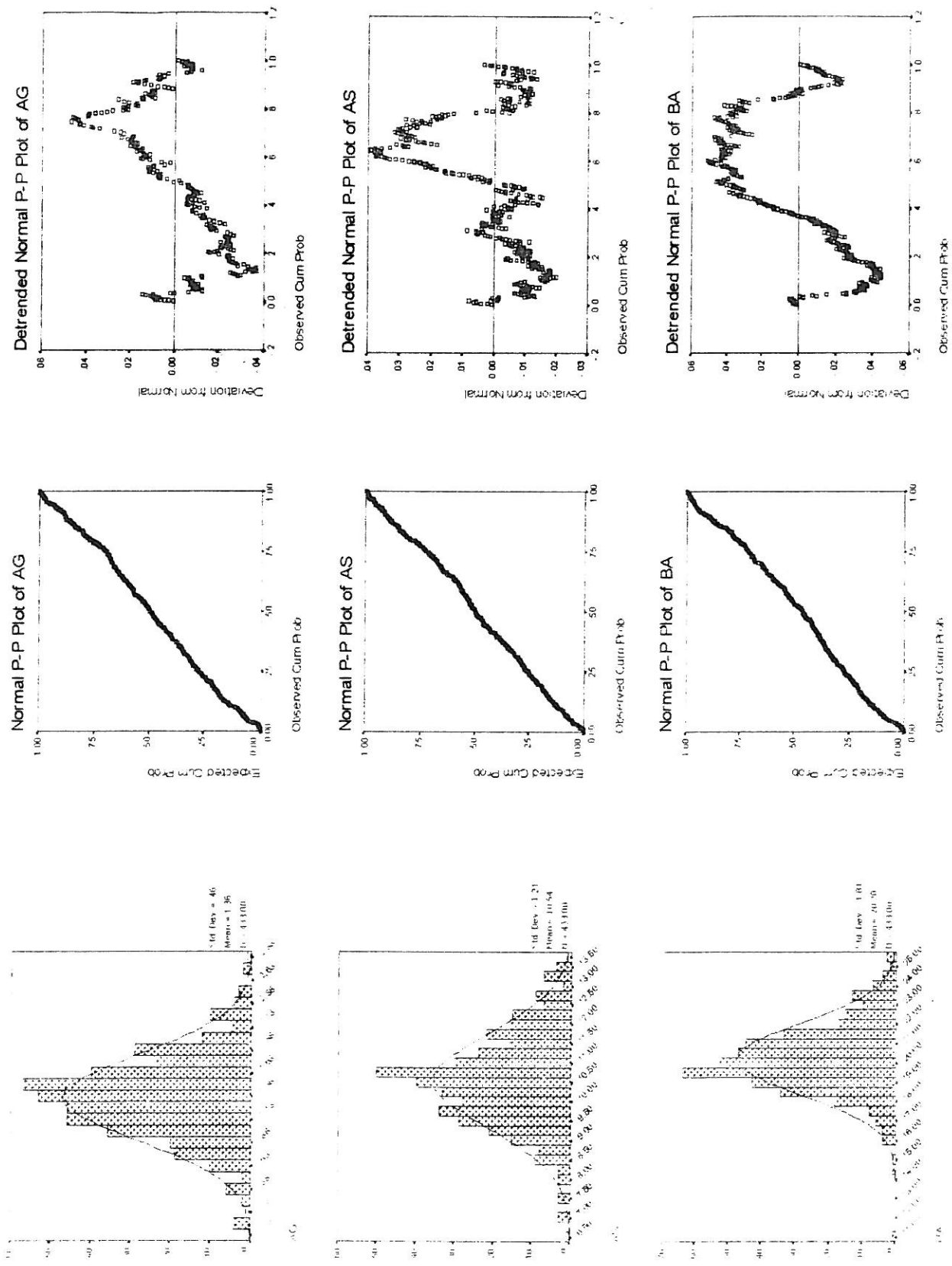
APPENDIX 3 : Histogram, Normal p-p plot and Detrended normal p-p plot of Element in Dizaj 1:100,000 sheet (with outlier)



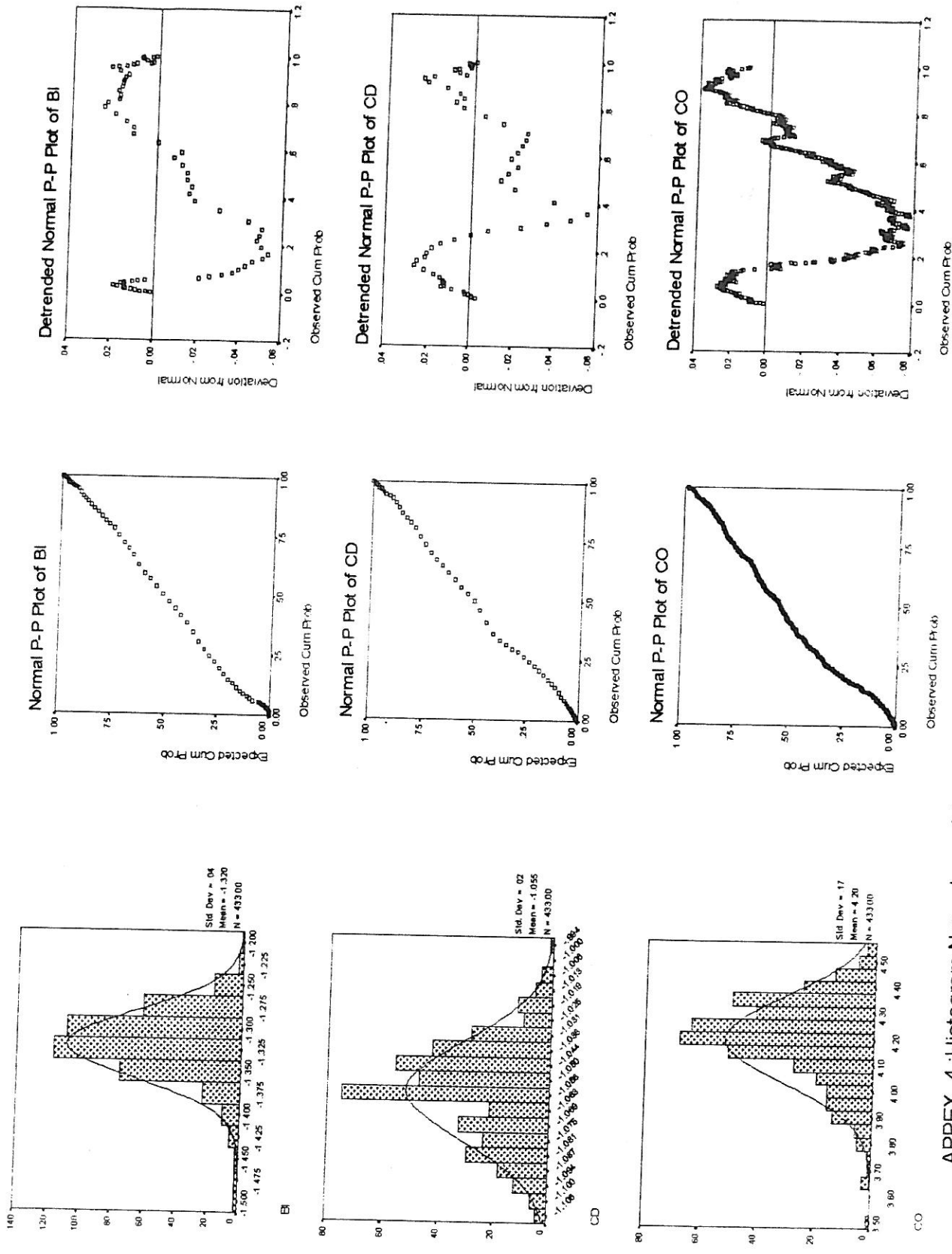
APPENDIX 3: Histogram, Normal p-p plot and Detrended normal p-p plot of Element in Dizsaj 1:100,000 sheet (with outlier)

ضمیمه شماره چهار

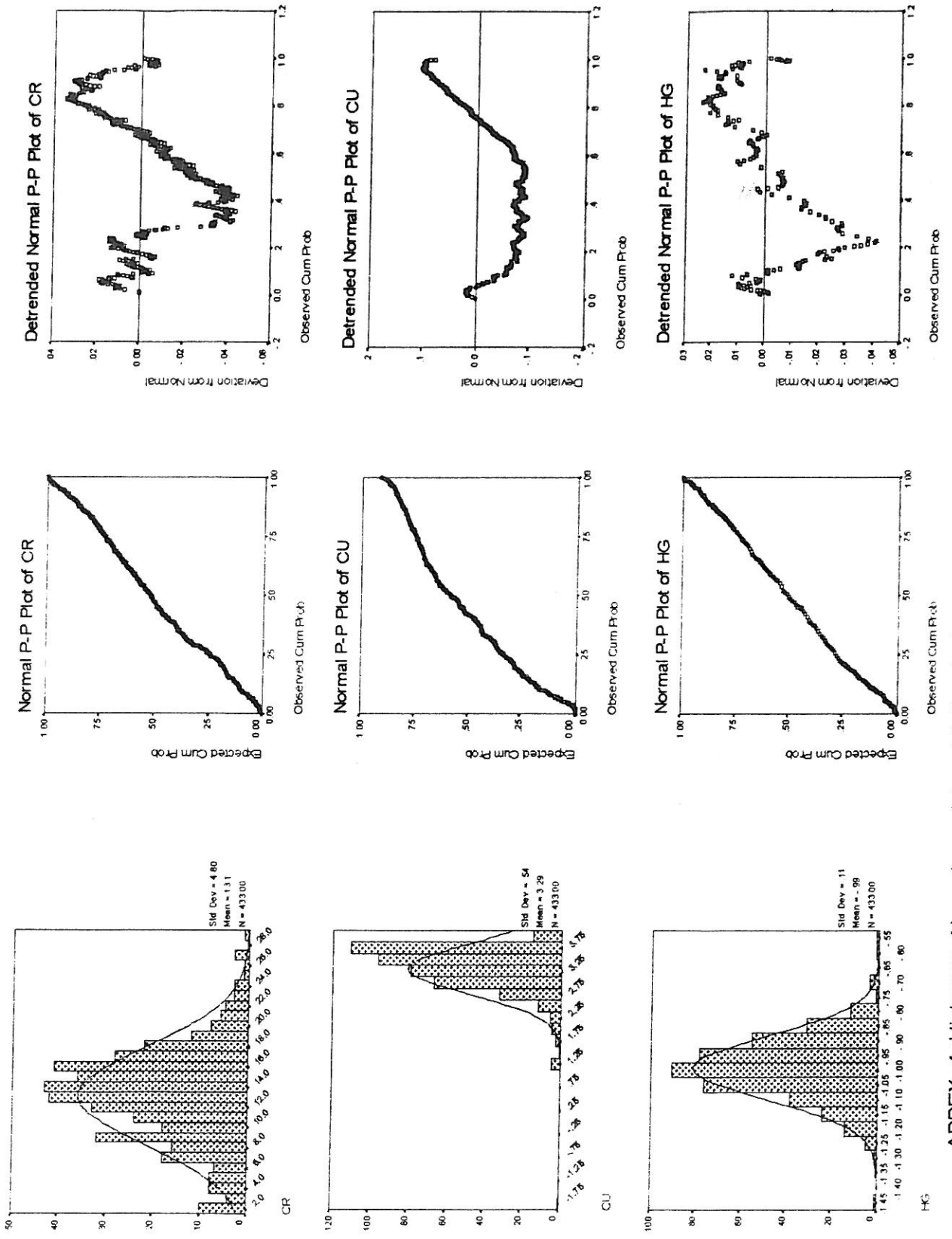
**هیستوگرام و منحنی های نرمال داده های نرمال شده بدون
مقادیر خارج از رده.**



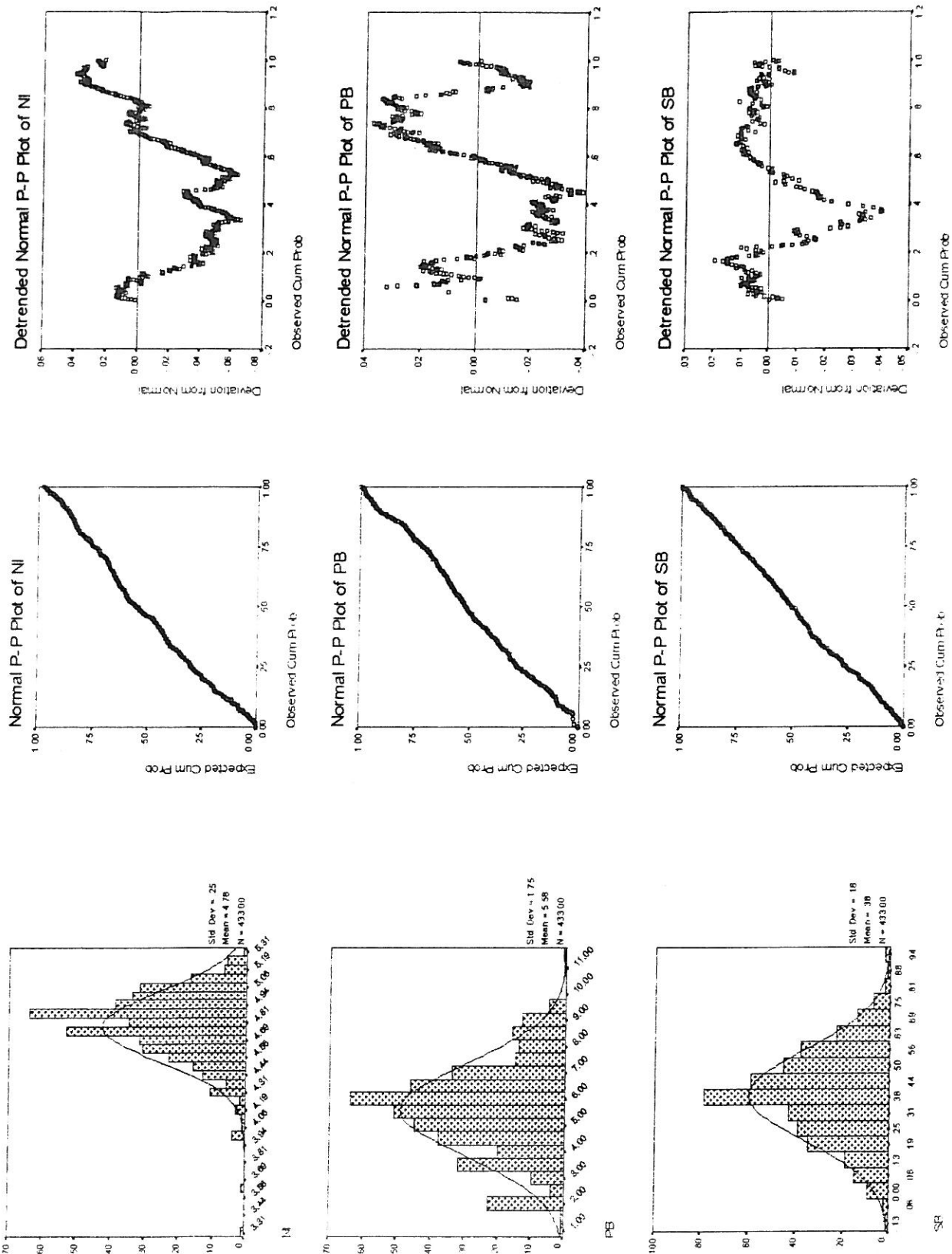
APPENDIX 4 Histogram, Normal p-p plot and Detrended normal p-p plot of Element Normalized in Dizaj 1:100,000 sheet (without outlier)



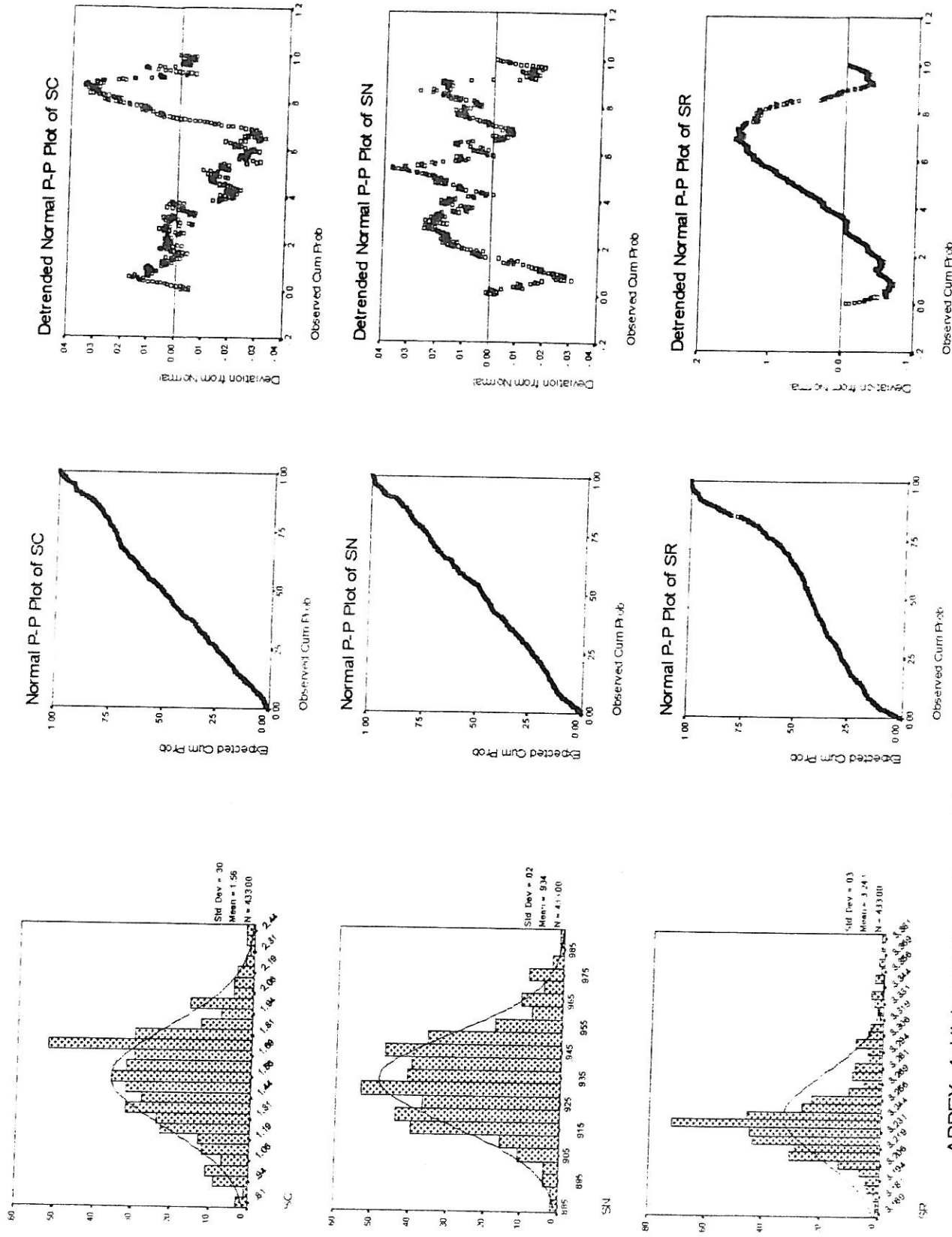
APPENDIX 4 :Histogram,Normal p-p plot and Detrended normal p-p plot of Element Normalized in Dizaj 1:100,000 sheet(without outlier)



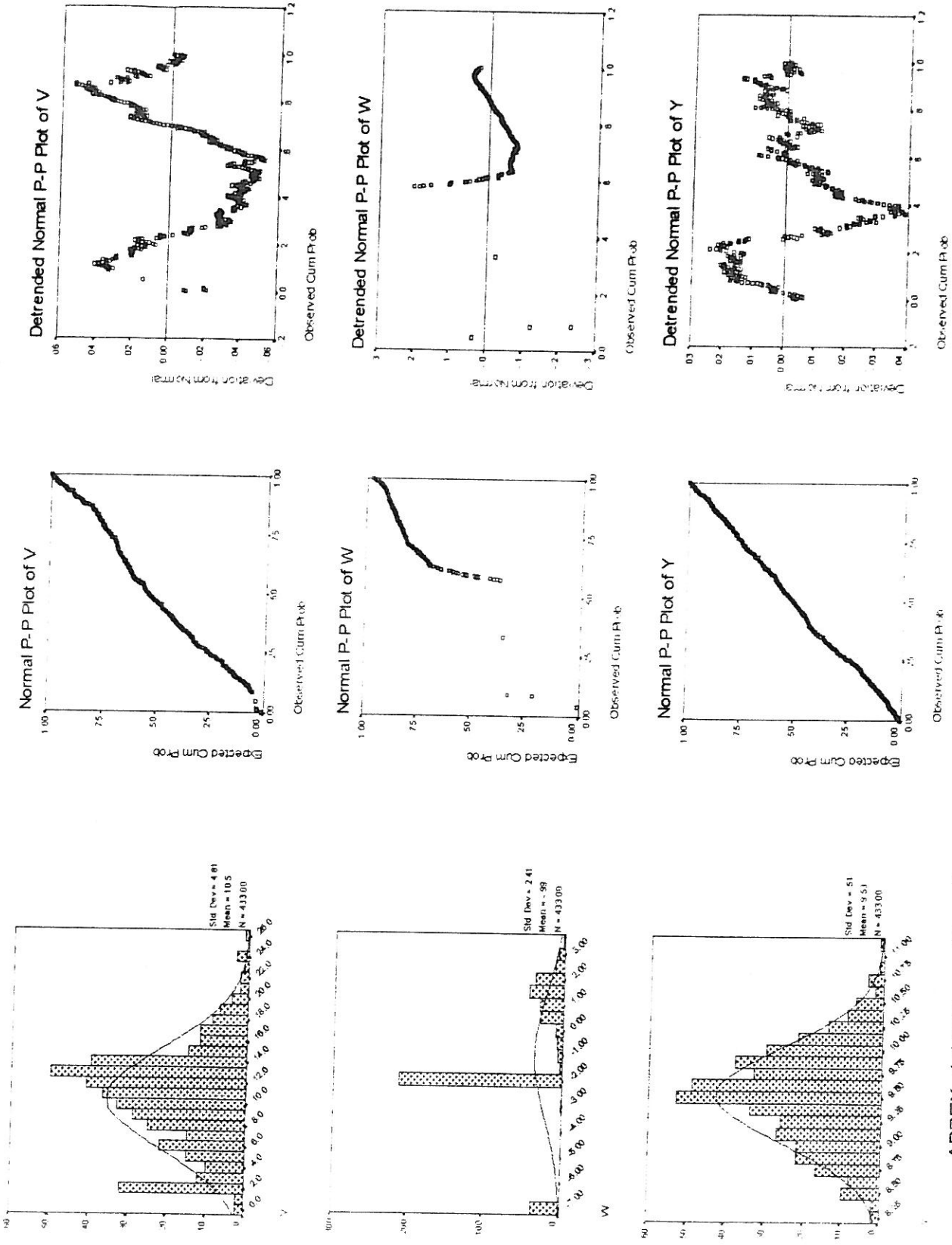
APPENDIX 4 :Histogram,Normal p-p plot and Detrended normal p-p plot of Element Normalized in Dizaj 1:100,000 sheet(without outlier)



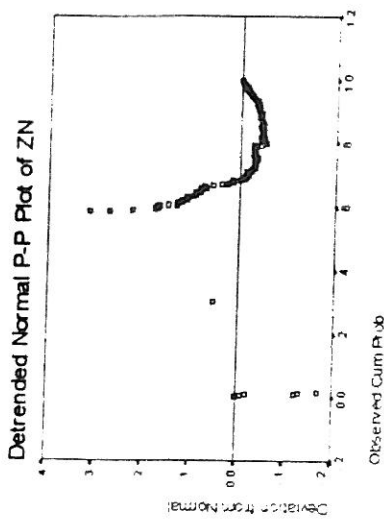
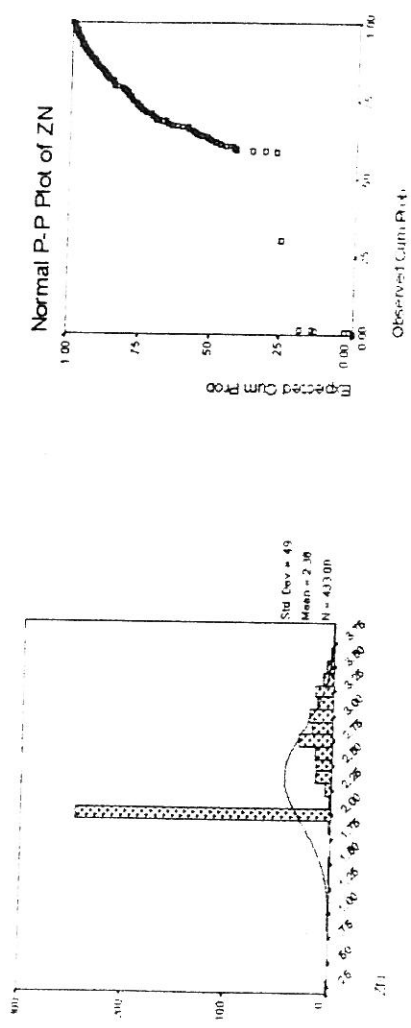
APPENDIX. 4 :Histogram, Normal p-p plot and Detrended normal p-p plot of Element Normalized in Dizaj 1:100,000 sheet(without outlier)



APPENDIX 4 :Histogram,Normal p-p plot and Detrended normal p-p plot of Element Normalized in Dizaj 1:100,000 sheet (without outlier)



APPENDIX 4 :Histogram,Normal p-p plot and Detrended normal p-p plot of Element Normalized in Dizaj 1:100,000 sheet (without outlier)



APPENDIX 4 : Histogram, Normal p-p plot and Detrended normal p-p plot of Element Normalized in Dizaj 1:100,000 sheet (without outlier)

ضمیمه شماره پنج

محاسبه ضرایب فاکتوری برای چهار عامل اول

APPENDIX 5 : Measurement of Factor Scores for All Data In DIZAJ 1:100,000 SHEET

Sam.No.	Fac1	Sam.No.	Fac2	Sam.No.	Fac3	Sam.No.	Fac4	Sam.No.	Fac5
DB1	-0.57058	DB1	-0.40141	DB1	-1.63167	DB1	0.96493	DB1	-0.01924
DB2	-0.58246	DB2	-1.13248	DB2	-1.55952	DB2	0.83859	DB2	-0.47734
DB3	-0.27514	DB3	-1.39166	DB3	-1.23895	DB3	0.21142	DB3	-0.47719
DB4	0.03713	DB4	0.33431	DB4	-0.08002	DB4	-0.14113	DB4	1.76642
DB5	0.13125	DB5	0.14215	DB5	-0.69775	DB5	0.31784	DB5	1.78655
DB6	-0.89679	DB6	0.46743	DB6	-0.14995	DB6	0.25942	DB6	-0.05889
DB7	-0.75835	DB7	-0.52851	DB7	-0.97851	DB7	0.94776	DB7	0.44992
DB8	-0.22424	DB8	-0.02568	DB8	-0.17091	DB8	0.12768	DB8	1.66132
DB9	-0.36211	DB9	-0.70877	DB9	-1.69781	DB9	0.39056	DB9	-0.24772
DB10	-1.02273	DB10	0.0103	DB10	-1.13576	DB10	0.78804	DB10	-0.29223
DB11	-0.57112	DB11	-0.80986	DB11	-2.558	DB11	2.68495	DB11	0.81293
DB12	-0.86151	DB12	-0.07983	DB12	-1.12286	DB12	0.59361	DB12	-0.03418
DB13	-1.48271	DB13	0.55424	DB13	-0.23097	DB13	0.87406	DB13	-0.11645
DB14	-1.47213	DB14	0.443	DB14	-0.15324	DB14	0.63349	DB14	0.18223
DB15	-1.30624	DB15	-0.12825	DB15	-0.01425	DB15	0.69012	DB15	0.15684
DB16	-1.15606	DB16	-0.0118	DB16	-0.9147	DB16	0.83616	DB16	-0.12207
DB17	-1.23817	DB17	0.38806	DB17	-0.48764	DB17	0.9027	DB17	-0.09315
DB18	-1.49305	DB18	0.3663	DB18	-0.81873	DB18	1.53049	DB18	0.33406
DB19	-0.55852	DB19	-1.10601	DB19	-2.12628	DB19	1.49968	DB19	0.21443
DB20	-0.97873	DB20	-0.23252	DB20	-0.96122	DB20	1.5205	DB20	0.56073
DB21	-0.9856	DB21	-0.81835	DB21	-0.96766	DB21	1.00744	DB21	0.32656
DB22	-0.80371	DB22	-1.07839	DB22	-0.65217	DB22	0.40797	DB22	-0.07379
DB23	-0.2723	DB23	-0.50813	DB23	-2.21054	DB23	1.00489	DB23	0.03514
DB24	-1.11669	DB24	-0.54613	DB24	-0.42031	DB24	1.05242	DB24	0.44591
DB25	-1.06569	DB25	-0.39535	DB25	-0.86814	DB25	1.69878	DB25	0.87074
DB26	-1.74572	DB26	0.14098	DB26	0.29013	DB26	1.92568	DB26	0.65881
DB27	-1.46263	DB27	0.17123	DB27	0.45112	DB27	0.9845	DB27	0.80349
DB28	-1.93515	DB28	-0.24979	DB28	-0.06763	DB28	2.40667	DB28	0.43883
DB29	-0.6517	DB29	0.37507	DB29	-1.01196	DB29	0.50484	DB29	0.23688
DB30	-1.87028	DB30	-0.81042	DB30	-0.12503	DB30	2.1214	DB30	0.73491
DB31	-1.67984	DB31	0.16636	DB31	0.51478	DB31	1.26814	DB31	0.16173
DB32	-1.49262	DB32	-0.05119	DB32	0.12739	DB32	0.98864	DB32	0.07672
DB33	-1.48994	DB33	0.18919	DB33	-0.29775	DB33	1.5849	DB33	0.07744
DB34	-2.43686	DB34	-0.84335	DB34	1.10644	DB34	2.25122	DB34	0.79268
DB35	-1.40614	DB35	-0.4819	DB35	-0.26934	DB35	0.96157	DB35	0.24658
DB36	-0.87763	DB36	0.86049	DB36	-0.71122	DB36	0.5071	DB36	-0.43152
DB37	-0.67546	DB37	-0.17668	DB37	-1.18254	DB37	1.1754	DB37	0.53394
DB38	-1.87884	DB38	-0.83248	DB38	-0.15143	DB38	2.86592	DB38	0.92212
DB39	-1.1327	DB39	0.10172	DB39	-0.96451	DB39	1.46229	DB39	0.02333
DB40	-0.77746	DB40	0.03719	DB40	-1.13176	DB40	0.46554	DB40	-0.05853
DB41	-1.8425	DB41	-0.76406	DB41	0.38152	DB41	2.34947	DB41	0.98734
DB42	-1.77477	DB42	-0.66346	DB42	-0.01105	DB42	2.30189	DB42	1.1041
DB43	-1.47868	DB43	-0.41749	DB43	-0.56774	DB43	1.35552	DB43	0.38672
DB44	-1.50181	DB44	-0.26429	DB44	-0.1563	DB44	1.2366	DB44	0.38812
DB45	0.1326	DB45	2.62898	DB45	-1.37609	DB45	-0.26415	DB45	-2.00988
DB46	-1.17545	DB46	-0.12827	DB46	-0.92315	DB46	1.1341	DB46	0.1555
DB47	-0.5939	DB47	1.40597	DB47	-1.12318	DB47	0.71299	DB47	-0.25844
DB48	-0.3036	DB48	0.64143	DB48	-2.35764	DB48	1.186	DB48	-0.12888
DB49	0.41025	DB49	4.06166	DB49	-2.01115	DB49	0.13899	DB49	-0.45713

APPEX. 5 : Measurement of Factor Scores for All Data In DIZAJ 1:100,000 SHEET

Sam.No.	Fac1	Sam.No.	Fac2	Sam.No.	Fac3	Sam.No.	Fac4	Sam.No.	Fac5
DB50	0.07762	DB50	2.63156	DB50	-1.35878	DB50	0.50679	DB50	0.76765
DB51	-1.70854	DB51	-0.63569	DB51	-0.64435	DB51	2.35448	DB51	-0.42421
DB52	-1.48424	DB52	0.32624	DB52	-0.64926	DB52	1.70082	DB52	0.13388
DB53	-0.39071	DB53	1.17147	DB53	-0.43596	DB53	-0.08328	DB53	-0.04826
DB54	-0.83155	DB54	0.43983	DB54	-0.27173	DB54	0.30895	DB54	0.04034
DB55	-0.69498	DB55	0.17784	DB55	-0.80282	DB55	0.52742	DB55	0.12383
DB56	-0.88211	DB56	0.91814	DB56	-0.20538	DB56	0.33219	DB56	-0.27915
DB57	-0.60543	DB57	1.47034	DB57	-0.43909	DB57	0.26758	DB57	0.1688
DB58	-1.17728	DB58	0.29818	DB58	-0.50262	DB58	0.98321	DB58	0.20584
DB59	-0.96224	DB59	1.84742	DB59	-0.23228	DB59	1.26079	DB59	0.92153
DB60	-1.59599	DB60	1.91049	DB60	0.99029	DB60	0.90835	DB60	0.60735
DB61	-0.26771	DB61	1.81669	DB61	-1.52653	DB61	0.60991	DB61	0.37334
DB62	-1.54498	DB62	1.07579	DB62	0.85117	DB62	0.73454	DB62	0.25147
DB63	-0.75236	DB63	1.09974	DB63	-0.08843	DB63	0.65821	DB63	0.9537
DB64	-0.4469	DB64	-0.62877	DB64	0.23206	DB64	0.42677	DB64	2.26211
DB65	-0.58383	DB65	-0.41327	DB65	0.00812	DB65	0.45019	DB65	1.98336
DB66	-1.32862	DB66	-0.18998	DB66	0.79671	DB66	0.98854	DB66	1.10312
DB67	-0.44754	DB67	-0.01092	DB67	-0.98648	DB67	0.92802	DB67	1.15745
DB68	-0.44277	DB68	0.42148	DB68	-0.33131	DB68	0.46852	DB68	0.98552
DB69	-0.66106	DB69	0.87131	DB69	0.08979	DB69	0.03204	DB69	0.47161
DB70	-0.48071	DB70	0.87247	DB70	0.34264	DB70	-0.00703	DB70	0.97046
DB71	-0.24632	DB71	-0.18613	DB71	-0.08161	DB71	-0.19768	DB71	1.16974
DB72	1.07727	DB72	-0.49811	DB72	0.06474	DB72	-0.90655	DB72	3.53669
DB73	0.96025	DB73	-0.20111	DB73	-0.65734	DB73	-0.14087	DB73	3.68352
DB74	1.01175	DB74	-0.04748	DB74	-0.55959	DB74	-0.48401	DB74	3.40829
DB75	-0.71576	DB75	-0.01899	DB75	-0.49744	DB75	0.7744	DB75	1.20856
DB76	-0.90556	DB76	0.10687	DB76	-0.5804	DB76	0.82943	DB76	0.64579
DB77	-1.145	DB77	-0.23348	DB77	-0.61601	DB77	0.94193	DB77	0.67413
DB78	-0.53049	DB78	-0.69359	DB78	-1.65343	DB78	1.3583	DB78	0.45592
DB79	0.74204	DB79	0.46828	DB79	-0.84859	DB79	-0.13516	DB79	2.55848
DB80	-0.14565	DB80	0.82983	DB80	-0.28272	DB80	0.11642	DB80	1.58767
DB81	0.54181	DB81	-0.18413	DB81	-0.46492	DB81	0.18406	DB81	3.4596
DB82	-0.05555	DB82	0.55274	DB82	-0.74357	DB82	-0.03828	DB82	1.57623
DB83	-0.10448	DB83	0.10415	DB83	-0.27741	DB83	-0.29153	DB83	1.45196
DB84	1.652	DB84	-0.50742	DB84	0.23454	DB84	-0.98532	DB84	5.05289
DB85	0.36404	DB85	0.87521	DB85	-0.54786	DB85	-0.20789	DB85	1.94049
DB86	-1.05534	DB86	0.25286	DB86	-0.52245	DB86	0.93727	DB86	0.60212
DB87	0.68429	DB87	-0.09218	DB87	-0.60181	DB87	0.05712	DB87	2.88605
DB88	-1.34368	DB88	0.24918	DB88	-0.61344	DB88	1.32564	DB88	0.41505
DB89	-0.41795	DB89	0.69292	DB89	-0.83419	DB89	0.35532	DB89	0.55642
DB90	-1.27614	DB90	-0.12008	DB90	-0.33388	DB90	1.07689	DB90	0.39708
DB91	-1.13842	DB91	-0.17173	DB91	-1.22976	DB91	1.57092	DB91	0.42546
DB92	-0.23126	DB92	0.57114	DB92	-0.46291	DB92	0.23558	DB92	1.56823
DB93	-0.1724	DB93	-0.4945	DB93	0.07408	DB93	0.05742	DB93	2.11703
DB94	-0.18563	DB94	0.84671	DB94	-0.05823	DB94	0.00831	DB94	1.68675
DB95	1.37429	DB95	1.77976	DB95	-0.99412	DB95	-0.90714	DB95	2.66098
DB96	0.19598	DB96	0.11889	DB96	-0.43743	DB96	-0.01785	DB96	2.2188
DB97	-0.91993	DB97	0.62146	DB97	-0.24246	DB97	0.37701	DB97	-0.08453
DB98	-0.98503	DB98	0.42228	DB98	0.35754	DB98	0.17813	DB98	-0.04763
DB99	-0.73841	DB99	0.0481	DB99	-0.98606	DB99	0.56426	DB99	-0.16405

APPENDIX 5 : Measurement of Factor Scores for All Data In DIZAJ 1:100,000 SHEET

Sam.No.	Fac1	Sam.No.	Fac2	Sam.No.	Fac3	Sam.No.	Fac4	Sam.No.	Fac5
DB100	-0.88085	DB100	-0.18701	DB100	-0.74391	DB100	0.65719	DB100	0.16123
DB101	-1.04445	DB101	-0.40011	DB101	-0.65052	DB101	0.81862	DB101	-0.01748
DB102	-1.27659	DB102	-1.03291	DB102	-0.62057	DB102	1.03383	DB102	0.00954
DB103	-0.98143	DB103	-0.37178	DB103	-0.50944	DB103	0.57673	DB103	-0.16091
DB104	-0.848	DB104	-0.28424	DB104	-0.34952	DB104	-0.00531	DB104	-1.55822
DB105	-1.03676	DB105	0.25458	DB105	0.53089	DB105	0.18837	DB105	0.2017
DB106	-0.29688	DB106	0.20446	DB106	-0.31623	DB106	-0.29544	DB106	-0.44401
DB107	-0.2968	DB107	-0.61667	DB107	-0.29924	DB107	-0.19078	DB107	-0.37763
DB108	-0.33295	DB108	0.21768	DB108	-0.12068	DB108	-0.22278	DB108	-0.33265
DB109	0.1187	DB109	0.31734	DB109	-0.54658	DB109	-0.58936	DB109	-0.31371
DB110	-0.43797	DB110	0.04207	DB110	-0.65665	DB110	0.47268	DB110	-0.29993
DB111	-0.75904	DB111	-0.0087	DB111	0.71068	DB111	-0.00017	DB111	-0.21288
DB112	-1.06183	DB112	-0.22998	DB112	0.06542	DB112	0.1009	DB112	-1.3864
DB113	-0.58594	DB113	0.9413	DB113	0.10198	DB113	0.01773	DB113	0.26114
DB114	-0.72758	DB114	0.30185	DB114	-0.83148	DB114	1.03528	DB114	0.15992
DB115	0.43365	DB115	1.62622	DB115	-0.38292	DB115	-0.39195	DB115	2.06471
DB116	1.31289	DB116	0.31977	DB116	-0.16575	DB116	-0.66325	DB116	3.57669
DB117	0.55636	DB117	3.56802	DB117	-1.21089	DB117	-0.2829	DB117	0.31707
DB118	-0.67032	DB118	0.025	DB118	-0.28555	DB118	0.45602	DB118	0.80579
DB119	0.10301	DB119	2.3476	DB119	-0.77944	DB119	-0.35349	DB119	0.52687
DB120	0.79632	DB120	1.71816	DB120	-1.33991	DB120	-0.2289	DB120	1.60579
DB121	0.67845	DB121	2.13613	DB121	-1.04208	DB121	-0.15966	DB121	1.16898
DB122	-0.80927	DB122	1.30132	DB122	0.75559	DB122	0.11477	DB122	0.05594
DB123	-0.61717	DB123	1.76685	DB123	-0.41078	DB123	0.11441	DB123	-0.64264
DB124	-0.54023	DB124	0.55695	DB124	0.09424	DB124	0.09581	DB124	0.62038
DB125	-0.37024	DB125	0.98913	DB125	-0.0755	DB125	-0.111	DB125	0.77854
DB126	-0.32192	DB126	1.01227	DB126	-0.0532	DB126	-0.03959	DB126	0.5025
DB127	0.58595	DB127	1.46649	DB127	-1.1668	DB127	-0.26571	DB127	0.68559
DB128	0.42693	DB128	2.92741	DB128	-1.25705	DB128	-0.34893	DB128	0.54799
DB129	0.36681	DB129	2.72526	DB129	-1.46414	DB129	-0.06793	DB129	0.23527
DB130	0.2063	DB130	2.29858	DB130	-1.00083	DB130	-0.32577	DB130	0.62521
DB131	0.33378	DB131	1.52284	DB131	-0.87891	DB131	-0.46201	DB131	1.10609
DB132	0.3087	DB132	3.61884	DB132	-1.55275	DB132	0.16187	DB132	0.14558
DB133	-0.53367	DB133	-0.38277	DB133	0.37929	DB133	0.4989	DB133	1.21491
DB134	-0.68279	DB134	-0.37639	DB134	0.3982	DB134	0.47253	DB134	1.11087
DB135	-0.21869	DB135	-0.99207	DB135	1.19738	DB135	1.19175	DB135	1.43326
DB136	-0.42015	DB136	-1.49278	DB136	-0.77101	DB136	0.3971	DB136	0.85598
DB137	-0.61416	DB137	-0.66187	DB137	1.14182	DB137	0.36221	DB137	0.42824
DB138	-0.96816	DB138	-0.05283	DB138	0.07489	DB138	0.33676	DB138	0.04415
DB139	-0.83107	DB139	0.79077	DB139	0.19192	DB139	0.07226	DB139	0.37483
DB140	-0.72778	DB140	0.66176	DB140	0.38518	DB140	-0.03602	DB140	0.63861
DB141	-0.70978	DB141	0.13934	DB141	-0.16967	DB141	0.01668	DB141	0.2346
DB142	-0.75316	DB142	-0.03531	DB142	-0.14699	DB142	0.06177	DB142	-0.01775
DB143	-1.05475	DB143	0.66997	DB143	-0.42333	DB143	0.80814	DB143	-0.1932
DB144	-0.85795	DB144	0.68769	DB144	-0.22303	DB144	0.54869	DB144	0.08381
DB145	-1.08844	DB145	0.24586	DB145	0.10435	DB145	0.94031	DB145	0.44515
DB146	-0.97986	DB146	0.52651	DB146	0.80462	DB146	0.08769	DB146	-0.02332
DB147	-0.95587	DB147	1.48822	DB147	0.13071	DB147	0.51359	DB147	-0.04487
DB148	0.60997	DB148	0.04518	DB148	0.42851	DB148	-0.91509	DB148	2.44198

APPENDIX 5 : Measurement of Factor Scores for All Data In DIZAJ 1:100,000 SHEET

Sam.No.	Fac1	Sam.No.	Fac2	Sam.No.	Fac3	Sam.No.	Fac4	Sam.No.	Fac5
DB149	-0.978	DB149	0.81683	DB149	-0.22041	DB149	0.48085	DB149	-0.34879
DB150	-0.83948	DB150	1.53634	DB150	-0.25441	DB150	0.48345	DB150	-0.15016
DB151	-0.65795	DB151	0.58429	DB151	-0.04279	DB151	0.16987	DB151	0.15023
DB152	0.65787	DB152	0.05924	DB152	-0.34857	DB152	0.16779	DB152	3.14726
DB153	1.04814	DB153	-0.70124	DB153	0.08622	DB153	-0.62229	DB153	3.71199
DB154	1.17141	DB154	-0.16097	DB154	0.41151	DB154	-1.09972	DB154	3.68126
DB155	1.47656	DB155	-0.36258	DB155	1.17571	DB155	-1.58268	DB155	4.42898
DB156	-1.20548	DB156	0.26183	DB156	0.15768	DB156	0.97644	DB156	0.11251
DB157	-0.56236	DB157	0.5107	DB157	0.93259	DB157	-0.00835	DB157	0.07179
DB158	-0.16185	DB158	0.60044	DB158	-1.22372	DB158	0.2179	DB158	-0.46661
DB159	0.0458	DB159	-0.8535	DB159	-1.7549	DB159	0.14266	DB159	-0.36644
DB160	0.1968	DB160	-0.28541	DB160	-1.59341	DB160	-0.42499	DB160	-1.69349
DB161	-0.4215	DB161	1.08075	DB161	-0.1195	DB161	-0.12567	DB161	-0.47002
DB162	0.2046	DB162	-0.30671	DB162	-1.51002	DB162	-0.47819	DB162	-0.59389
DB163	0.03327	DB163	-0.20337	DB163	-1.02028	DB163	-0.03997	DB163	-0.31938
DB164	-0.57831	DB164	0.37848	DB164	-0.62137	DB164	0.69064	DB164	-0.78755
DB165	1.08181	DB165	-1.47906	DB165	-3.98771	DB165	0.82823	DB165	-0.55629
DB166	-0.44975	DB166	0.00483	DB166	-1.03252	DB166	0.62729	DB166	-0.60956
DB167	0.97201	DB167	-1.49291	DB167	-3.36855	DB167	1.93342	DB167	0.05127
DB168	0.2593	DB168	-1.30967	DB168	-0.10826	DB168	-0.55974	DB168	0.99976
DB169	-0.02745	DB169	-0.25124	DB169	-0.25576	DB169	0.44346	DB169	-0.2019
DB170	0.50605	DB170	-0.56311	DB170	-1.84062	DB170	0.39178	DB170	-0.89954
DB171	-0.11914	DB171	-0.06011	DB171	0.27347	DB171	-0.36123	DB171	0.28226
DB172	-0.34822	DB172	-0.9516	DB172	-0.04854	DB172	-0.12982	DB172	-0.03837
DB173	-0.63081	DB173	-0.38551	DB173	0.69894	DB173	0.02765	DB173	-0.51001
DB174	0.79941	DB174	-0.6418	DB174	-0.04982	DB174	-0.82591	DB174	0.85491
DB175	1.37253	DB175	-0.62274	DB175	-0.68582	DB175	-0.99805	DB175	0.9647
DB176	0.00969	DB176	-0.71273	DB176	-0.42413	DB176	-0.35961	DB176	-0.67551
DB177	0.43768	DB177	-0.65529	DB177	-0.48223	DB177	-0.74649	DB177	0.59433
DB178	-0.17687	DB178	-0.46445	DB178	-0.27302	DB178	0.00377	DB178	-0.10212
DB179	0.01135	DB179	-0.21639	DB179	0.29878	DB179	-0.45553	DB179	-0.14843
DB180	0.1044	DB180	-0.95915	DB180	-0.08739	DB180	-0.36682	DB180	0.27647
DK181	-0.17286	DK181	-1.45207	DK181	0.09831	DK181	-0.37087	DK181	0.60644
DB182	-0.84103	DB182	-0.0492	DB182	0.24925	DB182	0.19002	DB182	-0.61922
DK183	-0.80777	DK183	-0.13568	DK183	0.72595	DK183	0.14743	DK183	-0.41839
DK184	-0.7996	DK184	0.20251	DK184	1.19016	DK184	0.02443	DK184	-0.62418
DK185	0.1521	DK185	-0.16794	DK185	-0.63681	DK185	1.03496	DK185	-0.61557
DB186	-1.16544	DB186	0.07827	DB186	1.13677	DB186	0.28948	DB186	-0.67601
DK187	-0.30851	DK187	-0.58034	DK187	-0.78068	DK187	0.27566	DK187	-0.89027
DB188	1.02348	DB188	1.35371	DB188	-0.16671	DB188	-0.82704	DB188	1.2547
DB189	-0.15664	DB189	-0.60708	DB189	-0.53319	DB189	-0.21032	DB189	-0.78437
DB190	0.11232	DB190	-0.92077	DB190	-0.451	DB190	-0.60039	DB190	-0.06753
DB191	-0.05355	DB191	-0.64396	DB191	-0.30452	DB191	-0.46827	DB191	-0.47748
DB192	0.26874	DB192	-1.076	DB192	-1.05115	DB192	-0.32629	DB192	-0.32179
DB193	-0.45207	DB193	-0.12969	DB193	0.28081	DB193	-0.15129	DB193	-0.40489
DB194	-0.04991	DB194	-0.53821	DB194	0.33839	DB194	-0.44597	DB194	0.55529
DB195	-0.45635	DB195	-0.52382	DB195	0.58677	DB195	-0.01202	DB195	0.13177
DB196	-0.06451	DB196	-0.678	DB196	-0.08888	DB196	-0.34027	DB196	-0.76212
DB197	-0.70012	DB197	0.182	DB197	1.16847	DB197	-0.17133	DB197	-0.53103
DB198	0.01705	DB198	-0.70228	DB198	-0.538	DB198	-0.05434	DB198	-0.81198

APPENDIX 5 : Measurement of Factor Scores for All Data In DIZAJ 1:100,000 SHEET

Sam.No.	Fac1	Sam.No.	Fac2	Sam.No.	Fac3	Sam.No.	Fac4	Sam.No.	Fac5
DB199	0.04382	DB199	-0.90767	DB199	-0.51066	DB199	-0.01536	DB199	-0.56584
DB200	-0.01121	DB200	-0.9431	DB200	-0.6224	DB200	0.10263	DB200	-0.66848
DB201	0.58315	DB201	-1.3866	DB201	-1.28369	DB201	0.46533	DB201	-1.13646
DB202	2.15296	DB202	-0.50107	DB202	1.62242	DB202	5.74331	DB202	0.1484
DB203	1.29744	DB203	-1.46924	DB203	-2.02495	DB203	-0.5673	DB203	-1.67047
DK204	1.69168	DK204	-1.22497	DK204	-2.14523	DK204	-0.96921	DK204	-3.37308
DK205	0.93964	DK205	-1.19271	DK205	-2.03917	DK205	-0.09045	DK205	-1.31948
DK206	0.86197	DK206	-1.66272	DK206	-1.99983	DK206	0.12405	DK206	-0.79523
DK207	0.9411	DK207	-1.31266	DK207	-1.98375	DK207	-0.04183	DK207	-1.29902
DB208	-0.31274	DB208	0.04887	DB208	1.65963	DB208	-0.36127	DB208	-0.39849
DB209	-0.49892	DB209	-0.06906	DB209	0.638	DB209	-0.0892	DB209	-0.0929
DB210	-0.68349	DB210	0.51892	DB210	0.95461	DB210	-0.17503	DB210	-0.53459
DB211	-0.6256	DB211	0.50771	DB211	1.06929	DB211	-0.18964	DB211	-0.64857
DB212	-0.59745	DB212	0.29762	DB212	0.74426	DB212	-0.09729	DB212	-0.67006
DB213	-0.61327	DB213	0.45526	DB213	0.99089	DB213	-0.17462	DB213	-0.6937
DB214	-0.75601	DB214	-0.24747	DB214	1.28939	DB214	0.0981	DB214	-0.17233
DB215	-0.31193	DB215	0.7124	DB215	0.64336	DB215	-0.41506	DB215	-0.59807
DB216	0.54914	DB216	-0.64692	DB216	2.54844	DB216	-0.13553	DB216	0.09113
DB217	1.16975	DB217	-1.25418	DB217	2.76116	DB217	0.4211	DB217	-0.50476
DB218	-0.0411	DB218	-0.60092	DB218	1.16645	DB218	-0.23284	DB218	-0.68835
DB219	-0.08767	DB219	-0.44714	DB219	0.20741	DB219	-0.47821	DB219	-0.72875
DB220	-0.13141	DB220	-1.33644	DB220	0.40926	DB220	-0.55311	DB220	-0.76693
DB221	-0.48219	DB221	0.19101	DB221	0.69501	DB221	-0.26416	DB221	-0.69525
DB222	-0.48084	DB222	0.53707	DB222	0.7907	DB222	-0.35194	DB222	-0.87903
DB223	-0.36896	DB223	-0.81297	DB223	0.75719	DB223	-0.23246	DB223	-0.63241
DB224	1.53134	DB224	-1.38881	DB224	1.23695	DB224	0.46542	DB224	-0.30876
DB225	1.30245	DB225	-1.01903	DB225	1.89974	DB225	0.51858	DB225	-0.43211
DB226	0.38989	DB226	-0.79008	DB226	1.67661	DB226	0.47328	DB226	-0.97647
DK227	0.52303	DK227	-0.89433	DK227	0.88475	DK227	-0.23406	DK227	-1.17639
DK228	-0.09035	DK228	0.54923	DK228	0.90976	DK228	-0.52707	DK228	-0.42044
DK229	0.17098	DK229	-1.19886	DK229	1.43424	DK229	-0.21402	DK229	-0.81486
DK230	1.70031	DK230	-1.49559	DK230	-0.25561	DK230	-0.4956	DK230	-1.98109
DK231	0.87477	DK231	-1.0872	DK231	-0.17889	DK231	-0.1119	DK231	-1.0767
DK232	0.97395	DK232	-1.08573	DK232	0.11828	DK232	-0.85533	DK232	-2.62921
DK233	-0.01509	DK233	0.58239	DK233	1.0565	DK233	0.2368	DK233	-1.13106
DK234	-0.09742	DK234	-0.26634	DK234	0.83892	DK234	-0.70593	DK234	-0.44448
DK235	-0.0337	DK235	0.87222	DK235	1.83384	DK235	-0.21218	DK235	-0.61658
DK236	0.64325	DK236	1.29609	DK236	-0.65251	DK236	-0.79628	DK236	-1.98155
DK237	1.19854	DK237	2.92973	DK237	-1.73232	DK237	-0.59301	DK237	-1.17862
DK238	0.77115	DK238	0.09968	DK238	1.03951	DK238	0.09751	DK238	-0.73701
DK239	2.14844	DK239	0.35112	DK239	0.5867	DK239	0.87439	DK239	-0.73165
DK240	1.02099	DK240	-0.31661	DK240	0.66308	DK240	0.74852	DK240	-1.09028
DK241	0.49255	DK241	1.34645	DK241	-1.20176	DK241	0.4072	DK241	-0.47576
DK242	10.71954	DK242	2.4683	DK242	4.48448	DK242	10.18037	DK242	-0.73247
DK243	-0.44676	DK243	0.20963	DK243	0.70897	DK243	0.19388	DK243	-0.29375
DK244	2.29566	DK244	0.12697	DK244	0.89174	DK244	1.74479	DK244	-0.62327
DK245	3.46082	DK245	-0.67122	DK245	0.17491	DK245	2.56021	DK245	-0.90718
DK246	0.62667	DK246	-0.27734	DK246	0.74782	DK246	-0.03634	DK246	-0.333
DK247	-0.21781	DK247	0.83132	DK247	0.58355	DK247	-0.40938	DK247	-0.4199

APPEX. 5 : Measurement of Factor Scores for All Data In DIZAJ 1:100,000 SHEET

Sam.No.	Fac1	Sam.No.	Fac2	Sam.No.	Fac3	Sam.No.	Fac4	Sam.No.	Fac5
DK248	1.56076	DK248	-0.13173	DK248	1.81433	DK248	1.23801	DK248	-0.42593
DK249	1.65916	DK249	-0.76734	DK249	1.53685	DK249	2.76485	DK249	-0.2883
DK250	0.34081	DK250	-0.41598	DK250	2.13574	DK250	0.13637	DK250	0.16025
DK251	-0.19871	DK251	0.87274	DK251	0.61209	DK251	-0.0342	DK251	-0.31997
DK252	-0.10107	DK252	0.35198	DK252	0.79966	DK252	-0.33201	DK252	-0.26336
DK253	1.28418	DK253	-0.8125	DK253	0.31238	DK253	0.15582	DK253	-0.5882
DK254	-0.53494	DK254	0.49932	DK254	1.26541	DK254	-0.20869	DK254	-0.62954
DK255	-0.99956	DK255	1.06036	DK255	1.67443	DK255	0.09928	DK255	-0.30035
DK256	-0.85969	DK256	1.00568	DK256	1.5102	DK256	-0.02201	DK256	-0.21122
DK257	-0.82847	DK257	0.89331	DK257	1.62889	DK257	-0.39831	DK257	-1.90672
DK258	-1.15245	DK258	0.83913	DK258	2.18855	DK258	-0.02754	DK258	-0.53272
DK259	-0.83701	DK259	0.74961	DK259	1.78063	DK259	-0.12724	DK259	-0.43349
DK260	-0.99794	DK260	0.41192	DK260	1.78075	DK260	0.07094	DK260	-0.5878
DK261	-0.04876	DK261	0.49458	DK261	0.83877	DK261	-0.58764	DK261	-0.54128
DK262	-0.58388	DK262	0.65133	DK262	0.83408	DK262	-0.1048	DK262	-0.52859
DK263	-1.00881	DK263	0.79915	DK263	1.85709	DK263	0.09909	DK263	-0.13099
DK264	0.78252	DK264	1.16799	DK264	0.88831	DK264	1.42399	DK264	-0.6362
DK265	-0.53966	DK265	0.60629	DK265	1.05243	DK265	-0.19779	DK265	-0.32567
DK266	-0.49349	DK266	-0.27892	DK266	1.0361	DK266	-0.10146	DK266	0.22586
DK267	-0.36467	DK267	-0.44829	DK267	-0.15378	DK267	0.16494	DK267	-0.8044
DK268	0.56284	DK268	-0.5815	DK268	-0.804	DK268	-0.38734	DK268	-1.09789
DK269	0.25628	DK269	-0.6834	DK269	-0.22981	DK269	-0.31941	DK269	-0.59294
DK270	0.95096	DK270	-1.09671	DK270	-0.99574	DK270	-0.15591	DK270	-0.93648
DK271	0.60536	DK271	-0.94719	DK271	-0.37307	DK271	-0.63822	DK271	-0.40992
DK272	0.47805	DK272	0.14189	DK272	0.25088	DK272	-0.52943	DK272	0.15372
DK273	0.26252	DK273	-0.23884	DK273	0.03882	DK273	-0.57834	DK273	0.05272
DK274	0.06593	DK274	0.78487	DK274	0.50735	DK274	-0.59916	DK274	-0.70017
DK275	3.00062	DK275	-1.13898	DK275	0.13764	DK275	3.3948	DK275	-0.79345
DK276	1.13221	DK276	-1.36021	DK276	-0.85139	DK276	0.40109	DK276	-0.47258
DK277	0.3099	DK277	-1.12654	DK277	0.42253	DK277	0.55219	DK277	-0.12737
DK278	0.12935	DK278	-0.04975	DK278	0.60726	DK278	-0.23656	DK278	-0.56358
DK279	0.02913	DK279	-0.50796	DK279	-0.08117	DK279	-0.18119	DK279	-0.41346
DK280	0.94965	DK280	3.55055	DK280	-1.54521	DK280	-0.49115	DK280	-1.57369
DK281	-0.33362	DK281	-0.51053	DK281	0.24574	DK281	0.13008	DK281	-0.22641
DK282	0.80282	DK282	1.81439	DK282	-0.59539	DK282	-0.9709	DK282	-0.36507
DK283	-0.06024	DK283	-0.0433	DK283	0.09112	DK283	-0.41385	DK283	0.18802
DK284	-0.39165	DK284	0.61967	DK284	1.21656	DK284	-0.27066	DK284	-0.29933
DK285	-0.46655	DK285	0.66296	DK285	0.85107	DK285	-0.42742	DK285	-0.69138
DK286	0.14673	DK286	0.87198	DK286	1.13611	DK286	-0.52669	DK286	-0.52654
DK287	-0.69487	DK287	0.88757	DK287	1.65325	DK287	-0.28447	DK287	-0.19744
DK288	0.06291	DK288	-0.46584	DK288	0.967	DK288	-0.6946	DK288	-0.11333
DK289	-0.60584	DK289	0.43328	DK289	0.58844	DK289	-0.0142	DK289	-0.9752
DK290	-1.01778	DK290	0.20139	DK290	1.62173	DK290	0.09593	DK290	-0.19563
DK291	-0.63518	DK291	0.84184	DK291	0.91444	DK291	-0.21888	DK291	-0.55375
DK292	-0.5621	DK292	0.44445	DK292	1.49797	DK292	-0.16566	DK292	-0.52921
DK293	-0.69981	DK293	-0.28851	DK293	1.2529	DK293	-0.11282	DK293	-0.24878
DK294	-1.08466	DK294	-0.34375	DK294	1.19695	DK294	0.0815	DK294	-0.52922
DK295	-0.05973	DK295	-1.00255	DK295	0.16871	DK295	-0.24091	DK295	0.05757
DK296	-0.43579	DK296	-1.00258	DK296	0.88098	DK296	0.20946	DK296	0.01291

APPEX. 5 : Measurement of Factor Scores for All Data In DIZAJ 1:100,000 SHEET

Sam.No.	Fac1	Sam.No.	Fac2	Sam.No.	Fac3	Sam.No.	Fac4	Sam.No.	Fac5
DK297	-0.15986	DK297	-1.05726	DK297	0.60781	DK297	-0.46275	DK297	0.02193
DK298	-0.01929	DK298	-1.32849	DK298	0.2123	DK298	-0.69331	DK298	0.13161
DK299	0.63672	DK299	-1.14007	DK299	-0.54736	DK299	-0.19797	DK299	-0.19431
DK300	0.53598	DK300	-1.26348	DK300	0.15956	DK300	-0.26326	DK300	0.2354
DK301	0.28585	DK301	-1.27368	DK301	-0.54268	DK301	-0.22059	DK301	0.26376
DK302	0.18844	DK302	-1.51439	DK302	-0.01274	DK302	-0.26234	DK302	0.03928
DK303	0.02339	DK303	-1.31608	DK303	0.12998	DK303	-0.20759	DK303	0.44295
DK304	-0.29792	DK304	-1.35855	DK304	0.04275	DK304	0.02455	DK304	0.35915
DK305	-0.44684	DK305	-0.71143	DK305	1.10976	DK305	-0.37772	DK305	0.05354
DK306	1.19169	DK306	-0.96726	DK306	1.33339	DK306	0.63877	DK306	-0.45333
DK307	1.41618	DK307	-0.49114	DK307	0.71927	DK307	-0.17944	DK307	-0.43088
DK308	1.68365	DK308	-0.85252	DK308	0.83819	DK308	1.1453	DK308	0.04364
DK309	0.49408	DK309	0.70832	DK309	-0.67401	DK309	-0.60256	DK309	-0.5386
DK310	4.15983	DK310	0.448	DK310	0.65394	DK310	5.15885	DK310	-0.65721
DK311	-0.04587	DK311	-1.09226	DK311	-0.43038	DK311	0.10451	DK311	0.08691
DN312	1.22421	DN312	0.14868	DN312	-1.42611	DN312	-0.79765	DN312	-0.50284
DN313	0.23873	DN313	-1.09742	DN313	-1.70693	DN313	0.00973	DN313	-0.05719
DN314	-0.17137	DN314	-1.16085	DN314	-0.09746	DN314	-0.37644	DN314	0.06404
DN315	0.87033	DN315	-1.12882	DN315	-2.31132	DN315	-0.06741	DN315	-0.66893
DN316	-0.08187	DN316	-0.66888	DN316	-0.12358	DN316	-0.23085	DN316	0.39372
DN317	-0.43301	DN317	-1.56646	DN317	0.22614	DN317	-0.17008	DN317	-0.32952
DK318	-0.14434	DK318	0.2657	DK318	0.22427	DK318	-0.29363	DK318	-0.46307
DK319	0.10272	DK319	0.98842	DK319	0.38696	DK319	-0.58823	DK319	-0.16504
DK320	-0.40007	DK320	-0.76661	DK320	0.41739	DK320	0.526	DK320	0.21578
DK321	-0.00618	DK321	0.47186	DK321	-0.1402	DK321	0.1927	DK321	-0.07209
DK322	0.61783	DK322	0.39299	DK322	0.41391	DK322	-1.11426	DK322	-0.88468
DK323	0.34484	DK323	0.8347	DK323	0.12077	DK323	-0.64262	DK323	-0.50505
DK324	0.13272	DK324	0.04108	DK324	0.11015	DK324	-0.63477	DK324	-0.28171
DK325	-0.24197	DK325	-0.47023	DK325	1.10752	DK325	-0.56245	DK325	-0.03743
DK326	0.3952	DK326	0.4755	DK326	0.53943	DK326	-0.94093	DK326	-0.49977
DK327	0.58106	DK327	-1.23451	DK327	-0.18715	DK327	-0.73792	DK327	-0.85699
DN328	0.43896	DN328	-1.46412	DN328	1.01934	DN328	-0.45544	DN328	-0.47517
DN329	0.50528	DN329	-0.92606	DN329	-1.51065	DN329	-0.23322	DN329	-0.94325
DN330	0.70333	DN330	-1.14182	DN330	-1.84907	DN330	0.11611	DN330	-1.18809
DN331	0.37008	DN331	-1.73224	DN331	-0.56558	DN331	-0.05213	DN331	-0.2171
DN332	0.86149	DN332	-1.36693	DN332	-2.13781	DN332	0.12569	DN332	-0.68142
DN333	0.33748	DN333	-0.98127	DN333	-0.16891	DN333	-0.86601	DN333	-0.76133
DN334	-0.0036	DN334	-0.97586	DN334	0.11479	DN334	-0.54243	DN334	-0.63517
DN335	0.91165	DN335	-1.29162	DN335	-1.75463	DN335	-1.10796	DN335	-0.73893
DN336	0.56146	DN336	-1.40095	DN336	-1.01824	DN336	-0.92393	DN336	-1.0834
DN337	0.67448	DN337	-0.94524	DN337	-0.67306	DN337	-0.92942	DN337	-0.50765
DN338	0.29998	DN338	-1.03898	DN338	-0.16032	DN338	-0.70775	DN338	-0.00103
DN339	-0.76836	DN339	0.2247	DN339	2.04129	DN339	0.00827	DN339	-0.32132
DN340	-0.06713	DN340	-1.44097	DN340	0.48524	DN340	-0.52977	DN340	0.11911
DK341	0.64183	DK341	-1.36256	DK341	-1.1662	DK341	-0.05878	DK341	-0.45032
DK342	0.68118	DK342	-1.66355	DK342	-0.62158	DK342	-0.51274	DK342	-0.39508
DK343	0.75433	DK343	-1.57702	DK343	-0.50717	DK343	-1.03315	DK343	0.01046
DK344	0.18921	DK344	-1.33921	DK344	0.71818	DK344	-0.72496	DK344	0.51395
DK345	0.64283	DK345	-1.42466	DK345	-0.55346	DK345	-0.78553	DK345	-0.27406

APPENDIX 5 : Measurement of Factor Scores for All Data In DIZAJ 1:100,000 SHEET

<i>Sam.No.</i>	<i>Fac1</i>	<i>Sam.No.</i>	<i>Fac2</i>	<i>Sam.No.</i>	<i>Fac3</i>	<i>Sam.No.</i>	<i>Fac4</i>	<i>Sam.No.</i>	<i>Fac5</i>
<i>DK346</i>	0.14453	<i>DK346</i>	-0.86821	<i>DK346</i>	0.53771	<i>DK346</i>	-0.92185	<i>DK346</i>	-1.27625
<i>DK347</i>	0.11475	<i>DK347</i>	-0.23485	<i>DK347</i>	0.54526	<i>DK347</i>	-0.5305	<i>DK347</i>	0.03979
<i>DK348</i>	0.22638	<i>DK348</i>	-0.02172	<i>DK348</i>	0.54205	<i>DK348</i>	-0.66745	<i>DK348</i>	0.24062
<i>DK349</i>	0.15346	<i>DK349</i>	-0.97307	<i>DK349</i>	0.21106	<i>DK349</i>	-0.58976	<i>DK349</i>	0.56476
<i>DK350</i>	0.11003	<i>DK350</i>	-0.87556	<i>DK350</i>	-0.20273	<i>DK350</i>	-0.12563	<i>DK350</i>	-0.48724
<i>DK351</i>	-0.04623	<i>DK351</i>	-1.09018	<i>DK351</i>	0.6478	<i>DK351</i>	-0.64955	<i>DK351</i>	-0.09847
<i>DK352</i>	0.19937	<i>DK352</i>	-1.50876	<i>DK352</i>	0.4597	<i>DK352</i>	-0.75176	<i>DK352</i>	0.15035
<i>DK353</i>	0.18969	<i>DK353</i>	-1.68301	<i>DK353</i>	0.22921	<i>DK353</i>	-0.66892	<i>DK353</i>	-0.05306
<i>DK354</i>	0.20493	<i>DK354</i>	-1.57964	<i>DK354</i>	0.4148	<i>DK354</i>	-0.54751	<i>DK354</i>	0.09254
<i>DK355</i>	0.14573	<i>DK355</i>	-1.51179	<i>DK355</i>	0.30395	<i>DK355</i>	-0.51322	<i>DK355</i>	0.33192
<i>DK356</i>	-0.09577	<i>DK356</i>	-1.001	<i>DK356</i>	0.48793	<i>DK356</i>	-0.52382	<i>DK356</i>	-0.06768
<i>DK357</i>	0.42055	<i>DK357</i>	-1.03302	<i>DK357</i>	-0.87084	<i>DK357</i>	-0.0984	<i>DK357</i>	-0.38838
<i>DK358</i>	-0.04334	<i>DK358</i>	-0.90764	<i>DK358</i>	1.05298	<i>DK358</i>	-0.65537	<i>DK358</i>	0.25575
<i>DK359</i>	-0.29025	<i>DK359</i>	-0.6099	<i>DK359</i>	0.68241	<i>DK359</i>	-0.42646	<i>DK359</i>	-0.27525
<i>DK360</i>	0.02539	<i>DK360</i>	-0.81692	<i>DK360</i>	0.79662	<i>DK360</i>	-0.7655	<i>DK360</i>	0.21964
<i>DK361</i>	-0.20615	<i>DK361</i>	-1.40352	<i>DK361</i>	0.16405	<i>DK361</i>	-0.27427	<i>DK361</i>	-0.43252
<i>DK362</i>	0.44485	<i>DK362</i>	-1.1062	<i>DK362</i>	-0.45125	<i>DK362</i>	-0.57537	<i>DK362</i>	-0.82586
<i>DK363</i>	-0.23734	<i>DK363</i>	0.38391	<i>DK363</i>	0.77869	<i>DK363</i>	-0.56061	<i>DK363</i>	-0.77918
<i>DK364</i>	0.0975	<i>DK364</i>	-1.05558	<i>DK364</i>	0.73721	<i>DK364</i>	-0.79282	<i>DK364</i>	-0.22638
<i>DK365</i>	-0.20324	<i>DK365</i>	-0.87064	<i>DK365</i>	0.7202	<i>DK365</i>	-0.49482	<i>DK365</i>	-0.52855
<i>DK366</i>	-0.10912	<i>DK366</i>	-0.83924	<i>DK366</i>	1.2716	<i>DK366</i>	-0.80272	<i>DK366</i>	-0.16225
<i>DK367</i>	0.27997	<i>DK367</i>	-0.38546	<i>DK367</i>	0.93463	<i>DK367</i>	-0.90369	<i>DK367</i>	0.20157
<i>DK368</i>	0.20402	<i>DK368</i>	-0.74146	<i>DK368</i>	1.08878	<i>DK368</i>	-0.80797	<i>DK368</i>	0.51453
<i>DK369</i>	0.1687	<i>DK369</i>	-0.73398	<i>DK369</i>	0.92716	<i>DK369</i>	-0.70625	<i>DK369</i>	0.23327
<i>DK370</i>	0.65543	<i>DK370</i>	-0.99458	<i>DK370</i>	-0.81283	<i>DK370</i>	-0.93562	<i>DK370</i>	-0.36277
<i>DK371</i>	0.66223	<i>DK371</i>	-0.479	<i>DK371</i>	-0.0566	<i>DK371</i>	-1.23679	<i>DK371</i>	-0.1247
<i>DK372</i>	0.77494	<i>DK372</i>	-0.4453	<i>DK372</i>	-0.55922	<i>DK372</i>	-0.88763	<i>DK372</i>	-0.08026
<i>DK373</i>	0.83211	<i>DK373</i>	-0.05743	<i>DK373</i>	-0.22476	<i>DK373</i>	-1.18531	<i>DK373</i>	0.22076
<i>DK374</i>	0.5782	<i>DK374</i>	-0.26888	<i>DK374</i>	-0.70081	<i>DK374</i>	-0.59244	<i>DK374</i>	-0.05288
<i>DK375</i>	1.15735	<i>DK375</i>	-0.43957	<i>DK375</i>	0.12421	<i>DK375</i>	-1.42115	<i>DK375</i>	0.68814
<i>DK376</i>	1.02146	<i>DK376</i>	-0.47703	<i>DK376</i>	0.39464	<i>DK376</i>	-1.09581	<i>DK376</i>	1.29759
<i>DK377</i>	1.53864	<i>DK377</i>	1.50656	<i>DK377</i>	-1.29833	<i>DK377</i>	-1.16514	<i>DK377</i>	0.04328
<i>DK378</i>	1.4609	<i>DK378</i>	-0.41232	<i>DK378</i>	0.65232	<i>DK378</i>	-1.54174	<i>DK378</i>	2.03979
<i>DK379</i>	1.33438	<i>DK379</i>	-0.75598	<i>DK379</i>	0.13888	<i>DK379</i>	-1.28676	<i>DK379</i>	1.32267
<i>DK380</i>	1.87898	<i>DK380</i>	-0.19803	<i>DK380</i>	0.96797	<i>DK380</i>	-1.60976	<i>DK380</i>	2.44064
<i>DK381</i>	1.58291	<i>DK381</i>	-0.35399	<i>DK381</i>	0.62788	<i>DK381</i>	-1.46333	<i>DK381</i>	2.55557
<i>DK382</i>	1.04885	<i>DK382</i>	0.27746	<i>DK382</i>	-1.14143	<i>DK382</i>	-1.14224	<i>DK382</i>	-0.86412
<i>DK383</i>	2.11827	<i>DK383</i>	1.22986	<i>DK383</i>	0.2412	<i>DK383</i>	-2.03262	<i>DK383</i>	1.59326
<i>DK384</i>	1.36898	<i>DK384</i>	0.46309	<i>DK384</i>	0.38648	<i>DK384</i>	-1.61272	<i>DK384</i>	1.32779
<i>DK385</i>	1.46057	<i>DK385</i>	0.13459	<i>DK385</i>	0.4389	<i>DK385</i>	-1.61042	<i>DK385</i>	1.32312
<i>DK386</i>	0.79845	<i>DK386</i>	0.07283	<i>DK386</i>	-0.17936	<i>DK386</i>	-0.9332	<i>DK386</i>	-0.05122
<i>DK387</i>	0.97066	<i>DK387</i>	-0.06535	<i>DK387</i>	-0.98819	<i>DK387</i>	-0.95282	<i>DK387</i>	-0.16679
<i>DK388</i>	1.35034	<i>DK388</i>	1.08706	<i>DK388</i>	-2.15258	<i>DK388</i>	-1.04638	<i>DK388</i>	-1.19321
<i>DK389</i>	0.27361	<i>DK389</i>	0.63821	<i>DK389</i>	0.86849	<i>DK389</i>	-0.88035	<i>DK389</i>	0.51111
<i>DK390</i>	-0.05995	<i>DK390</i>	-0.33738	<i>DK390</i>	0.52537	<i>DK390</i>	-0.59066	<i>DK390</i>	-0.47588
<i>DK391</i>	0.49406	<i>DK391</i>	0.66194	<i>DK391</i>	0.17149	<i>DK391</i>	-0.85512	<i>DK391</i>	0.55414
<i>DK392</i>	1.31844	<i>DK392</i>	0.39886	<i>DK392</i>	0.75017	<i>DK392</i>	-1.71483	<i>DK392</i>	1.31924
<i>DK393</i>	-0.17924	<i>DK393</i>	-1.29381	<i>DK393</i>	0.72409	<i>DK393</i>	-0.57798	<i>DK393</i>	-0.11989
<i>DK394</i>	-0.1289	<i>DK394</i>	-1.26059	<i>DK394</i>	0.23463	<i>DK394</i>	-0.50224	<i>DK394</i>	0.01588

APPENDIX 5 : Measurement of Factor Scores for All Data In DIZAJ 1:100,000 SHEET

Sam.No.	Fac1	Sam.No.	Fac2	Sam.No.	Fac3	Sam.No.	Fac4	Sam.No.	Fac5
DK395	0.16745	DK395	-1.31176	DK395	0.5345	DK395	-0.93871	DK395	0.17327
DK396	-0.22504	DK396	-1.32887	DK396	1.2313	DK396	-0.60579	DK396	-0.13027
DK397	-0.53285	DK397	0.2581	DK397	1.46681	DK397	-0.42666	DK397	-0.56836
DK398	-0.61984	DK398	0.46358	DK398	1.32164	DK398	-0.39067	DK398	-0.64369
DK399	0.08262	DK399	-1.11803	DK399	0.52132	DK399	-0.70637	DK399	0.04844
DK400	0.06139	DK400	-0.8588	DK400	0.19719	DK400	-0.59356	DK400	0.08126
DK401	-0.47843	DK401	0.71538	DK401	1.8559	DK401	-0.64792	DK401	-0.68426
DK402	0.00628	DK402	0.44011	DK402	0.07026	DK402	-0.28402	DK402	-0.51157
DK403	-0.30756	DK403	-0.36206	DK403	0.01171	DK403	-0.02317	DK403	-0.75243
DK404	-0.03958	DK404	0.34457	DK404	0.45465	DK404	-0.66326	DK404	-0.53063
DK405	-0.05642	DK405	1.26455	DK405	0.60198	DK405	-0.50755	DK405	-0.61907
DK406	-0.40821	DK406	0.29083	DK406	1.40108	DK406	-0.85546	DK406	-1.6
DK407	-0.39641	DK407	1.08687	DK407	1.365	DK407	-0.53566	DK407	-0.3196
DK408	-0.37796	DK408	0.38929	DK408	0.58805	DK408	-0.37935	DK408	-0.70941
DK409	-0.73192	DK409	0.69147	DK409	1.5801	DK409	-0.21828	DK409	-0.6768
DK410	-0.64178	DK410	0.91378	DK410	2.13532	DK410	-0.5145	DK410	-0.44941
DK411	-0.73839	DK411	0.09407	DK411	1.53225	DK411	-0.18747	DK411	-0.52138
DK412	-0.41945	DK412	0.79215	DK412	0.99052	DK412	-0.36617	DK412	-0.89103
DK413	-0.2891	DK413	0.66236	DK413	0.90029	DK413	-0.46338	DK413	-0.5158
DK414	-0.51808	DK414	0.83453	DK414	1.00302	DK414	-0.30511	DK414	-0.7987
DK415	-0.48348	DK415	0.42727	DK415	1.4155	DK415	-0.69958	DK415	-1.4904
DK416	-0.35618	DK416	0.83714	DK416	1.21	DK416	-0.4733	DK416	-0.55378
DK417	-0.58198	DK417	0.69335	DK417	1.39852	DK417	-0.40451	DK417	-0.52384
DK418	-0.08226	DK418	0.27815	DK418	-0.1495	DK418	-0.21507	DK418	-1.04576
DK419	-0.30942	DK419	-0.19583	DK419	1.08959	DK419	-0.43112	DK419	-0.34085
DK420	0.26912	DK420	1.42968	DK420	0.10207	DK420	-0.76479	DK420	-1.12816
DK421	-0.07272	DK421	-0.89064	DK421	-0.10655	DK421	-0.35655	DK421	-0.75666
DK422	0.07497	DK422	2.59745	DK422	0.53676	DK422	-0.55154	DK422	-1.27063
DK423	0.07138	DK423	1.24609	DK423	-0.15303	DK423	-0.54407	DK423	-1.17716
DK424	0.95128	DK424	3.15184	DK424	-0.61731	DK424	-0.63533	DK424	-1.03485
DK425	1.16358	DK425	3.92322	DK425	-0.95182	DK425	-0.85715	DK425	-1.26546
DK426	0.00056	DK426	0.09562	DK426	0.28786	DK426	-0.72273	DK426	-2.29567
DK427	-0.05376	DK427	0.16315	DK427	0.95766	DK427	-0.60995	DK427	-0.55721
DK428	0.85299	DK428	-0.42747	DK428	-0.92209	DK428	-1.04817	DK428	-0.47553
DK429	0.80381	DK429	0.95635	DK429	-1.12604	DK429	-0.74162	DK429	-1.28675
DK430	1.00359	DK430	-0.40185	DK430	-1.13124	DK430	-1.26767	DK430	-0.20828
DK431	0.12151	DK431	0.96185	DK431	1.06703	DK431	-0.60613	DK431	-0.65528
DK432	0.47051	DK432	1.2458	DK432	0.57023	DK432	-1.05503	DK432	-0.74873
DK433	1.01096	DK433	1.22485	DK433	-0.05141	DK433	-1.08929	DK433	0.42444
DK434	0.67749	DK434	1.2028	DK434	-0.00706	DK434	-0.89268	DK434	-1.17828
DK435	1.38259	DK435	2.12897	DK435	-1.66518	DK435	-0.957	DK435	-1.23092
DK436	1.24832	DK436	1.85274	DK436	-1.4142	DK436	-1.07092	DK436	-0.62769
DK437	0.22708	DK437	1.43115	DK437	-0.00975	DK437	-0.69365	DK437	-1.12842
DK438	1.17992	DK438	1.10071	DK438	-1.5816	DK438	-0.43013	DK438	-1.29453
DK439	0.87733	DK439	-0.11558	DK439	-1.33059	DK439	-0.46507	DK439	-0.98981
DK440	0.85101	DK440	-0.23251	DK440	-1.13949	DK440	-0.41598	DK440	-1.02295
DK441	1.31322	DK441	0.31809	DK441	0.64596	DK441	-1.62212	DK441	1.17327
DK442	0.85991	DK442	0.78792	DK442	0.40682	DK442	-1.33381	DK442	0.37584
DK443	1.04473	DK443	0.61075	DK443	0.94471	DK443	-1.34769	DK443	0.86045

APPEX. 5 : Measurement of Factor Scores for All Data in DIZAJ 1:100,000 SHEET

Sam.No.	Fac1	Sam.No.	Fac2	Sam.No.	Fac3	Sam.No.	Fac4	Sam.No.	Fac5
DK444	0.72428	DK444	0.02184	DK444	-0.44722	DK444	-0.70249	DK444	0.21129
DK445	0.11723	DK445	-0.36579	DK445	0.63991	DK445	-0.77655	DK445	-0.4828
DK446	0.17141	DK446	-0.12079	DK446	1.88004	DK446	-1.08176	DK446	0.15059
DK447	0.47059	DK447	-0.24889	DK447	1.11364	DK447	-1.10947	DK447	0.58731
DK448	1.02353	DK448	-0.02318	DK448	-1.44285	DK448	-1.23905	DK448	-1.30988

ضمیمه شماره شش

نتایج کیفی مطالعه کانیهای سنگین در آزمایشگاه صحرایی.

FIELD NO :	3000a	3000c	3000d	3000e	3000g
TOTAL VOLUME cc A	DB-1	DB-2	DB-3	DB-4	DB-5
PANNED VOLUME cc B	15.4	12.4	7.6cc	11.4	9.5cc
STUDY VOLUME cc C	15.4	12.4	7.6cc	11.4	9.5cc
HEAVY VOLUME cc Y	4.5cc	8.2cc	5.4	10.4	7.3cc
FRACTIONS	AA AV NM X	AA AV NM X	AA AV NM X	AA AV NM X	AA AV NM X
RATIO	2 8 d	4.5 4.5 1	.5 9.5 d	.5 9.5 d	1 9 d
MAGNETITE	5.	10 9.	40 6.	3 8.	4 6.
APATITE	5 0.25	Pfs Pts	Pfs Pts	- -	Pfs Pts
ZIRCON	0.5 0.25	Pfs Pts	Pfs Pts	- -	Pfs Pts
RUTILE	3 0.15	Pfs Pts	Pfs Pts	- -	- -
ANATASE	.2 0.1	Pfs Pts	- -	- -	- -
SPHENE	Pfs Pts	Pfs Pts	- -	- -	- -
LFOCOXENE	Pfs Pts	Pfs Pts	d 0.03	- -	- -
Ca-CARBONATE	1. 0.5	1. 1	Pfs Pts	Pfs Pts	Pfs Pts
FLEDSPAR	2. 7	3. 3	d 0.03	Pfs Pts	-
BARITE	Pfs Pts	- -	Pfs Pts	1. 0.5	d 0.03
PYRITE	.7 0.35	Pfs Pts	Pfs Pts	9. 4.5	Pfs Pts
DOLOMITE	1. 0.5	3. 3	Pfs Pts	- -	d 0.03
CINNABAR	1 Pfs Pts	- -	- -	- -	- -
CELESTINE	Pfs Pts	- -	d 0.03	- -	- -
GOLD	-	- -	-	- -	1 Pfs Pts
HEMATITE	d 0.4	1. 4.5	d 0.5	.5	5
GOETHITE	.5 4	d 0.3	Pfs Pts	Pfs	Pfs
PYRITE-OXIDE	1. 8	Pfs Pts	Pfs Pts	.5 5	.5 4.5
PYRITE-LIMONITE	Pfs Pts	Pfs Pts	- -	Pfs Pts	- -
LIMONITE	Pfs Pts	Pfs	Pts	- -	- -
PYROXENS	5. 40	5.5 25	8. 76	1. 9.5	2.5 22.5
AMPHIBOLES	d 0.4	d 0.3	1. 9.5	-	1.5 14
EPIDOTS	1. 8	1. 4.5	1. 9.5	8. 76	5.5 50
GARNETS	Pfs Pts	Pfs Pts	Pfs Pts	Pfs Pts	- -
BIOTITE	2. 1.6	Pfs Pts	-	Pfs Pts	- -
ILMENITE	Pfs Pts	-	-	-	- -
CHLORITE	2. 16	d 0.3	Pfs Pts	-	Pfs Pts
CERISITE	d 0.4	Pfs Pts	Pfs Pts	-	Pfs Pts
CHROMITE	-	1. 4.5	Pfs Pts	Pfs Pts	Pfs Pts
IRFADSILICATE	5. d 4. 12.5	1. 1.5 3. 14 4. d d	d 2.5 2. d Pfs 1.5 4. d d	4.5	
LUMPY,	125-250%	subrounded			

FIELD NO :	3000cc		3000cc		3000cc		3000cc		3000cc											
TOTAL VOLUME cc A	DB-6		DB-7		DB-8		DB-9		DB-10											
ANNED VOLUME cc B	19.4		7.44		26.4		3.64		4.4											
TUDY VOLUME cc C	19.4		7.44		26.4		3.64		4.4											
EAVY VOLUME cc Y	4.54		3.64		10.44		1.34		3.14											
FRACTIONS	AA	AV	NM	X	AA	AV	NM	X	AA	AV	NM	X	AA	AV	NM	X				
RATIO	7.	2.5	.5		1.5	8.5	d		1.5	7.5	1.		2.5	7.	5	.5	9.	.5		
MAGNETITE	5.5		38.5	8.			12	6.5			10	8.5		21	7.		3.5			
APATITE			0.5	0.25			0.5	0.25			0.5	0.5		0.5	2.5		Pts	P+S		
ZIRCONE			0.5	0.25			0.5	0.25			d	0.05		Pts	P+S		Pts	P+S		
ANATASE			Pts	P+S			-	-			Pts	P+S		-	-		-	-		
RUTILE			0.7	0.35			d	0.03			Pts	P+S		Pts	P+S		Pts	P+S		
NIGRINE			0.3	0.15			Pts	P+S			Pts	P+S		Pts	P+S		Pts	P+S		
C. Q			2.5	1.25			3	1.5			3.5	3.5		2.	10		0.5	0.25		
G. CARBONAT			1.	0.5			0.5	0.25			1.	1		1.	5		d	0.03		
PYRITE			d	0.03			d	0.03			1.	1		3.	15		8.5	4.3		
EOCOXCENE			Pts	P+S			Pts	P+S			-	-		-	-		-	-		
MUSCOVITE			Pts	P+S			-	-			d	0.05		-	-		-	-		
SILVER			-	-			3	Pts	P+S		-	-		-	-		-	-		
BARITE			-	-			Pts	P+S			0.5	0.5		2.	10		Pts	P+S		
CINABBAR			-	-			-	-			-	-		-	-		2	Pts	P+S	
CHEELITE			-	-			4	Pts	P+S		-	-		-	-		-	-		
EMATITE	1.	2.5	.5	4.5	0.5	4	0.5	3.5	0.5	4.5										
ALONITE	.5	1.5	Pts	P+S	d	0.4	Pts	P+S	Pts	P+S										
GOETITE	d	0.15	Pts	P+S	Pts	P+S	Pts	P+S	Pts	P+S										
PIDOT	3.	7.5	6.5	55	7.	52	7.	49	6.5	6.5								3		
MPHIBOLIS	.5	1.5	Pts	P+S	Pts	P+S	Pts	P+S	d	0.35	Pts	P+S								
YROXENES	1.	2.5	.5	4.5	Pts	P+S	d	0.35	Pts	P+S										
ARNET	d	0.15	Pts	P+S	-	-	-	-	-	-	Pts	P+S								
LEMENITE	Pts	P+S	-	-	-	-	-	-	-	-	-	-								
ROMITE	Pts	P+S	-	-	-	-	-	-	-	-	-	-								
YRITE OXIDE	1.5	4	.5	4.5	0.5	4	1.	5	0.5	4.5										
PINEL MAGNETITE	-	-	Pts	1	Pts	-	-	-	-	-	-	-								
TEROSILICATE	4.5	2.5	4.5	40	9.	2.	5.5	23	3.5	2.	3.5	24	1.5	1.5	1.5	22	3.	2.5	1.	25

FIELD NO :	3000cc				3000cl				3000cc				3000cl				3000cl				
TOTAL VOLUME cc A	DB-11				DB-12				DB-13				DB-14				DB-15				
DRAINED VOLUME cc B	3.3cc				4.cc				12.cc				19.cc				15.cc				
STUDY VOLUME cc C	3.3cc				4.cc				12.cc				19.cc				15.cc				
HEAVY VOLUME cc Y	2.4cc				1.6cc				8.6cc				9.5cc				7.5cc				
FRACTIONS	AA	AV	NM	X	AA	AV	NM	X	AA	AV	NM	X	AA	AV	NM	X	AA	AV	NM	X	
RATIO	1.5	8.	.5		.5	9.	.5		1	8.5	0.5		1	8.5	.5		1.5	8	.5		
MAGNETITE	9.				14	8.5			4.25	9.			9	8.			8	8.5		13	
APATITE		PTS	PTS			PTS	PTS			PTS	PTS			PTS	PTS			PTS	PTS		
ZIRCON		PTS	PTS			d	0.03			PTS	PTS			PTS	PTS			PTS	PTS		
RUTILE	-	-				PTS	PTS			-	-			PTS	PTS			PTS	PTS		
SPHENE	-	-				-	-			-	-			-	-			-	-		
F-Q	.5	0.25				1.	5			d	0.03			.5	0.25			1.	0.5		
Ca-CARBONATE	d	0.03				d	0.03			PTS	PTS			d	0.03			PTS	PTS		
PYRITE	8.5	4				4.	2			4.	2			3.5	2			2.5	1.25		
GOLD	1	PTS	PTS			-	-			-	-			-	-			-	-		
GOLD & SILVER	-	-				1	PTS	PTS		-	-			-	-			-	-		
TAUCHITE	-	-				-	-			2	PTS	PTS		-	-			-	-		
CINABAR	-	-				-	-			-	-			1	PTS	PTS		-	-		
IMATITE	.5	4	8.	72	2.	17	1.	8.5	.5	4											
LIMONITE	PTS	PTS	PTS	PTS	PTS	PTS	PTS	PTS	d	0.5								PTS	PTS		
GOETITE	PTS	PTS	PTS	PTS	PTS	PTS	PTS	PTS	PTS	PTS								PTS	PTS		
EPIDOT	7.5	60	1.	90	6.	4.	53	6.	51	6.5											
AMPHIBOLIS	PTS	PTS	d	0.4	d	0.4	PTS	PTS	PTS	PTS								PTS	PTS		
PYROXENS	PTS	PTS	.1	3.5	17	d	0.5	0.5	.5	3.5	6							5	4.	6	
CROMITE	d	0.4	PTS	PTS	PTS	PTS	PTS	PTS	PTS	PTS	PTS							PTS	PTS		
OLIVINE	PTS	PTS	PTS	PTS	PTS	PTS	-	-	-	-	-						-	-	-		
YRITIE OXIDE	.5	4	.5	4.5	d	0.4	.5	4	.5	4	.5										
YRITIE-LIMONITE	-	-	d	0.4	-	-	-	-	-	-	-						-	-	-		
ARNETS	-	-	-	-	-	-	-	-	-	-	-						-	-	-		
HORITE	-	-	-	-	-	PTS	PTS	PTS	-	-	-						-	-	-		
LIGISTE	-	-	PTS	PTS	-	-	-	-	-	-	-						-	-	-		
	1.	1.5	1.	14	1.5	3	10	1.	1.5	1.5	15	2.	2.	2.	2.	2.	1.5	2.	2.5	20	

FIELD NO :	30000cc	30000cc	30000cc	30000cc	30000cc
TOTAL VOLUME cc A	DB-16	DB-17	DB-18	DB-19	DB-20
ANNED VOLUME cc B	18.cc	9.cc	9.cc	3.8cc	10.cc
STUDY VOLUME cc C	18.cc	9.cc	9.cc	3.8cc	10.cc
HEAVY VOLUME cc Y	8.3cc	3.cc	4.cc	2.8cc	7.cc
FRACTIONS	AA AV NM X	AA AV NM X	AA AV NM X	AA AV NM X	AA AV NM X
RATIO	.5 9 .5	1.5 7 1.5	1 8.5 .5	5 5 d	3 7 d
MAGNETITE	3.	1.5 5.	7.5 6.5	6.5 7.	35 6.
APATITE	Pfs Pfs	Pfs Pfs	Pfs Pfs	Pfs Pfs	d 0.03
ZIRCON	Pfs Pfs	Pfs Pfs	- -	Pfs Pfs	d 0.03
RUTILE	Pfs Pfs	- -	Pfs Pfs	Pfs Pfs	Pfs Pfs
ANATASE	Pfs Pfs	- -	- -	Pfs Pfs	Pfs Pfs
SPHENE	Pfs Pfs	- -	- -	Pfs Pfs	Pfs Pfs
LEUCOXENE	Pfs Pfs	- -	- -	Pfs Pfs	Pfs Pfs
PYRITE	d 0.03	3.4.5	2.1	d 0.03	d 0.03
BARITE	Pfs Pfs	Pfs Pfs	Pfs Pfs	Pfs Pfs	d 0.03
FLUDESPAR	1. 0.5	1. 1.5	.5 0.25	d 0.03	d 0.03
CALC. CARBONATE	1. 0.5	Pfs Pfs	3 0.15	d 0.03	d 0.03
DOLOMITE	.5 0.25	Pfs Pfs	2 0.1	Pfs Pfs	Pfs Pfs
GOLD	- -	- -	- -	1 Pfs Pfs	- -
CINNABAR	- -	- -	- -	-	5 Pfs Pfs
EMATITE	4. 36	3. 1. 22.9	1.5 3. 27	2.	10 2.5 18
SOFTHITE	Pfs Pfs	Pfs - Pfs	- - -	Pfs Pfs	Pfs Pfs
PYRITE-OXIDE	- -	Pfs - Pfs	2. - 2	2.	10 1.5 10
ZYROXENS	3. 4. 29	4.5 4. 38	5. 3. 30	5.	25 45 32
EPIDOTS	3. 3.5 28	2.5 1. 19	1.5 1. 10	d	0.25 1. 7
PYRITE-LIMONITE	Pfs Pfs	Pfs - Pfs	- - -	-	Pfs Pfs
LIMONITE	- -	Pfs Pfs	- - -	-	-
HROMITE	- -	.3 2.1	d 0.5	1. 5	d 0.35
GARNETS	- -	- -	- -	-	Pfs Pfs
TREAD SILLICATE	7 d d 4 5. d d 8 3.5 d d 4 3. d d 15 4. 5 d	15.5			
FINE. GRAIN. LUMPY, subangular					

FIELD NO :	30000A	30000B	30000C	30000D	30000E
TOTAL VOLUME cc A	DB-21	DB-22	DB-23	DB-24	DB-25
SWANED VOLUME cc B	4.44	7.44	5.54	10.34	10.4
STUDY VOLUME cc C	4.44	7.44	5.54	10.34	10.4
HEAVY VOLUME cc Y	3.54	6.24	4.4	7.84	7.54
FRACTIONS	AA AV NM X	AA AV NM X	AA AV NM X	AA AV NM X	AA AV NM X
RATIO	5 5 d	5 5 d	5.5 4.5 d	5 5 d	5.5 4.5 d
MAGNETITE	5.	25 5.5	28 5.	28 9.	45 8.5
APATITE	Pf _s P _{t+s}	Pf _s P _{t+s}	Pf _s P _{t+s}	d 0.03	d 0.03
ZIRCON	Pf _s P _{t+s}	Pf _s P _{t+s}	Pf _s P _{t+s}	Pf _s P _{t+s}	d 0.03
PYRITE	d 0.03	d 0.03	d 0.03	d 0.03	d 0.03
Cu-CARBONATE	2. d 0.03	d 0.03	d 0.03	d 0.03	d 0.03
DOLOMITE	d 0.03	Pf _s P _{t+s}	Pf _s P _{t+s}	Pf _s P _{t+s}	Pf _s P _{t+s}
FLEDSPAR	d 0.03	d 0.03	d 0.03	d 0.03	d 0.03
RUTILE	- -	d 0.03	d 0.03	d 0.03	d 0.03
ANATASE	- -	Pf _s P _{t+s}	Pf _s P _{t+s}	Pf _s P _{t+s}	Pf _s P _{t+s}
BARITE	- -	Pf _s P _{t+s}	Pf _s P _{t+s}	Pf _s P _{t+s}	Pf _s P _{t+s}
CINNABAR	- -	10 Pf _s P _{t+s}	- -	Pf _s P _{t+s}	2 Pf _s P _{t+s}
GOLD	- -	1 Pf _s P _{t+s}	- -	3 Pf _s P _{t+s}	1 Pf _s P _{t+s}
NIGRIN	- -	Pf _s P _{t+s}	Pf _s P _{t+s}	Pf _s P _{t+s}	Pf _s P _{t+s}
GALENA	- -	- -	- -	3 Pf _s P _{t+s}	7 Pf _s P _{t+s}
CERUSSITE	- -	- -	- -	- -	Pf _s P _{t+s}
SCHEELITE	.5 0.25	1.5 1	1. 0.5	- -	- -
EMATITE	d 0.25	.5 2.5	d 0.3	d 0.25	.5 2.5
ZOETHITE	Pf _s P _{t+s}	Pf _s P _{t+s}	Pf _s P _{t+s}	Pf _s P _{t+s}	Pf _s P _{t+s}
PYRITE-OXIDE	d 0.25	2 1	Pf _s P _{t+s}	Pf _s P _{t+s}	d 0.3
PYRITE-LIMONITE	Pf _s P _{t+s}	Pf _s P _{t+s}	- -	- -	Pf _s P _{t+s}
CHROMITE	d 0.25	2. 10	2.5 12	5.5 28	3. 14
PYROXENS	8. 40	5.5 2.8	6.5 32	3. 15	3. 13
EPIDOTS	Pf _s P _{t+s}	.5 2.5	d 0.3	.5 2.5	3. 14
JARNETS	Pf _s P _{t+s}	Pf _s P _{t+s}	Pf _s P _{t+s}	Pf _s P _{t+s}	Pf _s P _{t+s}
AMPHIBOLIS	- -	d 0.25	Pf _s P _{t+s}	Pf _s P _{t+s}	d 0.3
OLIGISTE	- -	Pf _s P _{t+s}	- -	- -	- -
CHLORITE	- -	Pf _s P _{t+s}	Pf _s P _{t+s}	Pf _s P _{t+s}	Pf _s P _{t+s}
PHLOCOPITE	- -	Pf _s P _{t+s}	- -	- -	- -
ILMENITE	Pf _s P _{t+s}	Pf _s P _{t+s}	Pf _s P _{t+s}	.5 2.5	.1 0.45
OLIVINE	- -	- -	Pf _s P _{t+s}	Pf _s P _{t+s}	Pf _s P _{t+s}
LIMONITE	- -	- -	- -	- -	Pf _s P _{t+s}
TREAD SILICATE	5. d d 25.545	1.5 d 30 5. .1. d 33 1. .5 d 8 1.5 .5 d 1.5			

SIZE: 125-250μ Lampy subrounded

62-884. fibly subangular

62-884. fibly subangular.

FIELD NO :	3000cc				3000cc				3000cc				3000cc				3000cc					
TOTAL VOLUME cc A	DB-26				DB-27				DB-28				DB-29				DB-30					
PANNED VOLUME cc B	7.2cc				8.2cc				8.4cc				6.6cc				4.7cc					
STUDY VOLUME cc C	7.2cc				8.2cc				8.0cc				6.6cc				4.7cc					
HEAVY VOLUME cc Y	6.6cc				6.9cc				6.6cc				3.8cc				3.7cc					
FRACTIONS	AA	AV	NM	X	AA	AV	NM	X	AA	AV	NM	X	AA	AV	NM	X	AA	AV	NM	X		
RATIO	4	6	d		4.	5.5	5		4.	5.5	5		3.5	6.5	d		4.	5.5	5			
	9.5		38	9.		36	8.5		34	8.5			30	9.			36					
MAGNETITE																						
APATITE		.5	0.25			d	0.03			d	0.03			.5	0.25			.5	0.25			
ZIRCON		.5	0.25			.5	0.25			d	0.03			.5	0.25			d	0.03			
ANATASE		P/S	P+S			P/S	P+S			—	—			—	—			—	—			
RUTILE		d	0.03			P/S	P+S			P/S	P+S			P/S	P+S			P/S	P+S			
NIGRINE		P/S	P+S			P/S	P+S			P/S	P+S			P/S	P+S			P/S	P+S			
F. Q		2.5	1.5			1.5	0.8			2.5	1.5			1.5	1			2.5	1.3			
Ca-CARBONATE		d	0.03			d	0.03			P/S	P+S			.5	0.25			d	0.03			
CINABBAR		3	P/S	P+S		4	P/S	P+S		—	—			—	—			—	—			
GOLD		2	P/S	P+S		2	P/S	P+S		—	—			—	—			—	—			
SILVER		3	P/S	P+S		2	P/S	P+S		—	—			5	P/S	P+S		—	—			
BARITE		d	0.03			P/S	P+S			—	—			—	—			—	—			
GALENA		2	P/S	P+S		—	—			—	—			—	—			—	—			
SERICITE		P/S	P+S			—	—			—	—			—	—			—	—			
PYRITE		.5	0.25			.5	0.25			.5	0.25			.5	0.25			d	0.03			
SCHEELITE		3	P/S	P+S		—	—			—	—			—	—			—	—			
PYROXENS	2.4	14			2.5	4.5	16		3.5	6.0	22		5.	4.5	35		4.	5.	24			
AMPHIBOLIS	P/S	P+S	d		d	0.3			d	0.3			P/S	P+S	P/S	P+S	P/S	P+S				
OLIVINE	d	0.3	d		d	0.3			d	0.3			d	0.4	P/S	P+S	P/S	P+S				
CORNITE	3.5	21			3.5	20			3.	17			1.5	10	1.	5.5						
ILEMENITE	.5	3	.5		3	d			d	0.3			d	0.4	d	d	0.3					
TEMATITE	.5	3	.5		3	.5			3	1.5			1.5	10	1.	5.5						
LIMONITE	d	0.3	d		d	0.3			P/S	P+S			P/S	P+S	P/S	P+S	P/S	P+S				
TOETITE	P/S	P+S	P/S		P/S	P+S			P/S	P+S			P/S	P+S	P/S	P+S	P/S	P+S				
DIGISTE	d	0.3	P/S		P/S	P+S			.5	3	d		0.4	P/S	P+S	P/S	P+S					
PYRIT OXIDE	.5	3	d		d	0.3			d	0.3			d	0.4	P/S	P+S	P/S	P+S				
TREAD. SILICATE	.5	3.	2.	21	1.	3.	3.	22	1.5	2.5	10.	20	1.5	2.	2.	19	1.	3.5	2.	24		

{ Lumpy, 7, 100-125/ μ , SubRounded

2) Fine GRINE, 8

{ 1) FilmY, 8, 800, 100/ μ , subRounded
 2) Lumpy, 8, 200, 300/ μ , subRounded

FIELD NO :	3000a		3000b		3000c		3000d		3000e									
TOTAL VOLUME cc A	DB-31		DB-32		DB-33		DB-34		DB-35									
PANNED VOLUME cc B	13.a		4.a		8.a		11.5 a		8.7 a									
STUDY VOLUME cc C	13.a		4.a		8.a		11.5 a		8.7 a									
HEAVY VOLUME cc Y	9.8 a		3.a		4.8 a		8.a		7.a									
FRACTIONS	AA	AV	NM	X	AA	AV	NM	X	AA	AV	NM	X	AA	AV	NM	X		
RATIO	3	7	d		1.5	8.5	d		.5	9.5	d		3.5	6.5	d			
MAGNETITE	8.		24	9.			13.5	8.5		4	8.		28	9.5		28.5		
SPINEL-MAGNETITE	1.		3															
APATITE		.3	0.15			2.	1			.7	0.35		1.	0.5		3.5		
ANATASE		-	-			-	-			-	-		-	-	-	-		
ULTRILE		PTS	PTS			PTS	PTS			PTS	PTS		PTS	PTS		PTS		
PYRITE		.5	0.25			d	0.03			d	0.03		PTS	PTS		.2		
Q., F.		.5	0.25			2.	1			.5	0.25		d	0.03		1.5		
CA-CARBONATE		d	0.03			d	0.03			PTS	PTS		-	-		PTS		
SPHENE		PTS	PTS			d	0.03			PTS	PTS		PTS	PTS		PTS		
ZIRCON		.1	0.05			2.	1			.3	0.15		1.	0.5		3.5		
TOUCOVIDITE		PTS	PTS			PTS	PTS			PTS	PTS		PTS	PTS		PTS		
EUCOXENE		-	-			-	-			-	-		-	-		-		
ARITE		PTS	PTS			-	-			-	-		-	-	d	0.03		
RENOLITE		-	-			-	-			PTS	PTS		-	-		-		
CINNABAR		-	-			-	-			-	-		18	PTS	PTS	8	PTS	PTS
YUROXENS	3.	8.	25		1.	1.5	9		3.	6.	31.5		3.5	6.5	26	.5	1.	4
UPHIBOLIS	d	0.35			d	0.5			.5	d	5		d	-	0.3	PTS	PTS	
PIDOTS	1.	7			1.5	5	13		1.5	1.5	10		1.	5	7	d	0.35	
OETHHITE	PTS	PTS			PTS	PTS			PTS	PTS		PTS	PTS	PTS	PTS	PTS		
MONITE	-	-			PTS	PTS			PTS	PTS		-	-	PTS	PTS	PTS		
IRITE-OXIDE	d	0.35			d	0.5			d	0.5		d	0.3	d	0.35			
IRITE-LIMONITE	-	-			-	-			-	-		-	-	-	-	-		
HORITE	PTS	PTS			PTS	PTS			PTS	PTS		PTS	PTS	-	-	-		
HRONITES	2.	14			PTS	PTS			PTS	PTS		3	2	.5	4			
PATITE	PTS	PTS			PTS	PTS			PTS	PTS		PTS	PTS	PTS	PTS	PTS		
OTITE	-	-			PTS	PTS			PTS	PTS		-	-	-	-	-		
LIGISTE	PTS	PTS			PTS	PTS			PTS	PTS		PTS	PTS	PTS	PTS	PTS		
EMATITE	2.5	17.5			6.5	55			4.	38		4.	26	8.5	60			
DINE	d	0.35			d	0.5			PTS	PTS		d	0.3	-	-	-		
MENITE	1d	0.35			PTS	PTS			PTS	PTS		d	0.3	d	0.35			
RNETS	-	-			PTS	PTS			-	-		PTS	PTS	PTS	PTS	PTS		
RISITE	PTS	PTS			PTS	PTS			PTS	PTS		-	-	-	-	-		
READ-SILLICATE	.5	1.	d		8.5	1.	5	1.5	6.5	1.5	1.	11	2.	2	1.	9.	5	
												d	d	2				

FIELD NO :	3000cc				3000cc																
TOTAL VOLUME cc A	DB-36				DB-37				DB-38				DB-39				DB-40				
ANNED VOLUME cc B	3.cc				15.cc				14.cc				20.cc				7.cc				
STUDY VOLUME cc C	3.cc				15.cc				14.cc				20.cc				7.cc				
HEAVY VOLUME cc Y	2.2cc				8.5cc				13.cc				15.7cc				4.9cc				
FRACTIONS	AA	AV	NM	X	AA	AV	NM	X													
RATIO	1	9	d		4	6	d		3.5	6.5	d		2	7	1		3.5	6.5	d		
MAGNETITE	6.		6	8.5			34	9.5			33	8.			16	8.			28		
SPINEI-MAGNETITE	4,		4	-			-				1.				2	1.5			5		
PATITE		7.	3.5			d	0.03			6.	3			PTS	PTS			3.	1.5		
UTILE			PTS	PTS			PTS	PTS													
NATASE			PTS	PTS			PTS	PTS			PTS	PTS			-	-			PTS	PTS	
YRITE			d	0.03			0.3	0.15			d	0.25			PTS	PTS			d	0.03	
Z, F.			d	0.03			1.	0.5			1.	0.5			d	0.05			.5	0.25	
A-CARBONATE			PTS	PTS			PTS	PTS													
IRCON			1.	0.5			d	0.03			2.5	1.3			d	0.05			1.	0.5	
OLD		1	PTS	PTS			1	PTS	PTS		-	-			-	-			3	PTS	PTS
INNABAR		5	PTS	PTS			3	PTS	PTS		8	PTS	PTS		-	-			10	PTS	PTS
REMOILITE			-	-			.5	0.25			-	-			d	0.05			-	-	
ARITE			-	-			PTS	PTS			-	-			-	-			PTS	PTS	
AIENA		1	PTS	PTS			-	-			-	-			-	-			1	PTS	PTS
ERUSSITE		1	PTS	PTS			-	-			-	-			-	-			1	PTS	PTS
ROXENS	d	1.5	1.2		1.5	2.	10		4.	.5	26.2			7.	7.	56		6.5	2.	43	
UPHIBOLIS		PTS	PTS		5	3	.	5			3.2			2.	2.	16		1.		6.5	
SDOTS		PTS	PTS		.5	.5	3.2		1.5		10			.5		3.5		.5		3.5	
ARNETS		-	-		PTS	PTS		PTS			PTS			-	-	PTS	1.	0.5			
OTITE		-	-		-	-		-			-			PTS	PTS	PTS		PTS			
EMATITE		9.	4.5		5.5	3.3		2.5			17			d	0.35	1.		6.5			
MONITE		PTS	PTS		PTS	PTS		PTS			PTS			-	-	PTS		PTS			
OETHITE		PTS	PTS		-	-		PTS			PTS			-	-	-		-			
IRITE-OXIDE		.5	4.5		d	0.3		d			0.32			PTS	PTS	PTS		PTS			
GORITE		-	-		PTS	PTS		PTS			PTS			PTS	PTS	PTS		PTS			
IGISTE		d	0.45		PTS	PTS		PTS			PTS			-	-	d		0.35			
IRONITE		PTS	PTS		.7	4.2		1.			6.5			PTS	PTS	.5		3.5			
MENITE		-	-		d	0.3		d			0.32			-	-	d		0.35			
DINEL		PTS	PTS		-	-		-			-			-	-	-		-			
IRTITE		PTS	PTS		PTS	PTS		PTS			PTS			-	-	PTS		PTS			
TREADSILICATE	d	d	d	0.5	1.5	1.	5.5	15.5	d	d	5	1.	d	5	3.5	3.5	2.	2.	4		

1: Film

37%

40%

125-250 μ

FORM = Film

Form: Tabular

ARE: Sub Angulare

SIZE = 88-125 μ SIZE: > 500 μ

ANGULARE = Sub Angulare

ANGULARE = Sub Angulare

FIELD NO :	3000cc	3000cc	3000cc	3000cc	3000cc
TOTAL VOLUME cc A	DB-41	DB-42	DB-43	DB-44	DB-45
PANNED VOLUME cc B	13.4	7.4	6.8cc	11.4	11.54
STUDY VOLUME cc C	13.4	7.4	6.8cc	11.4	11.54
HEAVY VOLUME cc Y	11.3cc	5.8cc	2.7cc	5.2cc	7.cc
FRACTIONS	AA AV NM X	AA AV NM X	AA AV NM X	AA AV NM X	AA AV NM X
RATIO	4.5 5.5 d	25 7.5 d	3.5 6.5 d	25 7.5 d	2.5 7.5 d
MAGNETITE	7.	32 6.5	16 7.	25 5.	12.5 5.5
APATITE	Pfs Pts	Pfs Pts	7. 3.5	6. 3	6.5 3.5
ZIRCON	Pf Pts	Pf Pts	d 0.03	d 0.03	Pf Pts
RUTILE	Pf Pts	Pf Pts	Pf Pts	Pf Pts	Pf Pts
ANATASE	Pf Pts	- -	Pf Pts	Pf Pts	Pf Pts
SPHENE	- -	- -	- -	Pf Pts	- -
LEUCOXENE	Pf Pts	Pf Pts	- -	d 0.03	- -
PYRITE	d 0.03	3.5 1.75	Pf Pts	Pf Pts	d 0.03
BARITE	Pf Pts	- -	- -	Pf Pts	Pf Pts
FLDESPAS	5. 2.5	4.5 2.5	Pf Pts	Pf Pts	Pf Pts
Ca. CARBONATE	d 0.03	Pf Pts	- -	- -	- -
DOLOMITE	Pf Pts	d 0.03	Pf Pts	Pf Pts	- -
CINNABAR	3 Pfs Pts	- -	- -	- -	- -
GALENA	- -	- -	- -	3 Pfs Pts	1 Pf Pts
CERUSSITE	- -	- -	- -	Pfs Pts	- -
PYROMORPHITE	- -	- -	- -	3 Pfs Pts	2 Pfs Pts
SCHEELITE	25 d 0.03	25 d 0.03	- -	- -	- -
EMATITE	1. 5.5	.5	4	5. 3.3	5.5 4.2
DETITE	Pf Pts	Pf Pts	Pf Pts	d 0.4	.5 4
YRITE-OXIDE	.5 2.75	d	0.4	d 0.33	0.4 Pfs
YROXENS	5.5 30	6.5	4.9	4. 26	4. 30
IMPHIBOLIS	d 0.3	Pfs	Pts	Pf Pts	Pf Pts
EPIDOTS	1. 5.5	.5	4	.5 3.3	.5 4
CHLORITE	Pf Pts	Pf Pts	Pf Pts	Pf Pts	Pf Pts
HROMITE	.5 2.75	1.	7.5	.5 3.3	d 0.4 .3 2.5
LMEANTE	d 0.3	Pfs	Pts	Pf Pts	- -
SPINEL	Pf Pts	Pf Pts	Pts	- -	- -
IMONITE	Pf Pts	Pf Pts	Pts	- -	Pf Pts
YRITE-LIMONITE	Pf Pts	Pf Pts	Pf Pts	Pf Pts	- -
LOTITE	d 0.3	Pf Pts	Pf Pts	Pf Pts	Pf Pts
ARNETS	- -	Pf Pts	Pf Pts	Pf Pts	- -
TREADSILICATE	3 1.5 5. 23 3.5 1.5 2. 20 3. d 3. 12.5 5. d 4. 15 4.5 d 35 14				

FIELD NO :	3000A				3000B				3000C				3000D				3000E				
TOTAL VOLUME cc A	DK-51				DB-52				DB-53				DB-54				DB-55				
ANNED VOLUME cc B	25.4				15.4				7.34				3.84				8.24				
TUDY VOLUME cc C	25.4				15.4				7.34				3.84				8.24				
BAVY VOLUME cc Y	2.14				14.24				4.54				2.44				6.44				
FRACTIONS	AA	AV	NM	X	AA	AV	NM	X	AA	AV	NM	X	AA	AV	NM	X	AA	AV	NM	X	
RATIO	5.5	4.5	d		5.5	4.5	d		4	5.5	5		5	5	d		3.5	6.5	d		
MAGNETITE	9.		50	9.5			52	9.			36	9.5		48	7.5			26			
PINEI-CHROMITE	-		-				-				-			2.			7				
PATITE	6.5	3.2			.2	0.1			PTS	PTS			.3	0.15			1.	0.5			
UTIIG	PTS	PTS			PTS	PTS			-	-			PTS	PTS			PTS	PTS			
NATASE	PTS	PTS			-	-			-	-			-	-			-	-			
PHENG	.5	0.25			PTS	PTS			-	-			-	-			PTS	PTS			
LOUSCOVITE	-	-			-	-			-	-			-	-			PTS	PTS			
., F.	.5	0.25			.2	0.1			.5	0.25			.5	0.25			d	0.03			
A-CARBONATE	PTS	PTS			-	-			-	-			PTS	PTS			PTS	PTS			
YRITE	0.1	0.05			PTS	PTS			d	0.03			PTS	PTS			d	0.03			
IRCON	2.	1			.3	0.15			PTS	PTS			.2	0.1			.3	0.15			
ARITE	PTS	PTS			-	-			-	-			-	-			-	-			
INNABAR	-	-			.1	0.05			15	PTS	PTS		PTS	PTS			5	PTS	PTS		
-ALENA	-	-			1	PTS	PTS		-	-			-	-			-	-			
ERUSSITE	-	-			1	PTS	PTS		-	-			-	-			-	-			
CHEELITE	-	-			-	-			-	-			-	-			10	PTS	PTS		
ROXENS	3.	d	14		1.5	9.	11		4.	9.	26.5		.5	8.	6.5		2.	8.5	17		
UPHIBOLIS	.5	2.25	d		0.3	d	0.3		d	0.3			d	0.25			d	d	0.3		
PIDOTS	.5	d	2.5		.5	2.5			.5	3			.5	2.5			.5	.1	3.2		
ARNETS	d		0.3		PTS	PTS			PTS	PTS			PTS	PTS			PTS	PTS			
EMATITE	4.5	20.5	6.		27	3.			16.5	8.5			43	6.							
MONITE	PTS	PTS	PTS		PTS	PTS			PTS	PTS			PTS	PTS			PTS	PTS			
DETHITE	PTS	PTS	PTS		PTS	PTS			PTS	PTS			PTS	PTS			PTS	PTS			
YRITE - OXIDE	d	0.3	d		0.3	d	0.3		d	0.3			PTS	PTS			PTS	PTS			
YRITE - LIMONITE	-	-	-		-	-			-	-			d	0.25			-	-			
OTITE	PTS	PTS	PTS		PTS	PTS			-	-			PTS	PTS			-	-			
HORITE	PTS	PTS	PTS		PTS	PTS			PTS	PTS			-	-			PTS	PTS			
ERISITE	-	-	-		-	-			-	-			-	-			-	-			
LIGISTE	PTS	PTS	PTS		PTS	PTS			PTS	PTS			d	0.25			PTS	PTS			
IMENITE	PTS	PTS	d		0.3	.1			0.55	-			d	0.32			d	0.32			
IRONITE	PTS	PTS	1.		4.5	2.			11	-			-	-			1.	6.5			
LDINE	PTS	PTS	d		0.3	d	0.3		0.3	-			-	-			PTS	PTS			
ARTITE	PTS	PTS	PTS		PTS	PTS			PTS	PTS			PTS	PTS			PTS	PTS			
AMOSITE	-	-	-		-	-			-	-			-	-			PTS	PTS			
READ-SILICATE	1.	1.	0.1		10	5.5	3.5	1.	d	5	4.5	5	d	0.5	3	5	d	d	2		

FIELD NO :	3000 ^{cc}				3000 ^{cc}				3000 ^{cc}				3000 ^{cc}				3000 ^{cc}				
TOTAL VOLUME cc A	DB-56				DB-57				DB-58				DB-59				DB-60				
PANNED VOLUME cc B	8.8 cc				7.4 cc				4.2 cc				8.4 cc				9.2 cc				
STUDY VOLUME cc C	8.8 cc				7.4 cc				4.2 cc				8.4 cc				9.2 cc				
HEAVY VOLUME cc Y	3.3 cc				1.5 cc				2.3 cc				5.4 cc				5.4 cc				
FRACTIONS	AA	AV	NM	X	AA	AV	NM	X	AA	AV	NM	X	AA	AV	NM	X	AA	AV	NM	X	
RATIO	2.	7.5	.5		4.	5.	.5		4.5	5.5	d		2.5	7.5	d		4.	6.	d		
MAGNETITE	5.		10	5.			20	9.		41	8.5			22	4.			16			
APATITE	2.	1			2.5	1.25			4.	2			1.5	0.8			3.5	1.8			
ZIRCON	1.5	0.8			1.5	0.75			1.	0.5			d	0.03			.5	0.25			
RUTILE	P/S	P+S			P/S	P+S			P/S	P+S			P/S	P+S			P/S	P+S			
NIGRINE	P/S	P+S			P/S	P+S			P/S	P+S			P/S	P+S			P/S	P+S			
SPHENE	P/S	P+S			P/S	P+S			P/S	P+S			-	-			-	-			
SILVER+AU	-	-			5	P/S	P+S		-	-			-	-			-	-			
PYRITE	-	-			.5	0.25			.5	0.25			d	0.03			d	0.03			
F. Q	-	-			.5	0.25			.5	0.25			3.5	1.8			1.	0.5			
Ca-CARBONAT	-	-			P/S	P+S			P/S	P+S			P/S	P+S			P/S	P+S			
CINABBAR	-	-			1	P/S	P+S		10	P/S	P+S		4	P/S	P+S		-	-			
FLOURITE	-	-			-	-			P/S	P+S			-	-			-	-			
GOLD	-	-			-	-			2	P/S	P+S		-	-			-	-			
GALENA	-	-			-	-			3	P/S	P+S		-	-			2	P/S	P+S		
CERUSSITE	-	-			-	-			P/S	P+S			-	-			-	-			
ANATASE	-	-	-	-	-	-	-		P/S	P+S			-	-			P/S	P+S			
AMPHIBOL	P/S	P/S	P/S	P/S	P/S	P/S	P/S	P/S	P/S	P/S	P/S	P/S	P/S	P/S	P/S	P/S	P/S	P/S	P/S	P/S	
PYRO XENS	2.	4.5	17.5		2.	3.5	12		2.5	1.	14		1.	2.	8.5		2.5	1.5	16		
EPIDOT	3.5	27			2.5	13			2.5	13.8			3.5	26			2.5	15			
HEMATITE	1.5	11.5	2.5		13				2.5	13.8			3.5	26			3.	18			
LIMONITE	d	0.4	1.		5				d	0.3			P/S	P/S			P/S	P+S			
GOETITE	P/S	P+S	P/S		P/S	P/S	P/S		P/S	P+S			P/S	P/S	P/S		P/S	P+S			
CROMITE	.5	3.8	P/S		P/S	P/S	P/S		d	0.3			P/S	P/S	P/S		P/S	P+S			
OLIVINE	d	0.4	P/S		P/S	P/S	P/S		P/S	P+S			-	-	-		-	-			
YRIT OXIDE	.5	3.8	.5		2.5				.5	3			.5	3.8			d	0.3			
BIDOTITE	P/S	P/S	.5		2.5				P/S	P/S			P/S	P/S	P/S		P/S	P/S			
TARNET	-	-	-		-	-			.5	3			P/S	P/S	P/S		-5	3			
ALTERD SILICATE	5.	2.	26	5.	1.	1.5	26	1.	1.5	3.	14	1.5	1.5	3.	16	6.	1.5	3.5	35		

Lumpy. 6, 125-180 ft., subrounded

4 10, 100-125A, 11

FIELD NO :	3000°C	3000°C	3000°C	3000°C	3000°C															
TOTAL VOLUME cc A	DB-61	DB-62	DB-63	DK-64	DK-65															
ANNED VOLUME cc B	6.2 <u>c</u>	5.7 <u>c</u>	5.4	8.4 <u>c</u>	9.8 <u>c</u>															
PUDY VOLUME cc C	6.2 <u>c</u>	5.7 <u>c</u>	5.4	8.4 <u>c</u>	9.8 <u>c</u>															
SAVY VOLUME cc Y	3. <u>c</u>	3.6 <u>c</u>	3.1 <u>c</u>	6. <u>c</u>	6.4 <u>c</u>															
FRACTIONS	AA	AV	NM	X	AA	AV	NM	X	AA	AV	NM	X	AA	AV	NM	X				
RATIO	7	3	d		2.5	6.5	1		2.5	7.5	d		3.5	6.5	d	3	6.5	-5		
AGNETITE	8.5		60	8.		20	9.		22.5	9.		31.5	9.5				28.5			
INNABAR	-	-	-	-	-	-	-	-	20	Pts	Pts	20	Pts	Pts	20	Pts	0.025			
PHALERITE	-	-	-	-	-	-	-	-	-	-	-	-	-	-	-	-	Pts			
IRCON	d	0.03			d	0.05			1.	0.5		1.	0.5		1.	0.5				
ATITE	4.	2			3.5	3.5			1.	0.5		1.	0.5		1.	0.5				
UTIE		Pts	Pts		-	-			Pt	Pts		Pt	Pts		Pt	Pts				
VATASE	-	-	-	-	-	-	-		Pt	Pts		Pt	Pts		Pt	Pts				
IRITE	-2	0.1			6.	6			1.5	0.8		3.	1.5		2.	1				
Q.	.2	0.1			Pts	Pts			d	0.03		1.	0.5		d	0.03				
I-CARBONATE	-	Pts	Pts		-	-			1.5	0.8		1.	0.5		1.	0.5				
OUSCOVITE		Pts	Pts		-	-			-	-		-	-		-	-				
ARITE	d	0.03			5	0.5			2.5	1.5		1.	0.5		4.	2				
OURITE		Pts	Pts		-	-			-	-		-	-		Pt	Pts				
AIENA	-	-	5	Pts	Pts				5	0.25		-	-		5	0.25				
ERILLSSITE	-	-			Pts	Pts			3	0.15		-	-		3	0.15				
OID	1	Pts	Pts		-	-			-	-		-	-		-	-				
PHENE		Pts	Pts		-	-			Pt	Pts		Pt	Pts		2	0.1				
ALACHITE	-	-			Pts	Pts	2	Pts	Pts	Pts		-	-		Pt	Pts				
CHEELITE	-	-			-	-			2	Pts	Pts	-	-		-	-				
DIABLOIDE	-	-			-	-			Pts	Pts		-	-		Pt	Pts				
MITHSONITE	-	-			-	-			2	0.1		-	-		d	0.03				
HEMIMORPHITE	-	-			-	-			d	0.03		-	-		Pt	Pts				
YROMORPHITE	-	-			-	-			Pts	Pts		-	-		Pt	Pts				
ROXENS	.5	3.5	3	d	0.4	Pt		Pts	3.5		23		1.5			10				
APHIBOLIS	d	-	0.15		Pts	Pts		-	Pt	Pts		Pt	Pts		Pt	Pts				
IDOTS	d	1.	0.6		Pts	Pts	d	0.4	Pt	Pts	2.	15	5	3.3	1.	6.5				
ARNETS	Pts	Pts			Pts	Pts			Pt	Pts	Pts	Pts	Pts	Pts	Pts	Pts				
EMATITE	8.5	25.5	3.5	2.3	7.	52			5.		33	6.	3.9		Pt	Pts				
MONITE	Pts	Pts	Pt	Pts	Pt	Pts			Pts	Pts	Pts	Pts	Pts	Pts	Pts	Pts				
OETHITE	-	-	1.5	3.8	d	0.4			5		3.3	d	0.32		Pt	Pts				
RITE-OXIDE	d	0.15	4.5	30	.5	3.8			Pts	Pts	Pts	Pts	Pts	Pts	Pts	Pts				
RITE-LIMONITE	-	-	Pt	Pts	Pt	Pts			Pt	Pts	Pts	Pts	Pts	Pts	Pts	Pts				
OTITE	Pts	Pts	Pt	Pts	Pt	Pts			Pt	Pts	Pts	Pts	Pts	Pts	Pts	Pts				
IGISTE	d	0.15	d	0.4	.3	2.3			d		0.33	Pt	Pts	Pt	Pts	Pts				
HORITE	+	-	-	-	-	-			Pt	Pts	Pts	Pts	Pts	Pts	Pts	Pts				
MENITE	-	-	-	-	-	-			-	-	-	-	-	-	-	-				
IRONITE	-	-	-	-	-	-			d	0.4	3	0.15	.2	1.3	Pts					
PINEL	-	-	-	-	-	-			Pt	Pts	Pts	Pts	Pts	Pts	Pts	Pts				
ARTITE	-	-	-	-	-	-			Pt	Pts	Pts	Pts	Pts	Pts	Pts	Pts				
PROSITE	-	-	-	-	-	-			Pt	Pts	Pts	Pts	Pts	Pts	Pts	0.32				
ROOKITE	-	-	-	-	-	-			-	-	-	-	-	-	-	17s Pts				
REAO-SILICATE	1.5	5.5	5.5	12.5	2.	d	d	5.5	1.	d	1.	3.5	1.	d	2.	5	5	d	5	2

film
80-125 μ
residual angularity

FIELD NO :	3000cc	3000cc	3000cc	3000cc	3000cc															
TOTAL VOLUME cc A	DK-66	DK-67	DK-68	DK-69	DK-70															
ANNED VOLUME cc B	4.44	4.59	7.74	4.54	20.2															
STUDY VOLUME cc C	4.44	4.54	7.74	4.54	20.4															
HEAVY VOLUME cc Y	3.44	3.64	5.64	3.44	15.4															
FRACTIONS	AA	AV	NM	X	AA	AV	NM	X	AA	AV	NM	X	AA	AV	NM	X				
RATIO	4	5.5	5		4.	6.	d		3.5	5.5	1.		4.	5.5	5		4.	6.	d	
MAGNETITE	9.5		38	50		20	9.5		33	9.5			38	9.5			38			
TOPATITE		.5	0.25			1.	0.5			d	0.05			4.5	2.3			2.	1.	
ZIRCON		.5	0.25			.5	0.25			d	0.05			.5	0.25			3.5	1.8	
TINATASE		Pts	P+S			Pts	P+S			Pts	P+S			Pts	P+S			Pts	P+S	
RUTILE		Pts	P+S			Pts	P+S			Pts	P+S			Pts	P+S			Pts	P+S	
VIGRINE		Pts	P+S			Pts	P+S			Pts	P+S			Pts	P+S			Pts	P+S	
SPHENE		Pts	P+S			Pts	P+S			Pts	P+S			Pts	P+S			.5	0.25	
SILVER	1	Pts	P+S		1	Pts	P+S		—	—	—	—	—	—	—	—	—	—	—	
GOLD	1	Pts	P+S		—	—	—	—	—	—	—	—	—	—	—	—	—	—	—	
GALENA	>50	0.5	0.25		—	—	2	Pts	P+S		.5	0.25			Pts	P+S				
CERUSSITE		d	0.03			—	—		—	—		.2	0.1			Pts	P+S			
JINABBAR	>50	0.1	0.05		—	—	>40	d	0.05		>40	d	0.03		>10	Pts	P+S			
ZARITE		.4	0.2		—	—		Pts	P+S		Pts	P+S			Pts	P+S				
F. Q	2.5	1.5			1.5	0.8			.5	0.5			.5	0.25			2.	1		
PYRITE		3.5	1.8			.5	0.25			6.5	6.5			10	0.5			Pts	P+S	
MITESONITE		d	0.03		—	—	—	—	—	—	—	—	—	—		Pts	P+S			
SPHALERITE		Pts	P+S		—	—	—	—	—	—	—	—	—	—	—	—	—	—	—	
HEMI MORPHITH		Pts	P+S		—	—	—	—	—	—	—	—	—	—	—	—	—	—	—	
COVELITE		—	—		—	—	—	—	—	—	2	Pts	P+S		—	—	—	—	—	
PYROXENS	.5	1.5	3.5		4.5	2.	28		30	1.	17.5	d	10	0.8		Pts	P+S			
AMPHIBOLIS		Pts	P+S		Pts	P+S		Pts	P+S	Pts	P+S	Pts	P+S	Pts	P+S	Pts	P+S	Pts	P+S	
EMATITE	7.0	3.9	.5		3	.5			2.8	8.	4.4		7.0							
LIMONITE	.5	2.8			Pts	P+S		Pts	P+S			.5	2.8	d	0.3					
ZOETITE		Pts	P+S		Pts	P+S		d	0.28	d	0.28	Pts	P+S	Pts	P+S	Pts	P+S	Pts	P+S	
PYRITOXIDE	.5	2.8	.5		3	.5			2.8	.5	2.8									
FARNET	d	0.28			Pts	P+S		Pts	P+S	Pts	P+S	Pts	P+S	Pts	P+S	Pts	P+S	Pts	P+S	
CROMITE	.5	2.8			Pts	P+S		.5	2.8	Pts	P+S	Pts	P+S	Pts	P+S	Pts	P+S	Pts	P+S	
EPIDOTE	1.0	5.5	2.5		15	9.5			13.8	d	0.28									
ROME SPINEL	—	—	—		—	—			5.5	Pts	P+S	Pts	P+S	Pts	P+S	Pts	P+S	1.0	6	
TERD SILICATE	.5	4.5	2.5	5.0	2.5	5.5	35	.5	2.5	2.0	18	.5	10	1.5	8	5	1.0	2.0	9	

{ LUMPY, } , 125-150N, sub rounded

FIELD NO :	3000cc				3000c				3000c				3000c				3000c			
TOTAL VOLUME cc A	DK-71				DK-72				DK-73				DK-74				DK-75			
RANDED VOLUME cc B	10.4				6.3cc				2.4cc				8.4				10.4			
STUDY VOLUME cc C	10.4				6.3cc				2.4cc				8.4				10.4			
LEAVY VOLUME cc Y	6.1cc				3.8cc				0.4cc				2.8cc				5.1cc			
FRACTIONS	AA	AV	NM	X	AA	AV	NM	X	AA	AV	NM	X	AA	AV	NM	X	AA	AV	NM	X
RATIO	2	7.5	.5		3	7	d		2.5	7.5	d		3.5	6.5	d		2	8	d	
MAGNETITE	6.		12	7.		21	5.		12.5	8.5			30	7.			14			
APATITE	d	0.03			3.	1.5			2.5	1.3			2.5	1.25			.2	0.1		
ZIRCON	d	0.03			d	0.03			d	0.03			2	0.1			.1	0.05		
RUTILE	Pf	P+S			Pf	P+S			Pf	P+S			Pf	P+S			Pf	P+S		
ANATASE	Pf	P+S			Pf	P+S			Pf	P+S			Pf	P+S			Pf	P+S		
SPHENE	Pf	P+S			1.5	0.8			d	0.03			d	0.03			d	0.03		
LECOXENE	-	-			Pf	P+S			Pf	P+S			-	-			Pf	P+S		
PYRITE	Pf	P+S			1.5	0.8			1.	0.5			3.5	1.8			3.	1.5		
BARITE	Pf	P+S			Pf	P+S			Pf	P+S			Pf	P+S			.5	0.25		
Ca,CARBONATE	.5	0.25			.5	0.25			1.	0.5			.5	0.25			.5	0.25		
DOLOMITE	.5	0.25			d	0.03			5	0.25			Pf	P+S			d	0.03		
FLDESPAR.	2.	1			1.	0.5			1.	0.5			.5	0.25			1.	0.5		
CINNABAR	-	-			3	Pf	P+S		-	-			-	-			-	-		
GOLD	-	-	-	-	-	-	-		1	Pf	P+S		-	-	-		-	-	-	
SILVER	-	-	-	-	-	-	-		2	Pf	P+S		1	Pf	P+S		-	-	-	
FLOURITE	-	-	-	-	-	-	-		-	-	-		Pf	P+S			-	-		
LEMATITE	1.	7.5	3.5	24.5	2.5	19			2.5	16.3			4.5							
IOETHITE	Pf	P+S	d	0.35	1.5	11.5			2.	13			d							
PYRITE-OXIDE	d	0.4	5	3.5	.5	3.8			5	3.3			Pf							
PYRITE-LIMONITE	-	-	Pf	P+S	Pf	P+S			Pf	P+S			Pf				Pf			
LIMONITE	-	-	Pf	P+S	Pf	P+S			Pf	P+S			.5	3.3			Pf			
JAKOSITE	-	-	Pf	P+S	Pf	P+S			Pf	P+S			d	0.32			Pf			
PYROXENS	7.5	5.5	60	5.	2.	36	4.5	34	1.5	10			3.5	3.			30			
AMPHIBOOLS	Pf	P+S	Pf	P+S	Pf	P+S			Pf	P+S			16.3				Pf			
EPIDOTS	Pf	P+S	d	0.35	d	0.38			d	0.32			.5							
BIOTITE	Pf	P+S	Pf	P+S	Pf	P+S			Pf	P+S			Pf				Pf			
GARNETS	Pf	P+S	Pf	P+S	Pf	P+S			Pf	P+S			Pf				Pf			
CHLORITE	-	-	Pf	P+S	Pf	P+S			Pf	P+S			Pf				Pf			
CHROMITE	Pf	P+S	d	0.7	.5	3.8			2	1.3			1.5				12			
OLIGISTE	-	-	Pf	P+S	Pf	P+S			Pf	P+S			Pf				-			
SPINEL	-	-	-	-	-	-			Pf	P+S			Pf				Pf			
LTRADSILICATE	4.	1.5	1.5	20	3.	1.5	.5	13	5.	-.5	4.	18	1.5	d	3.	7	3.	d	1.5	7

73: SHAPE: FILMY, 62-88%, subangular

FIELD NO :	3000cc				3000cc				3000cc				3000cc				3000cc				
TOTAL VOLUME cc A	DK-76				DK-77				DK-78				DK-79				DK-80				
ANNED VOLUME cc B	14.4				15.4				3.4				3.54				5.24				
TUDY VOLUME cc C	14.4				15.4				3.4				3.54				5.24				
EWAY VOLUME cc Y	4.44				8.44				2.744				2.544				0.244				
FRACTIONS	AA	AV	NM	X	AA	AV	NM	X	AA	AV	NM	X	AA	AV	NM	X	AA	AV	NM	X	
RATIO	2.	8.	d		4.5	5.5	d		4.5	5.5	d		5.5	4.5	d		3.5	6	5		
MAGNETITE	7.		14	8.5		38	9.5		43	9.5		52	9.				32				
TOPATITE		3.5	1.8			5	0.25		5	0.25			-	0.25			1.	0.5			
IRCON		1.	0.5			1.	0.5		2.5	1.5			1.7	0.6			1.	0.5			
SPHENE		0.5	0.25			2	0.03		Pts	Pts			Pts	Pts			Pts	Pts			
DUTILE		Pts	Pts			Pts	Pts		Pts	Pts			Pts	Pts			Pts	Pts			
GRINE		Pts	Pts			Pts	Pts		Pts	Pts			Pts	Pts			-	-			
NATASE		d	0.03			Pts	Pts		-	-			-	-			-	-			
Q		1.5	0.8			2.	1		1.	0.5			2.5	1.3			2.	1			
CARBONATE		d	0.03			0.5	0.25		0.5	0.25			2.	1			5	0.25			
YRITE		0.5	0.25			3.	1.5		1.	0.5			1.5	0.8			1.5	0.8			
CINABBAR	2	Pts	Pts			-	-		5	Pts	Pts		>60	3	0.15		>20	d	0.03		
SILVER	-	-	1	Pts	Pts				-	-			2	Pts	Pts		2	Pts	Pts		
GALENA	-	-	2	Pts	Pts				-	-			2	Pts	Pts		-				
GOLD	-	-	-	-		1	Pts	Pts					-	-			-	-			
PROXENE	3.	1.	24.5		1.5	2.	9		1.5	1.	9		1.5	6.8			1.	2.	7		
AMPHIBOL	d	0.4	2.5		14	0.5	0		2.8	0.5	2.8		2.5	22.5			d	0.3			
EMATITE	2.	16	2.		11	1.	0		5.5	1.5	6.8		2.	12							
IMONITE	d	0.4	0.5		2.8	Pts	Pts		Pts	Pts	Pts		Pts	2.	12						
TOETITE	Pts	Pts	Pts		Pts	Pts	Pts		Pts	Pts	Pts		Pts	Pts	Pts	Pts	Pts	Pts	Pts		
PIDOTTE	3.5	28	1.		5.5	2.	0		11	2.5	11.3		2.	12							
BIO TITE	d	0.4	0.5		2.8	Pts	Pts		Pts	Pts	Pts		Pts	Pts	Pts	Pts	Pts	Pts	Pts		
YRIT OXIDE	0.5	4	0.5		2.8	0.5	2.8		0.5	2.8	0.5		0.5	22.5			d	0.3			
TARTITE	Pts	Pts	-		-	-	-		0.5	2.8	Pts		Pts	d	0.3		Pts	Pts	Pts		
PINEL CROME	d	0.4	Pts		Pts	Pts	Pts		Pts	Pts	Pts		Pts	Pts	Pts	Pts	Pts	Pts	Pts		
ROMITE	-	-	-		-	3.	16		3.	16	3.		3.	13.5			2.	12			
LIVINE	-	-	-		-	Pts	Pts		Pts	Pts	d		0.23	Pts	Pts			Pts	Pts		
LEMENITE	-	-	-		-	1.	5.5		0.5	5.5	22.5		d	0.3							
	3.	10	20	15	1.5	1.5	1.	16	5.	d	3.5	4.5	5.	5	d	2.	4	1.	1.	2.	
																				10	

FIELD NO :	3000cc				3000c				3000a				3000e				3000e			
TOTAL VOLUME cc A	DK-81				DK-82				DK-83				DK-84				DK-85			
ANNED VOLUME cc B	8.8 ^a				8.5 ^a				8.2 ^a				5.4				9.4			
TUDY VOLUME cc C	8.8 ^a				8.5 ^a				8.2 ^a				5.4				9.4			
SAVY VOLUME cc Y	2.5 ^a				6.1 ^c				6.7 ^c				1. ^a				2. ^a			
FRACTIONS	AA	AV	NM	X	AA	AV	NM	X	AA	AV	NM	X	AA	AV	NM	X	AA	AV	NM	X
RATIO	4.	6.	d		4.5	5.5	d		7.	2.	1.		7.	2.5	.5		7.	2.5	.5	
MAGNETITE	8.5		34	9.5			43	7.5			52.5	9.			63	9.5			67	
APATITE		4.	2				1.5	0.8			.5	0.5			.5	0.25			.5	0.25
ZIRCON		1.	0.5				3.5	1.8			Pts	Pts			1.	0.5			1.	0.5
BUTILE		Pts	Pts				Pts	Pts			-	-			Pts	Pts			Pts	Pts
UIGRINE		Pts	Pts				Pts	Pts			-	-			Pts	Pts			Pts	Pts
LEUCOXEN		Pts	Pts				-	-			-	-			-	-			-	-
CINABBAR	5	Pts	Pts		>200	2	0.1		>10	Pts	Pts		>500	30	1.5		>500	3-	hs	
F. Q		1-	0.5				1.3	0.5			Pts	Pts			2.	1			2.	1
Ca-CARBONATE		Pts	Pts				d	0.03			Pts	Pts			d	0.03			d	0.03
BARITE		-	-				d	0.03			-	-			d	0.03			d	0.03
COVELITE		-	-		1	Pts	Pts			-	-			-	-			-	-	
GOLD		-	-		1	Pts	Pts		1	Pb	Pts			-	-			-	-	
PHENE		-	-				Pts	Pts			-	-			-	-			-	-
SILVER		-	-		1	Pts	Pts			-	-			-	-			-	-	
PYRITE		-	-		d	0.03			d	0.05			2.5	1.3			2.5	1.3		
AMPHIBOL	d	0.3	.5	2.8		Pts	Pts			Pts	Pts			Pts	Pts			Pts	Pts	
PYROXENS	2.	2.	13	1.5	1.	9	7.5	8.5	23.5	2.	5			2.	5			2.	5	6.5
HEMATITE	1.5	9	10	5.5		1.5	3			2.	5			2.	5			2.	5	
LIMONITE	.5	3	Pts	Pts	d	0.1	d				0.12			d	0.12			d	0.13	
EPIDOT	2.5	15	1.5	9	.5	1	2.5			6.5	3.			3.	5			3.	5	
CROMITE	1.5	9	4.	22	Pts	Pts	3.								7.5				7.5	
ILLEMENITE	d	0.3	.5	2.8	Pts	Pts	d				0.12			d	0.12			d	0.13	
YRIT OXIDE	.5	3	.5	2.8	Pts	Pts	Pts								Pts				Pts	
MARTITE	d	0.3	.5	2.8	Pts	Pts	Pts								Pts				Pts	
OLIVINE	-	-	Pts	Pts	Pts	-	-			d	0.12			d	0.12			d	0.13	
OLIGISTE	-	-	Pts	Pts	-	-				Pts	Pts			Pts	Pts			Pts	Pts	
BIOTITE	-	-	Pts	Pts	-	-	-			-	-			-	-			-	-	
TERD SILICATE	1.5	1.5	2.	16	.5	d	2.5	4	2.5	.5	10	20	1.	.5	10	9	.5	.5	10	5

82. Lumpy, 3, 100-125/ μ , sub rounded83. Lumpy, 3, 125-150/ μ , sub rounded

FIELD NO :	3000A				3000B				3000C				3000D				3000E			
TOTAL VOLUME cc A	DK-86				DK-87				DK-88				DK-89				DK-90			
PANNED VOLUME cc B	14.4				5.64				10.54				18.4				4.54			
STUDY VOLUME cc C	14.4				5.64				10.54				18.4				4.54			
HEAVY VOLUME cc Y	11.24				2.34				7.4				6.74				3.74			
FRACTIONS	AA	AV	NM	X	AA	AV	NM	X	AA	AV	NM	X	AA	AV	NM	X	AA	AV	NM	X
RATIO	7.5	2.5	d		2	7.5	.5		4	6	d		2.5	7.5	d		3.5	6.5	d	
MAGNETITE	8.5		64	5.		10	9.		36	8.			20	9.			31.5			
APATITE	d	0.03			Pf	Pts			Pf	Pts			Pf	Pts			Pf	Pts		
ZIRCON	1.5	0.8			Pf	Pts			Pf	Pts			Pf	Pts			Pf	Pts		
RUTILE	Pf	Pts			Pf	Pts			Pf	Pts			Pf	Pts			—	—		
ANATASE	Pf	Pts			Pf	Pts			Pf	Pts			Pf	Pts			—	—		
SPHENE	d	0.03			Pf	Pts			Pf	Pts			Pf	Pts			—	—		
LEUCOXENE	Pf	Pts			Pf	Pts			5.	2.5			Pf	Pts			—	—		
PYRITE	d	0.03			Pf	Pts			Pf	Pts			5	0.25			2.	1		
BARITE	Pf	Pts			—	—			—	—			Pf	Pts			Pf	Pts		
FELDSPAR	2.	1			5.	2.5			3.	1.5			1.	0.5			1.	0.5		
Ca, CARBONATE	1.5	0.8			.5	0.25			.5	0.25			.5	0.25			d	0.03		
CINNABAR	>50	Pf	Pts		2	Pf	Pts		1	Pf	Pts		>20	Pf	Pts		>100	bL	0.03	
DOLOMITE	d	0.03			Pf	Pts			Pf	Pts			Pf	Pts			—	—		
GOLD	—	—	—	—	1	Pf	Pts		—	—	—	—	—	—	—	—	1	Pf	Pts	
NATIVE-LEAD	—	—	—	—	—	—	—	—	—	—	—	—	—	—	—	—	Pf	S	Pts	
EMATITE	1.5	4	d	0.4	1.	6			3.5	2.7			1.	6.5						
GOETHITE	d	0.12	Pf	Pts	d	0.3			Pf	Pts			Pf	Pts			Pf	Pts		
PYRITE-OXIDE	d	0.12	Pf	Pts	Pf	Pts	d	0.3	Pf	Pts			Pf	Pts			Pf	Pts		
PYRITE-LIMONITE	Pf	Pts	Pf	Pts	Pf	Pts	Pf	Pts	—	—			—	—			—	—		
LIMONITE	Pf	Pts	Pf	Pts	Pf	Pts	Pf	Pts	—	—			Pf	Pts			Pf	Pts		
PYROXENS	2.	5	5.	40	6.	36			6.5	8.	53		7.	2	49					
AMPHIBOLES	Pf	Pts	Pf	Pts	Pf	Pts	d	0.3	—	—			Pf	Pts						
EPIDOTS	3.5	8.8	d	0.4	.5	3			Pf	Pts			.5	3.25						
GARNETS	Pf	Pts	Pf	Pts	Pf	Pts	Pf	Pts	—	—			Pf	Pts			Pf	Pts		
BIOTITE	—	—	Pf	Pts	Pf	Pts	Pf	Pts	—	—			—	—			—	—		
CHLORITE	Pf	Pts	Pf	Pts	Pf	Pts	Pf	Pts	—	—			Pf	Pts			Pf	Pts		
CHROMITE	1.	2.5	Pf	Pts	5.	3			Pf	Pts			1.	6.5						
SPINEL	Pf	Pts	—	—	Pf	Pts	Pf	Pts	Pf	Pts			Pf	Pts			Pf	Pts		
ILMENITE	d	0.12	—	—	Pf	Pts	Pf	Pts	—	—			—	—			—	—		
LTREAD SILICATE	1.5	2.	5.	19	5.	5.	45	52	1.	2.5	15	20	2.	d	d	5.5	1.	1.5	d	13

SHAPE-Lumpy
SIZE=62-884
Subangular

90 SHAPE-FI/Lmy
SIZE=88-1254
SubAngular

FIELD NO :	3000A				3000B				3000C				3000D				3000E			
TOTAL VOLUME cc A	DK-91				DK-92				DK-93				DK-94				DK-95			
PANNED VOLUME cc B	9.24				10.54				14.4				7.54				12.54			
STUDY VOLUME cc C	9.24				10.54				14.4				7.54				12.54			
HEAVY VOLUME cc Y	5.44				5.14				7.64				4.24				6.24			
FRACTIONS	AA	AV	NM	X	AA	AV	NM	X	AA	AV	NM	X	AA	AV	NM	X	AA	AV	NM	X
RATIO	3.	7.	d		2.	8.	.5		3.	5.5	1.5		2.5	7.	.5		8.5	1.5	d	
MAGNETITE	5.		15	6.		12	8.5		26	8.5			22	8.5			73			
APATITE		1.5	0.8			2.	1		2.	3			2.5	1.3			2.5	1.3		
ZIRCON		0.5	0.25			1.	0.5		1.	1.5			1.5	0.8			1.5	0.8		
RUTILE		PTs	PTs			PTs	PTs		PTs	PTs			PTs	PTs			PTs	PTs		
NIGRINE		PTs	PTs			PTs	PTs		PTs	PTs			PTs	PTs			PTs	PTs		
ANATASE		PTs	PTs			—	—		—	—			PTs	PTs			PTs	PTs		
F. Q		2.5	1.3			2.	1		3.	4.5			2	1			2.5	1.3		
Ca. CARBONATE		0.5	0.25			1.	0.5		1.	1.5			1.5	0.8			0.5	0.25		
CINABBAR	5	PTs	PTs			—	—		—	—			25	PTs	PTs		—	—		
GOLD	2	PTs	PTs			—	—		—	—			—	—			—	—		
LEADEN	2	PTs	PTs			—	—		—	—			—	—			—	—		
SMITHSONITE		PTs	PTs			—	—		—	—			—	—			—	—		
PYRITE		PTs	PTs			PTs	PTs		PTs	PTs			1.	0.5			d.	0.03		
SPHENE		—	—			—	—		—	—			—	—			d.	0.03		
PYROXENS	3.	2.5	22		3.5	3.	30		2.	11		.5	3.5	.5		0.8				
AMPHIBOL	d	0.35	d		d	0.4		PTs	PTs		PTs	PTs	PTs	PTs	PTs	PTs	PTs	PTs	PTs	
EPIDOT	3.5	24.5	3.5		28	3.		3-	16.5		1.	7	1.	7	1.5	2.25				
TEMATITE	1.5	10.5	1.		8	1.		1.	5.5		5.5	5.5	38.5	5.	5.	7.5				
IMONITE	d	0.35	d		0.4	d		0.27	d		0.35	d	0.35	d	0.08					
IOETITE	d	0.35	d		0.4	PTs		PTs	PTs		.5	3.5	.5	3.5	.5	0.8				
GARNET	PTs	PTs	PTs		PTs	PTs		PTs	PTs		PTs	PTs	PTs	PTs	PTs	PTs	PTs	PTs	PTs	
CRONITE	—	—	—		—	—		d	0.27		d	0.35	d	0.35	d	0.08				
MARTITE	—	—	—		—	—		—	—		1.	7	1.	7	1.	1.5				
YRIT OXIDE	PTs	PTs	PTs		PTs	PTs		PTs	PTs		.5	3.5	.5	3.5	.5	0.8				
LTERD SILICATE	5.	2.	2.5	30	4.	20	1.	25	1.5	4.	3.	31	1.5	20	2.5	19	1.5	2.	3.	17

" Fine grane :

ضمیمه شماره هفت

نتایج گرم در تن کانیهای سنگین در ورقه دیزج

APPENDIX 7: Results of Heavy Minerals Study in DIZA 1:100,000 Sheet (all Contents in ppm)

Field No	DB-1	DB-2	DB-3	DB-4	DB-5	DB-6	DB-7	DB-8	DB-9
Total Volume ccA									
Panned Volume ccB									
Study Volume ccC									
Heavy Volume ccY									
AMPHIBOL	7.68	10.48	202.71		435.46	28.8	0.01	0.01	19.26
ANATASE	2.3	0.01				0.01		0.01	
ANDALUSITE									
APATITE	4.8	0.01	0.01		0.01	4.8	3.84	21.31	13.76
BARITE	0.01		0.01	29.97	1.31		0.01	29.97	77.4
BIOTITE	28.8	0.01		0.01					
BROCHANTITE									
BROOKITE									
CELESTINE	0.01		0.8						
CERUSSITE									
CHLORITE	288	9.83	0.01		0.01				
CHROMITE		226.04				0.01			
CINABBAR	0.01								
CROUNDOM									
DOLOMITE	8.55	93.37	0.01		0.83				
EPIDOTS	163.2	167.08	215.36	3441.89	1652.4	153	897.6	2354.98	286.55
FLEDSPAR	16.2	88.45	0.54	0.01					
FLOURITE									
GAHENITE									
GALENA									
GARNETS	0.01	0.01	0.01	0.01		3.6	0.01		
GLAWCONITE									
GOETHITE	105.6	14.41	0.01	0.01	0.01	3.96	0.01	0.01	0.01
GOLD					0.01				
HEMATITE	12.72	260.44	17.67	352.98	23.18	79.5	114.48	282.38	31.91
HEMIMORPHITE									
HCRNBLEND									
ILMENITE	0.01					0.01			
JARUSITE									
KYANITE									
LEOCOXENE	0.01	0.01	0.07			0.01	0.01		
LIMONITE	0.01	0.01				34.2	0.01	20.25	0.01
MAGNETITE	312	2271.4	104	277.1	303.3	1201.2	299.52	692.64	187.82
MALACHITE									
MANGANITE									
MARCASITE									
MARTITE									
MnOXIDE									
MONZITE									
MOUSCOVITE				/		0.01		1.86	
NATIVELEAD				/					
MIGRINE				/		3.78	0.01	0.01	0.01
OLIGISITE									
PHLOCOPITE									
SCHEELITE						0.01			
PHYROMORPHITE									
PYRITE	105.2	0.01	0.01	299.7	0.01	0.9	0.72	66.6	129
PYRITEOXIDE	240	0.01	0.01	333	218.7	120	108	266.4	43
PYRITE-LIMONITE	0.01	0.01		0.01					
PYROLUSITE									
PYROXENS	750	853.12	1583.65	395.4	683.44	70.5	101.52	0.01	2.83
RUTILE	3.8	0.01	0.01			8.82	0.6	0.01	0.01
SERICITE	11.28	0.01	0.01		0.01				
SILLIMANITE									
SILVER						0.01			
SMITHZONITE									
SPECULARARITE									
SPHALERITE									
SPHENE	0.01	0.01							
SPINEL									
STOUROLITE									
TITANITE									
TORMALINE									
TERMOLITE									
RHODOCHROSITE									
TOPAZ									
WITHRITE									
ZIRCON	7.05	0.01	0.01		0.01	7.05	5.84	3.13	0.01

APPENDIX 7. Results of Heavy Minerals Study in DIZA 1:100,000 sheet (all contents in ppm)

Field No	DB-10	DB-11	DB-12	DB-13	DB-14	DB-15	DB-16	DB-17	DB-18
Total Volume ccA									
Panned Volume ccB									
Study Volume ccC									
Heavy Volume ccY									
AMPHIBOL	0.01	0.01	2.71	14.69	0.01	0.01			
ANATASE							0.01		
ANDALUSITE									
APATITE	0.01	0.01	0.01	0.01	0.01	0.01	0.01	0.01	0.01
BARITE	0.01								
BIOTITE									
BROCHANTITE									
BROOKITE									
CELESTINE									
CERUSSITE									
CHLORITE				0.01					
CHROMITE		5.89					38.64	12.24	
CINABBAR	0.01				0.01				
COVELITE									
CROUNDOM									
DOLOMITE						7.89	0.01	1.52	
EPIDOTS	42.02	652.8	648.72	2068.7	2198.71	1768	1054.82	258.4	180.88
FLEDSPAR							14.96	16.2	3.59
FLOURITE									
GAHENITE									
GALENA									
GARNETS	0.01								
GLAWCONITE									
GOETHITE	0.01	0.01	0.01	0.01	0.01	0.01	0.01	0.01	
GOLD		0.01							
HEMATITE	98.26	67.34	808.99	1034.35	571.23	212	2114.06	477	761.29
HEMIMORPHITE									
HORNBLEND									
ILMENITE									
JARUSITE									
KYANITE									
LEOCOXENE						0.01			
LIMONITE	0.01	0.01	0.01	0.01	24.09	0.01		0.01	
MAGNETITE	74.98	232.96	46.85	537.26	527.49	676	86.42	156	179.82
MALACHITE				0.01					
MANGANITE									
MARCASITE									
MARTITE									
MnO ₂ DIDE									
MONZITE									
MOUSCOVITE									
NATIVELEAD									
NIGRINE	0.01								
OLIGISITE			0.01						
OLIVINE		0.01	0.01						
PHLOCOPITE									
SCHEELITE									
PHYROMORPHITE									
PYRITE	88.58	64	21.2	114.8	126.8	62.5	1.66	90	26.6
PYRITEOXIDE	92.7	64	47.7	22.96	253.6	200		0.01	26.6
PYRITE-LIMONITE			3.9				0.01	0.01	
PYROLUSITE									
PYROXENS	0.01	0.01	11.26	17.94	237.75	187.5	1004.12		
RUTILE	0.01		0.01		0.01	0.01	0.01		0.01
SERICITE									
SILLIMANITE									
SILVER			0.01						
SMITHZONITE									
SPECULARARITE									
SPHALERITE									
SPHENE						0.01			
SPINEL									
STOUROLITE									
TITANITE									
TORMALINE									
TERMOLITE									
RHODOCHROSITE									
TOPAZ									
WITHRITE									
ZIRCON	0.01	0.01	0.3	0.01	0.01	0.01	0.01	0.01	

APPENDIX 7: Results of Heavy Minerals Study in DIZA 1:100,000 Sheet (all Contents in ppm)

Field No	DB-19	DB-20	DB-21	DB-22	DB-23	DB-24	DB-25	DB-26	DB-28
Total Volume cca									
Panned Volume ccB									
Study Volume ccC									
Heavy Volume ccY									
AMPHIBOL				6.62			9.6	0.01	8.83
ANATASE	0.01	0.01		0.01	0.01	0.01	0.01	0.01	0.01
ANDALUSITE									
APATITE	0.01	0.89	0.01	0.01	0.01	1	0.96	7.04	0.88
BARITE	0.01	1.26		0.01	0.01	0.01	0.01	1.19	0.01
BIOTITE									
BROCHANTITE									
BROOKITE									
CELESTINE									
CERUSSITE							0.01		
CHLORITE				0.01	0.01	0.01	0.01		
CHROMITE	85.56	15	5.38	380.88	293.66	1339.52	644	850.08	846.4
CINABBAR		0.01		0.01		0.01	0.01	0.01	0.01
COVELITE									
CROUNDOM									
DOLOMITE	0.01	0.01	0.4	0.01	0.01	0.01	0.01		
EPIDOTS	3.16	221.82		70.38	5.43	88.4	476		
FLEDSPAR	0.3	0.75	0.4	0.71	0.45	0.9	0.85		
FLOURITE									
GAHENITE									
GALENA						0.01	0.01	0.01	
GARNETS		0.01	0.01	0.01	0.01	0.01	0.01		
GLAWCONITE									
GOETHITE			0.01	0.01	0.01	0.01	0.01	0.01	0.01
GOLD	0.01			0.01		0.01	0.01	0.01	0.01
HEMATITE	197.16	889.13	6.2	109.71	8.46	13.78	132.5	139.92	146.28
HEMIMORPHITE									
HORNBLEND									
ILMENITE			0.01	0.01	0.01	122.2	21.15	124.08	129.72
JARUSITE									
KYANITE									
LEOCOXENE	0.01	0.01							
LIMONITE							0.01	10.03	10.49
MAGNETITE	677.04	872.35	608.4	1205.57	774.59	2433.6	2444	1738.88	1722.24
MALACHITE									
MANGANITE									
MARCASITE									
MARTITE									
MnO ₂ IDE									
MONZITE									
MOUSCOVITE									
NATIVELEAD									
NIGRINE				0.01	0.01	0.01	0.01	0.01	0.01
OLIGISITE				0.01				14	0.01
OLIVINE					0.01	0.01	0.01	9.77	10.21
PHLOCOPITE				0.01					
SCHEELITE			7.02	49.68	15.96			0.01	
PHYROMORPHITE									
PYRITE	0.56	1.4	0.7	1.24	0.8	1.56	1.5	11	11.5
PYRITEOXIDE	186	466	5.85	41.4	0.01	0.01	15	132	13.8
PYRITE-LIMONITE		0.01	0.01	0.01		0.01	0.01		
PYROLUSITE									
PYROXENS	290.62	932	585	724.5	532	487.5	406.25	385	460
RUTILE	0.01	0.01		1.04	0.67	1.31	1.26	1.11	0.01
SERICITE								0.01	
SILLIMANITE									
SILVER								0.01	0.01
SMITHZONITE									
SPECULARARITE									
SPHALERITE									
SPHENE	0.01	0.01							
SPINEL									
STOUROLITE									
TITANITE									
TORMALINE									
TERMOLITE									
RHODOCHROSITE									
TOPAZ									
WITHRITE									
ZIRCON	0.01	1.31	0.01	0.01	0.01	0.01	1.41	10.34	10.81

APPENDIX Results of Heavy Minerals Study - DB-AU 1100 000 Sheet 2 Contents of column

Field No	DB-28	DB-29	DB-30	DB-31	DB-32	DB-33	DB-34	DB-35	DB-36
Total Volume ccA									
Panned Volume ccB									
Study Volume ccc									
Heavy Volume ccY									
AMPHIBOL	8.45	0.01	0.01	14.65	6.4	102.4	10.25	0.01	0.01
ANATASE									0.01
ANDALUSITE									
APATITE	0.84	4.06	3.94	6.28	12.8	7.17	17.1	59.65	32.7
BARITE				0.01				1.26	
BIOTITE					0.01	0.01			
BROCHANTITE									
BROOKITE									
CELESTINE									
CERUSSITE									0.01
CHLORITE				0.01	0.01	0.01	0.01		
CHROMITE	688.16	233.68	124.48	842.35	0.01	0.01	98.26	171.49	0.01
CINABBAR							0.01	0.01	0.01
COVELITE									
CROUNDOM									
DOLOMITE									
EPIDOTS				311.3	176.8	217.6	254.18	11.1	0.01
FLEDSPAR									
FLOURITE									
GAHENITE									
GALENA									
GARNETS					0.01		0.01	0.01	
GLAWCONITE									
GOETHITE	0.01	0.01	0.01	0.01	0.01	0.01	0.01	0.01	0.01
GOLD									0.01
HEMATITE	139.92	269.24	143.42	1213.17	1166	1288.96	1471.7	2963.76	696.42
HEMIMORPHITE									
HORNBLEND									
ILMENITE	12.41	9.55	6.94	21.52	0.01	0.01	15.06	15.33	
JARUSITE									
KYANITE									
LEOCOXENE									
LIMONITE	0.01	0.01	0.01		0.01	0.01		0.01	0.01
MAGNETITE	1555.84	792.48	921.02	1632.38	280.8	133.12	1555	1381.22	91.1
MALACHITE									
MANGANITE									
MARCASITE									
MARTITE					0.01	0.01	0.01	0.01	0.01
MnOXIDE									
MONZITE									
MOUSCOVITE					0.01	0.01	0.01	0.01	0.01
NATIVELEAD									
NIGRINE	0.01	0.01	0.01						
OLIVIN	9.77	7.52	0.01	16.94	7.4	0.01	11.85		
OLIGISITE	139.92	10.77	0.01	0.01	0.01	0.01	0.01	0.01	6.19
PHLOCOPITE									
SCHEELITE									
PHYROMORPHITE									
PYRITE	11	6.35	0.74	16.35	0.6	0.96	0.01	4.66	0.44
PYRITEOXIDE	13.2	10.16	0.01	22.89	10	16	16.02	16.31	65.7
PYRITE-LIMONITE									
PYROLUSITE									
PYROXENS	605	555.62	369	1021.87	112.5	630	867.75	116.5	10.95
RUTILE	0.01	0.01	0.01	0.01	0.01	0.01	0.01	0.01	0.01
SERICITE					0.01	0.01	0.01		
SILLIMANITE									
SILVER		0.01							
SMITHZONITE									
SPECULARARITE									
SPHALERITE									
SPHENE					0.01	0.42	0.01	0.01	
SPINEL									0.01
STOURLITE									
TITANITE									
TORMALINE									
TERMOLITE						0.01			
RHODOCHROSITE									
TOPAZ									
WITHRITE									
ZIRCON	1.24	5.97	0.69	3.07	18.8	4.51	25.1	78.85	6.86

APPENDIX Results of Heavy Minerals Study in CEB-1 00-000 Sheet all Contents in ppm

Field No	DB-37	DB-38	DB-39	DB-40	DB-41	DB-42	DB-43	DB-44	DB-45
Total Volume ccA									
Panned Volume ccB									
Study Volume ccC									
Heavy Volume ccY									
AMPHIBOL	108.57	177.361	1071.1	135.62	14.48	0.01	0.01	0.01	0.01
ANATASE	0.01	0.01		0.01	0.01		0.01	0.01	0.01
ANDALUSITE									
APATITE	1.09	166.27	0.01	31.3	0.01	0.01	40.32	66.43	104.38
BARITE	0.01			0.01	0.01			0.01	0.01
BIOTITE			0.01	0.01	13.57	0.01	0.01	0.01	0.01
BROCHANTITE									
BROOKITE									
CELESTINE									
CERUSSITE				0.01				0.01	
CHLORITE	0.01	0.01	0.01	0.01	0.01	0.01	0.01		0.01
CHROMITE	218.7	517.87	0.01	104.97	190.76	266.34	54.65	12.73	107.18
CINABBAR	0.01	0.01		0.01	0.01				
COVELITE									
CROUNDOM									
DOLOMITE					0.01	0.66	0.01	0.01	
EPIDOTS	123.16	588.88	248.95	77.59	282	105	40.39	94.11	126.75
FLEDSPAR					101.79	52.11	0.01	0.01	0.01
FLOURITE									
GAHENITE									
GALENA				0.01				0.01	0.01
GARNETS	0.01	0.01		13.04		0.01		0.01	
GLAWCONITE									
GOETHITE		0.01			0.01	0.01	0.01	12.18	164.03
GOLD	0.01			0.01					
HEMATITE	1979.37	1560.53	38.81	224.61	439.58	163.66	629.64	1540.39	1679.46
HEMIMORPHITE									
HORNBLEND									
ILMENITE	15.96	26.05		10.73	21.26	0.01	0.01		
JARUSITE									
KYANITE									
LEOCOXENE					0.01	0.01		0.73	
LIMONITE	0.01	0.01		0.01	0.01	0.01			0.01
MAGNETITE	2001.38	2972.11	1740.54	949.31	2509.31	642.3	468	449.8	6663.8
MALACHITE									
MANGANITE									
MARCASITE									
MARTITE	0.01	0.01		0.01					
MnOXIDE									
MONZITE									
MOUSCOVITE									
NATIVELEAD									
NIGRINE									
OLIGISITE	0.01	0.01		12.09					
OLIVINE									
PHLOCOPITE									
SCHEELITE					2.71	1.39			
PHYROMORPHITE								0.01	0.01
PYRITE	8.49	21.65	0.01	0.98	2.26	67.55	0.01	0.01	1.4
PYRITEOXIDE	16.98	27.71	0.01	0.01	207.35	15.44	5.94	13.84	0.01
PYRITE-LIMONITE					0.01	0.01	0.01	0.01	
PYROLUSITE									
PYROXENS	353.75	1418.07	3661	876.12	1413.75	1182.12	292.5	648.75	990.25
RUTILE	0.01	0.01	0.01	0.01	0.01	0.01	0.01	0.01	0.01
SERICITE									
SILLIMANITE									
SILVER									
SMITHZONITE									
SPECULARITE									
SPHALERITE									
SPHENE							0.01		
SPINEL					0.01	0.01			
STOUROLITE									
TITANITE									
TORMALINE									
TERMOLITE									
RHODOCHROSITE									
TOPAZ									
WITHRITE									
ZIRCON	1.6	105.82	4.92	15.32	0.01	0.01	0.51	0.98	0.01

APPENDIX - Results of Heavy Minerals Study at Dugout Gold Mine Concentrator

Field No	DB-46	DB-47	DB-48	DB-49	DB-50	OK-51	DB-52	DB-53	DB-54
Total Volume ccA									
Panned Volume ccB									
Study Volume ccC									
Heavy Volume ccY									
AMPHIBOL	0.01	0.01	3.2	0.01		201.6	18.16	5.75	2.56
ANATASE	0.01	0.01			0.01	0.01			
ANDALUSITE									
APATITE	34.05	0.56	0.01	0.01	56.65	286.72	6.05	0.01	1.54
BARITE	0.01				0.01	0.01			
BIOTITE	0.01		0.01		0.01	0.01	0.01		0.01
BROCHANTITE									
BROOKITE									
CELESTINE									
CERUSSITE				0.01			0.01		
CHLORITE						0.01	0.01	0.01	
CHROMITE	244.72	0.01	4.6	0.01	12.86	0.01	391.54	303.6	
CINABBAR	0.01				0.01		7.57	0.01	0.01
COVELITE									
CROUNDOM									
DOLOMITE		0.01	0.01	0.01	13.28				
EPIDOTS	452.2		34	172.72	9.51	238	160.82	61.2	27.2
FLEDSPAR	0.01	39.69	0.32	6.86	12.58				
FLOURITE									
GAHENITE									
GALENA				0.01			0.01		
GARNETS			0.01		0.01	33.6	0.01	0.01	0.01
GLAWCONITE									
GOETHITE	0.01	0.01	0.01	5.59	0.01	0.01	0.01	0.01	0.01
GOLD									
HEMATITE	35245	10.91	381.6	67.31	1901.75	3042.2	2707.45	524.7	729.28
HEMIMORPHITE									
HORNBLEND									
ILMENITE	0.01				0.01	0.01	26.68	15.51	
JARUSITE									
KYANITE									
LEOCOXENE				0.01					
LIMONITE	0.01	0.01	0.01	0.01		0.01	0.01	0.01	0.01
MAGNETITE	1244.88	275.18	374.4	528.32	1962.79	7280	5115.97	1123.2	798.72
MALACHITE									
MANGANITE									
MARCASITE				0.01					
MARTITE						0.01	0.01	0.01	0.01
MnO ₂									
MONZITE									
MOUSCOVITE									
NATIVELEAD									
NIGRINE									
OLIGISITE						0.01	0.01	0.01	4.24
OLIVINE		0.01			0.01	0.01	21	6.66	
PHLOCOPITE									
SCHEELITE	0.96								
PHYROMORPHITE									
PYRITE	47.88	0.01	0.01	0.01	46.6	7	0.01	0.9	0.01
PYRITEOXIDE	6.65	0.01	0.01	190.5	0.01	42	28.38	9	0.01
PYRITE-LIMONITE	0.01	0.01	0.01	0.01	0.01				3.68
PYROLUSITE									
PYROXENS	415.62	1231.12	125	277.81	480.56	1225	650.37	496.87	65
RUTILE	0.67	0.01			0.01	0.01	0.01		0.01
SERICITE									
SILLIMANITE									
SILVER									
SMITHZONITE									
SPECULARITE									
SPHALERITE									
SPHENE		0.01			0.01	7	0.01		
SPINEL	0.01				0.01				
STOROLITE									
TITANITE									
TORMALINE									
TERMOLITE									
RHODOCHROSITE									
TOPAZ									
WITHRITE									
ZIRCON	12.5	0.041	0.01	0.01	21.9	131.6	13.34	0.01	1.5

TABLE 7. Results of Heavy Mineral Study on D. E. 1000000 Sheet, Cont'd.

Field No	DB-55	DB-56	DB-57	DB-58	DB-59	DB-60	DB-61	DB-62	DB-63
Total Volume ccA									
Panned Volume ccB									
Study Volume ccC									
Heavy Volume ccY									
AMPHIBOL	7.68	0.01	0.01	0.01	0.01	0.01	1.92	0.01	
ANATASE				0.01		0.01			0.01
ANDALUSITE									
APATITE	12.8	14.38	8	19.71	17.1	41.47	25.6	53.76	6.59
BARITE							0.54	10.3	27.81
BIOTITE		0.01	15	0.01	0.01	0.01	0.01	0.01	0.01
BROCHANTITE									
BROOKITE									
CELESTINE									
CERUSSITE				0.01				0.01	4.02
CHLORITE	0.01								
CHROMITE	239.2	76.91	0.01	4.25	0.01	0.01			7.59
CINABBAR	0.01		0.01	0.01	0.01				
COVELITE									
CROUNDOM									
DOLOMITE									
EPIDOTS	87.04	403.92	88.4	144.51	590.51	367.2			
FLEDSPAR									
FLOURITE				0.01			0.01		
GAHENITE									
GALENA				0.01		0.01		0.01	7.72
GARNETS	0.01			36.96	0.01	86.4	0.01	0.01	0.01
GLAWCONITE									
GOETHITE	0.01	0.01	0.01	0.01	0.01	0.01		80.26	
GOLD				0.01			0.01		
HEMATITE	1653.6	268.18	137.8	225.27	920.5	686.88	540.6	585.12	1135.47
HEMIMORPHITE									0.43
HORNBLEND									
ILMENITE									
JARUSITE									
KYANITE									
LEOCOXENE									
LIMONITE	0.01	6.69	.38	3.51	0.01	0.01	0.01	0.01	0.01
MAGNETITE	1081.6	228.8	208	656.66	746.19	599.04	1248	499.2	482.04
MALACHITE							0.01	0.01	
MANGANITE									
MARCASITE									
MARTITE	0.01							0.01	
MnOXIDE									
MONZITE									
MOUSCOVITE	0.01					0.01			
NATIVELEAD									
NIGRINE		0.01	0.01	0.01	0.01	0.01			
OLIGISITE	0.01						3.18	10.18	50.22
OLIVINE	0.01	6.51	0.01	0.01					
PHLOCOPITE									
SCHEELITE	0.01							0.01	
PHYROMORPHITE								0.01	
PYRITE	1.2		2.5	3.85	1	1.08	2	144	16.48
PYRITEOXIDE	0.01	83.6	25	46.2	126.92	10.8	3	720	78.28
PYRITE-LIMONITE								0.01	0.01
PYROLUSITE									
PYROXENS	425	240.62	75	134.75	177.44	360	37.5	6	0.01
RUTILE	0.01	0.01	0.01	0.01	0.01	0.01	0.01		0.01
SERICITE									
SILLIMANITE									
SILVER									
SMITHZONITE			0.01						1.81
SPECULARARITE									
SPHALERITE									
SPHENE	0.01	0.01	0.01	0.01			0.01		0.01
SPINEL								0.01	
STOURLOLITE									
TITANITE									
TORMALINE									
TERMOLITE									
RHODOCHROSITE									
TOPAZ									
WITHRITE									
ZIRCON	5.64	16.54	7.05	7.24	0.94	8.46	0.58	1.13	9.68

Field No	DK-64	DK-65	DK-66	DK-67	DK-68	DK-69	DK-70	DK-71	DK-72
Total Volume ccA									
Panned Volume ccB									
Study Volume ccC									
Heavy Volume ccY									
AMPHIBOL	0.01	0.01	0.01	0.01	0.01	0.01	0.01	0.01	0.01
ANATASE	0.01	0.01	0.01	0.01	0.01	0.01	0.01	0.01	0.01
ANDALUSITE									
APATITE	12.8	13.63	3.2	7.68	1.2	29.44	24.32	0.78	24.38
BARITE	18	76.68	3.6		0.01	0.01	0.01	0.01	0.01
BIOTITE	0.01	0.01					0.01	0.01	
BROCHANTITE									
BROOKITE		0.01							
CELESTINE									
CERUSSITE		8.31	0.78			2.6	0.01		
CHLORITE	0.01	0.01							0.01
CHROMITE	5.52	50.95	51.52	0.01	96.34	0.01	0.01	0.01	16.36
CINABBAR	0.01	1.7	1.6		2.99	0.96	0.01		0.01
COVELITE					0.91				
CROUNDOM									
DOLOMITE								7.1	0.53
EPIDOTS	89.76	188.29	74.8	244.8	350.96	3.81	204	0.01	6.05
FLEDSPAR								21.92	6.86
FLOURITE		0.01							
GAHENITE									
GALENA		15.97	7.5		0.01	7.5	0.01		
GARNETS	0.01	0.01	4.48	0.01	0.01	0.01	0.01	0.01	0.01
GLAWCONITE									
GOETHITE	7.25	12	0.01	0.01	9.22	4.93	0.01	0.01	7.82
GOLD			0.01						
HEMATITE	1399.2	1761.08	826.8	76.32	111	932.8	4452	322.77	659.64
HEMIMORPHITE		0.01	0.01			0.01			
HORNBLEND									
ILMENITE									
JARUSITE	0.01	8.18							
KYANITE									
LEOCOXENE									
LIMONITE	0.01	0.01	42.56	0.01	0.01	42.56	22.8		0.01
MAGNETITE	1310.4	1262.66	790.4	499.2	1283.57	790.4	3952	506.69	554.74
MALACHITE		0.01							
MANGANITE									
MARCASITE									
MARTITE	0.01	0.01							
MnOXIDE									
MONZITE									
MOUSCOVITE									
NATIVELEAD									
NIGRINE			0.01	0.01	0.01	0.01	0.01		
OLIGISITE	13.99	0.01						0.01	
OLIVINE									
PHLOCOPITE									
SCHEELITE									
PHYROMORPHITE									
PYRITE	60	42.6	36	6	243.1	10	0.01	0.01	2.72
PYRITEOXIDE	0.01	276.9	56	72	104.72	56	300	16.24	88.9
PYRITE-LIMONITE	0.01	0.01							0.01
PYROLUSITE									
PYROXENS	575	266.25	43.75	420	409.06	10	0.01	1522.5	571.5
RUTILE	0.01	0.01	0.01	0.01	0.01	0.01	0.01	0.01	0.01
SERICITE									
SILLIMANITE									
SILVER			0.01	0.01					
SMITHZONITE		1.12	0.53			1.78	0.01		
SPECULARARITE									
SPHALERITE		0.01	0.01			0.8			
SPHENE	0.01	2.98	0.01	0.01	0.01	0.01	17.5	0.01	1.42
SPINEL	0.01	0.01							
STOUROLITE									
TITANITE									
TORMALINE									
TERMOLITE									
RHODOCHROSITE									
TOPAZ									
WITHRITE									
ZIRCON	18.8	20.02	4.7	5.64	1.76	4.7	189.2	1.14	0.72

Field No	DK-82	DK-83	DK-84	DK-85	DK-86	DK-87	DK-88	DK-89	DK-90
Total Volume cca									
Panned Volume ccB									
Study Volume ccC									
Heavy Volume ccY									
AMPHIBOL	72.76	0.01	0.01	0.01	0.01	0.01	8.95		0.01
ANATASE					0.01	0.01	0.01	0.01	
ANDALUSITE									
APATITE	20.79	14.27	1.06	2.14	1.43	0.01	0.01	0.01	0.01
BARITE	1.1		0.18	0.36	0.01			0.01	0.01
BIOTITE	0.01					0.01	0.01		0.01
BROCHANTITE									
BROOKITE									
CELESTINE									
CERUSSITE									
CHLORITE					0.01	0.01	0.01		0.01
CHROMITE	821.74	0.01	45.54	92.46	171.58	0.01	128.62	0.01	147.11
CINABBAR	6.5	0.01	15.86	32.16	0.01	0.01	0.01	0.01	1.18
COVELITE	0.01								
CROUNDOM									
DOLOMITE					1.28	0.01	0.01	0.01	
EPIDOTS	248.47	30.33	29.17	68.34	446.4	4.19	95.06	0.01	54.37
FLEDSPAR					40.28	20.7	37.75	12.04	6.64
FLOURITE									
GAHENITE									
GALENA									
GARNETS					0.01	0.01	0.01		0.01
GLAWCONITE									
GOETHITE					7.88	0.01	12.3	0.01	0.01
GOLD	0.01	0.01				0.01			0.01
HEMATITE	236.7	141.83	34.98	71.02	316.3	6.53	296.38	1276.45	169.49
HEMIMORPHITE									
HORNBLEND									
ILMENITE	106.86	0.01	0.74	1.64	8.41		0.01		
JARUSITE									
KYANITE									
LEOCOXENE					0.01	0.01	81.55	0.01	
LIMONITE	0.01	3.39	0.6	1032	0.01	0.01	0.01		0.01
MAGNETITE	33.78	2319	1.72	3.48	4965.38	160.16	1744.7	927.88	805.9
MALACHITE									
MANGANITE									
MARCASITE									
MARTITE	90.84	0.01	0.01	0.01					
MnOXIDE									
MONZITE									
MOUSCOVITE									
NATIVELEAD							0.01		
NIGRINE	0.01		0.01	0.01					
OLIGISTE	0.01		0.01	0.01					
OLIVINE	0.01		0.59	1.3					
PHLOCOPITE									
SCHEELITE									
PHYROMORPHITE									
PYRITE	1.22	2.23	8.58	17.42	2.24	0.01	0.01	11.15	
PYRITEOXIDE	113.68	0.01	0.01	0.01	8.95	0.01	13.98	0.01	0.01
PYRITE-LIMONITE					0.01	0.01	0.01		
PYROLUSITE									
PYROXENS	228.37	655.06	20.62	54.44	233.12	385	1048.5	1477.37	753.37
RUTILE	-	0.01		0.01	0.01	0.01	0.01	0.01	
SERICITE									
SILLIMANITE									
SILVER	0.01								
SMITHZONITE									
SPECULARARITE									
SPHALERITE									
SPHENE	0.01				1.57	0.01	0.01	0.01	
SPINEL					0.01		0.01	0.01	0.01
STOUROLITE									
TITANITE									
TORMALINE									
TERMOLITE									
RHODOCHROSITE									
TOPAZ									
WITHRITE									
ZIRCON	68.69	0.01	3.1	6.3	58.1	0.01	0.01	0.01	0.01

APPENDIX C Results of Heavy Minerals Study in DE-H-10000 Sheeter Containing 0.0m

Field No	DK-91	DK-92	DK-93	DK-94	DK-95	DK-96	DK-97	
Total Volume ccA								
Panned Volume ccB								
Study Volume ccC								
Heavy Volume ccY								
AMPHIBOL	8.06	8.7	0.01	0.01	0.01		36.86	
ANATASE	0.01			0.01	0.01	0.01	0.01	
ANDALUSITE								
APATITE	18.43	21.76	97.15	23.3	34.44	68.54	5.12	
BARITE								
BIOTITE						0.01	0.01	
BROCHANTITE								
BROOKITE								
CELESTINE								
CERUSSITE								
CHLORITE						0.01	0.01	
CHROMITE		12.57		9.02	3.05	0.01	0.01	
CINABBAR	0.01			0.01			0.01	
COVELITE								
CROUNDOM								
DOLOMITE								
EPIDOTS	599.76	647.36	567.33	133.28	63.34	0.01	3.92	
FLEDSPAR						0.5	25.92	
FLOURITE								
GAHENITE								
GALENA	0.01							
GARNETS	0.01	0.01	0.01	0.01	0.01		588.8	
GLAWCONITE								
GOETHITE	11.09	11.97	0.01	86.24	29.15	0.01	0.01	
GOLD	0.01							
HEMATITE	400.68	288.32	295	1142.68	329.13	1654.24	61.06	
HEMIMORPHITE								
HORNBLEND								
ILMENITE						210.56		
JARUSITE						7.34		
KYANITE								
LEOCOXENE						0.01	0.01	
LIMONITE	9.58	10.34	10.38	7.45	2.52			
MAGNETITE	561.6	424.32	1368.22	640.64	3143.09	413.71	2063.36	
MALACHITE								
MANGANITE								
MARCASITE								
MARTITE				156.8	49.68			
MnOXIDE								
MOLIBDENITE							0.01	
MONZITE								
MOUSCOVITE								
NATIVELEAD								
NIGRINE	0.01	0.01	0.01	0.01	0.01			
OLIGISTE						237.44		
OLIVINE								
PHLOCOPITE								
SCHEELITE						0.01	0.01	
PHYROMORPHITE								
PYRITE	0.01	0.01	0.01	14	1.24	7.56	48	
PYRITEOXIDE	0.01	0.01	0.01	98	33.12	0.01	0.01	
PYRITE-LIMONITE							0.01	
PYROLUSITE								
PYROXENS	495	637.5	347.87	61.25	20.7	669.37	36	
RUTILE	0.01	0.01	0.01	0.01	0.01	0.01	0.81	
SERICITE								
SILLIMANITE								
SILVER								
SMITHZONITE	0.01							
SPECULARITE								
SPHALERITE								
SPHENE					0.87	0.01	0.01	
SPINEL								
STOURLOLITE								
TITANITE								
TORMALINE								
TERMOLITE								
RHODOCHROSITE								

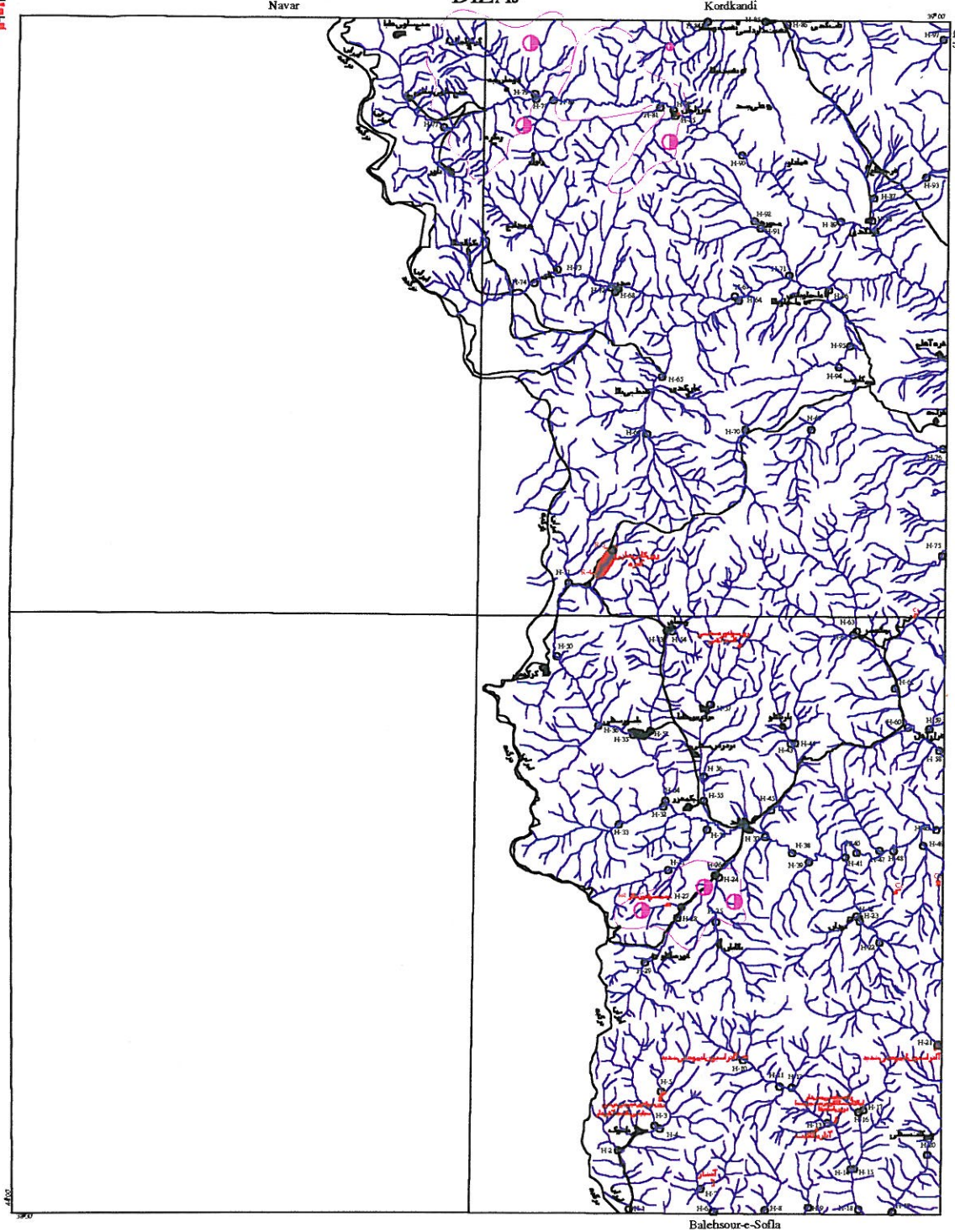
ZIRCON

8.46 15.98 71.35 21.06 31.13 ZH 4.51

ضمیمه شماره هشت

نقشه های نمادین کانیهای کانسار ساز در ورقه دیزج

DIZAJ



Balehsour-e-Sofla

LEGEND

MINISTRY OF MINES & METALS
GEOLOGICAL SURVEY AND MINERAL
EXPLORATION OF IRAN

Geochemical Exploration Department

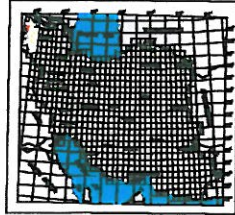
Heavy Mineral Distribution
Map of ILMENITE

Date Feb 2001

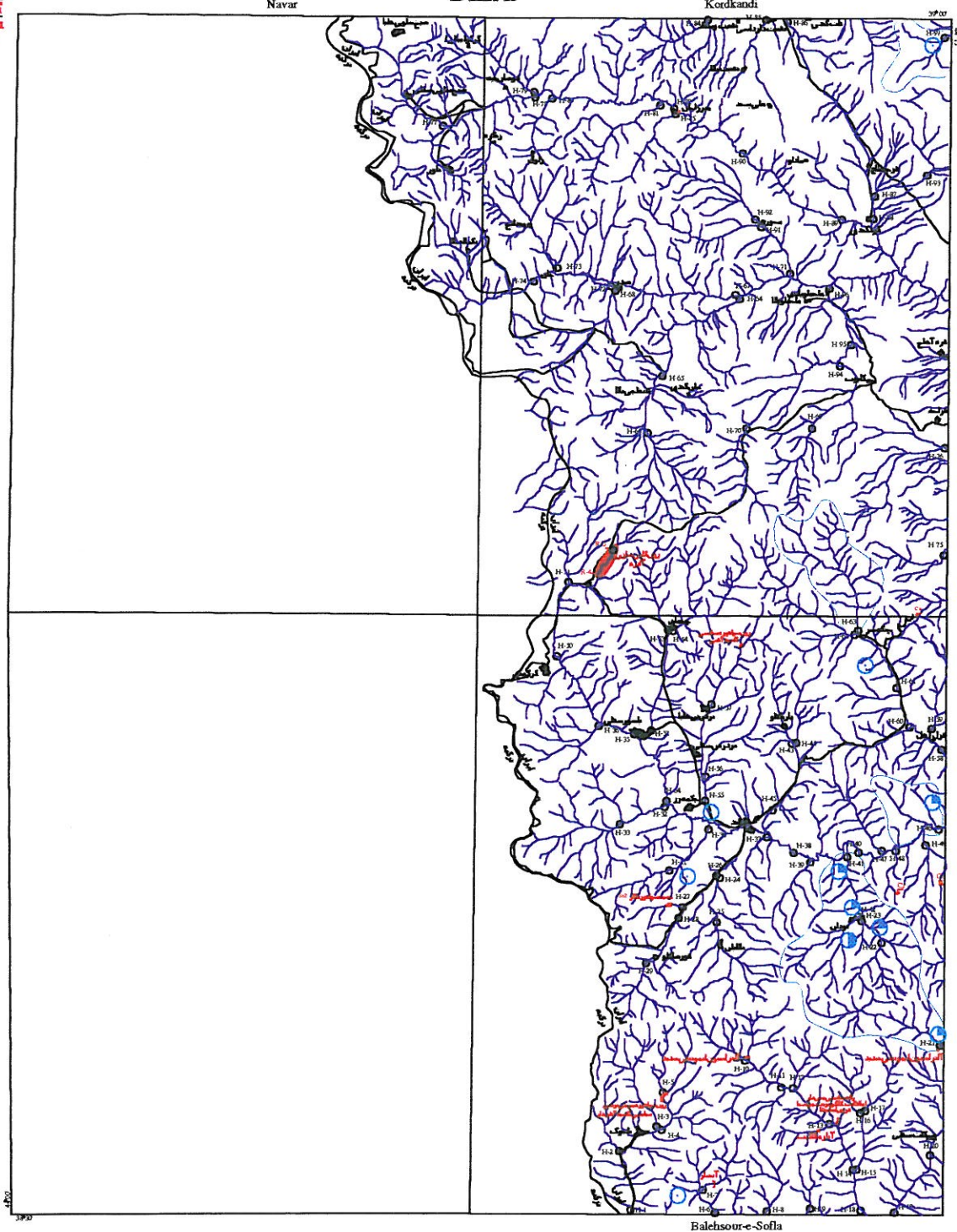


5000 0 5000 10000 m
Coordinate System UTM (Hayford 1909)

LOCATOR MAP



DIZAJ



**MINISTRY OF MINES & METALS
GEOLOGICAL SURVEY AND MINERAL
EXPLORATION OF IRAN**

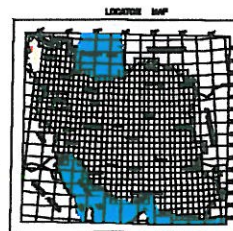
Geochemical Exploration Department

**Heavy Mineral Distribution
Map of SCHEELIT**

Date Feb 2001



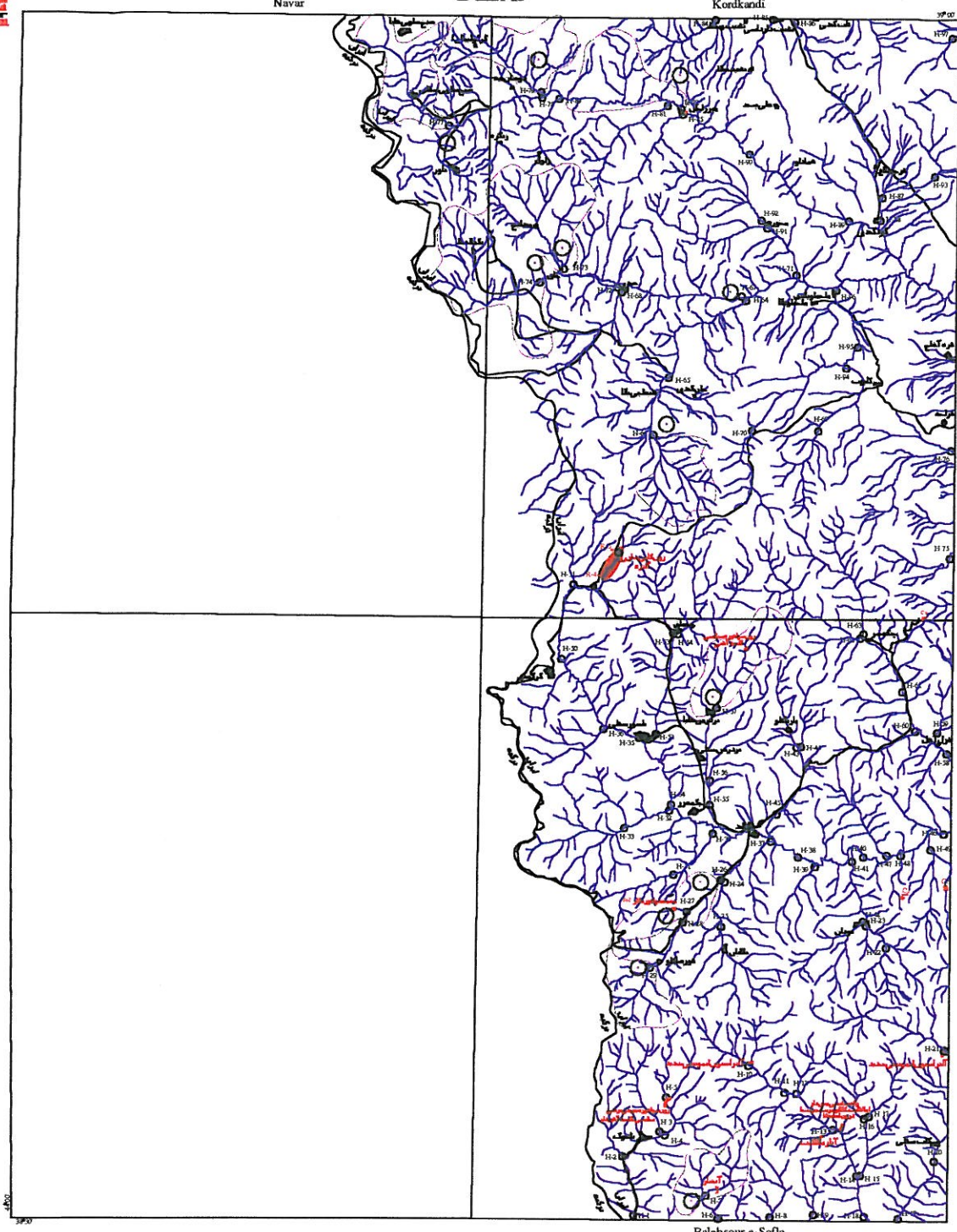
5000 0 5000 10000 m
Coordinate System UTM (Hayford 1909)



DIZAJ

Navar

Kordkandi



Balehsour-e-Sofla

LEGEND

	Dome
	Heavy mineral sample
	River
	Village or City
	Ore Indication
	Abandoned Mine
	Mine in Operation

MINISTRY OF MINES & METALS
GEOLOGICAL SURVEY AND MINERAL
EXPLORATION OF IRAN

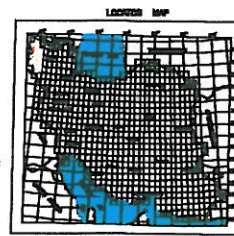
Geochemical Exploration Department

Heavy Mineral Distribution
Map of SILVER

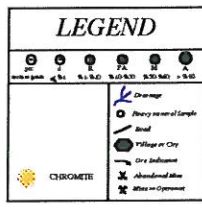
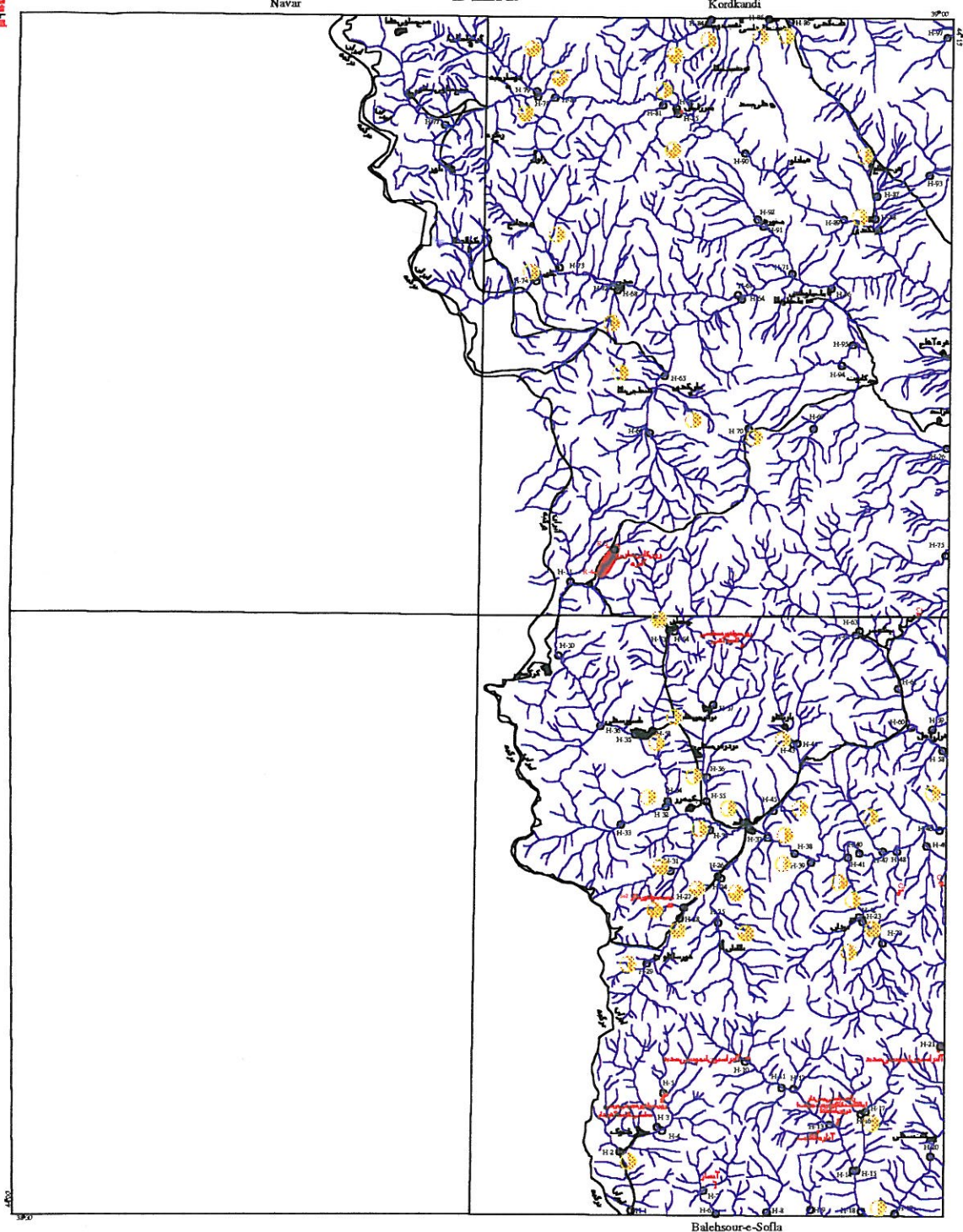
Date: Feb 2001



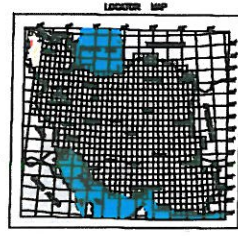
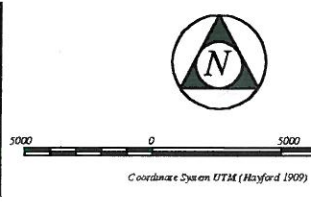
5000 0 5000 10000 m
Coordinate System UTM (Hayford 1909)



DIZAJ



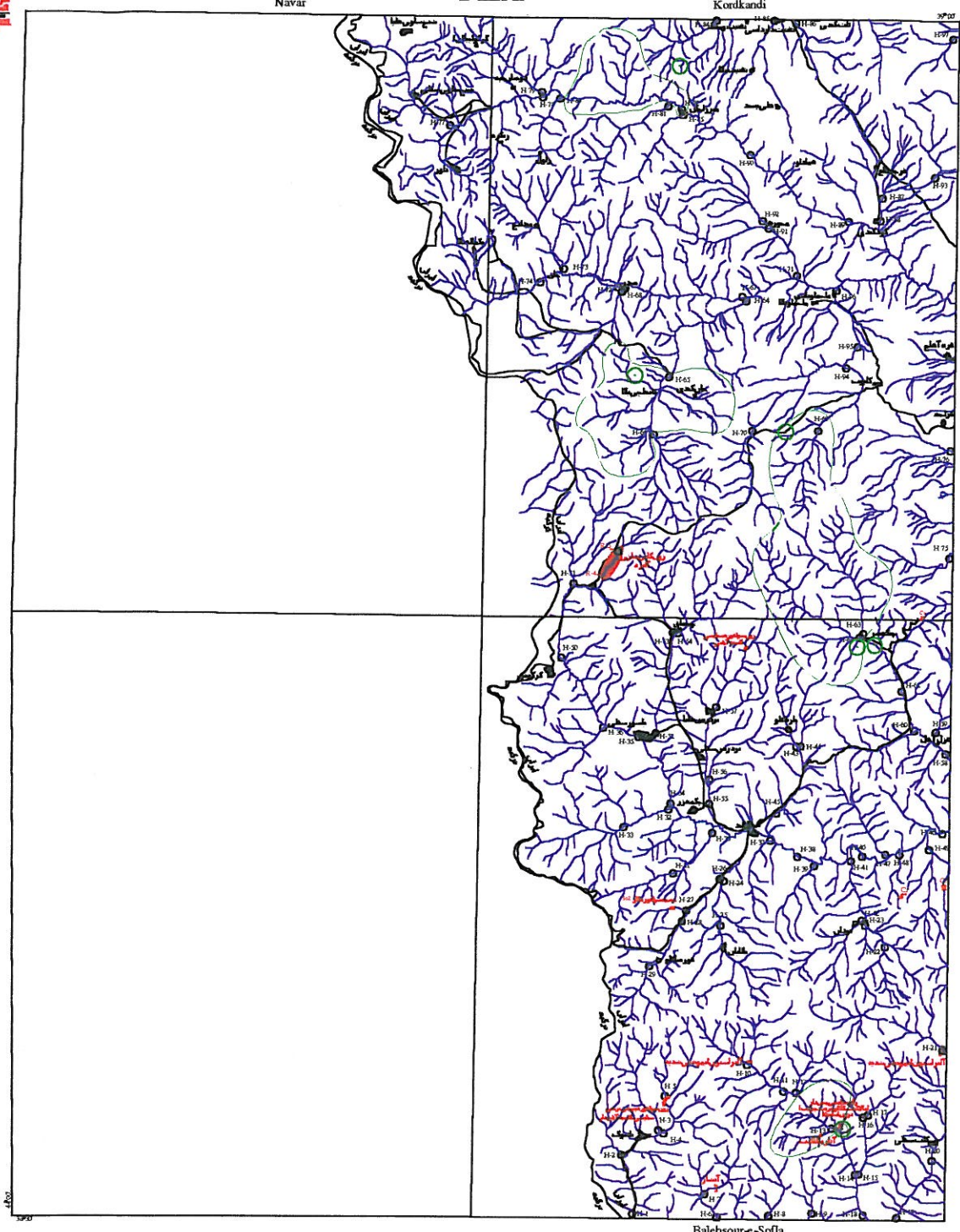
MINISTRY OF MINES & METALS
GEOLOGICAL SURVEY AND MINERAL
EXPLORATION OF IRAN
Geochemical Exploration Department
Heavy Mineral Distribution
Map of CHROMITE
Date Feb 2001



DIZAJ

Navar

Kordkandi



Balehsour-e-Sofla

LEGEND

	Drill hole
	Heavy mineral sample
	Bedrock
	Village or City
	City or Settlement
	Abandoned Mine
	Mine in Operation

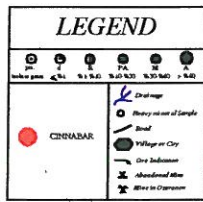
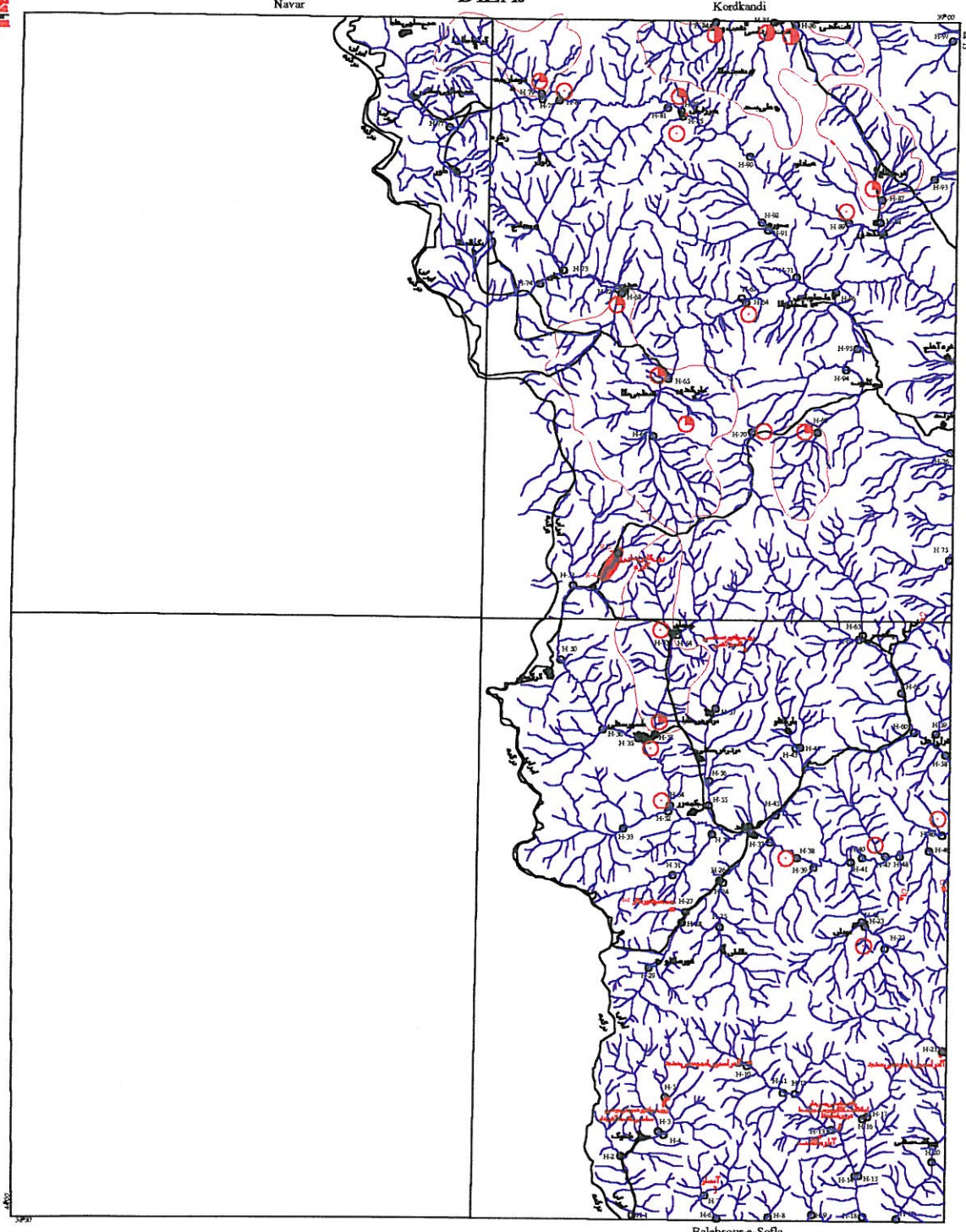
MINISTRY OF MINES & METALS GEOLOGICAL SURVEY AND MINERAL EXPLORATION OF IRAN	
Geochemical Exploration Department	
<i>Heavy Mineral Distribution Map of MALACHITE</i>	
Date Feb 2001	



5000 0 5000 10000 m
Coordinate System UTM (Hayford 1909)



DIZAJ

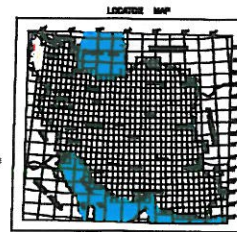


MINISTRY OF MINES & METALS
GEOLOGICAL SURVEY AND MINERAL
EXPLORATION OF IRAN
Geochemical Exploration Department

Heavy Mineral Distribution
Map of CINNABAR
Date Feb 2001



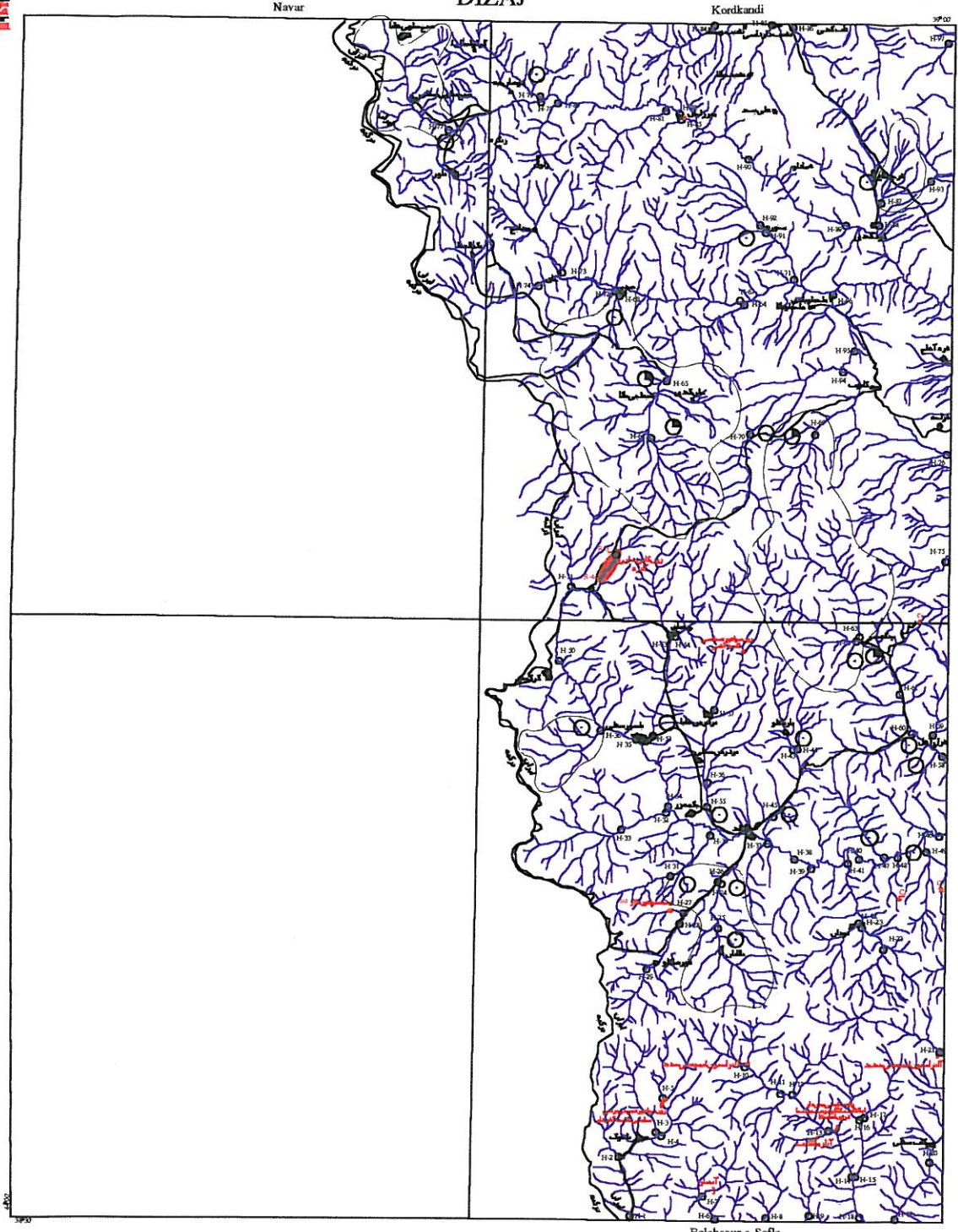
5000 0 5000 10000 m
Coordinate System UTM (Hayford 1909)



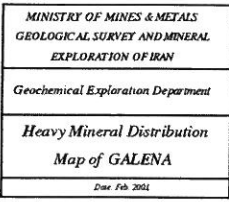
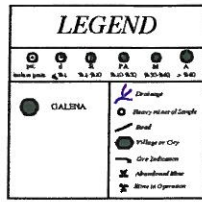
DIZAJ

Navar

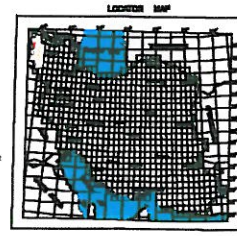
Kordkandi



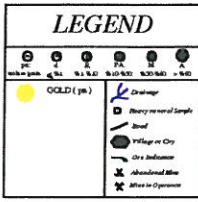
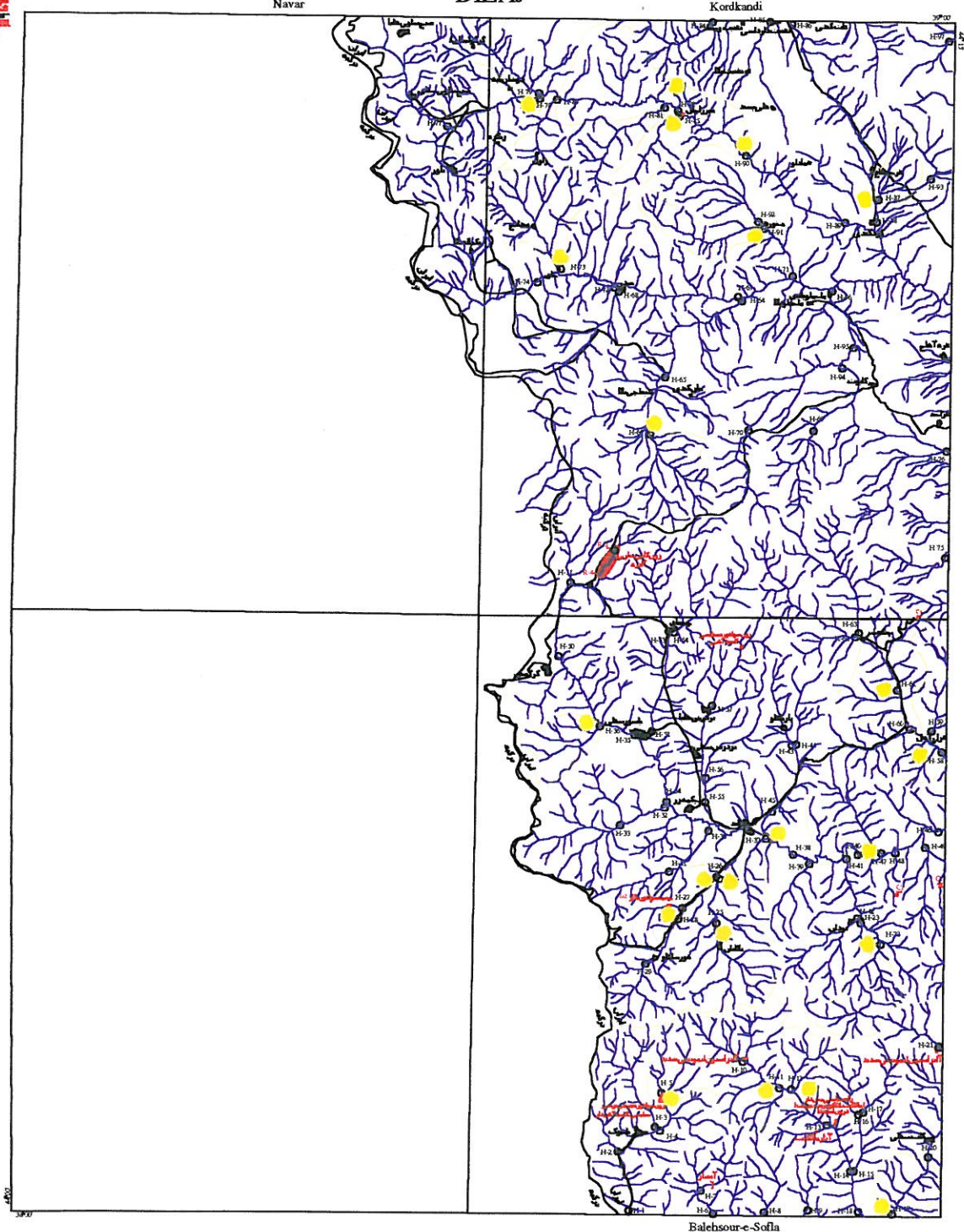
Balehsour-e-Sofla



5000 0 5000 10000 m
Coordinate System UTM (Hayford 1909)



DIZAJ



MINISTRY OF MINES & METALS
GEOLOGICAL SURVEY AND MINERAL
EXPLORATION OF IRAN
Geochemical Exploration Department

Heavy Mineral Distribution
Map of GOLD (pts)
Date: Feb. 2001



5000 0 5000 10000 m
Coordinate System UTM (Hayford 1909)

